

泊発電所3号炉 有効性評価 比較表

灰色：女川2号炉の記載のうち、
BWR固有の設備や対応手段であり、
泊3号炉と比較対象とならない記載

赤字：設備、運用又は体制の相違（設計方針の相違）
青字：記載箇所又は記載内容の相違（記載方針の相違）
緑字：記載表現、設備名称の相違（実質的な相違なし）

7.1.8 格納容器バイパス

大飯発電所3／4号炉	高浜発電所3／4号炉	女川原子力発電所2号炉	泊発電所3号炉	相違理由
<p>環サンプ水位（広域）計指示が再循環運転可能水位（56%）に再循環運転開始後の水位低下の可能性を考慮した水位61%以上となれば、代替再循環運転に切り替える。代替再循環運転に切替え後は、格納容器再循環サンプからA格納容器スプレイポンプを経てA格納容器スプレイ冷却器で冷却した水をA余熱除去系統及びA格納容器スプレイ系統に整備している連絡ラインより炉心へ注水することで、継続的な炉心冷却を行う。</p> <p>代替再循環運転への切替えに必要な計装設備は、余熱除去流量等である。</p> <p>なお、原子炉格納容器の冷却については、原子炉格納容器雰囲気の状態に応じて格納容器再循環ファンを運転し継続的に行う。</p>	<p>環サンプ広域水位計指示が再循環運転可能水位（67%）に再循環運転開始後の水位低下の可能性を考慮した水位72%以上となれば、代替再循環運転に切り替える。代替再循環運転に切替え後は、格納容器再循環サンプからA格納容器スプレイポンプを経てA格納容器スプレイ冷却器で冷却した水をA余熱除去系統及びA格納容器スプレイ系統に整備している連絡ラインより炉心へ注水することで、継続的な炉心冷却を行う。</p> <p>代替再循環運転への切替えに必要な計装設備は、余熱除去流量等である。</p> <p>なお、原子炉格納容器の冷却については、原子炉格納容器雰囲気の状態に応じて格納容器再循環ファンを運転し継続的に行う。</p>		<p>域）指示が再循環運転可能水位（71%）に再循環運転開始後の水位低下の可能性を考慮した水位76%以上となれば、代替再循環運転に切り替える。代替再循環運転に切替え後は、格納容器再循環サンプからB一格納容器スプレイポンプを経てB一格納容器スプレイ冷却器で冷却した水をB一余熱除去系統及びB一格納容器スプレイ系統に整備している連絡ラインより炉心へ注水することで、継続的な炉心冷却を行う。</p> <p>代替再循環運転への切替えに必要な計装設備は、低圧注入流量等である。</p>	<p>設備名称の相違 【大飯、高浜】 設計の相違</p> <p>【大飯、高浜】 設備名称の相違 ・泊はB系を使用するが、大飯、高浜はA系を使用する ・使用する設備については同等</p> <p>【大飯、高浜】 設備名称の相違 【大飯、高浜】 記載箇所の相違（女川実績の反映） ・泊は炉心冷却に合わせて格納容器除熱に関して(I)項に記載</p> <p>(添付資料 7.1.8.16) 【大飯、高浜】 添付資料の相違 ・泊では再循環切替水位について添付資料を新規作成</p>

泊発電所3号炉 有効性評価 比較表

灰色：女川2号炉の記載のうち、
BWR固有の設備や対応手段であり、
泊3号炉と比較対象とならない記載

赤字：設備、運用又は体制の相違（設計方針の相違）
青字：記載箇所又は記載内容の相違（記載方針の相違）
緑字：記載表現、設備名称の相違（実質的な相違なし）

7.1.8 格納容器バイパス

大飯発電所3／4号炉	高浜発電所3／4号炉	女川原子力発電所2号炉	泊発電所3号炉	相違理由
<p>2.8.2 炉心損傷防止対策の有効性評価</p> <p>(1) 有効性評価の方法</p> <p>重要事故シーケンスは、「1.2 評価対象の整理及び評価項目の設定」に示すとおり、格納容器バイパス時の漏えい経路の違いを考慮した「インターフェイスシステムLOCA」及び「蒸気発生器伝熱管破損時に破損側蒸気発生器の隔離に失敗する事故」である。</p> <p>本重要事故シーケンスでは、炉心における崩壊熱、燃料棒表面熱伝達、沸騰・ボイド率変化及び気液分離・対向流、1次冷却系における冷却材流量変化、冷却材放出、沸騰・凝縮・ボイド率変化、気液分離・対向流、圧力損失、ECCS強制注入及びECCS蓄圧タンク注入、加圧器における冷却材放出、並びに蒸気発生器における1次側・2次側の熱伝達、冷却材放出及び2次側給水が重要現象となる。よって、これらの現象を適切に評価することが可能であるプラント過渡解析コードM-RELAP5により1次冷却材圧力、燃料被覆管温度等の過渡応答を求める。</p> <p>(添付資料 2.8.15)</p>	<p>2.8.2 炉心損傷防止対策の有効性評価</p> <p>(1) 有効性評価の方法</p> <p>重要事故シーケンスは、「1.2 評価対象の整理及び評価項目の設定」に示すとおり、格納容器バイパス時の漏えい経路の違いを考慮した「インターフェイスシステムLOCA」及び「蒸気発生器伝熱管破損時に破損側蒸気発生器の隔離に失敗する事故」である。</p> <p>本重要事故シーケンスでは、炉心における崩壊熱、燃料棒表面熱伝達、沸騰・ボイド率変化及び気液分離・対向流、1次冷却系における冷却材流量変化、冷却材放出、沸騰・凝縮・ボイド率変化、気液分離（水位変化）・対向流及び三次元効果並びに原子炉圧力容器における沸騰・凝縮・ボイド率変化、気液分離（水位変化）・対向流、冷却材放出（臨界流・差圧流）及びECCS注水（給水系・代替注水設備含む）が重要現象となる。よって、これらの現象を適切に評価することが可能である長期間熱水力過渡変化解析コードSAFERにより原子炉圧力、原子炉水位、燃料被覆管温度等の過渡応答を求める。</p>	<p>2.7.2 炉心損傷防止対策の有効性評価</p> <p>(1) 有効性評価の方法</p> <p>本事故シーケンスグループを評価する上で選定した重要事故シーケンスは、「1.2 評価対象の整理及び評価項目の設定」に示すとおり、原子炉冷却材圧力バウンダリと接続された系統で、高圧設計部分と低圧設計部分とのインターフェイスが、直列に設置された2個の隔離弁のみで隔離された系統において、隔離弁が両弁とともに破損又は誤開放することで、低圧設計部分が過圧される「ISLOCA」である。</p> <p>本重要事故シーケンスでは、炉心における崩壊熱、燃料棒表面熱伝達、気液熱非平衡、沸騰遷移、燃料被覆管酸化、燃料被覆管変形、沸騰・ボイド率変化、気液分離（水位変化）・対向流及び三次元効果並びに原子炉圧力容器における沸騰・凝縮・ボイド率変化、気液分離（水位変化）・対向流、冷却材放出（臨界流・差圧流）及びECCS注水（給水系・代替注水設備含む）が重要現象となる。よって、これらの現象を適切に評価することが可能である長期間熱水力過渡変化解析コードSAFERにより原子炉圧力、原子炉水位、燃料被覆管温度等の過渡応答を求める。</p>	<p>7.1.8.2 炉心損傷防止対策の有効性評価</p> <p>(1) 有効性評価の方法</p> <p>本事故シーケンスグループを評価する上で選定した重要事故シーケンスは、「1.2 評価対象の整理及び評価項目の設定」に示すとおり、格納容器バイパス時の漏えい経路の違いを考慮した「インターフェイスシステムLOCA」及び「蒸気発生器伝熱管破損時に破損側蒸気発生器の隔離に失敗する事故」である。</p> <p>本重要事故シーケンスでは、炉心における崩壊熱、燃料棒表面熱伝達、沸騰・ボイド率変化及び気液分離・対向流、1次冷却系における冷却材流量変化、冷却材放出、沸騰・凝縮・ボイド率変化、気液分離・対向流、圧力損失、ECCS強制注入及びECCS蓄圧タンク注入、加圧器における冷却材放出、並びに蒸気発生器における1次側・2次側の熱伝達、冷却材放出及び2次側給水が重要現象となる。よって、これらの現象を適切に評価することが可能であるプラント過渡解析コードM-RELAP5により1次冷却材圧力、燃料被覆管温度等の過渡応答を求める。</p>	<p>【大飯、高浜】 記載方針の相違（女川実績の反映）</p> <p>【大飯】 添付資料の相違 ・加圧器水位調整モデルに関する資料であり、大飯±CVバイバス事象で加圧器水位の調整について相違するため感度解析</p>

泊発電所3号炉 有効性評価 比較表

灰色：女川2号炉の記載のうち、
BWR固有の設備や対応手段であり、
泊3号炉と比較対象とならない記載

赤字：設備、運用又は体制の相違（設計方針の相違）
青字：記載箇所又は記載内容の相違（記載方針の相違）
緑字：記載表現、設備名称の相違（実質的な相違なし）

7.1.8 格納容器バイパス

大飯発電所3／4号炉	高浜発電所3／4号炉	女川原子力発電所2号炉	泊発電所3号炉	相違理由
<p>また、解析コード及び解析条件の不確かさの影響評価の範囲として、本重要事故シーケンスにおける運転員等操作時間に与える影響、要員の配置による他の操作に与える影響、評価項目となるパラメータに与える影響及び操作時間余裕を評価する。</p> <p>(2) 有効性評価の条件 本重要事故シーケンスに対する初期条件も含めた主要な解析条件を第2.8.3表及び第2.8.4表に示す。また、主要な解析条件について、本重要事故シーケンス特有の解析条件を以下に示す。</p> <p>(添付資料2.8.3)</p> <p>a. インターフェイスシステム LOCA (a) 事故条件 i. 起因事象 起因事象として、余熱除去系統入口隔離弁の誤開又は破損による余熱除去系統の圧力上昇により、余熱除去系統からの漏えいが発生するものとする。1次冷却材の漏えい箇所として、余熱除去系逃がし弁、余熱除去系機器等からの漏えいが発生するものとする。余熱除去ポンプ入</p>	<p>また、解析コード及び解析条件の不確かさの影響評価の範囲として、本重要事故シーケンスにおける運転員等操作時間に与える影響、要員の配置による他の操作に与える影響、評価項目となるパラメータに与える影響及び操作時間余裕を評価する。</p> <p>(2) 有効性評価の条件 本重要事故シーケンスに対する初期条件も含めた主要な解析条件を第2.8.2.1表及び第2.8.2.2表に示す。また、主要な解析条件について、本重要事故シーケンス特有の解析条件を以下に示す。</p> <p>(添付資料2.8.3)</p> <p>a. インターフェイスシステム LOCA (a) 事故条件 i. 起因事象 起因事象として、余熱除去系統入口隔離弁の誤開又は破損による余熱除去系統の圧力上昇により、余熱除去系統からの漏えいが発生するものとする。1次冷却材の漏えい箇所として、余熱除去系逃がし弁の作動、余熱除去系機器等からの漏えいが発生するものとする。余熱除去ポンプ入</p>	<p>また、解析コード及び解析条件の不確かさの影響評価の範囲として、本重要事故シーケンスにおける運転員等操作時間に与える影響、評価項目となるパラメータに与える影響及び操作時間余裕を評価する。</p> <p>(2) 有効性評価の条件 本重要事故シーケンスに対する初期条件も含めた主要な解析条件を第2.7.2表に示す。また、主要な解析条件について、本重要事故シーケンス特有の解析条件を以下に示す。</p>	<p>また、解析コード及び解析条件の不確かさの影響評価の範囲として、本重要事故シーケンスにおける運転員等操作時間に与える影響、評価項目となるパラメータに与える影響及び操作時間余裕を評価する。</p> <p>(2) 有効性評価の条件 本重要事故シーケンスに対する初期条件も含めた主要な解析条件を第7.1.8.3表及び第7.1.8.4表に示す。また、主要な解析条件について、本重要事故シーケンス特有の解析条件を以下に示す。</p> <p>(添付資料7.1.8.3)</p> <p>a. インターフェイスシステム LOCA (a) 事故条件 i. 起因事象 起因事象として、余熱除去系統入口隔離弁の誤開又は破損による余熱除去系統の圧力上昇により、余熱除去系統からの漏えいが発生するものとする。1次冷却材の漏えい箇所として、余熱除去系逃がし弁、余熱除去系機器等からの漏えいが発生するものとする。余熱除去ポンプ入</p>	<p>を実施している ・泊はIVバイパス事象で加圧器水位の調整方法は同一の扱いのため感度解析は不要（高浜1/2号炉と同様）</p> <p>【大飯、高浜】評価方針の相違（女川実績の反映）</p>

泊発電所3号炉 有効性評価 比較表

灰色：女川2号炉の記載のうち、
BWR固有の設備や対応手段であり、
泊3号炉と比較対象とならない記載

赤字：設備、運用又は体制の相違（設計方針の相違）
青字：記載箇所又は記載内容の相違（記載方針の相違）
緑字：記載表現、設備名称の相違（実質的な相違なし）

7.1.8 格納容器バイパス

大飯発電所3／4号炉	高浜発電所3／4号炉	女川原子力発電所2号炉	泊発電所3号炉	相違理由
<p>口逃がし弁及び余熱除去冷却器出口逃がし弁の破断口径については、実機における口径を基に設定し、余熱除去系機器等については、実機における破断面積に係る評価値に余裕を考慮した値を設定する。また、余熱除去系機器等の破断面積の評価においては、余熱除去系統の圧力挙動の評価結果を踏まえ、配管破断は生じることはなく、余熱除去系統の低圧側に静的に1次冷却却系統の圧力及び温度相当まで加圧及び加温されるものとしている。</p> <p>(i) 原子炉格納容器外の余熱除去冷却器出口逃がし弁 (等価直径約2.5cm(約1インチ)相当、1個)</p> <p>(ii) 原子炉格納容器内の余熱除去ポンプ入口逃がし弁 (等価直径約10cm(約4インチ)相当、1個)</p> <p>(iii) 原子炉格納容器外の余熱除去系機器等(等価直径約2.8cm(約1.12インチ)相当) (添付資料2.8.4)</p> <p>ii. 安全機能の喪失に対する仮定 余熱除去系統入口隔離弁の誤開又は破損が発生した側の余熱除去機能が喪失するものとする。</p>	<p>シップ入口逃がし弁及び余熱除去冷却器出口逃がし弁の破断口径については、実機における口径を基に設定し、余熱除去系機器等については、実機における破断面積に係る評価値に余裕を考慮した値を設定する。また、余熱除去系機器等の破断面積の評価においては、余熱除去系統の圧力挙動の評価結果を踏まえ、配管破断は生じることはなく、余熱除去系統の低圧側に静的に1次冷却材系統の圧力及び温度相当まで加圧及び加温されるものとしている。</p> <p>(i) 原子炉格納容器外の余熱除去冷却器出口逃がし弁(低温側2個、高温側1個) (等価直径約3.3cm(約1.3インチ)相当)</p> <p>(ii) 原子炉格納容器内の余熱除去ポンプ入口逃がし弁(2個) (等価直径約11cm(約4.2インチ)相当)</p> <p>(iii) 原子炉格納容器外の余熱除去系機器等(等価直径約4.1cm(約1.6インチ)相当) (添付資料2.8.4)</p> <p>ii. 安全機能の喪失に対する仮定 余熱除去機能が喪失するものとする。</p>	<p>配管とする。 他の系統^{※1}では隔離弁の開閉試験が行われないか又は開閉試験中に2個以上の弁で隔離機能が維持されることに対して、高圧炉心スプレイ系は開閉試験時に隔離弁が1個となる。 ※1 残留熱除去系(低圧注水モード)、残留熱除去系(原子炉停止時冷却モード)及び低圧炉心スプレイ系がある。低圧炉心スプレイ系及び残留熱除去系(低圧注水モード)については、低圧設計配管までの弁数が3個設置されている。 また、残留熱除去系(原子炉停止時冷却モード)については、低圧設計配管までの弁数が2個であるが、運転中の隔離弁の開閉試験は実施しない。 破断面積は、低圧設計部の耐圧バウンダリとなる箇所に対して、実耐力を踏まえた評価を行った結果、25cm²を超えないことを確認しているが、保守的に約35cm²とする。</p> <p>(添付資料2.7.1)</p> <p>(b) 安全機能の喪失に対する仮定 インターフェイスシステムLOCAが発生した高圧炉心スプレイ系が機能喪失するものとする。</p>	<p>口逃がし弁及び余熱除去冷却器出口逃がし弁の破断口径については、実機における口径を基に設定し、余熱除去系機器等については、実機における破断面積に係る評価値に余裕を考慮した値を設定する。また、余熱除去系機器等の破断面積の評価においては、余熱除去系統の圧力挙動の評価結果を踏まえ、配管破断は生じることはなく、余熱除去系統の低圧側に静的に1次冷却却系統の圧力及び温度相当まで加圧及び加温されるものとしている。</p> <p>(i) 原子炉格納容器外の余熱除去冷却器出口逃がし弁 【大飯、高浜】 譲りの相違 (等価直径約2.5cm(1インチ)相当、1個) ・高浜は余熱除去系2系統からの漏えい</p> <p>(ii) 原子炉格納容器内の余熱除去ポンプ入口逃がし弁 【大飯】 1系統からの漏えいを想定する (等価直径約7.6cm(3インチ)相当、1個) ・破断口径の相違</p> <p>(iii) 原子炉格納容器外の余熱除去系機器等(等価直径約2.9cm(1.15インチ)相当) (添付資料7.1.8.4)</p> <p>ii. 安全機能の喪失に対する仮定 余熱除去系統入口隔離弁の誤開又は破損が発生した側の余熱除去系が機能喪失するものとする。 【高浜】 譲りの相違 ・高浜は余熱除去系2系統からの漏えいに対する泊、大飯は</p>	

灰色：女川2号炉の記載のうち、
BWR固有の設備や対応手段であり、
泊3号炉と比較対象とならない記載

赤字：設備、運用又は体制の相違（設計方針の相違）
青字：記載箇所又は記載内容の相違（記載方針の相違）
緑字：記載表現、設備名称の相違（実質的な相違なし）

7.1.8 格納容器バイパス

大飯発電所3／4号炉	高浜発電所3／4号炉	女川原子力発電所2号炉	泊発電所3号炉	相違理由
<p>iii. 外部電源 外部電源はないものとする。 外部電源がない場合、常用系機器の機能喪失及び工学的安全施設の作動遅れの観点から、炉心冷却上厳しくなる。</p>	<p>iii. 外部電源 外部電源はないものとする。 外部電源がない場合、常用系機器の機能喪失及び工学的安全施設の作動遅れの観点から、炉心冷却上厳しくなる。</p>	<p>(c) 外部電源 外部電源なしの場合は、給復水系による給水がなく、原子炉水位の低下が早くなることから、外部電源は使用できないものと仮定し、非常用ディーゼル発電機等によって給電を行うものとする。また、原子炉スクラムまでの原子炉出力が高く維持され、原子炉水位の低下が大きくなることで、炉心の冷却の観点で厳しくなり、外部電源がある場合を含むする条件として、原子炉スクラムは、原子炉水位低（レベル3）信号にて発生し、再循環ポンプトリップは、原子炉水位低（レベル2）信号にて発生するものとする。</p>	<p>iii. 外部電源 外部電源なしの場合は、常用系機器の機能喪失及び工学的安全施設の作動遅れの観点で炉心冷却上厳しくなることから、外部電源は使用できないものと仮定し、ディーゼル発電機によって給電を行うものとする。</p>	<p>1 系統漏えいを想定するため</p> <p>【大飯、高浜】記載表現の相違（女川実績の反映）</p>
<p>(b) 重大事故等対策に関連する機器条件</p>	<p>(b) 重大事故等対策に関連する機器条件</p>	<p>b. 重大事故等対策に関連する機器条件 (a) 原子炉スクラム信号 原子炉スクラムは、外部電源がある場合を含むする条件として、原子炉水位低（レベル3）信号によるものとする。</p>	<p>(b) 重大事故等対策に関連する機器条件 (a) 原子炉トリップ信号 原子炉トリップは、原子炉圧力低信号によるものとする。</p>	<p>【大飯、高浜】記載方針の相違（女川実績の反映）</p>
<p>i. 高圧注入ポンプ 炉心への注水は、高圧注入ポンプ 2台を使用するものとし、漏えい量を増加させる観点から、設計値に注入配管の流路抵抗等を考慮した最大注入特性（高圧注入特性：0m³/h～約</p>	<p>i. 充てん／高圧注入ポンプ 炉心への注水は、充てん／高圧注入ポンプ 2台を使用するものとし、漏えい量を増加させる観点から、設計値に注入配管の流路抵抗等を考慮した最大注入特性（高圧注入特性：0m³/h～約</p>	<p>(b) 原子炉隔離時冷却系 原子炉隔離時冷却系が、原子炉水位低（レベル2）で自動起動し、90.8m³/h (7.86MPa[gage]～1.04MPa[gage])において) の流量で注水するものとする。</p>	<p>ii. 高圧注入ポンプ 炉心への注水は、高圧注入ポンプ 2台を使用するものとし、漏えい量を増加させる観点から、設計値に注入配管の流路抵抗等を考慮した最大注入特性（高圧注入特性：0 m³/h～約</p>	<p>【大飯、高浜】</p>

泊発電所3号炉 有効性評価 比較表

灰色：女川2号炉の記載のうち、
BWR固有の設備や対応手段であり、
泊3号炉と比較対象とならない記載

赤字：設備、運用又は体制の相違（設計方針の相違）
青字：記載箇所又は記載内容の相違（記載方針の相違）
緑字：記載表現、設備名称の相違（実質的な相違なし）

7.1.8 格納容器バイパス

大飯発電所3／4号炉	高浜発電所3／4号炉	女川原子力発電所2号炉	泊発電所3号炉	相違理由
<p>360m³/h、0MPa[gage]～約15.8MPa[gage])を用いるものとする。</p> <p>ii. 補助給水ポンプ 電動補助給水ポンプ2台及びタービン動補助給水ポンプ1台が自動起動し、非常用炉心冷却設備作動限界到達の60秒後に4基の蒸気発生器に合計370m³/hの流量で注水するものとする。</p> <p>iii. 蓄圧タンク 蓄圧注入系のパラメータとして初期保持圧力については、蓄圧注入のタイミングを遅くすることで1次冷却系保有水量の回復が遅れることから最低保持圧力を用いる。また、初期保有水量については、最低保有水量を用いる。なお、本事象は事象発生後の事象進展が比較的早く、蓄圧タンクの初期条件の不確かさによる漏えい量に与える影響は小さいことから、他の事象と同様に以下の取扱いとする。</p> <p>蓄圧タンクの保持圧力（最低保持圧力） 4.04MPa[gage]</p> <p>蓄圧タンクの保有水量（最低保有水量） 26.9m³（1基当たり）</p>	<p>220m³/h、0MPa[gage]～約19.4MPa[gage])を用いるものとする。</p> <p>ii. 補助給水ポンプ 電動補助給水ポンプ2台及びタービン動補助給水ポンプ1台が自動起動し、解析上は非常用炉心冷却設備作動限界到達60秒後に3基の蒸気発生器に合計280m³/hの流量で注水するものとする。</p> <p>iii. 蓄圧タンク 蓄圧注入系のパラメータとして初期保持圧力については、蓄圧注入のタイミングを遅くすることで1次系保有水量の回復が遅れることから最低保持圧力を用いる。また、初期保有水量については、評価項目となるパラメータに与える影響を確認した上で、最低保有水量を用いる。なお、本事象は事象発生後の事象進展が比較的早く、蓄圧タンクの初期条件の不確かさによる漏えい量に与える影響は小さいことから、他の事象と同様に以下の取扱いとする。</p> <p>蓄圧タンクの保持圧力（最低保持圧力） 4.04MPa[gage]</p> <p>蓄圧タンクの保有水量（最低保有水量） 29.0m³（1基当たり）</p>	<p>(c) 低圧炉心スプレイ系 原子炉水位低（レベル1）で自動起動し、逃がし安全弁（自動減圧機能）による原子炉減圧後に、1,050m³/h（0.78MPa[di]において）（最大1,135m³/h）の流量で注水するものとする。</p> <p>(d) 残留熱除去系（低圧注水モード） 原子炉水位低（レベル1）で自動起動し、逃がし安全弁（自動減圧機能）による原子炉減圧後に、1台当たり1,136m³/h（0.14MPa[di]において）（最大1,191m³/h）の流量で注水するものとする。</p> <p>(e) 逃がし安全弁 逃がし安全弁（逃がし弁機能）にて、原子炉冷却材圧力バウンダリの過度の圧力上昇を抑えるものとする。また、原子炉減圧には逃がし安全弁（自動減圧機能）（2個）を使用するものとし、容量として、1個当たり定格主蒸気流量の約8%を処理するものとする。</p>	<p>350m³/h、0MPa[gage]～約15.7MPa[gage])を用いるものとする。</p> <p>iii. 補助給水ポンプ 電動補助給水ポンプ2台及びタービン動補助給水ポンプ1台が自動起動し、非常用炉心冷却設備作動限界到達60秒後に3基の蒸気発生器に合計150m³/hの流量で注水するものとする。</p> <p>iv. 蓄圧タンク 蓄圧注入系のパラメータとして初期保持圧力については、蓄圧注入のタイミングを遅くすることで1次冷却系保有水量の回復が遅れることから最低保持圧力を用いるものとする。また、初期保有水量については、最低保有水量を用いるものとする。なお、本事象は事象発生後の事象進展が比較的早く、蓄圧タンクの初期条件の不確かさによる漏えい量に与える影響は小さいことから、他の事象と同様に以下の取扱いとする。</p> <p>蓄圧タンクの保持圧力（最低保持圧力） 4.04MPa[gage]</p> <p>蓄圧タンクの保有水量（最低保有水量） 29.0m³（1基当たり）</p>	<p>譲りの相違</p> <p>【大飯、高浜】設計の相違 ・泊は指針を満足する範囲で設計の合理化を図ったためポンプ容量が小さい</p> <p>【高浜】記載方針の相違 ・逃がし弁機能にて、原子炉冷却材圧力バウンダリの過度の圧力上昇を抑えるものとする。また、原子炉減圧には逃がし安全弁（自動減圧機能）（2個）を使用するものとし、容量として、1個当たり定格主蒸気流量の約8%を処理するものとする。</p> <p>【大飯】</p>

灰色：女川2号炉の記載のうち、
BWR固有の設備や対応手段であり、
泊3号炉と比較対象とならない記載

赤字：設備、運用又は体制の相違（設計方針の相違）
青字：記載箇所又は記載内容の相違（記載方針の相違）
緑字：記載表現、設備名称の相違（実質的な相違なし）

7.1.8 格納容器バイパス

大飯発電所3／4号炉	高浜発電所3／4号炉	女川原子力発電所2号炉	泊発電所3号炉	相違理由
(添付資料2.8.5) iv. 主蒸気逃がし弁 2次冷却系 強制冷却として主蒸気逃がし弁4個を使用するものとし、容量は設計値として、各ループに設置している主蒸気逃がし弁1個当たり定格主蒸気流量(ループ当たり)の10%を処理するものとする。 v. 余熱除去系逃がし弁吹止まり圧力 余熱除去冷却器出口逃がし弁及び余熱除去ポンプ入口逃がし弁は、設計値にて閉止するものとする。 (c) 重大事故等対策に関する操作条件 運転員等操作に関する条件として、「1.3.5 運転員等の操作時間に対する仮定」に示す分類に従つて以下のとおり設定する。 i. 主蒸気逃がし弁の 開操作 による 2次冷却系 強制冷却は、事象の判断、 余熱除去系統 の隔離操作、主蒸気逃がし弁の開操作時間等を考慮して、非常用炉心冷却設備作動信号発信から25分後 <small>に開始するものとする。</small> ii. 補助給水ポンプによる蒸気発生器への注水流量を調整することで、蒸気発生器水位を狭域水位内に維持するものとする。 iii. 加圧器逃がし弁の開閉操作に係る以下の条件が成立すれば、1個の加圧器逃がし弁を開閉するも	(添付資料2.8.5) iv. 主蒸気逃がし弁 2次系 強制冷却として主蒸気逃がし弁3個を使用するものとし、容量は設計値として、各ループに設置している主蒸気逃がし弁1個当たり定格主蒸気流量(ループ当たり)の10%を処理するものとする。 v. 余熱除去系逃がし弁吹止まり圧力 余熱除去冷却器出口逃がし弁及び余熱除去ポンプ入口逃がし弁は、設計値にて閉止するものとする。 (c) 重大事故等対策に関する操作条件 運転員等操作に関する条件として、「1.3.5 運転員等の操作時間に対する仮定」に示す分類に従つて以下のとおり設定する。 i. 主蒸気逃がし弁の 開放 による 2次系 強制冷却は、事象の判断、 余熱除去系 の隔離操作、主蒸気逃がし弁の開操作時間等を考慮して、非常用炉心冷却設備作動信号発信から25分後に開始するものとする。 ii. 補助給水ポンプによる蒸気発生器への注水流量を調整することで、蒸気発生器水位を狭域水位内に維持するものとする。 iii. 加圧器逃がし弁の開閉操作に係る以下の条件が成立すれば、1個の加圧器逃がし弁を開閉す		(添付資料7.1.8.5) v. 主蒸気逃がし弁 2次冷却系 強制冷却として主蒸気逃がし弁3個を使用するものとし、容量は設計値として、各ループに設置している主蒸気逃がし弁1個当たり定格主蒸気流量(ループ当たり)の10%を処理するものとする。 vi. 余熱除去系逃がし弁吹止まり圧力 余熱除去冷却器出口逃がし弁及び余熱除去ポンプ入口逃がし弁は、設計値にて閉止するものとする。 (c) 重大事故等対策に関する操作条件 運転員等操作に関する条件として、「6.3.5 運転員等の操作時間に対する仮定」に示す分類に従つて以下のとおり設定する。 i. 主蒸気逃がし弁の 開操作 による 2次冷却系 強制冷却は、事象の判断、 余熱除去系統 の隔離操作、主蒸気逃がし弁の開操作時間等を考慮して、非常用炉心冷却設備作動信号発信から25分後 <small>に開始するものとする。</small> ii. 補助給水ポンプによる蒸気発生器への注水流量を調整することで、蒸気発生器水位を狭域水位内に維持するものとする。 iii. 加圧器逃がし弁の開閉操作に係る以下の条件が成立すれば、1個の加圧器逃がし弁を開閉す	設計の相違 【大飯】設計の相違

泊発電所3号炉 有効性評価 比較表

灰色：女川2号炉の記載のうち、
BWR固有の設備や対応手段であり、
泊3号炉と比較対象とならない記載

赤字：設備、運用又は体制の相違（設計方針の相違）
青字：記載箇所又は記載内容の相違（記載方針の相違）
緑字：記載表現、設備名称の相違（実質的な相違なし）

7.1.8 格納容器バイパス

大飯発電所3／4号炉	高浜発電所3／4号炉	女川原子力発電所2号炉	泊発電所3号炉	相違理由
<p>とする。</p> <p>(i) 非常用炉心冷却設備停止条件 成立前 イ. サブクール度 60°C以上で 開操作 ロ. サブクール度 40°C以下又 は加圧器水位 50%以上で閉操 作</p> <p>(ii) 非常用炉心冷却設備停止条件 成立後 イ. サブクール度 20°C以上で 開操作 ロ. サブクール度 10°C以下で 閉操作</p> <p>iv. 以下に示す非常用炉心冷却設備 停止条件が成立、又は原子炉ト リップ後2.5時間経過すれば、炉 心注水を高圧注入から充てん注 入に同時に切り替えるものとす る。</p> <p>(i) サブクール度 40°C以上</p>	<p>るものとする。</p> <p>(i) 非常用炉心冷却設備停止条 件成立前 イ. サブクール度 60°C以上で 開操作 ロ. サブクール度 40°C以下又 は加圧器水位 50%以上で閉操 作</p> <p>(ii) 非常用炉心冷却設備停止条 件成立後 イ. サブクール度 20°C以上で 開操作 ロ. サブクール度 10°C以下で 閉操作</p> <p>iv. 以下に示す非常用炉心冷却設 備停止条件が成立、又は原子炉 トリップ後1時間経過すれば、充 てん／高圧注入ポンプによる炉 心注水を、高圧注入から充てん 注入に切り替えるものとし、切 替えに2分の操作時間を考慮す るものとする。</p> <p>(i) サブクール度 40°C以上</p>	<p>境条件を考慮し、事象発生から4 時間20分後に開始するものと し、操作時間は40分間とする。 (添付資料 2.7.1)</p>	<p>るものとする。</p> <p>(i) 非常用炉心冷却設備停止条 件成立前 イ. サブクール度 60°C以上で 開操作 ロ. サブクール度 40°C以下又 は加圧器水位 50%以上で閉操 作</p> <p>(ii) 非常用炉心冷却設備停止条 件成立後 イ. サブクール度 20°C以上で 開操作 ロ. サブクール度 10°C以下で 閉操作</p> <p>iv. 以下に示す非常用炉心冷却設 備停止条件が成立、又は原子炉 トリップ後1時間経過すれば、 蓄圧タンクを隔離し、高圧注入 から充てん注入に同時に切り替 えるものとし、4分の操作時間 を考慮するものとする。</p> <p>(i) サブクール度 40°C以上</p>	<p>【大飯】 記載の相違 ・充てん注入により除熱可能な時間が大幅に遅い 【大飯、高浜】 解析条件の相違 ・泊では運転手順との整合を図り蓄圧タンク隔離後に充てんポンプによる注水に切り替えるが、大飯、高浜は充てん注入開始後に蓄圧タンクを隔離する条件としている（高浜 1/2号炉と同様） 【大飯、高浜】 記載表現の相違</p>

泊発電所3号炉 有効性評価 比較表

灰色：女川2号炉の記載のうち、
BWR固有の設備や対応手段であり、
泊3号炉と比較対象とならない記載

赤字：設備、運用又は体制の相違（設計方針の相違）
青字：記載箇所又は記載内容の相違（記載方針の相違）
緑字：記載表現、設備名称の相違（実質的な相違なし）

7.1.8 格納容器バイパス

大飯発電所3／4号炉	高浜発電所3／4号炉	女川原子力発電所2号炉	泊発電所3号炉	相違理由
<p>(ii) 加圧器水位50%以上</p> <p>(iii) 1次冷却材圧力が安定又は上昇、かつ蓄圧タンク不動作又は隔離中</p> <p>(iv) 蒸気発生器狭域水位下端以上又は電動補助給水ポンプ1台が設計流量以上で注水中</p> <p>【比較のため移動】</p> <p>vi. 運用上実際の操作では、充てんポンプによる充てん流量を調整することで、加圧器水位を計測範囲内に維持するが、漏えい側余熱除去ポンプ入口弁の閉止と同時に充てんポンプを停止するものとする。</p> <p>v. 以下に示す余熱除去運転条件が成立すれば、健全側余熱除去系による炉心冷却を開始するものとする。</p> <p>(i) 1次冷却材温度177°C以下 (ii) 1次冷却材圧力 2.7MPa[gage]以下</p> <p>b. 蒸気発生器伝熱管破損時に破損側蒸気発生器の隔離に失敗する事故</p> <p>(a) 事故条件</p> <p>i. 起因事象</p> <p>起因事象として、1基の蒸気発生器の伝熱管1本が瞬時に両端破断を起こすものとする。</p> <p>ii. 安全機能の喪失に対する仮定</p> <p>破損側蒸気発生器隔離失敗の想定として、原子炉トリップ後</p>	<p>(ii) 加圧器水位50%以上</p> <p>(iii) 1次冷却材圧力が安定又は上昇、かつ蓄圧タンク不動作又は隔離中</p> <p>(iv) 蒸気発生器狭域水位下端以上又は電動補助給水ポンプ1台の設計流量以上で注水中</p> <p>v. 運用上実際の操作では、充てん／高圧注入ポンプによる充てん流量を調整することで、加圧器水位を計測範囲内に維持するが、漏えい側余熱除去ポンプ入口弁の閉止と同時に充てん／高圧注入ポンプを停止するものとする。</p> <p>b. 蒸気発生器伝熱管破損時に破損側蒸気発生器の隔離に失敗する事故</p> <p>(a) 事故条件</p> <p>i. 起因事象</p> <p>起因事象として、1基の蒸気発生器の伝熱管1本が瞬時に両端破断を起こすものとする。</p> <p>ii. 安全機能の喪失に対する仮定</p> <p>破損側蒸気発生器隔離失敗の想定として、原子炉トリップ後</p>		<p>(ii) 加圧器水位50%以上で安定又は上昇中</p> <p>(iii) 1次冷却材圧力が安定又は上昇、かつ蓄圧タンク不動作又は隔離中</p> <p>(iv) 蒸気発生器狭域水位下端以上又は電動補助給水ポンプ1台の設計流量以上で注水中</p> <p>v. 充てんポンプによる充てん流量を調整することで、加圧器水位を計測範囲内に維持する。</p> <p>vi. 以下に示す余熱除去運転条件が成立すれば、健全側余熱除去設備による炉心冷却を開始するものとする。</p> <p>(i) 1次冷却材温度177°C未満 (ii) 1次冷却材圧力 2.7MPa[gage]以下</p> <p>b. 蒸気発生器伝熱管破損時に破損側蒸気発生器の隔離に失敗する事故</p> <p>(a) 事故条件</p> <p>i. 起因事象</p> <p>起因事象として、1基の蒸気発生器の伝熱管1本が瞬時に両端破断を起こすものとする。</p> <p>ii. 安全機能の喪失に対する仮定</p> <p>破損側蒸気発生器隔離失敗の想定として、原子炉トリップ後</p>	<p>【大飯、高浜】記載方針の相違</p> <p>・泊は上昇中も条件であること</p> <p>を明記（伊方と同様）</p> <p>【大飯、高浜】解析条件の相違</p> <p>・泊は解析と実際の操作が同一（伊方と同様）</p> <p>【高浜】設計上の相違</p> <p>・泊、大飯は余熱除去系1系統からの漏えいを想定しておらず、健全側の余熱除去系が使用可能</p>

泊発電所3号炉 有効性評価 比較表

灰色：女川2号炉の記載のうち、
BWR固有の設備や対応手段であり、
泊3号炉と比較対象とならない記載

赤字：設備、運用又は体制の相違（設計方針の相違）
青字：記載箇所又は記載内容の相違（記載方針の相違）
緑字：記載表現、設備名称の相違（実質的な相違なし）

7.1.8 格納容器バイパス

大飯発電所3／4号炉	高浜発電所3／4号炉	女川原子力発電所2号炉	泊発電所3号炉	相違理由
<p>に主蒸気逃がし弁が動作した時 点で、破損側蒸気発生器につな がる主蒸気安全弁1個が開固着 するものとする。</p> <p>iii. 外部電源</p> <p>外部電源はないものとする。 外部電源がない場合、常用系 機器の機能喪失及び工学的安全 施設の作動遅れの観点から、炉 心冷却上厳しくなる。</p>	<p>に主蒸気逃がし弁が作動した時 点で、破損側蒸気発生器につな がる主蒸気安全弁1個が開固着 するものとする。</p> <p>iii. 外部電源</p> <p>外部電源はないものとする。 外部電源がない場合、常用系 機器の機能喪失及び工学的安全 施設の作動遅れの観点から、炉 心冷却上厳しくなる。</p>		<p>に主蒸気逃がし弁が動作した時 点で、破損側蒸気発生器につな がる主蒸気安全弁1個が開固着 するものとする。</p> <p>iii. 外部電源</p> <p>外部電源なしの場合は、常用 系機器の機能喪失及び工学的安 全施設の作動遅れの観点で炉心 冷却上厳しくなることから、外 部電源は使用できないものと仮 定し、ディーゼル発電機によっ て給電を行うものとする。</p>	
(b) 重大事故等対策に関連する機器 条件	(b) 重大事故等対策に関連する機器 条件		(b) 重大事故等対策に関連する機器 条件	
<p>i. 高圧注入ポンプ</p> <p>炉心への注水は、高圧注入ボ ンプ2台を使用するものとし、 漏えい量を増加させる観点か ら、設計値に注入配管の流路抵 抗等を考慮した最大注入特性 (高圧注入特性 : 0m³/h ~ 約 360m³/h , 0 MPa[gage] ~ 約 15.8 MPa[gage]) を用いるものと する。</p>	<p>i. 充てん／高圧注入ポンプ</p> <p>炉心への注水は、充てん／高 圧注入ポンプ2台を使用するも のとし、漏えい量を増加させる 観点から、設計値に余裕を考慮 した最大注入特性 (高圧注入特 性 : 0m³/h ~ 約 220m³/h , 0 MPa[gage] ~ 約 19.4 MPa[gage]) を用いるものとする。</p>		<p>i. 原子炉トリップ信号</p> <p>原子炉トリップは、原子炉压 力低信号あるいは過大温度△T 高信号によるものとする。</p> <p>ii. 高圧注入ポンプ</p> <p>炉心への注水は、高圧注入ボ ンプ2台を使用するものとし、 漏えい量を増加させる観点か ら、設計値に注入配管の流路抵 抗等を考慮した最大注入特性 (高圧注入特性 : 0 m³/h ~ 約 350m³/h , 0 MPa[gage] ~ 約 15.7 MPa[gage]) を用いるものと する。</p>	【大飯、高浜】 記載表現の相違 (女 川実績の反映)
<p>ii. 補助給水ポンプ</p> <p>電動補助給水ポンプ2台及び タービン動補助給水ポンプ1台 が自動起動し、非常用炉心冷却 設備作動限界値到達の60秒後に</p>	<p>ii. 補助給水ポンプ</p> <p>電動補助給水ポンプ2台及び タービン動補助給水ポンプ1台 が自動起動し、解析上は非常用 炉心冷却設備作動限界値到達の</p>		<p>iii. 補助給水ポンプ</p> <p>電動補助給水ポンプ2台及び タービン動補助給水ポンプ1台 が自動起動し、非常用炉心冷却 設備作動限界値到達60秒後に3</p>	【大飯、高浜】 設計の相違

泊発電所3号炉 有効性評価 比較表

灰色：女川2号炉の記載のうち、
BWR固有の設備や対応手段であり、
泊3号炉と比較対象とならない記載

赤字：設備、運用又は体制の相違（設計方針の相違）
青字：記載箇所又は記載内容の相違（記載方針の相違）
緑字：記載表現、設備名称の相違（実質的な相違なし）

7.1.8 格納容器バイパス

大飯発電所3／4号炉	高浜発電所3／4号炉	女川原子力発電所2号炉	泊発電所3号炉	相違理由
<p>4基の蒸気発生器に合計 370m³/h の流量で注水するものとする。</p> <p>iii. 主蒸気逃がし弁 2次冷却系強制冷却のため、健全側蒸気発生器につながる主蒸気逃がし弁3個を使用するものとし、容量は設計値として、各ループに設置している主蒸気逃がし弁1個当たり定格主蒸気流量（ループ当たり）の10%を処理するものとする。</p> <p>(c) 重大事故等対策に関連する操作条件 運転員等操作に関する条件として、「1.3.5 運転員等の操作時間に対する仮定」に示す分類に従って以下のとおり設定する。</p> <p>i. 破損側蒸気発生器の隔離操作として、原子炉トリップから10分後に、破損側蒸気発生器につながるタービン動補助給水ポンプ駆動蒸気元弁の閉操作、破損側蒸気発生器への補助給水の停止操作及び破損側蒸気発生器につながる主蒸気隔離弁の閉操作を開始し、操作完了に約2分を要するものとする。</p> <p>ii. 健全側蒸気発生器につながる主蒸気逃がし弁の開操作は、破損側蒸気発生器隔離操作の完了時点で開始し、操作完了に1分を要するものとする。</p>	<p>60秒後に3基の蒸気発生器に合計 280m³/h の流量で注水するものとする。</p> <p>iii. 主蒸気逃がし弁 2次冷却系強制冷却のため、健全側の主蒸気逃がし弁2個を使用するものとし、容量は設計値として、各ループに設置している主蒸気逃がし弁1個当たり定格主蒸気流量（ループ当たり）の10%を処理するものとする。</p> <p>(c) 重大事故等対策に関連する操作条件 運転員等操作に関する条件として、「1.3(5) 運転員等の操作時間に対する仮定」に示す分類に従つて以下のとおり設定する。</p> <p>i. 破損側蒸気発生器の隔離操作として、原子炉トリップから10分後に、破損側蒸気発生器につながるタービン動補助給水ポンプ駆動蒸気元弁の閉止操作、破損側蒸気発生器への補助給水の停止操作及び破損側蒸気発生器につながる主蒸気隔離弁の閉止操作を開始し、操作完了に約2分を要するものとする。</p> <p>ii. 健全側の主蒸気逃がし弁の開操作は、破損側蒸気発生器隔離操作の完了時点で開始し、操作完了に1分を要するものとする。</p>		<p>基の蒸気発生器に合計 150m³/h の流量で注水するものとする。</p> <p>iv. 主蒸気逃がし弁 2次冷却系強制冷却のため、健全側蒸気発生器につながる主蒸気逃がし弁2個を使用するものとし、容量は設計値として、各ループに設置している主蒸気逃がし弁1個当たり定格主蒸気流量（ループ当たり）の10%を処理するものとする。</p> <p>(c) 重大事故等対策に関連する操作条件 運転員等操作に関する条件として、「6.3.5 運転員等の操作時間に対する仮定」に示す分類に従つて以下のとおり設定する。</p> <p>i. 破損側蒸気発生器の隔離操作として、原子炉トリップから10分後に、破損側蒸気発生器につながるタービン動補助給水ポンプ駆動蒸気元弁の閉操作、破損側蒸気発生器への補助給水の停止操作及び破損側蒸気発生器につながる主蒸気隔離弁の閉操作を開始し、操作完了に約2分を要するものとする。</p> <p>ii. 健全側蒸気発生器につながる主蒸気逃がし弁の開操作は、破損側蒸気発生器隔離操作の完了時点で開始し、操作完了に1分を要するものとする。</p>	<p>設計の相違 ・泊は指針を満足する範囲で設計の合理化を図ったためポンプ容量が小さい</p> <p>【大飯】 設計の相違</p>

泊発電所3号炉 有効性評価 比較表

灰色：女川2号炉の記載のうち、
BWR固有の設備や対応手段であり、
泊3号炉と比較対象とならない記載

赤字：設備、運用又は体制の相違（設計方針の相違）
青字：記載箇所又は記載内容の相違（記載方針の相違）
緑字：記載表現、設備名称の相違（実質的な相違なし）

7.1.8 格納容器バイパス

大飯発電所3／4号炉	高浜発電所3／4号炉	女川原子力発電所2号炉	泊発電所3号炉	相違理由
<p>iii. 補助給水ポンプによる蒸気発生器への注水流量を調整することで、蒸気発生器水位を狭域水位内に維持するものとする。</p> <p>iv. 加圧器逃がし弁の開閉操作に係る以下の条件が成立すれば、1個の加圧器逃がし弁を開閉するものとする。</p> <p>(i) 非常用炉心冷却設備停止条件成立前 イ. サブクール度 60°C以上で開操作 ロ. サブクール度 40°C以下又は加圧器水位 50%以上で閉操作</p> <p>(ii) 非常用炉心冷却設備停止条件成立後 イ. サブクール度 20°C以上で開操作 ロ. サブクール度 10°C以下で閉操作</p> <p>v. 以下に示す非常用炉心冷却設備停止条件が成立すれば、炉心注水を高圧注入から充てん注入に切り替えるものとし、切替えに2分の操作時間を考慮するものとする。</p> <p>(i) サブクール度 40°C以上 (ii) 加圧器水位 50%以上</p> <p>(iii) 1次冷却材圧力が安定又は上昇、かつ蓄圧タンク不動作又は隔離中</p> <p>(iv) 健全側蒸気発生器の狭域水位下端以上又は健全側蒸気発</p>	<p>iii. 補助給水ポンプによる蒸気発生器への注水流量を調整することで、蒸気発生器水位を狭域水位内に維持するものとする。</p> <p>iv. 加圧器逃がし弁の開閉操作に係る以下の条件が成立すれば、1個の加圧器逃がし弁を開閉するものとする。</p> <p>(i) 非常用炉心冷却設備停止条件成立前 イ. サブクール度 60°C以上で開操作 ロ. サブクール度 40°C以下又は加圧器水位 50%以上で閉操作</p> <p>(ii) 非常用炉心冷却設備停止条件成立後 イ. サブクール度 20°C以上で開操作 ロ. サブクール度 10°C以下で閉操作</p> <p>v. 以下に示す非常用炉心冷却設備停止条件が成立すれば、充てん／高圧注入ポンプによる炉心注水を、高圧注入から充てん注入に切り替えるものとし、切替えに2分の操作時間を考慮するものとする。</p> <p>(i) サブクール度 40°C以上 (ii) 加圧器水位 50%以上</p> <p>(iii) 1次冷却材圧力が安定又は上昇、かつ蓄圧タンク不動作又は隔離中</p> <p>(iv) 健全側の蒸気発生器狭域水位下端以上又は健全側蒸気発</p>		<p>iii. 補助給水ポンプによる蒸気発生器への注水流量を調整することで、蒸気発生器水位を狭域水位内に維持するものとする。</p> <p>iv. 加圧器逃がし弁の開閉操作に係る以下の条件が成立すれば、1個の加圧器逃がし弁を開閉するものとする。</p> <p>(i) 非常用炉心冷却設備停止条件成立前 イ. サブクール度 60°C以上で開操作 ロ. サブクール度 40°C以下又は加圧器水位 50%以上で閉操作</p> <p>(ii) 非常用炉心冷却設備停止条件成立後 イ. サブクール度 20°C以上で開操作 ロ. サブクール度 10°C以下で閉操作</p> <p>v. 以下に示す非常用炉心冷却設備停止条件が成立すれば、炉心注水を高圧注入から充てん注入に切り替えるものとし、切替えに2分の操作時間を考慮するものとする。</p> <p>(i) サブクール度 40°C以上 (ii) 加圧器水位 50%以上で安定又は上昇中</p> <p>(iii) 1次冷却材圧力が安定又は上昇、かつ蓄圧タンク不動作又は隔離中</p> <p>(iv) 健全側蒸気発生器の蒸気発生器狭域水位下端以上又は健</p>	<p>【高浜】記載表現の相違</p> <p>【大飯、高浜】記載方針の相違 ・泊は安定又は上昇中も条件であることを明記（伊方と同様）</p>

泊発電所3号炉 有効性評価 比較表

灰色：女川2号炉の記載のうち、
BWR固有の設備や対応手段であり、
泊3号炉と比較対象とならない記載

赤字：設備、運用又は体制の相違（設計方針の相違）
青字：記載箇所又は記載内容の相違（記載方針の相違）
緑字：記載表現、設備名称の相違（実質的な相違なし）

7.1.8 格納容器バイパス

大飯発電所3／4号炉	高浜発電所3／4号炉	女川原子力発電所2号炉	泊発電所3号炉	相違理由
<p>生器への電動補助給水ポンプ1台の設計流量以上で注水中</p> <p>vi. 充てんポンプによる充てん流量を調整することで、加圧器水位を計測範囲内に維持するものとする。</p> <p>vii. 以下に示す余熱除去運転条件が成立すれば、余熱除去系による炉心冷却を開始するものとする。</p> <p>(i) 1次冷却材温度 177°C 以下 (ii) 1次冷却材圧力 2.7MPa[gage]以下</p> <p>(3) 有効性評価の結果</p> <p>a. インターフェイスシステム LOCA インターフェイスシステム LOCA の事象進展を第 2.8.4 図に、1次冷却材圧力、1次冷却材温度、1次冷却系保有水量、燃料被覆管温度等の1次冷却系パラメータの推移を第 2.8.9 図から第 2.8.20 図、給水流量及び蒸気流量の2次冷却系パラメータの推移を第 2.8.21 図及び第 2.8.22 図に示す。</p>	<p>生器への電動補助給水ポンプ1台の設計流量以上で注水中</p> <p>vi. 充てん／高圧注入ポンプによる充てん流量を調整することで、加圧器水位を計測範囲内に維持するものとする。</p> <p>vii. 以下に示す余熱除去運転条件が成立すれば、余熱除去系による炉心冷却を開始するものとする。</p> <p>(i) 1次冷却材温度 177°C 以下 (ii) 1次冷却材圧力 2.7MPa[gage]以下</p> <p>(3) 有効性評価の結果</p> <p>a. インターフェイスシステム LOCA インターフェイスシステム LOCA の事象進展を第 2.8.1.4 図に、1次冷却材圧力、1次冷却材温度、1次系保有水量、燃料被覆管温度等の1次系パラメータの推移を第 2.8.2.1 図から第 2.8.2.12 図、給水流量及び蒸気流量の2次系パラメータの推移を第 2.8.2.13 図及び第 2.8.2.14 図に示す。</p>		<p>全側蒸気発生器への電動補助給水ポンプ1台の設計流量以上で注水中</p> <p>vi. 充てんポンプによる充てん流量を調整することで、加圧器水位を計測範囲内に維持するものとする。</p> <p>vii. 以下に示す余熱除去運転条件が成立すれば、余熱除去系による炉心冷却を開始するものとする。</p> <p>(i) 1次冷却材温度 177°C 未満 (ii) 1次冷却材圧力 2.7MPa[gage]以下</p> <p>(3) 有効性評価の結果</p> <p>a. インターフェイスシステム LOCA インターフェイスシステム LOCA の事象進展を第 7.1.8.4 図に、1次冷却材圧力、1次冷却材温度、1次冷却系保有水量、燃料被覆管温度等の1次冷却系パラメータの推移を第 7.1.8.9 図から第 7.1.8.20 図に、給水流量及び蒸気流量の2次冷却系パラメータの推移を第 7.1.8.21 図及び第 7.1.8.22 図に示す。</p>	
		<p>※2 炉心露出から再冠水の過程を示すという観点で、シラウド内の水位を示す。シラウド内は、炉心部から発生するボイドを含んだ二相水位を示して</p>		

灰色：女川2号炉の記載のうち、
BWR固有の設備や対応手段であり、
泊3号炉と比較対象とならない記載

赤字：設備、運用又は体制の相違（設計方針の相違）
青字：記載箇所又は記載内容の相違（記載方針の相違）
緑字：記載表現、設備名称の相違（実質的な相違なし）

7.1.8 格納容器バイパス

大飯発電所3／4号炉	高浜発電所3／4号炉	女川原子力発電所2号炉	泊発電所3号炉	相違理由
<p>(a) 事象進展</p> <p>事象発生後、余熱除去系統入口隔離弁の誤開または破損が発生した側の余熱除去系逃がし弁及び余熱除去系機器等からの漏えいにより1次冷却材圧力が低下することで、「原子炉圧力低」信号のトリップ限界値に到達し、原子炉は自動停止する。</p> <p>事象発生の約21秒後に「原子炉圧力低」信号の非常用炉心冷却設備作動限界値に到達した後、非常用炉心冷却設備が作動することにより、ほう酸水が炉心に注水される。また、補助給水ポンプが自動起動し、蒸気発生器への注水が開始される。</p> <p>事象発生の約11分後に1次冷却材圧力が余熱除去冷却器出口逃がし弁の吹止まり圧力まで低下するため、逃がし弁が閉止することで1次冷却系保有水量が回復する。</p>	<p>(a) 事象進展</p> <p>事象発生後、余熱除去系逃がし弁及び余熱除去系機器等からの漏えいにより1次冷却材圧力が低下することで、「原子炉圧力低」信号のトリップ限界値に到達し、原子炉は自動停止する。</p> <p>事象発生の約15秒後に「原子炉圧力異常低」信号の非常用炉心冷却設備作動限界値に到達した後、非常用炉心冷却設備が作動することにより、ほう酸水が炉心に注水される。また、補助給水ポンプが自動起動し、蒸気発生器への注水が開始される。</p> <p>事象発生の約7分後に1次冷却材圧力が余熱除去冷却器出口逃がし弁の吹止まり圧力まで低下するため、逃がし弁が閉止することで1次冷却系保有水量が回復する。</p>	<p>いるため、シラウド外の水位より、見かけ上高めの水位となる。一方、ECCSの起動信号となる原子炉水位計（広帯域）の水位及び運転員が炉心冠水状態において主に確認する原子炉水位計（広帯域・狭帯域）の水位は、シラウド外の水位であることから、シラウド内外の水位を併せて示す。なお、水位が有効燃料棒頂部付近となった場合には、原子炉水位計（燃料域）にて監視する。原子炉水位計（燃料域）は、シラウド内を計測している。</p> <p>a. 事象進展</p> <p>事象発生後に外部電源喪失となり、給水流量の全喪失が発生することで原子炉水位は急速に低下する。原子炉水位低（レベル3）信号が発生して原子炉はスクラムし、また、原子炉水位低（レベル2）で再循環ポンプ2台全てがトリップするとともに、原子炉隔離時冷却系が自動起動する。</p> <p>破断口から原子炉冷却材が流出することにより原子炉水位は低下するが、原子炉水位低（レベル2）で原子炉隔離時冷却系による原子炉注水を開始する。</p> <p>事象発生15分後の中央制御室における破断箇所の隔離に失敗するため、中央制御室からの遠隔操作によって逃がし安全弁（自動減圧機能）2個を手動開することで、原子炉を減圧し、原子炉冷却材の漏えいの抑制を図る。</p>	<p>(a) 事象進展</p> <p>事象発生後、余熱除去系統入口隔離弁の誤開又は破損が発生した側の余熱除去系逃がし弁及び余熱除去系機器等からの漏えいにより1次冷却材圧力が低下することで、「原子炉圧力低」信号のトリップ限界値に到達し、原子炉は自動停止する。</p> <p>事象発生の約26秒後に「原子炉圧力異常低」信号の非常用炉心冷却設備作動限界値に到達した後、非常用炉心冷却設備が作動することにより、ほう酸水が炉心に注水される。また、補助給水ポンプが自動起動し、蒸気発生器への注水が開始される。</p> <p>事象発生の約16分後に1次冷却材圧力が余熱除去冷却器出口逃がし弁の吹止まり圧力まで低下するため、逃がし弁が閉止することで1次冷却系保有水量が回復する。</p>	<p>【大飯、高浜】 解析条件の相違</p> <p>【大飯、高浜】 解析結果の相違</p> <p>【大飯、高浜】 解析結果の相違</p>

泊発電所3号炉 有効性評価 比較表

灰色：女川2号炉の記載のうち、
BWR固有の設備や対応手段であり、
泊3号炉と比較対象とならない記載

赤字：設備、運用又は体制の相違（設計方針の相違）
青字：記載箇所又は記載内容の相違（記載方針の相違）
緑字：記載表現、設備名称の相違（実質的な相違なし）

7.1.8 格納容器バイパス

大飯発電所3／4号炉	高浜発電所3／4号炉	女川原子力発電所2号炉	泊発電所3号炉	相違理由
<p>事象発生の約25分後に主蒸気逃がし弁の開操作による2次冷却系強制冷却を開始するとともに、1次冷却系からの漏えい量抑制のため、事象発生の約63分後に炉心注水を高圧注入から充てん注入へ切替えを実施する。また、事象発生の約63分後に健全側余熱除去系による炉心冷却を開始する。</p> <p>その後、漏えい側の余熱除去ポンプ入口弁（ツインパワー弁）を閉止することで漏えいは停止する。</p> <p>(添付資料2.8.6)</p>	<p>事象発生の約25分後に主蒸気逃がし弁の開放による2次系強制冷却を開始するとともに、1次系からの漏えい量抑制のため、事象発生の約62分後に充てん／高圧注入ポンプによる炉心注水について、高圧注入から充てん注入への切替えを実施する。</p> <p>その後、余熱除去ポンプ入口弁（ツインパワー弁）を閉止することで漏えいは停止する。</p> <p>(添付資料2.8.6)</p>	<p>原子炉減圧により、原子炉隔離時冷却系が機能喪失するとともに、原子炉冷却材の流出により原子炉水位は低下し、有効燃料棒頂部を下回るが、低圧炉心スプレイ系及び残留熱除去系（低圧注水モード）による原子炉注水を開始すると原子炉水位が回復し、炉心は再冠水する。また、主蒸気隔離弁は、原子炉水位低（レベル2）で全閉する。</p> <p>事象発生5時間後、現場操作により高圧炉心スプレイ系の破断箇所を隔離した後は、低圧炉心スプレイ系及び残留熱除去系（低圧注水モード）により原子炉水位は適切に維持される。</p> <p>燃料被覆管最高温度発生位置のボイド率は、原子炉減圧により、原子炉水位が低下し、炉心が露出することから上昇する。その結果、燃料被覆管の伝熱様式は核沸騰冷却から噴霧流冷却となり熱伝達係数は低下する。その後、低圧炉心スプレイ系及び残留熱除去系（低圧注水モード）による原子炉注水により、燃料の露出と冠水を繰り返すため、燃料被覆管最高温度発生位置のボイド率及び熱伝達係数が増減する。炉心が再冠水すると、ボイド率が低下し、熱伝達係数が上昇することから、燃料被覆管温度は低下する。</p> <p>高出力燃料集合体及び炉心下部プレナム部のボイド率については、原子炉減圧により増加する。</p>	<p>事象発生の約25分後に主蒸気逃がし弁の開操作による2次冷却系強制冷却を開始するとともに、1次冷却系からの漏えい量抑制のため、事象発生の約60分後に炉心注水を高圧注入から充てん注入へ切替えを実施する。また、事象発生の約64分後に健全側余熱除去系による炉心冷却を開始する。</p> <p>その後、漏えい側の余熱除去ポンプの入口弁（ツインパワー弁）を閉止することで漏えいは停止する。</p> <p>(添付資料7.1.8.6)</p>	<p>【大飯、高浜】 解析結果の相違 【高浜】 設けの相違 ・泊、大飯は余熱除去系の1系統漏えいを想定するため、健全側余熱除去系による冷却を実施</p>

泊発電所3号炉 有効性評価 比較表

灰色：女川2号炉の記載のうち、
BWR固有の設備や対応手段であり、
泊3号炉と比較対象とならない記載

赤字：設備、運用又は体制の相違（設計方針の相違）
青字：記載箇所又は記載内容の相違（記載方針の相違）
緑字：記載表現、設備名称の相違（実質的な相違なし）

7.1.8 格納容器バイパス

大飯発電所3／4号炉	高浜発電所3／4号炉	女川原子力発電所2号炉	泊発電所3号炉	相違理由
<p>(b) 評価項目等</p> <p>燃料被覆管温度は第2.8.20図に示すとおり、炉心が冠水状態にあることから初期値（約390°C）以下にとどまり、1,200°C以下となる。当該温度条件では、燃料被覆管の酸化反応は著しくならない。</p> <p>1次冷却材圧力は第2.8.9図に示すとおり、初期値（約15.9MPa[gage]）以下となる。このため、原子炉冷却材圧力バウンダリにかかる圧力は約16.3MPa[gage]にとどまり、最高使用圧力の1.2倍（20.59MPa[gage]）を下回る。</p>	<p>(b) 評価項目等</p> <p>燃料被覆管温度は第2.8.2.12図に示すとおり、炉心が冠水状態にあることから初期値（約380°C）以下にとどまり、1,200°C以下となる。当該温度条件では、燃料被覆管の酸化反応は著しくならない。</p> <p>1次冷却材圧力は第2.8.2.1図に示すとおり、初期値（約15.9MPa[gage]）以下となる。このため、原子炉冷却材圧力バウンダリにかかる圧力は約16.2MPa[gage]にとどまり、最高使用圧力の1.2倍（20.59MPa[gage]）を下回る。</p>	<p>また、低圧炉心スプレイ系及び残留熱除去系（低圧注水モード）による原子炉注水が継続され、その原子炉圧力変化により増減する。その後は、残留熱除去系による原子炉圧力容器及び格納容器除熱手順に従い、冷温停止状態に移行することができる。</p> <p>b. 評価項目等</p> <p>燃料被覆管の最高温度は、第2.7.13図に示すとおり、原子炉水位が回復するまでの間に炉心が一時的に露出するため燃料被覆管の温度が上昇し、約357°Cに到達するが、1,200°C以下となる。燃料被覆管の最高温度は、高出力燃料集合体にて発生している。また、燃料被覆管の酸化量は酸化反応が著しくなる前の燃料被覆管厚さの1%以下であり、15%以下となる。</p> <p>原子炉圧力は、第2.7.7図に示すとおり、逃がし安全弁（逃がし弁機能）の作動により、約7.38MPa[gage]以下に抑えられる。原子炉冷却材圧力バウンダリにかかる圧力は、原子炉圧力と原子炉圧力容器底部圧力との差（高々約0.3MPa）を考慮しても、</p>	<p>原子炉格納容器内の余熱除去ポンプ入口逃がし弁の動作により、加圧器逃がしタンクから原子炉格納容器内に漏えいした1次冷却材による原子炉格納容器圧力及び温度の上昇はわずかであるが、原子炉格納容器の圧力が上昇した場合は原子炉格納容器スプレイ作動信号により、原子炉格納容器スプレイ設備による原子炉格納容器除熱を行う。</p> <p>(b) 評価項目等</p> <p>燃料被覆管の最高温度は第7.1.8.20図に示すとおり、炉心は冠水状態にあることから初期値（約380°C）を上回ることなく、1,200°C以下となる。また、燃料被覆管の酸化量は酸化反応が著しくなる前の燃料被覆管厚さの1%以下であり、15%以下となる。</p> <p>1次冷却材圧力は第7.1.8.9図に示すとおり、初期値（約15.9MPa[gage]）以下となる。このため、原子炉冷却材圧力バウンダリにかかる圧力は、1次冷却材圧力と1次冷却材ポンプ吐出部との差（高々約0.3MPa）を考慮しても、約16.2MPa[gage]以下であり、最</p>	<p>【大飯、高浜】 記載方針の相違（女川実績の反映） ・原子炉格納容器の事象進展に関する記載</p> <p>【大飯】 解析結果の相違</p> <p>【大飯、高浜】 記載方針の相違（女川実績の反映）</p> <p>【大飯、高浜】 記載方針の相違（女川実績の反映）</p>

灰色：女川2号炉の記載のうち、
BWR固有の設備や対応手段であり、
泊3号炉と比較対象とならない記載

赤字：設備、運用又は体制の相違（設計方針の相違）
青字：記載箇所又は記載内容の相違（記載方針の相違）
緑字：記載表現、設備名称の相違（実質的な相違なし）

7.1.8 格納容器バイパス

大飯発電所3／4号炉	高浜発電所3／4号炉	女川原子力発電所2号炉	泊発電所3号炉	相違理由
<p>また、原子炉格納容器内の余熱除去ポンプ入口逃がし弁の動作により、加圧器逃がしタンクから原子炉格納容器内に漏えいした1次冷却材による原子炉格納容器圧力及び温度の上昇はわずかである。なお、格納容器スプレイ設備の作動に至った場合、格納容器スプレイ設備の性能は、原子炉設置許可申請書添付書類十「3.5.1 原子炉冷却材喪失」における1次冷却材管の完全両端破断を仮定した解析で評価しており、この場合でも原子炉格納容器圧力及び温度の最高値はそれぞれ約 0.308MPa[gage]及び約 132°Cにとどまる。このため、本事象においても原子炉格納容器の最高使用圧力(0.39MPa[gage])及び最高使用温度(144°C)を下回る。</p> <p>第2.8.9図及び第2.8.10図に示すように、事象発生の8時間後においても1次冷却材圧力及び温度は整定しており、炉心は安定して冷却されている。その後、事象発生の約9.8時間後に低温停止状態に到達し、安定停止状態に至る。さらに健全側余熱除去系による除</p>	<p>また、原子炉格納容器内の余熱除去ポンプ入口逃がし弁の動作により、加圧器逃がしタンクから原子炉格納容器内に漏えいした1次冷却材による原子炉格納容器圧力及び温度の上昇はわずかである。なお、格納容器スプレイ設備の作動に至った場合、格納容器スプレイ設備の性能は、設計基準事故「原子炉冷却材喪失」における1次冷却材管の完全両端破断を仮定した解析で評価しており、この場合でも原子炉格納容器圧力及び温度の最高値はそれぞれ約 0.249MPa[gage]及び約125°Cにとどまる。このため、本事象においても原子炉格納容器の最高使用圧力(0.283MPa[gage])及び最高使用温度(132°C)を下回る。</p> <p>第2.8.2.1図及び第2.8.2.2図に示すように、事象発生の8時間後においても1次冷却材圧力及び温度は整定しており、炉心は安定して冷却されている。その後は、主蒸気逃がし弁を用いた蒸気発生器による除熱を継続することにより、事象発生の約433時間後に低</p>	<p>約 7.68MPa[gage]以下であり、最高使用圧力の1.2倍(10.34MPa[gage])を下回る。</p> <p>原子炉格納容器バウンダリにかかる圧力及び温度は、原子炉減圧及び破断箇所隔離後の格納容器内への蒸気流入により上昇する。一方、原子炉格納容器バウンダリにかかる圧力及び温度が最も高くなる設計基準事故である「原子炉格納容器内圧力、雰囲気等の異常な変化」の「原子炉冷却材喪失」においては、インターフェイスシステムLOCAとは異なり、事象開始から格納容器内に原子炉冷却材が流出し続ける事故を想定し解析しており、この場合でも原子炉格納容器バウンダリにかかる圧力及び温度の最大値は、約 0.33MPa[gage]及び約 146°Cにとどまる。このため、本事象においても原子炉格納容器バウンダリにかかる圧力及び温度は、格納容器の限界圧力及び限界温度を下回る。</p> <p>中央制御室からの遠隔操作による高圧炉心スプレイ系の破断箇所隔離には失敗するが、逃がし安全弁（自動減圧機能）による原子炉減圧を実施し破断箇所からの原子炉冷却材の漏えい抑制を図り、低圧炉心スプレイ系及び残留熱除去系（低圧注水モード）による原子</p>	<p>高 使用 圧 力 の 1.2 倍 (20.592MPa[gage])を十分下回る。</p> <p>また、原子炉格納容器内の余熱除去ポンプ入口逃がし弁の動作により、加圧器逃がしタンクから原子炉格納容器内に漏えいした1次冷却材による原子炉格納容器圧力及び温度の上昇はわずかである。なお、原子炉格納容器スプレイ設備の作動に至った場合、原子炉格納容器スプレイ設備の性能は、原子炉設置許可申請書添付書類十「3.5.1 原子炉冷却材喪失」における1次冷却材管の完全両端破断を仮定した解析で評価しており、この場合でも原子炉格納容器バウンダリにかかる圧力及び温度の最高値はそれぞれ約 0.241MPa[gage]及び約 124°Cにとどまる。このため、本事象においても原子炉格納容器バウンダリにかかる圧力及び温度は、原子炉格納容器最高使用圧力(0.283MPa[gage])及び最高使用温度(132°C)を下回る。</p> <p>第7.1.8.9図及び第7.1.8.10図に示すように、事象発生の120分時点においても1次冷却材圧力及び温度は低下傾向を示していることから、炉心は安定して冷却されている。その後は、余熱除去系による炉心冷却を継続することにより、事象発生の約20時間後に低温</p>	<p>設計の相違 【大飯、高浜】 記載方針の相違 ・泊は既許可の設置変更許可申請書記載箇所の桁数が多い</p> <p>【高浜】 記載表現の相違</p> <p>【大飯、高浜】 解析結果の相違 ・既許可添付十の解析結果の相違 【大飯】 設計の相違</p> <p>【大飯、高浜】 解析結果の相違 ・泊は安定状態を確認できる120分までの解析としている（伊方と同様） 【高浜】</p>

泊発電所 3 号炉 有効性評価 比較表

灰色：女川 2 号炉の記載のうち、
BWR 固有の設備や対応手段であり、
泊 3 号炉と比較対象とならない記載

赤字：設備、運用又は体制の相違（設計方針の相違）
青字：記載箇所又は記載内容の相違（記載方針の相違）
緑字：記載表現、設備名称の相違（実質的な相違なし）

7.1.8 格納容器バイパス

大飯発電所 3／4 号炉	高浜発電所 3／4 号炉	女川原子力発電所 2 号炉	泊発電所 3 号炉	相違理由
熱を継続することにより、安定停止状態を維持できる。 (添付資料 2.8.7)	温停止状態に到達し、安定停止状態に至る。さらに、主蒸気逃がし弁を用いた蒸気発生器による除熱を継続することにより、安定停止状態を維持できる。 (添付資料 2.8.7)	炉注水を継続することで、炉心の冷却が維持される。その後は、現場操作にて高压炉心スプレイ系の破断箇所を隔離し、低压炉心スプレイ系及び残留熱除去系（低压注水モード）による原子炉注水並びに残留熱除去系（サブレッシュ・プール水冷却モード）による格納容器除熱を開始することで安定状態が確立し、また、安定状態を維持できる。 (添付資料 2.7.2) 本評価では、「1.2.1.2 有効性を確認するための評価項目の設定」に示す(1)から(4)の評価項目について、対策の有効性を確認した。	停止状態に到達し、安定停止状態に至る。その後も健全側余熱除去系による除熱を継続することで安定状態が確立し、また、安定状態を維持できる。 (添付資料 7.1.8.7) 本評価では、「6.2.1.2 有効性を確認するための評価項目の設定」に示す(1)から(4)の評価項目について、対策の有効性を確認した。	設計の相違 ・泊、大飯は余熱除去系 1 系統漏えいのため健全側の余熱除去系が使用可能 【大飯、高浜】 記載方針の相違（女川実績の反映） 【大飯、高浜】 記載方針の相違（女川実績の反映）

泊発電所3号炉 有効性評価 比較表

灰色：女川2号炉の記載のうち、
BWR固有の設備や対応手段であり、
泊3号炉と比較対象とならない記載

赤字：設備、運用又は体制の相違（設計方針の相違）
青字：記載箇所又は記載内容の相違（記載方針の相違）
緑字：記載表現、設備名称の相違（実質的な相違なし）

7.1.8 格納容器バイパス

大飯発電所3／4号炉	高浜発電所3／4号炉	女川原子力発電所2号炉	泊発電所3号炉	相違理由
<p>b. 蒸気発生器伝熱管破損時に破損側蒸気発生器の隔離に失敗する事故 蒸気発生器伝熱管破損時に破損側蒸気発生器の隔離に失敗する事故の事象進展を第2.8.6図に、1次冷却材圧力、1次冷却材温度、1次冷却系保有水量、燃料被覆管温度等の1次冷却系パラメータの推移を第2.8.23図から第2.8.32図に、蒸気発生器水位、蒸気流量等の2次冷却系パラメータの推移を第2.8.33図から第2.8.35図に示す。</p> <p>(a) 事象進展 事象発生後、破断した伝熱管を通じて1次冷却材が蒸気発生器2次側に流出することで1次冷却材圧力が低下し、事象発生の約5分後に「過大温度△T高」信号のトリップ限界値に到達し、原子炉は自動停止する。</p> <p>事象発生の約6分後の主蒸気逃がし弁作動と同時に破損側蒸気発生器につながる主蒸気安全弁開閉着を仮定しているため、1次冷却材温度及び圧力が低下することで、事象発生の約8分後に「原子炉圧力低」信号の非常用炉心冷却設備作動限界値に到達した後、非常用炉心冷却設備が作動することにより、ほう酸水が炉心に注水されることで1次冷却系保有水量が上昇に転じる。また、補助給水泵が自動起動し、蒸気発生器へ</p>	<p>b. 蒸気発生器伝熱管破損時に破損側蒸気発生器の隔離に失敗する事故 蒸気発生器伝熱管破損時に破損側蒸気発生器の隔離に失敗する事故の事象進展を第2.8.1.6図に、1, 2次系圧力、1次冷却材温度、1次系保有水量、燃料被覆管温度等の1次系パラメータの推移を第2.8.2.15図から第2.8.2.24図に、蒸気発生器水位、蒸気流量等の2次系パラメータの推移を第2.8.2.25図から第2.8.2.27図に示す。</p> <p>(a) 事象進展 事象発生後、破断した伝熱管を通じて1次冷却材が蒸気発生器2次側に流出することで1次冷却材圧力が低下し、事象発生の約6分後に「過大温度△T高」信号のトリップ限界値に到達し、原子炉は自動停止する。</p> <p>事象発生の約6分後の主蒸気逃がし弁作動と同時に破損側ループの主蒸気安全弁開閉着を仮定しているため、1次冷却材温度及び圧力が低下することで、事象発生の約7分後に「原子炉圧力低と加压器水位低の一一致」信号の非常用炉心冷却設備作動限界値に到達した後、非常用炉心冷却設備が作動することにより、ほう酸水が炉心に注水されることで1次系保有水量が上昇に転じる。また、補助給水泵が自動起動し、蒸気発生器</p>		<p>b. 蒸気発生器伝熱管破損時に破損側蒸気発生器の隔離に失敗する事故 蒸気発生器伝熱管破損時に破損側蒸気発生器の隔離に失敗する事故の事象進展を第7.1.8.6図に、1次冷却材圧力、1次冷却材温度、1次冷却系保有水量、燃料被覆管温度等の1次冷却系パラメータの推移を第7.1.8.23図から第7.1.8.32図に、蒸気発生器水位、蒸気流量等の2次冷却系パラメータの推移を第7.1.8.33図から第7.1.8.35図に示す。</p> <p>(a) 事象進展 事象発生後、破断した伝熱管を通じて1次冷却材が蒸気発生器2次側に流出することで1次冷却材圧力が低下し、事象発生の約10分後に「原子炉圧力低」信号のトリップ限界値に到達し、原子炉は自動停止する。</p> <p>事象発生の約10分後の主蒸気逃がし弁作動と同時に破損側蒸気発生器につながる主蒸気安全弁開閉着を仮定しているため、1次冷却材温度及び圧力が低下することで、事象発生の約10分後に「原子炉圧力低と加压器水位低の一一致」信号の非常用炉心冷却設備作動限界値に到達した後、非常用炉心冷却設備が作動することにより、ほう酸水が炉心に注水されることで1次冷却系保有水量が増加に転じる。また、補助給水泵が自動</p>	<p>【大飯、高浜】 解析結果の相違 ・過大温度△T 保護限界値の設定の相違 原子炉圧力高で原子炉トリップするの は伊方と同様） 【大飯、高浜】 解析結果の相違 【高浜】 記載表現の相違 【大飯、高浜】 解析結果の相違</p>

泊発電所 3 号炉 有効性評価 比較表

灰色：女川 2 号炉の記載のうち、
BWR 固有の設備や対応手段であり、
泊 3 号炉と比較対象とならない記載

赤字：設備、運用又は体制の相違（設計方針の相違）
青字：記載箇所又は記載内容の相違（記載方針の相違）
緑字：記載表現、設備名称の相違（実質的な相違なし）

7.1.8 格納容器バイパス

大飯発電所 3／4 号炉	高浜発電所 3／4 号炉	女川原子力発電所 2 号炉	泊発電所 3 号炉	相違理由
<p>の注水が開始される。</p> <p>原子炉トリップの 10 分後に破損側蒸気発生器の隔離操作を開始し、その約 2 分後に隔離操作を完了する。さらに、破損側蒸気発生器の隔離操作を完了した時点から健全側蒸気発生器につながる主蒸気逃がし弁の開操作を開始し、1 分後に完了する。</p> <p>加圧器水位の回復と 1 次冷却系からの漏えい量低減のため、事象発生の約 27 分後に加圧器逃がし弁による 1 次冷却系の減圧を実施し、事象発生の約 36 分後に炉心注水を高圧注入から充てん注入へ切替えを実施する。その後、事象発生の約 2.3 時間後に余熱除去系による冷却を開始することにより、1 次冷却材圧力は低下し、1 次冷却材圧力と破損側蒸気発生器の 2 次側圧力が平衡になった時点で、1 次冷却材の 2 次冷却系への漏えいは停止する。</p>	<p>への注水が開始される。</p> <p>原子炉トリップの 10 分後に破損側蒸気発生器の隔離操作を開始した後、その約 2 分後に隔離操作を完了する。さらに、破損側蒸気発生器の隔離操作を完了した時点から健全側主蒸気逃がし弁の開操作を開始し、1 分後に完了する。</p> <p>加圧器水位の回復と 1 次系からの漏えい量低減のため、事象発生の約 31 分後に加圧器逃がし弁による 1 次系の減圧を実施し、事象発生の約 47 分後に充てん／高圧注入ポンプによる炉心注水について、高圧注入から充てん注入への切替えを実施する。その後、事象発生の約 2.2 時間後に余熱除去系による冷却を開始することにより、1 次冷却材圧力は低下し、1 次冷却材圧力と破損側蒸気発生器の 2 次側圧力が平衡になった時点で、1 次冷却材の 2 次冷却系への漏えいは停止する。</p>		<p>起動し、蒸気発生器への注水が開始される。</p> <p>原子炉トリップの 10 分後に破損側蒸気発生器の隔離操作を開始し、その約 2 分後に隔離操作を完了する。さらに、破損側蒸気発生器の隔離操作を完了した時点から健全側蒸気発生器につながる主蒸気逃がし弁の開操作を開始し、1 分後に完了する。</p> <p>加圧器水位の回復と 1 次冷却系からの漏えい量低減のため、事象発生の約 30 分後に加圧器逃がし弁による 1 次冷却系の減圧を実施し、事象発生の約 37 分後に炉心注水を高圧注入から充てん注入へ切替えを実施する。その後、事象発生の約 2.0 時間後に余熱除去系による冷却を開始することにより、1 次冷却材圧力は低下し、1 次冷却材圧力と破損側蒸気発生器の 2 次側圧力が平衡になった時点で、1 次冷却材の 2 次冷却系への漏えいは停止する。</p> <p>加圧器逃がし弁の開閉操作により、加圧器逃がしタンクから原子炉格納容器内に漏えいした 1 次冷却材による原子炉格納容器圧力及び温度の上昇はわずかであるが、原子炉格納容器の圧力が上昇した場合は原子炉格納容器スプレイ作動信号により、原子炉格納容器スプレイ設備による原子炉格納容器除熱を行う。</p>	<p>【高浜】 記載表現の相違</p> <p>【大飯、高浜】 解析結果の相違</p> <p>【大飯、高浜】 記載方針の相違（女川実績の反映） ・原子炉格納容器の事象進展に関しても記載</p> <p>【高浜】</p>

(添付資料 2.8.6、2.8.17)

(添付資料 2.8.6)

(添付資料 7.1.8.6、7.1.8.15) 【高浜】

灰色：女川2号炉の記載のうち、
BWR固有の設備や対応手段であり、
泊3号炉と比較対象とならない記載

赤字：設備、運用又は体制の相違（設計方針の相違）
青字：記載箇所又は記載内容の相違（記載方針の相違）
緑字：記載表現、設備名称の相違（実質的な相違なし）

7.1.8 格納容器バイパス

大飯発電所3／4号炉	高浜発電所3／4号炉	女川原子力発電所2号炉	泊発電所3号炉	相違理由
<p>(b) 評価項目等 燃料被覆管温度は第2.8.32図に示すとおり、炉心は冠水状態にあることから初期値（約350°C）以下にとどまり、1,200°C以下となる。当該温度条件では、燃料被覆管の酸化反応は著しくならない。</p> <p>1次冷却材圧力は第2.8.23図に示すとおり、初期値（約15.7MPa[gage]）以下となる。このため、原子炉冷却材圧力バウンダリにかかる圧力は約16.3MPa[gage]にとどまり、最高使用圧力の1.2倍（20.59MPa[gage]）を下回る。</p> <p>また、加圧器逃がし弁の開閉操作により、加圧器逃がしタンクから原子炉格納容器内に漏えいした1次冷却材による原子炉格納容器圧力及び温度の上昇はわずかである。なお、格納容器スプレイ設備の作動に至った場合、格納容器スプレイ設備の性能は、原子炉設置</p>	<p>(b) 評価項目等 燃料被覆管温度は第2.8.2.24図に示すとおり、炉心は冠水状態にあることから初期値（約340°C）以下にとどまり、1,200°C以下となる。当該温度条件では、燃料被覆管の酸化反応は著しくならない。</p> <p>1次冷却材圧力は第2.8.2.15図に示すとおり、初期値（約15.7MPa[gage]）以下となる。このため、原子炉冷却材圧力バウンダリにかかる圧力は約16.2MPa[gage]にとどまり、最高使用圧力の1.2倍（20.59MPa[gage]）を下回る。</p> <p>また、加圧器逃がし弁の開閉操作により、加圧器逃がしタンクから原子炉格納容器内に漏えいした1次冷却材による原子炉格納容器圧力及び温度の上昇はわずかである。なお、格納容器スプレイ設備の作動に至った場合、格納容器スプレイ設備の性能は、設計基準事</p>	<p>【評価項目等のみ再掲】</p> <p>b. 評価項目等 燃料被覆管の最高温度は、第2.7.13図に示すとおり、原子炉水位が回復するまでの間に炉心が一時的に露出するため燃料被覆管の温度が上昇し、約357°Cに到達するが、1,200°C以下となる。燃料被覆管の最高温度は、高出力燃料集合体にて発生している。また、燃料被覆管の酸化量は酸化反応が著しくなる前の燃料被覆管厚さの1%以下であり、15%以下となる。 原子炉圧力は、第2.7.7図に示すとおり、逃がし安全弁（逃がし弁機能）の作動により、約7.38MPa[gage]以下に抑えられる。原子炉冷却材圧力バウンダリにかかる圧力は、原子炉圧力と原子炉圧力容器底部圧力との差（高々約0.3MPa）を考慮しても、約7.68MPa[gage]以下であり、最高使用圧力の1.2倍（10.34MPa[gage]）を下回る。</p> <p>原子炉格納容器バウンダリにかかる圧力及び温度は、原子炉減圧及び破断箇所隔離後の格納容器内の蒸気流入により上昇する。一方、原子炉格納容器バウンダリにかかる圧力及び温度が最も高くなる設計基準事故である「原子炉格納容器内圧力、雰囲気等の異常な</p>	<p>(b) 評価項目等 燃料被覆管の最高温度は第7.1.8.32図に示すとおり、炉心は冠水状態にあることから初期値（約350°C）を上回ることなく、1,200°C以下となる。また、燃料被覆管の酸化量は酸化反応が著しくなる前の燃料被覆管厚さの1%以下であり、15%以下となる。</p> <p>1次冷却材圧力は第7.1.8.23図に示すとおり、初期値（約15.7MPa[gage]）以下となる。このため、原子炉冷却材圧力バウンダリにかかる圧力は、1次冷却材圧力と1次冷却材ポンプ吐出部との差（高々約0.5MPa）を考慮しても、約16.2MPa[gage]以下であり、最高使用圧力の1.2倍（20.59MPa[gage]）を十分下回る。</p> <p>また、加圧器逃がし弁の開閉操作により、加圧器逃がしタンクから原子炉格納容器内に漏えいした1次冷却材による原子炉格納容器圧力及び温度の上昇はわずかである。なお、原子炉格納容器スプレイ設備の作動に至った場合、原子炉格納容器スプレイ設備の性能は、【高浜】 解説結果の相違 【大飯、高浜】 記載方針の相違（女川実績の反映）</p>	<p>源付資料の相違</p> <p>【高浜】 解説結果の相違 【大飯、高浜】 記載方針の相違（女川実績の反映）</p> <p>【大飯】 記載方針の相違 【大飯】 記載方針の相違 ・泊は既許可の設置 変更許可申請書記載 値の桁数が多い</p> <p>【高浜】</p>

泊発電所 3号炉 有効性評価 比較表

灰色：女川2号炉の記載のうち、
BWR固有の設備や対応手段であり、
泊3号炉と比較対象とならない記載

赤字: 設備、運用又は体制の相違（設計方針の相違）
青字: 記載箇所又は記載内容の相違（記載方針の相違）
緑字: 記載表現、設備名称の相違（実質的な相違なし）

7.1.8 格納容器バイパス

大飯発電所3／4号炉	高浜発電所3／4号炉	女川原子力発電所2号炉	泊発電所3号炉	相違理由
<p>許可申請書添付書類十「3.5.1 原子炉冷却材喪失」における1次冷却材管の完全両端破断を仮定した解析で評価しており、この場合でも原子炉格納容器圧力及び温度の最高値はそれぞれ約0.308MPa[gage]及び約132°Cにとどまる。このため本事象においても原子炉格納容器最高使用圧力(0.39MPa[gage])及び最高使用温度(144°C)を下回る。</p> <p>第2.8.23図及び第2.8.24図に示すように、事象発生の約4.0時間後においても1次冷却材圧力及び温度は低下傾向を示していることから、炉心は安定して冷却されている。その後は、余熱除去系の運転を継続することにより、事象発生の約4.5時間後に低温停止状態に到達し、安定停止状態に至る。さらに、余熱除去系の運転を継続することにより、安定停止状態を維持できる。また、余熱除去系が使用不能の場合においても、充てんポンプ及び加圧器逃がし弁を用いた充てん系によるフィードアンドブリード及び格納容器スプレイポンプによる代替再循環を行うことにより、事象発生の約46時間後に低温停止状態に到達し、安定停止状態に至る。その後も格納容器スプレイポンプによる代替再循環運転を継続することにより、</p>	<p>故「原子炉冷却材喪失」における1次冷却材管の完全両端破断を仮定した解析で評価しており、この場合でも原子炉格納容器圧力及び温度の最高値はそれぞれ約0.249MPa[gage]及び約125°Cにとどまる。このため本事象においても原子炉格納容器最高使用圧力(0.283MPa[gage])及び最高使用温度(132°C)を下回る。</p> <p>第2.8.2.15図及び第2.8.2.16図に示すように、事象発生の約5.5時間後においても1次冷却材圧力及び温度は低下傾向を示していることから、炉心は安定して冷却されている。その後は、余熱除去系の運転を継続することにより、事象発生の約9.7時間後に低温停止状態に到達し、安定停止状態に至る。さらに、余熱除去系の運転を継続することにより、安定停止状態を維持できる。また、余熱除去系が使用不能の場合においても、充てん／高圧注入ポンプ及び加圧器逃がし弁を用いた充てん系によるフィードアンドブリード及び格納容器スプレイポンプによる代替再循環を行うことにより、事象発生の約28.0時間後に低温停止状態に到達し、安定停止状態に至る。その後も格納容器スプレイポンプによる代替再循環運転を継続することにより、</p>	<p>変化」の「原子炉冷却材喪失」においては、インターフェイスシステムLOCAとは異なり、事象開始から格納容器内に原子炉冷却材が流出し続ける事故を想定し解析しており、この場合でも原子炉格納容器バウンダリにかかる圧力及び温度の最大値は、約0.33MPa[gage]及び約146°Cにとどまる。このため、本事象においても原子炉格納容器バウンダリにかかる圧力及び温度は、格納容器の限界圧力及び限界温度を下回る。</p> <p>中央制御室からの遠隔操作による高压炉心スプレイ系の破断箇所隔離には失敗するが、逃がし安全弁（自動減圧機能）による原子炉減圧を実施し破断箇所からの原子炉冷却材の漏えい抑制を図り、低圧炉心スプレイ系及び残留熱除去系（低圧注水モード）による原子炉注水を継続することで、炉心の冷却が維持される。その後は、現場操作にて高压炉心スプレイ系の破断箇所を隔離し、低圧炉心スプレイ系及び残留熱除去系（低圧注水モード）による原子炉注水並びに残留熱除去系（サプレッションプール水冷却モード）による格納容器除熱を開始することで安定状態が確立し、また、安定状態を維持できる。</p>	<p>は、原子炉設置許可申請書添付書類十「3.5.1 原子炉冷却材喪失」における1次冷却材管の完全両端破断を仮定した解析で評価しており、この場合でも原子炉格納容器バウンダリにかかる圧力及び温度の最高値はそれぞれ約0.241MPa[gage]、約124°Cにとどまる。このため、本事象においても原子炉格納容器バウンダリにかかる圧力及び温度は、原子炉格納容器最高使用圧力(0.283MPa[gage])及び最高使用温度(132°C)を下回る。</p> <p>第7.1.8.23図及び第7.1.8.24図に示すように、事象発生の約5時間後においても1次冷却材圧力及び温度は低下傾向を示していることから、炉心は安定して冷却されている。その後は、余熱除去系の運転を継続することにより、事象発生の約14.5時間後に低温停止状態に到達し、安定停止状態に至る。さらに、余熱除去系の運転を継続することにより、安定停止状態を維持できる。また、余熱除去系が使用不能の場合においても、充てんポンプ及び加圧器逃がし弁を用いた充てん系によるフィードアンドブリード及び格納容器スプレイポンプによる代替再循環を行いうことにより、事象発生の約32.9時間後に低温停止状態に到達し、安定停止状態に至る。その後も格納容器スプレイポンプによる代替再循環運転を継続することで安定</p>	<p>記載表現の相違</p> <p>【大飯、高浜】 解説結果の相違</p> <p>既許可添付十章の相違</p> <p>【大飯】 認可の相違</p> <p>【大飯、高浜】 解説結果の相違</p> <p>【大飯、高浜】 評価結果の相違</p> <p>【大飯、高浜】 評価結果の相違</p> <p>・低温停止の1次冷却水温度93°Cの評価を大飯は解析で示しているが、高浜・泊は実験結果等から示しており泊は実験結果が少ないため低温停止の実績時間が長い。そのため低温停止の時間評価も長くなっている。</p> <p>【大飯、高浜】 解説結果の相違</p>
		(添付資料 2.7.2)		

泊発電所3号炉 有効性評価 比較表

灰色：女川2号炉の記載のうち、
BWR固有の設備や対応手段であり、
泊3号炉と比較対象とならない記載

赤字：設備、運用又は体制の相違（設計方針の相違）
青字：記載箇所又は記載内容の相違（記載方針の相違）
緑字：記載表現、設備名称の相違（実質的な相違なし）

7.1.8 格納容器バイパス

大飯発電所3／4号炉	高浜発電所3／4号炉	女川原子力発電所2号炉	泊発電所3号炉	相違理由
<p>安定停止状態を維持できる。</p> <p>(添付資料 2.8.8、2.8.9、2.8.10、 2.8.11、2.8.13)</p>	<p>ことにより、安定停止状態を維持できる。</p> <p>(添付資料 2.8.8、2.8.9、2.8.10、 2.8.11、2.8.12、2.8.13)</p>	<p>本評価では、「1.2.1.2 有効性を確認するための評価項目の設定」に示す(1)から(4)の評価項目について、対策の有効性を確認した。</p>	<p>状態が確立し、また、安定状態を維持できる。</p> <p>本評価では、「6.2.1.2 有効性を確認するための評価項目の設定」に示す(1)から(4)の評価項目について、対策の有効性を確認した。</p> <p>(添付資料 7.1.8.8、7.1.8.9、7.1.8.10、 7.1.8.11、7.1.8.12)</p>	<p>【大飯、高浜】 記載方針の相違（女川実績の反映）</p> <p>【大飯、高浜】 記載方針の相違（女川実績の反映）</p>

泊発電所3号炉 有効性評価 比較表

灰色：女川2号炉の記載のうち、
BWR固有の設備や対応手段であり、
泊3号炉と比較対象とならない記載

赤字：設備、運用又は体制の相違（設計方針の相違）
青字：記載箇所又は記載内容の相違（記載方針の相違）
緑字：記載表現、設備名称の相違（実質的な相違なし）

7.1.8 格納容器バイパス

大飯発電所3／4号炉	高浜発電所3／4号炉	女川原子力発電所2号炉	泊発電所3号炉	相違理由
<p>2.8.3 解析コード及び解析条件の不確かさの影響評価</p> <p>解析コード及び解析条件の不確かさの影響評価の範囲として、運転員等操作時間に与える影響、評価項目となるパラメータに与える影響、要員の配置による他の操作に与える影響及び操作時間余裕を評価する。</p> <p>本重要事故シーケンスは、運転員等操作である2次冷却系強制冷却、加圧器逃がし弁開閉操作による1次冷却系の減温、減圧を行うとともに、高圧注入から充てん注入への切替操作等を行うクールダウンアンドリサーキュレーションにより炉心を冷却し、漏えい量を抑制することが特徴である。</p> <p>また、不確かさの影響を確認する運転員等操作は、原子炉トリップ又は非常用炉心冷却設備作動信号の発信を起点とする2次冷却系強制冷却、並びに1次冷却材温度及び圧力（サブクール条件）等を起点とする加圧器逃がし弁の開閉操作及び高圧注入から充てん注入への切替操作とする。</p> <p>(1) 解析コードにおける重要現象の不確かさの影響評価</p> <p>本重要事故シーケンスにおいて不確かさの影響評価を行う重要現象とは、「1.7 解析コード及び解析条件の不確かさの影響評価方針」に示すとおりであり、それらの不確かさの影響評価は以下のとおりである。</p>	<p>2.8.3 解析コード及び解析条件の不確かさの影響評価</p> <p>解析コード及び解析条件の不確かさの影響評価の範囲として、運転員等操作時間に与える影響、評価項目となるパラメータに与える影響、要員の配置による他の操作に与える影響及び操作時間余裕を評価する。</p> <p>本重要事故シーケンスは、運転員等操作である2次系強制冷却、加圧器逃がし弁開閉操作による1次系の減温、減圧を行うとともに、高圧注入から充てん注入への切替操作等を行うクールダウンアンドリサーキュレーションにより炉心を冷却し、漏えい量を抑制することが特徴である。</p> <p>また、不確かさの影響を確認する運転員等操作は、原子炉トリップ又は非常用炉心冷却設備作動信号の発信を起点とする2次系強制冷却、並びに1次冷却材温度及び圧力（サブクール条件）等を起点とする加圧器逃がし弁の開閉操作及び高圧注入から充てん注入への切替操作とする。</p> <p>(1) 解析コードにおける重要現象の不確かさの影響評価</p> <p>本重要事故シーケンスにおいて不確かさの影響評価を行う重要現象とは、「1.7 解析コード及び解析条件の不確かさの影響評価方針」に示すとおりであり、それらの不確かさの影響評価は以下のとおりである。</p>	<p>2.7.3 解析コード及び解析条件の不確かさの影響評価</p> <p>解析コード及び解析条件の不確かさの影響評価の範囲として、運転員等操作時間に与える影響、評価項目となるパラメータに与える影響及び操作時間余裕を評価するものとする。</p> <p>格納容器バイパス（インターフェイスシステム LOCA）では、原子炉冷却材圧力バウンダリと接続された系統で、高圧設計部分と低圧設計部分のインターフェイスとなる配管のうち、隔離弁の隔離失敗等により低圧設計部分が過圧され破断し、格納容器外へ原子炉冷却材が流出することが特徴である。</p> <p>また、不確かさの影響を確認する運転員等操作は、事象発生から12時間程度までの短時間に期待する操作及び事象進展に有意な影響を与えると考えられる操作として、逃がし安全弁による原子炉急速減圧操作及び高圧炉心スプレイ系の破断箇所隔離操作とする。</p> <p>(1) 解析コードにおける重要現象の不確かさの影響評価</p> <p>本重要事故シーケンスにおいて不確かさの影響評価を行う重要現象とは、「1.7 解析コード及び解析条件の不確かさの影響評価方針」に示すとおりであり、それらの不確かさの影響評価は以下のとおりである。</p>	<p>7.1.8.3 解析コード及び解析条件の不確かさの影響評価</p> <p>解析コード及び解析条件の不確かさの影響評価の範囲として、運転員等操作時間に与える影響、評価項目となるパラメータに与える影響及び操作時間余裕を評価するものとする。</p> <p>格納容器バイパスでは、原子炉の出力運転中に原子炉冷却材圧力バウンダリを構成する機器が破損し、原子炉格納容器外へ1次冷却材が流出することが特徴である。</p> <p>また、不確かさの影響を確認する運転員等操作は、事象発生から12時間程度までの短時間に期待する操作及び事象進展に有意な影響を与えると考えられる操作として、原子炉トリップ又は非常用炉心冷却設備作動信号の発信を起点とする2次冷却系強制冷却、並びに1次冷却材温度及び圧力（サブクール条件）等を起点とする加圧器逃がし弁の開閉操作及び高圧注入から充てん注入への切替操作とする。</p> <p>(1) 解析コードにおける重要現象の不確かさの影響評価</p> <p>本重要事故シーケンスにおいて不確かさの影響評価を行う重要現象とは、「1.7 解析コード及び解析条件の不確かさの影響評価方針」に示すとおりであり、それらの不確かさの影響評価は以下のとおりである。</p>	<p>【大飯、高浜】 評価方針の相違（女川実績の反映）</p> <p>【大飯、高浜】 記載方針の相違（女川実績の反映） ・操作の特徴ではなく事故の特徴について記載</p> <p>【大飯、高浜】 記載方針の相違（女川実績の反映）</p>

灰色：女川2号炉の記載のうち、
BWR固有の設備や対応手段であり、
泊3号炉と比較対象とならない記載

赤字：設備、運用又は体制の相違（設計方針の相違）
青字：記載箇所又は記載内容の相違（記載方針の相違）
緑字：記載表現、設備名称の相違（実質的な相違なし）

7.1.8 格納容器バイパス

大飯発電所3／4号炉	高浜発電所3／4号炉	女川原子力発電所2号炉	泊発電所3号炉	相違理由
<p>a. 運転員等操作時間に与える影響 炉心における燃料棒表面熱伝達に係る燃料棒表面熱伝達モデルは、ORNL/THTF試験解析の結果から、燃料棒表面熱伝達について最大で40%程度小さく評価する不確かさを持つことを確認している。よって、不確かさを考慮すると、実際の燃料棒表面熱伝達は解析結果に比べて大きくなり、燃料被覆管温度は低くなるが、燃料被覆管温度を起点とする運転員等操作はないことから、運転員等操作時間に与える影響はない。</p> <p>炉心における沸騰・ボイド率変化及び気液分離・対向流に係るボイドモデル及び流動様式の解析モデルは、ORNL/THTF試験解析等の結果から、炉心水位について最大で0.3m低く評価する不確かさを持つことを確認している。しかし、炉心水位を起点とする運転員等操作はないことから、運転員等操作時間に与える影響はない。</p> <p>1次冷却系における冷却材放出に係る破断流モデルは、Marviken試験解析の結果から、サブクール領域での漏えい量について±10%の不確かさを持つことを確認している。しかし、インターフェイスシステム LOCAでは、主配管につながる枝管の下流側にある弁等からの流出を仮定するため枝管の形状圧損及び摩擦圧損が模擬されず、破断流量を実際よりも多く評価することから、漏えい量を少なく評価する不確かさについて考</p>	<p>a. 運転員等操作時間に与える影響 炉心における燃料棒表面熱伝達に係る燃料棒表面熱伝達モデルは、ORNL/THTF試験解析の結果から、燃料棒表面熱伝達について最大で40%程度小さく評価する不確かさを持つことを確認している。よって、不確かさを考慮すると、実際の燃料棒表面熱伝達は解析結果に比べて大きくなり、燃料被覆管温度は低くなるが、燃料被覆管温度を起点とする運転員等操作はないことから、運転員等操作時間に与える影響はない。</p> <p>炉心における沸騰・ボイド率変化及び気液分離・対向流に係るボイドモデル及び流動様式の解析モデルは、ORNL/THTF試験解析の結果から、炉心水位について最大で0.3m低く評価する不確かさを持つことを確認している。しかし、炉心水位を起点とする運転員等操作はないことから、運転員等操作時間に与える影響はない。</p> <p>1次冷却系における冷却材放出に係る破断流モデルは、Marviken試験解析の結果から、サブクール領域での漏えい量について±10%の不確かさを持つことを確認している。しかし、インターフェイスシステム LOCAでは、主配管につながる枝管の下流側にある弁等からの流出を仮定するため枝管の形状圧損及び摩擦圧損が模擬されず、破断流量を実際よりも多く評価することから、漏えい量を少なく評価する不確かさについて考</p>	<p>a. 運転員等操作時間に与える影響 炉心における燃料棒表面熱伝達の不確かさとして、解析コードは実験結果の燃料被覆管温度に比べて+50°C高めに評価することから、解析結果は、燃料棒表面の熱伝達係数を小さく評価する可能性がある。よって、実際の燃料棒表面での熱伝達は大きくなり燃料被覆管温度は低くなるが、原子炉注水は原子炉隔離時冷却系の自動起動により行われ、また、操作手順（原子炉減圧後速やかに低圧注水に移行すること）に変わりはなく、燃料被覆管温度を操作開始の起点としている運転員等操作はないことから、運転員等操作時間に与える影響はない。</p> <p>炉心における燃料被覆管酸化の不確かさとして、解析コードは酸化量及び酸化反応に伴う発熱量の評価について保守的な結果を与えるため、解析結果は燃料被覆管酸化を大きく評価する可能性がある。よって、実際の燃料被覆管温度は低くなり、原子炉水位挙動に影響を与える可能性があるが、原子炉注水は原子炉隔離時冷却系の自動起動により行われ、また、操作手順（原子炉減圧後速やかに低圧注水に移行すること）に変わりはなく、燃料被覆管温度を操作開始の起点としている運転員等操作はないことから、運転員等操作時間に与える影響はない。</p>	<p>a. 運転員等操作時間に与える影響 炉心における燃料棒表面熱伝達に係る燃料棒表面熱伝達モデルは、ORNL/THTF試験解析の結果から、燃料棒表面熱伝達について最大で40%程度小さく評価する不確かさを持つことを確認している。よって、不確かさを考慮すると、実際の燃料棒表面熱伝達は解析結果に比べて大きくなり、燃料被覆管温度は低くなるが、燃料被覆管温度を起点とする運転員等操作はないことから、運転員等操作時間に与える影響はない。</p> <p>炉心における沸騰・ボイド率変化及び気液分離・対向流に係るボイドモデル及び流動様式の解析モデルは、ORNL/THTF試験解析等の結果から、炉心水位について最大で0.3m低く評価する不確かさを持つことを確認している。しかし、炉心水位を起点とする運転員等操作はないことから、運転員等操作時間に与える影響はない。</p> <p>1次冷却系における冷却材放出に係る破断流モデルは、Marviken試験解析の結果から、サブクール領域での漏えい量について±10%の不確かさを持つことを確認している。しかし、インターフェイスシステム LOCAでは、主配管につながる枝管の下流側にある弁等からの流出を仮定するため枝管の形状圧損及び摩擦圧損が模擬されず、破断流量を実際よりも多く評価することから、漏えい量を少なく評価する不確かさについて考</p>	

泊発電所3号炉 有効性評価 比較表

灰色：女川2号炉の記載のうち、
BWR固有の設備や対応手段であり、
泊3号炉と比較対象とならない記載

赤字：設備、運用又は体制の相違（設計方針の相違）
青字：記載箇所又は記載内容の相違（記載方針の相違）
緑字：記載表現、設備名称の相違（実質的な相違なし）

7.1.8 格納容器バイパス

大飯発電所3／4号炉	高浜発電所3／4号炉	女川原子力発電所2号炉	泊発電所3号炉	相違理由
<p>慮する必要はない。よって、漏えい量を多く評価する不確かさを考慮すると、実際の漏えい量は解析結果に比べて少なくなり、1次冷却系の減圧が遅くなるため、非常用炉心冷却設備作動信号の発信を起点とする2次冷却系強制冷却の開始が遅くなる。</p> <p>また、1次冷却系の減圧が遅くなることで1次冷却材の飽和温度の低下が遅くなり、1次冷却材温度及び圧力（サブクール条件）を起点とする加圧器逃がし弁の開閉操作及び高圧注入から充てん注入への切替操作の開始が早くなる。</p> <p>一方、破断流モデルは二相臨界流での漏えい量について-10%～50%の不確かさを持つが、ほとんどの質量流束領域で多く評価することを確認している。よって、漏えい量を多く評価する不確かさを考慮すると、実際の漏えい量は解析結果に比べて少なくなり、1次冷却系の減圧が遅くなるため、非常用炉心冷却設備作動信号の発信を起点とする2次冷却系強制冷却の開始が遅くなる。</p>	<p>慮する必要はない。よって、漏えい量を多く評価する不確かさを考慮すると、実際の漏えい量は解析結果に比べて少なくなり、1次系の減圧が遅くなるため、非常用炉心冷却設備作動信号の発信を起点とする2次系強制冷却の開始が遅くなる。</p> <p>また、1次系の減圧が遅くなることで1次冷却材の飽和温度の低下が遅くなり、1次冷却材温度及び圧力（サブクール条件）を起点とする加圧器逃がし弁の開閉操作及び高圧注入から充てん注入への切替操作の開始が早くなる。</p> <p>一方、破断流モデルは二相臨界流での漏えい量について-10%～50%の不確かさを持つが、ほとんどの質量流束領域で多く評価することを確認している。よって、漏えい量を多く評価する不確かさを考慮すると、実際の漏えい量は解析結果に比べて少なくなり、1次系の減圧が遅くなるため、非常用炉心冷却設備作動信号の発信を起点とする2次系強制冷却の開始が遅くなる。</p>		<p>慮する必要はない。よって、漏えい量を多く評価する不確かさを考慮すると、実際の漏えい量は解析結果に比べて少なくなり、1次冷却系の減圧が遅くなるため、非常用炉心冷却設備作動信号の発信を起点とする2次冷却系強制冷却の開始が遅くなるが、操作手順（非常用炉心冷却設備作動信号の発信を起点として操作開始）に変わりはないことから、運転員等操作時間に与える影響はない。</p> <p>また、1次冷却系の減圧が遅くなることで1次冷却材の飽和温度の低下が遅くなり、1次冷却材温度及び圧力（サブクール条件）を起点とする加圧器逃がし弁の開閉操作及び高圧注入から充てん注入への切替操作の開始が早くなるが、操作手順（1次冷却材温度及び圧力（サブクール条件）を起点として操作開始）に変わりはないことから、運転員等操作時間に与える影響はない。</p> <p>一方、破断流モデルは二相臨界流での漏えい量について-10%～50%の不確かさを持つが、ほとんどの質量流束領域で多く評価することを確認している。よって、漏えい量を多く評価する不確かさを考慮すると、実際の漏えい量は解析結果に比べて少なくなり、1次冷却系の減圧が遅くなるため、非常用炉心冷却設備作動信号の発信を起点とする2次冷却系強制冷却の開始が遅くなるが、操</p>	<p>【大飯、高浜】 記載方針の相違（女川実績の反映） ・運転員等操作時間に与える影響について詳細に記載</p> <p>【大飯、高浜】 記載方針の相違（女川実績の反映） ・運転員等操作時間に与える影響について詳細に記載</p> <p>【大飯、高浜】</p>

泊発電所3号炉 有効性評価 比較表

灰色：女川2号炉の記載のうち、
BWR固有の設備や対応手段であり、
泊3号炉と比較対象とならない記載

赤字：設備、運用又は体制の相違（設計方針の相違）
青字：記載箇所又は記載内容の相違（記載方針の相違）
緑字：記載表現、設備名称の相違（実質的な相違なし）

7.1.8 格納容器バイパス

大飯発電所3／4号炉	高浜発電所3／4号炉	女川原子力発電所2号炉	泊発電所3号炉	相違理由
<p>また、1次冷却系の減圧が遅くなることで1次冷却材の飽和温度の低下が遅くなり、1次冷却材温度及び圧力（サブクール条件）を起点とする加圧器逃がし弁の開閉操作及び高圧注入から充てん注入への切替操作の開始が早くなる。</p> <p>1次冷却系における沸騰・凝縮・ボイド率変化に係る2流体モデル及び壁面熱伝達モデルは、ROSA/LSTF試験解析等の結果から、インターフェイスシステム LOCAにおいて、2次冷却系強制冷却等による減圧時に1次冷却材圧力について最大で0.5MPa高く評価する不確かさを持つことを確認している。よって、不確かさを考慮すると、実際の1次冷却材温度は解析結果に比べて低くなることから、1次冷却材温度及び圧力（サブクール条件）を起点とする加圧器逃がし弁の開閉操作及び高圧注入から充てん注入への切替操作の開始が早くなる。</p>	<p>また、1次系の減圧が遅くなることで1次冷却材の飽和温度の低下が遅くなり、1次冷却材温度及び圧力（サブクール条件）を起点とする加圧器逃がし弁の開閉操作及び高圧注入から充てん注入への切替操作の開始が早くなる。</p> <p>1次冷却系における沸騰・凝縮・ボイド率変化に係る2流体モデル及び壁面熱伝達モデルは、ROSA/LSTF試験解析等の結果から、インターフェイスシステム LOCAにおいて、2次系強制冷却等による減圧時に1次冷却材圧力について最大で0.5MPa高く評価する不確かさを持つことを確認している。よって、不確かさを考慮すると、実際の1次冷却材温度は解析結果に比べて低くなることから、1次冷却材温度及び圧力（サブクール条件）を起点とする加圧器逃がし弁の開閉操作及び高圧注入から充てん注入への切替操作の開始が早くなる。</p>		<p>作手順（非常用炉心冷却設備作動信号の発信を起点として操作開始）に変わりはないことから、運転員等操作時間に与える影響はない。</p> <p>また、1次冷却系の減圧が遅くなることで1次冷却材の飽和温度の低下が遅くなり、1次冷却材温度及び圧力（サブクール条件）を起点とする加圧器逃がし弁の開閉操作及び高圧注入から充てん注入への切替操作の開始が早くなるが、操作手順（1次冷却材温度及び圧力（サブクール条件）を起点として操作開始）に変わりはないことから、運転員等操作時間に与える影響はない。</p> <p>1次冷却系における沸騰・凝縮・ボイド率変化に係る2流体モデル及び壁面熱伝達モデルは、ROSA/LSTF試験解析等の結果から、インターフェイスシステム LOCAにおいて、2次冷却系強制冷却等による減圧時に1次冷却材圧力について最大で0.5MPa高く評価する不確かさを持つことを確認している。よって、不確かさを考慮すると、実際の1次冷却材温度は解析結果に比べて低くなることから、1次冷却材温度及び圧力（サブクール条件）を起点とする加圧器逃がし弁の開閉操作及び高圧注入から充てん注入への切替操作の開始が早くなるが、操作手順（1次冷却材温度及び圧力（サブクール条件）を起点として操作開始）に変わりはないことから、運転員等操作時間に与え</p>	<p>記載方針の相違（女川実績の反映） ・運転員等操作時間に与える影響について詳細に記載</p> <p>【大飯、高浜】 記載方針の相違（女川実績の反映） ・運転員等操作時間に与える影響について詳細に記載</p> <p>【大飯、高浜】 記載方針の相違（女川実績の反映） ・運転員等操作時間に与え</p>

泊発電所3号炉 有効性評価 比較表

灰色：女川2号炉の記載のうち、
BWR固有の設備や対応手段であり、
泊3号炉と比較対象とならない記載

赤字：設備、運用又は体制の相違（設計方針の相違）
青字：記載箇所又は記載内容の相違（記載方針の相違）
緑字：記載表現、設備名称の相違（実質的な相違なし）

7.1.8 格納容器バイパス

大飯発電所3／4号炉	高浜発電所3／4号炉	女川原子力発電所2号炉	泊発電所3号炉	相違理由
<p>1次冷却系における気液分離・対向流に係る流動様式の解析モデルは、ROSA/LSTF 試験解析等の結果から、インターフェイスシステム LOCAにおいて、リフラックス凝縮時の蒸気発生器での伝熱・凝縮量を小さく評価する不確かさを持つことを確認している。よって、不確かさを考慮すると、実際の蒸気発生器での伝熱・凝縮量は解析結果に比べて大きくなり、1次冷却材温度が低くなることから、1次冷却材温度及び圧力（サブクール条件）を起点とする加圧器逃がし弁の開閉操作及び高圧注入から充てん注入への切替操作の開始が早くなる。</p>	<p>1次冷却系における気液分離・対向流に係る流動様式の解析モデルは、ROSA/LSTF 試験解析等の結果から、インターフェイスシステム LOCAにおいて、リフラックス凝縮時の蒸気発生器での伝熱・凝縮量を小さく評価する不確かさを持つことを確認している。よって、不確かさを考慮すると、実際の蒸気発生器での伝熱・凝縮量は解析結果に比べて大きくなり、1次冷却材温度が低くなることから、1次冷却材温度及び圧力（サブクール条件）を起点とする加圧器逃がし弁の開閉操作及び高圧注入から充てん注入への切替操作の開始が早くなる。</p>		<p>1次冷却系における気液分離・対向流に係る流動様式の解析モデルは、ROSA/LSTF 試験解析等の結果から、インターフェイスシステム LOCAにおいて、リフラックス凝縮時の蒸気発生器での伝熱・凝縮量を小さく評価する不確かさを持つことを確認している。よって、不確かさを考慮すると、実際の蒸気発生器での伝熱・凝縮量は解析結果に比べて大きくなり、1次冷却材温度が低くなることから、1次冷却材温度及び圧力（サブクール条件）を起点とする加圧器逃がし弁の開閉操作及び高圧注入から充てん注入への切替操作の開始が早くなるが、操作手順（1次冷却材温度及び圧力（サブクール条件）を起点として操作開始）に変わりはないことから、運転員等操作時間に与える影響はない。</p>	<p>【大飯、高浜】 記載方針の相違（女川実績の反映） ・運転員等操作時間に与える影響について 詳細に記載</p>
<p>蒸気発生器における1次側・2次側の熱伝達に係る壁面熱伝達モデルは、ROSA/LSTF 試験解析等の結果から、2次冷却系強制冷却による減圧時に1次側・2次側の熱伝達を小さく評価する不確かさを持つことを確認している。よって、不確かさを考慮すると、実際の1次側・2次側の熱伝達は解析結果に比べて大きくなり、1次冷却材温度が低くなることから、1次冷却材温度及び圧力（サブクール条件）を起点とする加圧器逃がし弁の開閉操作及び高圧注入か</p>	<p>蒸気発生器における1次側・2次側の熱伝達に係る壁面熱伝達モデルは、ROSA/LSTF 試験解析等の結果から、2次系強制冷却による減圧時に1次側・2次側の熱伝達を小さく評価する不確かさを持つことを確認している。よって、不確かさを考慮すると、実際の1次側・2次側の熱伝達は解析結果に比べて大きくなり、1次冷却材温度が低くなることから、1次冷却材温度及び圧力（サブクール条件）を起点とする加圧器逃がし弁の開閉操作及び高圧注入から</p>		<p>蒸気発生器における1次側・2次側の熱伝達に係る壁面熱伝達モデルは、ROSA/LSTF 試験解析等の結果から、2次冷却系強制冷却による減圧時に1次側・2次側の熱伝達を小さく評価する不確かさを持つことを確認している。よって、不確かさを考慮すると、実際の1次側・2次側の熱伝達は解析結果に比べて大きくなり、1次冷却材温度が低くなることから、1次冷却材温度及び圧力（サブクール条件）を起点とする加圧器逃がし弁の開閉操作及び高圧注入か</p>	<p>【大飯、高浜】 記載方針の相違（女川実績の反映） ・運転員等操作時間に与える影響について 詳細に記載</p>

泊発電所3号炉 有効性評価 比較表

灰色：女川2号炉の記載のうち、
BWR固有の設備や対応手段であり、
泊3号炉と比較対象とならない記載

赤字：設備、運用又は体制の相違（設計方針の相違）
青字：記載箇所又は記載内容の相違（記載方針の相違）
緑字：記載表現、設備名称の相違（実質的な相違なし）

7.1.8 格納容器バイパス

大飯発電所3／4号炉	高浜発電所3／4号炉	女川原子力発電所2号炉	泊発電所3号炉	相違理由
<p>ら充てん注入への切替操作の開始が早くなる。</p> <p>b. 評価項目となるパラメータに与える影響</p> <p>炉心における燃料棒表面熱伝達に係る燃料棒表面熱伝達モデルは、ORNL/THTF試験解析の結果から、燃料棒表面熱伝達について最大で40%程度小さく評価する不確かさを持つことを確認している。よって、不確かさを考慮すると、実際の燃料棒表面熱伝達は解析結果に比べて大きくなり、燃料被覆管温度は低くなることから、評価項目となるパラメータに対する余裕は大きくなる。</p> <p>炉心における沸騰・ボイド率変化及び気液分離・対向流に係るボイドモデル及び流動様式の解析モデルは、ORNL/THTF試験解析等の結果から、炉心水位について最大で0.3m低く評価する不確かさを持つことを確認している。よって、不確かさを考慮すると、実際の炉心水位は解析結果に比べて高くなることから、評価項目となるパラメータに対する余裕は大きくなる。</p> <p>1次冷却系における冷却材放出に係る破断流モデルは、Marviken試験解析の結果から、サブクール領域での漏えい量について±10%の不確かさを持つことを確認している。しか</p>	<p>充てん注入への切替操作の開始が早くなる。</p> <p>b. 評価項目となるパラメータに与える影響</p> <p>炉心における燃料棒表面熱伝達に係る燃料棒表面熱伝達モデルは、ORNL/THTF試験解析の結果から、燃料棒表面熱伝達について最大で40%程度小さく評価する不確かさを持つことを確認している。よって、不確かさを考慮すると、実際の燃料棒表面熱伝達は解析結果に比べて大きくなり、燃料被覆管温度は低くなることから、評価項目となるパラメータに対する余裕は大きくなる。</p> <p>炉心における沸騰・ボイド率変化及び気液分離・対向流に係るボイドモデル及び流動様式の解析モデルは、ORNL/THTF試験解析の結果から、炉心水位について最大で0.3m低く評価する不確かさを持つことを確認している。よって、不確かさを考慮すると、実際の炉心水位は解析結果に比べて高くなることから、評価項目となるパラメータに対する余裕は大きくなる。</p> <p>1次冷却系における冷却材放出に係る破断流モデルは、Marviken試験解析の結果から、サブクール領域での漏えい量について±10%の不確かさを持つことを確認している。しか</p>	<p>b. 評価項目となるパラメータに与える影響</p> <p>炉心における燃料棒表面熱伝達の不確かさとして、実験解析では熱伝達モデルの保守性により燃料被覆管温度を高めに評価し、有効性評価解析でも燃料被覆管温度を高めに評価することから、評価項目となるパラメータに対する余裕は大きくなる。</p> <p>炉心における燃料被覆管酸化の不確かさとして、解析コードは燃料被覆管の酸化について、酸化量及び酸化反応に伴う発熱量に保守的な結果を与える、燃料被覆管温度を高めに評価することから、評価項目となるパラメータに対する余裕は大きくなる。</p> <p>(添付資料 2.7.3)</p>	<p>ら充てん注入への切替操作の開始が早くなるが、操作手順（1次冷却材温度及び圧力（サブクール条件）を起点として操作開始）に変わりはないことから、運転員等操作時間に与える影響はない。</p> <p>b. 評価項目となるパラメータに与える影響</p> <p>炉心における燃料棒表面熱伝達に係る燃料棒表面熱伝達モデルは、ORNL/THTF試験解析の結果から、燃料棒表面熱伝達について最大で40%程度小さく評価する不確かさを持つことを確認している。よって、不確かさを考慮すると、実際の燃料棒表面熱伝達は解析結果に比べて大きくなり、燃料被覆管温度は低くなることから、評価項目となるパラメータに対する余裕は大きくなる。</p> <p>炉心における沸騰・ボイド率変化及び気液分離・対向流に係るボイドモデル及び流動様式の解析モデルは、ORNL/THTF試験解析等の結果から、炉心水位について最大で0.3m低く評価する不確かさを持つことを確認している。よって、不確かさを考慮すると、実際の炉心水位は解析結果に比べて高くなることから、評価項目となるパラメータに対する余裕は大きくなる。</p> <p>1次冷却系における冷却材放出に係る破断流モデルは、Marviken試験解析の結果から、サブクール領域での漏えい量について±10%の不確かさを持つことを確認している。しか</p>	<p>【大飯、高浜】 記載方針の相違（女川実績の反映） ・運転員等操作時間に与える影響について詳細に記載</p>

泊発電所3号炉 有効性評価 比較表

灰色：女川2号炉の記載のうち、
BWR固有の設備や対応手段であり、
泊3号炉と比較対象とならない記載

赤字：設備、運用又は体制の相違（設計方針の相違）
青字：記載箇所又は記載内容の相違（記載方針の相違）
緑字：記載表現、設備名称の相違（実質的な相違なし）

7.1.8 格納容器バイパス

大飯発電所3／4号炉	高浜発電所3／4号炉	女川原子力発電所2号炉	泊発電所3号炉	相違理由
<p>し、インターフェイスシステム LOCA では、主配管につながる枝管の下流側にある弁等からの流出を仮定するため枝管の形状圧損及び摩擦圧損が模擬されず、破断流量を実際よりも多く評価することから、漏えい量を少なく評価する不確かさについて考慮する必要はない。よって、漏えい量を多く評価する不確かさを考慮すると、実際の漏えい量は解析結果に比べて少なくなり、1次冷却系保有水量の低下が抑制されることから、評価項目となるパラメータに対する余裕は大きくなる。一方、破断流モデルは二相臨界流での漏えい量について-10%～50%の不確かさを持つが、ほとんどの質量流束領域で多く評価することを確認している。よって、漏えい量を多く評価する不確かさを考慮すると、実際の漏えい量は解析結果に比べて少なくなり、1次冷却系保有水量の低下が抑制されることから、評価項目となるパラメータに対する余裕は大きくなる。</p> <p>1次冷却系における沸騰・凝縮・ボイド率変化に係る2流体モデル及び壁面熱伝達モデルは、ROSA/LSTF試験解析等の結果から、インターフェイスシステム LOCAにおいて、2次冷却系強制冷却等による減圧時に1次冷却材圧力について最大で0.5MPa高く評価する不確かさを持つことを確認している。よって、不確かさを考慮すると、実際の1次冷却材圧力は解析結果に比べて低くなり、1次冷却系保有水量の低下が抑制されるこ</p>	<p>し、インターフェイスシステム LOCA では、主配管につながる枝管の下流側にある弁等からの流出を仮定するため枝管の形状圧損及び摩擦圧損が模擬されず、破断流量を実際よりも多く評価することから、漏えい量を少なく評価する不確かさについて考慮する必要はない。よって、漏えい量を多く評価する不確かさを考慮すると、実際の漏えい量は解析結果に比べて少なくなり、1次系保有水量の低下が抑制されることから、評価項目となるパラメータに対する余裕は大きくなる。一方、破断流モデルは二相臨界流での漏えい量について-10%～50%の不確かさを持つが、ほとんどの質量流束領域で多く評価することを確認している。よって、漏えい量を多く評価する不確かさを考慮すると、実際の漏えい量は解析結果に比べて少なくなり、1次系保有水量の低下が抑制されることから、評価項目となるパラメータに対する余裕は大きくなる。</p> <p>1次冷却系における沸騰・凝縮・ボイド率変化に係る2流体モデル及び壁面熱伝達モデルは、ROSA/LSTF試験解析等の結果から、インターフェイスシステム LOCAにおいて、2次系強制冷却等による減圧時に1次冷却材圧力について最大で0.5MPa高く評価する不確かさを持つことを確認している。よって、不確かさを考慮すると、実際の1次冷却材圧力は解析結果に比べて低くなり、1次系保有水量の低下が抑制されることから、評価項目となるパラメータに対する余裕は大きくなる。</p>		<p>し、インターフェイスシステム LOCA では、主配管につながる枝管の下流側にある弁等からの流出を仮定するため枝管の形状圧損及び摩擦圧損が模擬されず、破断流量を実際よりも多く評価することから、漏えい量を少なく評価する不確かさについて考慮する必要はない。よって、漏えい量を多く評価する不確かさを考慮すると、実際の漏えい量は解析結果に比べて少なくなり、1次冷却系保有水量の減少が抑制されることから、評価項目となるパラメータに対する余裕は大きくなる。一方、破断流モデルは二相臨界流での漏えい量について-10%～50%の不確かさを持つが、ほとんどの質量流束領域で多く評価することを確認している。よって、漏えい量を多く評価する不確かさを考慮すると、実際の漏えい量は解析結果に比べて少なくなり、1次冷却系保有水量の減少が抑制されることから、評価項目となるパラメータに対する余裕は大きくなる。</p> <p>1次冷却系における沸騰・凝縮・ボイド率変化に係る2流体モデル及び壁面熱伝達モデルは、ROSA/LSTF試験解析等の結果から、インターフェイスシステム LOCAにおいて、2次冷却系強制冷却等による減圧時に1次冷却材圧力について最大で0.5MPa高く評価する不確かさを持つことを確認している。よって、不確かさを考慮すると、実際の1次冷却材圧力は解析結果に比べて低くなり、1次冷却系保有水量の減少が抑制されるこ</p>	

泊発電所3号炉 有効性評価 比較表

灰色：女川2号炉の記載のうち、
BWR固有の設備や対応手段であり、
泊3号炉と比較対象とならない記載

赤字：設備、運用又は体制の相違（設計方針の相違）
青字：記載箇所又は記載内容の相違（記載方針の相違）
緑字：記載表現、設備名称の相違（実質的な相違なし）

7.1.8 格納容器バイパス

大飯発電所3／4号炉	高浜発電所3／4号炉	女川原子力発電所2号炉	泊発電所3号炉	相違理由
<p>とから、評価項目となるパラメータに対する余裕は大きくなる。</p> <p>1次冷却系における気液分離・対向流に係る流動様式の解析モデルは、ROSA/LSTF 試験解析等の結果から、インターフェイスシステム LOCAにおいて、リフラックス凝縮時の蒸気発生器での伝熱・凝縮量を小さく評価することにより、1次冷却材圧力について最大で 0.5MPa 高く評価する不確かさを持つことを確認している。よって、不確かさを考慮すると、実際の1次冷却材圧力は解析結果に比べて低くなることにより、漏えい量が少なくなり、1次冷却系保有水量の低下が抑制されることから、評価項目となるパラメータに対する余裕は大きくなる。</p> <p>蒸気発生器における1次側・2次側の熱伝達に係る壁面熱伝達モデルは、ROSA/LSTF 試験解析等の結果から、2次冷却系強制冷却による減圧時における1次冷却材圧力について最大で 0.5MPa 高く評価する不確かさを持つことを確認している。よって、不確かさを考慮すると、実際の1次冷却材圧力は解析結果に比べて低くなり、漏えい量が少なくなることで1次冷却系保有水量の低下が抑制されることから、評価項目となるパラメータに対する余裕は大きくなる。</p> <p>(2) 解析条件の不確かさの影響評価 a. 初期条件、事故条件及び重大事故等対策に関連する機器条件</p>	<p>評価項目となるパラメータに対する余裕は大きくなる。</p> <p>1次冷却系における気液分離・対向流に係る流動様式の解析モデルは、ROSA/LSTF 試験解析等の結果から、インターフェイスシステム LOCAにおいて、リフラックス凝縮時の蒸気発生器での伝熱・凝縮量を小さく評価することにより、1次冷却材圧力について最大で 0.5MPa 高く評価する不確かさを持つことを確認している。よって、不確かさを考慮すると、実際の1次冷却材圧力は解析結果に比べて低くなることにより、漏えい量が少なくなり、1次系保有水量の低下が抑制されることから、評価項目となるパラメータに対する余裕は大きくなる。</p> <p>蒸気発生器における1次側・2次側の熱伝達に係る壁面熱伝達モデルは、ROSA/LSTF 試験解析等の結果から、2次系強制冷却による減圧時ににおける1次冷却材圧力について最大で 0.5MPa 高く評価する不確かさを持つことを確認している。よって、不確かさを考慮すると、実際の1次冷却材圧力は解析結果に比べて低くなり、漏えい量が少なくなることで1次系保有水量の低下が抑制されることから、評価項目となるパラメータに対する余裕は大きくなる。</p> <p>(2) 解析条件の不確かさの影響評価 a. 初期条件、事故条件及び重大事故等対策に関連する機器条件</p>		<p>とから、評価項目となるパラメータに対する余裕は大きくなる。</p> <p>1次冷却系における気液分離・対向流に係る流動様式の解析モデルは、ROSA/LSTF 試験解析等の結果から、インターフェイスシステム LOCAにおいて、リフラックス凝縮時の蒸気発生器での伝熱・凝縮量を小さく評価することにより、1次冷却材圧力について最大で 0.5MPa 高く評価する不確かさを持つことを確認している。よって、不確かさを考慮すると、実際の1次冷却材圧力は解析結果に比べて低くなることにより、漏えい量が少なくなり、1次冷却系保有水量の減少が抑制されることから、評価項目となるパラメータに対する余裕は大きくなる。</p> <p>蒸気発生器における1次側・2次側の熱伝達に係る壁面熱伝達モデルは、ROSA/LSTF 試験解析等の結果から、2次冷却系強制冷却による減圧時における1次冷却材圧力について最大で 0.5MPa 高く評価する不確かさを持つことを確認している。よって、不確かさを考慮すると、実際の1次冷却材圧力は解析結果に比べて低くなり、漏えい量が少なくなることで1次冷却系保有水量の減少が抑制されることから、評価項目となるパラメータに対する余裕は大きくなる。</p> <p>(2) 解析条件の不確かさの影響評価 a. 初期条件、事故条件及び重大事故等対策に関連する機器条件</p>	

泊発電所3号炉 有効性評価 比較表

灰色：女川2号炉の記載のうち、
BWR固有の設備や対応手段であり、
泊3号炉と比較対象とならない記載

赤字：設備、運用又は体制の相違（設計方針の相違）
青字：記載箇所又は記載内容の相違（記載方針の相違）
緑字：記載表現、設備名称の相違（実質的な相違なし）

7.1.8 格納容器バイパス

大飯発電所3／4号炉	高浜発電所3／4号炉	女川原子力発電所2号炉	泊発電所3号炉	相違理由
<p>初期条件、事故条件及び重大事故等対策に関連する機器条件は、第2.8.3表及び第2.8.4表に示すとおりであり、それらの条件設定を設計値等の最確値とした場合の影響を評価する。また、解析条件の設定に当たっては、原則、評価項目となるパラメータに対する余裕が小さくなるような設定としている。その中で事象進展に有意な影響を与えると考えられる炉心崩壊熱及びインターフェイスシステム LOCA 時の破断口径、並びに評価項目となるパラメータに対する余裕が小さくなる蓄圧タンク初期保有水量に関する影響評価の結果を以下に示す。</p> <p>(a) 運転員等操作時間に与える影響</p> <p>炉心崩壊熱を最確値とした場合、解析条件で設定している炉心</p>	<p>初期条件、事故条件及び重大事故等対策に関連する機器条件は、第2.8.2.1表及び第2.8.2.2表に示すとおりであり、それらの条件設定を設計値等の最確値とした場合の影響を評価する。また、解析条件の設定に当たっては、原則、評価項目となるパラメータに対する余裕が小さくなるような設定としている。その中で事象進展に有意な影響を与えると考えられる炉心崩壊熱（標準値）及びインターフェイスシステム LOCA 時の破断口径、標準値として設定している蒸気発生器2次側保有水量、並びに評価項目となるパラメータに対する余裕が小さくなる蓄圧タンク初期保有水量に関する影響評価の結果を以下に示す。</p> <p>(a) 運転員等操作時間に与える影響</p> <p>炉心崩壊熱を最確値とした場合、解析条件で設定している崩壊</p>	<p>初期条件、事故条件及び重大事故等対策に関連する機器条件は、第2.7.2表に示すとおりであり、それらの条件設定を設計値等、最確条件とした場合の影響を評価する。また、解析条件の設定に当たっては、評価項目となるパラメータに対する余裕が小さくなるような設定があることから、その中で事象進展に有意な影響を与えると考えられる項目に関する影響評価の結果を以下に示す。</p> <p>(a) 運転員等操作時間に与える影響</p> <p>初期条件の最大線出力密度は、解析条件の44.0kW/mに対して最確条件は約42.0kW/m以下であり、解析条件の不確かさとして、最確条件とした場合は、燃料被覆管温度の上昇は緩和されるが、原子炉注水は原子炉隔離時冷却系の自動起動により行われ、また、操作手順（原子炉減圧後速やかに低圧注水に移行すること）に変わりはない、燃料被覆管温度を操作開始の起点としている運転員等操作はないことから、運転員等操作時間に与える影響はない。</p> <p>初期条件の原子炉停止後の崩壊熱は、解析条件の燃焼度33GWd/t</p>	<p>初期条件、事故条件及び重大事故等対策に関連する機器条件は、第7.1.8.3表及び第7.1.8.4表に示すとおりであり、それらの条件設定を設計値等、最確条件とした場合の影響を評価する。また、解析条件の設定に当たっては、評価項目となるパラメータに対する余裕が小さくなるような設定があることから、その中で事象進展に有意な影響を与えると考えられる炉心崩壊熱及びインターフェイスシステム LOCA 時の破断口径、並びに評価項目となるパラメータに対する余裕が小さくなる蓄圧タンク初期保有水量に関する影響評価の結果を以下に示す。</p> <p>(a) 運転員等操作時間に与える影響</p> <p>初期条件の原子炉停止後の炉心崩壊熱を最確条件とした場合、解</p>	<p>【大飯、高浜】 記載表現の相違 ・泊は個別解析のため、標準値に係る記載をしない （大飯と同様）</p> <p>【高浜】 記載内容の相違 ・泊は個別解析のため、標準値に係る記載をしない （大飯と同様）</p> <p>【大飯、高浜】 記載表現の相違 （女川実績の反映）</p>

泊発電所3号炉 有効性評価 比較表

灰色：女川2号炉の記載のうち、
BWR固有の設備や対応手段であり、
泊3号炉と比較対象とならない記載

赤字：設備、運用又は体制の相違（設計方針の相違）
青字：記載箇所又は記載内容の相違（記載方針の相違）
緑字：記載表現、設備名称の相違（実質的な相違なし）

7.1.8 格納容器バイパス

大飯発電所3／4号炉	高浜発電所3／4号炉	女川原子力発電所2号炉	泊発電所3号炉	相違理由
<p>崩壊熱より小さくなるため、1次冷却材温度及び圧力の低下が早くなる。よって、非常用炉心冷却設備作動信号の発信を起点とする2次冷却系強制冷却及び1次冷却材温度及び圧力（サブクール条件）を起点とする加圧器逃がし弁の開閉操作及び高圧注入から充てん注入への切替操作の開始が早くなる。</p> <p>インターフェイスシステム LOCA時の破断口径を最確値とした場合、解析条件で設定している破断口径より小さくなるため、破断箇所からの漏えい量が少なくなる。このため、1次冷却材圧力の低下が遅くなり、非常用炉心冷却設備作動信号の発信を起点とする2次冷却系強制冷却の開始が遅くなる。一方、1次冷却材圧力の低下が遅くなることで1次冷却材の飽和温度の低下も遅くなり、1次冷却材温度及び圧力（サブクール条件）を起点とする加圧器逃がし弁の開閉操作及び高圧注入から充てん注入への切替操作の開始が早くなる。</p>	<p>熱より小さくなるため、1次冷却材温度及び圧力の低下が早くなる。よって、非常用炉心冷却設備作動信号の発信を起点とする2次冷却系強制冷却及び1次冷却材温度及び圧力（サブクール条件）を起点とする加圧器逃がし弁の開閉操作及び高圧注入から充てん注入への切替操作の開始が早くなる。</p> <p>インターフェイスシステム LOCA時の破断口径を最確値とした場合、解析条件で設定している破断口径より小さくなるため、破断箇所からの漏えい量が少なくなる。このため、1次冷却材圧力の低下が遅くなり、非常用炉心冷却設備作動信号の発信を起点とする2次冷却系強制冷却の開始が遅くなる。一方、1次冷却材圧力の低下が遅くなることで1次冷却材の飽和温度の低下も遅くなり、1次冷却材温度及び圧力（サブクール条件）を起点とする加圧器逃がし弁の開閉操作及び高圧注入から充てん注入への切替操作の開始が早くなる。</p>	<p>に対応したものとしており、その最確条件は平均的燃焼度約31GWd/tであり、解析条件の不確かさとして、最確条件とした場合は、解析条件で設定している崩壊熱よりも小さくなるため、発生する蒸気量は少なくなり、原子炉水位の低下は緩和され、また、炉心露出後の燃料被覆管温度の上昇は緩和されるが、操作手順（原子炉減圧後速やかに低圧注水に移行すること）に変わりはないことから、運転員等操作時間に与える影響はない。</p> <p>初期条件の炉心流量及び原子炉水位は、ゆらぎにより解析条件に対して変動を与えるが、事象進展に与える影響は小さいことから、運転員等操作時間に与える影響は小さい。</p> <p>事故条件の外部電源の有無については、事象進展を厳しくする観点から、給復水系による給水がなくなり、原子炉水位の低下が早くなる外部電源がない状態を設定している。</p> <p>なお、外部電源がある場合は、給復水系による原子炉圧力容器への給水機能は維持されることから、運転員等操作時間に与える影響はない。</p> <p>機器条件の逃がし安全弁は、解析条件の不確かさとして、最確条件とした場合は、解析条件で設定している弁数より多くなり、急速減圧時の減圧時間が短くなること</p>	<p>析条件で設定している炉心崩壊熱より小さくなるため、1次冷却材温度及び圧力の低下が早くなる。よって、非常用炉心冷却設備作動信号の発信を起点とする2次冷却系強制冷却操作及び1次冷却材温度及び圧力（サブクール条件）を起点とする加圧器逃がし弁の開閉操作及び高圧注入から充てん注入への切替操作の開始が早くなるが、操作手順（非常用炉心冷却設備作動信号の発信及び1次冷却材温度及び圧力（サブクール条件）を起点として操作開始）に変わりはないことから、運転員等操作時間に与える影響はない。</p> <p>事故条件のインターフェイスシステム LOCA時の破断口径を最確条件とした場合、解析条件で設定している破断口径より小さくなるため、破断箇所からの漏えい量が少なくなる。このため、1次冷却材圧力の低下が遅くなり、非常用炉心冷却設備作動信号の発信を起点とする2次冷却系強制冷却の開始が遅くなる。一方、1次冷却材圧力の低下が遅くなることで1次冷却材の飽和温度の低下も遅くなり、1次冷却材温度及び圧力（サブクール条件）を起点とする加圧器逃がし弁の開閉操作及び高圧注入から充てん注入への切替操作の開始が早くなるが、操作手順（非常用炉心冷却設備作動信号の発信及び1次冷却材温度及び圧力（サブクール条件）を起点として操作開始）に変わりはないことから、運転員等操作時間に与える影響はない。</p>	<p>川実績の反映）</p> <p>【大飯、高浜】 記載方針の相違（女川実績の反映）</p> <p>【大飯、高浜】 記載方針の相違（女川実績の反映）</p>

泊発電所3号炉 有効性評価 比較表

7.1.8 格納容器バイパス

灰色：女川2号炉の記載のうち、
BWR固有の設備や対応手段であり、
泊3号炉と比較対象とならない記載

赤字：設備、運用又は体制の相違（設計方針の相違）
青字：記載箇所又は記載内容の相違（記載方針の相違）
緑字：記載表現、設備名称の相違（実質的な相違なし）

大飯発電所3／4号炉	高浜発電所3／4号炉	女川原子力発電所2号炉	泊発電所3号炉	相違理由
	<p>蒸気発生器2次側保有水量を最確値とした場合、解析条件で設定している保有水量より多くなるため、2次側保有水量の違いによる2次系による冷却効果はわずかに大きくなるが、運転員等操作時間に与える影響は小さい。</p> <p>(b) 評価項目となるパラメータへの影響</p> <p>炉心崩壊熱を最確値とした場合、解析条件で設定している炉心崩壊熱より小さくなるため、1次冷却材の蒸散率が低下し、1次冷却系保有水量の低下が抑制される。このため、評価項目となるパ</p>	<p>で低圧炉心スプレイ系及び残留熱除去系（低圧注水モード）の注水開始時間が早くなるが、操作手順（原子炉減圧後速やかに低圧注水に移行すること）に変わりはないことから、運転員等操作時間に与える影響はない。</p> <p>機器条件の低圧炉心スプレイ系及び残留熱除去系（低圧注水モード）は、解析条件の不確かさとして、実際の注水量が解析より多い場合（注水特性（設計値）の保守性）、原子炉水位の回復は早くなる。冠水後の操作として冠水維持可能な注水量に制御するが、注水後の流量調整操作であることから、運転員等操作時間に与える影響はない。</p> <p style="text-align: right;">(添付資料 2.7.3)</p> <p>(b) 評価項目となるパラメータに与える影響</p> <p>初期条件の最大線出力密度は、解析条件の 44.0 kW/m に対して最確条件は約 42.0 kW/m 以下であり、解析条件の不確かさとして、最確条件とした場合は、燃料被覆管温度の上昇は緩和されることから、評価項目となるパラメータに対する余裕は大きくなる。</p> <p>初期条件の原子炉停止後の崩壊熱は、解析条件の燃焼度 33 GWd/t に対応したものとしており、その最確条件は平均的燃焼度約 31 GWd/t であり、解析条件の不確かさとして、最確条件とした場合</p>	<p>開始）に変わりはないことから、運転員等操作時間に与える影響はない。</p> <p>(b) 評価項目となるパラメータに与える影響</p> <p>初期条件の原子炉停止後の炉心崩壊熱を最確条件とした場合、解析条件で設定している炉心崩壊熱より小さくなるため、1次冷却材の蒸発率が低下し、1次冷却系保有水量の減少が抑制される。この</p>	<p>【高浜】 評価方針の相違 ・泊は個別解析のため不確かさの影響評価の対象外 (大飯と同様)</p> <p>【大飯、高浜】 記載表現の相違（女川実績の反映） 【高浜】 記載方針の相違 (大飯と同様)</p>

泊発電所3号炉 有効性評価 比較表

灰色：女川2号炉の記載のうち、
BWR固有の設備や対応手段であり、
泊3号炉と比較対象とならない記載

赤字：設備、運用又は体制の相違（設計方針の相違）
青字：記載箇所又は記載内容の相違（記載方針の相違）
緑字：記載表現、設備名称の相違（実質的な相違なし）

7.1.8 格納容器バイパス

大飯発電所3／4号炉	高浜発電所3／4号炉	女川原子力発電所2号炉	泊発電所3号炉	相違理由
<p>ラメータに対する余裕は大きくなる。</p> <p>インターフェイスシステム LOCA 時の破断口径を最確値とした場合、解析条件で設定している破断口径より小さくなるため、1次冷却材の流出量が少なくなり、1次冷却系保有水量の低下が抑制される。このため、評価項目となるパラメータに対する余裕は大きくなる。</p> <p>蓄圧タンクの初期保有水量を最確値とした場合、解析条件で設定している保有水量より多くなる。蓄圧タンクの初期保有水量が多い方が蓄圧タンク気相部の初期体積が小さくなり、注水に伴う気相部圧力の低下が大きくなることから、1次冷却系への注水量の観点から厳しくなる。その影響を事象推移から確認した結果、蓄圧タンクによる炉心注水よりも前に、高圧注入ポンプによる炉心注水により1次冷却系保有水量は回復に転じていることから、評価項目となるパラメータに与える影響はない。</p>	<p>断箇所からの漏えい量が低下する。よって、1次系保有水量の低下が抑制され、評価項目となるパラメータに対する余裕は大きくなる。</p> <p>蒸気発生器2次側保有水量を最確値とした場合、解析条件で設定している保有水量より多くなるため、2次側保有水量の違いによる2次系の冷却効果はわずかに大きくなり、評価項目となるパラメータに対する余裕は大きくなる。</p> <p>蓄圧タンクの初期保有水量を最確値とした場合、解析条件で設定している保有水量より多くなる。蓄圧タンクの初期保有水量が多い方が蓄圧タンク気相部の初期体積が小さくなり、注水に伴う気相部圧力の低下が大きくなることから、1次系への注水量の観点から厳しくなる。その影響を事象推移から確認した結果、蓄圧タンクによる炉心注水よりも前に、充てん／高圧注入ポンプによる炉心注水により1次系保有水量は回復に転じていることから、評価項目となるパラメータに与える影響はない。</p>	<p>は、解析条件で設定している崩壊熱よりも小さくなるため、発生する蒸気量は少なくなり、原子炉水位の低下は緩和され、また、炉心露出後の燃料被覆管温度の上昇は緩和され、それに伴う原子炉冷却材の放出も少なくなるが、本重要事故シーケンスは格納容器バイパス事象であることから、評価項目となるパラメータに与える影響はない。</p> <p>初期条件の炉心流量及び原子炉水位は、ゆらぎにより解析条件に対して変動を与えるが、事象進展に与える影響は小さいことから、評価項目となるパラメータに与える影響は小さい。</p> <p>事故条件の外部電源の有無については、事象進展を厳しくする観点から、給復水系による給水がなくなり、原子炉水位の低下が早くなる外部電源がない状態を設定している。</p> <p>なお、外部電源がある場合は、給復水系による原子炉圧力容器への給水機能は維持されるため、事象進展が緩和されることから、評価項目となるパラメータに対する余裕は大きくなる。</p> <p>機器条件の逃がし安全弁は、解析条件の不確かさとして、最確条件とした場合は、解析条件で設定している弁数より多くなり、急速減圧時の減圧時間が短くなることで低圧炉心スプレイ系及び残留熱除去系（低圧注水モード）の注水</p>	<p>ため、評価項目となるパラメータに対する余裕は大きくなる。</p> <p>事故条件のインターフェイスシステム LOCA 時の破断口径を最確条件とした場合、解析条件で設定している破断口径より小さくなるため、1次冷却材の流出量が少なくなり、1次冷却系保有水量の減少が抑制される。このため、評価項目となるパラメータに対する余裕は大きくなる。</p>	<p>【大飯、高浜】 記載表現の相違（女川実績の反映）</p> <p>【高浜】 評価方針の相違 ・泊は個別解析のため不確かさの影響評価の対象外（大飯と同様）</p> <p>【大飯、高浜】 記載表現の相違（女川実績の反映）</p>

泊発電所3号炉 有効性評価 比較表

灰色：女川2号炉の記載のうち、
BWR固有の設備や対応手段であり、
泊3号炉と比較対象とならない記載

赤字：設備、運用又は体制の相違（設計方針の相違）
青字：記載箇所又は記載内容の相違（記載方針の相違）
緑字：記載表現、設備名称の相違（実質的な相違なし）

7.1.8 格納容器バイパス

大飯発電所3／4号炉	高浜発電所3／4号炉	女川原子力発電所2号炉	泊発電所3号炉	相違理由
<p>b. 操作条件</p> <p>操作条件の不確かさとして、解析コード及び解析条件の不確かさが運転員等操作時間に与える影響、並びに解析上の操作開始時間と実際に見込まれる操作開始時間等の操作時間の変動を考慮して、要員の配置による他の操作に与える影響及び評価項目となるパラメータに与える影響を評価する。</p> <p>(a) 要員の配置による他の操作に与える影響</p> <p>インターフェイスシステム LOCAにおける2次冷却系強制冷却、高圧注入から充てん注入への切替操作及び加圧器逃がし弁の開閉操作は、第2.8.7図に示すとおり、中央制御室での操作であり、同一の運転員等による事象進展上重複する操作はないことから、要員の配</p> <p>b. 操作条件</p> <p>操作条件の不確かさとして、解析コード及び解析条件の不確かさが運転員等操作時間に与える影響、並びに解析上の操作開始時間と実際に見込まれる操作開始時間等の操作時間の変動を考慮して、要員の配置による他の操作に与える影響及び評価項目となるパラメータに与える影響を評価する。</p> <p>(a) 要員の配置による他の操作に与える影響</p> <p>インターフェイスシステム LOCAにおける2次系強制冷却、高圧注入から充てん注入への切替操作及び加圧器逃がし弁の開閉操作は、第2.8.1.7図に示すとおり、中央制御室での操作であり、同一の運転員等による事象進展上重複する操作はないことから、要員の配</p> <p>開始時間が早くなることにより、原子炉水位の回復が早くなることから、評価項目となるパラメータに対する余裕は大きくなる。</p> <p>機器条件の低圧炉心スプレイ系及び残留熱除去系（低圧注水モード）は、解析条件の不確かさとして、実際の注水量が解析より多い場合（注水特性（設計値）の保守性）、原子炉水位の回復が早くなることから、評価項目となるパラメータに対する余裕は大きくなる。</p> <p>（添付資料 2.7.3）</p> <p>b. 操作条件</p> <p>操作条件の不確かさとして、操作の不確かさを「認知」、「要員配置」、「移動」、「操作所要時間」、「他の並列操作有無」及び「操作の確実さ」の6要因に分類し、これらの要因が運転員等操作時間に与える影響を評価する。また、運転員等操作時間に与える影響が評価項目となるパラメータに与える影響を評価し、評価結果を以下に示す。</p> <p>(a) 運転員等操作時間に与える影響</p> <p>操作条件の逃がし安全弁による原子炉急速減圧操作は、解析上の操作開始時間として事象発生から30分後を設定している。運転員等操作時間に与える影響として、破断箇所の隔離操作の失敗の認知時間は、時間余裕を含めて設定されていることから、その後に行う原</p> <p>響はない。</p> <p>b. 操作条件</p> <p>操作条件の不確かさとして、操作の不確かさを「認知」、「要員配置」、「移動」、「操作所要時間」、「他の並列操作有無」及び「操作の確実さ」の6要因に分類し、これらの要因が運転員等操作時間に与える影響を評価する。また、運転員等操作時間に与える影響が評価項目となるパラメータに与える影響を評価し、評価結果を以下に示す。</p> <p>(a) 運転員等操作時間に与える影響</p> <p>操作条件のインターフェイスシステム LOCAにおける2次冷却系強制冷却操作は、解析上の操作開始時間として非常用炉心冷却設備動作信号発信から25分後を設定している。運転員等操作時間に与える影響として、実態の操作開始時間は解析上の設定とほぼ同等である</p>	<p>【大飯、高浜】評価方針の相違（女川実績の反映）</p> <p>【大飯、高浜】評価方針の相違（女川実績の反映）</p> <p>【大飯、高浜】評価方針の相違（女川実績の反映）</p> <p>・女川同様に解析上の操作開始時間を記載したため、各操作</p>			

灰色：女川2号炉の記載のうち、
BWR固有の設備や対応手段であり、
泊3号炉と比較対象とならない記載

赤字：設備、運用又は体制の相違（設計方針の相違）
青字：記載箇所又は記載内容の相違（記載方針の相違）
緑字：記載表現、設備名称の相違（実質的な相違なし）

7.1.8 格納容器バイパス

大飯発電所3／4号炉	高浜発電所3／4号炉	女川原子力発電所2号炉	泊発電所3号炉	相違理由
置による他の操作に与える影響はない。	による他の操作に与える影響はない。	子炉減圧の操作開始時間は解析上の設定よりも早まる可能性があり、この場合、低圧炉心スプレイ系及び残留熱除去系（低圧注水モード）による注水が早期に実施されることから、原子炉水位維持の点では問題とならない。	ことから、運転員等操作時間に与える影響はない。当該操作は、解析コード及び解析条件（操作条件を除く。）の不確かさにより操作開始時間は早まる若しくは遅くなる可能性があるが、中央制御室で行う操作であり、他の操作との重複もないことから、他の操作に与える影響はない。	条件毎に書き分けた
<p>【再掲】</p> <p>インターフェイスシステム LOCAにおける2次冷却系強制冷却、高圧注入から充てん注入への切替操作及び加圧器逃がし弁の開閉操作は、第2.8.7図に示すとおり、中央制御室での操作であり、同一の運転員等による事象進展上重複する操作はないことから、要員の配置による他の操作に与える影響はない。</p>	<p>【再掲】</p> <p>インターフェイスシステム LOCAにおける2次系強制冷却、高圧注入から充てん注入への切替操作及び加圧器逃がし弁の開閉操作は、第2.8.1.7図に示すとおり、中央制御室での操作であり、同一の運転員等による事象進展上重複する操作はないことから、要員の配置による他の操作に与える影響はない。</p>	<p>操作条件の高圧炉心スプレイ系の破断箇所隔離操作は、解析上の操作開始時間として事象発生から4時間20分後を設定している。運転員等操作時間に与える影響として、隔離操作を実施すべき弁を容易に認知でき、現場での操作場所は漏えい箇所と異なる場所にあり、漏えいの影響を受けにくいため、実態の操作開始時間は解析上の設定とほぼ同等であり、操作開始時間に与える影響は小さいことから、運転員等操作時間に与える影響も小さい。</p> <p>（添付資料 2.7.3）</p>	<p>操作条件のインターフェイスシステム LOCAにおける加圧器逃がし弁の開閉操作は、解析上の操作開始時間として非常用炉心冷却設備停止条件成立から4分後を設定している。運転員等操作時間に与える影響として、実態の操作開始時間は解析上の設定とほぼ同等であることから、運転員等操作時間に与える影響はない。当該操作は、解析コード及び解析条件（操作条件を除く。）の不確かさにより操作開始時間は早まる若しくは遅くなる可能性があるが、中央制御室で行う操作であり、他の操作との重複もないことから、他の操作に与える影響はない。</p>	<p>操作条件のインターフェイスシステム LOCAにおける高圧注入から充てん注入への切替操作は、解析上の操作開始時間として加圧器逃がし弁開閉操作に係る条件成立後を設定している。運転員等操作時間に与える影響として、実態の操作開始時間は解析上の設定とほぼ同等であることから、運転員等操</p>
<p>【再掲】</p> <p>インターフェイスシステム LOCAにおける2次冷却系強制冷却、高圧注入から充てん注入への切替操作及び加圧器逃がし弁の開閉操作は、第2.8.7図に示すとおり、中央制御室での操作であり、同一の運転員等による事象進展上重複する操作はないことから、要員の配置による他の操作に与える影響はない。</p>	<p>【再掲】</p> <p>インターフェイスシステム LOCAにおける2次系強制冷却、高圧注入から充てん注入への切替操作及び加圧器逃がし弁の開閉操作は、第2.8.1.7図に示すとおり、中央制御室での操作であり、同一の運転員等による事象進展上重複する操作はないことから、要員の配置による他の操作に与える影響はない。</p>			

泊発電所3号炉 有効性評価 比較表

灰色：女川2号炉の記載のうち、
BWR固有の設備や対応手段であり、
泊3号炉と比較対象とならない記載

赤字：設備、運用又は体制の相違（設計方針の相違）
青字：記載箇所又は記載内容の相違（記載方針の相違）
緑字：記載表現、設備名称の相違（実質的な相違なし）

7.1.8 格納容器バイパス

大飯発電所3／4号炉	高浜発電所3／4号炉	女川原子力発電所2号炉	泊発電所3号炉	相違理由
ない。	い。		<p>作時間に与える影響はない。当該操作は、解析コード及び解析条件（操作条件を除く。）の不確かさにより操作開始時間は早まる若しくは遅くなる可能性があるが、中央制御室で行う操作であり、他の操作との重複もないことから、他の操作に与える影響はない。</p> <p>また、余熱除去系統の隔離操作として実施する余熱除去ポンプの入口弁（ツインパワー弁）の閉操作は、第 2.8.7 図に示すとおり、現場の操作であるが、同一の運転員等による他の操作がないことから、要員の配置による他の操作への影響はない。なお、余熱除去ポンプの入口弁（ツインパワー弁）の操作位置は漏えいの影響を受けにくい場所にあるため、破断口径の不確かさにより漏えい量が変動しても、余熱除去ポンプの入口弁（ツインパワー弁）の閉操作の成立性に影響を与えない。</p> <p>蒸気発生器伝熱管破損時に破損側蒸気発生器の隔離に失敗する事故における2次冷却系強制冷却、高圧注入から充てん注入への切替操作及び加圧器逃がし弁の開閉操作は、第 2.8.8 図に示すとおり、中央制御室での操作であり、同一の運転員等による事象進展上重複する操作はないことから、要員の配置による他の操作に与える影響はない。</p>	
<p>また、余熱除去系統の隔離操作として実施する余熱除去ポンプの入口弁（ツインパワー弁）の閉止操作は、第 7.1.8.7 図に示すとおり、現場での操作であるが、同一の運転員等による他の操作がないことから、要員の配置による他の操作への影響はない。なお、余熱除去ポンプの入口弁（ツインパワー弁）の操作位置は漏えいの影響を受けにくい場所にあるため、破断口径の不確かさにより漏えい量が変動しても、余熱除去ポンプの入口弁（ツインパワー弁）の閉止操作の成立性に影響を与えない。</p> <p>蒸気発生器伝熱管破損時に破損側蒸気発生器の隔離に失敗する事故における健全側主蒸気逃がし弁開放による2次系強制冷却、高圧注入から充てん注入への切替操作及び加圧器逃がし弁の開閉操作は、第 2.8.1.8 図に示すとおり、中央制御室での操作であり、同一の運転員等による事象進展上重複する操作はないことから、要員の配置による他の操作に与える影響</p>		<p>操作条件の蒸気発生器伝熱管破損時に破損側蒸気発生器の隔離に失敗する事故における健全側蒸気発生器による2次冷却系強制冷却は、解析上の操作開始時間として破損側蒸気発生器隔離操作完了後1分で開始を設定している。運転員等操作時間に与える影響として、実態の操作開始時間は解析上の設定とほぼ同等であることから、運転員等操作時間に与える影</p>	<p>【大飯、高浜】 記載表現の相違（女川実績の反映） ・女川同様に解析上の操作開始時間を記載したため、各操作条件毎に書き分かれ</p>	

泊発電所3号炉 有効性評価 比較表

灰色：女川2号炉の記載のうち、
BWR固有の設備や対応手段であり、
泊3号炉と比較対象とならない記載

赤字：設備、運用又は体制の相違（設計方針の相違）
青字：記載箇所又は記載内容の相違（記載方針の相違）
緑字：記載表現、設備名称の相違（実質的な相違なし）

7.1.8 格納容器バイパス

大飯発電所3／4号炉	高浜発電所3／4号炉	女川原子力発電所2号炉	泊発電所3号炉	相違理由
<p>【再掲】</p> <p>蒸気発生器伝熱管破損時に破損側蒸気発生器の隔離に失敗する事故における2次冷却系強制冷却、高圧注入から充てん注入への切替操作及び加圧器逃がし弁の開閉操作は、第2.8.8図に示すとおり、中央制御室での操作であり、同一の運転員等による事象進展上重複する操作はないことから、要員の配置による他の操作に与える影響はない。</p>	<p>【再掲】</p> <p>蒸気発生器伝熱管破損時に破損側蒸気発生器の隔離に失敗する事故における健全側主蒸気逃がし弁開放による2次系強制冷却、高圧注入から充てん注入への切替操作及び加圧器逃がし弁の開閉操作は、第2.8.1.8図に示すとおり、中央制御室での操作であり、同一の運転員等による事象進展上重複する操作はないことから、要員の配置による他の操作に与える影響はない。</p>		<p>【再掲】</p> <p>蒸気発生器伝熱管破損時に破損側蒸気発生器の隔離に失敗する事故における健全側主蒸気逃がし弁開放による2次系強制冷却、高圧注入から充てん注入への切替操作及び加圧器逃がし弁の開閉操作は、第2.8.1.8図に示すとおり、中央制御室での操作であり、同一の運転員等による事象進展上重複する操作はないことから、要員の配置による他の操作に与える影響はない。</p>	<p>影響はない。当該操作は、解析コード及び解析条件（操作条件を除く。）の不確かさにより操作開始時間は早まる若しくは遅くなる可能性があるが、中央制御室で行う操作であり、他の操作との重複もないことから、他の操作に与える影響はない。</p> <p>操作条件の蒸気発生器伝熱管破損時に破損側蒸気発生器の隔離に失敗する事故における加圧器逃がし弁の開閉操作は、解析上の操作開始時間として加圧器逃がし弁開閉操作に係る条件成立後を設定している。運転員等操作時間に与える影響として、実態の操作開始時間は解析上の設定とほぼ同等であることから、運転員等操作時間に与える影響はない。当該操作は、解析コード及び解析条件（操作条件を除く。）の不確かさにより操作開始時間は早まる若しくは遅くなる可能性があるが、中央制御室で行う操作であり、他の操作との重複もないことから、他の操作に与える影響はない。</p> <p>操作条件の蒸気発生器伝熱管破損時に破損側蒸気発生器の隔離に失敗する事故における高圧注入から充てん注入への切替操作は、解析上の操作開始時間として非常用炉心冷却設備停止条件成立から2分後を設定している。運転員等操作時間に与える影響として、実態の操作開始時間は解析上の設定とほぼ同等であることから、運転員</p>

泊発電所3号炉 有効性評価 比較表

灰色：女川2号炉の記載のうち、
BWR固有の設備や対応手段であり、
泊3号炉と比較対象とならない記載

赤字：設備、運用又は体制の相違（設計方針の相違）
青字：記載箇所又は記載内容の相違（記載方針の相違）
緑字：記載表現、設備名称の相違（実質的な相違なし）

7.1.8 格納容器バイパス

大飯発電所3／4号炉	高浜発電所3／4号炉	女川原子力発電所2号炉	泊発電所3号炉	相違理由
はない。	配置による他の操作に与える影響はない。		等操作時間に与える影響はない。 当該操作は、解析コード及び解析条件（操作条件を除く。）の不確かさにより操作開始時間は早まる若しくは遅くなる可能性があるが、中央制御室で行う操作であり、他の操作との重複もないことから、他の操作に与える影響はない。	
(b) 評価項目となるパラメータに与える影響 2次冷却系強制冷却は、炉心崩壊熱等の不確かさにより1次冷却材温度及び圧力の低下が早くなることで、非常用炉心冷却設備作動信号の発信が早くなり、これに伴い操作開始が早くなる。 また、蒸気発生器伝熱管破損時に破損側蒸気発生器の隔離に失敗する事故における2次冷却系強制冷却は、解析上の開始時間と運用として実際に見込まれる開始時間の差異等により操作開始が早くなる。これらのように操作開始が早くなる場合には、1次冷却系からの漏えい量が少なくなり、1次冷却系保有水量の低下が抑制されるため、評価項目となるパラメータに対する余裕は大きくなる。	(b) 評価項目となるパラメータに与える影響 2次系強制冷却は、炉心崩壊熱の不確かさにより1次冷却材温度及び圧力の低下が早くなることで、非常用炉心冷却設備作動信号の発信が早くなり、これに伴い操作開始が早くなる。 また、蒸気発生器伝熱管破損時に破損側蒸気発生器の隔離に失敗する事故における健全側蒸気発生器による2次系強制冷却は、解析上の開始時間と運用として実際に見込まれる開始時間の差異により操作開始が早くなる。これらのように操作開始が早くなる場合には、1次系からの漏えい量が少くなり、1次系保有水量の低下が抑制されるため、評価項目となるパラメータに対する余裕は大きくなる。	(b) 評価項目となるパラメータに与える影響 操作条件の逃がし安全弁による原子炉急速減圧操作は、運転員等操作時間に与える影響として、実態の操作開始時間は解析上の設定よりも早まる可能性があり、この場合、低圧炉心スプレイ系及び残留熱除去系（低圧注水モード）による注水が早期に実施されることから、評価項目となるパラメータに対する余裕は大きくなる。	(b) 評価項目となるパラメータに与える影響 操作条件の2次冷却系強制冷却は、運転員等操作時間に与える影響として、実態の操作開始時間は炉心崩壊熱等の不確かさにより1次冷却材温度及び圧力の低下が早くなることで、非常用炉心冷却設備作動信号の発信が早くなり、これに伴い操作開始が早くなる。 また、操作条件の蒸気発生器伝熱管破損時に破損側蒸気発生器の隔離に失敗する事故における健全側蒸気発生器による2次冷却系強制冷却は、運転員等操作時間に与える影響として、実態の操作開始時間は解析上の開始時間と運用として実際に見込まれる開始時間の差異等により操作開始が早くなる。これらのように操作開始が早くなる場合には、1次冷却系からの漏えい量が少くなり、1次冷却系保有水量の減少が抑制されるため、評価項目となるパラメータに対する余裕は大きくなる。	【大飯、高浜】記載表現の相違（女川実績の反映）
一方、インターフェイスシステムLOCAにおける2次冷却系強制冷	一方、インターフェイスシステムLOCAにおける2次系強制冷却		一方、操作条件のインターフェイスシステムLOCAにおける2次冷	【大飯、高浜】記載表現の相違（女

泊発電所3号炉 有効性評価 比較表

灰色：女川2号炉の記載のうち、
BWR固有の設備や対応手段であり、
泊3号炉と比較対象とならない記載

赤字：設備、運用又は体制の相違（設計方針の相違）
青字：記載箇所又は記載内容の相違（記載方針の相違）
緑字：記載表現、設備名称の相違（実質的な相違なし）

7.1.8 格納容器バイパス

大飯発電所3／4号炉	高浜発電所3／4号炉	女川原子力発電所2号炉	泊発電所3号炉	相違理由
<p>却は、冷却材放出における臨界流モデル等の不確かさにより、1次冷却系からの漏えい量が少なくなり、1次冷却材圧力の低下が遅くなることで、非常用炉心冷却設備作動信号の発信が遅くなり、これに伴い操作開始が遅くなる。このように操作開始が遅くなる場合は、1次冷却系からの漏えい量と操作遅れ時間の程度により燃料被覆管温度上昇に対する余裕は小さくなることが考えられるが、高圧注入ポンプによる炉心注水により1次冷却系保有水量は確保されていることから、評価項目となるパラメータに与える影響は小さい。</p> <p>加圧器逃がし弁の開閉操作及び高圧注入から充てん注入への切替操作は、炉心崩壊熱等の不確かさにより1次冷却材温度及び圧力の低下が早くなることで、操作開始が早くなる。このように操作開始が早くなる場合には、1次冷却系からの漏えい量が少なくなり、1次冷却系保有水量の低下が抑制されるため、評価項目となるパラメータに対する余裕は大きくなる。</p> <p>(3) 操作時間余裕の把握 操作遅れによる影響度合いを把握す</p>	<p>は、冷却材放出における臨界流モデルの不確かさ等により、1次系からの漏えい量が少なくなり、1次冷却材圧力の低下が遅くなることで、非常用炉心冷却設備作動信号の発信が遅くなり、これに伴い操作開始が遅くなる。このように操作開始が遅くなる場合は、1次系からの漏えい量と操作遅れ時間の程度により燃料被覆管温度上昇に対する余裕は小さくなることが考えられるが、充てん／高圧注入ポンプによる炉心注水により1次系保有水量は確保されていることから、評価項目となるパラメータに与える影響は小さい。</p> <p>加圧器逃がし弁の開閉操作及び高圧注入から充てん注入への切替操作は、炉心崩壊熱の不確かさ等により1次冷却材温度及び圧力の低下が早くなることで、操作開始が早くなる。このように操作開始が早くなる場合には、1次系からの漏えい量が少なくなり、1次系保有水量の低下が抑制されるため、評価項目となるパラメータに対する余裕は大きくなる。</p> <p>(3) 操作時間余裕の把握 操作遅れによる影響度合いを把握す</p>	<p>操作条件の高圧炉心スプレイ系の破断箇所隔離操作は、運転員等操作時間に与える影響として、隔離操作の実施の有無に関わらず、低圧炉心スプレイ系及び残留熱除去系（低圧注水モード）の原子炉注水継続により、炉心は再冠水されるため、評価項目となるパラメータに与える影響はない。 (添付資料 2.7.3)</p> <p>(3) 操作時間余裕の把握 操作開始時間の遅れによる影響度合</p>	<p>却系強制冷却は、運転員等操作時間に与える影響として、実態の操作開始時間は冷却材放出における臨界流モデル等の不確かさにより、1次冷却系からの漏えい量が少なくなり、1次冷却材圧力の低下が遅くなることで、非常用炉心冷却設備作動信号の発信が遅くなり、これに伴い操作開始が遅くなる。このように操作開始が遅くなる場合は、1次冷却系からの漏えい量と操作遅れ時間の程度により燃料被覆管温度上昇に対する余裕は小さくなることが考えられるが、高圧注入ポンプによる炉心注水により1次冷却系保有水量は確保されていることから、評価項目となるパラメータに与える影響は小さい。</p> <p>操作条件の加圧器逃がし弁の開閉操作及び高圧注入から充てん注入への切替操作は、運転員等操作時間に与える影響として、実態の操作開始時間は炉心崩壊熱等の不確かさにより1次冷却材温度及び圧力の低下が早くなることで、操作開始が早くなる。このように操作開始が早くなる場合には、1次冷却系からの漏えい量が少なくなり、1次冷却系保有水量の減少が抑制されるため、評価項目となるパラメータに対する余裕は大きくなる。</p> <p>(3) 操作時間余裕の把握 操作開始時間の遅れによる影響度合</p>	<p>【大飯、高浜】記載表現の相違（女川実績の反映）</p>

泊発電所3号炉 有効性評価 比較表

灰色：女川2号炉の記載のうち、
BWR固有の設備や対応手段であり、
泊3号炉と比較対象とならない記載

赤字：設備、運用又は体制の相違（設計方針の相違）
青字：記載箇所又は記載内容の相違（記載方針の相違）
緑字：記載表現、設備名称の相違（実質的な相違なし）

7.1.8 格納容器バイパス

大飯発電所3／4号炉	高浜発電所3／4号炉	女川原子力発電所2号炉	泊発電所3号炉	相違理由
<p>る観点から、評価項目となるパラメータに対して、対策の有効性が確認できる範囲内の操作時間余裕を評価する。</p> <p>インターフェイスシステム LOCA 時において、2次冷却系強制冷却の操作時間余裕としては、水源となる燃料取替用水ピット枯済までの時間として、第 2.8.36 図に示す2次冷却系強制冷却開始までの最大注水流量が継続するものとして概算した。その結果、約 2 時間の操作時間余裕があることを確認した。</p> <p>加圧器逃がし弁の開操作及び高圧注入から充てん注入への切替操作の時間余裕としては、水源となる燃料取替用水ピット枯済までの時間として、第 2.8.36 図に示す主蒸気逃がし弁開による1次冷却系の減温、減圧操作を考慮し、大気圧時点での高圧注入流量が継続するものとして概算した。その結果、約 2 時間の操作時間余裕があることを確認した。</p> <p>蒸気発生器伝熱管破損時に破損側蒸気発生器の隔離に失敗する事故時において、破損側蒸気発生器の隔離操作及び2次冷却系強制冷却の時間余裕としては、水源となる燃料取替用水ピット枯済までの時間として、第 2.8.37 図に示す2次冷却系強制冷却開始までの最大注水流量が継続するものとして概算した。その結果、約 7 時間の操作時間余裕があることを確認した。</p> <p>加圧器逃がし弁の開操作及び高圧注入から充てん注入への切替操作の時間</p>	<p>る観点から、評価項目となるパラメータに対して、対策の有効性が確認できる範囲内の操作時間余裕を評価する。</p> <p>インターフェイスシステム LOCA 時において、2次系強制冷却の操作時間余裕としては、水源となる燃料取替用水タンク枯済までの時間として、第 2.8.3.1 図に示す2次系強制冷却開始までの最大注水流量が継続するものとして概算した。その結果、約 2 時間の操作時間余裕があることを確認した。</p> <p>加圧器逃がし弁開放操作及び高圧注入から充てん注入への切替操作の時間余裕としては、水源となる燃料取替用水タンク枯済までの時間として、第 2.8.3.1 図に示す主蒸気逃がし弁開による1次系の減温、減圧操作を考慮し、大気圧時点での高圧注入流量が継続するものとして概算した。その結果、約 1 時間の操作時間余裕があることを確認した。</p> <p>蒸気発生器伝熱管破損時に破損側蒸気発生器の隔離に失敗する事故時において、破損側蒸気発生器の隔離操作及び2次系強制冷却の時間余裕としては、水源となる燃料取替用水タンク枯済までの時間として、第 2.8.3.2 図に示す2次系強制冷却開始までの最大注水流量が継続するものとして概算した。その結果、約 6 時間の操作時間余裕があることを確認した。</p> <p>加圧器逃がし弁開放操作及び高圧注入から充てん注入への切替操作の時間</p>	<p>いを把握する観点から、評価項目となるパラメータに対して、対策の有効性が確認できる範囲内の操作時間余裕を確認し、その結果を以下に示す。</p> <p>操作条件の逃がし安全弁による原子炉急速減圧操作については、原子炉隔離時冷却系の原子炉注水により、炉心はおおむね冠水維持されることから、時間余裕がある。</p> <p>操作条件の高圧炉心スプレイ系の破断箇所隔離操作については、隔離操作の実施の有無に関わらず、低圧炉心スプレイ系及び残留熱除去系（低圧注水モード）の原子炉注水継続により、炉心は再冠水されることから、時間余裕がある。</p> <p>(添付資料 2.7.3)</p>	<p>いを把握する観点から、評価項目となるパラメータに対して、対策の有効性が確認できる範囲内の操作時間余裕を確認し、その結果を以下に示す。</p> <p>インターフェイスシステム LOCA 時において、操作条件の 2次冷却系強制冷却の時間余裕としては、水源となる燃料取替用水ピット枯済までの時間として、第 7.1.8.36 図に示す2次冷却系強制冷却開始までの最大注水流量が継続するものとして概算した。その結果、約 3 時間の時間余裕がある。</p> <p>操作条件の加圧器逃がし弁の開操作及び高圧注入から充てん注入への切替操作の時間余裕としては、水源となる燃料取替用水ピット枯済までの時間として、第 7.1.8.36 図に示す主蒸気逃がし弁開による1次冷却系の減温、減圧操作を考慮し、大気圧時点での高圧注入流量が継続するものとして概算した。その結果、約 3 時間の時間余裕がある。</p> <p>蒸気発生器伝熱管破損時に破損側蒸気発生器の隔離に失敗する事故時において、操作条件の破損側蒸気発生器の隔離操作及び 2次冷却系強制冷却の時間余裕としては、水源となる燃料取替用水ピット枯済までの時間として、第 7.1.8.37 図に示す2次冷却系強制冷却操作開始までの最大注水流量が継続するものとして概算した。その結果、約 5 時間の時間余裕がある。</p> <p>操作条件の加圧器逃がし弁開操作及び高圧注入から充てん注入への切替操</p>	<p>記載表現の相違（女川実績の反映）</p> <p>【大飯、高浜】 解析結果の相違</p> <p>【大飯、高浜】 解析結果の相違</p> <p>【大飯、高浜】 解析結果の相違</p>

泊発電所3号炉 有効性評価 比較表

灰色：女川2号炉の記載のうち、
BWR固有の設備や対応手段であり、
泊3号炉と比較対象とならない記載

赤字：設備、運用又は体制の相違（設計方針の相違）
青字：記載箇所又は記載内容の相違（記載方針の相違）
緑字：記載表現、設備名称の相違（実質的な相違なし）

7.1.8 格納容器バイパス

大飯発電所3／4号炉	高浜発電所3／4号炉	女川原子力発電所2号炉	泊発電所3号炉	相違理由
<p>余裕としては、水源となる燃料取替用水ピット枯渇までの時間として、第2.8.37図に示す主蒸気逃がし弁開による1次冷却系の減温、減圧操作を考慮し、大気圧時点の高圧注入流量が継続するものとして概算した。その結果、約4時間の操作時間余裕があることを確認した。</p> <p>(4) まとめ 解析コード及び解析条件の不確かさの影響評価の範囲として、運転員等操作時間に与える影響、評価項目となるパラメータに与える影響及び要員の配置による他の操作に与える影響を確認した。 その結果、解析コード及び解析条件の不確かさ、並びにそれらが運転員等操作時間に与える影響等を考慮した場合においても、運転員等によるクールダウンアンドリサーキュレーションにより、1次冷却系への注水、1次冷却系の減温、減圧を行うこと等により、評価項目となるパラメータに与える影響は小さいことを確認した。 この他、評価項目となるパラメータに対して、対策の有効性が確認できる範囲内において操作時間余裕がある。また、要員の配置による他の操作に与える影響はない。 (添付資料 2.8.14、2.8.16)</p>	<p>余裕としては、水源となる燃料取替用水タンク枯渇までの時間として、第2.8.3.2図に示す主蒸気逃がし弁開による1次系の減温、減圧操作を考慮し、大気圧時点の高圧注入流量が継続するものとして概算した。その結果、約5時間の操作時間余裕があることを確認した。</p> <p>(4) まとめ 解析コード及び解析条件の不確かさの影響評価の範囲として、運転員等操作時間に与える影響、評価項目となるパラメータに与える影響及び要員の配置による他の操作に与える影響を確認した。 その結果、解析コード及び解析条件の不確かさが運転員等操作時間に与える影響等を考慮した場合においても、評価項目となるパラメータに与える影響は小さい。 この他、評価項目となるパラメータに対して、対策の有効性が確認できる範囲内において操作時間余裕がある。</p>		<p>作の時間余裕としては、水源となる燃料取替用水ピット枯渇までの時間として、第7.1.8.37図に示す主蒸気逃がし弁開による1次冷却系の減温、減圧操作を考慮し、大気圧時点の高圧注入流量が継続するものとして概算した。その結果、約3時間の時間余裕がある。</p> <p>(4) まとめ 解析コード及び解析条件の不確かさの影響評価の範囲として、運転員等操作時間に与える影響、評価項目となるパラメータに与える影響及び操作時間余裕を確認した。 その結果、解析コード及び解析条件の不確かさが運転員等操作時間に与える影響等を考慮した場合においても、評価項目となるパラメータに与える影響は小さい。 この他、評価項目となるパラメータに対して、対策の有効性が確認できる範囲内において、操作時間には時間余裕がある。</p>	<p>【大飯、高浜】 解析結果の相違</p> <p>【大飯、高浜】 評価方針の相違（女川実績の反映）</p> <p>【大飯、高浜】 記載表現の相違（女川実績の反映）</p> <p>【大飯、高浜】 記載方針の相違（女川実績の反映）</p> <p>【大飯、高浜】 評価方針の相違（女川実績の反映）</p>
	(添付資料 2.8.14、2.8.15)		(添付資料7.1.8.13、7.1.8.14)	

泊発電所3号炉 有効性評価 比較表

灰色：女川2号炉の記載のうち、
BWR固有の設備や対応手段であり、
泊3号炉と比較対象とならない記載

赤字：設備、運用又は体制の相違（設計方針の相違）
青字：記載箇所又は記載内容の相違（記載方針の相違）
緑字：記載表現、設備名称の相違（実質的な相違なし）

7.1.8 格納容器バイパス

大飯発電所3／4号炉	高浜発電所3／4号炉	女川原子力発電所2号炉	泊発電所3号炉	相違理由
2.8.4 必要な要員及び資源の評価 (1) 必要な要員の評価 事故シーケンスグループ「格納容器バイパス」において、3号炉及び4号炉同時の重大事故等対策時に必要な要員は、「2.8.1(3) 炉心損傷防止対策」に示すとおり 18名である。したがって、「6.2 重大事故等対策時に必要な要員の評価結果」に示す重大事故等対策要員 74名で対処可能である。	2.8.4 必要な要員及び資源の評価 (1) 必要な要員の評価 事故シーケンスグループ「格納容器バイパス」において、3号炉及び4号炉同時の重大事故等対策に必要な要員は、「2.8.1(3) 炉心損傷防止対策」に示すとおり 18名である。「6.2 重大事故等対策時に必要な要員の評価結果」で説明している重大事故等対策要員 118名で対応可能である。	2.7.4 必要な要員及び資源の評価 (1) 必要な要員の評価 事故シーケンスグループ「格納容器バイパス (インターフェイスシステム LOCA)」において、重大事故等対策における必要な要員は、「2.7.1(3) 炉心損傷防止対策」に示すとおり 30名である。「6.2 重大事故等対策時に必要な要員の評価結果」で説明している中央制御室の運転員、発電所対策本部要員及び重大事故等対応要員の 30名で対処可能である。	7.1.8.4 必要な要員及び資源の評価 (1) 必要な要員の評価 事故シーケンスグループ「格納容器バイパス」において、重大事故等対策時ににおける必要な要員は、「7.1.8.1(3) 炉心損傷防止対策」に示すとおり 11名である。「7.5.2 重大事故等対策時に必要な要員の評価結果」で説明している中央制御室の運転員、災害対策本部要員、災害対策要員及び災害対策要員（支援）の 35名で対処可能である。	
(2) 必要な資源の評価 事故シーケンス「格納容器バイパス」において、必要な水源、燃料及び電源は、「6.1(2) 資源の評価条件」の条件にて評価を行い、その結果を以下に示す。 また、水源、燃料及び電源については、3号炉及び4号炉でそれぞれ独立した供給源を有することより、号炉間の事故シーケンスの重ね合わせの考慮が不要であり、号炉ごとに資源の供給が可能であることを確認する。	(2) 必要な資源の評価 事故シーケンス「格納容器バイパス」において、必要な水源、燃料及び電源は、「6.1(2) 資源の評価条件」の条件にて評価を行い、その結果を以下に示す。 また、水源、燃料及び電源については、3号炉及び4号炉でそれぞれ独立した供給源を有することより、号炉間の事故シーケンスの重ね合わせの考慮が不要であり、号炉ごとに資源の供給が可能であることを確認する。	(2) 必要な資源の評価 事故シーケンスグループ「格納容器バイパス (インターフェイスシステム LOCA)」において、必要な水源、燃料及び電源は、「7.5.1(2) 資源の評価条件」の条件にて評価している。その結果を以下に示す。 (添付資料 2.7.4)	(2) 必要な資源の評価 事故シーケンスグループ「格納容器バイパス」において、必要な水源、燃料及び電源は、「7.5.1(2) 資源の評価条件」の条件にて評価している。その結果を以下に示す。	[大飯、高浜] ・泊はシングルプラント評価のためツインプラントでの群評である大飯、高浜と評価条件が異なる（女川と同様）
なお、重要事故シーケンス「インターフェイスシステム LOCA」及び「蒸気発生器伝熱管破損時に破損側蒸気発生器の隔離に失敗する事故」において、燃料及び電源の評価結果は同じであり、水源の評価結果は各々について以下に示す。	なお、重要事故シーケンス「インターフェイスシステム LOCA」及び、「蒸気発生器伝熱管破損時に破損側蒸気発生器の隔離に失敗する事故」において、燃料及び電源の評価結果は同じであり、水源の評価結果は各々について以下に示す。		なお、重要事故シーケンス「インターフェイスシステム LOCA」及び、「蒸気発生器伝熱管破損時に破損側蒸気発生器の隔離に失敗する事故」において、燃料及び電源の評価結果は同じであり、水源の評価結果は各々について以下に示す。	

泊発電所3号炉 有効性評価 比較表

灰色：女川2号炉の記載のうち、
BWR固有の設備や対応手段であり、
泊3号炉と比較対象とならない記載

赤字：設備、運用又は体制の相違（設計方針の相違）
青字：記載箇所又は記載内容の相違（記載方針の相違）
緑字：記載表現、設備名称の相違（実質的な相違なし）

7.1.8 格納容器バイパス

大飯発電所3／4号炉	高浜発電所3／4号炉	女川原子力発電所2号炉	泊発電所3号炉	相違理由
<p>a. 水源</p> <p>重要事故シーケンス「インターフェイスシステム LOCA」において、復水ピット（$1,035\text{m}^3$：有効水量）を水源とする補助給水ポンプを用いた蒸気発生器への注水による2次冷却系の冷却については、復水ピットが枯渇するまでの約18.7時間の注水継続が可能であり、事象発生の約63分後から健全側余熱除去系による冷却を実施した以降は、炉心冷却のための蒸気発生器への注水継続は不要である。</p> <p>また、燃料取替用水ピット（約$1,860\text{m}^3$：有効水量）を水源とする高圧注入ポンプによる炉心注水については、事象発生の約63分後に充てんポンプに切り替えて炉心注水を継続する。</p> <p>その後、余熱除去系統からの漏えい停止確認以降は、事象収束のための注水継続は不要である。</p> <p>重要事故シーケンス「蒸気発生器伝熱管破損時に破損側蒸気発生器の隔離に失敗する事故」において、復水ピット（約$1,035\text{m}^3$：有効水量）を水源とする補助給水ポンプを用いた蒸気発生器への注水による2次冷却系の冷却については、復水ピットが</p>	<p>a. 水源</p> <p>重要事故シーケンス「インターフェイスシステム LOCA」において、復水タンク（646m^3：有効水量）を水源とする補助給水ポンプを用いた蒸気発生器への注水による2次系冷却については、復水タンクが枯渇するまでの約12.5時間の注水継続が可能であり、この間に消防ポンプを用いた海水補給が可能である。</p> <p>また、燃料取替用水タンク（$1,600\text{m}^3$：有効水量）を水源とする充てん／高圧注入ポンプによる炉心注水については、事象発生の約62分後に高圧注入から充てん注入に切り替えて炉心注水を継続する。</p> <p>その後、余熱除去系統からの漏えい停止確認以降は、事象収束のための注水継続は不要である。</p> <p>重要事故シーケンス「蒸気発生器伝熱管破損時に破損側蒸気発生器の隔離に失敗する事故」において、復水タンク（646m^3：有効水量）を水源とする補助給水ポンプを用いた蒸気発生器への注水による2次系冷却については、復水タンクが枯渇するま</p>	<p>a. 水源</p> <p>インターフェイスシステム LOCA発生後の隔離までの流出量は、約450m^3となり、流出量分の注水が必要となる。水源として、復水貯蔵タンクに約$1,192\text{m}^3$の水を保有している。インターフェイスシステム LOCAにより復水貯蔵タンクが使用できない場合においても、サプレッションチャンバーに約$2,800\text{m}^3$の水を保有しており、低圧炉心スプレイ系及び残留熱除去系（低圧注水モード）による原子炉注水並びに残留熱除去系（サプレッションプール水冷却モード）による格納容器除熱は、サプレッションチャンバー内のプール水を水源とし、循環することから、水源が枯渇することはない。これにより必要な水量が確保可能であり、7日間の継続実施が可能である。</p>	<p>a. 水源</p> <p>重要事故シーケンス「インターフェイスシステム LOCA」において、補助給水ピット（570m^3：有効水量）を水源とする補助給水ポンプを用いた蒸気発生器への注水による2次冷却系については、補助給水ピットが枯渇するまでの約7.4時間の注水継続が可能であるが、それまでに余熱除去系による炉心冷却が可能となる。余熱除去系に切替えた以降は、余熱除去系による炉心冷却を継続することにより、炉心冷却のための蒸気発生器への注水継続は不要である。</p> <p>また、燃料取替用水ピット（$1,700\text{m}^3$：有効水量）を水源とする高圧注入ポンプによる炉心注水については、事象発生後約60分後に充てんポンプに切り替えて炉心注水を継続する。</p> <p>その後、余熱除去系統からの漏えい停止確認以降は、事象収束のための注水継続は不要である。</p> <p>重要事故シーケンス「蒸気発生器伝熱管破損時に破損側蒸気発生器の隔離に失敗する事故」において、補助給水ピット（570m^3：有効水量）を水源とする補助給水ポンプを用いた蒸気発生器への注水による2次冷却系の冷却については、補助給水ピッ</p>	<p>【大飯、高浜】 設計の相違</p> <p>・補助給水ピット水量の差異により注水継続時間が異なる 【高浜】 設計の相違 ・泊、大飯は1系統の漏えいのため、健全側の余熱除去系が使用可能 【大飯】 記載方針の相違（伊方と同様）</p> <p>【大飯、高浜】 設計の相違 【大飯、高浜】 解析結果の相違</p> <p>【大飯、高浜】 設計の相違</p>

泊発電所3号炉 有効性評価 比較表

灰色：女川2号炉の記載のうち、
BWR固有の設備や対応手段であり、
泊3号炉と比較対象とならない記載

赤字：設備、運用又は体制の相違（設計方針の相違）
青字：記載箇所又は記載内容の相違（記載方針の相違）
緑字：記載表現、設備名称の相違（実質的な相違なし）

7.1.8 格納容器バイパス

大飯発電所3／4号炉	高浜発電所3／4号炉	女川原子力発電所2号炉	泊発電所3号炉	相違理由
<p>枯渀するまでの約18.7時間の注水継続が可能であり、事象発生の約2.3時間後に余熱除去系による冷却に切り替えた以降は、炉心冷却のための蒸気発生器への注水継続は不要である。また、燃料取替用水ピット（約1,860m³：有効水量）を水源とする高圧注入ポンプによる炉心注水については、事象発生の約36分後に充てんポンプに切り替えて炉心注水を継続する。</p> <p>その後、1次冷却系の減圧操作により、蒸気発生器2次側圧力と均圧し、破損側蒸気発生器からの漏えいが停止した以降は、事象収束のための注水継続は不要である。なお、余熱除去系の接続に失敗した場合においては、充てんポンプ及び加圧器逃がし弁を用いた充てん系によるフィードアンドブリード運転を実施するとともに、代替再循環運転へ切り替えることにより長期冷却が可能である。</p> <p>b. 燃料</p> <p>ディーゼル発電機による電源供給については、事象発生後7日間ディーゼル発電機を全出力で運転した場合、約594.7kLの重油が必要となる。</p>	<p>での約12.5時間の注水継続が可能であり、事象発生の約2.2時間後に余熱除去系による冷却に切り替えた移行は、炉心冷却のための蒸気発生器への注水継続は不要である。また、燃料取替用水タンク（1,600m³：有効水量）を水源とする充てん／高圧注入ポンプによる炉心注水については、事象発生の約47分後に高圧注入から充てん注入に切り替えて炉心注水を継続する。</p> <p>その後、1次系の減圧操作により、蒸気発生器2次側圧力と均圧し、破損側蒸気発生器からの漏えいが停止した以降は、事象収束のための注水継続は不要である。なお、余熱除去系の接続に失敗した場合においては、充てん注入によるフィードアンドブリード運転を実施するとともに、代替再循環運転へ切り替えることにより長期冷却が可能である。</p> <p>b. 燃料</p> <p>ディーゼル発電機による電源供給については、事象発生後7日間ディーゼル発電機を全出力で運転した場合、約450.9kLの重油が必要となる。</p>		<p>トが枯渀するまでの約7.4時間の注水継続が可能であり、事象発生の約2.0時間後に余熱除去系による冷却に切り替えた以降は、炉心冷却のための蒸気発生器への注水継続は不要である。また、燃料取替用水ピット（1,700m³：有効水量）を水源とする高圧注入ポンプによる炉心注水については、事象発生の約37分後に充てんポンプに切り替えて炉心注水を継続する。</p> <p>その後、1次冷却系の減圧操作により、蒸気発生器2次側圧力と均圧し、破損側蒸気発生器からの漏えいが停止した以降は、事象収束のための注水継続は不要である。なお、余熱除去系の接続に失敗した場合においては、充てんポンプ及び加圧器逃がし弁を用いた充てん系によるフィードアンドブリード運転を実施するとともに、代替再循環運転へ切り替えることにより長期冷却が可能である。</p> <p>b. 燃料</p> <p>ディーゼル発電機による電源供給については、事象発生後7日間最大負荷で運転した場合、約527.1kLの軽油が必要となる。</p>	<p>【大飯、高浜】 記載方針の相違 ・補助給水ピット水量の差異により注水継続時間が異なる</p> <p>【高浜】 記載方針の相違 ・必要な燃料量の相違 ・泊は軽油のみを使用する</p>

泊発電所3号炉 有効性評価 比較表

灰色：女川2号炉の記載のうち、
BWR固有の設備や対応手段であり、
泊3号炉と比較対象とならない記載

赤字：設備、運用又は体制の相違（設計方針の相違）
青字：記載箇所又は記載内容の相違（記載方針の相違）
緑字：記載表現、設備名称の相違（実質的な相違なし）

7.1.8 格納容器バイパス

大飯発電所3／4号炉	高浜発電所3／4号炉	女川原子力発電所2号炉	泊発電所3号炉	相違理由
<p>電源車（緊急時対策所用）による電源供給については、事象発生直後からの運転を想定して、7日間の運転継続に約3.1kLの重油が必要となる。</p> <p>7日間の運転継続に必要な重油はこれらを合計して約597.8kLとなるが、「6.1(2) 資源の評価条件」に示すとおり燃料油貯蔵タンク及び重油タンクの合計容量(620kL)にて供給可能である。</p> <p>c. 電源</p>	<p>電源車（緊急時対策所用）による電源供給については、事象発生直後からの運転を想定して、7日間の運転継続に約2.8kLの重油が必要となる。</p> <p>7日間の運転継続に必要な重油はこれらを合計して約453.7kLとなるが、「6.1(2) 資源の評価条件」に示すとおり燃料油貯蔵油そうの合計油量(460kL)にて供給可能である。</p> <p>c. 電源</p>	<p>等対応に必要な電源供給は行わないものの、外部電源喪失により自動起動することから、保守的に事象発生後24時間、緊急用電気品建屋への電源供給を想定した場合、約25kLの軽油が必要となる。</p> <p>軽油タンク（約755kL）及びガスタービン発電設備軽油タンク（約300kL）にて合計約1,055kLの軽油を保有しており、これらの使用が可能であることから、非常用ディーゼル発電機等による電源供給及び大容量送水ポンプ（タイプI）による復水貯蔵タンクへの給水について、7日間の継続が可能である。</p> <p>緊急時対策所への電源供給については、保守的に事象発生直後からの電源車（緊急時対策所用）の運転を想定すると、7日間の運転継続に約17kLの軽油が必要となるが、緊急時対策所軽油タンク（約18kL）の使用が可能であることから、7日間の継続が可能である（合計使用量約809kL）。</p> <p>【再掲】</p> <p>軽油タンク（約755kL）及びガスタービン発電設備軽油タンク（約300kL）にて合計約1,055kLの軽油を保有しており、これらの使用が可能であることから、非常用ディーゼル発電機等による電源供給及び大容量送水ポンプ（タイプI）による復水貯蔵タンクへの給水について、7日間の継続が可能である。</p> <p>c. 電源</p>	<p>緊急時対策所への電源供給については、保守的に事象発生直後からの緊急時対策所用発電機の運転を想定すると、7日間の運転継続に約19.2kLの軽油が必要となる。</p> <p>ディーゼル発電機燃料油貯油槽（約540kL）及び燃料タンク（SA）（約50kL）にて合計約590kLの軽油を保有しており、これらの使用が可能であることから、ディーゼル発電機による電源供給及び緊急時対策所への電源供給について、7日間の継続が可能である（合計使用量約546.3kL）。</p> <p>c. 電源</p>	<p>【大飯、高浜】 記載方針の相違（女川実績の反映） 【大飯、高浜】 設備名称の相違 【大飯、高浜】 記載方針の相違</p> <p>【大飯、高浜】 記載方針の相違（女川実績の反映） 【大飯、高浜】 設備名称の相違 ・貯油槽容量の相違</p>

泊発電所3号炉 有効性評価 比較表

灰色：女川2号炉の記載のうち、
BWR固有の設備や対応手段であり、
泊3号炉と比較対象とならない記載

赤字：設備、運用又は体制の相違（設計方針の相違）
青字：記載箇所又は記載内容の相違（記載方針の相違）
緑字：記載表現、設備名称の相違（実質的な相違なし）

7.1.8 格納容器バイパス

大飯発電所3／4号炉	高浜発電所3／4号炉	女川原子力発電所2号炉	泊発電所3号炉	相違理由
<p>ディーゼル発電機の電源負荷について、重大事故等対策時に必要な負荷は設計基準事故時に想定している非常用炉心冷却設備作動信号により作動する負荷に含まれることから、ディーゼル発電機による電源供給が可能である。</p> <p>(添付資料 2. 1. 12)</p>	<p>ディーゼル発電機の電源負荷について、重大事故等対策時に必要な負荷は設計基準事故時に想定している非常用炉心冷却設備作動信号により作動する負荷に含まれることから、ディーゼル発電機による電源供給が可能である。</p> <p>(添付資料2. 1. 12)</p>	<p>外部電源は使用できないものと仮定し、非常用ディーゼル発電機等によって給電を行うものとする。重大事故等対策時に必要な負荷は、非常用ディーゼル発電機等の負荷に含まれることから、非常用ディーゼル発電機等による電源供給が可能である。</p> <p>また、緊急時対策所への電源供給を行う電源車（緊急時対策所用）についても、必要負荷に対しての電源供給が可能である。</p>	<p>外部電源は使用できないものと仮定し、ディーゼル発電機によって給電を行うものとする。重大事故等対策時に必要な負荷は、ディーゼル発電機の負荷に含まれることから、ディーゼル発電機による電源供給が可能である。</p> <p>また、緊急時対策所への電源供給を行う緊急時対策所用発電機についても、必要負荷に対しての電源供給が可能である。</p> <p>(添付資料7. 1. 8. 17)</p>	<p>【大飯、高浜】記載方針の相違（女川実績の反映）</p> <p>・緊対所の評価結果についても記載</p>

泊発電所3号炉 有効性評価 比較表

灰色：女川2号炉の記載のうち、
BWR固有の設備や対応手段であり、
泊3号炉と比較対象とならない記載

赤字：設備、運用又は体制の相違（設計方針の相違）
青字：記載箇所又は記載内容の相違（記載方針の相違）
緑字：記載表現、設備名称の相違（実質的な相違なし）

7.1.8 格納容器バイパス

大飯発電所3／4号炉	高浜発電所3／4号炉	女川原子力発電所2号炉	泊発電所3号炉	相違理由
<p>2.8.5 結論</p> <p>事故シーケンスグループ「格納容器バイパス」では、1次冷却材の原子炉格納容器外への漏えいが継続し、炉心損傷に至ることが特徴である。</p> <p>事故シーケンスグループ「格納容器バイパス」に対する炉心損傷防止対策としては、短期対策として主蒸気逃がし弁、高圧注入ポンプ等によるクールダウンアンドリサキュレーションを整備しております。</p> <p>さらに、余熱除去系の接続に失敗する場合を想定して、充てんポンプ及び加圧器逃がし弁を用いた充てん系によるフィードアンドブリードを整備している。長期対策として余熱除去系による炉心冷却を整備する。また、余熱除去系の接続に失敗する場合を想定して、主蒸気逃がし弁を用いた蒸気発生器による除熱、格納容器スプレイポンプによる代替再循環を整備している。</p>	<p>2.8.5 結論</p> <p>事故シーケンスグループ「格納容器バイパス」では、1次冷却材の原子炉格納容器外への漏えいが継続し、炉心損傷に至ることが特徴である。</p> <p>事故シーケンスグループ「格納容器バイパス」に対する炉心損傷防止対策としては、短期対策として主蒸気逃がし弁、充てん／高圧注入ポンプ等によるクールダウンアンドリサキュレーションを整備しております。</p> <p>さらに、余熱除去系の接続に失敗する場合を想定して、充てん／高圧注入ポンプ及び加圧器逃がし弁を用いた充てん系によるフィードアンドブリードを整備している。長期対策として主蒸気逃がし弁を用いた蒸気発生器による除熱、及び余熱除去系の接続に失敗する場合を想定して、格納容器スプレイポンプによる代替再循環を整備している。</p>	<p>2.7.5 結論</p> <p>事故シーケンスグループ「格納容器バイパス（インターフェイスシステムLOCA）」では、原子炉冷却材圧力バウンダリと接続された系統で、高圧設計部分と低圧設計部分のインターフェイスとなる配管のうち、隔離弁の隔離失敗等により低圧設計部分が過圧され破断することで、格納容器外へ原子炉冷却材が流出することで、原子炉水位の低下により炉心が露出して炉心損傷に至ることが特徴である。</p> <p>事故シーケンスグループ「格納容器バイパス（インターフェイスシステムLOCA）」に対する炉心損傷防止対策としては、初期の対策として原子炉隔離時冷却系、低圧炉心スプレイ系及び残留熱除去系（低圧注水モード）による原子炉注水手段、逃がし安全弁（自動減圧機能）による原子炉減圧手段及び運転員の破断箇所隔離による漏えい停止手段、安定状態に向けた対策として残留熱除去系（サブルッショングループ水冷却モード）による格納容器除熱手段を整備している。</p>	<p>7.1.8.5 結論</p> <p>事故シーケンスグループ「格納容器バイパス」では、原子炉の出力運転中に原子炉冷却材圧力バウンダリを構成する機器が破損し、原子炉格納容器外へ1次冷却材が流出することで、原子炉容器内水位の低下により炉心が露出して炉心損傷に至ることが特徴である。</p> <p>事故シーケンスグループ「格納容器バイパス」に対する炉心損傷防止対策としては、初期の対策として蒸気発生器2次側への注水と主蒸気逃がし弁の開操作による2次冷却系強制冷却、加圧器逃がし弁の開操作による1次冷却系の減温、減圧並びに高圧注入ポンプ及び充てんポンプによる炉心注水、安定状態に向けた対策として余熱除去系による炉心冷却を整備している。</p> <p>さらに、余熱除去系の接続に失敗する場合を想定して、充てんポンプ及び加圧器逃がし弁を用いた充てん系によるフィードアンドブリード、主蒸気逃がし弁を用いた蒸気発生器による除熱、及び格納容器スプレイポンプによる代替再循環を整備している。</p>	<p>【大飯、高浜】 記載方針の相違（女川実績の反映）</p> <p>【大飯、高浜】 記載方針の相違 ・通常の余熱除去系による炉心冷却ができる場合を女川に合わせて記載し、余熱除去系の接続に失敗する場合をまとめて記載</p>

泊発電所3号炉 有効性評価 比較表

灰色：女川2号炉の記載のうち、
BWR固有の設備や対応手段であり、
泊3号炉と比較対象とならない記載

赤字：設備、運用又は体制の相違（設計方針の相違）
青字：記載箇所又は記載内容の相違（記載方針の相違）
緑字：記載表現、設備名称の相違（実質的な相違なし）

7.1.8 格納容器バイパス

大飯発電所3／4号炉	高浜発電所3／4号炉	女川原子力発電所2号炉	泊発電所3号炉	相違理由
<p>事故シーケンスグループ「格納容器バイパス」の重要事故シーケンス「インターフェイスシステム LOCA」及び「蒸気発生器伝熱管破損時に破損側蒸気発生器の隔離に失敗する事故」について有効性評価を行った。</p> <p>上記の場合においても、運転員等操作によるクールダウンアンドリサーキュレーション等を実施することにより、炉心が露出することはない。</p> <p>その結果、燃料被覆管温度及び酸化量、原子炉冷却材圧力バウンダリにかかる圧力、原子炉格納容器バウンダリにかかる圧力及び温度は、評価項目を満足していることを確認した。また、長期的には安定停止状態を維持できる。</p> <p>解析コード及び解析条件の不確かさ並びにそれらが運転員等操作に与える影響を考慮しても、評価項目となるパラメータに与える影響は小さいことを確認した。また、対策の有効性が確認できる範囲内において、操作が遅れた場合でも操作時間余裕があることを確認した。</p> <p>重大事故等対策要員は、本事故シーケンスグループにおける重大事故等対策の実施に必要な要員を満足している。また、必要な水源、燃料及び電源について、外部電源喪失を仮定しても供給可能である。</p> <p>以上のことから、事故シーケンスグループ「格納容器バイパス」において、クールダウンアンドリサーキュレーション</p>	<p>事故シーケンスグループ「格納容器バイパス」の重要事故シーケンス「インターフェイスシステム LOCA」及び「蒸気発生器伝熱管破損時に破損側蒸気発生器の隔離に失敗する事故」について有効性評価を行った。</p> <p>上記の場合においても、運転員等操作によるクールダウンアンドリサーキュレーション等を実施することにより、炉心が露出することはない。</p> <p>その結果、燃料被覆管温度及び酸化量、原子炉冷却材圧力バウンダリにかかる圧力、原子炉格納容器バウンダリにかかる圧力及び温度は、評価項目を満足していることを確認した。また、長期的には安定停止状態を維持できる。</p> <p>解析コード及び解析条件の不確かさ並びにそれらが運転員等操作に与える影響を考慮しても、評価項目となるパラメータに与える影響は小さいことを確認した。また、対策の有効性が確認できる範囲内において、操作時間余裕について確認した結果、操作が遅れた場合でも一定の余裕がある。</p> <p>重大事故等対策要員は、本事故シーケンスグループにおける重大事故等対策の実施に必要な要員を満足している。また、必要な水源、燃料及び電源について、外部電源喪失を仮定しても供給可能である。</p> <p>以上のことから、事故シーケンスグループ「格納容器バイパス」において、クールダウンアンドリサーキュレーション</p>	<p>事故シーケンスグループ「格納容器バイパス（インターフェイスシステム LOCA）」の重要事故シーケンス「ISLOCA」について有効性評価を行った。</p> <p>上記の場合においても、原子炉隔離時冷却系、低圧炉心スプレイ系及び残留熱除去系（低圧注水モード）による原子炉注水並びに残留熱除去系（サプレッションブル水冷却モード）による格納容器除熱を実施することにより、炉心損傷することはない。</p> <p>その結果、燃料被覆管温度及び酸化量、原子炉冷却材圧力バウンダリにかかる圧力並びに原子炉格納容器バウンダリにかかる圧力及び温度は、評価項目を満足している。また、安定状態を維持できる。</p> <p>解析コード及び解析条件の不確かさについて確認した結果、運転員等操作時間に与える影響及び評価項目となるパラメータに与える影響は小さい。また、対策の有効性が確認できる範囲内において、操作時間余裕について確認した結果、操作が遅れた場合でも一定の余裕がある。</p> <p>重大事故等対策時に必要な要員は、運転員、発電所対策本部要員及び重大事故等対応要員にて確保可能である。また、必要な水源、燃料及び電源を供給可能である。</p> <p>以上のことから、原子炉隔離時冷却系、低圧炉心スプレイ系及び残留熱除去系（低圧注水モード）による原子炉注</p>	<p>事故シーケンスグループ「格納容器バイパス」の重要事故シーケンス「インターフェイスシステム LOCA」及び「蒸気発生器伝熱管破損時に破損側蒸気発生器の隔離に失敗する事故」について有効性評価を行った。</p> <p>上記の場合においても、蒸気発生器2次側への注水と主蒸気逃がし弁の開操作による2次冷却系強制冷却、加圧器逃がし弁の開操作による1次冷却系の減温、減圧並びに高圧注入ポンプ及び充てんポンプによる炉心注水を実施することにより、炉心損傷することはない。</p> <p>その結果、燃料被覆管温度及び酸化量、原子炉冷却材圧力バウンダリにかかる圧力、原子炉格納容器バウンダリにかかる圧力及び温度は、評価項目を満足している。また、安定状態を維持できる。</p> <p>解析コード及び解析条件の不確かさについて確認した結果、運転員等操作時間に与える影響及び評価項目となるパラメータに与える影響は小さい。また、対策の有効性が確認できる範囲内において、操作時間余裕について確認した結果、操作が遅れた場合でも一定の余裕がある。</p> <p>重大事故等対策時に必要な要員は、運転員、災害対策本部要員、災害対策要員及び災害対策要員（支援）にて確保可能である。また、必要な水源、燃料及び電源を供給可能である。</p> <p>以上のことから、蒸気発生器2次側への注水と主蒸気逃がし弁の開操作による2次冷却系強制冷却、加圧器逃がし弁の</p>	<p>【大飯、高浜】記載方針の相違（女川実績の反映）</p> <p>【大飯、高浜】記載表現の相違（女川実績の反映）</p> <p>【大飯、高浜】記載表現の相違（女川実績の反映）</p> <p>【大飯、高浜】記載表現の相違（女川実績の反映）</p> <p>【大飯、高浜】記載表現の相違（女川実績の反映）</p> <p>【大飯、高浜】記載表現の相違（女川実績の反映）</p> <p>【大飯、高浜】記載表現の相違（女川実績の反映）</p>

泊発電所3号炉 有効性評価 比較表

灰色：女川2号炉の記載のうち、
BWR固有の設備や対応手段であり、
泊3号炉と比較対象とならない記載

赤字：設備、運用又は体制の相違（設計方針の相違）
青字：記載箇所又は記載内容の相違（記載方針の相違）
緑字：記載表現、設備名称の相違（実質的な相違なし）

7.1.8 格納容器バイパス

大飯発電所3／4号炉	高浜発電所3／4号炉	女川原子力発電所2号炉	泊発電所3号炉	相違理由
等の炉心損傷防止対策は、選定した重要事故シーケンスに対して有効であり、事故シーケンスグループ「格納容器バイパス」に対して有効である。	等の炉心損傷防止対策は、選定した重要事故シーケンスに対して有効であり、事故シーケンスグループ「格納容器バイパス」に対して有効である。	水、逃がし安全弁（自動減圧機能）による原子炉急速減圧、運転員の破断箇所隔離による漏えい停止、残留熱除去系（サプレッションプール水冷却モード）による格納容器除熱等の炉心損傷防止対策は、選定した重要事故シーケンスに対して有効であることが確認でき、事故シーケンスグループ「格納容器バイパス（インターフェイスシステムLOCA）」に対して有効である。	開操作による1次冷却系の減圧並びに高圧注入ポンプ及び充てんポンプによる炉心注水等の炉心損傷防止対策は、選定した重要事故シーケンスに対して有効であることが確認でき、事故シーケンスグループ「格納容器バイパス」に対して有効である。	体的な炉心損傷防止対策を記載 【大飯、高浜】 記載方針の相違 ・泊では文章内で重複する表現のため記載していない（伊方と同様）

7.1.8 格納容器バイパス

第2.8.1表 「格納容器バイバス」における重大事故等対策について
 (インターフェイスシステムLOCA) (1/3)

[1]

表 「格納容器ハイバス」における重大事故等について
（アシヤード・アッシュタム LOCA） $(\frac{1}{g})$

[1]

第2.7.1表 「情報端末」バス（インターフェイスシステム、LOC.A）の重大事故等対策にについて（1/3）	
規制法規 規格・標準	規制法規 規格・標準

人事諮詢及設備 (語言)

1.8.1表 「格納容器バイバス」の重大事故等対策について
 (インターフェイスシステム) (1/2)

		重大事故対応設備		
判断及び操作	手順	操作設備	可能出力	計測設備
a. プラントトリップの確認	・事業の発生に伴い、断熱ドリップ及びターピントリップを確認する。 ・通常時経び半導体の電圧を確認し、所内漏洩及び外露管 漏失の有無を確認する。	【燃科貯蔵用ポンプ】*	-	出力額制限子子* 中間制限子子* 中子漏洩子子*
b. 安全注入シーケンス作動状況の確認	・初期動作：警報により非常用炉心冷却操作動作信号が発信する。 安全注入シーケンスが作動していることを確認する。	【燃科貯蔵用ポンプ】*	-	【高圧注入装置】* 【低圧注入装置】* 燃科貯蔵水ピット水位* 1次冷却圧力（底面）*
c. 安全注入動作の確認	・1次冷却ポンプの底下に伴い、正常注入動作することを確認する。	【蓄圧タンク】*	-	1次冷却圧力（底面）*
d. 金属性除去装置からの漏えいの確認	・金属性除去装置からの漏えい。 -底、排水管及びニカクの掛け止水栓、蒸気止水器漏洩止水栓 表示等によりドライバー等でアシカムロの漏泄を判断す。	-	-	1次冷却圧力（底面）* 加圧排水位*

重大事故等対応設備に位置付けるもの

設計方針の相違） (記載方針の相違) 実質的な相違なし)	
	相違理由
【大飯、高浜】 名称等の相違 ・設備仕様等の差異により「手順」 「重大事故等対処設備」の記載、名稱が異なる	
【大飯、高浜】 記載方針の相違 (女川実績の反映) ・既許可の対象となっている設備を重大事故等対処設備に位置付けるもの及び重大事故等対処設備（設計基準強度）を識別	

泊発電所 3号炉 有効性評価 比較表

赤字: 設備、運用又は体制の相違（設計方針の相違）
青字: 記載箇所又は記載内容の相違（記載方針の相違）
緑字: 記載表現、設備名称の相違（実質的な相違なし）

7.1.8 格納容器バイパス

第2.8.1表 「精神障害者バス」における重大事故等対策について
 (インダーフェイスシステム L.O.C.A) (2/3)

羽根木ひがみ	下標	寄付額		寄付金額
		寄付額	引取額	
a. 金利支払未済額	「半蔵町商店街の作成による商店街活性化アピール会」 主催: 半蔵町商店街会 開催日: 令和元年 1月 12 日 会場: 半蔵町商店街会館 会員登録料: 1,000円	-	-	1,000円(寄付引取日) （支那銀行支店）
b. 金利支払未済額	「半蔵町商店街の作成による商店街活性化アピール会」 主催: 半蔵町商店街会 開催日: 令和元年 1月 12 日 会場: 半蔵町商店街会館 会員登録料: 1,000円	-	-	1,000円(寄付引取日) （支那銀行支店）
c. 金利支払未済額	「半蔵町商店街の作成による商店街活性化アピール会」 主催: 半蔵町商店街会 開催日: 令和元年 1月 12 日 会場: 半蔵町商店街会館	-	-	1,000円(寄付引取日) （支那銀行支店）
d. 金利支払未済額	「半蔵町商店街の作成による商店街活性化アピール会」 主催: 半蔵町商店街会 開催日: 令和元年 1月 12 日 会場: 半蔵町商店街会館	-	-	1,000円(寄付引取日) （支那銀行支店）
e. 金利支払未済額	「半蔵町商店街の作成による商店街活性化アピール会」 主催: 半蔵町商店街会 開催日: 令和元年 1月 12 日 会場: 半蔵町商店街会館	-	-	1,000円(寄付引取日) （支那銀行支店）
f. 金利支払未済額	「半蔵町商店街の作成による商店街活性化アピール会」 主催: 半蔵町商店街会 開催日: 令和元年 1月 12 日 会場: 半蔵町商店街会館	-	-	1,000円(寄付引取日) （支那銀行支店）
g. 金利支払未済額	「半蔵町商店街の作成による商店街活性化アピール会」 主催: 半蔵町商店街会 開催日: 令和元年 1月 12 日 会場: 半蔵町商店街会館	-	-	1,000円(寄付引取日) （支那銀行支店）
h. 金利支払未済額	「半蔵町商店街の作成による商店街活性化アピール会」 主催: 半蔵町商店街会 開催日: 令和元年 1月 12 日 会場: 半蔵町商店街会館	-	-	1,000円(寄付引取日) （支那銀行支店）
i. 金利支払未済額	「半蔵町商店街の作成による商店街活性化アピール会」 主催: 半蔵町商店街会 開催日: 令和元年 1月 12 日 会場: 半蔵町商店街会館	-	-	1,000円(寄付引取日) （支那銀行支店）

第2.8.1.1表 「格納容器バイパス」における重大事故等対策について
(イニシアチブシステム L.O.C.A) (2/3)

（アシスタントエイシングシステム-L.O.C.A/A-）表 2-(3)			
実験及び条件	手順	実験装置	計測項目
3. 余裕時間による影響	余裕時間設定による影響の検討実験を全般的に評価するため、各条件で実験を行った。評価指標から、(1)は、操作時間と操作時間に対する余裕時間の関係を用いる。(2)は、操作時間と操作時間に対する余裕時間の関係を用いる。(3)は、操作時間と操作時間に対する余裕時間の関係を用いる。	操作時間と操作時間に対する余裕時間	操作時間と操作時間に対する余裕時間
4. 余裕時間による影響の検証	操作時間と操作時間に対する余裕時間の関係を用いて、操作時間に対する余裕時間と操作時間に対する余裕時間との関係を評価する。	操作時間と操作時間に対する余裕時間	操作時間と操作時間に対する余裕時間
5. 余裕時間による影響の検証	操作時間と操作時間に対する余裕時間の関係を用いて、操作時間に対する余裕時間と操作時間に対する余裕時間との関係を評価する。	操作時間と操作時間に対する余裕時間	操作時間と操作時間に対する余裕時間
6. 余裕時間による影響の検証	操作時間と操作時間に対する余裕時間の関係を用いて、操作時間に対する余裕時間と操作時間に対する余裕時間との関係を評価する。	操作時間と操作時間に対する余裕時間	操作時間と操作時間に対する余裕時間
7. 気圧吸収装置による影響	操作時間と操作時間に対する余裕時間の関係を用いて、操作時間に対する余裕時間と操作時間に対する余裕時間との関係を評価する。	操作時間と操作時間に対する余裕時間	操作時間と操作時間に対する余裕時間
8. 気圧吸収装置による影響	操作時間と操作時間に対する余裕時間の関係を用いて、操作時間に対する余裕時間と操作時間に対する余裕時間との関係を評価する。	操作時間と操作時間に対する余裕時間	操作時間と操作時間に対する余裕時間
9. 気圧吸収装置による影響	操作時間と操作時間に対する余裕時間の関係を用いて、操作時間に対する余裕時間と操作時間に対する余裕時間との関係を評価する。	操作時間と操作時間に対する余裕時間	操作時間と操作時間に対する余裕時間
10. 気圧吸収装置による影響	操作時間と操作時間に対する余裕時間の関係を用いて、操作時間に対する余裕時間と操作時間に対する余裕時間との関係を評価する。	操作時間と操作時間に対する余裕時間	操作時間と操作時間に対する余裕時間
11. 気圧吸収装置による影響	操作時間と操作時間に対する余裕時間の関係を用いて、操作時間に対する余裕時間と操作時間に対する余裕時間との関係を評価する。	操作時間と操作時間に対する余裕時間	操作時間と操作時間に対する余裕時間

第2.7.1表 「株式会社ハイバス（インターネットエクスプレスシステム、OCA）」の重大事務告白簿について（2/3）

第7.1.8.1表 「格納容器バイバス」の重大事故等対策について

- 【大飯・高浜】
名称等の相違
・設備仕様等の差異により「手順」「重大事故等対処設備」の記載、名称が異なる
- 【大飯・高浜】
記載方針の相違
(女川実績の反映)
 - 既許可の対象となるっている設備を重大事故等対処設備に位置付けるもの及び重大事故等対処設備(設計基準)を識別

7.1.8 格納容器バイパス

泊発電所 3号炉 有効性評価 比較表

赤字: 設備、運用又は体制の相違（設計方針の相違）
青字: 記載箇所又は記載内容の相違（記載方針の相違）
緑字: 記載表現、設備名称の相違（実質的な相違なし）

第2.8.1表 「格納容器ハイバス」における重大事故等対策について
 (インターフェイスシステムLOCA) (3/3)

(イントラーフェイスシステム論)(3/3)

第 2.8.1.1 表 「格納容器バイバス」における重大事故等対策について
 (インターフェイスシステム LOCA) (3 / 3)

実験反応時間	実験装置	最大実験等式計算値	
		実験値	可視計測
1. 高圧注入から見て1分 ～～が切替し、 水流送り	高圧注入水流送り装置主に水管を溝送しているところ と見えた。両注口から見てどんぐりへ切り替 わり。	見てどんぐりへ切り替 わり。	～
2. 貯留水リターン出入口開閉	1. 貯留水リターン出入口開閉により、GMMは開閉する。これ は、貯留水リターン出入口開閉	貯留水リターン出入口開 閉。	～
3. 墓地での水循環装置起動	墓地での水循環装置起動により、墓地の水循環が止 まる。墓地での水循環装置起動により、墓地の水循環が止 まる。	墓地での水循環装置起動により、墓地の水循環が止 まる。	～
4. 流れ出し水流量計測	流れ出し水流量計測により、水流量を計測する。 流れ出し水流量計測により、水流量を計測する。	流れ出し水流量計測によ り、水流量を計測する。	～
5. 漏れ水計測	漏れ水計測により、漏水を計測する。	漏水を計測する。	～

第27.1 図 「格納容器」バイパス（インターフェイスシステムLOCA）の重大事故想定について（3/3）

輸入/販路	子供	年長児	中高年	高齢者
新規輸入				
既存輸入・販路	新規輸入から「人気商品」の輸入	既存輸入から「人気商品」の輸入	既存輸入から「人気商品」の輸入	既存輸入から「人気商品」の輸入
既存輸入	既存輸入から「人気商品」の輸入	既存輸入から「人気商品」の輸入	既存輸入から「人気商品」の輸入	既存輸入から「人気商品」の輸入
既存販路	既存販路から「人気商品」の輸入	既存販路から「人気商品」の輸入	既存販路から「人気商品」の輸入	既存販路から「人気商品」の輸入
新規販路				
既存輸入・販路	既存輸入・販路から「人気商品」の輸入	既存輸入・販路から「人気商品」の輸入	既存輸入・販路から「人気商品」の輸入	既存輸入・販路から「人気商品」の輸入
既存輸入	既存輸入から「人気商品」の輸入	既存輸入から「人気商品」の輸入	既存輸入から「人気商品」の輸入	既存輸入から「人気商品」の輸入
既存販路	既存販路から「人気商品」の輸入	既存販路から「人気商品」の輸入	既存販路から「人気商品」の輸入	既存販路から「人気商品」の輸入
新規販路				

第7.1.8.1表 「格納容器バイバス」の重大事故等対策について
 (インタークエイスシステム[QCA]) (3/3)

- 【太飯、高浜】
名称等の相違
- ・設備仕様等の差異により「手順」「重大事故等対処設備」の記載、名称が異なる
- 【太飯、高浜】
記載方針の相違
(女川実績の反映)
 - ・既許可の対象となるっている設備を重大事故等対処設備に位置付けけるもの及び重大事故等対処設備(設計構造の変更)を識別

7.1.8 格納容器バイパス

泊発電所 3号炉 有効性評価 比較表

赤字: 設備、運用又は体制の相違（設計方針の相違）
青字: 記載箇所又は記載内容の相違（記載方針の相違）
緑字: 記載表現、設備名称の相違（実質的な相違なし）

第 2.8.2 表 「格納容器バイバス」における重大事故等対策について
 (蒸気発生器伝然管破損+換熱器漏気発生器隔離失敗) (1/4)

第2章 第1節 第2.8.1.2表 「格納容器バイパス」における船体事故等対策について

蒸気発生器伝熱管破裂+被撃破蒸気発生器隔壁失敗		(1.-4)	
		重・大火候等其の警報	
初期及び操作	手順	火災警報	可燃ガス警報
a. ブランコトリップの確 認	事務室に着いて、原子炉ドアヨードトリップが動作していることを確認する。専用自用消防栓を開放して火災警報を点滅させる。	火災警報	出火警報(火災子報) 牛乳貯蔵庫中子報 牛乳貯蔵庫中子報
b. 安全注入ケーション作 業状況の観察	「安全注入作動」警報により安全注入が中心となる設備作動音が高くなる。安全注入ケーション作動音が高くなる。(安全注入ポンプ)	火災警報	高圧安全注入火災警報
c. 煙気走行伝熱管の確 認	蒸気発生器隔壁漏えい監視モニタが表示上昇し、蒸気発生器水位計が加圧止水時、蒸気発生器隔壁漏えい監視モニタが表示上昇し、蒸気発生器水位計が加圧止水時、蒸気発生器隔壁漏えい監視モニタが表示上昇し、蒸気発生器隔壁漏えい監視モニタが表示上昇する。	火災警報	高圧安全注入火災警報
d. 被撃破伝熱管付近及 び隔壁漏えい位置等の 確認	安全注入ポンプ作動後、安全注入ポンプ作動等による隔壁漏えい監視モニタが表示上昇する。	火災警報	高圧安全注入火災警報
e. 被撃破蒸気発生器の確 認	被撃破蒸気発生器の隔壁漏えい監視モニタが表示上昇する。	火災警報	高圧安全注入火災警報
f. 被撃破蒸気発生器の確 認	被撃破蒸気発生器の隔壁漏えい監視モニタが表示上昇する。	火災警報	高圧安全注入火災警報

卷之三

第7.1.8.2 妻 「格納容器バイパス」の重大事故等対策について
　　(1) 洗生器伝燃管抜管時に破損した蒸気発生器の隔壁に失敗する事故) (1/4)

＊：機械部の作業などにおいていよいよ設備を重大事故等対処設備に位置付ける。
＊：重大事故等対処設備、経ねき装置等

- ・名称等の相違
- ・設備仕様等の差異により「手順」
- 「重大事故等対処設備」の記載、名稱が異なる
- 【大阪、高浜】
記載方針の相違
(女川実績の反映)
 - ・既許可の対象となっている設備を重大事故等対処設備に位置付けるもの及び重大事故等対処設備、設計基準限界を識別

太飯發電

泊発電所3号炉 有効性評価 比較表

7.1.8 格納容器バイパス

第2.8.2表 「格納容器バイバス」における重大事故等対策について
(蒸気発生器伝熱管破裂+液圧制御装置失火) (2/4)

判断区分	手順	実行	可燃性	計画設備
f. 蒸気発生器伝熱管破裂正圧の操作開始	- 複数箇所で蒸気漏洩が発生した際に、液圧制御装置(Reheat system)により正圧を保つ。主に、炉内温度が高くなる。	-	-	主に正圧計 蒸気生温計 炉内水位計 炉内水温計
g. 蒸気発生器伝熱管破裂正圧	- 一度止めた後、再び蒸気漏洩が発生した際に、液圧制御装置(Reheat system)により正圧を保つ。主に、炉内温度が高くなる。	-	-	主に正圧計 蒸気生温計 炉内水位計 炉内水温計
h. 蒸気発生器伝熱管破裂正圧の操作停止	- 蒸気発生器伝熱管破裂が止んだ時に、正圧を止める。主に、炉内温度が高くなる。	-	-	主に正圧計 蒸気生温計 炉内水位計 炉内水温計
i. 蒸気発生器伝熱管破裂正圧	- 一度止めた後、再び蒸気漏洩が発生した際に、液圧制御装置(Reheat system)により正圧を保つ。主に、炉内温度が高くなる。	-	-	主に正圧計 蒸気生温計 炉内水位計 炉内水温計

【】は実行手順上関係ない箇所を省略

第2.8.1表 「格納容器バイバス」における重大事故等対策について
(蒸気発生器伝熱管破裂+確固側蒸気発生器破裂失火) (2/4)

判断区分	手順	実行	可燃性	計画設備
f. 蒸気発生器伝熱管破裂正圧の操作開始	- 複数箇所で蒸気漏洩が発生した際に、液圧制御装置(Reheat system)により正圧を保つ。主に、炉内温度が高くなる。	-	-	主に正圧計 蒸気生温計 炉内水位計 炉内水温計
g. 蒸気発生器伝熱管破裂正圧	- 一度止めた後、再び蒸気漏洩が発生した際に、液圧制御装置(Reheat system)により正圧を保つ。主に、炉内温度が高くなる。	-	-	主に正圧計 蒸気生温計 炉内水位計 炉内水温計
h. 蒸気発生器伝熱管破裂正圧の操作停止	- 蒸気発生器伝熱管破裂が止んだ時に、正圧を止める。主に、炉内温度が高くなる。	-	-	主に正圧計 蒸気生温計 炉内水位計 炉内水温計
i. 蒸気発生器伝熱管破裂正圧	- 一度止めた後、再び蒸気漏洩が発生した際に、液圧制御装置(Reheat system)により正圧を保つ。主に、炉内温度が高くなる。	-	-	主に正圧計 蒸気生温計 炉内水位計 炉内水温計

【】は実行手順上関係ない箇所を省略

泊発電所3号炉 有効性評価 比較表

赤字：設備、運用又は体制の相違（設計方針の相違）
青字：記載箇所又は記載内容の相違（記載方針の相違）
緑字：記載表現、設備名称の相違（実質的な相違なし）

大飯発電所3／4号炉	高浜発電所3／4号炉	女川原子力発電所2号炉	泊発電所3号炉	相違理由
f. 蒸気発生器伝熱管破裂正圧の操作開始	- 複数箇所で蒸気漏洩が発生した際に、液圧制御装置(Reheat system)により正圧を保つ。主に、炉内温度が高くなる。	-	-	主に正圧計 蒸気生温計 炉内水位計 炉内水温計

第7.1.8.2表 「格納容器バイバス」の重大事故等対策について
(蒸気発生器伝熱管破裂+確固側蒸気発生器破裂失火) (2/4)

判断区分	手順	実行	可燃性	計画設備
f. 蒸気発生器伝熱管破裂正圧の操作開始	- 複数箇所で蒸気漏洩が発生した際に、液圧制御装置(Reheat system)により正圧を保つ。主に、炉内温度が高くなる。	-	-	主に正圧計 蒸気生温計 炉内水位計 炉内水温計
g. 蒸気発生器伝熱管破裂正圧	- 一度止めた後、再び蒸気漏洩が発生した際に、液圧制御装置(Reheat system)により正圧を保つ。主に、炉内温度が高くなる。	-	-	主に正圧計 蒸気生温計 炉内水位計 炉内水温計
h. 蒸気発生器伝熱管破裂正圧の操作停止	- 蒸気発生器伝熱管破裂が止んだ時に、正圧を止める。主に、炉内温度が高くなる。	-	-	主に正圧計 蒸気生温計 炉内水位計 炉内水温計
i. 蒸気発生器伝熱管破裂正圧	- 一度止めた後、再び蒸気漏洩が発生した際に、液圧制御装置(Reheat system)により正圧を保つ。主に、炉内温度が高くなる。	-	-	主に正圧計 蒸気生温計 炉内水位計 炉内水温計

【大飯、高浜】
名称等の相違
・設備仕様等の差異により「手順」「重大事故等対処設備」の記載、名稱が異なる
【大飯、高浜】
記載方針の相違
(女川実績の反映)
・既許可の対象となっている設備を「重大事故等対処設備に位置付けるもの及び重大事故等対処設備(設計基準防護限)を識別

泊発電所 3号炉 有効性評価 比較表

赤字：設備、運用又は体制の相違（設計方針の相違）
青字：記載箇所又は記載内容の相違（記載方針の相違）
緑字：記載表現、設備名称の相違（実質的な相違なし）

7.1.8 格納容器バイパス

1.8 格納容器バイパス

泊発電所 3号炉 有効性評価 比較表

赤字: 設備、運用又は体制の相違（設計方針の相違）
青字: 記載箇所又は記載内容の相違（記載方針の相違）
緑字: 記載表現、設備名称の相違（実質的な相違なし）

表 2.8.2 「格納容器ハイバス」における重大事故等対策について
 (蒸気発生器伝熱管被損+破裂側蒸気発生器隔壁失敗) (4/4)

(蒸氣發生器伝熱管被損 + 破損側蒸氣發生器器隔離失敗) (4 / 4)

判断及び操作	手順	重大事態等対応設備		
		常設設備	可搬設備	計装設備
B. 代替弁開閉装置への切り替え	・長期停電として、全熱除却装置が使用不能の場合、格納容器外側熱サンプル水位（底端）が計装装置内側熱サンプル水位（50cm）に再発電通過開始水位以下での可能性を考慮した水位（約40cm以上）となれば、代替弁開閉装置を切り替える。	A. 格納容器スプレイ・C. S. 過給システム B. 格納容器スプレイ・C. S. 過給装置 C. 格納容器スプレイ・C. S. 過給装置 D. 格納容器スプレイ・C. S. 過給装置 E. 格納容器スプレイ・C. S. 過給装置 F. 格納容器スプレイ・C. S. 過給装置 G. 格納容器スプレイ・C. S. 過給装置 H. 格納容器スプレイ・C. S. 過給装置 I. 格納容器スプレイ・C. S. 過給装置 J. 格納容器スプレイ・C. S. 過給装置 K. 格納容器スプレイ・C. S. 過給装置 L. 格納容器スプレイ・C. S. 過給装置 M. 格納容器スプレイ・C. S. 過給装置 N. 格納容器スプレイ・C. S. 過給装置 O. 格納容器スプレイ・C. S. 過給装置 P. 格納容器スプレイ・C. S. 過給装置 Q. 格納容器スプレイ・C. S. 過給装置 R. 格納容器スプレイ・C. S. 過給装置 S. 格納容器スプレイ・C. S. 過給装置 T. 格納容器スプレイ・C. S. 過給装置 U. 格納容器スプレイ・C. S. 過給装置 V. 格納容器スプレイ・C. S. 過給装置 W. 格納容器スプレイ・C. S. 過給装置 X. 格納容器スプレイ・C. S. 過給装置 Y. 格納容器スプレイ・C. S. 過給装置 Z. 格納容器スプレイ・C. S. 過給装置	-	格納容器外側熱サンプル水位（底端） 格納容器外側熱サンプル水位（底端） 1次冷却材高電極温度（底端） 1次冷却材中電極温度（底端） 1次冷却材下部電極温度（底端） 全熱除却装置圧力 全熱除却装置圧力 ナトリウム電極センサ

卷之三

第9812号 「格納室器皿バズ」における重複登録等対策について

2.0.1.2 次の「冒頭音節」(「ノイズ」)に451)を「黒人反保守系」に334)

解析及び操作 手順	重大事故等対応設備		
	常設設備	可搬設備	計装設備
初期対応として、金剛除害系統が使用不能の場合。燃油計器所保満サブで底水位を示すが底水位(67%)に既に超過開始した後、A燃油計器アラーム発生時の対応性を考慮しがれども、A冷却器は、代用運転装置に切り替えられ、燃油計器所保満サブからA燃油計器スイッチオイングを経て、A燃油計器スイッチオイング装置で底水をA燃油計器所保満サブへ送り、代用運転装置で底水をA燃油計器スイッチオイング装置へ送ることで、燃油計器所保満サブの運転状況もしくは、原子炉格納容器の冷却水供給を行なう。	A燃油計器アラーム発生時の対応性を考慮しがれども、A燃油計器スイッチオイング装置で底水をA燃油計器スイッチオイング装置へ送ることで、燃油計器所保満サブの運転状況もしくは、原子炉格納容器の冷却水供給を行なう。	-	格納容器所保満サブ 底水位 格納容器所保満サブ 底水位 1次冷却塔底水位 (底水) 1次冷却塔底水温 (底水)
n. 代替ポンプ運転への切替。 時々	-	-	1次冷却塔正圧 熱源供給 熱源水位 燃料取替用タンク水位

1 は有効性評価上期得した重大事故

女川原子力発電所 2号炉

泊発電所3号炉

卷之三

【】：重大事故等対処設備（設計基準並びに運営方針）
名称等の相違
・設備仕様等の差異により「手順」
「重大事故等対処設備」の記載、名称が異なる
【大坂、高浜】
記載方針の相違
(女川実績の反映)
・既許可の対象となっている設備を重大事故等対処設備に位置付けるもの及び重大事故等対処設備（設計基準並びに運営方針）を識別

第7.1.8.2表 「格納容器バイバス」の重大事故等対策について
蒸気発生器伝熱管破損時に破損蒸気発生器の隔離に失敗する事故) (4/4)

蒸気発生器伝熱管破損時に破損側蒸気発生器の隔壁に失敗する事故) (4 / 4)

7.1.8 格納容器バイパス

泊発電所3号炉 有効性評価 比較表

赤字：設備、運用又は体制の相違（設計方針の相違）
青字：記載箇所又は記載内容の相違（記載方針の相違）
緑字：記載表現、設備名称の相違（実質的な相違なし）

第2.8.3表 「格納容器バイパス」の主要解析条件（インターフェイスシステムLOCA）（1／3）

主解析条件		
解析コード	M-B-E-A-F5	各条件を満たす場合に適用する条件
炉心冷却力	1.03(GJ/41MW)s ^{0.92}	本装置運営による炉心冷却能力が不足する場合に適用する条件
1次冷却材圧力	1.54±0.2(MPa±0.05)	1次冷却材圧力を正常以上に保つ場合に適用する条件
1次冷却材平均温度	307±10°C	1次冷却材平均温度を正常以上に保つ場合に適用する条件
炉心冷却水流量	F _P ±1.5% _{±0.05%} （F _P ：冷却材流量）	炉心冷却水流量を正常以上に保つ場合に適用する条件
2次冷却水流量	DN11±0.1%±0.05%	2次冷却水流量を正常以上に保つ場合に適用する条件
安全地帯の開度、外気温度	安全地帯開度最大、外気温度最大	安全地帯開度最大、外気温度最大の組合せで適用する条件
外気温	外気温最大	外気温最大の組合せで適用する条件

第2.8.2.1表 「格納容器バイパス」の主要解析条件（インターフェイスシステムLOCA）（1／3）

主解析条件		
解析コード	M-B-E-LAP5	条件設定の考え方
炉心冷却力	1.03(GJ/2.63MW)s ^{0.92}	本装置運営による炉心冷却能力が不足する場合に適用する条件
1次冷却材圧力	1.5±0.1±0.05(MPa±0.05)	1次冷却材圧力を正常以上に保つ場合に適用する条件
1次冷却材平均温度	307±2.2°C	1次冷却材平均温度を正常以上に保つ場合に適用する条件
炉心冷却水流量	F _P ±1.5% _{±0.05%} （F _P ：冷却材流量）	炉心冷却水流量を正常以上に保つ場合に適用する条件
2次冷却水流量	DN11±0.1%±0.05%	2次冷却水流量を正常以上に保つ場合に適用する条件
安全地帯の開度、外気温	安全地帯開度最大、外気温最大	安全地帯開度最大、外気温最大の組合せで適用する条件
外気温	外気温最大	外気温最大の組合せで適用する条件

女川原子力発電所2号炉		
項目	主要解析条件	条件設定の考え方
解析コード	SAP-E-R	—
炉子供給出力	2.13MW	実験得率予測出力として設定
炉子中和力	0.0008s ^{0.95}	実験得率中和出力として設定
新心流量	35.4±10%L _h	定常流量として設定
新心入口圧縮	41.29kN	熱平衡計算による組合せ
新心入口ガブリール圧	41.0kN	熱平衡計算による組合せ
原子炉水位	最高運転水位（バーナー水位）±1mm±1.0mm	最高運転水位炉水位として設定
燃料	±0.0燃料(A型)	—
最初運出力	41.0kW	通常運転料の熱的耐久限として設定
原子炉水位の敏感性	±0.01m±1~1.49% (標準誤差±3.6%)	平衡運転料±0.01m±1.49%±3.6%として±0.0%の条件を考慮した条件設定
外部水温の温度	40°C	通常運転水温の実現(目標的)を組合せして設定

第2.7.2表 「格納容器バイパス」の主要解析条件（1/4）

（インターフェイスシステムLOCA）（1/4）		
項目	主要解析条件	条件設定の考え方
解析コード	SAP-E-R	—
炉子供給出力	2.13MW	実験得率予測出力として設定
新心流量	0.0008s ^{0.95}	実験得率中和出力として設定
新心入口圧縮	41.29kN	定常流量として設定
新心入口ガブリール圧	41.0kN	熱平衡計算による組合せ
原子炉水位	最高運転水位（バーナー水位）±1mm±1.0mm	最高運転水位炉水位として設定
燃料	±0.0燃料(A型)	—
最初運出力	41.0kW	通常運転料の熱的耐久限として設定
原子炉水位の敏感性	±0.01m±1~1.49% (標準誤差±3.6%)	平衡運転料±0.01m±1.49%±3.6%として±0.0%の条件を考慮した条件設定
外部水温の温度	40°C	通常運転水温の実現(目標的)を組合せして設定

第2.7.2表 「格納容器バイパス」の主要解析条件（1/3）

（インターフェイスシステムLOCA）（1/3）		
項目	主要解析条件	条件設定の考え方
解析コード	M-B-E-A-F5	条件設定の考え方
炉子供給出力	1.03(GJ/41MW)s ^{0.92}	1.03(GJ/41MW)s ^{0.92} に近い値を採用する条件
1次冷却材圧力	1.54±0.2(MPa±0.05)	1.54±0.2(MPa±0.05)に近い値を採用する条件
1次冷却材平均温度	307±10°C	307±10°Cに近い値を採用する条件
炉心冷却水流量	F _P ±1.5% _{±0.05%} （F _P ：冷却材流量）	F _P ±1.5% _{±0.05%} （F _P ：冷却材流量）に近い値を採用する条件
2次冷却水流量	DN11±0.1%±0.05%	DN11±0.1%±0.05%に近い値を採用する条件
安全地帯の開度、外気温	安全地帯開度最大、外気温最大	安全地帯開度最大、外気温最大の組合せで適用する条件
外気温	外気温最大	外気温最大の組合せで適用する条件

【大飯、高浜】
設置寸の相違

・泊は個別解析で
あり、設備仕様も
異なることから

「主要解析条件」
及び「条件設定の
考え方」の記載が
一部異なる

【大飯、高浜】
名称等の相違

赤字：設備、運用又は体制の相違（設計方針の相違）
 青字：記載箇所又は記載内容の相違（記載方針の相違）
 緑字：記載表現、設備名称の相違（実質的な相違なし）

泊発電所3号炉 有効性評価 比較表

7.1.8 格納容器バイパス

第2.8.3表 「格納容器バイパス」の主要解析条件（インターフェイスシステムLOCA）（2／3）

項目	主要解析条件 条件設定考え方
原子炉ドリップ防護 非常用冷却水供給 作動水温: 20.0°C	原子炉ドリップ防護 非常用冷却水供給を考慮した低い便として「アプローチ温度が高くなるほど熱交換器の冷却効率が低下する」として定められた。冷却水供給量を考慮した。他の便として「アプローチ温度が高くなるほど熱交換器の冷却効率が低下する」として定められた。冷却水供給量を考慮した。
高圧注入ポンプ 高圧注入ポンプ 作動水温: 20.0°C 定格流量: 1,000m³/h 定格出力: 15.0MW _{net} (4600kW)	高圧注入ポンプの過度冷却を考慮した熱交換器の冷却効率を考慮した。他の便として「アプローチ温度が高くなるほど熱交換器の冷却効率が低下する」として定められた。冷却水供給量を考慮した。
補助給水ポンプ 補助ポンプ 作動水温: 20.0°C 定格流量: 1,000m³/h 定格出力: 11.0kW	補助給水ポンプの過度冷却を考慮した熱交換器の冷却効率を考慮した。他の便として「アプローチ温度が高くなるほど熱交換器の冷却効率が低下する」として定められた。
主蒸気吸込装置 主蒸気吸込装置 吸込方式: 压縮方式 吸込水温: 20.0°C 余熱排汽装置 余熱排汽装置 吸込方式: 压縮方式	主蒸気吸込装置の過度冷却を考慮した熱交換器の冷却効率を考慮した。他の便として「アプローチ温度が高くなるほど熱交換器の冷却効率が低下する」として定められた。

第2.8.2.1表 「格納容器バイパス」の主要解析条件（インターフェイスシステムLOCA）（2／3）

項目	主要解析条件 条件設定考え方
原子炉ドリップ防護 （冷却水供給）	原子炉ドリップ防護に冷却水供給した熱交換器の冷却効率を考慮して「アプローチ温度が高くなるほど熱交換器の冷却効率が低下する」として定められた。
折衷用冷却水供給 作動水温: 20.0°C	折衷用冷却水供給装置の過度冷却を考慮した熱交換器の冷却効率を考慮して「アプローチ温度が高くなるほど熱交換器の冷却効率が低下する」として定められた。
死んで／死んで入 出力／死んで入 出力	死んで／死んで入出力の過度冷却を考慮した熱交換器の冷却効率を考慮して「アプローチ温度が高くなるほど熱交換器の冷却効率が低下する」として定められた。
補助給水ポンプ 等 機器 主蒸気吸込装置 吸込水温: 20.0°C 定格流量: 1,000m³/h 定格出力: 11.0kW	補助給水ポンプの過度冷却を考慮した熱交換器の冷却効率を考慮して「アプローチ温度が高くなるほど熱交換器の冷却効率が低下する」として定められた。
副反応塔 吸込水温: 20.0°C 定格流量: 1,000m³/h 定格出力: 10.0kW	副反応塔の過度冷却を考慮した熱交換器の冷却効率を考慮して「アプローチ温度が高くなるほど熱交換器の冷却効率が低下する」として定められた。

第2.7.2表 主要解析条件（格納容器バイパス（インターフェイスシステムLOCA））(3/4)

項目	主要解析条件 条件設定の考え方	条件設定の考え方
原子炉クライミ ング	原子炉クライミング（レベル3） (過度冷却)	安全限界水位の操作時間に考慮して設定
折衷用冷却水供給 作動水温: 20.0°C	原子炉冷却水供給装置の過度冷却を考慮して「アプローチ温度が高くなるほど熱交換器の冷却効率が低下する」として定められた。	安全限界水位の操作時間に考慮して設定
死んで／死んで入 出力／死んで入 出力	死んで／死んで入出力の過度冷却を考慮した熱交換器の冷却効率を考慮して「アプローチ温度が高くなるほど熱交換器の冷却効率が低下する」として定められた。	安全限界水位の操作時間に考慮して設定
補助給水ポンプ 等 機器	補助給水ポンプの過度冷却を考慮した熱交換器の冷却効率を考慮して「アプローチ温度が高くなるほど熱交換器の冷却効率が低下する」として定められた。	安全限界水位の操作時間に考慮して設定
副反応塔 吸込水温: 20.0°C 定格流量: 1,000m³/h 定格出力: 11.0kW	副反応塔の過度冷却を考慮した熱交換器の冷却効率を考慮して「アプローチ温度が高くなるほど熱交換器の冷却効率が低下する」として定められた。	安全限界水位の操作時間に考慮して設定

第2.7.3表 「格納容器バイパス」の主要解析条件
(インターフェイスシステムLOCA) 2/3

項目	主要解析条件 条件設定の考え方
原子炉ドリップ防護 （冷却水供給）	原子炉ドリップ防護に冷却水供給した熱交換器の冷却効率を考慮して「アプローチ温度が高くなるほど熱交換器の冷却効率が低下する」として定められた。
折衷用冷却水供給 作動水温: 20.0°C	折衷用冷却水供給装置の過度冷却を考慮して「アプローチ温度が高くなるほど熱交換器の冷却効率が低下する」として定められた。
死んで／死んで入 出力／死んで入 出力	死んで／死んで入出力の過度冷却を考慮した熱交換器の冷却効率を考慮して「アプローチ温度が高くなるほど熱交換器の冷却効率が低下する」として定められた。
補助給水ポンプ 等 機器	補助給水ポンプの過度冷却を考慮した熱交換器の冷却効率を考慮して「アプローチ温度が高くなるほど熱交換器の冷却効率が低下する」として定められた。
副反応塔 吸込水温: 20.0°C 定格流量: 1,000m³/h 定格出力: 11.0kW	副反応塔の過度冷却を考慮した熱交換器の冷却効率を考慮して「アプローチ温度が高くなるほど熱交換器の冷却効率が低下する」として定められた。

【大飯、高浜】
設計上の相違

- ・泊は個別解析であり、設備仕様も異なることから「主要解析条件」及び「条件設定の考え方」の記載が一部異なる
- 【大飯、高浜】
名称等の相違

第2.7.2表 主要解析条件（格納容器バイパス（インターフェイスシステムLOCA））(4/4)

項目	主要解析条件 条件設定の考え方
原子炉ドリップ防護 （冷却水供給）	原子炉ドリップ防護に冷却水供給した熱交換器の冷却効率を考慮して「アプローチ温度が高くなるほど熱交換器の冷却効率が低下する」として定められた。
折衷用冷却水供給 作動水温: 20.0°C	折衷用冷却水供給装置の過度冷却を考慮して「アプローチ温度が高くなるほど熱交換器の冷却効率が低下する」として定められた。
死んで／死んで入 出力／死んで入 出力	死んで／死んで入出力の過度冷却を考慮した熱交換器の冷却効率を考慮して「アプローチ温度が高くなるほど熱交換器の冷却効率が低下する」として定められた。
補助給水ポンプ 等 機器	補助給水ポンプの過度冷却を考慮した熱交換器の冷却効率を考慮して「アプローチ温度が高くなるほど熱交換器の冷却効率が低下する」として定められた。
副反応塔 吸込水温: 20.0°C 定格流量: 1,000m³/h 定格出力: 11.0kW	副反応塔の過度冷却を考慮した熱交換器の冷却効率を考慮して「アプローチ温度が高くなるほど熱交換器の冷却効率が低下する」として定められた。

第2.7.3表 「格納容器バイパス」の主要解析条件
(インターフェイスシステムLOCA) 2/3

項目	主要解析条件 条件設定の考え方
原子炉ドリップ防護 （冷却水供給）	トリガーフローティング便として、トリガーフローティング便を設定して、抽出時間は、抽出完成時間に考慮して設定。
折衷用冷却水供給 作動水温: 20.0°C	折衷用冷却水供給装置の過度冷却を考慮して「アプローチ温度が高くなるほど熱交換器の冷却効率が低下する」として定められた。
死んで／死んで入 出力／死んで入 出力	死んで／死んで入出力の過度冷却を考慮した熱交換器の冷却効率を考慮して「アプローチ温度が高くなるほど熱交換器の冷却効率が低下する」として定められた。
補助給水ポンプ 等 機器	補助給水ポンプの過度冷却を考慮した熱交換器の冷却効率を考慮して「アプローチ温度が高くなるほど熱交換器の冷却効率が低下する」として定められた。
副反応塔 吸込水温: 20.0°C 定格流量: 1,000m³/h 定格出力: 11.0kW	副反応塔の過度冷却を考慮した熱交換器の冷却効率を考慮して「アプローチ温度が高くなるほど熱交換器の冷却効率が低下する」として定められた。

泊発電所3号炉 有効性評価 比較表

7.1.8 格納容器バイパス

赤字：設備、運用又は体制の相違（設計方針の相違）
青字：記載箇所又は記載内容の相違（記載方針の相違）
緑字：記載表現、設備名称の相違（実質的な相違なし）

大飯発電所3／4号炉		高浜発電所3／4号炉		女川原子力発電所2号炉		泊発電所3号炉		相違理由
項目	主要解説条件 条件設定の考え方	項目	主要解説条件 条件設定の考え方	項目	主要解説条件 条件設定の考え方	項目	主要解説条件 条件設定の考え方	
項目 2次冷却系 強制冷却開始	主翼解栓条件 海水用炉心冷却装置作動信号 発信から25分後	運転員等操作として、対応装置がし弁の開閉操作に係る条件が保証する。 運転員等操作として、対応装置がし弁の開閉操作に係る条件が保証する。	項目 2次冷却系 強制冷却開始	主翼解栓条件 海水用炉心冷却装置作動信号 発信から25分後	運転員等操作として、対応装置がし弁の開閉操作に係る条件が保証する。 運転員等操作として、対応装置がし弁の開閉操作に係る条件が保証する。	項目 補助給水装置の調整 加圧器逃がし弁の開閉操作	運転員等操作として、蒸気發生器供給水位内を維持する。運転員等操作として、蒸気發生器供給水位内を維持する。	【大飯、高浜】 設計の相違 ・泊は個別解析で あり、設備仕様も 異なることから 「主要解析条件」 及び「条件設定の 考え方」の記載が 一部異なる
項目 海水用炉心冷却装置作動信号 発信から25分後	主翼解栓条件 海水用炉心冷却装置作動信号 発信から25分後	運転員等操作として、対応装置がし弁の開閉操作に係る条件が保証する。 運転員等操作として、対応装置がし弁の開閉操作に係る条件が保証する。	項目 海水用炉心冷却装置作動信号 発信から25分後	主翼解栓条件 海水用炉心冷却装置作動信号 発信から25分後	運転員等操作として、対応装置がし弁の開閉操作に係る条件が保証する。 運転員等操作として、対応装置がし弁の開閉操作に係る条件が保証する。	項目 補助給水装置の調整 加圧器逃がし弁の開閉操作	運転員等操作として、蒸気發生器供給水位内を維持する。運転員等操作として、蒸気發生器供給水位内を維持する。	【大飯、高浜】 名称等の相違
第2.8.3表 「格納容器バイパス」の主要解説条件（インターフェイシングシステムLOC-A）（3／3）	第2.8.2.1表 「格納容器バイパス」の主要解説条件（インターフェイシングシステムLOC-A）（3／3）	第7.1.8.3表 「格納容器バイパス」の主要解説条件（インターフェイシングシステムLOC-A）（3／3）	第7.1.8.3表 「格納容器バイパス」の主要解説条件（インターフェイシングシステムLOC-A）（3／3）					

泊発電所 3号炉 有効性評価 比較表

赤字: 設備、運用又は体制の相違（設計方針の相違）
青字: 記載箇所又は記載内容の相違（記載方針の相違）
緑字: 記載表現、設備名称の相違（実質的な相違なし）

7.1.8 格納容器バイパス

第 2.8.4 表 「格納容器バイバス」の主要解析条件

蒸氣發生器伝熱管破損+核島側蒸氣發生器隔離失敗 (1 / 3)

第2.8.2.2表 「格納容器バッケル」の主要解析条件
(蒸気発生器伝熱管破裂 + 枕組黒色生成器漏泄失敗) (1/3)

第7.1.8.4表 「格納容器バイバス」の主要解説条件

項目	主講者名	副題
解説コード	解説者名	
伊藤小治郎 （信頼）	13時0分～13時30分（30分） ×1.0倍	は評議會運営をめぐる問題、ガイド道場等、別に分類されず、一般的な問題等を扱う。
1次資料付注解 （信頼）	16時45分～17時15分（30分）	は評議會運営をめぐる問題、ガイド道場等、別に分類されず、一般的な問題等を扱う。
1次資料付注解 （信頼）	17時45分～18時15分（30分）	は評議會運営をめぐる問題、ガイド道場等、別に分類されず、一般的な問題等を扱う。
田中書記官 （信頼）	18時45分～19時15分（30分）	は評議會運営をめぐる問題、ガイド道場等、別に分類されず、一般的な問題等を扱う。
伊藤山崎 （信頼）	19時45分～20時15分（30分）	は評議會運営をめぐる問題、ガイド道場等、別に分類されず、一般的な問題等を扱う。
黒川義重 （信頼）	20時45分～21時15分（30分）	は評議會運営をめぐる問題、ガイド道場等、別に分類されず、一般的な問題等を扱う。
松田政事 （信頼）	21時45分～22時15分（30分）	は評議會運営をめぐる問題、ガイド道場等、別に分類されず、一般的な問題等を扱う。
安井徳之助 （信頼）	22時45分～23時15分（30分）	は評議會運営をめぐる問題、ガイド道場等、別に分類されず、一般的な問題等を扱う。
主講者名	主講者名	主講者名
田中書記官 （信頼）	田中書記官として、1基の電気発生装置の点検を行い、電子印リーフ（後）に色鉛筆で点検結果をもとに記述する。	田中書記官として、1基の電気発生装置の点検を行い、電子印リーフ（後）に色鉛筆で点検結果をもとに記述する。
伊藤小治郎 （信頼）	通過済の電気発生装置の操作方法を示すと、電子印リーフ（後）に色鉛筆で点検結果をもとに記述する。	通過済の電気発生装置の操作方法を示すと、電子印リーフ（後）に色鉛筆で点検結果をもとに記述する。
黒川義重 （信頼）	外気温測定器（温度計）による外気温を示すと、電子印リーフ（後）に色鉛筆で点検結果をもとに記述する。	外気温測定器（温度計）による外気温を示すと、電子印リーフ（後）に色鉛筆で点検結果をもとに記述する。

【大飯、高浜】
認証の相違
・泊は個別解析で
あり、設備仕様も
異なることから
「主要解析条件」
及び「条件設定の
考え方」の記載が
一部異なる
【大飯、高浜】
名称等の相違

【大飯、高浜】

泊発電所 3号炉 有効性評価 比較表

7.1.8 格納容器バイパス

赤字：設備、運用又は体制の相違（設計方針の相違）
青字：記載箇所又は記載内容の相違（記載方針の相違）
緑字：記載表現、設備名称の相違（実質的な相違なし）

第 2.8.4 表 「格納容器ハイバス」の主要解析条件

蒸気発生器云熱管破裂と破裂蒸気発生器障害失敗) (3/3)

項目	検査方法	検査結果	検査結果の評価
① 標準頭部充電式充電器への接続確認水栓上	接続頭部充電式充電器に接続して、充電器本体上に表示される「充電」の緑色ランプが点滅する。	頭部充電式充電器への接続が確実である。	接続確認水栓上
② 充電器の電圧表示	充電器の電圧表示は「100V」と表示されている。	充電器の電圧表示が正しく表示されている。	充電器の電圧表示
③ 充電器の電流表示	充電器の電流表示は「0.2A」と表示されている。	充電器の電流表示が正しく表示されている。	充電器の電流表示
④ 充電器の充電時間表示	充電器の充電時間表示は「1分」と表示されている。	充電器の充電時間表示が正しく表示されている。	充電器の充電時間表示
⑤ 液晶表示水栓の清潔度	液晶表示水栓内	画面は明るく、黒発生源が水栓内に詰まっているように見える。	液晶表示水栓の清潔度
⑥ 加圧給水栓の操作	加圧給水栓がしめた頭部操作にて、水流を停止させた後	水流を停止させた後水流が止まる。	加圧給水栓の操作
⑦ 先づ小面積の調査	先づ小面積を運転条件にて操作	水流が止まる。	先づ小面積の調査
⑧ 大面積の操作	大面積を運転条件にて操作	水流が止まる。	大面積の操作
⑨ 全機種を運転条件にて操作	全機種を運転条件にて操作	水流が止まる。	全機種を運転条件にて操作

表 2.8.2.2 「格納容器／イバス」の主要解析条件

氣生器在熱管破損 + 破損側蒸氣發生器隔離失敗) (3 / 3)

高浜発電所 3 / 4 号炉

女川原子力発電所2号炉

泊発電所3号炉

【大飯・高浜】
設計の相違
・泊は個別解析で
あり、設備仕様も
異なることから
「主要解析条件」
及び「条件設定の
考え方」の記載が
一部異なる

第7章 地域資源の開発と利用 第7.1節 地域資源の開発と利用

蒸氣先生當云熱賣相手に販賣圖蒸氣先生當の精進に失敗する事成) (3/3)

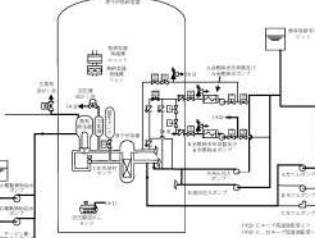
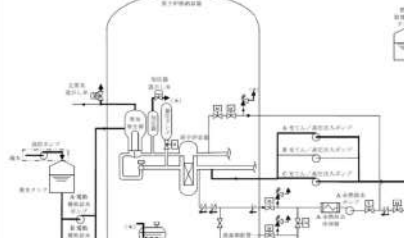
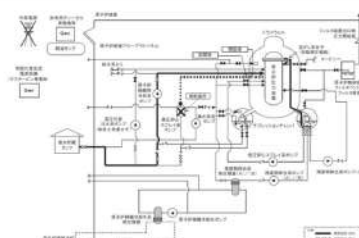
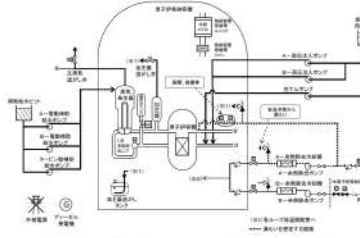
①運動機能失常・骨盤の運動制限 上肢	運動機能失常・筋肉痛として、歩行困難・歩行時に腰痛・腰筋緊張感を訴え、「腰筋緊張感」が腰痛の原因となることがある。 腰筋緊張から「腰筋痛」 ・直角屈曲位で腰痛	腰筋緊張位が問題として、歩行困難・腰痛に1分、及び歩行の動作に約2分を要する。腰筋を構成する筋肉群は、腰筋緊張位で最も活動的である。
②運動機能失常・筋肉痛	運動機能失常として、筋肉痛を主訴とする。筋肉痛は筋肉の過労によるものとされることが多い。 筋肉痛の発生率は、1年間にわたり、王氏筋炎から「筋肉痛」 ・筋肉痛の発生率は	運動機能失常として、筋肉痛を主訴とする。筋肉痛は筋肉の過労によるものとされることが多い。 筋肉痛の発生率は、1年間にわたり、王氏筋炎から「筋肉痛」 ・筋肉痛の発生率は
③運動機能失常の腰痛	運動機能失常として、腰痛を主訴とする。腰痛は腰椎骨盤筋位が問題であるように思われる。	運動機能失常として、腰痛を主訴とする。腰痛は腰椎骨盤筋位が問題であるように思われる。
④運動機能失常の筋肉痛	運動機能失常として、筋肉痛を主訴とする。筋肉痛は筋肉の過労によるものとされることが多い。 筋肉痛の発生率は、1年間にわたり、王氏筋炎から「筋肉痛」 ・筋肉痛の発生率は	運動機能失常として、筋肉痛を主訴とする。筋肉痛は筋肉の過労によるものとされることが多い。 筋肉痛の発生率は、1年間にわたり、王氏筋炎から「筋肉痛」 ・筋肉痛の発生率は
⑤運動機能失常の腰痛	運動機能失常として、腰痛を主訴とする。腰痛は腰椎骨盤筋位が問題であるように思われる。	運動機能失常として、腰痛を主訴とする。腰痛は腰椎骨盤筋位が問題であるように思われる。

78

泊発電所 3 号炉 有効性評価 比較表

赤字 : 設備、運用又は体制の相違（設計方針の相違）
 青字 : 記載箇所又は記載内容の相違（記載方針の相違）
 緑字 : 記載表現、設備名称の相違（実質的な相違なし）

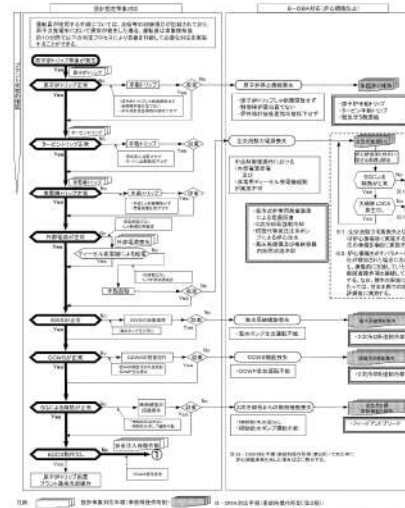
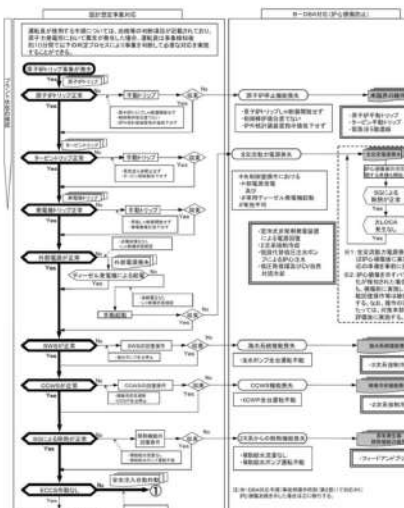
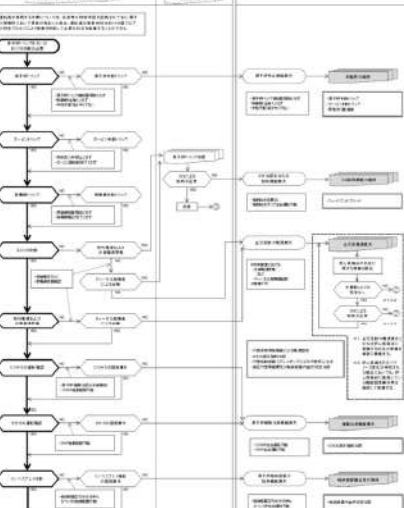
7.1.8 格納容器バイパス

大飯発電所 3 / 4 号炉	高浜発電所 3 / 4 号炉	女川原子力発電所 2 号炉	泊発電所 3 号炉	相違理由
				【大飯、高浜】 器付の相違
第 2.8.1 図 「格納容器バイパス」の重大事故等対策の概略系統図 (インターフェイスシステム LOC A)	第 2.8.1.1 図 「格納容器バイパス」の重大事故等対策の概略系統図 (インターフェイスシステム LOC A)	第 2.8.1.2 図 「格納容器バイパス」の重大事故等対策の概略系統図 (蒸気発生器伝熱管破損+破損側蒸気発生器隔壁障害)	第 2.8.1.3 図 「格納容器バイパス」の重大事故等対策の概略系統図 (蒸気発生器伝熱管破損+破損側蒸気発生器隔壁障害)	【大飯、高浜】 名称等の相違
第 2.8.2 図 「格納容器バイパス」の重大事故等対策の概略系統図 (蒸気発生器伝熱管破損+破損側蒸気発生器隔壁障害)	第 2.8.1.4 図 「格納容器バイパス」の重大事故等対策の概略系統図 (蒸気発生器伝熱管破損時に破損側蒸気発生器の隔壁に失敗する事象) (1/2) (2 次冷却系強制冷却、1 次冷却系強制減圧及び炉心注水)	第 2.8.1.4 図 「格納容器バイパス」の重大事故等対策の概略系統図 (蒸気発生器伝熱管破損時に破損側蒸気発生器の隔壁に失敗する事象) (2/2) (健全側熱除去系によるがん冷却)	第 2.8.1.4 国 「格納容器バイパス」の重大事故等対策の概略系統図 (蒸気発生器伝熱管破損時に破損側蒸気発生器の隔壁に失敗する事象) (1/2) (2 次冷却系強制冷却、1 次冷却系強制減圧及び炉心注水)	【大飯、高浜】 記載方針の相違 (女川実績の反映) ・対応手段に応じた概略系統図とし、図のタイトルで識別
第 2.8.1.2 図 「格納容器バイパス」の重大事故等対策の概略系統図 (蒸気発生器伝熱管破損+破損側蒸気発生器隔壁障害)	第 2.8.1.5 図 「格納容器バイパス」の重大事故等対策の概略系統図 (蒸気発生器伝熱管破損時に破損側蒸気発生器の隔壁に失敗する事象) (1/2) (2 次冷却系強制冷却、1 次冷却系強制減圧及び炉心注水)	第 2.8.1.5 図 「格納容器バイパス」の重大事故等対策の概略系統図 (蒸気発生器伝熱管破損時に破損側蒸気発生器の隔壁に失敗する事象) (2/2) (健全側熱除去系によるがん冷却)	第 2.8.1.5 国 「格納容器バイパス」の重大事故等対策の概略系統図 (蒸気発生器伝熱管破損時に破損側蒸気発生器の隔壁に失敗する事象) (1/2) (2 次冷却系強制冷却、1 次冷却系強制減圧及び炉心注水)	【大飯、高浜】 記載表現、設備名称の相違 (外部電源、ディーゼル発電機を追記)

泊発電所 3 号炉 有効性評価 比較表

赤字 : 設備、運用又は体制の相違（設計方針の相違）
 青字 : 記載箇所又は記載内容の相違（記載方針の相違）
 緑字 : 記載表現、設備名称の相違（実質的な相違なし）

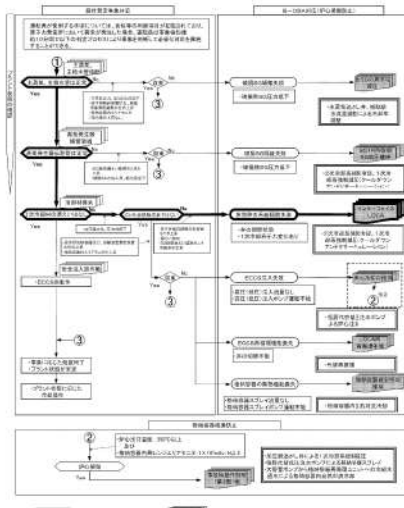
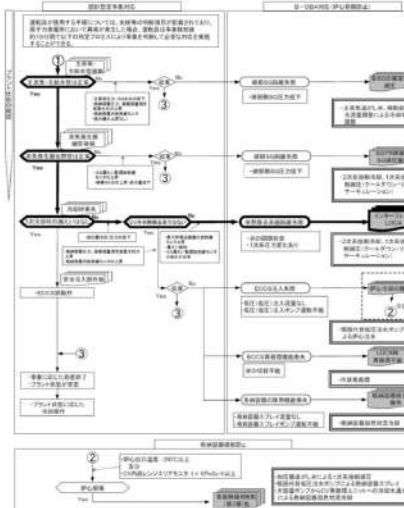
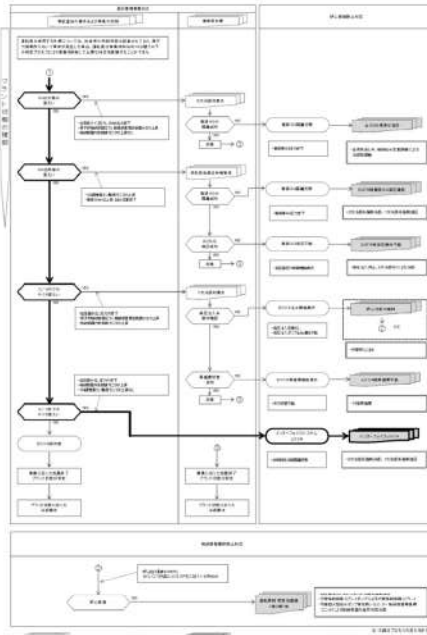
7.1.8 格納容器バイパス

大飯発電所 3 / 4 号炉	高浜発電所 3 / 4 号炉	女川原子力発電所 2 号炉	泊発電所 3 号炉	相違理由
 <p>第 2.8.3 図 「格納容器バイパス」の対応手順の概要 (判定プロセス) (インターフェイスシステム LOC A) (1/2)</p>	 <p>第 2.8.1.3 図 「格納容器バイパス」の対応手順の概要 (判定プロセス) (インターフェイスシステム LOC A) (1/2)</p>			<p>【大飯・高浜】 設計方針の相違 ・使用する手順の構成の相違により示し方が異なる部分はあるが、事象判別プロセスとしての内容は同等</p>

泊発電所 3 号炉 有効性評価 比較表

赤字 : 設備、運用又は体制の相違（設計方針の相違）
 青字 : 記載箇所又は記載内容の相違（記載方針の相違）
 緑字 : 記載表現、設備名称の相違（実質的な相違なし）

7.1.8 格納容器バイパス

大飯発電所 3／4 号炉	高浜発電所 3／4 号炉	女川原子力発電所 2 号炉	泊発電所 3 号炉	相違理由
 第 2.8.3 図 「格納容器バイパス」の対応手順の概要 (判定プロセス) (インターフェイスシステムLOCA) (2 / 2)	 第 2.8.1.3 図 「格納容器バイパス」の対応手順の概要 (判定プロセス) (インターフェイスシステムLOCA) (2 / 2)		 第 7.1.8.3 図 「格納容器バイパス」の対応手順の概要 (判定プロセス) (インターフェイスシステムLOCA) (2 / 2)	<p>【大飯・高浜】 設計方針の相違 ・使用する手順の構成の相違により 示し方が異なる部分はあるが、事象別プロセスとしての内容は同等</p>

泊発電所 3号炉 有効性評価 比較表

赤字: 設備、運用又は体制の相違（設計方針の相違）
青字: 記載箇所又は記載内容の相違（記載方針の相違）
緑字: 記載表現、設備名称の相違（実質的な相違なし）

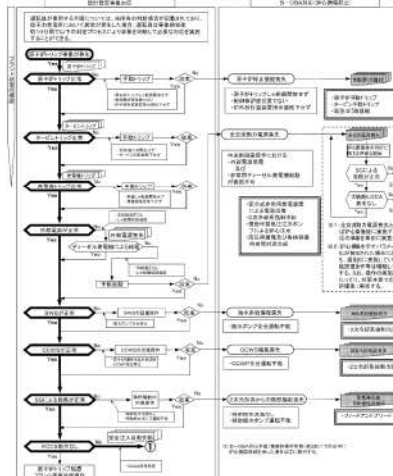
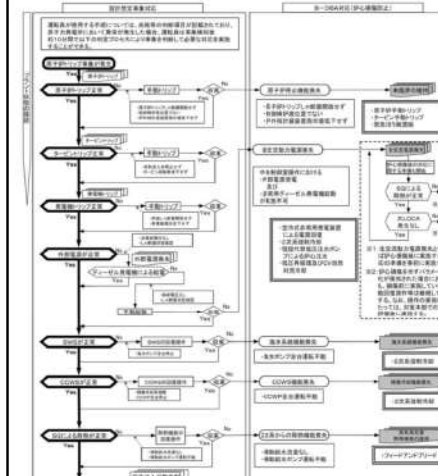
7.1.8 格納容器バイパス

大飯発電所3／4号炉	高浜発電所3／4号炉	女川原子力発電所2号炉	泊発電所3号炉	相違理由
<p>第2.8.4図 「格納容器バイパス」の対応手順の概要 （「インターフェイスシステムLOCA」の事象進展）</p>				<p>【大飯、高浜】 記載方針の相違 (女川実績の反映) ・凡例に記載のとおり運転員及び災害対策要員が行う作業を分けて記載 ・有効性評価上考慮しない操作・判断結果を赤線で記載</p> <p>【大飯、高浜】 ・有効性評価の対象とはしていないが、ほかに取り得る手段を記載</p> <p>【大飯、高浜】 設計の相違 解説結果の相違</p> <p>【大飯、高浜】 名称等の相違</p>

泊発電所 3 号炉 有効性評価 比較表

赤字 : 設備、運用又は体制の相違（設計方針の相違）
 青字 : 記載箇所又は記載内容の相違（記載方針の相違）
 緑字 : 記載表現、設備名称の相違（実質的な相違なし）

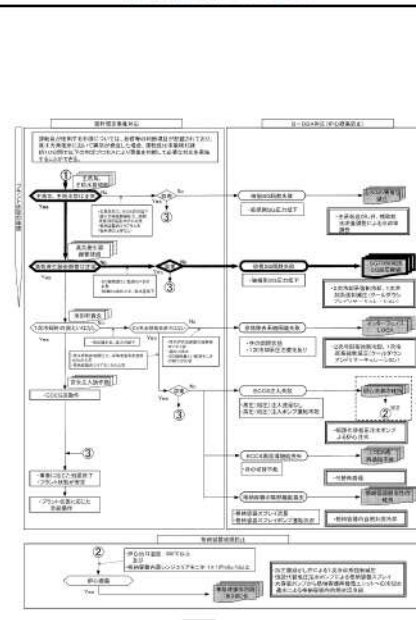
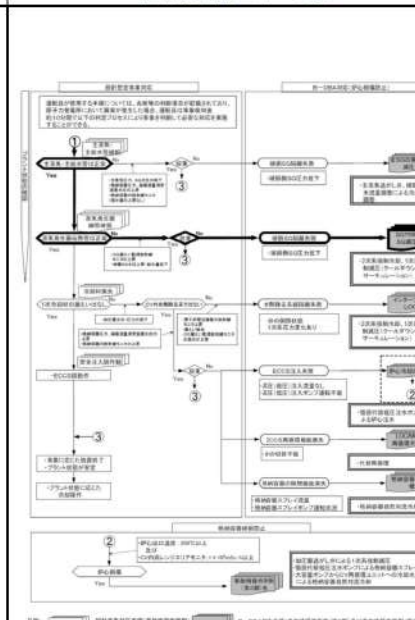
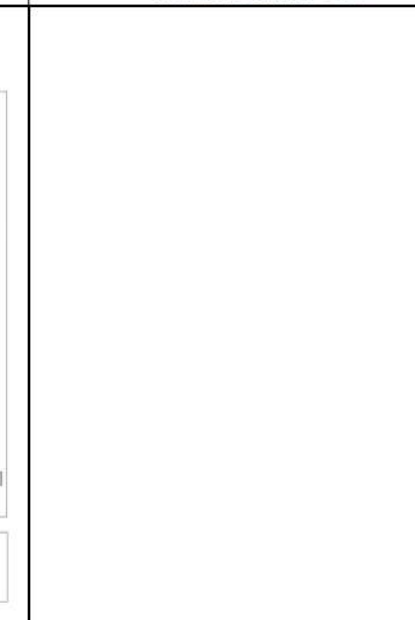
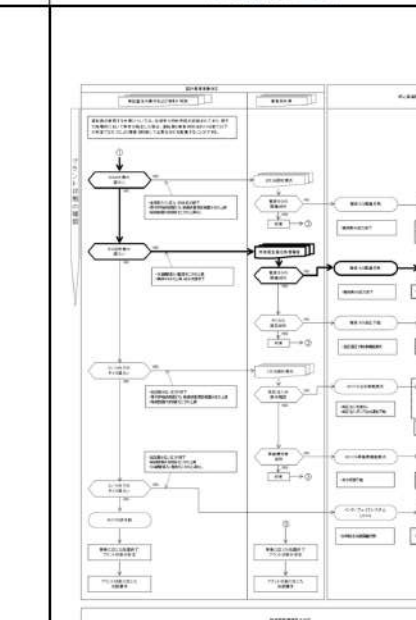
7.1.8 格納容器バイパス

大飯発電所 3 / 4 号炉	高浜発電所 3 / 4 号炉	女川原子力発電所 2 号炉	泊発電所 3 号炉	相違理由
 <p>第 2.8.5 図 「格納容器バイパス」の対応手順の概要 (判定プロセス)</p> <p>(蒸気発生器伝熱管破損 + 破損側蒸気発生器隔離失敗) (1 / 2)</p>	 <p>第 2.8.1.5 図 「格納容器バイパス」の対応手順の概要 (判定プロセス)</p> <p>(蒸気発生器伝熱管破損 + 破損側蒸気発生器隔離失敗) (1 / 2)</p>		<p>第 7.1.8.5 図 「格納容器バイパス」の対応手順の概要 (判定プロセス)</p> <p>(蒸気発生器伝熱管破損時に破損側蒸気発生器の隔離に失敗する事故) (1 / 2)</p>	<p>【大飯・高浜】 設計方針の相違 ・使用する手順の構成の相違により 示し方が異なる部分はあるが、事象判別プロセスとしての内容は同等</p>

泊発電所 3 号炉 有効性評価 比較表

赤字 : 設備、運用又は体制の相違（設計方針の相違）
 青字 : 記載箇所又は記載内容の相違（記載方針の相違）
 緑字 : 記載表現、設備名称の相違（実質的な相違なし）

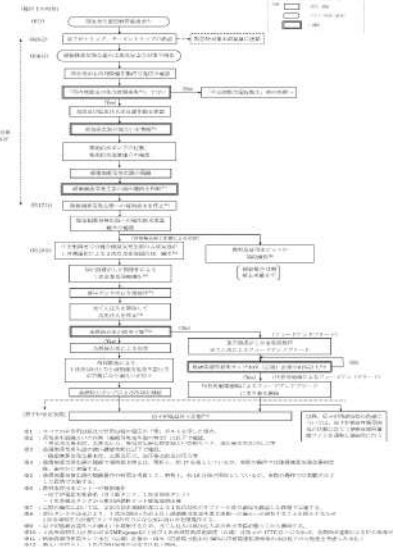
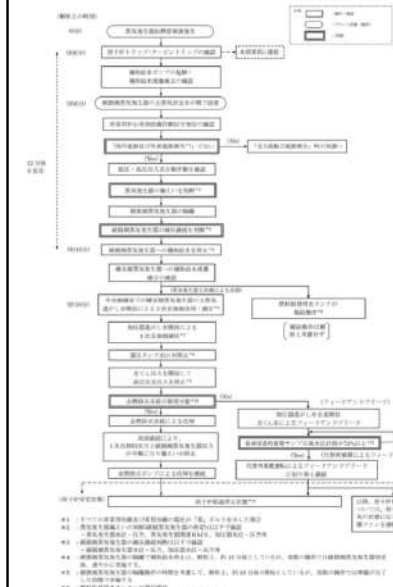
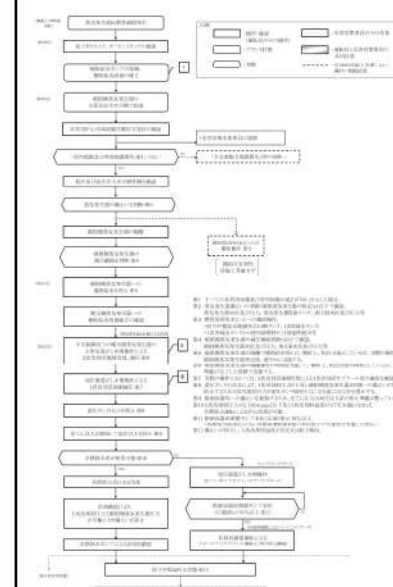
7.1.8 格納容器バイパス

大飯発電所 3／4 号炉	高浜発電所 3／4 号炉	女川原子力発電所 2 号炉	泊発電所 3 号炉	相違理由
 <p>第 2.8.5 図 「格納容器バイパス」の対応手順の概要 (指定プロセス) (蒸気発生器伝熱管破損 + 破損側蒸気発生器隔壁離失敗) (2 / 2)</p>	 <p>第 2.8.5 図 「格納容器バイパス」の対応手順の概要 (指定プロセス) (蒸気発生器伝熱管破損 + 破損側蒸気発生器隔壁離失敗) (2 / 2)</p>	 <p>第 2.8.5 図 「格納容器バイパス」の対応手順の概要 (指定プロセス) (蒸気発生器伝熱管破損 + 破損側蒸気発生器隔壁離失敗) (2 / 2)</p>	 <p>第 2.8.5 図 「格納容器バイパス」の対応手順の概要 (指定プロセス) (蒸気発生器伝熱管破損時に破損側蒸気発生器の隔壁に失敗する事故) (2 / 2)</p>	<p>【大飯・高浜】 設計方針の相違 ・使用する手順の構成の相違により 示し方が異なる部分はあるが、事象判別プロセスとしての内容は同等</p>

泊発電所 3 号炉 有効性評価 比較表

赤字：設備、運用又は体制の相違（設計方針の相違）
 青字：記載箇所又は記載内容の相違（記載方針の相違）
 緑字：記載表現、設備名称の相違（実質的な相違なし）

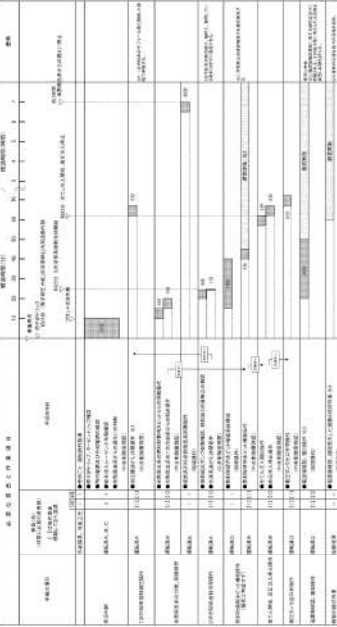
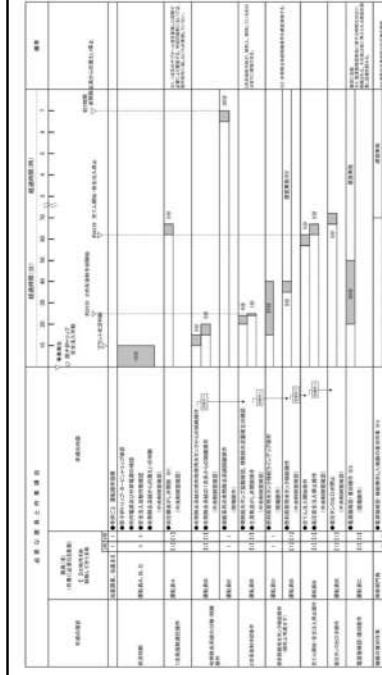
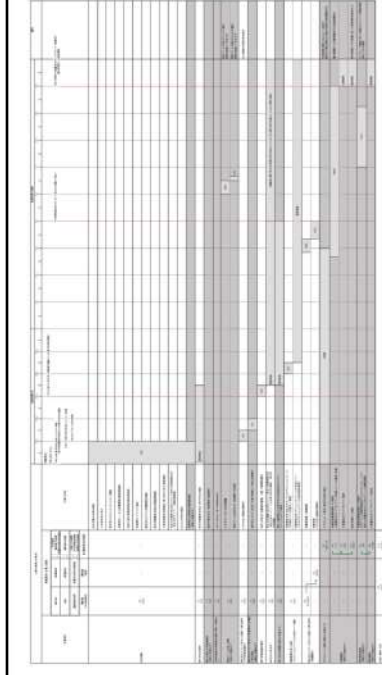
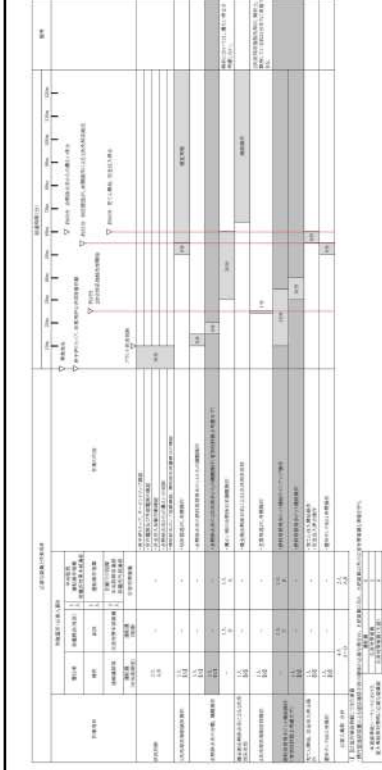
7.1.8 格納容器バイパス

大飯発電所 3／4 号炉	高浜発電所 3／4 号炉	女川原子力発電所 2 号炉	泊発電所 3 号炉	相違理由
 <p>第 2.8.6 図 「格納容器バイパス」の対応手順の概要 (「蒸気発生器伝熱管破損+破損側蒸気発生器隔離失敗」の事象進展)</p>	 <p>第 2.8.1.6 図 「格納容器バイパス」の対応手順の概要 (「蒸気発生器伝熱管破損+破損側蒸気発生器隔離失敗」の事象進展)</p>		 <p>第 7.1.8.6 図 「格納容器バイパス」の対応手順の概要 (「蒸気発生器伝熱管破損時に破損側蒸気発生器の隔離に失敗する事故」の事象進展)</p>	<p>【大阪、高浜】 記載方針の相違 (女川実績の反映) ・凡例に記載のとおり運転員及び災害対策要員が行う作業を分けて記載 ・有効性評価上考慮しない操作・判断結果を破線で記載 • 有効性評価の対象とはしていないが、ほかに取り得る手段を記載 【大阪、高浜】 認定の相違 解釈結果の相違</p> <p>【大飯、高浜】 名称等の相違</p>

泊発電所 3 号炉 有効性評価 比較表

7.1.8 格納容器バイパス

赤字 : 設備、運用又は体制の相違（設計方針の相違）
 青字 : 記載箇所又は記載内容の相違（記載方針の相違）
 緑字 : 記載表現、設備名称の相違（実質的な相違なし）

大飯発電所 3／4号炉	高浜発電所 3／4号炉	女川原子力発電所 2号炉	泊発電所 3号炉	相違理由
				<p>【大飯、高浜】 記載方針の相違 (女川実績の反映) ・運転員を中央制御室と現場に分けて記載 ・有効性評価考慮しない作業を色分けして記載</p> <p>【大飯】 記載上の相違 解説結果の相違 【大飯、高浜】 名称等の相違</p>

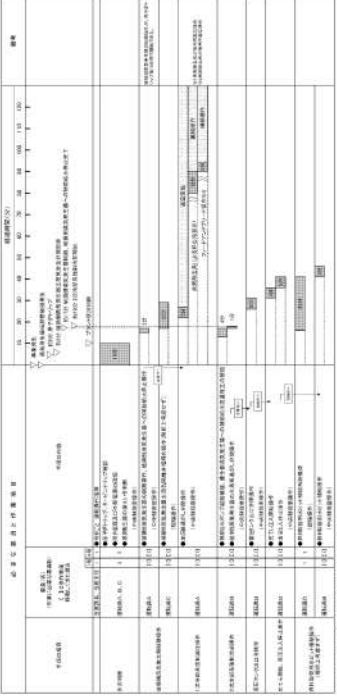
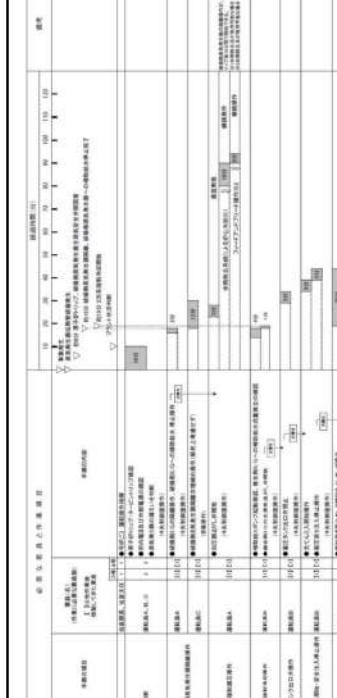
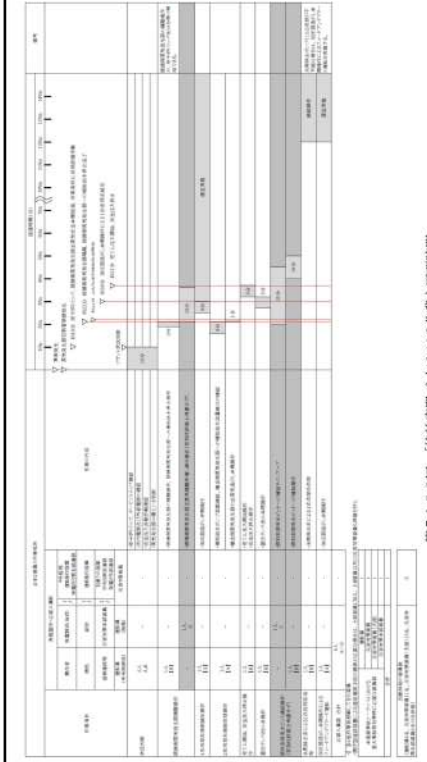
第 2.8.7 図 「格納容器バイパス」の作業と所要時間
(インターフェイスシステム L.O.C.A.)

第 2.8.1.7 図 「格納容器バイパス」の作業と所要時間
(インターフェイスシステム L.O.C.A.)

泊発電所 3号炉 有効性評価 比較表

赤字：設備、運用又は体制の相違（設計方針の相違）
 青字：記載箇所又は記載内容の相違（記載方針の相違）
 緑字：記載表現、設備名称の相違（実質的な相違なし）

7.1.8 格納容器バイパス

大飯発電所3／4号炉	高浜発電所3／4号炉	女川原子力発電所2号炉	泊発電所3号炉	相違理由
 第2.8.8図 「格納容器バイパス」の作業と所要時間 (蒸気発生器破裂+破損側蒸気発生器隔壁失敗)	 第2.8.1.8図 「格納容器バイパス」の作業と所要時間 (蒸気発生器破裂+破損側蒸気発生器隔壁失敗)		 第7.1.8.8図 「格納容器バイパス」の作業と所要時間 (蒸気発生器破裂+破損側蒸気発生器隔壁失敗)	【大飯、高浜】 記載方針の相違 (女川実績の反映) ・運転員を中央制御室と現場に分けて記載 ・有効性評価上考慮しない作業を色分けして記載 【大飯、高浜】 設備の相違 解析結果の相違 【大飯、高浜】 名称等の相違

泊発電所 3号炉 有効性評価 比較表

7.1.8 格納容器バイパス

赤字：設備、運用又は体制の相違（設計方針の相違）
青字：記載箇所又は記載内容の相違（記載方針の相違）
緑字：記載表現、設備名称の相違（実質的な相違なし）

大飯発電所3／4号炉	高浜発電所3／4号炉	女川原子力発電所2号炉	泊発電所3号炉	相違理由
 第2.8.9図 1次冷却材圧力の推移 (インターフェイスシステムLOCA)	 第2.8.2.1図 1次冷却材圧力の推移 (インターフェイスシステムLOCA)	<p style="text-align: center;">(事象進展が異なるため、以下、事象進展図は比較のためではなく参考までに記載)</p> 第2.7.7図 原子炉圧力の推移	 第2.7.8図 原子炉水位（シュラウド内水位）の推移	 第2.1.8.9図 1次冷却材圧力の推移（インターフェイスシステムLOCA）

泊発電所 3号炉 有効性評価 比較表

赤字 : 設備、運用又は体制の相違（設計方針の相違）
 青字 : 記載箇所又は記載内容の相違（記載方針の相違）
 緑字 : 記載表現、設備名称の相違（実質的な相違なし）

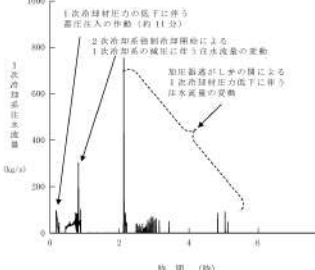
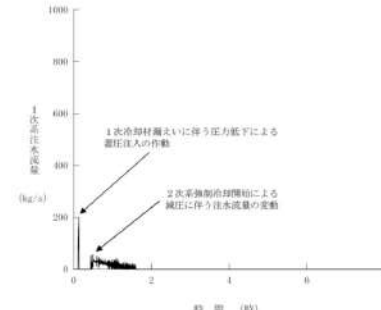
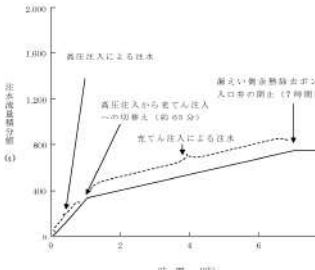
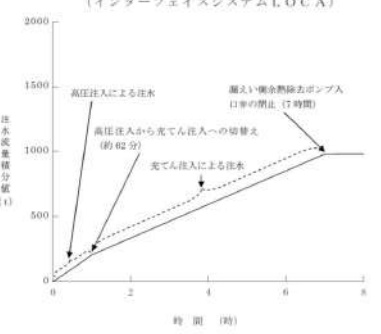
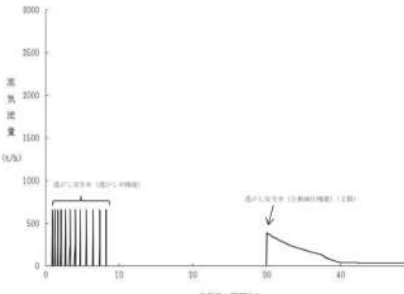
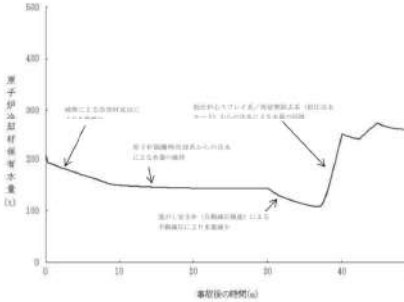
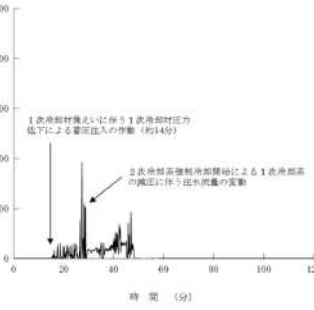
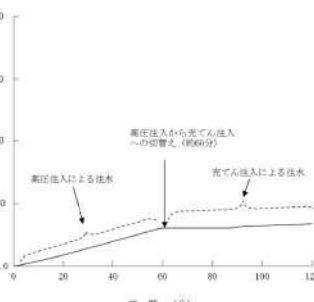
7.1.8 格納容器バイパス

大飯発電所 3／4号炉	高浜発電所 3／4号炉	女川原子力発電所 2号炉	泊発電所 3号炉	相違理由
<p>第 2.8.11図 1次冷却系保有水量の推移 (インターフェイスシステムLOCA) — 高圧注入流量 --- 充てん注入流量</p> <p>第 2.8.12図 1次冷却系注水流量(高圧及び充てん)の推移 (インターフェイスシステムLOCA)</p>	<p>第 2.8.2.3図 1次系保有水量の推移 (インターフェイスシステムLOCA) — 高圧注入流量 --- 充てん注入流量</p> <p>第 2.8.2.4図 1次系注水流量(高圧及び充てん)の推移 (インターフェイスシステムLOCA) ■ 本図のみの範囲は機密に係る事項ですので公開することはできません。</p>	<p>第 2.7.7.9図 原子炉水位(シャウトド内外水位)の推移</p>	<p>第 2.7.10図 注水流量の推移</p>	<p>【大飯、高浜】 解剖結果の相違 ・泊、大飯は余熱除去系 1系統から漏えいを想定するため漏えい量が相対的に少なく、1次冷却系注水流も高めなことがら、1次冷却系保有水量は高浜に比べ比較的多めに推移する</p>
			<p>第 2.7.1.11図 1次冷却系保有水量の推移(インターフェイスシステムLOCA) — 高圧注入流量 --- 充てん注入流量</p> <p>第 2.7.1.12図 1次冷却系注水流量(高圧及び充てん)の推移 (インターフェイスシステムLOCA)</p>	<p>【大飯、高浜】 解剖結果の相違 ・泊は余熱除去系 1系統からの漏えいを想定しているため破断流量が少なく充てん注入による注水流量が少なくなる ・大飯、高浜は充てん注入は最大流量を設定して解析している</p>

泊発電所 3号炉 有効性評価 比較表

赤字：設備、運用又は体制の相違（設計方針の相違）
 青字：記載箇所又は記載内容の相違（記載方針の相違）
 緑字：記載表現、設備名称の相違（実質的な相違なし）

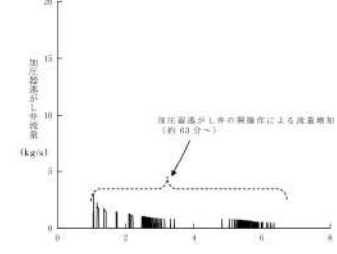
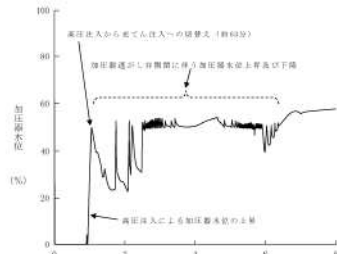
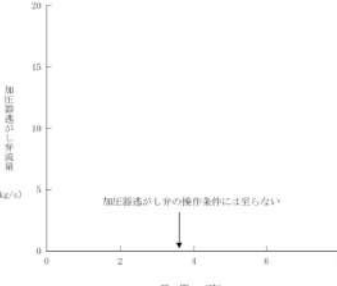
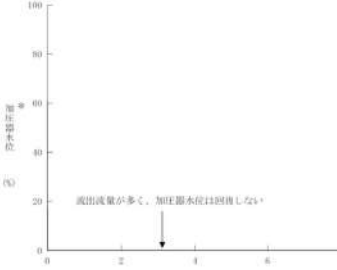
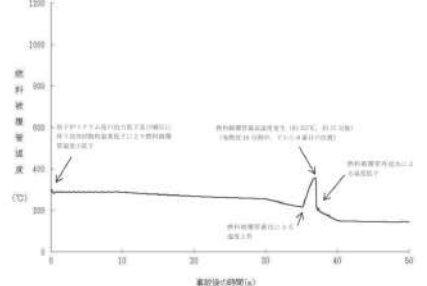
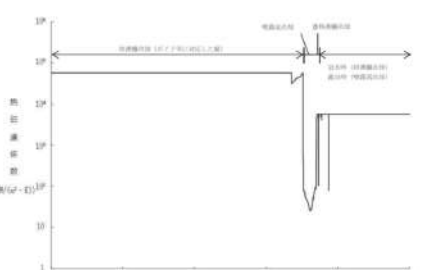
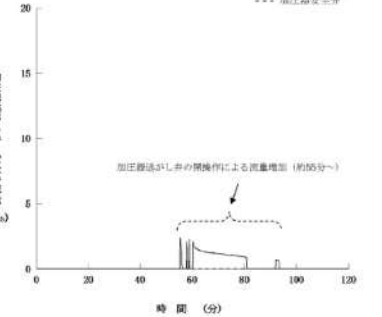
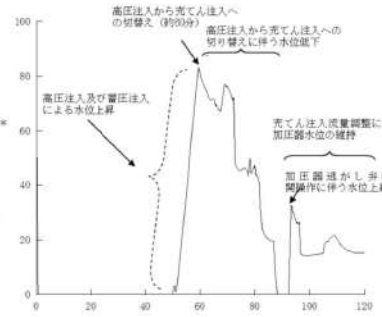
7.1.8 格納容器バイパス

大飯発電所 3／4号炉	高浜発電所 3／4号炉	女川原子力発電所 2号炉	泊発電所 3号炉	相違理由
 <p>第 2.8.13 図 1次冷却系注水流量（蓄圧注入）の推移 (インターフェイスシステムLOCA)</p>  <p>第 2.8.2.5 図 1次系注水流量（蓄圧注入）の推移 (インターフェイスシステムLOCA)</p>  <p>第 2.8.14 図 注水流量積分値の推移 (インターフェイスシステムLOCA)</p>  <p>第 2.8.2.6 図 注水流量積分値の推移 (インターフェイスシステムLOCA)</p>	 <p>第 2.7.11 図 逃がし安全弁からの蒸気流量の推移</p>	 <p>第 2.7.12 図 原子炉圧力容器内保有水量の推移</p>	 <p>第 7.1.8.13 図 1次冷却系注水流量（蓄圧注入）の推移 (インターフェイスシステムLOCA)</p>  <p>第 7.1.8.14 図 注水流量積分値の推移 (インターフェイスシステムLOCA)</p>	<p>【大飯、高浜】 解説結果の相違 ・泊、大飯は余熱 除去系 1 系統から の漏えいを想定す るため、1 次冷却 材圧力の降下率が 小さく、蓄圧注入 開始時間が遅れる</p> <p>【大飯、高浜】 解説結果の相違</p>

泊発電所 3号炉 有効性評価 比較表

赤字：設備、運用又は体制の相違（設計方針の相違）
 青字：記載箇所又は記載内容の相違（記載方針の相違）
 緑字：記載表現、設備名称の相違（実質的な相違なし）

7.1.8 格納容器バイパス

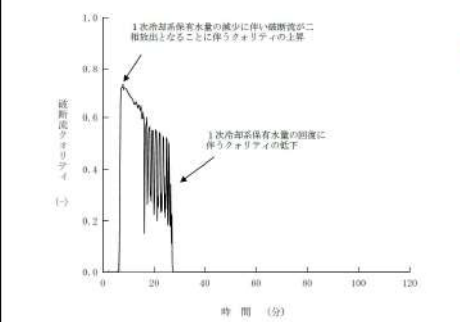
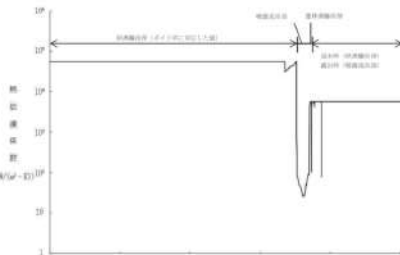
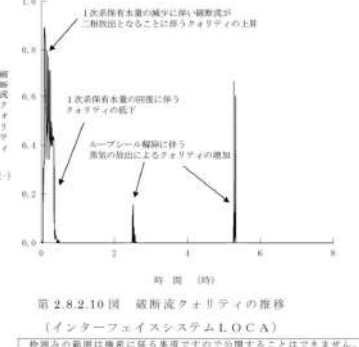
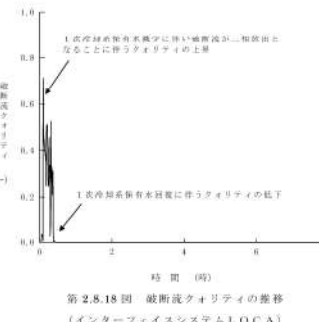
大飯発電所 3／4号炉	高浜発電所 3／4号炉	女川原子力発電所 2号炉	泊発電所 3号炉	相違理由
 <p>第 2.8.15 図 加圧器逃がし弁の操作による流量増加 (インターフェイスシステム LOCA)</p>  <p>第 2.8.16 図 加圧器水位の推移 (インターフェイスシステム LOCA)</p>	 <p>第 2.8.2.7 図 加圧器逃がし弁流量の推移 (インターフェイスシステム LOCA)</p>  <p>第 2.8.2.8 図 加圧器水位の推移 (インターフェイスシステム LOCA)</p>	 <p>第 2.7.13 図 燃料被覆管温度の推移</p>  <p>第 2.7.14 図 燃料被覆管の最高温度発生位置における熱伝達係数の推移</p>	 <p>第 7.1.8.15 図 加圧器逃がし弁・安全弁流量の推移 (インターフェイスシステム LOCA)</p>  <p>第 7.1.8.16 図 加圧器水位の推移 (インターフェイスシステム LOCA)</p>	<p>【大飯、高浜】 解説結果の相違 ・泊、大飯は、余 熱除去系 1 系統か らの漏えいのため 破断流量が少な く、1 次冷却系注 水流量も多いこと から加圧器水位が 回復し、加圧器逃 がし弁が動作する</p> <p>【大飯、高浜】 解説結果の相違 ・泊、大飯は、余 熱除去系 1 系統か らの漏えいのため 破断流量が少な く、1 次冷却系注 水流量も高めなこ とから加圧器水位 が回復する</p>

泊発電所 3号炉 有効性評価 比較表

赤字：設備、運用又は体制の相違（設計方針の相違）
青字：記載箇所又は記載内容の相違（記載方針の相違）
緑字：記載表現、設備名称の相違（実質的な相違なし）

7.1.8 格納容器バイパス

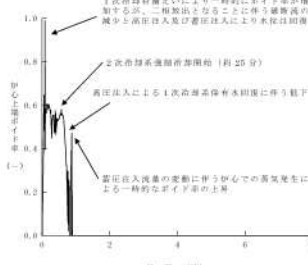
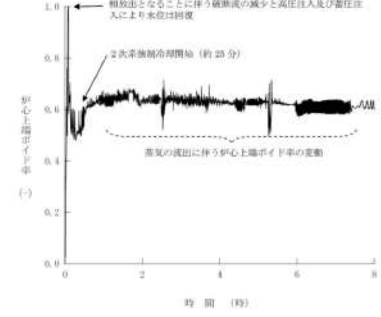
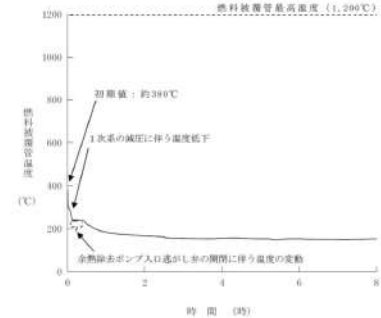
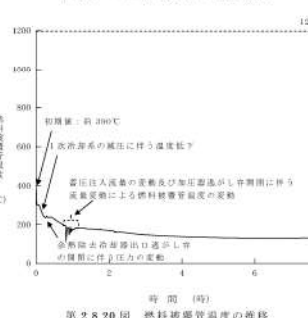
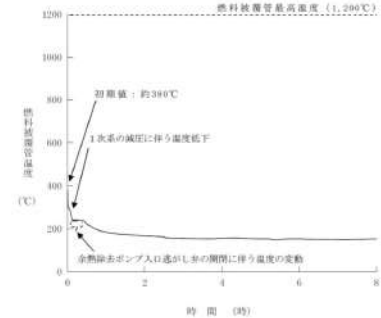
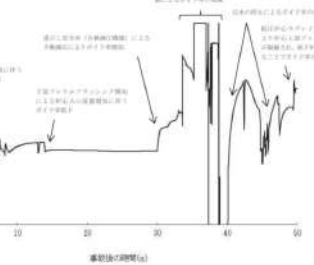
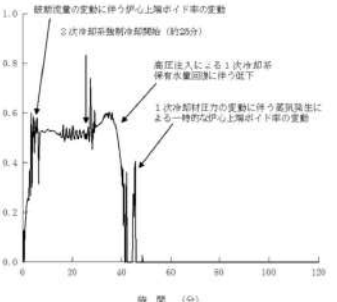
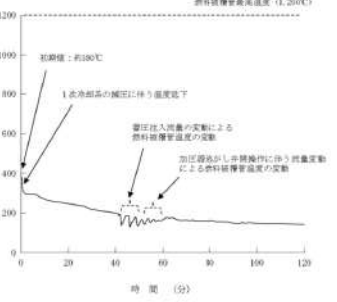
大飯発電所 3／4号炉	高浜発電所 3／4号炉	女川原子力発電所 2号炉	泊発電所 3号炉	相違理由
<p>第 2.8.17 図 破断流量の推移 (インターフェイスシステム LOCA)</p>	<p>第 2.8.2.9 図 破断流量の推移 (インターフェイスシステム LOCA)</p>	<p>第 2.7.13 図 燃料被覆管温度の推移</p>	<p>第 7.1.8.17 図 破断流量の推移 (インターフェイスシステム LOCA)</p>	【大飯、高浜】 解析結果の相違



泊発電所 3号炉 有効性評価 比較表

赤字：設備、運用又は体制の相違（設計方針の相違）
 青字：記載箇所又は記載内容の相違（記載方針の相違）
 緑字：記載表現、設備名称の相違（実質的な相違なし）

7.1.8 格納容器バイパス

大飯発電所 3／4号炉	高浜発電所 3／4号炉	女川原子力発電所 2号炉	泊発電所 3号炉	相違理由
 <p>第 2.8.19 図 伊心上端ボイド率の推移 (インターフェイスシステム LOCA)</p>  <p>第 2.8.2.11 図 伊心上端ボイド率の推移 (インターフェイスシステム LOCA)</p>  <p>第 2.7.15 図 燃料被覆管の最高温度発生位置におけるボイド率の推移 (インターフェイスシステム LOCA)</p>  <p>第 2.8.20 国 燃料被覆管温度の推移 (インターフェイスシステム LOCA)</p>  <p>第 2.8.2.12 国 燃料被覆管温度の推移 (インターフェイスシステム LOCA)</p>	 <p>第 2.7.16 国 高出力燃料集合体のボイド率の推移 (インターフェイスシステム LOCA)</p>	 <p>第 7.1.8.19 国 伊心上端ボイド率の推移 (インターフェイスシステム LOCA)</p>	 <p>第 7.1.8.20 国 燃料被覆管温度の推移 (インターフェイスシステム LOCA)</p>	<p>【大飯、高浜】 解釈結果の相違</p> <ul style="list-style-type: none"> ・泊、大飯は余熱除去系 1 系統からの漏えいを想定しているため破断流量が少なく、高压注入により加圧器水位が回復しボイド率が低下する

泊発電所 3号炉 有効性評価 比較表

赤字: 設備、運用又は体制の相違（設計方針の相違）
青字: 記載箇所又は記載内容の相違（記載方針の相違）
緑字: 記載表現、設備名称の相違（実質的な相違なし）

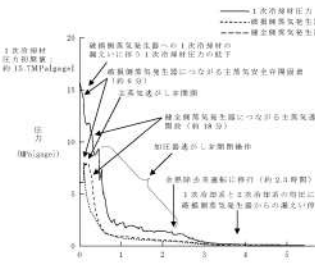
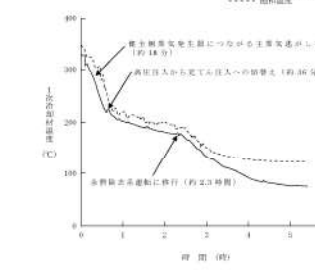
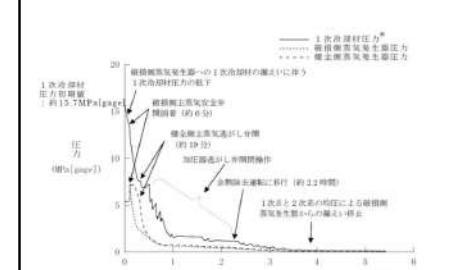
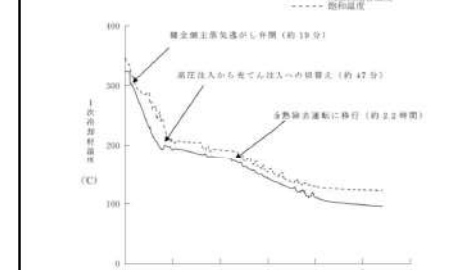
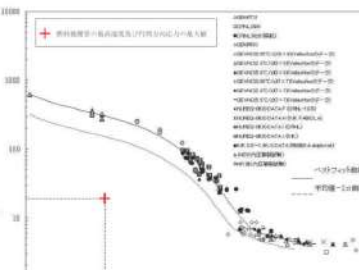
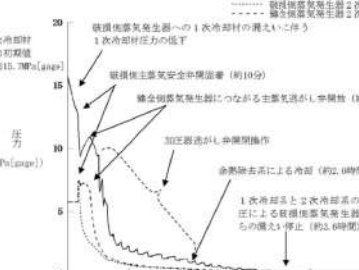
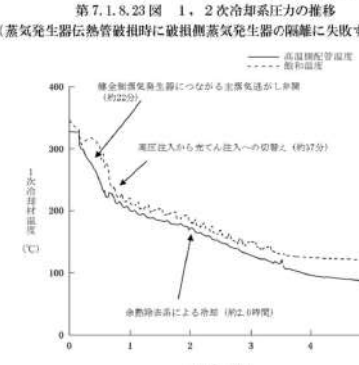
7.1.8 格納容器バイパス

大飯発電所3／4号炉	高浜発電所3／4号炉	女川原子力発電所2号炉	泊発電所3号炉	相違理由
<p>第 2.8.21 図 蒸気発生器への給水流量の推移 (インターフェイスシステム LOCA)</p> <p>第 2.8.22 図 蒸気流量の推移 (インターフェイスシステム LOCA)</p>	<p>第 2.8.2.13 図 蒸気発生器への給水流量の推移 (インターフェイスシステム LOCA)</p> <p>第 2.8.2.14 図 蒸気流量の推移 (インターフェイスシステム LOCA)</p>	<p>第 2.7.17 図 伊心下部プレナム部のボイド率の推移</p> <p>第 2.7.18 図 破断流量の推移</p>	<p>第 7.1.8.21 図 給水流量の推移 (インターフェイスシステム LOCA)</p> <p>第 7.1.8.22 図 蒸気流量の推移 (インターフェイスシステム LOCA)</p>	<p style="color:red;">【大阪、高浜】 解析結果の相違</p>

泊発電所 3 号炉 有効性評価 比較表

赤字 : 設備、運用又は体制の相違（設計方針の相違）
 青字 : 記載箇所又は記載内容の相違（記載方針の相違）
 緑字 : 記載表現、設備名称の相違（実質的な相違なし）

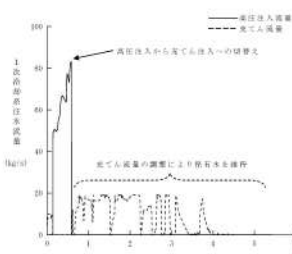
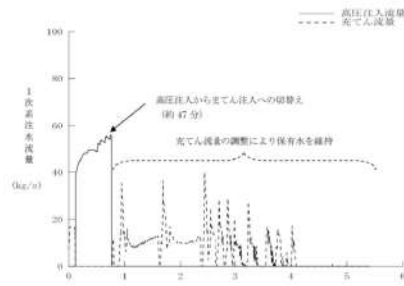
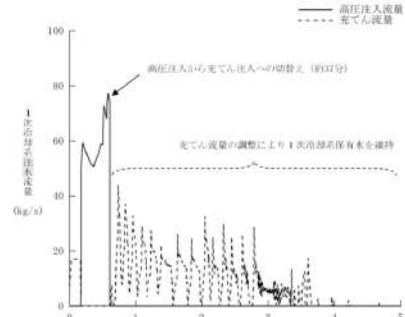
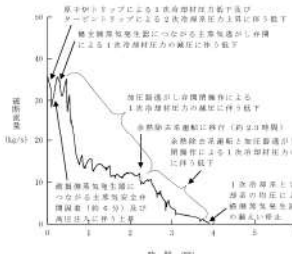
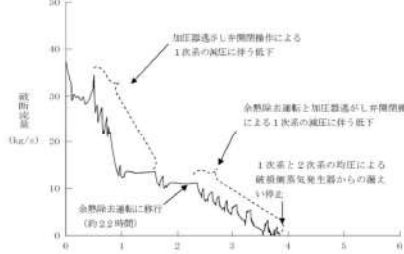
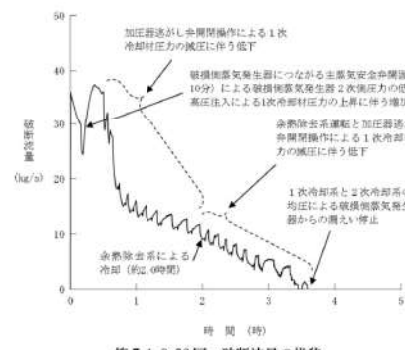
7.1.8 格納容器バイパス

大飯発電所 3／4号炉	高浜発電所 3／4号炉	女川原子力発電所 2号炉	泊発電所 3号炉	相違理由
 <p>第 2.8.23 図 1. 2 次冷却系圧力の推移 (蒸気発生器伝熱管破損 + 破損側蒸気発生器隔離失敗) (蒸気発生器伝熱管破損 + 破損側蒸気発生器隔離失敗)</p>  <p>第 2.8.24 図 1 次冷却材温度の推移 (蒸気発生器伝熱管破損 + 破損側蒸気発生器隔離失敗)</p>	 <p>第 2.8.2.15 図 1. 2 次圧力の推移 (蒸気発生器伝熱管破損 + 破損側蒸気発生器隔離失敗)</p>  <p>第 2.8.2.16 図 1 次冷却材温度の推移 (蒸気発生器伝熱管破損 + 破損側蒸気発生器隔離失敗)</p>	 <p>第 2.7.19 図 燃料被覆管に破裂が発生する時点の燃料被覆管温度と燃料被覆管の内周方向の応力の関係</p>	 <p>第 7.1.8.21 図 1. 2 次冷却系圧力の推移 (蒸気発生器伝熱管破損 + 破損側蒸気発生器隔離失敗)</p>  <p>第 7.1.8.24 図 1 次冷却材温度の推移 (蒸気発生器伝熱管破損 + 破損側蒸気発生器隔離失敗)</p>	<p>【大阪、高浜】 解説結果の相違</p> <p>【大阪、高浜】 解説結果の相違</p>

泊発電所 3 号炉 有効性評価 比較表

赤字 : 設備、運用又は体制の相違（設計方針の相違）
 青字 : 記載箇所又は記載内容の相違（記載方針の相違）
 緑字 : 記載表現、設備名称の相違（実質的な相違なし）

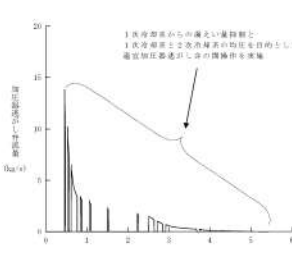
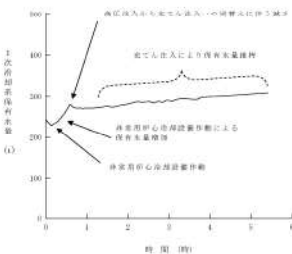
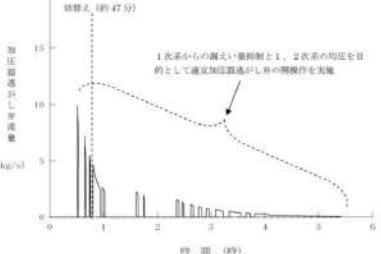
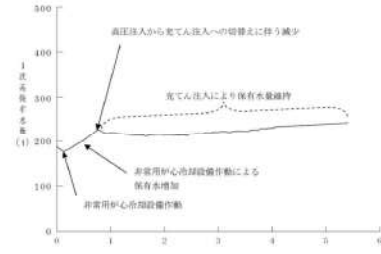
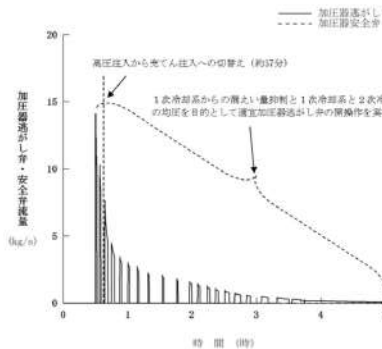
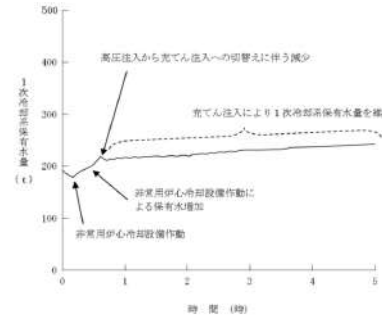
7.1.8 格納容器バイパス

大飯発電所 3／4号炉	高浜発電所 3／4号炉	女川原子力発電所 2号炉	泊発電所 3号炉	相違理由
 <p>第 2.8.25 図 1 次冷却系注水流量の推移 (蒸気発生器伝熱管破損+破損側蒸気発生器隔壁失效)</p>	 <p>第 2.8.2.17 図 1 次系注水流量の推移 (蒸気発生器伝熱管破損+破損側蒸気発生器隔壁失效)</p>		 <p>第 7.1.8.24 図 1 次冷却系注水流量の推移 (蒸気発生器伝熱管破損時に破損側蒸気発生器の隔壁に失敗する事故)</p>	【大飯、高浜】 解析結果の相違
 <p>第 2.8.26 図 破断流量の推移 (蒸気発生器伝熱管破損+破損側蒸気発生器隔壁失效)</p>	 <p>第 2.8.2.18 図 破断流量の推移 (蒸気発生器伝熱管破損+破損側蒸気発生器隔壁失效)</p>		 <p>第 7.1.8.26 図 破断流量の推移 (蒸気発生器伝熱管破損時に破損側蒸気発生器の隔壁に失敗する事故)</p>	【大飯、高浜】 解析結果の相違 ・泊は補助給水流量 量が少なく健全側 蒸気発生器水位の 回復が遅いため、 補助給水注入流量 が維持される時間 が長く、2 次冷却 系強制冷却の蒸気 発生器への冷水補 給による冷却効果 が大きくなること でサブクールが確 保され、加圧器逃 がし弁の動作回数 が増加する。

泊発電所 3号炉 有効性評価 比較表

赤字：設備、運用又は体制の相違（設計方針の相違）
 青字：記載箇所又は記載内容の相違（記載方針の相違）
 緑字：記載表現、設備名称の相違（実質的な相違なし）

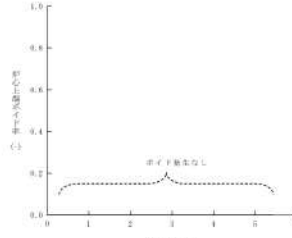
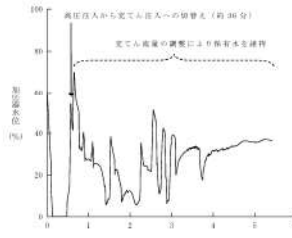
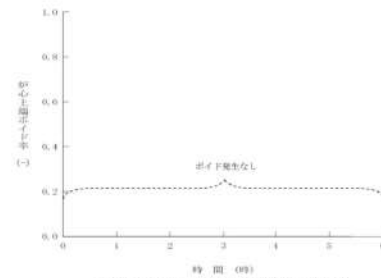
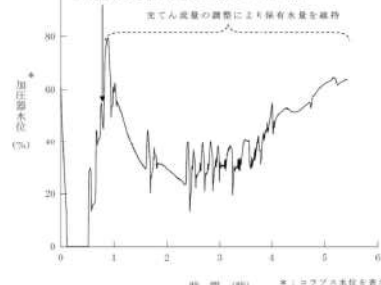
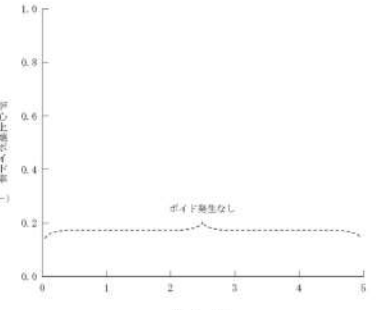
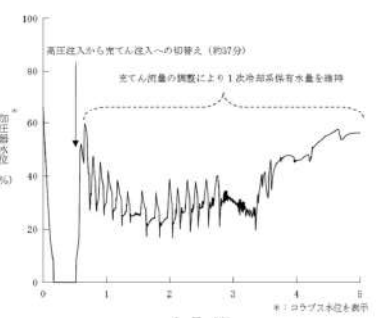
7.1.8 格納容器バイパス

大飯発電所 3／4号炉	高浜発電所 3／4号炉	女川原子力発電所 2号炉	泊発電所 3号炉	相違理由
 <p>第 2.8.27 図 加圧器逃がし弁流量の推移 (蒸気発生器伝熱管破損 + 破損側蒸気発生器隔壁失敗)</p>  <p>第 2.8.28 図 1次冷却系保有水量の推移 (蒸気発生器伝熱管破損 + 破損側蒸気発生器隔壁失敗)</p>	 <p>第 2.8.19 図 加圧器逃がし弁流量の推移 (蒸気発生器伝熱管破損 + 破損側蒸気発生器隔壁失敗)</p>  <p>第 2.8.20 図 1次系保有水量の推移 (蒸気発生器伝熱管破損 + 破損側蒸気発生器隔壁失敗) <small>※：1次系保有水量と加圧器水位の関係については、添付資料 2.8.18 参照</small></p>		 <p>第 7.1.8.27 図 加圧器逃がし弁・安全弁流量の推移 (蒸気発生器伝熱管破損時に破損側蒸気発生器の隔壁に失敗する事故)</p>  <p>第 7.1.8.28 図 1次冷却系保有水量の推移 (蒸気発生器伝熱管破損時に破損側蒸気発生器の隔壁に失敗する事故)</p>	<p>【大飯、高浜】 解釈結果の相違</p> <ul style="list-style-type: none"> ・泊は補助給水流量が少なく健全側蒸気発生器水位の回復が遅いため、補助給水注入流量が維持される時間が長く、2次冷却系強制冷却の蒸気発生器への冷水補給による冷却効果が大きくなることでサブクールが確保され、加圧器逃がし弁の動作回数が増加する。

泊発電所 3号炉 有効性評価 比較表

赤字 : 設備、運用又は体制の相違（設計方針の相違）
 青字 : 記載箇所又は記載内容の相違（記載方針の相違）
 緑字 : 記載表現、設備名称の相違（実質的な相違なし）

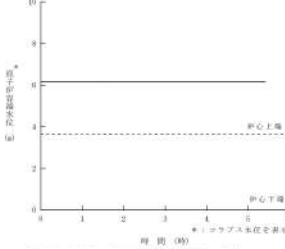
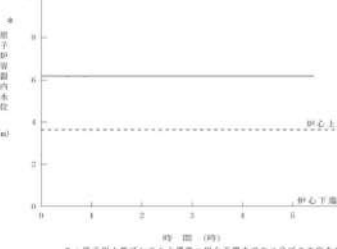
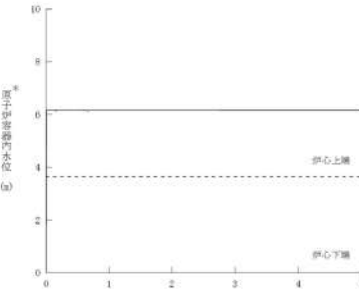
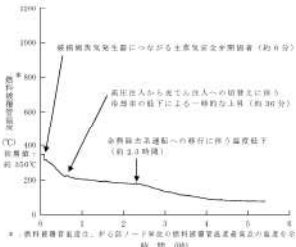
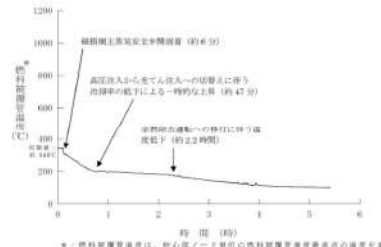
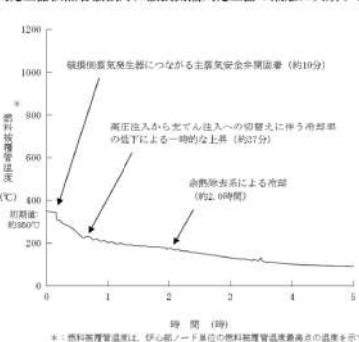
7.1.8 格納容器バイパス

大飯発電所 3／4号炉	高浜発電所 3／4号炉	女川原子力発電所 2号炉	泊発電所 3号炉	相違理由
 <p>第 2.8.29 図 売心上端ボイド率の推移 (蒸気発生器伝熱管破損+破損側蒸気発生器隔壁失敗)</p>  <p>第 2.8.30 図 加圧器水位の推移 (蒸気発生器伝熱管破損+破損側蒸気発生器隔壁失敗)</p>	 <p>第 2.8.21 図 売心上端ボイド率の推移 (蒸気発生器伝熱管破損+破損側蒸気発生器隔壁失敗)</p>  <p>第 2.8.22 図 加圧器水位の推移 (蒸気発生器伝熱管破損+破損側蒸気発生器隔壁失敗)※ ※：上式条件有り上部加圧器水位の関係については、前回資料 2.8.16 参照</p>		 <p>第 7.1.8.29 図 売心上端ボイド率の推移 (蒸気発生器伝熱管破損時に破損側蒸気発生器の隔壁に失敗する事故)</p>  <p>第 7.1.8.30 図 加圧器水位の推移 (蒸気発生器伝熱管破損時に破損側蒸気発生器の隔壁に失敗する事故)</p>	【大飯、高浜】 解説結果の相違

泊発電所 3 号炉 有効性評価 比較表

赤字 : 設備、運用又は体制の相違（設計方針の相違）
 青字 : 記載箇所又は記載内容の相違（記載方針の相違）
 緑字 : 記載表現、設備名称の相違（実質的な相違なし）

7.1.8 格納容器バイパス

大飯発電所 3 / 4 号炉	高浜発電所 3 / 4 号炉	女川原子力発電所 2 号炉	泊発電所 3 号炉	相違理由
 第 2.8.31 図 原子炉容器内水位の推移 (蒸気発生器伝熱管破損+破損側蒸気発生器隔壁破損失敗)	 第 2.8.23 図 原子炉容器内水位の推移 (蒸気発生器伝熱管破損+破損側蒸気発生器隔壁破損失敗)		 第 7.1.8.31 図 原子炉容器内水位の推移 (蒸気発生器伝熱管破損時に破損側蒸気発生器の隔壁に失敗する事故)	
 第 2.8.32 図 燃料被覆管温度の推移 (蒸気発生器伝熱管破損+破損側蒸気発生器隔壁破損失敗)	 第 2.8.24 図 燃料被覆管温度の推移 (蒸気発生器伝熱管破損+破損側蒸気発生器隔壁破損失敗)		 第 7.1.8.32 図 燃料被覆管温度の推移 (蒸気発生器伝熱管破損時に破損側蒸気発生器の隔壁に失敗する事故)	【大阪、高浜】 解説結果の相違

泊発電所 3号炉 有効性評価 比較表

赤字：設備、運用又は体制の相違（設計方針の相違）
 青字：記載箇所又は記載内容の相違（記載方針の相違）
 緑字：記載表現、設備名称の相違（実質的な相違なし）

7.1.8 格納容器バイパス

大飯発電所 3／4号炉	高浜発電所 3／4号炉	女川原子力発電所 2号炉	泊発電所 3号炉	相違理由
<p>第 2.8.33 図 蒸気発生器水位の推移 (蒸気発生器伝熱管破損+破損側蒸気発生器隔離失敗)</p> <p>第 2.8.2.25 図 蒸気発生器水位の推移 (蒸気発生器伝熱管破損+破損側蒸気発生器隔離失敗)</p>	<p>第 2.8.2.26 図 蒸気発生器への給水流量の推移 (蒸気発生器伝熱管破損+破損側蒸気発生器隔離失敗)</p>		<p>第 7.1.8.33 図 蒸気発生器水位の推移 (蒸気発生器伝熱管破損時に破損側蒸気発生器の隔離に失敗する事故)</p> <p>第 7.1.8.34 図 給水流量の推移 (蒸気発生器伝熱管破損時に破損側蒸気発生器の隔離に失敗する事故)</p>	<p>【大飯、高浜】 解析結果の相違</p> <p>・泊は補助給水流 量が少なく、蒸気発生器水位の回復が遅いため、健全側の補助給水調整が遅れる</p>

泊発電所 3号炉 有効性評価 比較表

赤字：設備、運用又は体制の相違（設計方針の相違）
 青字：記載箇所又は記載内容の相違（記載方針の相違）
 緑字：記載表現、設備名称の相違（実質的な相違なし）

7.1.8 格納容器バイパス

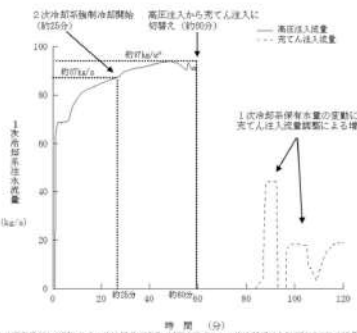
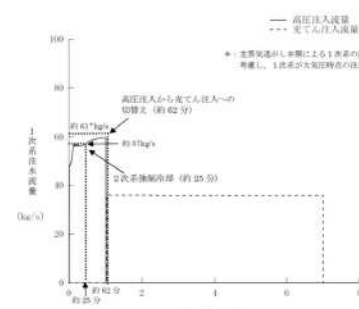
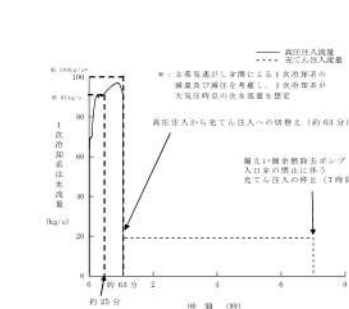
大飯発電所 3／4号炉	高浜発電所 3／4号炉	女川原子力発電所 2号炉	泊発電所 3号炉	相違理由
<p>第 2.8.35 図 蒸気流量の推移 (蒸気発生器伝熱管破損+破損側蒸気発生器隔離失敗)</p>	<p>第 2.8.2.27 図 蒸気流量の推移 (蒸気発生器伝熱管破損+破損側蒸気発生器隔離失敗)</p>		<p>第 7.1.8.35 図 蒸気流量の推移 (蒸気発生器伝熱管破損時に破損側蒸気発生器の隔離に失敗する事故)</p>	【大飯、高浜】 解析結果の相違

泊発電所 3 号炉 有効性評価 比較表

赤字 : 設備、運用又は体制の相違（設計方針の相違）
 青字 : 記載箇所又は記載内容の相違（記載方針の相違）
 緑字 : 記載表現、設備名称の相違（実質的な相違なし）

7.1.8 格納容器バイパス

大飯発電所 3 / 4 号炉	高浜発電所 3 / 4 号炉	女川原子力発電所 2 号炉	泊発電所 3 号炉	相違理由
<p>第 2.8.36 図 1 次冷却系注水流量（高圧及び洩れん）の推移 （インターフェイスシステム LOCA）（操作時間余裕確認）</p> <p>■ 高圧注入流量 ▲ 洵れん注入流量 *：主蒸気発生器し水側による 1 次系統の減圧・減圧を考慮し、1 次系統が大気圧時点の注水流量を想定 大気圧時点の注水流量を想定</p> <p>1 次系統注水流量 (kg/s)</p> <p>時間 (分)</p>	<p>第 2.8.3.1 図 1 次系統注水流量（高圧及び洩れん）の推移 （インターフェイスシステム LOCA）（操作時間余裕確認）</p> <p>■ 高圧注入流量 ▲ 洵れん注入流量 *：主蒸気発生器し水側による 1 次系統の減圧・減圧を考慮し、1 次系統が大気圧時点の注水流量を想定 大気圧時点の注水流量を想定</p> <p>1 次系統注水流量 (kg/s)</p> <p>時間 (分)</p>		<p>第 7.1.8.36 図 1 次冷却系注水流量の推移 （インターフェイスシステム LOCA）（操作時間余裕確認）</p> <p>■ 高圧注入流量 ▲ 洵れん注入流量 *：主蒸気発生器し水側による 1 次系統の減圧・減圧を考慮し、1 次系統が大気圧時点の注水流量を想定 大気圧時点の注水流量を想定</p> <p>1 次系統注水流量 (kg/s)</p> <p>時間 (分)</p>	【大飯、高浜】 解析結果の相違



【大飯、高浜】
解析結果の相違

泊発電所 3 号炉 有効性評価 比較表

7.1.8 格納容器バイパス (添付資料 7.1.8.1 インターフェイスシステム LOCA 時における高圧注入から充てん注入への切替えについて)

赤字 : 設備、運用又は体制の相違 (設計方針の相違)
青字 : 記載箇所又は記載内容の相違 (記載方針の相違)
緑字 : 記載表現、設備名称の相違 (実質的な相違なし)

大飯発電所 3 / 4 号炉	泊発電所 3 号炉	相違理由
<p>添付資料 2.8.1</p> <p>インターフェイスシステム LOCA 時における高圧注入から充てん注入への切替えについて</p> <p>インターフェイスシステム LOCAにおいて破断規模が小さく 1 次冷却系がサブクール状態の場合には、1 次冷却材圧力は高圧注入により保持されるので、1 次冷却系からの放出流量を減少させるため、非常用炉心冷却設備停止条件を確認し条件が満足すれば高圧注入から充てん注入に切り替え、注水量を減少させて 1 次冷却系の減圧を促進させる手順としている。</p> <p>また、非常用炉心冷却設備停止条件が満足されない場合においても、原子炉トリップ後 2.5 時間程度経過後には、崩壊熱レベル[*]が低くなつており充てん注入による炉心の除熱が可能であることから、燃料取替用水ピット保有水の消費を減らす目的で、高圧注入から充てん注入に切り替える手順としている。</p> <p>※充てん注入により除熱可能な崩壊熱レベル</p> <p>原子炉トリップ 2.5 時間後の崩壊熱レベルは炉心出力（定格比）約 □ % であり、低圧時の充てん流量（約 □ kg/sec）により除熱可能な崩壊熱レベル約 □ % より低く、充てん注入による除熱が可能</p> <p><高圧注入と充てん注入ラインの系統概要></p> <p>□ 拝囲みの範囲は機密に係る事項ですので公開することはできません。</p>	<p>添付資料 7.1.8.1</p> <p>インターフェイスシステム LOCA 時における高圧注入から充てん注入への切替えについて</p> <p>インターフェイスシステム LOCAにおいて破断規模が小さく 1 次冷却系がサブクール状態の場合には、1 次冷却材圧力は高圧注入により保持されるので、1 次冷却系からの放出流量を減少させるため、非常用炉心冷却設備停止条件を確認し条件が満足すれば高圧注入から充てん注入に切り替え、注入量を減少させて 1 次冷却系の減圧を促進させる手順としている。</p> <p>また、非常用炉心冷却設備停止条件が満足されない場合においても、原子炉トリップ後 1 時間程度経過後には、崩壊熱レベル[*]が低くなつており充てん注入による炉心の除熱が可能であることから、燃料取替用水ピット保有水の消費を減らす目的で、高圧注入から充てん注入に切り替える手順としている。</p> <p>※充てん注入により除熱可能な崩壊熱レベル</p> <p>原子炉トリップ 1 時間後の崩壊熱レベルは炉心出力（定格比）約 1.4% であり、低圧時の充てん流量（約 □ kg/s）により除熱可能な崩壊熱レベル約 □ % より低く、充てん注入による除熱が可能。</p> <p>□ 拝囲みの範囲は機密情報に属しますので公開できません。</p>	<p>設備の相違</p> <p>設備の相違</p>

泊発電所3号炉 有効性評価 比較表

7.1.8 格納容器バイパス (添付資料 7.1.8.2 破損側SGの隔離操作を実施の際に補助給水の停止操作の妥当性について)

赤字 : 設備、運用又は体制の相違（設計方針の相違）
 青字 : 記載箇所又は記載内容の相違（記載方針の相違）
 緑字 : 記載表現、設備名称の相違（実質的な相違なし）

大飯発電所3／4号炉	泊発電所3号炉	相違理由
<p>添付資料 2.8.2</p> <p>破損側 SG の隔離操作を実施の際に補助給水の停止操作の妥当性について</p> <p>1. 破損側 SG への補助給水を停止した場合の影響</p> <p>SGTR 発生時においては、健全側 SG のみを用いた 2 次冷却系による炉心冷却及び 1、2 次冷却系の均圧操作による漏えい停止が可能であり、破損側 SG への補助給水を停止させることによる悪影響はないと考えている。</p> <p>2. 破損側 SG への補助給水を停止しなかった場合の影響</p> <p>仮に破損側 SG への補助給水を停止しなかった場合、1 次冷却系からの漏えいの制御が困難なことから SG 2 次側が満水に至る可能性がある。この場合、1 次冷却系から 2 次冷却系へ漏えいした放射性物質のうち水に保持されやすい性質を持つ無機よう素が、気液分配を期待できない状態で外部へ放出されることによる被ばく上の影響が考えられる。</p> <p>したがって、SGTR 発生時においては周辺環境への被ばく低減の観点で、健全側 SG を用いた 1 次冷却系の冷却・均圧操作を優先した上で、破損側 SG が満水となるリスクを避けるために破損側 SG への補助給水を停止する手順としている。</p> <p>3. 海外における知見</p> <p>米国 US-EPR や仏国 EDF の SGTR 時の手順を確認した結果、上記と同様に健全側 SG での冷却・減圧を優先した上で、破損 SG の補助給水を停止させる手順となっていることを確認している。</p>	<p>添付資料 7.1.8.2</p> <p>破損側 SG の隔離操作を実施の際に補助給水の停止操作の妥当性について</p> <p>1. 破損側 SG への補助給水を停止した場合の影響</p> <p>SGTR 発生時においては、健全側 SG のみを用いた 2 次冷却系による炉心冷却及び 1、2 次冷却系の均圧操作による漏えい停止が可能であり、破損側 SG への補助給水を停止させることによる悪影響はないと考えている。</p> <p>2. 破損側 SG への補助給水を停止しなかった場合の影響</p> <p>仮に破損側 SG への補助給水を停止しなかった場合、1 次冷却系からの漏えいの制御が困難なことから SG 2 次側が満水に至る可能性がある。この場合、1 次冷却系から 2 次冷却系へ漏えいした放射性物質のうち水に保持されやすい性質を持つ無機よう素が、気液分配を期待できない状態で外部へ放出されることによる被ばく上の影響が考えられる。</p> <p>したがって、SGTR 発生時においては周辺環境への被ばく低減の観点で、健全側 SG を用いた 1 次冷却系の冷却・均圧操作を優先した上で、破損側 SG が満水となるリスクを避けるために破損側 SG への補助給水を停止する手順としている。</p> <p>3. 海外における知見</p> <p>米国 US-EPR や仏国 EDF の SGTR 時の手順を確認した結果、上記と同様に健全側 SG での冷却・減圧を優先した上で、破損 SG の補助給水を停止させる手順となっていることを確認している。</p>	

泊発電所 3 号炉 有効性評価 比較表

7.1.8 格納容器バイパス (添付資料 7.1.8.3 重大事故等対策の有効性評価に使用する個別解析条件 (格納容器バイパス))

赤字 : 設備、運用又は体制の相違 (設計方針の相違)
青字 : 記載箇所又は記載内容の相違 (記載方針の相違)
緑字 : 記載表現、設備名称の相違 (実質的な相違なし)

大飯発電所 3 / 4 号炉	泊発電所 3 号炉	相違理由																																																																																	
<p>添付資料 2.8.3 大飯 3, 4 号炉の重大事故等対策の有効性評価に使用する個別解析条件について (格納容器バイパス)</p> <p>重要事故シーケンス「インターフェイスシステム LOCA」における個別解析条件を第 1 表、「蒸気発生器伝熱管破損時に破損側蒸気発生器の隔離に失敗する事故」における個別解析条件を第 2 表に示す。</p> <p>第 1 表 システム热水力解析用データ (格納容器バイパス (インターフェイスシステム LOCA))</p> <table border="1"> <thead> <tr> <th>名 称</th><th>数 値</th><th>解釈上の取り扱い</th></tr> </thead> <tbody> <tr> <td>(1) 原子炉保護設備 1) 「原子炉圧力低」 原子炉トリップ i) 設定点</td><td>12.73MPa[gage]</td><td>設計値 (トリップ限界値)</td></tr> <tr> <td>ii) 応答時間</td><td>2 秒後に制御棒落下開始</td><td>最大値 (設計要求値)</td></tr> <tr> <td>(2) 事象収束に重要な機器・操作関連 1) 「原子炉圧力低」 非常用炉心冷却設備作動 i) 設定点</td><td>12.04MPa[gage]</td><td>設計値 (作動限界値)</td></tr> <tr> <td>ii) 応答時間</td><td>2.0 秒</td><td>最大値 (設計要求値)</td></tr> <tr> <td>iii) 給水開始</td><td>非常用炉心冷却設備作動限界値到達の 27 秒後(自動起動)</td><td>最大値 (設計要求値)</td></tr> <tr> <td>iv) 基数</td><td>高圧注入ポンプ 2 台</td><td>設計値</td></tr> <tr> <td>v) 容量</td><td>最大注入特性 (第 2 図参照)</td><td>最大値 (設計値に余裕を考慮した値)</td></tr> <tr> <td>vi) 停止条件</td><td>- サブクール度 40°C 以上 - 加圧器水位 50% 以上 - 1 次冷却材圧力 (広域) が安定又は上昇、かつ蓄圧タンク不動作又は隔離中 - 蒸気発生器水位下端以上又は蒸気発生器～電動補助給水ポンプ 1 台の設計流量以上で注水中</td><td>運転員等操作条件</td></tr> <tr> <td>② 辅助給水ポンプ i) 給水開始 (起動遅れ時間)</td><td>非常用炉心冷却設備作動限界値到達の 60 秒後(自動起動)</td><td>最大値 (設計要求値)</td></tr> <tr> <td>名 称</td><td>数 値</td><td>解釈上の取り扱い</td></tr> <tr> <td>ii) 蒸気発生器水位維持 狭域水位内</td><td>運転員等操作条件</td><td></td></tr> <tr> <td>iii) 個数 電動 2 台 + タービン動 1 台</td><td>設計値</td><td></td></tr> <tr> <td>iv) 容量 約 370m³/h (蒸気発生器 4 基合計)</td><td>最小値 (設計値に余裕を考慮した値)</td><td></td></tr> </tbody> </table>	名 称	数 値	解釈上の取り扱い	(1) 原子炉保護設備 1) 「原子炉圧力低」 原子炉トリップ i) 設定点	12.73MPa[gage]	設計値 (トリップ限界値)	ii) 応答時間	2 秒後に制御棒落下開始	最大値 (設計要求値)	(2) 事象収束に重要な機器・操作関連 1) 「原子炉圧力低」 非常用炉心冷却設備作動 i) 設定点	12.04MPa[gage]	設計値 (作動限界値)	ii) 応答時間	2.0 秒	最大値 (設計要求値)	iii) 給水開始	非常用炉心冷却設備作動限界値到達の 27 秒後(自動起動)	最大値 (設計要求値)	iv) 基数	高圧注入ポンプ 2 台	設計値	v) 容量	最大注入特性 (第 2 図参照)	最大値 (設計値に余裕を考慮した値)	vi) 停止条件	- サブクール度 40°C 以上 - 加圧器水位 50% 以上 - 1 次冷却材圧力 (広域) が安定又は上昇、かつ蓄圧タンク不動作又は隔離中 - 蒸気発生器水位下端以上又は蒸気発生器～電動補助給水ポンプ 1 台の設計流量以上で注水中	運転員等操作条件	② 辅助給水ポンプ i) 給水開始 (起動遅れ時間)	非常用炉心冷却設備作動限界値到達の 60 秒後(自動起動)	最大値 (設計要求値)	名 称	数 値	解釈上の取り扱い	ii) 蒸気発生器水位維持 狭域水位内	運転員等操作条件		iii) 個数 電動 2 台 + タービン動 1 台	設計値		iv) 容量 約 370m³/h (蒸気発生器 4 基合計)	最小値 (設計値に余裕を考慮した値)		<p>添付資料 7.1.8.3 重大事故等対策の有効性評価に使用する個別解析条件 (格納容器バイパス)</p> <p>重要事故シーケンス「インターフェイスシステム LOCA」における個別解析条件を第 1 表、「蒸気発生器伝熱管破損時に破損側蒸気発生器の隔離に失敗する事故」における個別解析条件を第 2 表に示す。</p> <p>第 1 表 システム热水力解析用データ (格納容器バイパス (インターフェイスシステム LOCA))</p> <table border="1"> <thead> <tr> <th>名 称</th><th>数 値</th><th>解釈上の取り扱い</th></tr> </thead> <tbody> <tr> <td>(1) 原子炉保護設備 1) 「原子炉圧力低」 原子炉トリップ i) 設定点</td><td>12.73MPa[gage]</td><td>設計値 (トリップ限界値)</td></tr> <tr> <td>ii) 応答時間</td><td>2 秒後に制御棒落下開始</td><td>最大値 (設計要求値)</td></tr> <tr> <td>(2) 事象収束に重要な機器・操作関連 1) 「原子炉圧力異常低」非常用炉心冷却設備作動 i) 設定点</td><td>11.39MPa[gage]</td><td>設計値 (作動限界値)</td></tr> <tr> <td>ii) 応答時間</td><td>2.0 秒</td><td>最大値 (設計要求値)</td></tr> <tr> <td>iii) 給水開始</td><td>非常用炉心冷却設備作動限界値到達の 25 秒後(自動起動)</td><td>最大値 (設計要求値)</td></tr> <tr> <td>iv) 基数</td><td>高圧注入ポンプ 2 台</td><td>設計値</td></tr> <tr> <td>v) 容量</td><td>最大注入特性 (第 2 図参照)</td><td>最大値 (設計値に余裕を考慮した値)</td></tr> <tr> <td>vi) 停止条件</td><td>- サブクール度 40°C 以上 - 加圧器水位 50% 以上で定義又は上昇中 - 1 次冷却材圧力 (広域) が安定又は上昇、かつ蓄圧タンク不動作又は隔離中 - 蒸気発生器水位下端以上又は SG ～電動補助給水ポンプ 1 台の設計流量以上で注水中</td><td>運転員等操作条件</td></tr> <tr> <td>② 辅助給水ポンプ i) 給水開始 (起動遅れ時間)</td><td>非常用炉心冷却設備作動限界値到達の 60 秒後(自動起動)</td><td>最大値 (設計要求値)</td></tr> <tr> <td>ii) 蒸気発生器水位の維持 狭域水位内</td><td>運転員等操作条件</td><td></td></tr> <tr> <td>iii) 個数 電動 2 台 + タービン動 1 台</td><td>設計値</td><td></td></tr> <tr> <td>iv) 容量 150m³/h (蒸気発生器 3 基合計)</td><td>最小値 (設計値に余裕を考慮した値)</td><td></td></tr> </tbody> </table>	名 称	数 値	解釈上の取り扱い	(1) 原子炉保護設備 1) 「原子炉圧力低」 原子炉トリップ i) 設定点	12.73MPa[gage]	設計値 (トリップ限界値)	ii) 応答時間	2 秒後に制御棒落下開始	最大値 (設計要求値)	(2) 事象収束に重要な機器・操作関連 1) 「原子炉圧力異常低」非常用炉心冷却設備作動 i) 設定点	11.39MPa[gage]	設計値 (作動限界値)	ii) 応答時間	2.0 秒	最大値 (設計要求値)	iii) 給水開始	非常用炉心冷却設備作動限界値到達の 25 秒後(自動起動)	最大値 (設計要求値)	iv) 基数	高圧注入ポンプ 2 台	設計値	v) 容量	最大注入特性 (第 2 図参照)	最大値 (設計値に余裕を考慮した値)	vi) 停止条件	- サブクール度 40°C 以上 - 加圧器水位 50% 以上で定義又は上昇中 - 1 次冷却材圧力 (広域) が安定又は上昇、かつ蓄圧タンク不動作又は隔離中 - 蒸気発生器水位下端以上又は SG ～電動補助給水ポンプ 1 台の設計流量以上で注水中	運転員等操作条件	② 辅助給水ポンプ i) 給水開始 (起動遅れ時間)	非常用炉心冷却設備作動限界値到達の 60 秒後(自動起動)	最大値 (設計要求値)	ii) 蒸気発生器水位の維持 狭域水位内	運転員等操作条件		iii) 個数 電動 2 台 + タービン動 1 台	設計値		iv) 容量 150m³/h (蒸気発生器 3 基合計)	最小値 (設計値に余裕を考慮した値)		
名 称	数 値	解釈上の取り扱い																																																																																	
(1) 原子炉保護設備 1) 「原子炉圧力低」 原子炉トリップ i) 設定点	12.73MPa[gage]	設計値 (トリップ限界値)																																																																																	
ii) 応答時間	2 秒後に制御棒落下開始	最大値 (設計要求値)																																																																																	
(2) 事象収束に重要な機器・操作関連 1) 「原子炉圧力低」 非常用炉心冷却設備作動 i) 設定点	12.04MPa[gage]	設計値 (作動限界値)																																																																																	
ii) 応答時間	2.0 秒	最大値 (設計要求値)																																																																																	
iii) 給水開始	非常用炉心冷却設備作動限界値到達の 27 秒後(自動起動)	最大値 (設計要求値)																																																																																	
iv) 基数	高圧注入ポンプ 2 台	設計値																																																																																	
v) 容量	最大注入特性 (第 2 図参照)	最大値 (設計値に余裕を考慮した値)																																																																																	
vi) 停止条件	- サブクール度 40°C 以上 - 加圧器水位 50% 以上 - 1 次冷却材圧力 (広域) が安定又は上昇、かつ蓄圧タンク不動作又は隔離中 - 蒸気発生器水位下端以上又は蒸気発生器～電動補助給水ポンプ 1 台の設計流量以上で注水中	運転員等操作条件																																																																																	
② 辅助給水ポンプ i) 給水開始 (起動遅れ時間)	非常用炉心冷却設備作動限界値到達の 60 秒後(自動起動)	最大値 (設計要求値)																																																																																	
名 称	数 値	解釈上の取り扱い																																																																																	
ii) 蒸気発生器水位維持 狭域水位内	運転員等操作条件																																																																																		
iii) 個数 電動 2 台 + タービン動 1 台	設計値																																																																																		
iv) 容量 約 370m³/h (蒸気発生器 4 基合計)	最小値 (設計値に余裕を考慮した値)																																																																																		
名 称	数 値	解釈上の取り扱い																																																																																	
(1) 原子炉保護設備 1) 「原子炉圧力低」 原子炉トリップ i) 設定点	12.73MPa[gage]	設計値 (トリップ限界値)																																																																																	
ii) 応答時間	2 秒後に制御棒落下開始	最大値 (設計要求値)																																																																																	
(2) 事象収束に重要な機器・操作関連 1) 「原子炉圧力異常低」非常用炉心冷却設備作動 i) 設定点	11.39MPa[gage]	設計値 (作動限界値)																																																																																	
ii) 応答時間	2.0 秒	最大値 (設計要求値)																																																																																	
iii) 給水開始	非常用炉心冷却設備作動限界値到達の 25 秒後(自動起動)	最大値 (設計要求値)																																																																																	
iv) 基数	高圧注入ポンプ 2 台	設計値																																																																																	
v) 容量	最大注入特性 (第 2 図参照)	最大値 (設計値に余裕を考慮した値)																																																																																	
vi) 停止条件	- サブクール度 40°C 以上 - 加圧器水位 50% 以上で定義又は上昇中 - 1 次冷却材圧力 (広域) が安定又は上昇、かつ蓄圧タンク不動作又は隔離中 - 蒸気発生器水位下端以上又は SG ～電動補助給水ポンプ 1 台の設計流量以上で注水中	運転員等操作条件																																																																																	
② 辅助給水ポンプ i) 給水開始 (起動遅れ時間)	非常用炉心冷却設備作動限界値到達の 60 秒後(自動起動)	最大値 (設計要求値)																																																																																	
ii) 蒸気発生器水位の維持 狭域水位内	運転員等操作条件																																																																																		
iii) 個数 電動 2 台 + タービン動 1 台	設計値																																																																																		
iv) 容量 150m³/h (蒸気発生器 3 基合計)	最小値 (設計値に余裕を考慮した値)																																																																																		

泊発電所 3号炉 有効性評価 比較表

7.1.8 格納容器バイパス (添付資料 7.1.8.3 重大事故等対策の有効性評価に使用する個別解析条件 (格納容器バイパス))

赤字 : 設備、運用又は体制の相違 (設計方針の相違)
青字 : 記載箇所又は記載内容の相違 (記載方針の相違)
緑字 : 記載表現、設備名称の相違 (実質的な相違なし)

大飯発電所3／4号炉			泊発電所 3号炉			相違理由
名 称	数 値	解析上の取り扱い	名 称	数 値	解析上の取り扱い	
ii 蒸気発生器水位維持	狭域水位内	運転員等操作条件	3) 蓄圧タンク			
iii 個数	電動 2台+ターピン動 1台	設計値	i 出口弁閉止	非常用炉心冷却設備停止条件の成立 又は1次冷却材圧力 0.6MPa[gage]到達	運転員等操作条件	
iv 容量	約 370m ³ /h (蒸気発生器 4基合計)	最小値 (設計値に余裕を考慮した値)	ii 基数	4基 (1ループ当たり 1基)	設計値	
3) 蓄圧タンク			iii 保持圧力	4.04MPa[gage]	最低保持圧力	
i 出口弁閉止	1次冷却材圧力 0.6MPa[gage]到達	運転員等操作条件	iv 保有水量	26.9m ³ (1基当たり)	最低保有水量	
ii 基数	4基 (1ループ当たり 1基)	設計値	4) 充てんポンプ			
iii 保持圧力	4.04MPa[gage]	最低保持圧力	i 注入開始	非常用炉心冷却設備停止条件成立後	運転員等操作余裕の考え方	
iv 保有水量	26.9m ³ (1基当たり)	最低保有水量	ii 個数	2台	設計値 (全3台中 1台は待機)	
4) 充てんポンプ			iii 容量	58 m ³ /h	設計値	
i 注入開始	非常用炉心冷却設備停止条件成立後	運転員等操作余裕の考え方	4) 充てんポンプ			
ii 個数	2台	設計値 (全3台中 1台は待機)	i 注入開始	非常用炉心冷却設備停止条件成立後	運転員等操作余裕の考え方	
iii 容量	58 m ³ /h	設計値	ii 個数	2台	設計値 (全3台中 1台は待機)	
5) 主蒸気逃がし弁			iii 容量	160 m ³ /h 以下で、加圧器水位を維持するように調整	運転員等操作条件	
i 2次系強制冷却開始	SI信号発信後 25分	運転員等操作余裕の考え方	4) 加圧器逃がし弁			
ii 個数	4個 (1ループ当たり 1個)	設計値	i 2次系強制冷却開始	SI信号発信後 25分	運転員等操作余裕の考え方	
iii 容量	定格主蒸気流量の 10% (1個当たり)	設計値	ii 個数	3個 (1ループ当たり 1個)	設計値	
6) 加圧器逃がし弁			iii 容量	定格主蒸気流量の 10% (1個当たり)	設計値	
i 開閉操作開始	(1) 非常用炉心冷却設備停止条件成立 サブクール度 60°C以上で開操作 サブクール度 40°C以下又は加圧器水位 50%以上で閉操作	運転員等操作条件	6) 加圧器逃がし弁			
ii 個数	1個	運転員等操作条件	i 開閉操作開始	(1) 非常用炉心冷却設備停止条件成立前 サブクール度 60°C以上で開操作 サブクール度 40°C以下又は加圧器水位 50%以上で閉操作	運転員等操作条件	
iii 容量	95t/h (1個当たり)	設計値	ii 個数	1個	運転員等操作条件	
7) 余熱除去系			iii 容量	95t/h (1個当たり)	設計値	
i 冷却開始	余熱除去系接続条件 1次冷却材温度が 177°C以下 1次冷却材圧力が 2.7MPa[gage]以下		7) 余熱除去系			
ii 個数	1台		i 給水開始	余熱除去系接続条件 1次冷却材温度が 177°C未満 1次冷却材圧力が 2.7MPa[gage] 以下	運転員等操作条件	
			ii 個数	1台	使用可能台数	

泊発電所3号炉 有効性評価 比較表

7.1.8 格納容器バイパス (添付資料 7.1.8.3 重大事故等対策の有効性評価に使用する個別解析条件 (格納容器バイパス))

赤字 : 設備、運用又は体制の相違（設計方針の相違）
 青字 : 記載箇所又は記載内容の相違（記載方針の相違）
 緑字 : 記載表現、設備名称の相違（実質的な相違なし）

大飯発電所3／4号炉			泊発電所3号炉	相違理由
名 称	数 値	解析上の取り扱い		
ii 個数	(2) 非常用炉心冷却設備停止条件成立後の漏えい量抑制 サブクール度20°C以上で開操作 サブクール度10°C以下で閉操作			
iii 容量	1個	運転員等操作条件		
	95t/h (1個当たり)	設計値		
7) 余熱除去系	余熱除去系接続条件			
i 冷却開始	1次冷却材温度が 177°C以下 1次冷却材圧力が 2.7MPa[gage]以下			
ii 個数	1台			
8) 原子炉格納容器外の余熱除去 冷却器出口逃がし弁	i 吹き止まり圧力 約 □ MPa[gage]	設計値		
9) 原子炉格納容器内の余熱除去 ポンプ入口逃がし弁	i 吹き止まり圧力 約 □ MPa[gage]	設計値		
(3) 事故条件				
1) 破断箇所 (漏えい個所)	破断口径 (等価直径) 約2.5cm (約1インチ)	設計値		
i 原子炉格納容器外の 余熱除去冷却器出口 逃がし弁				
ii 原子炉格納容器内の 余熱除去ポンプ入口 逃がし弁	約10cm (約4インチ)	設計値		
iii 余熱除去系機器等	約2.8cm(1.12インチ相当)	評価値に対して余裕を考慮した値		
			(左記については前ページで比較済み)	
名 称	数 値	解析上の取り扱い		
8) 原子炉格納容器外の余熱除去 冷却器出口逃がし弁	i 吹き止まり圧力 □ MPa[gage]	設計値		
9) 原子炉格納容器内の余熱除去 ポンプ入口逃がし弁	i 吹き止まり圧力 □ MPa[gage]	設計値		
(3) 事故条件				
1) 破断箇所 (漏えい個所)	破断口径 (等価直径) i 原子炉格納容器内の余熱除去ポンプ入口逃がし弁 約7.6cm (3インチ)	設計値		
ii 原子炉格納容器外の余熱除去冷却器出口逃がし弁 約2.5cm (1インチ)	設計値			
iii 余熱除去系機器等 約2.9cm (1.15インチ)	評価値に対して余裕を考慮した値			

枠囲みの範囲は機密に係る事項のため、公開することはできません。

□枠囲みの内容は機密情報に属しますので公開できません。

泊発電所 3号炉 有効性評価 比較表

7.1.8 格納容器バイパス (添付資料 7.1.8.3 重大事故等対策の有効性評価に使用する個別解析条件 (格納容器バイパス))

赤字 : 設備、運用又は体制の相違 (設計方針の相違)
青字 : 記載箇所又は記載内容の相違 (記載方針の相違)
緑字 : 記載表現、設備名称の相違 (実質的な相違なし)

大飯発電所 3 / 4 号炉			泊発電所 3号炉			相違理由																																																																																																									
第2表 システム熱水力解析用データ (格納容器バイパス (蒸気発生器伝熱管破損))			第2表 システム熱水力解析用データ (格納容器バイパス (蒸気発生器伝熱管破損時に破損側蒸気発生器の隔離に失敗する事故))																																																																																																												
<table border="1" style="width: 100%; border-collapse: collapse;"> <thead> <tr> <th>名 称</th><th>数 値</th><th>解析上の取り扱い</th></tr> </thead> <tbody> <tr> <td>(1) 原子炉保護設備</td><td></td><td></td></tr> <tr> <td> 1) 「過大温度ΔT高」</td><td></td><td></td></tr> <tr> <td> 原子炉トリップ</td><td></td><td></td></tr> <tr> <td> i 設定点</td><td>1次冷却材平均温度等の閾値 (第1図参照)</td><td>設計値 (トリップ限界値)</td></tr> <tr> <td> ii 応答時間</td><td>6秒後に制御棒落下開始</td><td>最大値 (設計要求値)</td></tr> <tr> <td> 2) 「原子炉圧力低」</td><td></td><td></td></tr> <tr> <td> 原子炉トリップ</td><td></td><td></td></tr> <tr> <td> i 設定点</td><td>12.73MPa[gage]</td><td>設計値 (トリップ限界値)</td></tr> <tr> <td> ii 応答時間</td><td>2秒後に制御棒落下開始</td><td>最大値 (設計要求値)</td></tr> <tr> <td>(2) 事象収束に重要な機器・操作閾値</td><td></td><td></td></tr> <tr> <td> 1) 「原子炉圧力低」非常用炉心冷却設備作動</td><td></td><td></td></tr> <tr> <td> i 設定点</td><td>12.04MPa[gage]</td><td>設計値 (作動限界値)</td></tr> <tr> <td> ii 応答時間</td><td>2.0秒</td><td>最大値 (設計要求値)</td></tr> <tr> <td> iii 給水開始</td><td>非常用炉心冷却設備作動限界値到達の27秒後(自動起動)</td><td>最大値 (設計要求値)</td></tr> <tr> <td> iv 基数</td><td>高圧注入ポンプ 2台</td><td>設計値</td></tr> <tr> <td> v 容量</td><td>最大注入特性 (第2図参照)</td><td>最大値 (設計値に余裕を考慮した値)</td></tr> </tbody> </table>			名 称	数 値	解析上の取り扱い	(1) 原子炉保護設備			1) 「過大温度ΔT高」			原子炉トリップ			i 設定点	1次冷却材平均温度等の閾値 (第1図参照)	設計値 (トリップ限界値)	ii 応答時間	6秒後に制御棒落下開始	最大値 (設計要求値)	2) 「原子炉圧力低」			原子炉トリップ			i 設定点	12.73MPa[gage]	設計値 (トリップ限界値)	ii 応答時間	2秒後に制御棒落下開始	最大値 (設計要求値)	(2) 事象収束に重要な機器・操作閾値			1) 「原子炉圧力低」非常用炉心冷却設備作動			i 設定点	12.04MPa[gage]	設計値 (作動限界値)	ii 応答時間	2.0秒	最大値 (設計要求値)	iii 給水開始	非常用炉心冷却設備作動限界値到達の27秒後(自動起動)	最大値 (設計要求値)	iv 基数	高圧注入ポンプ 2台	設計値	v 容量	最大注入特性 (第2図参照)	最大値 (設計値に余裕を考慮した値)	<table border="1" style="width: 100%; border-collapse: collapse;"> <thead> <tr> <th>名 称</th><th>数 値</th><th>解析上の取り扱い</th></tr> </thead> <tbody> <tr> <td>(1) 原子炉保護設備</td><td></td><td></td></tr> <tr> <td> 1) 「過大温度ΔT高」</td><td></td><td></td></tr> <tr> <td> 原子炉トリップ</td><td></td><td></td></tr> <tr> <td> i 設定点</td><td>1次冷却材平均温度等の閾値 (第1図参照)</td><td>設計値 (トリップ限界値)</td></tr> <tr> <td> ii 応答時間</td><td>6秒後に制御棒落下開始</td><td>最大値 (設計要求値)</td></tr> <tr> <td> 2) 「原子炉圧力低」</td><td></td><td></td></tr> <tr> <td> 原子炉トリップ</td><td></td><td></td></tr> <tr> <td> i 設定点</td><td>12.73MPa[gage]</td><td>設計値 (トリップ限界値)</td></tr> <tr> <td> ii 応答時間</td><td>2秒後に制御棒落下開始</td><td>最大値 (設計要求値)</td></tr> <tr> <td>(2) 事象収束に重要な機器・操作閾値</td><td></td><td></td></tr> <tr> <td> 1) 「原子炉圧力低と加圧器水位低い一致」非常用炉心冷却設備作動</td><td></td><td></td></tr> <tr> <td> i 設定点</td><td>12.04MPa[gage] (工力) 水位検出器下端水位 (水位)</td><td>設計値 (作動限界値)</td></tr> <tr> <td> ii 応答時間</td><td>2.0秒</td><td>最大値 (設計要求値)</td></tr> <tr> <td> iii 給水開始</td><td>非常用炉心冷却設備作動限界値到達の25秒後(自動起動)</td><td>最大値 (設計要求値)</td></tr> <tr> <td> iv 基数</td><td>高圧注入ポンプ 2台</td><td>設計値</td></tr> <tr> <td> v 容量</td><td>最大注入特性 (第2図参照)</td><td>最大値 (設計値に余裕を考慮した値)</td></tr> <tr> <td> vi 停止条件</td><td>- サブクール度 40°C以上 - 加圧器水位 50%以上 - 1次冷却材圧力 (広域) が安定又は上昇、かつ蓄圧タンク不動作又は隔離中 - 健全側蒸気発生器狭窄水位下端以上又は健全側蒸気発生器へ電動補助給水ポンプ 1台の設計流量以上で注水中</td><td>運転員等操作条件</td></tr> </tbody> </table>			名 称	数 値	解析上の取り扱い	(1) 原子炉保護設備			1) 「過大温度ΔT高」			原子炉トリップ			i 設定点	1次冷却材平均温度等の閾値 (第1図参照)	設計値 (トリップ限界値)	ii 応答時間	6秒後に制御棒落下開始	最大値 (設計要求値)	2) 「原子炉圧力低」			原子炉トリップ			i 設定点	12.73MPa[gage]	設計値 (トリップ限界値)	ii 応答時間	2秒後に制御棒落下開始	最大値 (設計要求値)	(2) 事象収束に重要な機器・操作閾値			1) 「原子炉圧力低と加圧器水位低い一致」非常用炉心冷却設備作動			i 設定点	12.04MPa[gage] (工力) 水位検出器下端水位 (水位)	設計値 (作動限界値)	ii 応答時間	2.0秒	最大値 (設計要求値)	iii 給水開始	非常用炉心冷却設備作動限界値到達の25秒後(自動起動)	最大値 (設計要求値)	iv 基数	高圧注入ポンプ 2台	設計値	v 容量	最大注入特性 (第2図参照)	最大値 (設計値に余裕を考慮した値)	vi 停止条件	- サブクール度 40°C以上 - 加圧器水位 50%以上 - 1次冷却材圧力 (広域) が安定又は上昇、かつ蓄圧タンク不動作又は隔離中 - 健全側蒸気発生器狭窄水位下端以上又は健全側蒸気発生器へ電動補助給水ポンプ 1台の設計流量以上で注水中	運転員等操作条件	
名 称	数 値	解析上の取り扱い																																																																																																													
(1) 原子炉保護設備																																																																																																															
1) 「過大温度ΔT高」																																																																																																															
原子炉トリップ																																																																																																															
i 設定点	1次冷却材平均温度等の閾値 (第1図参照)	設計値 (トリップ限界値)																																																																																																													
ii 応答時間	6秒後に制御棒落下開始	最大値 (設計要求値)																																																																																																													
2) 「原子炉圧力低」																																																																																																															
原子炉トリップ																																																																																																															
i 設定点	12.73MPa[gage]	設計値 (トリップ限界値)																																																																																																													
ii 応答時間	2秒後に制御棒落下開始	最大値 (設計要求値)																																																																																																													
(2) 事象収束に重要な機器・操作閾値																																																																																																															
1) 「原子炉圧力低」非常用炉心冷却設備作動																																																																																																															
i 設定点	12.04MPa[gage]	設計値 (作動限界値)																																																																																																													
ii 応答時間	2.0秒	最大値 (設計要求値)																																																																																																													
iii 給水開始	非常用炉心冷却設備作動限界値到達の27秒後(自動起動)	最大値 (設計要求値)																																																																																																													
iv 基数	高圧注入ポンプ 2台	設計値																																																																																																													
v 容量	最大注入特性 (第2図参照)	最大値 (設計値に余裕を考慮した値)																																																																																																													
名 称	数 値	解析上の取り扱い																																																																																																													
(1) 原子炉保護設備																																																																																																															
1) 「過大温度ΔT高」																																																																																																															
原子炉トリップ																																																																																																															
i 設定点	1次冷却材平均温度等の閾値 (第1図参照)	設計値 (トリップ限界値)																																																																																																													
ii 応答時間	6秒後に制御棒落下開始	最大値 (設計要求値)																																																																																																													
2) 「原子炉圧力低」																																																																																																															
原子炉トリップ																																																																																																															
i 設定点	12.73MPa[gage]	設計値 (トリップ限界値)																																																																																																													
ii 応答時間	2秒後に制御棒落下開始	最大値 (設計要求値)																																																																																																													
(2) 事象収束に重要な機器・操作閾値																																																																																																															
1) 「原子炉圧力低と加圧器水位低い一致」非常用炉心冷却設備作動																																																																																																															
i 設定点	12.04MPa[gage] (工力) 水位検出器下端水位 (水位)	設計値 (作動限界値)																																																																																																													
ii 応答時間	2.0秒	最大値 (設計要求値)																																																																																																													
iii 給水開始	非常用炉心冷却設備作動限界値到達の25秒後(自動起動)	最大値 (設計要求値)																																																																																																													
iv 基数	高圧注入ポンプ 2台	設計値																																																																																																													
v 容量	最大注入特性 (第2図参照)	最大値 (設計値に余裕を考慮した値)																																																																																																													
vi 停止条件	- サブクール度 40°C以上 - 加圧器水位 50%以上 - 1次冷却材圧力 (広域) が安定又は上昇、かつ蓄圧タンク不動作又は隔離中 - 健全側蒸気発生器狭窄水位下端以上又は健全側蒸気発生器へ電動補助給水ポンプ 1台の設計流量以上で注水中	運転員等操作条件																																																																																																													

泊発電所 3号炉 有効性評価 比較表

7.1.8 格納容器バイパス (添付資料 7.1.8.3 重大事故等対策の有効性評価に使用する個別解析条件 (格納容器バイパス))

赤字 : 設備、運用又は体制の相違 (設計方針の相違)
青字 : 記載箇所又は記載内容の相違 (記載方針の相違)
緑字 : 記載表現、設備名称の相違 (実質的な相違なし)

大飯発電所 3 / 4号炉			泊発電所 3号炉			相違理由
名 称	数 値	解析上の取り扱い	名 称	数 値	解析上の取り扱い	
vi) 停止条件	- サブクール度 40°C以上 - 加圧器水位 50%以上 - 1次冷却圧力 (底減) が設定又は上昇、かつ 蓄圧タンク不動作又は 開閉中 - 電気制御蒸気発生器供給 水位下限以上又は健全 制御装置発電機～電動油 駆動ポンプ 1台の設 計流量以上で注水中	運転員等操作条件			(左記については前ページで比較済み)	
vi) 停止条件			2)補助給水ポンプ			
i) 注水開始	非常用炉心冷却設備作動限 界值超過の 60 秒後(自動起 動)	最大値 (設計要求値)	i) 給水開始	非常用炉心冷却設備作動限界値到達 (起動遅れ時間) の 60 秒後(自動起動)	最大値 (設計要求値)	
ii) 蒸気発生器水位の維 持	実現水位内	運転員等操作条件	ii) 蒸気発生器水位の維持	実現水位内	運転員等操作条件	
iii) 個数	電動 2 台 + タービン動 1 台	設計値	iii) 個数	電動 2 台 + タービン動 1 台	設計値	
iv) 容量	約 370m³/h (蒸気発生器 4 基合計) (破損蒸気発生器隔離前)	最小値 (設計値に余裕を考慮した値)	iv) 容量	150m³/h (蒸気発生器 3 基合計) (破損蒸気発生器隔離前)	最小値 (設計値に余裕を考慮した値)	
v) 破損蒸気発生器隔離操作			3)破損蒸気発生器隔離操作			
i) 隔離操作開始	原子炉トリップ後 10 分で 開始し、約 2 分で完了	運転員等操作余裕の考え方	i) 隔離操作開始	原子炉トリップ後 10 分で開始し、約 2 分で完了	運転員等操作余裕の考え方	
ii) 隔離操作対象	(1) 破損蒸気発生器への補 助給水停止 (2) 破損蒸気発生器につな がるタービン動補助給 水ポンプ駆動蒸気元 素止 (3) 破損蒸気発生器につな がる主蒸気隔離弁閉止	運転員等操作条件	ii) 隔離操作対象	(1) 破損蒸気発生器への補 助給水停止 (2) 破損蒸気発生器につながるター ビン動補助給水ポンプ駆動蒸気 元弁閉止 (3) 破損蒸気発生器につながる主蒸 気隔離弁閉止	運転員等操作条件	
vi) 充てんポンプ			4)充てんポンプ			
i) 注入開始	非常用炉心冷却設備 停止条件成立後 2 分	運転員等操作余裕の考え方	i) 注入開始	非常用炉心冷却設備停止条件成立後 2 分	運転員等操作余裕の考え方	
ii) 個数	2 台	設計値	ii) 個数	2 台	設計値	
iii) 容量	160 m³/h 以下で、加圧器水位 を維持するように調整 計測範囲内	運転員等操作条件	iii) 容量	160 m³/h 以下で、加圧器水位を維持 するように調整	最大値 (設計値に余裕を考慮した値)	
iv) 加圧器水位の維持	計測範囲内		iv) 加圧器水位の維持	計測範囲内	運転員等操作条件	
v) 主蒸気逃がし弁			v) 主蒸気逃がし弁			
i) 2 次系強制冷却開始	破損蒸気発生器 隔離操作完了後 1 分	運転員等操作余裕の考え方	i) 2 次系強制冷却開始	破損蒸気発生器隔離操作完了後 1 分	運転員等操作余裕の考え方	
ii) 個数	3 個 (健全側 1 ループ当た り 1 個)	運転員等操作条件	ii) 個数	2 個 (健全側 1 ループ当たり 1 個)	運転員等操作条件	
iii) 容量	定格ループ流量の 10% / 個 (定格運転時)	設計値	iii) 容量	定格主蒸気流量の 10% (1 個当たり) (定格運転時)	設計値	
vi) 加圧器逃がし弁			vi) 加圧器逃がし弁			
i) 開閉操作開始	(1) 非常用炉心冷却設備停 止条件成立前 サブクール度 60°C以上 で開操作 サブクール度 40°C以下 又は加圧器水位 50%以 上で開操作 (2) 非常用炉心冷却設備停 止条件成立後の漏えい 量抑制 サブクール度 20°C以上 で開操作 サブクール度 10°C以下 で開操作	運転員等操作条件	i) 開閉操作開始	(1) 非常用炉心冷却設備停止条件成 立前 サブクール度 60°C以上で開操作 サブクール度 40°C以下又は加圧 器水位 50%以上で開操作 (2) 非常用炉心冷却設備停止条件成 立後の漏えい量抑制 サブクール度 20°C以上で開操作 サブクール度 10°C以下で開操作	運転員等操作条件	

泊発電所3号炉 有効性評価 比較表

7.1.8 格納容器バイパス (添付資料 7.1.8.3 重大事故等対策の有効性評価に使用する個別解析条件 (格納容器バイパス))

赤字：設備、運用又は体制の相違（設計方針の相違）
 青字：記載箇所又は記載内容の相違（記載方針の相違）
 緑字：記載表現、設備名称の相違（実質的な相違なし）

大飯発電所3／4号炉			泊発電所3号炉			相違理由
名 称	数 値	解析上の取り扱い	名 称	数 値	解析上の取り扱い	
ii) 容量	68m ³ /h 以下で、加圧器水位を維持するように調整	設計値				
iv) 加圧器水位の維持	計測範囲内	運転員等操作条件				
5) 主蒸気逃がし弁						
i) 2次系強制冷却開始	破損側蒸気発生器 隔壁操作完了後1分	運転員等操作余裕の考え方				
ii) 個数	3個（健全側1ループ当たり1個）	運転員等操作条件				
iii) 容量	定格ループ流量の10%/個 (定格運転時)	設計値				
6) 加圧器逃がし弁						
i) 開閉操作開始	(1) 非常用炉心冷却設備停止条件成立前 サブクール度60°C以上で開操作 サブクール度40°C以下又は加圧器水位50%以上で閉操作 (2) 非常用炉心冷却設備停止条件成立後の漏えい量抑制 サブクール度20°C以上で開操作 サブクール度10°C以下で閉操作	運転員等操作条件				
ii) 個数	1個	運転員等操作条件				
iii) 容量	95t/h (1個当たり)	設計値				
7) 余熱除去系						
i) 冷却開始	余熱除去系接続条件 1次冷却材温度が177°C以下 1次冷却材圧力が2.7MPa[gage]以下	運転員等操作条件				
ii) 個数	2台	設計値				
iii) 容量	約681 m ³ /h (1基当たり) 以下で低温停止状態に向けて冷却するように調整	設計値				
名 称	数 値	解析上の取り扱い	名 称	数 値	解析上の取り扱い	
(3) 事故条件						
1) 蒸気発生器伝熱管破損	蒸気発生器の伝熱管1本の両端破断	事故想定	ii) 個数	1個	運転員等操作条件	
2) 破損側蒸気発生器の隔壁失敗	主蒸気安全弁1個の開閉着	事故想定	iii) 容量	95t/h (1個当たり)	設計値	
(3) 事故条件			7) 余熱除去系			
1) 蒸気発生器伝熱管破損	蒸気発生器の伝熱管1本の両端破断	事故想定	i) 冷却開始	余熱除去系接続条件 1次冷却材温度が177°C未満 1次冷却材圧力が2.7MPa[gage]以下	運転員等操作条件	
2) 破損側蒸気発生器の隔壁失敗	主蒸気安全弁1個の開閉着	事故想定	ii) 個数	2台	設計値	
(3) 事故条件			iii) 容量	681 m ³ /h (1基当たり) 以下で低温停止状態に向けて冷却するように調整	設計値	
1) 蒸気発生器伝熱管破損	蒸気発生器の伝熱管1本の両端破断	事故想定				
2) 破損側蒸気発生器の隔壁失敗	主蒸気安全弁1個の開閉着	事故想定				

泊発電所 3号炉 有効性評価 比較表

7.1.8 格納容器バイパス (添付資料 7.1.8.3 重大事故等対策の有効性評価に使用する個別解析条件 (格納容器バイパス))

赤字 : 設備、運用又は体制の相違 (設計方針の相違)
青字 : 記載箇所又は記載内容の相違 (記載方針の相違)
緑字 : 記載表現、設備名称の相違 (実質的な相違なし)

大飯発電所 3 / 4号炉	泊発電所 3号炉	相違理由
<p>第1図 湧大温度 ΔT 高及び過大出力 ΔT 高による保護限界図 (代表例)</p>	<p>第1図 湧大温度 ΔT 高及び過大出力 ΔT 高による保護限界図 (代表例)</p>	
<p>第2図 高圧注入ポンプの最大注入流量 (2台運転時)</p> <p>枠囲みの範囲は機密に係る事項のため、公開することはできません。</p>	<p>第3図 高圧注入ポンプの最大注入流量 (2台運転時)</p> <p>枠囲みの内容は機密情報に属しますので公開できません。</p>	

泊発電所 3号炉 有効性評価 比較表

7.1.8 格納容器バイパス (添付資料 7.1.8.4 インターフェイスシステム LOCA 発生時の余熱除去系統の破断箇所及び破断面積について)

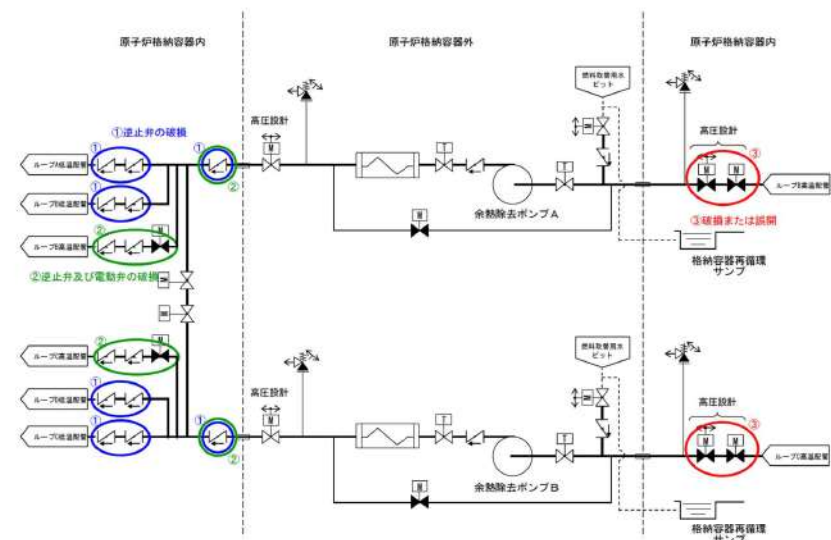
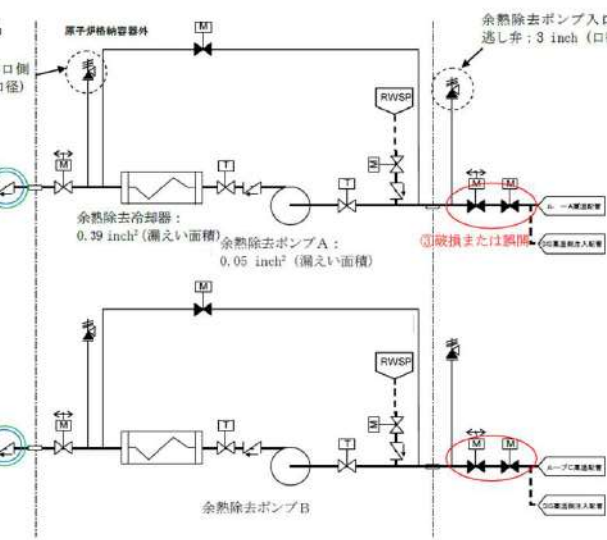
赤字 : 設備、運用又は体制の相違 (設計方針の相違)
青字 : 記載箇所又は記載内容の相違 (記載方針の相違)
緑字 : 記載表現、設備名称の相違 (実質的な相違なし)

大飯発電所 3 / 4号炉	泊発電所 3号炉	相違理由
<p>添付資料 2.8.4</p> <p>インターフェイスシステム LOCA 発生時の余熱除去系統の破断箇所及び破断面積について</p> <p>1. 事象発生を想定する系統と発生原因について 大飯 3 / 4号炉において、インターフェイスシステム LOCA (以下、「ISLOCA」という。) が想定される系統と発生原因について、以下のとおり検討を行った。</p> <p>1.1 事象発生を想定する系統の設定 大飯 3 / 4号炉の主要系統のうち、1次冷却系統と物理的に配管が接続された状態にある系統であつて、低圧設計であり、運転時の破損想定によって格納容器外への冷却材の漏えいを引き起こすものとしては、余熱除去系統（低圧注入系と一部兼用）及び化学体積制御系統がある。 このうち、化学体積制御系統については、通常運転状態においても使用されるものであり、格納容器内の抽出オリフィスによって減圧されていること、漏えいが生じた場合にも加圧器水位低下に伴う自動抽出隔離（直列3弁）がかかること、及び破損に伴い系統が機能喪失した場合にも非常用炉心冷却系による事象収束に期待できることから、炉心損傷に至ることはない。（図1参照） 一方、余熱除去系統については、1次冷却系統が低圧状態での使用を前提としており、後述のとおり、入口部にあっては、通常運転状態では閉止している電動隔離弁を直列に2台設置、出口部にあっては、逆止弁を直列に3台設置する等して信頼性を高めているものの、隔離弁等の誤開、故障等により、運転中に当該系統が高圧状態となって破損した場合には、当該系統が非常用炉心冷却系の一部を構成することもあり、早期の緩和手段を講じなければ、格納容器外への1次冷却材の流出が継続し、炉心損傷に至る可能性がある。（図2参照） 以上のことから、ISLOCA を想定する系統として余熱除去系統を選定した。</p> <p>図1 大飯 3 / 4号炉 化学体積制御系統概略図</p> <p>添付資料 2.8.4</p> <p>インターフェイスシステム LOCA 発生時の余熱除去系統の破断箇所及び破断面積について</p> <p>1. 事象発生を想定する系統と発生原因について 泊 3号炉において、インターフェイスシステム LOCA (以下、「ISLOCA」という。) が想定される系統と発生原因について、以下のとおり検討を行った。</p> <p>1.1 事象発生を想定する系統の設定 泊 3号炉の主要系統のうち、1次冷却系統と物理的に配管が接続された状態にある系統であつて、低圧設計であり、運転時の破損想定によって格納容器外への冷却材の漏えいを引き起こすものとしては、余熱除去系統（低圧注入系と一部兼用）及び化学体積制御系統がある。 このうち、化学体積制御系統については、通常運転状態においても使用されるものであり、原子炉格納容器内の抽出オリフィスによって減圧されていること、漏えいが生じた場合にも加圧器水位低下に伴う自動抽出隔離（直列3弁）がかかること、及び破損に伴い系統が機能喪失した場合にも非常用炉心冷却系による事象収束に期待できることから、炉心損傷に至ることはない。（図1参照） 一方、余熱除去系統については、1次冷却系統が低圧状態での使用を前提としており、後述のとおり、入口部にあっては、通常運転状態では閉止している電動隔離弁を直列に2台設置、出口部にあっては、逆止弁を直列に3台設置する等して信頼性を高めているものの、隔離弁等の誤開、故障等により、運転中に当該系統が高圧状態となって破損した場合には、当該系統が非常用炉心冷却系の一部を構成することもあり、早期の緩和手段を講じなければ、原子炉格納容器外への1次冷却材の流出が継続し、炉心損傷に至る可能性がある。（図2参照） 以上のことから、ISLOCA を想定する系統として余熱除去系統を選定した。</p> <p>※ 加圧器水位低信号により自動開</p> <p>図1 泊 3号炉 化学体積制御系統概略図</p>		

泊発電所 3号炉 有効性評価 比較表

7.1.8 格納容器バイパス (添付資料 7.1.8.4 インターフェイスシステム LOCA 発生時の余熱除去系統の破断箇所及び破断面積について)

赤字 : 設備、運用又は体制の相違（設計方針の相違）
青字 : 記載箇所又は記載内容の相違（記載方針の相違）
緑字 : 記載表現、設備名称の相違（実質的な相違なし）

大飯発電所3／4号炉	泊発電所3号炉	相違理由
<p>1.2 破断発生原因の想定について</p> <p>余熱除去系統における ISLOCA の発生原因としては、以下の①から③に示すとおりの 3 つの原因が考えられる。また、余熱除去系統の概略図を図 2 に示す。</p>  <p>図 2 大飯 3 / 4 号炉 余熱除去系統概略図</p> <p>① 低温側配管注入ライン上の逆止弁が直列 3 台とも破損する。 ② 高温側配管注入ラインの逆止弁が直列 3 台とも破損し、加えて余熱除去系高温側配管注入ライン弁も破損する。 ③ 余熱除去系入口第 1 隔離弁及び第 2 隔離弁の破損あるいは誤開が発生する。</p> <p>ケース①及び②の場合、余熱除去系出口弁は高圧設計であるとともに通常時開であり、事象発生時に 1 次系圧力の影響を受けないことから故障の可能性は低いと考えられる。したがって、中央制御室からの閉操作により事象は収束すると考えられる。</p> <p>ケース③の場合にも、余熱除去系入口弁の誤開であれば、直列に 2 台設置されている電動弁を中央制御室からの閉操作により隔離することが可能と考えられるが、本事象においては、余熱除去系入口弁が 2 台とも開状態となり、さらに中央制御室からの閉操作が不可能となった場合を想定する。</p> <p>ケース③の場合、設計仕様以上の高温・高圧の一次冷却材系統の水が余熱除去系統に流入し、機器が破損し漏えいが発生することが想定される。</p> <p>想定する漏えい箇所については、余熱除去ポンプ入口逃がし弁及び余熱除去冷却器出口逃がし弁の作動による流出並びに余熱除去系機器等の破損による漏えいを想定する。</p>	<p>1.2 破断発生原因の想定について</p> <p>余熱除去系統における ISLOCA の発生原因としては、以下の①から③に示すとおりの 3 つの原因が考えられる。また、余熱除去系統の概略図を図 2 に示す。</p>  <p>図 2 泊 3 号炉 余熱除去系統概略図</p> <p>ケース①：低温側配管注入ライン上の逆止弁が直列 3 台とも破損する。 ケース②：高温側配管注入ラインの逆止弁が直列 3 台とも破損し、加えて余熱除去系高温側配管注入ライン弁も破損する。 ケース③：余熱除去系入口第 1 隔離弁及び第 2 隔離弁の破損あるいは誤開が発生する。</p> <p>ケース①及び②の場合、余熱除去系出口弁は高圧設計であるとともに通常時開であり、事象発生時に 1 次冷却系の圧力の影響を受けないことから故障の可能性は低いと考えられる。したがって、中央制御室からの閉操作により事象は収束すると考えられる。</p> <p>ケース③の場合にも、余熱除去系入口隔離弁の誤開であれば、直列に 2 台設置されている電動弁を中央制御室からの閉操作により隔離することが可能と考えられるが、本事象においては、余熱除去系入口隔離弁が 2 台とも開状態となり、さらに中央制御室からの閉操作が不可能となった場合を想定する。</p> <p>ケース③の場合、設計仕様以上の高温・高圧の 1 次冷却系統の水が余熱除去系統に流入し、機器が破損し漏えいが発生することが想定される。</p> <p>想定する漏えい箇所については、余熱除去ポンプ入口逃がし弁及び余熱除去冷却器出口逃がし弁の作動による流出並びに余熱除去系機器等の破損による漏えいを想定する。</p>	

泊発電所 3号炉 有効性評価 比較表

7.1.8 格納容器バイパス (添付資料 7.1.8.4 インターフェイスシステム LOCA 発生時の余熱除去系統の破断箇所及び破断面積について)

赤字 : 設備、運用又は体制の相違 (設計方針の相違)
青字 : 記載箇所又は記載内容の相違 (記載方針の相違)
緑字 : 記載表現、設備名称の相違 (実質的な相違なし)

大飯発電所3／4号炉	泊発電所3号炉	相違理由
<p>本想定では、1次系圧力を余熱除去系統の逃がし弁作動圧力以下まで減圧して漏えいを抑制し、最終的には余熱除去ポンプ入口に設置されたツインパワー弁を閉止することで余熱除去系の隔離を行い、漏えいを停止させる。余熱除去系入口弁が2台とも開状態（ケース③）に想定される余熱除去系統の状態を図3に示す。</p> <p>図3 大飯3／4号炉 余熱除去系統概略図（ケース③）</p>	<p>【余熱除去系機器の漏えい想定】</p> <ul style="list-style-type: none"> ・余熱除去ポンプ：メカニカルシール部 ・余熱除去冷却器：ガスケット部 ・余熱除去系弁：グランド部 <p>本想定では、1次冷却系の圧力を余熱除去系統の逃がし弁作動圧力以下まで減圧して漏えいを抑制し、最終的には余熱除去ポンプ入口に設置されたツインパワー弁を現場で閉止することで余熱除去系の隔離を行う必要があるため、運転員の作業性の観点から最も厳しくなる想定である。ケース③における余熱除去系統の漏えい箇所の想定及び隔離後の漏えい箇所の想定についてそれぞれ図3、図4に示す。</p> <p>図3 泊3号炉 余熱除去系統概略図（ケース③における漏えい想定範囲）</p>	記載方針の相違

泊発電所 3号炉 有効性評価 比較表

7.1.8 格納容器バイパス (添付資料 7.1.8.4 インターフェイスシステム LOCA 発生時の余熱除去系統の破断箇所及び破断面積について)

赤字 : 設備、運用又は体制の相違 (設計方針の相違)
青字 : 記載箇所又は記載内容の相違 (記載方針の相違)
緑字 : 記載表現、設備名称の相違 (実質的な相違なし)

大飯発電所 3 / 4 号炉	泊発電所 3号炉	相違理由
<p>2. 実機における余熱除去系統の破断箇所及び破断面積の評価</p> <p>大飯 3 / 4 号炉において、ISLOCA 発生時に想定される余熱除去系統の破断箇所及び破断面積について、実機の系統構成及び各機器の特徴を踏まえて以下のとおり評価した。</p> <p>2.1 余熱除去系統の圧力挙動</p> <p>通常運転中、高温・高圧の 1 次冷却材系統と常温・低圧の余熱除去系統は、余熱除去系入口第一隔離弁及び第二隔離弁の 2 個の電動仕切弁で隔離されている。評価においては、事象終息の観点で最も厳しいと想定される 2 個の隔離弁の同時開事象を想定する。</p> <p>一般に、大きな圧力差のある系統間が隔離弁の誤開放等により突然連通した場合、低圧側の系統に大きな水撃力が発生することが知られている。特に、低圧側の系統に気相部が存在する場合、圧力波の共振が発生し、大きな水撃力が発生する場合があるが、余熱除去系統は満水状態で運転待機状態にあるため、その懸念はない。</p> <p>一方、満水状態であったとしても、隔離弁が急激な開動作（以下、「急開」という。）となる場合は大きな水撃力が発生するが、緩やかな開動作であれば管内で生じる水撃力も緩やかとなり、また、後述するとおり圧力波の共振による大きな水撃力も発生せず、圧力がバランスするまで低圧系統が加圧される。（参考資料 3.1.1 参照）</p> <p>2 個の余熱除去系統の入口隔離弁は、電動仕切弁であり、駆動機構にねじ構造やギアボックス等があるため、機械的要因では急開とはなり難い。また、両弁の電動での開弁速度は、第一弁が約 92 秒（全ストローク 262mm）、第二弁が約 40 秒（全ストローク 262mm）となっており、電気的要因では急開とならないことから、誤開を想定した場合、水撃事象が発生するような急開とならない。なお、2 個の隔離弁の動作信号回路は独立しており、電気的、機械的な共通要因で同時に開動作するおそれはない。</p> <p>文献^{*1}によると、配管端に設置された弁の急開、急閉（急激な閉動作）により管内で圧力波の共振が発生するのは、弁の開放時間もしくは閉鎖時間（T）が、圧力波が長さ（L）の管路内を往復するのに要する時間（μ）より短い場合であるとされている。</p> $\theta = \frac{T}{\mu} \leq 1$ $\mu = \frac{2L}{\alpha}$ <p>θ : 弁の時間定数 T : 弁の開放時間もしくは閉鎖時間 (s) μ : 管路内を圧力が往復する時間 (s) L : 配管長 (m) α : 圧力波の伝播速度 (m/s)</p>	<p>2. 実機における余熱除去系統の破断箇所及び破断面積の評価</p> <p>泊 3 号炉において、ISLOCA 発生時に想定される余熱除去系統の破断箇所及び破断面積について、実機の系統構成及び各機器の特徴を踏まえて以下のとおり評価した。</p> <p>2.1 余熱除去系統の圧力挙動</p> <p>通常運転中、高温・高圧の 1 次冷却系統と常温・低圧の余熱除去系統は、余熱除去系入口第 1 隔離弁及び第 2 隔離弁の 2 個の電動仕切弁で隔離されている。評価においては、事象終息の観点で最も厳しいと想定される 2 個の隔離弁の同時開事象を想定する。</p> <p>一般に、大きな圧力差のある系統間が隔離弁の誤開放等により突然連通した場合、低圧側の系統に大きな水撃力が発生することが知られている。特に、低圧側の系統に気相部が存在する場合、圧力波の共振が発生し、大きな水撃力が発生する場合があるが、余熱除去系統は満水状態で運転待機状態にあるため、その懸念はない。</p> <p>一方、満水状態であったとしても、隔離弁が急激な開動作（以下、「急開」という。）となる場合は大きな水撃力が発生するが、緩やかな開動作であれば管内で生じる水撃力も緩やかとなり、また、後述するとおり圧力波の共振による大きな水撃力も発生せず、圧力がバランスするまで低圧系統が加圧される。（参考資料－1 参照）</p> <p>2 個の余熱除去系統の入口隔離弁は、電動仕切弁であり、駆動機構にねじ構造やギアボックス等があるため、機械的要因では急開とはなり難い。また、両弁の電動での開弁速度は、第 1 弁が約 [] 秒（全ストローク [] mm）、第 2 弁が約 [] 秒（全ストローク [] mm）となっており、電気的要因では急開とならないことから、誤開を想定した場合、水撃事象が発生するような急開とならない。なお、2 個の隔離弁の動作信号回路は独立しており、電気的、機械的な共通要因で同時に開動作するおそれはない。</p> <p>[] 内の内容は機密情報に属しますので公開できません。</p> <p>文献^{*1}によると、配管端に設置された弁の急開、急閉（急激な閉動作）により管内で圧力波の共振が発生するのは、弁の開放時間もしくは閉鎖時間（T）が、圧力波が長さ（L）の管路内を往復するのに要する時間（μ）より短い場合であるとされている。</p> $\theta = \frac{T}{\mu} \leq 1$ $\mu = \frac{2L}{\alpha}$ <p>θ : 弁の時間定数 T : 弁の開放時間もしくは閉鎖時間 (s) μ : 管路内を圧力が往復する時間 (s) L : 配管長 (m) α : 圧力波の伝播速度 (m/s)</p>	

泊発電所 3号炉 有効性評価 比較表

7.1.8 格納容器バイパス (添付資料 7.1.8.4 インターフェイスシステム LOCA 発生時の余熱除去系統の破断箇所及び破断面積について)

赤字 : 設備、運用又は体制の相違 (設計方針の相違)
青字 : 記載箇所又は記載内容の相違 (記載方針の相違)
緑字 : 記載表現、設備名称の相違 (実質的な相違なし)

大飯発電所 3 / 4 号炉	泊発電所 3号炉	相違理由
<p>*1. 水撃作用と圧力脈動 [改訂版] 第2編「水撃作用」(勝利原子力中央研究所 元特任研究員 秋元徳三)</p> <p>ここで α は管路内の流体を伝わる圧力波の伝播速度であり、音速とみなすことができ、配管長 (L) を実機の余熱除去系統配管の配管長^{*2}を基に保守的に 200m^{*3}とし、水の音速 (α) を 1,500m/s^{*4} とすると、管路内を圧力波が往復する時間 (μ) は約 0.27 秒となる。即ち、弁開放時間 (T) を 0.1 秒とすると圧力波が共振することになり、一方、10 秒とすると圧力波の共振は生じないこととなる。</p> <p>*2. 余熱除去系統の入口側隔離弁から出口側逃がし弁までの間隔：約 118m</p> <p>*3. 配管長を実機より長く設定することは相対的に弁の開放時間を短く評価することになり、圧力波の共振の発生条件に対し保守的となる。</p> <p>*4. 「新編流体の力学 中山泰喜著」より水の音速は下式で示され、圧力 15MPa 一定条件では水の音速はおよそ 1,500m/s となる。</p> $\alpha = \sqrt{\frac{K}{\rho}}$ <p>K : 水の体積弾性係数 (MPa) ρ : 水の密度 (kg/m³)</p>	<p>*1. 水撃作用と圧力脈動 [改訂版] 第2編「水撃作用」(勝利原子力中央研究所 元特任研究員 秋元徳三)</p> <p>ここで α は管路内の流体を伝わる圧力波の伝播速度であり、音速とみなすことができ、配管長 (L) を実機の余熱除去系統配管の配管長^{*2}を基に保守的に 200m^{*3}とし、水の音速 (α) を 1,500m/s^{*4} とすると、管路内を圧力波が往復する時間 (μ) は約 0.27 秒となる。即ち、弁開放時間 (T) を 0.1 秒とすると圧力波が共振することになり、一方、10 秒とすると圧力波の共振は生じないこととなる。</p> <p>*2. 余熱除去系統の入口側隔離弁から出口側逃がし弁までの間隔：約 101m</p> <p>*3. 配管長を実機より長く設定することは相対的に弁の開放時間を短く評価することになり、圧力波の共振の発生条件に対し保守的となる。</p> <p>*4. 「新編流体の力学 中山泰喜著」より水の音速は下式で示される。また、圧力 15MPa 一定条件での温度と水 (音速、密度、体積弾性係数) との関係を図 5 に示す。</p> $\alpha = \sqrt{\frac{K}{\rho}}$ <p>K : 水の体積弾性係数 (MPa) ρ : 水の密度 (kg/m³)</p> <p>図 5 温度と水 (音速、密度、体積弾性係数) との関係 (圧力 15MPa 一定)</p> <p>温度約 70°C で水の音速は最大 (約 1,580m/s) となる。それ以降は水の密度に比べ水の体積弾性係数の減少が大きいことから、音速は低下していく。</p>	記載方針の相違

泊発電所 3 号炉 有効性評価 比較表

7.1.8 格納容器バイパス (添付資料 7.1.8.4 インターフェイスシステム LOCA 発生時の余熱除去系統の破断箇所及び破断面積について)

赤字 : 設備、運用又は体制の相違（設計方針の相違）
 青字 : 記載箇所又は記載内容の相違（記載方針の相違）
 緑字 : 記載表現、設備名称の相違（実質的な相違なし）

大飯発電所 3 / 4 号炉	泊発電所 3 号炉	相違理由
<p>余熱除去系統の入口側に設置されている隔離弁の開放時間は 10 秒以上と想定されることから、上記のとおり圧力波の共振による水撃作用の増幅が生じて、余熱除去系統内の機器に 1 次冷却材系統の圧力を大きく上回る荷重がかかることはない。</p> <p>なお、既往の研究として、(財)原子力発電技術機構原子力安全解析所「レベル 2 P S A 手法の整備に関する報告書=PWR プラント=」(以下、「NUPEC 報告書」という。)においては、2 個の隔離弁が 0.1 秒で同時に急開し、系統中の逃がし弁も全く動作しないことなど、極めて保守的な前提の下、圧力波の影響を評価し、その上で配管等が破壊に至らないことを示している。(参考資料 3.1.2 参照)</p> <p>一方、「NUREG/CR-5744 “Assessment of ISLOCA Risk-Methodology and Application to a Westinghouse Four-Loop Ice Condenser Plant”」(以下、「NUREG 報告書」という。)においては、弁開放に要する時間を 10 秒として解析を行なっており、余熱除去系統には、1 次冷却材系統の定常圧力が静的に加わるとしている。なお、NUREG 報告書においては弁の全開時間に係る流体過渡の考察がなされており、圧力波の共振のような現象は全開時間が 10 秒以上であれば無視出来るとされている。(参考資料 3.1.3 参照)</p> <p>以上のことから、大飯 3 / 4 号炉においては、余熱除去系統の低圧側は静的に 1 次冷却材系統の圧力相当まで加圧されるものとした。</p>	<p>余熱除去系統の入口側に設置されている隔離弁の開放時間は 10 秒以上と想定されることから、上記のとおり圧力波の共振による水撃作用の増幅が生じて、余熱除去系統内の機器に 1 次冷却系統の圧力を大きく上回る荷重がかかることはない。</p> <p>なお、既往の研究として、(財)原子力発電技術機構原子力安全解析所「レベル 2 P S A 手法の整備に関する報告書=PWR プラント=」(以下、「NUPEC 報告書」という。)においては、2 個の隔離弁が 0.1 秒で同時に急開し、系統中の逃がし弁も全く動作しないことなど、極めて保守的な前提の下、圧力波の影響を評価し、その上で配管等が破壊に至らないことを示している。(参考資料 3.1.2 参照)</p> <p>一方、「NUREG/CR-5744 “Assessment of ISLOCA Risk-Methodology and Application to a Westinghouse Four-Loop Ice Condenser Plant”」(以下、「NUREG 報告書」という。)においては、弁開放に要する時間を 10 秒として解析を行なっており、余熱除去系統には、1 次冷却系統の定常圧力が静的に加わるとしている。なお、NUREG 報告書においては弁の全開時間に係る流体過渡の考察がなされており、圧力波の共振のような現象は全開時間が 10 秒以上であれば無視出来るとされている。(参考資料 3.1.3 参照)</p> <p>以上のことから、泊 3 号炉においては、余熱除去系統の低圧側は静的に 1 次冷却系統の圧力相当まで加圧されるものとした。</p>	
<p>2.2 余熱除去系統（実機）の破断面積について</p> <p>余熱除去系統の低圧側が、静的に 1 次冷却材系統の圧力・温度相当 (15.4 MPa, 300°C) まで加圧・加温されるものとして漏えい箇所及びそれぞれの機器の漏えいが発生する箇所の面積（以下、余熱除去冷却器のフランジ部や弁のグランド部の隙間部等からの漏えいについても、漏えいが発生する箇所の面積を「破断面積」という。）について評価した。</p> <p>なお、評価対象範囲を図 4 に示すとともに、評価対象範囲に設置される機器等を表 1 に整理する。</p>	<p>2.2 余熱除去系統（実機）の破断面積について</p> <p>余熱除去系統の低圧側が、静的に 1 次冷却系統の圧力・温度相当 (15.4 MPa, 300°C) まで加圧・加温されるものとして漏えい箇所及びそれぞれの機器の漏えいが発生する箇所の面積（以下、余熱除去冷却器のマンホール管台フランジ部や弁のグランド部の隙間部等からの漏えいについても、漏えいが発生する箇所の面積を「破断面積」という。）について評価した。</p> <p>なお、評価対象範囲を図 6 に示すとともに、評価対象範囲に設置される機器等を表 1 に整理する。</p>	

泊発電所3号炉 有効性評価 比較表

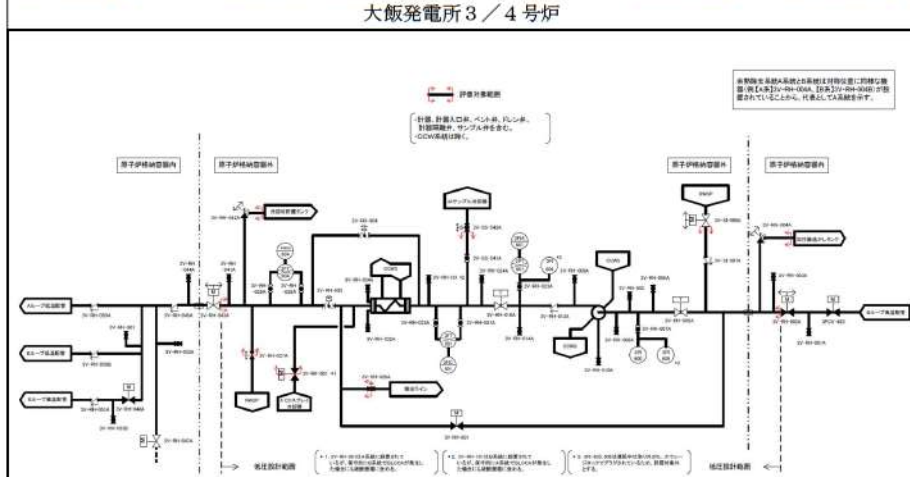
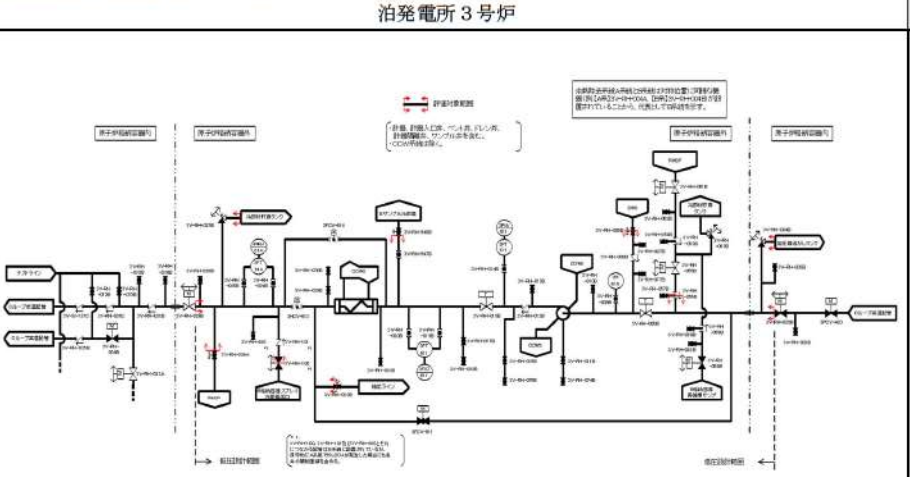
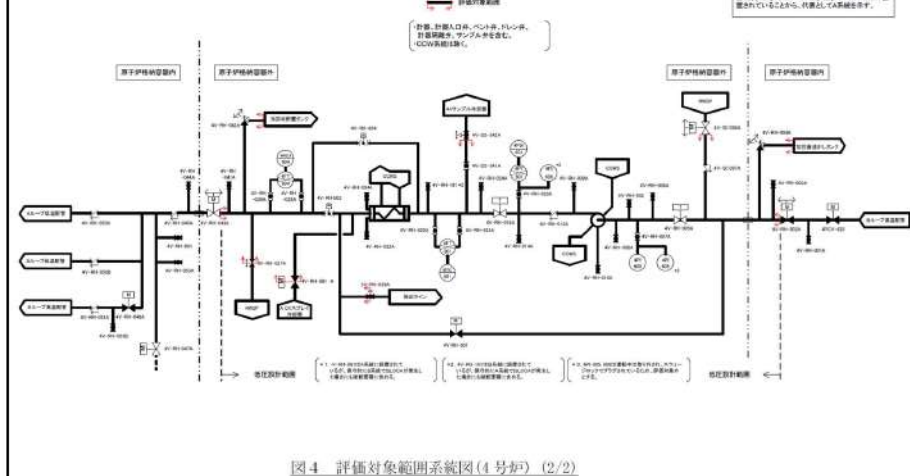
7.1.8 格納容器バイパス (添付資料 7.1.8.4 インターフェイスシステム LOCA 発生時の余熱除去系統の破断箇所及び破断面積について)

赤字 : 設備、運用又は体制の相違 (設計方針の相違)
青字 : 記載箇所又は記載内容の相違 (記載方針の相違)
緑字 : 記載表現、設備名称の相違 (実質的な相違なし)

大飯発電所3／4号炉				泊発電所3号炉		相違理由
表1 評価対象範囲に設置される機器等				表1 評価対象範囲に設置される機器等		
機器等		弁番号 ^{*3} 、個数等		機器等		
		A系統	B系統	A系統	B系統	
余熱除去冷却器		1個	1個	余熱除去冷却器		1個
余熱除去ポンプ		1個	1個	余熱除去ポンプ		1個
逃がし弁		3V-RH-004A 3V-RH-042A	3V-RH-004B 3V-RH-042B	逃がし弁		3V-RH-004A 3V-RH-027A
		2個	2個			2個
弁	プロセス弁		3V-RH-005A 3V-RH-012A 3V-RH-016A 3V-RH-601 3V-RH-603 3V-RH-604 3V-RH-026A 3V-RH-027A 3V-SI-097A 3V-RH-061 3V-RH-101 ^{*2}	3V-RH-005B 3V-RH-012B 3V-RH-016B 3V-RH-611 3V-RH-613 3V-RH-614 3V-RH-026B 3V-RH-027B 3V-RH-097B 3V-RH-061 ^{*1} 3V-RH-101	11個	
	計器入口弁 (計器本体を含む)		3FT-601 3FT-604 3PI-600 3PI-605 3PT-601 3PI-606	3FT-611 3FT-614 3PI-610 3PI-615 3PT-611 3PI-616	6個	
	その他の 弁		ペント弁 ドレン弁	1式	1式	
	計器隔離弁				1式	1式
	サンプル弁				1式	1式
	余熱除去系統配管				1式	1式
*1. 3V-RH-061 はA系統に設置されているが、保守的にB系統で ISLOCA が発生した場合にも破断面積に含める。 *2. 3V-RH-101 はB系統に設置されているが、保守的にA系統で ISLOCA が発生した場合にも破断面積に含める。 *3. 4号の機器及び弁番号のユニット番号については 3→4 と読み替えるものとする。				機器等		
				弁番号、個数等		
				A系統	B系統	
				余熱除去冷却器	1個	1個
				余熱除去ポンプ	1個	1個
				逃がし弁	2個	2個
				プロセス弁	3V-RH-005A 3V-RH-006A 3V-RH-008A 3V-RH-013A 3V-RH-016A 3FCV-601 3HCV-603 3FCV-604 3V-RH-023A 3V-RH-026A 3V-RH-055A [*] 3V-RH-056A 3V-RH-058A [*]	3V-RH-005B 3V-RH-006B 3V-RH-008B 3V-RH-013B 3V-RH-016B 3FCV-611 3HCV-613 3FCV-614 3V-RH-023B 3V-RH-026B 3V-RH-055B [*] 3V-RH-056B 3V-RH-058B [*] 3V-RH-100 3V-RH-101
				計器入口弁 (計器本体を含む)	3FT-601 3FT-604 3PI-600 3PI-605 3PT-601 3PT-606	13個
				その他 の 弁	3FT-611 3FT-614 3PI-610 3PT-611	4個
				ペント弁 ドレン弁	1式	1式
				計器隔離弁	1式	1式
				サンプル弁	1式	1式
				余熱除去系統配管	1式	1式
*3V-RH-055A、B、058A、B は過加圧される弁ではないが、保守的にグランド部からの漏えい発生を考慮する。						
*3V-RH-055A、B、058A、B は過加圧される弁ではないが、保守的にグランド部からの漏えい発生を考慮する。						

赤字 : 設備、運用又は体制の相違（設計方針の相違）
 青字 : 記載箇所又は記載内容の相違（記載方針の相違）
 緑字 : 記載表現、設備名称の相違（実質的な相違なし）

7.1.8 格納容器バイパス (添付資料 7.1.8.4 インターフェイスシステム LOCA 発生時の余熱除去系統の破断箇所及び破断面積について)

大飯発電所3／4号炉	泊発電所3号炉	相違理由
 <p>図4 評価対象範囲系統図(3号炉) (1/2)</p>	 <p>図6 評価対象範囲系統図</p>	
 <p>図4 評価対象範囲系統図(4号炉) (2/2)</p>		

泊発電所3号炉 有効性評価 比較表

7.1.8 格納容器バイパス (添付資料 7.1.8.4 インターフェイスシステム LOCA 発生時の余熱除去系統の破断箇所及び破断面積について)

赤字 : 設備、運用又は体制の相違 (設計方針の相違)
青字 : 記載箇所又は記載内容の相違 (記載方針の相違)
緑字 : 記載表現、設備名称の相違 (実質的な相違なし)

大飯発電所3／4号炉	泊発電所3号炉	相違理由
<p>(1) 余熱除去冷却器</p> <p>余熱除去冷却器については、ISLOCA 発生時に加圧・加温される部位について「大飯発電所第3号炉工事計画認可申請書」及び「大飯発電所第4号炉 工事計画認可申請書」(以下、「既工認」という。)を基に設計上の裕度を算出し、裕度が2.0以下となった管側胴板、管側鏡板、管側出入口管台(厚さ及び補強面積)、管板及び管側フランジについて評価した。また、厚さが最も薄い伝熱管についても評価した。</p> <p>(図5、別紙3.1.1参照)</p> <p>図5 余熱除去冷却器</p> <p>a. 管側胴板、管側鏡板、管側出入口管台、管板及び伝熱管の厚さ</p> <p>管側胴板、管側鏡板、管側出入口管台、管板及び伝熱管の厚さについては、次表に示す「発電用原子力設備規格 設計・建設規格 (2005年版 (2007年追補版を含む)) (第I編 軽水炉規格) JSME S NC1-2005/2007」(以下、「設計・建設規格」という。)を適用して必要な最小厚さを算出した。その結果、実機の最小厚さは必要な最小厚さを上回り、評価した各部位は破損せず漏えいは発生しないことを確認した。</p>	<p>(1) 余熱除去冷却器</p> <p>余熱除去冷却器については、ISLOCA 発生時に加圧・加温される部位について「泊発電所第3号機 工事計画認可申請書」(以下、「既工認」という。)を基に設計上の裕度を算出し、裕度が2.0以下となつた管側胴板、管側鏡板、管側出入口管台(厚さ及び補強面積、溶接部強度)、マンホール管台 (補強面積、溶接部強度)、管板及び伝熱管について評価した。</p> <p>(図7、別紙-1参照)</p> <p>図7 余熱除去冷却器</p> <p>a. 管側胴板、管側鏡板、管側出入口管台、管板及び伝熱管の厚さ</p> <p>管側胴板、管側鏡板、管側出入口管台、管板及び伝熱管の厚さについては、次表に示す「発電用原子力設備規格 設計・建設規格 (2005年版 (2007年追補版を含む)) (第I編 軽水炉規格) JSME S NC1-2005/2007」(以下、「設計・建設規格」という。)を適用して必要な最小厚さを算出した。その結果、実機の最小厚さは必要な最小厚さを上回り、評価した各部位は破損せず漏えいは発生しないことを確認した。</p>	<p>設計の相違 きさい</p>

泊発電所3号炉 有効性評価 比較表

7.1.8 格納容器バイパス (添付資料 7.1.8.4 インターフェイスシステム LOCA 発生時の余熱除去系統の破断箇所及び破断面積について)

赤字：設備、運用又は体制の相違（設計方針の相違）
青字：記載箇所又は記載内容の相違（記載方針の相違）
緑字：記載表現、設備名称の相違（実質的な相違なし）

大飯発電所3／4号炉				泊発電所3号炉				相違理由
評価部位	実機の最小厚さ	必要な最小厚さ	適用規格	評価部位	実機の最小厚さ	必要な最小厚さ	適用規格	
管側胴板	[REDACTED]	32.3mm	設計・建設規格「PVC-3122 円筒形の胴の厚さの規定」	管側胴板	[REDACTED]	32.3mm	設計・建設規格「PVC-3122 円筒形の胴の厚さの規定」	
管側鏡板	[REDACTED]	32.3mm	設計・建設規格「PVC-3225 半だ円形鏡板の厚さの規定1」	管側鏡板	[REDACTED]	32.3mm	設計・建設規格「PVC-3225 半だ円形鏡板の厚さの規定1」	
管側出入口管台	[REDACTED]	5.2mm	設計・建設規格「PVC-3610 管台の厚さの規定」	管側出入口管台(先端部)	[REDACTED]	5.2mm	設計・建設規格「PVC-3610 管台の厚さの規定」	
管板	[REDACTED]	216.5mm	設計・建設規格「PVC-3510 管穴の中心間距離および管板の厚さの規定」	管板	[REDACTED]	196.4mm	設計・建設規格「PVC-3510 管穴の中心間距離および管板の厚さの規定」	
伝熱管	[REDACTED]	0.4mm	設計・建設規格「PVC-3610 管台の厚さの規定」	伝熱管	[REDACTED]	0.4mm	設計・建設規格「PVC-3610 管台の厚さの規定」	

b. 管側出入口管台の補強面積及び溶接部強度

管側出入口管台の補強面積については、既工認の手法を適用して補強に有効な面積及び補強に必要な面積、並びに、溶接部の負うべき荷重及び予想される破断箇所の強さを算出した。その結果、下表のとおり、補強に有効な面積及び予想される破断箇所の強さは、それぞれ補強に必要な面積及び溶接部の負うべき荷重を上回り、管側出入口管台は破損せず漏えいは発生しないことを確認した。

評価部位	補強に有効な面積	補強に必要な面積
管側出入口管台	9,003mm ²	8,091mm ²

b. 管側出入口管台 及びマンホール管台の補強面積及び溶接部強度

管側出入口管台 及びマンホール管台の補強面積については、既工認の手法を適用して補強に有効な面積及び補強に必要な面積、並びに、溶接部の負うべき荷重及び予想される破断箇所の強さを算出した。その結果、下表のとおり、補強に有効な面積及び予想される破断箇所の強さは、それぞれ補強に必要な面積及び溶接部の負うべき荷重を上回り、管側出入口管台 及びマンホール管台は破損せず漏えいは発生しないことを確認した。

評価部位	補強に有効な面積	補強に必要な面積
管側出入口管台	8,933mm ²	8,030mm ²
マンホール管台	13,682mm ²	11,662mm ²

c. 管側フランジの応力

管側フランジの応力については、「設計・建設規格」の「PVC-3710 フランジの規格」より、日本工業規格 JIS B 8265 (2003)「圧力容器の構造一般事項」(以下、「JIS B 8265」という。)を準用し、ISLOCA

評価部位	破断が想定される溶接部の強さ	溶接部の負うべき荷重
管側出入口管台	5,626,402N	2,922,624N
マンホール管台	8,439,681N	6,166,155N

枠囲みの範囲は機密に係る事項ですので公開することはできません。

枠囲みの内容は機密情報に属しますので公開できません。

設計の相違
・大飯は管側と胴側をフランジで接合する構造で

泊発電所3号炉 有効性評価 比較表

7.1.8 格納容器バイパス (添付資料 7.1.8.4 インターフェイスシステム LOCA 発生時の余熱除去系統の破断箇所及び破断面積について)

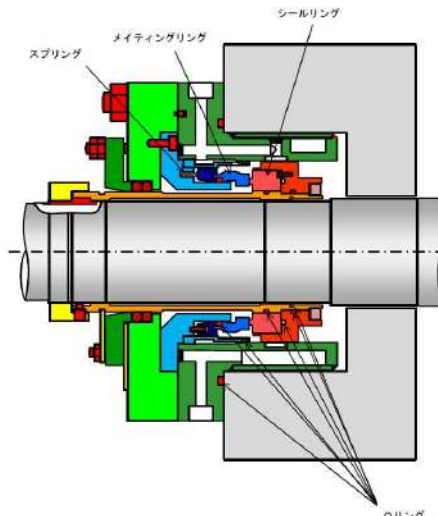
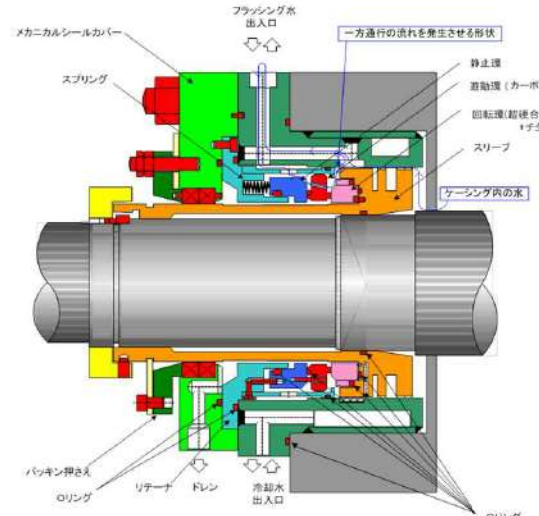
赤字 : 設備、運用又は体制の相違（設計方針の相違）
青字 : 記載箇所又は記載内容の相違（記載方針の相違）
緑字 : 記載表現、設備名称の相違（実質的な相違なし）

大飯発電所3／4号炉	泊発電所3号炉	相違理由								
発生時の圧力・温度条件下における発生応力及び許容応力を算出した。その結果、下表のとおり、発生応力は許容応力以下であり、管側フランジは破損せず漏えいは発生しないことを確認した。		あるのに対し、泊は全溶接で接合していることによる相違。								
<table border="1"> <thead> <tr> <th>評価部位</th><th>発生応力</th><th>許容応力</th></tr> </thead> <tbody> <tr> <td>管側フランジ</td><td>312MPa</td><td>391MPa</td></tr> </tbody> </table>	評価部位	発生応力	許容応力	管側フランジ	312MPa	391MPa				
評価部位	発生応力	許容応力								
管側フランジ	312MPa	391MPa								
<p>d. 管側フランジと管板の接合部</p> <p>管側フランジと管板の接合部については、1次冷却材系統の圧力・温度条件下においてもガスケットは機能し、有意な漏えいは発生しないと考えられるが、余熱除去系統の中のガスケットを使ったシール構造で破損した際の影響が最も大きいと考えられることから、評価にあたっては、ISLOCA 発生時の圧力・温度条件下におけるボルト、フランジ及び管板の伸び量の合計分隙間が開き漏えいが発生するものと想定して、破断面積を算出した。</p> <p>漏えいが想定される余熱除去冷却器管側フランジ部の破断面積を下表に示す。</p> <table border="1"> <thead> <tr> <th>評価部位</th><th>破断面積 (inch²)</th></tr> </thead> <tbody> <tr> <td>管側フランジと管板の接合部</td><td>0.28</td></tr> </tbody> </table>	評価部位	破断面積 (inch ²)	管側フランジと管板の接合部	0.28	<p>c. マンホール管台フランジ部</p> <p>マンホール管台フランジ部については、1次冷却系統の圧力・温度条件下においてもガスケットは機能し、有意な漏えいは発生しないと考えられるが、余熱除去系統の中のガスケットを使ったシール構造で破損した際の影響が大きいと考えられることから、評価にあたっては、ISLOCA 発生時の圧力・温度条件下におけるボルト、フランジ及び蓋板の伸び量の合計分隙間が開き漏えいが発生するものと想定して、破断面積を算出した。</p> <p>漏えいが想定される余熱除去冷却器マンホール管台フランジ部の破断面積を下表に示す。</p> <table border="1"> <thead> <tr> <th>評価部位</th><th>破断面積 (inch²)</th></tr> </thead> <tbody> <tr> <td>マンホール管台フランジ部</td><td>0.07</td></tr> </tbody> </table>	評価部位	破断面積 (inch ²)	マンホール管台フランジ部	0.07	
評価部位	破断面積 (inch ²)									
管側フランジと管板の接合部	0.28									
評価部位	破断面積 (inch ²)									
マンホール管台フランジ部	0.07									
(2) 余熱除去ポンプ	(2) 余熱除去ポンプ									
<p>図6 余熱除去ポンプ</p>	<p>図8 余熱除去ポンプ</p>									

泊発電所3号炉 有効性評価 比較表

7.1.8 格納容器バイパス (添付資料 7.1.8.4 インターフェイスシステム LOCA 発生時の余熱除去系統の破断箇所及び破断面積について)

赤字 : 設備、運用又は体制の相違 (設計方針の相違)
青字 : 記載箇所又は記載内容の相違 (記載方針の相違)
緑字 : 記載表現、設備名称の相違 (実質的な相違なし)

大飯発電所3／4号炉	泊発電所3号炉	相違理由																																																
 <p>図7 メカニカルシール</p> <p>a. ケーシング、管台、ケーシングカバー ケーシング、管台、ケーシングカバーについては、下表に示す規格を適用して必要な最小厚さを算出した。その結果、実機の最小厚さは必要な最小厚さを上回り、評価した各部位は破損せず漏えいは発生しないことを確認した。</p> <table border="1"> <thead> <tr> <th>評価部位</th><th>発生応力</th><th>許容応力</th><th>実機の最小厚さ</th><th>必要な最小厚さ</th><th>適用規格</th></tr> </thead> <tbody> <tr> <td>ケーシング</td><td>198MPa</td><td>341MPa</td><td>30mm</td><td>17.4mm</td><td>設計・建設規格「PMC-3320 ケーシングの厚さの規定」</td></tr> <tr> <td>管台</td><td>90MPa</td><td>391MPa</td><td>2.2mm</td><td>0.6mm</td><td>設計・建設規格「PMC-3610 管台の構造強度の規定」</td></tr> <tr> <td>ケーシングカバー</td><td>195MPa</td><td>341MPa</td><td>72mm</td><td>54.4mm</td><td>設計・建設規格「PMC-3410 ケーシングカバーの構造強度の規定」</td></tr> </tbody> </table>	評価部位	発生応力	許容応力	実機の最小厚さ	必要な最小厚さ	適用規格	ケーシング	198MPa	341MPa	30mm	17.4mm	設計・建設規格「PMC-3320 ケーシングの厚さの規定」	管台	90MPa	391MPa	2.2mm	0.6mm	設計・建設規格「PMC-3610 管台の構造強度の規定」	ケーシングカバー	195MPa	341MPa	72mm	54.4mm	設計・建設規格「PMC-3410 ケーシングカバーの構造強度の規定」	 <p>図9 メカニカルシール</p> <p>a. ケーシング、管台、ケーシングカバー ケーシング、管台、ケーシングカバーについては、下表に示す規格を適用して必要な最小厚さを算出した。その結果、実機の最小厚さは必要な最小厚さを上回り、評価した各部位は破損せず漏えいは発生しないことを確認した。</p> <table border="1"> <thead> <tr> <th>評価部位</th><th>発生応力</th><th>許容応力</th><th>実機の最小厚さ</th><th>必要な最小厚さ</th><th>適用規格</th></tr> </thead> <tbody> <tr> <td>ケーシング</td><td>225MPa</td><td>341MPa</td><td></td><td>17.8mm</td><td>設計・建設規格「PMC-3320 ケーシングの厚さの規定」</td></tr> <tr> <td>管台</td><td>82MPa</td><td>391MPa</td><td></td><td>0.7mm</td><td>設計・建設規格「PMC-3610 管台の構造強度の規定」</td></tr> <tr> <td>ケーシングカバー</td><td>181MPa</td><td>341MPa</td><td></td><td>59.6mm</td><td>設計・建設規格「PMC-3410 ケーシングカバーの構造強度の規定」</td></tr> </tbody> </table> <p>枠囲みの内容は機密情報に属しますので公開できません。</p>	評価部位	発生応力	許容応力	実機の最小厚さ	必要な最小厚さ	適用規格	ケーシング	225MPa	341MPa		17.8mm	設計・建設規格「PMC-3320 ケーシングの厚さの規定」	管台	82MPa	391MPa		0.7mm	設計・建設規格「PMC-3610 管台の構造強度の規定」	ケーシングカバー	181MPa	341MPa		59.6mm	設計・建設規格「PMC-3410 ケーシングカバーの構造強度の規定」	
評価部位	発生応力	許容応力	実機の最小厚さ	必要な最小厚さ	適用規格																																													
ケーシング	198MPa	341MPa	30mm	17.4mm	設計・建設規格「PMC-3320 ケーシングの厚さの規定」																																													
管台	90MPa	391MPa	2.2mm	0.6mm	設計・建設規格「PMC-3610 管台の構造強度の規定」																																													
ケーシングカバー	195MPa	341MPa	72mm	54.4mm	設計・建設規格「PMC-3410 ケーシングカバーの構造強度の規定」																																													
評価部位	発生応力	許容応力	実機の最小厚さ	必要な最小厚さ	適用規格																																													
ケーシング	225MPa	341MPa		17.8mm	設計・建設規格「PMC-3320 ケーシングの厚さの規定」																																													
管台	82MPa	391MPa		0.7mm	設計・建設規格「PMC-3610 管台の構造強度の規定」																																													
ケーシングカバー	181MPa	341MPa		59.6mm	設計・建設規格「PMC-3410 ケーシングカバーの構造強度の規定」																																													

泊発電所3号炉 有効性評価 比較表

7.1.8 格納容器バイパス (添付資料 7.1.8.4 インターフェイスシステム LOCA 発生時の余熱除去系統の破断箇所及び破断面積について)

赤字：設備、運用又は体制の相違（設計方針の相違）
 青字：記載箇所又は記載内容の相違（記載方針の相違）
 緑字：記載表現、設備名称の相違（実質的な相違なし）

大飯発電所3／4号炉	泊発電所3号炉	相違理由												
b. ケーシングボルト ケーシングボルトについては、「設計・建設規格」の「PMC-3510 ボルトの構造強度の規定」より、「JIS B 8265」を適用して ISLOCA 発生時の圧力・温度条件下における発生応力及び許容応力を算出した。その結果、下表のとおり、発生応力は許容応力以下であり、ケーシングボルトは破損せず漏えいは発生しないことを確認した。 <table border="1"> <thead> <tr> <th>評価部位</th><th>発生応力</th><th>許容応力</th></tr> </thead> <tbody> <tr> <td>ケーシングボルト</td><td>213MPa</td><td>425MPa</td></tr> </tbody> </table>	評価部位	発生応力	許容応力	ケーシングボルト	213MPa	425MPa	b. ケーシングボルト ケーシングボルトについては、「設計・建設規格」の「PMC-3510 ボルトの構造強度の規定」より、「JIS B 8265」を適用して ISLOCA 発生時の圧力・温度条件下における発生応力及び許容応力を算出した。その結果、下表のとおり、発生応力は許容応力以下であり、ケーシングボルトは破損せず漏えいは発生しないことを確認した。 <table border="1"> <thead> <tr> <th>評価部位</th><th>発生応力</th><th>許容応力</th></tr> </thead> <tbody> <tr> <td>ケーシングボルト</td><td>258MPa</td><td>425MPa</td></tr> </tbody> </table>	評価部位	発生応力	許容応力	ケーシングボルト	258MPa	425MPa	
評価部位	発生応力	許容応力												
ケーシングボルト	213MPa	425MPa												
評価部位	発生応力	許容応力												
ケーシングボルト	258MPa	425MPa												
c. ポンプ耐圧部の接合部 ポンプ耐圧部の接合部については、ケーシングボルトの内圧と熱による伸び量、及びケーシングカバーの熱による伸び量を評価し、ケーシングボルトの伸び量からケーシングカバーの伸び量を差し引いた伸び量がマイナスであることを確認した。 伸び量がマイナスの場合は、ポンプ耐圧部の接合部は圧縮されることになる。ケーシングとケーシングカバーの合わせ面については、ケーシングとケーシングカバーがメタルタッチしており、それ以上ガスケットが圧縮しない構造となっていることから、ケーシングナット座面の面圧とケーシングとケーシングカバー合わせ面の面圧を評価した。その結果、下表のとおり、発生応力は許容応力以下であり、ケーシングナット座面とケーシングとケーシングカバー合わせ面は破損せず漏えいは発生しないことを確認した。 <table border="1"> <thead> <tr> <th>評価部位</th><th>発生応力</th><th>許容応力</th></tr> </thead> <tbody> <tr> <td>ケーシングナット座面</td><td>129MPa</td><td>391MPa</td></tr> <tr> <td>ケーシングとケーシングカバー合わせ面</td><td>40MPa</td><td>341MPa</td></tr> </tbody> </table>	評価部位	発生応力	許容応力	ケーシングナット座面	129MPa	391MPa	ケーシングとケーシングカバー合わせ面	40MPa	341MPa	c. ポンプ耐圧部の接合部 ポンプ耐圧部の接合部については、ケーシングボルトの内圧と熱による伸び量、及びケーシングカバーの熱による伸び量を評価し、ケーシングボルトの伸び量からケーシングカバーの伸び量を差し引いた伸び量がガスケット復元量 ██████████ 以下であり、有意な漏えいは発生しない事を確認した。	評価結果の相違			
評価部位	発生応力	許容応力												
ケーシングナット座面	129MPa	391MPa												
ケーシングとケーシングカバー合わせ面	40MPa	341MPa												
d. メカニカルシール メカニカルシールについては、メカニカルシールを構成する非金属製部品である シールリング（カーボン製）及びOリング（フッ素ゴム製）について評価した。その結果、下表のとおり、シールリングの圧縮強度は ISLOCA 発生時の高圧条件下でシール面に発生する最大の面圧を上回ること、Oリングの耐熱性は ISLOCA 発生時の温度条件を上回ることからメカニカルシールは破損せず、有意な漏えいは発生しないことを確認した。	d. メカニカルシール メカニカルシールについては、メカニカルシールを構成する非金属製部品である 遊動環（カーボン製）及びOリング（フッ素ゴム製）について評価した。その結果、下表のとおり、遊動環の圧縮強度は ISLOCA 発生時の高圧条件下でシール面に発生する最大の面圧を上回ること、Oリングの耐熱性は ISLOCA 発生時の温度条件を上回ることからメカニカルシールは破損せず、有意な漏えいは発生しないことを確認した。													

泊発電所3号炉 有効性評価 比較表

7.1.8 格納容器バイパス (添付資料 7.1.8.4 インターフェイスシステム LOCA 発生時の余熱除去系統の破断箇所及び破断面積について)

赤字：設備、運用又は体制の相違（設計方針の相違）
青字：記載箇所又は記載内容の相違（記載方針の相違）
緑字：記載表現、設備名称の相違（実質的な相違なし）

大飯発電所3／4号炉			泊発電所3号炉			相違理由
評価部位	面圧又は評価温度	許容値	評価部位	面圧又は評価温度	許容値	
メカニカルシールのシールリング	[] MPa (面圧)	約 100MPa ^{*1}	メカニカルシールの遊動環	[] (面圧)	約 100MPa ^{*1}	
メカニカルシールのOリング	300°C (評価温度)	315°C (カタログ値)	メカニカルシールのOリング	300°C (評価温度)	315°C (カタログ値)	
<p>*1. シールリングの材料はカーボン。カーボンの圧縮強度は約 100MPa。</p> <p>枠囲みの範囲は機密に係る事項ですので公開することはできません。</p>						
<p>(3) 逃がし弁</p> <p>逃がし弁については、ISLOCA 発生時に吹き出し前に加圧される弁座、弁体、入口配管、吹き出し後に加圧される弁耐圧部、弁耐圧部の接合部、出口配管を評価した。なお、入口配管及び出口配管（とともにフランジ部を含む）の評価については、(5)に記載する。</p> <p>対象となる逃がし弁は、3V-RH-004A、B「余熱除去ポンプ入口逃がし弁」（以下、「入口逃がし弁」という。）及び 3V-RH-042A、B「余熱除去冷却器出口逃がし弁」（以下、「出口逃がし弁」という。）である。</p> <p>入口逃がし弁及び出口逃がし弁の設定圧力は、それぞれ [] MPa 及び [] MPa であり、ISLOCA 発生後、15.4MPa になる以前に吹き出し、圧力は低下すると考えられるが、ここでは、逃がし弁の吹き出し前に加圧される箇所と吹き出し後に加圧される箇所の両方とも 15.4MPa、300°Cになるものとして評価した。（図 8、別紙 3.1.3 参照）</p>						
<p>(3) 逃がし弁</p> <p>逃がし弁については、ISLOCA 発生時に吹き出し前に加圧される弁座、弁体、入口配管、吹き出し後に加圧される弁耐圧部、弁耐圧部の接合部、出口配管を評価した。なお、入口配管及び出口配管（とともにフランジ部を含む）の評価については、(5)に記載する。</p> <p>対象となる逃がし弁は、3V-RH-004A、B「余熱除去ポンプ入口逃がし弁」（以下、「入口逃がし弁」という。）、及び 3V-RH-027A、B「余熱除去冷却器出口逃がし弁」（以下、「出口逃がし弁」という。）である。泊3号炉では前述の逃がし弁の他に、3V-RH-062A、B「余熱除去ポンプ RWSP／再循環サンプ側入口逃がし弁」（以下、「RWSP／再循環サンプ側入口逃がし弁」という。）が設置されている。RWSP／再循環サンプ側入口逃がし弁と余熱除去系の母管との間には逆止弁が設置されており、ISLOCA 発生時は逆止弁の閉止方向に圧力が作用する事及び逆止弁は出荷前の試験によりシートリーク量が非常に少ないことを確認している事から、RWSP／再循環サンプ側入口逃がし弁からの吹き出しが生じたとしても逆止弁のシートリーク相当と少量となり、余熱除去系の母管に接続される逃がし弁（3V-RH-004A、B 及び 3V-RH-027A、B）からの吹き出し量と比較して無視しえる。したがって、有効性評価上は RWSP／再循環サンプ側入口逃がし弁からの吹き出しへは発生しないものとして扱う。</p> <p>また、RWSP／再循環サンプ側入口逃がし弁の吹き出し容量は逆止弁のシートリーク量に比べ大きいため、逆止弁のシートリークが発生しても RWSP／再循環サンプ側入口逃がし弁の入口側は吹き出し圧力の [] 以下に留まり弁、配管の設計条件を超えることはないと考えられるため、RWSP／再循環サンプ側入口逃がし弁及び接続配管は評価対象外とする。</p> <p>ただし、弁グランド部からの漏えい個所の想定については、対象箇所を保守的に多く想定するために RWSP／再循環サンプ側入口逃がし弁の設置区間にあるプロセス弁も漏えい発生箇所として想定するものとする。</p> <p>入口逃がし弁及び出口逃がし弁の設定圧力は、それぞれ [] 及び [] であり、ISLOCA 発生後、15.4MPa になる以前に吹き出し、圧力は低下すると考えられるが、ここでは、逃がし弁の吹き出し前に加圧される箇所と吹き出し後に加圧される箇所の両方とも 15.4MPa、300°Cになるものとして評価した。（図 10、別紙-3 参照）</p>						

泊発電所3号炉 有効性評価 比較表

7.1.8 格納容器バイパス (添付資料 7.1.8.4 インターフェイスシステム LOCA 発生時の余熱除去系統の破断箇所及び破断面積について)

赤字 : 設備、運用又は体制の相違 (設計方針の相違)
青字 : 記載箇所又は記載内容の相違 (記載方針の相違)
緑字 : 記載表現、設備名称の相違 (実質的な相違なし)

大飯発電所3／4号炉	泊発電所3号炉	相違理由																																
<p>図8 逃がし弁</p> <p>枠囲みの範囲は機密に係る事項ですので公開することはできません。</p> <p>a. 弁座及び弁本体の耐圧部 弁座及び弁本体の耐圧部については、下表に示す規格を準用又は適用して必要な最小厚さを算出した。その結果、実機の最小厚さは必要な最小厚さを上回り、評価した各部位は破損せず漏えいは発生しないことを確認した。</p> <table border="1"> <thead> <tr> <th>評価部位</th><th>実機の最小厚さ</th><th>必要な最小厚さ</th><th>適用規格</th></tr> </thead> <tbody> <tr> <td rowspan="2">入口 逃がし弁</td><td rowspan="2">弁座</td><td>5.7mm</td><td>設計・建設規格「VVC-3230 耐圧部に取り付く管台の必要最小厚さ」</td></tr> <tr> <td>4.6mm</td><td>設計・建設規格「解説 VVB-3100 弁の圧力温度基準」</td></tr> <tr> <td rowspan="2">出口 逃がし弁</td><td rowspan="2">弁座</td><td>2.0mm</td><td>設計・建設規格「VVC-3230 耐圧部に取り付く管台の必要最小厚さ」</td></tr> <tr> <td>2.2mm</td><td>設計・建設規格「解説 VVB-3100 弁の圧力温度基準」</td></tr> </tbody> </table> <p>枠囲みの範囲は機密に係る事項ですので公開することはできません。</p>	評価部位	実機の最小厚さ	必要な最小厚さ	適用規格	入口 逃がし弁	弁座	5.7mm	設計・建設規格「VVC-3230 耐圧部に取り付く管台の必要最小厚さ」	4.6mm	設計・建設規格「解説 VVB-3100 弁の圧力温度基準」	出口 逃がし弁	弁座	2.0mm	設計・建設規格「VVC-3230 耐圧部に取り付く管台の必要最小厚さ」	2.2mm	設計・建設規格「解説 VVB-3100 弁の圧力温度基準」	<p>図10 逃がし弁</p> <p>枠囲みの内容は機密情報に属しますので公開できません。</p> <p>a. 弁座及び弁本体の耐圧部 弁座及び弁本体の耐圧部については、下表に示す規格を準用又は適用して必要な最小厚さを算出した。その結果、実機の最小厚さは必要な最小厚さを上回り、評価した各部位は破損せず漏えいは発生しないことを確認した。</p> <table border="1"> <thead> <tr> <th>評価部位</th><th>実機の最小厚さ</th><th>必要な最小厚さ</th><th>適用規格</th></tr> </thead> <tbody> <tr> <td rowspan="2">入口 逃がし弁</td><td rowspan="2">弁座</td><td>4.7mm</td><td>設計・建設規格「VVC-3230 耐圧部に取り付く管台の必要最小厚さ」</td></tr> <tr> <td>4.6mm</td><td>設計・建設規格「解説 VVB-3100 弁の圧力温度基準」</td></tr> <tr> <td rowspan="2">出口 逃がし弁</td><td rowspan="2">弁座</td><td>2.0mm</td><td>設計・建設規格「VVC-3230 耐圧部に取り付く管台の必要最小厚さ」</td></tr> <tr> <td>2.2mm</td><td>設計・建設規格「解説 VVB-3100 弁の圧力温度基準」</td></tr> </tbody> </table> <p>枠囲みの内容は機密情報に属しますので公開できません。</p>	評価部位	実機の最小厚さ	必要な最小厚さ	適用規格	入口 逃がし弁	弁座	4.7mm	設計・建設規格「VVC-3230 耐圧部に取り付く管台の必要最小厚さ」	4.6mm	設計・建設規格「解説 VVB-3100 弁の圧力温度基準」	出口 逃がし弁	弁座	2.0mm	設計・建設規格「VVC-3230 耐圧部に取り付く管台の必要最小厚さ」	2.2mm	設計・建設規格「解説 VVB-3100 弁の圧力温度基準」	
評価部位	実機の最小厚さ	必要な最小厚さ	適用規格																															
入口 逃がし弁	弁座	5.7mm	設計・建設規格「VVC-3230 耐圧部に取り付く管台の必要最小厚さ」																															
		4.6mm	設計・建設規格「解説 VVB-3100 弁の圧力温度基準」																															
出口 逃がし弁	弁座	2.0mm	設計・建設規格「VVC-3230 耐圧部に取り付く管台の必要最小厚さ」																															
		2.2mm	設計・建設規格「解説 VVB-3100 弁の圧力温度基準」																															
評価部位	実機の最小厚さ	必要な最小厚さ	適用規格																															
入口 逃がし弁	弁座	4.7mm	設計・建設規格「VVC-3230 耐圧部に取り付く管台の必要最小厚さ」																															
		4.6mm	設計・建設規格「解説 VVB-3100 弁の圧力温度基準」																															
出口 逃がし弁	弁座	2.0mm	設計・建設規格「VVC-3230 耐圧部に取り付く管台の必要最小厚さ」																															
		2.2mm	設計・建設規格「解説 VVB-3100 弁の圧力温度基準」																															

泊発電所3号炉 有効性評価 比較表

7.1.8 格納容器バイパス (添付資料 7.1.8.4 インターフェイスシステム LOCA 発生時の余熱除去系統の破断箇所及び破断面積について)

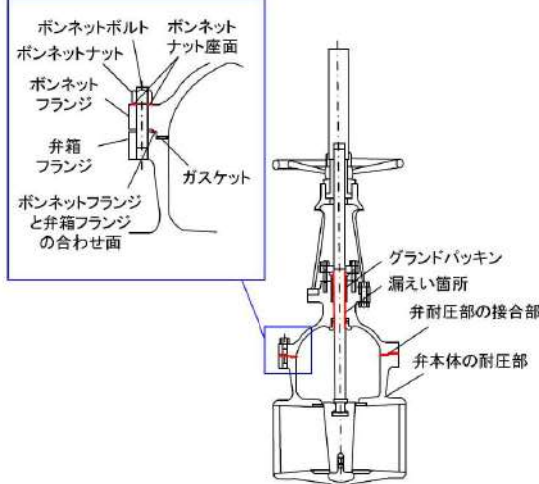
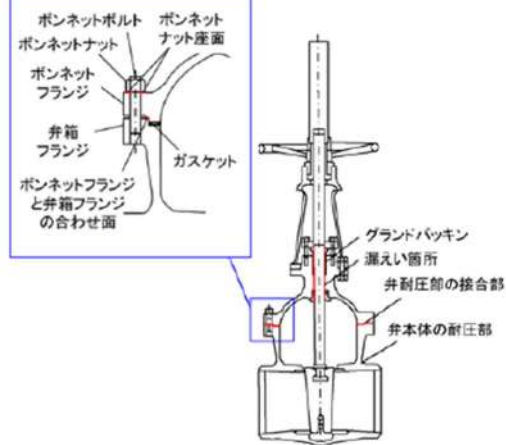
赤字 : 設備、運用又は体制の相違 (設計方針の相違)
青字 : 記載箇所又は記載内容の相違 (記載方針の相違)
緑字 : 記載表現、設備名称の相違 (実質的な相違なし)

大飯発電所3／4号炉			泊発電所3号炉			相違理由																		
b. 弁体 弁体については、弁体の入口側に 15.4MPa が加えられた際に弁体の厚さが最も薄い箇所に発生するせん断応力を評価した。その結果、下表のとおり、発生応力は許容応力以下であり、弁体は破損せず漏えいは発生しないことを確認した。			b. 弁体 弁体については、弁体の入口側に 15.4MPa が加えられた際に弁体の厚さが最も薄い箇所に発生するせん断応力を評価した。その結果、下表のとおり、発生応力は許容応力以下であり、弁体は破損せず漏えいは発生しないことを確認した。																					
<table border="1"> <thead> <tr> <th>評価部位</th><th>発生応力</th><th>許容応力</th></tr> </thead> <tbody> <tr> <td>入口 逃がし弁</td><td>弁体</td><td>160.6MPa</td></tr> <tr> <td>出口 逃がし弁</td><td>弁体</td><td>63.4MPa</td></tr> </tbody> </table>			評価部位	発生応力	許容応力	入口 逃がし弁	弁体	160.6MPa	出口 逃がし弁	弁体	63.4MPa	<table border="1"> <thead> <tr> <th>評価部位</th><th>発生応力</th><th>許容応力</th></tr> </thead> <tbody> <tr> <td>入口 逃がし弁</td><td>弁体</td><td>120.66MPa</td></tr> <tr> <td>出口 逃がし弁</td><td>弁体</td><td>63.40MPa</td></tr> </tbody> </table>			評価部位	発生応力	許容応力	入口 逃がし弁	弁体	120.66MPa	出口 逃がし弁	弁体	63.40MPa	
評価部位	発生応力	許容応力																						
入口 逃がし弁	弁体	160.6MPa																						
出口 逃がし弁	弁体	63.4MPa																						
評価部位	発生応力	許容応力																						
入口 逃がし弁	弁体	120.66MPa																						
出口 逃がし弁	弁体	63.40MPa																						
c. 弁耐圧部の接合部 弁耐圧部の接合部については、ボンネットボルトの内圧と熱による伸び量、及びボンネット法兰ジと弁箱法兰ジの熱による伸び量を評価し、ボンネットボルトの伸び量からボンネット法兰ジと弁箱法兰ジの伸び量を差し引いた伸び量がプラスの場合とマイナスの場合について評価を行った。			c. 弁耐圧部の接合部 弁耐圧部の接合部については、ボンネットボルトの内圧と熱による伸び量、及びボンネット法兰ジと弁箱法兰ジの熱による伸び量を評価し、ボンネットボルトの伸び量からボンネット法兰ジと弁箱法兰ジの伸び量を差し引いた伸び量がプラスの場合とマイナスの場合について評価を行った。																					
<ul style="list-style-type: none"> 伸び量がプラスの場合 ボンネットボルトの伸び量からボンネット法兰ジと弁箱法兰ジの伸び量を差し引いた伸び量がガスケットの復元量^{*1}以下であり、有意な漏えいは発生しないことを確認した。 <table border="1"> <thead> <tr> <th>評価部位</th><th>伸び量</th><th>ガスケットの復元量</th></tr> </thead> <tbody> <tr> <td>出口 逃がし弁</td><td>弁耐圧部 の接合部</td><td>0.002mm</td></tr> </tbody> </table>			評価部位	伸び量	ガスケットの復元量	出口 逃がし弁	弁耐圧部 の接合部	0.002mm	<ul style="list-style-type: none"> 伸び量がプラスの場合 ボンネットボルトの伸び量からボンネット法兰ジと弁箱法兰ジの伸び量を差し引いた伸び量がガスケットの復元量^{*1}以下であり、有意な漏えいは発生しないことを確認した。 <table border="1"> <thead> <tr> <th>評価部位</th><th>伸び量</th><th>ガスケットの復元量</th></tr> </thead> <tbody> <tr> <td>出口 逃がし弁</td><td>弁耐圧部 の接合部</td><td>0.003mm</td></tr> </tbody> </table>			評価部位	伸び量	ガスケットの復元量	出口 逃がし弁	弁耐圧部 の接合部	0.003mm							
評価部位	伸び量	ガスケットの復元量																						
出口 逃がし弁	弁耐圧部 の接合部	0.002mm																						
評価部位	伸び量	ガスケットの復元量																						
出口 逃がし弁	弁耐圧部 の接合部	0.003mm																						
<p>*1. ガスケットに締付面圧を加えていくと弾性変形が生じ、更に締付面圧を加えていくと塑性変形が生じる。塑性変形したガスケットの締付面圧を緩和した場合、弹性領域分のみが復元する性質がある。弁耐圧部の接合部のシールのため、ガスケットには塑性領域まで締付面圧を加えて初期圧縮を加えており、締付面圧緩和時に弹性領域分の復元が生じる。ガスケットの復元量 [] は、メーカ試験によって確認した値。</p> <p>[] 円囲みの範囲は機密に係る事項ですので公開することはできません。</p>			<p>*1. ガスケットに締付面圧を加えていくと弾性変形が生じ、更に締付面圧を加えていくと塑性変形が生じる。塑性変形したガスケットの締付面圧を緩和した場合、弹性領域分のみが復元する性質がある。弁耐圧部の接合部のシールのため、ガスケットには塑性領域まで締付面圧を加えて初期圧縮を加えており、締付面圧緩和時に弹性領域分の復元が生じる。ガスケットの復元量 [] は、メーカ試験によって確認した値。</p> <p>[] 円囲みの内容は機密情報に属しますので公開できません。</p>																					
<ul style="list-style-type: none"> 伸び量がマイナスの場合 伸び量がマイナスの場合は、弁耐圧部の接合部は圧縮されることになる。弁耐圧部の接合部については、ボンネット法兰ジとリフト制限板がメタルタッチしており、それ以上ガスケットが圧縮しない構造となっていることから、ボンネットナット座面の面圧とボンネット法兰ジとリフト制限板の合わせ面の面圧を評価した。その結果、下表のとおり、発生応力は許容応力以下であり、ボンネットナ 			<ul style="list-style-type: none"> 伸び量がマイナスの場合 伸び量がマイナスの場合は、弁耐圧部の接合部は圧縮されることになる。弁耐圧部の接合部については、ボンネット法兰ジとペローズがメタルタッチしており、それ以上ガスケットが圧縮しない構造となっていることから、ボンネットナット座面の面圧とボンネット法兰ジとペローズの合わせ面 																					

泊発電所 3号炉 有効性評価 比較表

7.1.8 格納容器バイパス (添付資料 7.1.8.4 インターフェイスシステム LOCA 発生時の余熱除去系統の破断箇所及び破断面積について)

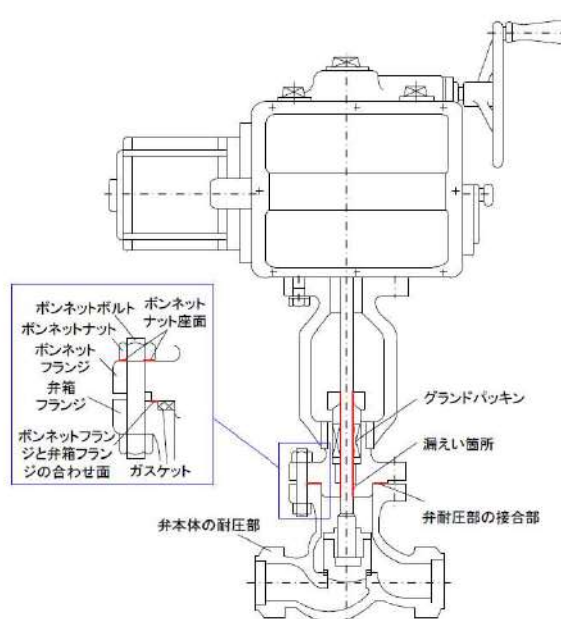
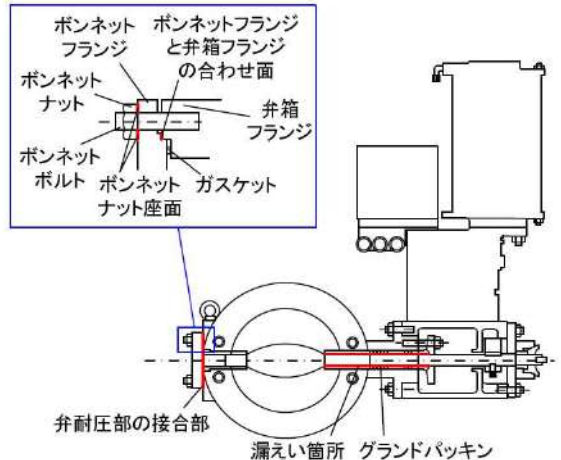
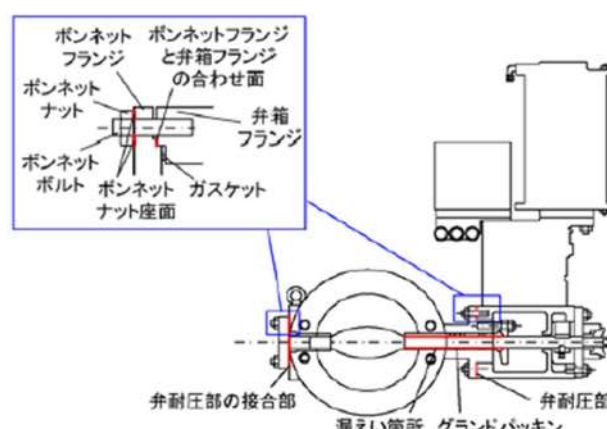
赤字 : 設備、運用又は体制の相違 (設計方針の相違)
青字 : 記載箇所又は記載内容の相違 (記載方針の相違)
緑字 : 記載表現、設備名称の相違 (実質的な相違なし)

大飯発電所3／4号炉	泊発電所 3号炉	相違理由														
<p>ット座面とポンネットフランジとリフト制限板の合わせ面は破損せず漏えいは発生しないことを確認した。</p> <table border="1"> <thead> <tr> <th>評価部位</th><th>発生応力</th><th>許容応力</th></tr> </thead> <tbody> <tr> <td>入口 逃がし弁</td><td>ポンネットナット座面 ポンネットフランジと リフト制限板の合わせ面</td><td>431.7 MPa 221.3 MPa 438MPa (ポンネットフランジ) 374MPa (リフト制限板)</td><td>604MPa</td></tr> </tbody> </table>	評価部位	発生応力	許容応力	入口 逃がし弁	ポンネットナット座面 ポンネットフランジと リフト制限板の合わせ面	431.7 MPa 221.3 MPa 438MPa (ポンネットフランジ) 374MPa (リフト制限板)	604MPa	<p>の面圧を評価した。その結果、下表のとおり、発生応力は許容応力以下であり、ポンネットナット座面とポンネットフランジとペローズの合わせ面は破損せず漏えいは発生しないことを確認した。</p> <table border="1"> <thead> <tr> <th>評価部位</th><th>発生応力</th><th>許容応力</th></tr> </thead> <tbody> <tr> <td>入口 逃がし弁</td><td>ポンネットナット座面 ポンネットフランジと ペローズの合わせ面</td><td>431.7 MPa 149.7 MPa 438MPa (ポンネットフランジ) 374MPa (ペローズ)</td><td>604MPa</td></tr> </tbody> </table>	評価部位	発生応力	許容応力	入口 逃がし弁	ポンネットナット座面 ポンネットフランジと ペローズの合わせ面	431.7 MPa 149.7 MPa 438MPa (ポンネットフランジ) 374MPa (ペローズ)	604MPa	
評価部位	発生応力	許容応力														
入口 逃がし弁	ポンネットナット座面 ポンネットフランジと リフト制限板の合わせ面	431.7 MPa 221.3 MPa 438MPa (ポンネットフランジ) 374MPa (リフト制限板)	604MPa													
評価部位	発生応力	許容応力														
入口 逃がし弁	ポンネットナット座面 ポンネットフランジと ペローズの合わせ面	431.7 MPa 149.7 MPa 438MPa (ポンネットフランジ) 374MPa (ペローズ)	604MPa													
<p>(4) 弁 (逃がし弁を除く)</p> <p>余熱除去系統には、プロセス弁、計器入口弁及びその他の弁があり、それらの弁について評価した。 (別紙 3.1.4 参照)</p> <p>a. プロセス弁</p> <p>プロセス弁の構成部品のうち、ISLOCA 発生時に漏えいが発生すると想定される部位は、弁箱及び弁蓋からなる弁本体の耐圧部、弁耐圧部の接合部及びグランド部があり、それらについて評価した。プロセス弁の評価部位を図 9～図 12 に示す。</p>  <p>図 9 仕切弁</p>	<p>(4) 弁 (逃がし弁を除く)</p> <p>余熱除去系統には、プロセス弁、計器入口弁及びその他の弁があり、それらの弁について評価した。 (別紙 - 4 参照)</p> <p>a. プロセス弁 (3V-RH-006A, B 及び 3V-RH-008A, B を除く)</p> <p>プロセス弁の構成部品のうち、ISLOCA 発生時に漏えいが発生すると想定される部位は、弁箱及び弁蓋からなる弁本体の耐圧部、弁耐圧部の接合部及びグランド部があり、それらについて評価した。プロセス弁の評価部位を図 11～図 14 に示す。</p> <p>なお、ISLOCA 発生時にかかると想定する圧力以上で耐圧試験を実施している 3V-RH-006A, B 及び 3V-RH-008A, B は十分な耐圧性を確認できているため評価不要とする。</p>  <p>図 11 仕切弁</p>	設計の相違														

泊発電所 3号炉 有効性評価 比較表

7.1.8 格納容器バイパス (添付資料 7.1.8.4 インターフェイスシステム LOCA 発生時の余熱除去系統の破断箇所及び破断面積について)

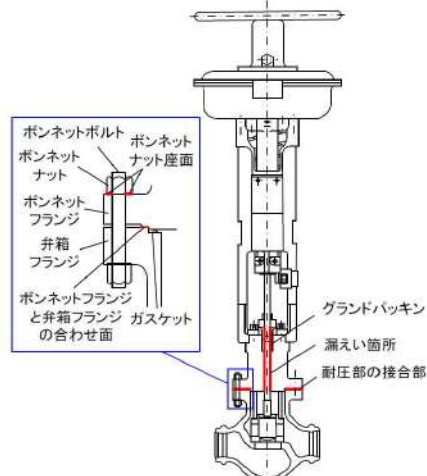
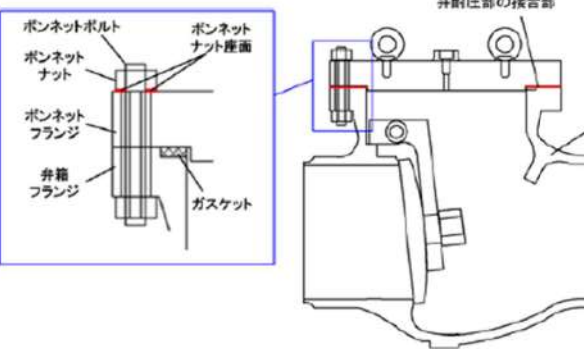
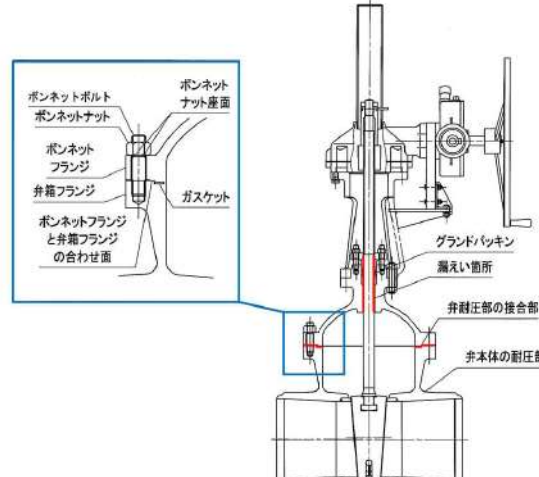
赤字 : 設備、運用又は体制の相違（設計方針の相違）
青字 : 記載箇所又は記載内容の相違（記載方針の相違）
緑字 : 記載表現、設備名称の相違（実質的な相違なし）

大飯発電所3／4号炉	泊発電所3号炉	相違理由
 <p>図 10 電動弁</p>  <p>図 11 バタフライ弁</p>  <p>図 12 バタフライ弁</p>		

泊発電所 3 号炉 有効性評価 比較表

7.1.8 格納容器バイパス (添付資料 7.1.8.4 インターフェイスシステム LOCA 発生時の余熱除去系統の破断箇所及び破断面積について)

赤字 : 設備、運用又は体制の相違 (設計方針の相違)
青字 : 記載箇所又は記載内容の相違 (記載方針の相違)
緑字 : 記載表現、設備名称の相違 (実質的な相違なし)

大飯発電所 3 / 4 号炉	泊発電所 3 号炉	相違理由
 <p>図 1.2 空気作動弁</p> <p>(a) 弁本体の耐圧部 弁本体の耐圧部については、設計・建設規格の「解説 VVB-3100 弁の圧力温度基準」を適用して必要な最小厚さを算出した。その結果、次表のとおり、実機の弁箱及び弁蓋の最小厚さは必要な最小厚さを上回り、弁本体の耐圧部は破損せず漏えいは発生しないことを確認した。</p>	 <p>図 1.3 逆止弁</p> <p>(a) 弁本体の耐圧部 弁本体の耐圧部については、設計・建設規格の「解説 VVB-3100 弁の圧力温度基準」を適用して必要な最小厚さを算出した。その結果、次表のとおり、実機の弁箱及び弁蓋の最小厚さは必要な最小厚さを上回り、弁本体の耐圧部は破損せず漏えいは発生しないことを確認した。</p>	
	 <p>図 1.4 ツインパワー弁</p> <p>(a) 弁本体の耐圧部 弁本体の耐圧部については、設計・建設規格の「解説 VVB-3100 弁の圧力温度基準」を適用して必要な最小厚さを算出した。その結果、次表のとおり、実機の弁箱及び弁蓋の最小厚さは必要な最小厚さを上回り、弁本体の耐圧部は破損せず漏えいは発生しないことを確認した。</p>	

泊発電所3号炉 有効性評価 比較表

7.1.8 格納容器バイパス (添付資料 7.1.8.4 インターフェイスシステム LOCA 発生時の余熱除去系統の破断箇所及び破断面積について)

赤字：設備、運用又は体制の相違（設計方針の相違）
青字：記載箇所又は記載内容の相違（記載方針の相違）
緑字：記載表現、設備名称の相違（実質的な相違なし）

大飯発電所3／4号炉			泊発電所3号炉			相違理由									
評価部位	実機の最小厚さ	必要な最小厚さ	評価部位	実機の最小厚さ	必要な最小厚さ										
弁本体の耐圧部	[REDACTED]	1.0～7.4mm	弁本体の耐圧部	[REDACTED]	1.0～7.4mm										
枠囲みの範囲は機密に係る事項ですので公開することはできません。															
(b) 弁耐圧部の接合部 弁耐圧部の接合部については、ボンネットボルトの内圧と熱による伸び量、及びボンネット法兰ジと弁箱法兰ジの熱による伸び量を評価し、ボンネットボルトの伸び量からボンネット法兰ジと弁箱法兰ジの伸び量を差し引いた伸び量がプラスの場合とマイナスの場合について評価を行った。 ・伸び量がプラスの場合 当該プラントの対象弁において、伸び量がプラスになる弁はないことより、全弁伸び量がマイナスの場合の評価を実施する。 ・伸び量がマイナスの場合 伸び量がマイナスの場合は、弁耐圧部の接合部は圧縮されることになる。弁耐圧部の接合部については、ボンネット法兰ジと弁箱法兰ジがメタルタッチしており、それ以上ガスケットが圧縮しない構造となっていることから、ボンネットナット座面の面圧とボンネット法兰ジと弁箱法兰ジの合わせ面の面圧を評価した。その結果、下表のとおり、発生応力は許容応力以下であり、ボンネットナット座面とボンネット法兰ジと弁箱法兰ジの合わせ面は破損せず漏えいは発生しないことを確認した。															
<table border="1"> <thead> <tr> <th>評価部位</th><th>発生応力</th><th>許容応力</th></tr> </thead> <tbody> <tr> <td>ボンネットナット座面</td><td>98.3～494.1MPa</td><td>604、632MPa</td></tr> <tr> <td>ボンネット法兰ジと弁箱法兰ジの合わせ面</td><td>79.5～207.6MPa</td><td>420、427MPa (ボンネット法兰ジ) 420MPa (弁箱法兰ジ)</td></tr> </tbody> </table> (c) 弁のグランド部 弁のグランド部（逆止弁を除く）については、1次冷却材系統の圧力・温度条件下においてもグランドパッキンは機能し、有意な漏えいは発生しないと考えられるが、評価にあたっては保守的にグランドパッキンの存在を無視してグランド部から漏えいするものと想定し、弁本体と弁棒の隙間部の断面積を破断面積とした。ただし、15.4MPa以上で耐圧試験を実施しているプロセス弁からは漏えいしないものとした。 グランド部からの漏えいが想定されるプロセス弁の破断面積を下表に示す。							評価部位	発生応力	許容応力	ボンネットナット座面	98.3～494.1MPa	604、632MPa	ボンネット法兰ジと弁箱法兰ジの合わせ面	79.5～207.6MPa	420、427MPa (ボンネット法兰ジ) 420MPa (弁箱法兰ジ)
評価部位	発生応力	許容応力													
ボンネットナット座面	98.3～494.1MPa	604、632MPa													
ボンネット法兰ジと弁箱法兰ジの合わせ面	79.5～207.6MPa	420、427MPa (ボンネット法兰ジ) 420MPa (弁箱法兰ジ)													
<table border="1"> <thead> <tr> <th>評価部位</th><th>発生応力</th><th>許容応力</th></tr> </thead> <tbody> <tr> <td>ボンネットナット座面</td><td>98.3～564.9MPa</td><td>604、632MPa</td></tr> <tr> <td>ボンネット法兰ジと弁箱法兰ジの合わせ面</td><td>59.3～216.8MPa</td><td>420、427MPa (ボンネット法兰ジ) 420MPa (弁箱法兰ジ)</td></tr> </tbody> </table> (c) 弁のグランド部 弁のグランド部（逆止弁を除く）については、1次冷却系統の圧力・温度条件下においてもグランドパッキンは機能し、有意な漏えいは発生しないと考えられるが、評価にあたっては保守的にグランドパッキンの存在を無視してグランド部から漏えいするものと想定し、弁本体と弁棒の隙間部の断面積を破断面積とした。ただし、15.4MPa以上で耐圧試験を実施しているプロセス弁からは漏えいしないものとした。 グランド部からの漏えいが想定されるプロセス弁の破断面積を下表に示す。							評価部位	発生応力	許容応力	ボンネットナット座面	98.3～564.9MPa	604、632MPa	ボンネット法兰ジと弁箱法兰ジの合わせ面	59.3～216.8MPa	420、427MPa (ボンネット法兰ジ) 420MPa (弁箱法兰ジ)
評価部位	発生応力	許容応力													
ボンネットナット座面	98.3～564.9MPa	604、632MPa													
ボンネット法兰ジと弁箱法兰ジの合わせ面	59.3～216.8MPa	420、427MPa (ボンネット法兰ジ) 420MPa (弁箱法兰ジ)													

泊発電所3号炉 有効性評価 比較表

7.1.8 格納容器バイパス (添付資料 7.1.8.4 インターフェイスシステム LOCA 発生時の余熱除去系統の破断箇所及び破断面積について)

赤字 : 設備、運用又は体制の相違 (設計方針の相違)
青字 : 記載箇所又は記載内容の相違 (記載方針の相違)
緑字 : 記載表現、設備名称の相違 (実質的な相違なし)

大飯発電所3／4号炉				泊発電所3号炉				相違理由
弁番号 ^{*2}	破断面積 (inch ²)	弁番号 ^{*2}	破断面積 (inch ²)	弁番号	破断面積 (inch ²)	弁番号	破断面積 (inch ²)	
3V-RH-005A, B	0.05	3FCV-604, 614	0.01	3V-RH-005A, B	0.10	3V-RH-023A, B	0.04	
3V-RH-017A, B	0.04	3V-RH-032A, B	0.04	3V-RH-016A, B	0.08	3V-RH-055A, B ^{*1}	0.05	
3FCV-601, 611	0.02	3V-RH-033A, B	0.03	3FCV-601, 611	0.02	3V-RH-058A, B ^{*1}	0.05	
3HCV-603, 613	0.01	3V-RH-061 ^{*1}	0.02	3HCV-603, 613	0.01	3V-RH-100 ^{*2}	0.02	
				3FCV-604, 614	0.01	—	—	
								合計 0.38 inch ²

*1. 3V-RH-061 はB系統に設置されているが、保守的にA系統で ISLOCA が発生した場合にも破断面積に含める。

*2. 4号の機器及び弁番号のユニット番号については 3⇒4 と読み替えるものとする。

b. 計器入口弁

計器入口弁は ISLOCA 発生時の圧力 (15.4MPa) を上回る圧力で耐圧試験を実施しており、破損せず漏えいは発生しないが、耐圧試験を ISLOCA 発生時の圧力を下回る圧力で実施している計器本体に 15.4MPa が加えられた場合、破損する可能性がある。また、耐圧試験圧力が 15.4MPa 以上の計器本体からは漏えいは発生しないものとし、通常運転中は取外されている計器 (3号炉: 3PI-605, 615, 606, 616、4号炉: 4PI-605, 615, 606, 616) は破断面積計算の対象外とした。ISLOCA により計器本体が破損し漏えいが起きた場合、計器入口弁の内径に応じて漏えい量が決まるため、破断面積は破損が想定される計器の入口弁の内径から算出した。計器入口弁を図13に示す。

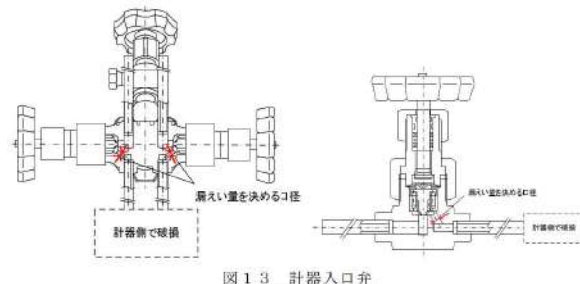


図13 計器入口弁

漏えいが想定される計器の入口弁の破断面積を下表に示す。

*1 3V-RH-055A, B 及び 3V-RH-058A, B は過加圧される弁ではないため漏えいは生じないと考えられるが、保守的評価となるように破断面積の考慮対象とする。

*2 3V-RH-100 はB系統に設置されているが、保守的にA系統で ISLOCA が発生した場合にも破断面積に含める。

b. 計器入口弁

計器入口弁は ISLOCA 発生時の圧力 (15.4MPa) を上回る圧力 (32.4MPa) で耐圧試験を実施しており、破損せず漏えいは発生しないが、耐圧試験を ISLOCA 発生時の圧力を下回る圧力で実施している計器本体に 15.4MPa が加えられた場合、破損する可能性がある。なお、15.4MPa 以上の耐圧性能を有している計器本体は破損しない。ISLOCA により計器本体が破損し漏えいが起きた場合、計器入口弁の内径に応じて漏えい量が決まるため、破断面積は破損が想定される計器の入口弁の内径から算出した。計器入口弁を図15に示す。

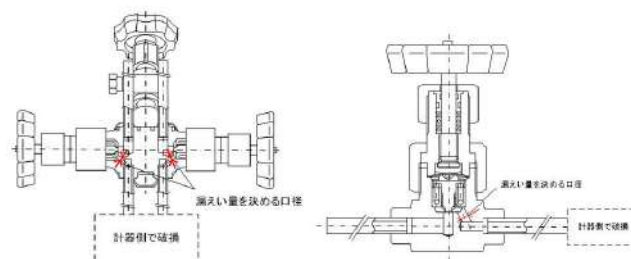


図15 計器入口弁

漏えいが想定される計器の入口弁の破断面積を下表に示す。

記載方針の相違

泊発電所3号炉 有効性評価 比較表

7.1.8 格納容器バイパス (添付資料 7.1.8.4 インターフェイスシステム LOCA 発生時の余熱除去系統の破断箇所及び破断面積について)

赤字 : 設備、運用又は体制の相違 (設計方針の相違)
青字 : 記載箇所又は記載内容の相違 (記載方針の相違)
緑字 : 記載表現、設備名称の相違 (実質的な相違なし)

大飯発電所3／4号炉	泊発電所3号炉	相違理由																				
<table border="1"> <thead> <tr> <th>弁番号^{*2}</th><th>破断面積 (inch²)</th></tr> </thead> <tbody> <tr> <td>3FT-601, 611</td><td>0.020×2 箇所 (弁1個あたり) [0.044×2 箇所 (弁1個あたり)] ^{*1}</td></tr> <tr> <td>3FT-604</td><td>— [0.044×2 箇所] ^{*1}</td></tr> <tr> <td>3FT-614^{*3}</td><td>0.020×2 箇所 [0.044×2 箇所] ^{*1}</td></tr> <tr> <td>3PT-601, 611</td><td>—</td></tr> <tr> <td>3PI-600, 610</td><td>0.031 [0.044] ^{*1}</td></tr> </tbody> </table>	弁番号 ^{*2}	破断面積 (inch ²)	3FT-601, 611	0.020×2 箇所 (弁1個あたり) [0.044×2 箇所 (弁1個あたり)] ^{*1}	3FT-604	— [0.044×2 箇所] ^{*1}	3FT-614 ^{*3}	0.020×2 箇所 [0.044×2 箇所] ^{*1}	3PT-601, 611	—	3PI-600, 610	0.031 [0.044] ^{*1}	<table border="1"> <thead> <tr> <th>弁番号</th><th>破断面積 (inch²)</th></tr> </thead> <tbody> <tr> <td>3FT-601, 611</td><td>0.02×2 箇所 (弁1個あたり)</td></tr> <tr> <td>3FT-604, 614</td><td>0.02×2 箇所 (弁1個あたり)</td></tr> <tr> <td>3PI-600, 610</td><td>0.03</td></tr> </tbody> </table> <p style="text-align: right;">合計 0.11 inch²</p>	弁番号	破断面積 (inch ²)	3FT-601, 611	0.02×2 箇所 (弁1個あたり)	3FT-604, 614	0.02×2 箇所 (弁1個あたり)	3PI-600, 610	0.03	
弁番号 ^{*2}	破断面積 (inch ²)																					
3FT-601, 611	0.020×2 箇所 (弁1個あたり) [0.044×2 箇所 (弁1個あたり)] ^{*1}																					
3FT-604	— [0.044×2 箇所] ^{*1}																					
3FT-614 ^{*3}	0.020×2 箇所 [0.044×2 箇所] ^{*1}																					
3PT-601, 611	—																					
3PI-600, 610	0.031 [0.044] ^{*1}																					
弁番号	破断面積 (inch ²)																					
3FT-601, 611	0.02×2 箇所 (弁1個あたり)																					
3FT-604, 614	0.02×2 箇所 (弁1個あたり)																					
3PI-600, 610	0.03																					
<p>*1. []内は大飯4号炉を示す。</p> <p>*2. 4号の機器及び弁番号のユニット番号については3→4と読み替えるものとする。</p> <p>*3. 計器入口弁のうち3FT-614は余熱除去系統のB系統に設置されているが、保守的にA系統でISLOCAが発生した場合にも破断面積に含める。</p> <p>c. その他の弁</p> <p>ペント弁、ドレン弁、計器隔離弁及びサンプル弁については、ISLOCA発生時の圧力(15.4MPa)を上回る圧力で耐圧試験を実施しており、破損せず漏えいは発生しない。</p> <p>ペント弁、ドレン弁、計器隔離弁及びサンプル弁の耐圧試験圧力を下表に示す。</p> <table border="1"> <thead> <tr> <th></th><th>ペント弁 ドレン弁</th><th>計器隔離弁</th><th>サンプル弁</th></tr> </thead> <tbody> <tr> <td>耐圧試験 圧力</td><td>15.49 MPa</td><td>46.58 MPa</td><td>46.58 MPa</td></tr> </tbody> </table> <p>(5) 余熱除去系統配管</p> <p>配管の構成部品のうちISLOCA発生時に漏えいが発生すると想定される部位は、管及びフランジ部があり、それらについて評価した。</p> <p>(別紙3.1.5参照)</p> <p>a. 管</p>		ペント弁 ドレン弁	計器隔離弁	サンプル弁	耐圧試験 圧力	15.49 MPa	46.58 MPa	46.58 MPa	<p>c. その他の弁</p> <p>ペント弁、ドレン弁、計器隔離弁、サンプル弁及び一部のプロセス弁(3V-RH-006A、B、3V-RH-008A、B)については、ISLOCA発生時の圧力(15.4MPa)を上回る圧力で耐圧試験を実施しており、破損せず漏えいは発生しない。</p> <p>ペント弁、ドレン弁、計器隔離弁、サンプル弁及び一部のプロセス弁(3V-RH-006A、B、3V-RH-008A、B)の耐圧試験圧力を下表に示す。</p> <table border="1"> <thead> <tr> <th></th><th>ペント弁 ドレン弁</th><th>計器隔離 弁</th><th>サンプル 弁</th><th>プロセス弁 (3V-RH-006A、B 3V-RH-008A、B)</th></tr> </thead> <tbody> <tr> <td>耐圧試験 圧力</td><td>15.49 MPa 以上</td><td>46.51 MPa</td><td>15.49 MPa 以上</td><td>15.49 MPa 以上</td></tr> </tbody> </table> <p>(5) 余熱除去系統配管</p> <p>配管の構成部品のうちISLOCA発生時に漏えいが発生すると想定される部位は、管及びフランジ部があり、それらについて評価した。</p> <p>(別紙-5参照)</p> <p>a. 管</p> <p>3V-RH-062A、B(RWSP／再循環サンプル側入口逃がし弁)が設置されている区間は、同弁と余熱除去系の母管の間に逆止弁がある事、逆止弁のシートリークによる漏えい量が少ないことは出荷前の試験で確認されている事、逆止弁のシートリークが生じても逃がし弁が吹き出すことで加圧された状態は緩和されることから、設計圧力を超えることはないと考えられる。従って、RWSP／再循環サンプル側入口逃がし弁に接続される配管は評価対象範囲から除外する。</p>		ペント弁 ドレン弁	計器隔離 弁	サンプル 弁	プロセス弁 (3V-RH-006A、B 3V-RH-008A、B)	耐圧試験 圧力	15.49 MPa 以上	46.51 MPa	15.49 MPa 以上	15.49 MPa 以上	<p>設計の相違</p> <p>設計の相違</p>		
	ペント弁 ドレン弁	計器隔離弁	サンプル弁																			
耐圧試験 圧力	15.49 MPa	46.58 MPa	46.58 MPa																			
	ペント弁 ドレン弁	計器隔離 弁	サンプル 弁	プロセス弁 (3V-RH-006A、B 3V-RH-008A、B)																		
耐圧試験 圧力	15.49 MPa 以上	46.51 MPa	15.49 MPa 以上	15.49 MPa 以上																		

泊発電所 3 号炉 有効性評価 比較表

7.1.8 格納容器バイパス (添付資料 7.1.8.4 インターフェイスシステム LOCA 発生時の余熱除去系統の破断箇所及び破断面積について)

赤字 : 設備、運用又は体制の相違（設計方針の相違）
青字 : 記載箇所又は記載内容の相違（記載方針の相違）
緑字 : 記載表現、設備名称の相違（実質的な相違なし）

大飯発電所 3 / 4 号炉		泊発電所 3 号炉		相違理由																		
評価対象範囲内の配管は、クラス 2 配管とクラス 3 配管（3 号炉：逃がし弁 3V-RH-042A、B、3V-RH-004A、B 下流の配管、4 号炉：逃がし弁 4V-RH-042A、B、4V-RH-004A、B 下流の配管）から構成されている。クラス 2 配管については、「設計・建設規格」の「PPC-3530 供用状態 A および B における一次+二次応力制限」を適用し、ISLOCA 発生時の圧力・温度条件下における一次+二次合計応力及び許容応力を算出した。その結果、下表のとおり、一次+二次合計応力が許容応力を超える箇所がある。最大の一次+二次合計応力を下表に示す。		評価対象範囲内の配管は、クラス 2 配管とクラス 3 配管（逃がし弁 3V-RH-027A、B、3V-RH-004A、B 下流の配管及び逆止弁 3V-RH-008A、B 上流の配管）から構成されている。クラス 2 配管については、「設計・建設規格」の「PPC-3530 供用状態 A および B における一次+二次応力制限」を適用し、ISLOCA 発生時の圧力・温度条件下における一次+二次合計応力及び許容応力を算出した。その結果、下表のとおり、最大の一次+二次合計応力は許容応力以下であり、管は破損せず漏えいは発生しないことを確認した。																				
<table border="1"> <thead> <tr> <th>評価部位</th><th>号炉</th><th>一次+二次合計応力 (最大値)</th><th>許容応力</th></tr> </thead> <tbody> <tr> <td rowspan="2">管</td><td>3 号炉</td><td>458MPa</td><td>298MPa</td></tr> <tr> <td>4 号炉</td><td>458MPa</td><td>298MPa</td></tr> </tbody> </table>	評価部位	号炉	一次+二次合計応力 (最大値)	許容応力	管	3 号炉	458MPa	298MPa	4 号炉	458MPa	298MPa		<table border="1"> <thead> <tr> <th>評価部位</th><th>一次+二次合計応力</th><th>許容応力</th></tr> </thead> <tbody> <tr> <td rowspan="2">管</td><td>202～295MPa</td><td>298MPa</td></tr> <tr> <td>227～232MPa</td><td>310MPa</td></tr> </tbody> </table>	評価部位	一次+二次合計応力	許容応力	管	202～295MPa	298MPa	227～232MPa	310MPa	
評価部位	号炉	一次+二次合計応力 (最大値)	許容応力																			
管	3 号炉	458MPa	298MPa																			
	4 号炉	458MPa	298MPa																			
評価部位	一次+二次合計応力	許容応力																				
管	202～295MPa	298MPa																				
	227～232MPa	310MPa																				
このため、設計・建設規格の「PPC-1210 クラス 2 配管の材料および構造の特例」を適用して「PPB-1000 クラス 1 配管」の「PPB-3536 簡易弾塑性解析」に基づく繰返しピーク応力強さが、材料ごとに定められる 10 回の許容繰返し回数に対応する繰返しピーク応力強さの値を超えないことから、配管の変形が延性破壊に至らない程度であることを確認した。																						
PPB-3536 の規定に基づく評価結果を下表に示す。																						
<table border="1"> <thead> <tr> <th>評価部位</th><th>号路</th><th>繰返しピーク応力強さ (最大値)</th><th>許容応力^{*1}</th></tr> </thead> <tbody> <tr> <td rowspan="2">管</td><td>3 号炉</td><td colspan="2" style="background-color: black; color: black;">[Redacted]</td></tr> <tr> <td>4 号炉</td><td colspan="2" style="background-color: black; color: black;">[Redacted]</td></tr> </tbody> </table>	評価部位	号路	繰返しピーク応力強さ (最大値)	許容応力 ^{*1}	管	3 号炉	[Redacted]		4 号炉	[Redacted]												
評価部位	号路	繰返しピーク応力強さ (最大値)	許容応力 ^{*1}																			
管	3 号炉	[Redacted]																				
	4 号炉	[Redacted]																				
*1. 許容応力は、設計・建設規格 付録材料図 表 Part8 図 2 における 10 回の許容繰返し回数に対応する許容繰返しピーク応力強さ。																						
<div style="border: 1px dashed black; padding: 2px; display: inline-block;">枠囲みの範囲は機密に係る事項ですので公開することはできません。</div>																						
クラス 3 配管については、設計・建設規格の中でクラス 2 配管のように熱により発生する応力を考慮した応力計算の規定はないことから、内圧及び熱の影響が最も厳しくなる配管を選定し、一般的な評価手法を用いて内圧、自重、及び熱の影響による歪量を算出した。その結果、下表のとおり、発生歪量は日本工業規格 JIS G 3459(2004)「配管用ステンレス鋼管」(以下、「JIS G 3459」という。)で材料に要求される引張り強さに相当する歪量（以下、「許容歪量」という。）以下であり、管は破損せず漏えいは発生しないことを確認した。		クラス 3 配管については、設計・建設規格の中でクラス 2 配管のように熱により発生する応力を考慮した応力計算の規定はないことから、内圧及び熱の影響が最も厳しくなる配管を選定し、一般的な評価手法を用いて内圧、自重、及び熱の影響による歪量を算出した。その結果、下表のとおり、発生歪量は日本工業規格 JIS G 3459(2004)「配管用ステンレス鋼管」(以下、「JIS G 3459」という。)で材料に要求される引張り強さに相当する歪量（以下、「許容歪量」という。）以下であり、管は破損せず漏えいは発生しないことを確認した。																				

泊発電所3号炉 有効性評価 比較表

7.1.8 格納容器バイパス (添付資料 7.1.8.4 インターフェイスシステム LOCA 発生時の余熱除去系統の破断箇所及び破断面積について)

赤字：設備、運用又は体制の相違（設計方針の相違）
青字：記載箇所又は記載内容の相違（記載方針の相違）
緑字：記載表現、設備名称の相違（実質的な相違なし）

大飯発電所3／4号炉			泊発電所3号炉			相違理由																									
評価部位	発生歪量	許容歪量	評価部位	発生歪量	許容歪量																										
管	6%	19%	管	5%	19%																										
b. フランジ部																															
<p>フランジ部については、設計・建設規格の「PPC-3414 フランジ」を適用して算出したフランジ応力算定用圧力からフランジボルトの伸び量を算出した。また、フランジとフランジボルトの熱伸び量を算出した。その結果、下表のとおり、圧力と熱によるフランジボルトの伸び量から熱によるフランジ部の伸び量を差し引いた伸び量はガスケットの復元量^{*2}以下であり、有意な漏えいは発生しないことを確認した。また、合計伸び量がマイナスの場合は、ガスケットの圧縮量が増加することになるため、ガスケットの初期圧縮量に合計伸び量を加えた合計圧縮量が最大圧縮量^{*3}以下であることを確認した。</p> <p>*1. ガスケットの最大圧縮量 [REDACTED] は、ガスケットを圧縮させ、性能に影響がないことをメーカ試験によって確認した値。</p> <table border="1"> <thead> <tr> <th>評価部位</th><th>伸び量</th><th>ガスケットの復元量</th><th>ガスケットの初期圧縮量</th><th>ガスケットの合計圧縮量</th><th>ガスケットの最大圧縮量^{*3}</th></tr> </thead> <tbody> <tr> <td rowspan="4">フランジ部</td><td>-0.12～ -0.14mm</td><td>[REDACTED]</td><td>[REDACTED]</td><td>[REDACTED]</td><td>[REDACTED]</td></tr> <tr> <td>-0.06、 -0.08mm</td><td>[REDACTED]</td><td>[REDACTED]</td><td>[REDACTED]</td><td>[REDACTED]</td></tr> <tr> <td>-0.01、 0.001mm</td><td>[REDACTED]</td><td>[REDACTED]</td><td>[REDACTED]</td><td>[REDACTED]</td></tr> <tr> <td></td><td>[REDACTED]</td><td>[REDACTED]</td><td>[REDACTED]</td><td>[REDACTED]</td></tr> </tbody> </table> <p>*2. ガスケットに締付面圧を加えていくと弾性変形が生じ、更に締付面圧を加えていくと塑性変形が生じる。塑性変形したガスケットの締付面圧を緩和した場合、弹性領域分のみが復元する性質がある。フランジ部のシールのため、ガスケットには塑性領域まで締付面圧を加えて初期圧縮を加えており、締付面圧緩和時に弹性領域分の復元が生じる。ガスケットの復元量 [REDACTED] は、メーカ試験によつて確認した値。</p> <p>*3. ガスケットの最大圧縮量 [REDACTED] は、ガスケットを圧縮させ、性能に影響がないことをメーカ試験によって確認した値。</p> <p>以上のとおり、実機における余熱除去系統（実機）の破断面積について評価した。その結果を表2に整理する。また、漏えいが発生すると想定される機器について図14に示す。</p> <p>[REDACTED]枠囲みの範囲は機密に係る事項ですので公開することはできません。</p>	評価部位	伸び量	ガスケットの復元量	ガスケットの初期圧縮量	ガスケットの合計圧縮量	ガスケットの最大圧縮量 ^{*3}	フランジ部	-0.12～ -0.14mm	[REDACTED]	[REDACTED]	[REDACTED]	[REDACTED]	-0.06、 -0.08mm	[REDACTED]	[REDACTED]	[REDACTED]	[REDACTED]	-0.01、 0.001mm	[REDACTED]	[REDACTED]	[REDACTED]	[REDACTED]		[REDACTED]	[REDACTED]	[REDACTED]	[REDACTED]	<p>フランジ部については、設計・建設規格の「PPC-3414 フランジ」を適用して算出したフランジ応力算定用圧力からフランジボルトの伸び量を算出した。また、フランジとフランジボルトの熱伸び量を算出した。その結果、下表のとおり、圧力と熱によるフランジボルトの伸び量から熱によるフランジ部の伸び量を差し引いた伸び量は全てマイナスとなった。伸び量がマイナスの場合は、ガスケットの圧縮量が増加することになる。ガスケットの初期圧縮量に伸び量を加えた合計圧縮量が最大圧縮量^{*1}以下であり、フランジ部は破損せず漏えいは発生しないことを確認した。</p> <p>*1. ガスケットの最大圧縮量 [REDACTED] は、ガスケットを圧縮させ、性能に影響がないことをメーカ試験によって確認した値。</p> <p>[REDACTED]枠囲みの内容は機密情報に属しますので公開できません。</p> <p>以上のとおり、実機における余熱除去系統（実機）の破断面積について評価した。その結果を表2に整理する。また、漏えいが発生すると想定される機器について図16に示す。</p>			設計の相違 記載箇所の相違
評価部位	伸び量	ガスケットの復元量	ガスケットの初期圧縮量	ガスケットの合計圧縮量	ガスケットの最大圧縮量 ^{*3}																										
フランジ部	-0.12～ -0.14mm	[REDACTED]	[REDACTED]	[REDACTED]	[REDACTED]																										
	-0.06、 -0.08mm	[REDACTED]	[REDACTED]	[REDACTED]	[REDACTED]																										
	-0.01、 0.001mm	[REDACTED]	[REDACTED]	[REDACTED]	[REDACTED]																										
		[REDACTED]	[REDACTED]	[REDACTED]	[REDACTED]																										

赤字：設備、運用又は体制の相違（設計方針の相違）
 青字：記載箇所又は記載内容の相違（記載方針の相違）
 緑字：記載表現、設備名称の相違（実質的な相違なし）

7.1.8 格納容器バイパス (添付資料 7.1.8.4 インターフェイスシステム LOCA 発生時の余熱除去系統の破断箇所及び破断面積について)

泊発電所 3 号炉 有効性評価 比較表

大飯発電所 3 / 4 号炉

表 2 大飯 3 / 4 号炉 余熱除去系統（実機）の破断面積について

実機評価 (inch ²)		実機評価の整理
破断面積	余熱除去冷却器 0.28	<ul style="list-style-type: none"> ・管側鋼板、管板、管側出入口管台、管板及び伝熱管の最小厚さは必要な最小厚さを上回っており、漏えいは発生しない。 ・管側出入口管台の強度に有効な面積は補強に必要な面積を上回っており、漏えいは発生しない。 ・管側鋼板の許容応力は許容応力以下であり、漏えいは発生しない。 ・管側鋼板と管板の接合部については、1次冷却材系統の圧力・温度条件下においてもガスケットは機械的・物理的に強度を保持する。余熱除去系統の中のガスケットは予想される破断箇所の強さを上回っており、漏えいは発生しない。 ・ガスケットの耐久性が最も大きいと考えられるところから、ISLOCA 発生時の圧力・温度条件下におけるボルト、フランジ及び蓋板の伸び量の合計分岐間が開き漏えいが発生するものと想定して、破断面積を算出した。
	余熱除去ポンプ 0	<ul style="list-style-type: none"> ・ケーシング、管台、ケーシングカバーの最小厚さは必要な最小厚さを上回っており、漏えいは発生しない。 ・ケーシングボルトの発生応力は許容応力以下であり、漏えいは発生しない。 ・ボンネットナットの座面面圧とケーシングとケーシングカバーの合わせ面の面圧は、許容応力以下であり、漏えいは発生しない。 ・メカニカルシールのシールリングの評価面圧、O リングの評価温度は許容値を満足しており、有意な漏えいは発生しない。
	逃がし弁 0	<ul style="list-style-type: none"> ・弁座及び弁本体の軸座部の最小厚さは必要な最小厚さを上回っており、漏えいは発生しない。 ・弁体の発生応力は許容応力以下であり、漏えいは発生しない。 ・ボンネットナットの座面面圧はガスケットの復元量以下であり、有意な漏えいは発生しない。 ・ボンネットナット座面面圧とボンネットフランジと弁箱フランジの合わせ面の面圧は、許容応力以下であり、漏えいは発生しない。
	プロセス弁 ^{a1} 0.22	<ul style="list-style-type: none"> ・弁座及び弁本体の軸座部の最小厚さは必要な最小厚さを上回っており、漏えいは発生しない。 ・弁本体の軸座部の最小厚さは必要な最小厚さを上回っており、漏えいは発生しない。 ・ボンネットナットの座面面圧はガスケットの復元量以下であり、有意な漏えいは発生しない。 ・ボンネットナット座面面圧とボンネットフランジと弁箱フランジの合わせ面の面圧は、許容応力以下であり、漏えいは発生しない。
	計器入口弁 ^{a2} (計器本体を含む) 0.11 [0.22] ^{a3}	<ul style="list-style-type: none"> ・計器入口弁は ISLOCA 発生時の圧力を上回る圧力で耐圧試験を実施しており破損しないが、計器本体は耐圧試験圧力が ISLOCA 発生時の圧力よりも低いものがあり、それらは破損し漏えいが発生する可能性がある。このことから、破損する可能性のある計器の計器入口弁の内径から破断面積を算出した。
	その他の弁 0	<ul style="list-style-type: none"> ・ISLOCA 発生時の圧力を上回る圧力で耐圧試験を実施しており、漏えいは発生しない。 ・管の発生応力は許容応力以下であり、漏えいは発生しない。
余熱除去系統配管	0	<ul style="list-style-type: none"> ・管の発生応力は許容応力以下であり、漏えいは発生しない。 ・フランジ部のガスケットの合計圧縮量はガスケットの最大圧縮量以下であり、漏えいは発生しない。

*1. プロセス弁のうち、3V-RH-061 は余熱除去系統の A 系統に設置されているが、保守的に B 系統で ISLOCA が発生した場合にも破断面積に含める。

*2. [] 内は大飯 4 号炉を示す。

*3. 計器入口弁のうち、3FT-614 は余熱除去系統の B 系統に設置されているが、保守的に A 系統で ISLOCA が発生した場合にも破断面積に含める。

泊発電所 3 号炉

表 2 泊 3 号炉 余熱除去系統（実機）の破断面積について

実機評価 (inch ²) (cm ²)		実機評価の整理
破断面積	余熱除去冷却器 0.07 (約 0.45)	<ul style="list-style-type: none"> ・管側鋼板、管板、管側出入口管台、管板及び伝熱管の最小厚さは必要な最小厚さを上回っており、漏えいは発生しない。 ・管側出入口管台及びマンホール管台の強度に有効な面積は補強に必要な面積を上回っており、漏えいは発生しない。 ・管側鋼板の許容応力は許容応力以下であり、漏えいは発生しない。 ・管側出入口管台及びマンホール管台の接合部については、1 次冷却材系統の圧力・温度条件下においてもガスケットは機械的・物理的に強度を保持する。余熱除去系統の中のガスケットは予想される破断箇所の強さを上回っており、漏えいは発生しない。 ・ガスケットの耐久性が最も大きいと考えられるところから、ISLOCA 発生時の圧力・温度条件下におけるボルト、フランジ及び蓋板の伸び量の合計分岐間が開き漏えいが発生するものと想定して、破断面積を算出した。
	余熱除去ポンプ 0	<ul style="list-style-type: none"> ・ケーシング、管台、ケーシングカバーの最小厚さを上回っており、漏えいは発生しない。 ・ケーシングボルトの発生応力は許容応力以下であり、漏えいは発生しない。 ・ケーシングボルトの伸び量からケーシングカバーの伸び量を差し引いた伸び量はガスケットの復元量以下であり、有意な漏えいは発生しない。 ・メカニカルシールのシールリングの評価面圧、O リングの耐熱温度は ISLOCA 発生時の圧力・温度条件下におけるボルト、フランジ及び蓋板の伸び量の合計分岐間が開き漏えいが発生するものと想定して、破断面積を算出した。
	逃がし弁 0	<ul style="list-style-type: none"> ・弁座及び弁本体の軸座部の最小厚さは必要な最小厚さを上回っており、漏えいは発生しない。 ・弁体の発生応力は許容応力以下であり、漏えいは発生しない。 ・ボンネットナットの座面面圧はガスケットの復元量以下であり、有意な漏えいは発生しない。 ・ボンネットナット座面面圧とボンネットフランジとペローズの合わせ面の面圧は、許容応力以下であり、漏えいは発生しない。
	プロセス弁 ^{a1} 0.38 (約 2.45)	<ul style="list-style-type: none"> ・弁座及び弁本体の軸座部の最小厚さは必要な最小厚さを上回っており、漏えいは発生しない。 ・弁体の発生応力は許容応力以下であり、漏えいは発生しない。 ・ボンネットナットの座面面圧はガスケットの復元量以下であり、有意な漏えいは発生しない。 ・ボンネットナット座面面圧とボンネットフランジとペローズの合わせ面の面圧は、許容応力以下であり、漏えいは発生しない。
	計器入口弁 ^{a2} (計器本体を含む) 0.11 (約 0.71)	<ul style="list-style-type: none"> ・計器入口弁は ISLOCA 発生時の圧力を上回る圧力で耐圧試験を実施しており破損しないが、計器本体は耐圧試験圧力が ISLOCA 発生時の圧力よりも低いものがあり、それらは破損し漏えいが発生する可能性がある。このことから、破損する可能性のある計器の計器入口弁の内径から破断面積を算出した。
	その他の弁 0	<ul style="list-style-type: none"> ・ISLOCA 発生時の圧力を上回る圧力で耐圧試験を実施しており、漏えいは発生しない。 ・管の発生応力は許容応力以下であり、漏えいは発生しない。
余熱除去系統配管	0	<ul style="list-style-type: none"> ・管の発生応力は許容応力以下であり、漏えいは発生しない。 ・フランジ部のガスケットの合計圧縮量はガスケットの最大圧縮量以下であり、漏えいは発生しない。

*1. プロセス弁のうち、3V-RH-061 は余熱除去系統の A 系統に設置されているが、保守的に B 系統で ISLOCA が発生した場合にも破断面積に含める。

■ 漏えいが発生すると想定される機器

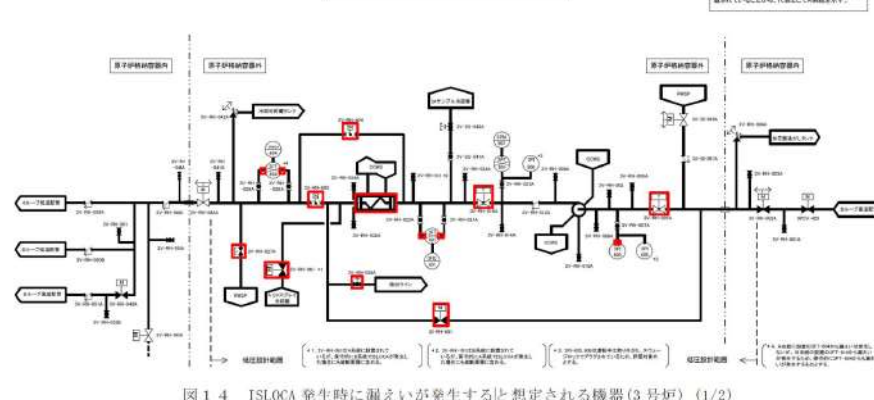


図 1-4 ISLOCA 発生時に漏えいが発生すると想定される機器(3号炉) (1/2)

■ 漏えいが発生すると想定される機器

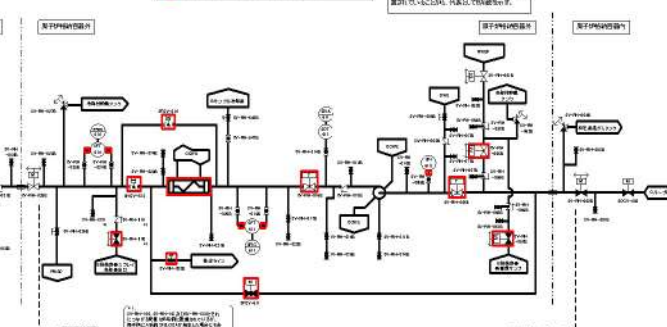
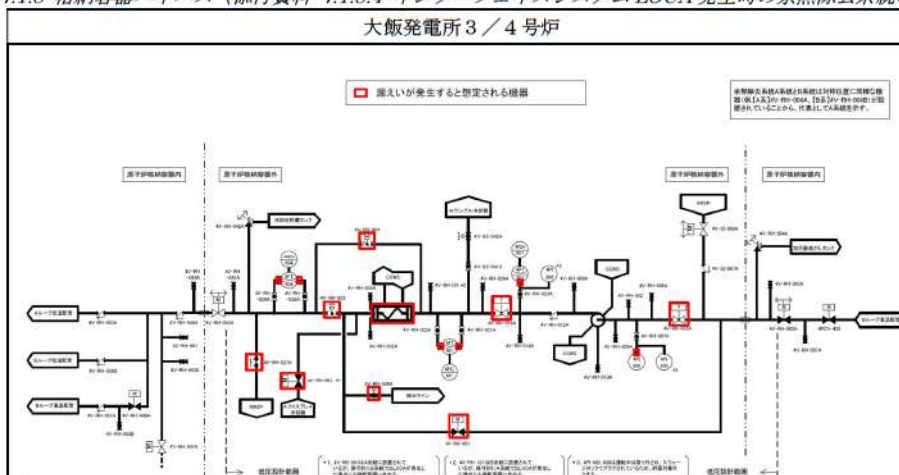


図 1-6 ISLOCA 発生時に漏えいが発生すると想定される機器

7.1.8 格納容器バイパス (添付資料 7.1.8.4 インターフェイスシステム LOCA 発生時の余熱除去系統の破断箇所及び破断面積について)

赤字 : 設備、運用又は体制の相違（設計方針の相違）
青字 : 記載箇所又は記載内容の相違（記載方針の相違）
緑字 : 記載表現、設備名称の相違（実質的な相違なし）

大飯発電所3／4号炉	泊発電所3号炉	相違理由
 <p>図 1.4 ISLOCA 発生時に漏えいが発生すると想定される機器(4号炉) (2/2)</p> <p>3. ISLOCA の有効性評価における解析条件について 3.1 破断口径の設定について ISLOCA 発生時、高温・高圧の 1 次冷却材が余熱除去系統に流入し、入口逃がし弁及び出口逃がし弁から流出するとともに、余熱除去冷却器のフランジ部や弁のグランド部等から高温・高圧の 1 次冷却材が大気圧状態の環境に臨界流となって流出することが想定される。 ISLOCA の有効性評価に用いた解析コード M-RELAP5において、サブクール条件の臨界流に Henry-Fauske の式を、二相条件の臨界流に Moody の式を用いている。Henry-Fauske の式の適用性については、Henry-Fauske の式を用いて算出した流量が各種の試験値とよく一致することが確認されている。Moody の式で算出した流量については、二相条件の臨界流に対し、実際に生ずると思われる流量の 1.6 ~ 1.7 倍に相当し、保守的な評価ができるモデルとして知られている。</p> <p>また、ISLOCA の有効性評価に使用した解析コード M-RELAP5 の適用性については、実機を模擬した大型試験装置である Marviken 試験装置で、様々な試験条件（原子炉容器から開口部までの距離と開口部の直径との比、サブクール度等）で臨界流試験が実施されており、M-RELAP5 で算出した質量流量が、サブクール条件では、試験データの質量流量とよく一致すること、及び二相条件では試験データの質量流量より多い保守的な値となることが確認されている。（平成 25 年 12 月 17 日 PWR4 社審査会合資料「重大事故等対策の有効性評価に係るシビアアクシデント解析コードについて（第 1 部 M-RELAP5）」参照）</p>	<p>3. ISLOCA の有効性評価における解析条件について 3.1 破断口径の設定について ISLOCA 発生時、高温・高圧の 1 次冷却材が余熱除去系統に流入し、入口逃がし弁及び出口逃がし弁から流出するとともに、余熱除去冷却器のマンホール管台フランジ部や弁のグランド部等から高温・高圧の 1 次冷却材が大気圧状態の環境に臨界流となって流出することが想定される。 ISLOCA の有効性評価に用いた解析コード M-RELAP5において、サブクール条件の臨界流に Henry-Fauske の式を、二相条件の臨界流に Moody の式を用いている。サブクール条件の臨界流については、流量は破断面積に比例すること、及び Henry-Fauske の式を用いて算出した流量がサブクール条件各種の試験値とよく一致することが確認されている。二相条件の臨界流についても、Marviken 臨界流試験により、流量は破断面積に比例することが確認されている。（参考資料-4） また、Moody の式で算出した流量については、二相条件の臨界流に対し、実際に生ずると思われる流量の 1.6 ~ 1.7 倍に相当し、保守的な評価ができるモデルとして知られている。（昭和 56 年 7 月 20 日原子力安全委員会決定「軽水型動力炉の非常用炉心冷却系の性能評価指針について」参照） また、ISLOCA の有効性評価に使用した解析コード M-RELAP5 の適用性については、実機を模擬した大型試験装置である Marviken 試験装置で、様々な試験条件（原子炉容器から開口部までの距離と開口部の直径との比、サブクール度等）で臨界流試験が実施されており、サブクール条件下では、試験データの質量流量が、Henry-Fauske の式を用いて算出した流量とよく一致すること、及び二相条件では試験データの質量流量に対し Moody の式を用いて算出した流量は、保守的に評価できることが確認されている。（平成 25 年 12 月 17 日 PWR4 社審査会合資料「重大事故等対策の有効性評価に係るシビアアクシデント解析コードについて（第 1 部 M-RELAP5）」参照）</p>	<p>設計の相違</p> <p>記載表現の相違</p>

泊発電所 3 号炉 有効性評価 比較表

7.1.8 格納容器バイパス (添付資料 7.1.8.4 インターフェイスシステム LOCA 発生時の余熱除去系統の破断箇所及び破断面積について)

赤字 : 設備、運用又は体制の相違 (設計方針の相違)
青字 : 記載箇所又は記載内容の相違 (記載方針の相違)
緑字 : 記載表現、設備名称の相違 (実質的な相違なし)

大飯発電所 3 / 4 号炉	泊発電所 3 号炉	相違理由
<p>解析で用いている Henry-Fauske の式及び Moody の式においては、その流量は破断箇所の形状に依存せず、漏えいが発生する箇所の面積（以下、余熱除去冷却器のフランジ部や弁のグランド部の隙間部等からの漏えいが発生する箇所の面積を「破断面積」という。）に依存（比例）する。</p> <p>このことから、ISLOCA の有効性評価においては、逃がし弁を除いて、余熱除去系統の各機器の破断面積を加算した値を解析条件として設定した。</p> <p>3.2 破断面積の設定について</p> <p>破断面積については、ISLOCA 発生時の条件（静加圧条件）、及び過去の知見から、NUPEC 報告書の代表プラントの値を参考に設定した。</p> <p>NUPEC 報告書では、余熱除去系入口第 1 隔離弁及び第 2 隔離弁が 0.1 秒で同時に開放するものと仮定しており、圧力波の影響を考慮して、機器の破断面積を算出している。本破断面積は、高圧設計の弁が瞬時に全開になるとともに、全ての余熱除去逃がし弁の不作動という、発生が考えられない状況を仮定したうえで、理論的に算出した場合の最大のものであり、漏えい量を多く見積もることとなる。</p> <p>2.2 で述べたとおり、実機で想定される破断面積は、NUPEC 報告書を参考に算出した弁、余熱除去ポンプ及び余熱除去冷却器の破断面積に比べ小さいが、ISLOCA の有効性評価においては、保守的に NUPEC 報告書に基づく破断面積を解析条件とした。具体的には以下のとおりである。</p> <p>(1) 余熱除去系統配管</p> <p>ISLOCA 発生時の圧力・温度条件下において配管に発生する応力は許容応力を下回ることから、NUPEC 報告書と同様に漏えいは想定していない。また、フランジ部についても、フランジボルトの伸び量はガスケットの復元量以下であり、漏えいは想定していない。</p> <p>(2) 余熱除去系統の機器</p> <p>余熱除去系統の機器の破損による漏えいについては、NUPEC 報告書において、ISLOCA の起因事象となる余熱除去系低圧配管の破断面積の特定を目的として代表 PWR プラントを対象とした検討がなされており、等価直径を 1.12inch としている。代表 PWR プラントと大飯 3 / 4 号炉 の余熱除去系統を比較すると、表 3 に示すとおり主配管の仕様はほぼ同じであり機器仕様もほぼ同じであることから、NUPEC 報告書の破断面積を大飯 3 / 4 号炉 に適用することが可能であることから、次のとおりとした。</p> <p>弁の破断面積については、実機は 0.44 inch^2 であり、NUPEC 報告書における代表プラントでは 0.55 inch^2 としている。ISLOCA 解析においては、保守的に代表プラントと同じ 0.55 inch^2 とした。</p> <p>余熱除去ポンプの破断面積については、実機では各部位は破損せず有意な漏えいは発生しないと考えられるが、保守的に NUPEC 報告書における代表プラントの破断面積と同じ 0.05 inch^2 とした。</p> <p>余熱除去冷却器の破断面積については、実機の破断面積は 0.28 inch^2 であるが、保守的に NUPEC 報告書における代表プラントの破断面積と同じ 0.39 inch^2 とした。</p> <p>前述した通り、漏えいは臨界流の状態であり、流量は破断面積に比例することから、余熱除去系統の機器の破断面積を合計し、その値から等価直径を 1.15 inch と算出した。</p> <p>3.2 破断面積から算出した等価直径の設定について</p> <p>破断面積については、ISLOCA 発生時の条件（静加圧条件）、及び過去の知見から、NUPEC 報告書の代表プラントの値を参考に設定した。</p> <p>NUPEC 報告書では、余熱除去系入口第 1 隔離弁及び第 2 隔離弁が 0.1 秒で同時に開放するものと仮定しており、圧力波の影響を考慮して、機器の破断面積を算出している。本破断面積は、高圧設計の弁が瞬時に全開になるとともに、全ての余熱除去逃がし弁の不作動という、発生が考えられない状況を仮定したうえで、理論的に算出した場合の最大のものであり、漏えい量を多く見積もることとなる。</p> <p>2.2 で述べたとおり、実機で想定される破断面積は、NUPEC 報告書を参考に算出した弁、余熱除去ポンプ及び余熱除去冷却器の破断面積に比べ小さいが、ISLOCA の有効性評価においては、保守的に NUPEC 報告書に基づく破断面積を解析条件とした。具体的には以下のとおりである。</p> <p>(1) 余熱除去系統配管</p> <p>ISLOCA 発生時の圧力・温度条件下において配管に発生する応力は許容応力を下回ることから、NUPEC 報告書と同様に漏えいは想定していない。また、フランジ部についても、フランジボルトの伸び量はガスケットの復元量以下であり、漏えいは想定していない。</p> <p>(2) 余熱除去系統の機器</p> <p>余熱除去系統の機器の破損による漏えいについては、NUPEC 報告書において、ISLOCA の起因事象となる余熱除去系低圧配管の破断面積の特定を目的として代表 PWR プラントを対象とした検討がなされており、等価直径を 1.12 inch としている。代表 PWR プラントと泊 3 号炉 の余熱除去系統を比較すると、表 3 に示すとおり主配管の仕様はほぼ同じであり機器仕様もほぼ同じであることから、NUPEC 報告書の破断面積を泊 3 号炉 用に補正して適用することが可能であることから、次のとおりとした。</p> <p>弁の破断面積については、実機は 0.49 inch^2 であり、NUPEC 報告書における代表プラントでは 0.55 inch^2 としている。ISLOCA 解析においては、保守的に代表プラントの値を丸め 0.60 inch^2 とした。</p> <p>余熱除去ポンプの破断面積については、実機では各部位は破損せず有意な漏えいは発生しないと考えられるが、保守的に NUPEC 報告書における代表プラントの破断面積と同じ 0.05 inch^2 とした。</p> <p>余熱除去冷却器の破断面積については、実機の破断面積は 0.07 inch^2 であるが、保守的に NUPEC 報告書における代表プラントの破断面積と同じ 0.39 inch^2 とした。</p> <p>前述した通り、漏えいは臨界流の状態であり、流量は破断面積に比例することから、余熱除去系統の機器の破断面積を合計し、その値から等価直径を 1.15 inch と算出した。</p>		設計の相違

泊発電所 3 号炉 有効性評価 比較表

7.1.8 格納容器バイパス (添付資料 7.1.8.4 インターフェイスシステム LOCA 発生時の余熱除去系の破断箇所及び破断面積について)

赤字 : 設備、運用又は体制の相違 (設計方針の相違)
青字 : 記載箇所又は記載内容の相違 (記載方針の相違)
緑字 : 記載表現、設備名称の相違 (実質的な相違なし)

大飯発電所 3 / 4 号炉	泊発電所 3 号炉	相違理由																								
表 3 余熱除去系主配管の仕様																										
<table border="1"> <thead> <tr> <th></th> <th>NUPEC 報告書 (代表 PWR プラント)</th> <th>大飯 3 / 4 号炉</th> </tr> </thead> <tbody> <tr> <td>余熱除去ポンプ入口ライン CV 開通部～余熱除去ポンプ ・厚さ ・配管径 ・材料</td><td>10.3/12.7/11.1 mm 12/16/14 inch SUS304</td><td>10.3/12.7/11.1 mm 12/16/14 inch SUS304</td></tr> <tr> <td>余熱除去ポンプ～余熱除去冷却器 ・厚さ ・配管径 ・材料</td><td>10.3/9.3 mm 12/10 inch SUS304</td><td>10.3/9.3 mm 12/10 inch SUS304</td></tr> <tr> <td>余熱除去冷却器～格納容器外側隔離弁 ・厚さ ・配管径 ・材料</td><td>9.3 mm 10 inch SUS304</td><td>9.3 mm 10 inch SUS304</td></tr> </tbody> </table>		NUPEC 報告書 (代表 PWR プラント)	大飯 3 / 4 号炉	余熱除去ポンプ入口ライン CV 開通部～余熱除去ポンプ ・厚さ ・配管径 ・材料	10.3/12.7/11.1 mm 12/16/14 inch SUS304	10.3/12.7/11.1 mm 12/16/14 inch SUS304	余熱除去ポンプ～余熱除去冷却器 ・厚さ ・配管径 ・材料	10.3/9.3 mm 12/10 inch SUS304	10.3/9.3 mm 12/10 inch SUS304	余熱除去冷却器～格納容器外側隔離弁 ・厚さ ・配管径 ・材料	9.3 mm 10 inch SUS304	9.3 mm 10 inch SUS304	<table border="1"> <thead> <tr> <th></th> <th>NUPEC 報告書 (代表 PWR プラント)</th> <th>泊 3 号炉</th> </tr> </thead> <tbody> <tr> <td>余熱除去ポンプ入口ライン CV 開通部～余熱除去ポンプ 最高使用圧力 最高使用温度 厚さ 配管径 材料</td><td>4.5 MPa 200°C 10.3/12.7/11.1 mm 12/16/14 inch SUS304</td><td>4.5 MPa 200°C 10.3/12.7/11.1 mm 12/16/14 inch SUS304</td></tr> <tr> <td>余熱除去ポンプ～余熱除去冷却器 最高使用圧力 最高使用温度 厚さ 配管径 材料</td><td>4.5 MPa 200°C 10.3/9.3 mm 12/10 inch SUS304</td><td>4.5 MPa 200°C 9.3 mm 10 inch SUS304</td></tr> <tr> <td>余熱除去冷却器～格納容器外側隔離弁 最高使用圧力 最高使用温度 厚さ 配管径 材料</td><td>4.5 MPa 200°C 9.3 mm 10 inch SUS304</td><td>4.5 MPa 200°C 9.3 mm 10 inch SUS304</td></tr> </tbody> </table>		NUPEC 報告書 (代表 PWR プラント)	泊 3 号炉	余熱除去ポンプ入口ライン CV 開通部～余熱除去ポンプ 最高使用圧力 最高使用温度 厚さ 配管径 材料	4.5 MPa 200°C 10.3/12.7/11.1 mm 12/16/14 inch SUS304	4.5 MPa 200°C 10.3/12.7/11.1 mm 12/16/14 inch SUS304	余熱除去ポンプ～余熱除去冷却器 最高使用圧力 最高使用温度 厚さ 配管径 材料	4.5 MPa 200°C 10.3/9.3 mm 12/10 inch SUS304	4.5 MPa 200°C 9.3 mm 10 inch SUS304	余熱除去冷却器～格納容器外側隔離弁 最高使用圧力 最高使用温度 厚さ 配管径 材料	4.5 MPa 200°C 9.3 mm 10 inch SUS304	4.5 MPa 200°C 9.3 mm 10 inch SUS304	
	NUPEC 報告書 (代表 PWR プラント)	大飯 3 / 4 号炉																								
余熱除去ポンプ入口ライン CV 開通部～余熱除去ポンプ ・厚さ ・配管径 ・材料	10.3/12.7/11.1 mm 12/16/14 inch SUS304	10.3/12.7/11.1 mm 12/16/14 inch SUS304																								
余熱除去ポンプ～余熱除去冷却器 ・厚さ ・配管径 ・材料	10.3/9.3 mm 12/10 inch SUS304	10.3/9.3 mm 12/10 inch SUS304																								
余熱除去冷却器～格納容器外側隔離弁 ・厚さ ・配管径 ・材料	9.3 mm 10 inch SUS304	9.3 mm 10 inch SUS304																								
	NUPEC 報告書 (代表 PWR プラント)	泊 3 号炉																								
余熱除去ポンプ入口ライン CV 開通部～余熱除去ポンプ 最高使用圧力 最高使用温度 厚さ 配管径 材料	4.5 MPa 200°C 10.3/12.7/11.1 mm 12/16/14 inch SUS304	4.5 MPa 200°C 10.3/12.7/11.1 mm 12/16/14 inch SUS304																								
余熱除去ポンプ～余熱除去冷却器 最高使用圧力 最高使用温度 厚さ 配管径 材料	4.5 MPa 200°C 10.3/9.3 mm 12/10 inch SUS304	4.5 MPa 200°C 9.3 mm 10 inch SUS304																								
余熱除去冷却器～格納容器外側隔離弁 最高使用圧力 最高使用温度 厚さ 配管径 材料	4.5 MPa 200°C 9.3 mm 10 inch SUS304	4.5 MPa 200°C 9.3 mm 10 inch SUS304																								
(3) 逃がし弁 入口逃がし弁及び出口逃がし弁の作動による流出を想定した。 NUPEC 報告書における代表プラントでは、入口逃がし弁は 4inch、出口逃がし弁は 1inch である。 一方、大飯 3 / 4 号炉 の入口逃がし弁につながる入口配管径は 4inch、出口逃がし弁につながる入口配管径は 1inch であり、それ以上の吹き出しありは考えられないことから、実機に基づきそれぞれの逃がし弁につながる入口配管径を等価直径とした。 ISLOCA の有効性評価において用いた破断面積を、実機で想定される破断面積と合わせて表 4 に整理する。解析においては、1.12inch、4inch 及び 1inch の低温側配管のスプリット破断として条件設定した。	(3) 逃がし弁 入口逃がし弁及び出口逃がし弁の作動による流出を想定した。 NUPEC 報告書における代表プラントでは、入口逃がし弁は 4 inch、出口逃がし弁は 1 inch である。 一方、泊 3 号炉 の入口逃がし弁につながる入口配管径は 3 inch、出口逃がし弁につながる入口配管径は 1 inch であり、それ以上の吹き出しありは考えられないことから、実機に基づきそれぞれの逃がし弁につながる入口配管径を等価直径とした。 ISLOCA の有効性評価において用いた破断面積を、実機で想定される破断面積と合わせて表 4 に整理する。解析においては、1.15inch、3 inch 及び 1 inch の低温側配管のスプリット破断として条件設定した。																									

泊発電所 3 号炉 有効性評価 比較表

7.1.8 格納容器バイパス (添付資料 7.1.8.4 インターフェイスシステム LOCA 発生時の余熱除去系統の破断箇所及び破断面積について)

赤字 : 設備、運用又は体制の相違 (設計方針の相違)
青字 : 記載箇所又は記載内容の相違 (記載方針の相違)
緑字 : 記載表現、設備名称の相違 (実質的な相違なし)

大飯発電所 3 / 4 号炉				泊発電所 3 号炉				相違理由															
表 4 ISLOCA の有効性評価で用いた破断面積				表 4 ISLOCA の有効性評価で用いた破断面積																			
破断面積 (inch ²)	①弁	代表 プラント ^{*1}	解析条件	実機評価 (再掲) ^{*5}		①弁	代表 プラント	解析条件	実機評価 (再掲)														
		0.55	0.55 ^{*2}	プロセス弁 (8 個)	0.22		0.55 (約 3.55)	0.60 ^{*1} (約 3.87)	プロセス弁 (9 個)	0.38 (約 2.45)													
				計器入口弁 (3 個)	0.11 [0.22]				計器入口弁 (3 個)	0.11 (約 0.71)													
		0.05	0.05 ^{*3}	0					0														
	②余熱除去 ポンプ	0.39	0.39 ^{*3}	0.28					0.07 (約 0.45)														
	③余熱除去 冷却器	0.99	0.99	0.61 [0.72]					0.56 (約 3.61)														
	①, ②, ③合計	1.12	1.12	0.88 [0.96]					0.84 (約 2.13)														
等価直径 (inch) [*]	入口逃がし弁	4	4	4					3 (約 7.62)														
	出口逃がし弁	1	1	1					1 (約 2.54)														
	*1. NUPEC 報告書における代表プラントの値				*1. 代表プラントで該当する弁が明確でないことから、NUPEC 報告書の値に対し不確定性を考慮した数値とした。																		
*2. NUPEC 報告書の代表プラントで該当する弁が明確には分からぬが、保守的に代表プラント数値とした。				*2. 代表プラントと泊 3 号炉の漏えいを想定する余熱除去ポンプ及び余熱除去冷却器の個数はそれぞれ 1 個であり同数である。漏えい量は保守的に代表プラントの値を使用した。																			
*3. NUPEC 報告書の代表プラントと大飯 3 / 4 号炉の漏えいを想定する余熱除去ポンプ及び余熱除去冷却器の個数はそれぞれ 1 個であり同数である。漏えい量は保守的に代表プラントの値を使用した。				*3. 等価直径 = ((破断面積 / π)^0.5) × 2、又は逃がし弁につながる入口配管の径																			
*4. 等価直径 = ((破断面積 / π)^0.5) × 2、又は逃がし弁につながる入口配管の径				*4. 逃がし弁の破断面積は、「0」であるが、作動設定値に応じて正常動作し実機の等価直径にて流出するものとしている。																			

泊発電所3号炉 有効性評価 比較表

7.1.8 格納容器バイパス (添付資料 7.1.8.4 インターフェイスシステム LOCA 発生時の余熱除去系統の破断箇所及び破断面積について)

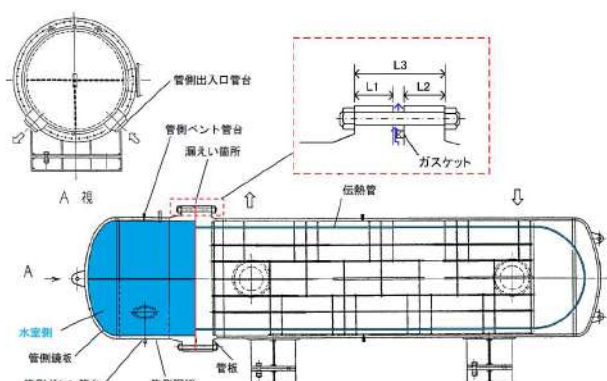
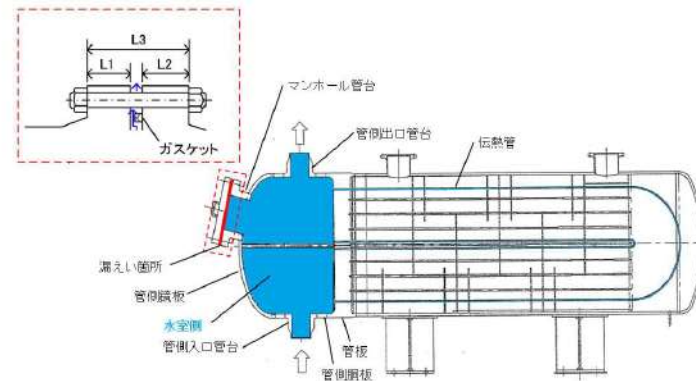
赤字 : 設備、運用又は体制の相違 (設計方針の相違)
青字 : 記載箇所又は記載内容の相違 (記載方針の相違)
緑字 : 記載表現、設備名称の相違 (実質的な相違なし)

大飯発電所3／4号炉	泊発電所3号炉	相違理由																																																																																																																						
<p style="text-align: center;">別紙-1 余熱除去冷却器からの漏えいの可能性について</p> <p>既工認から、設計上の裕度を算出し、裕度の低い管側胴板、管側鏡板、管側出入口管台（厚さ及び補強面積、溶接部強度）、管板及び管側フランジと厚さが最も薄い伝熱管について、ISLOCA 発生時の高温（300°C）、高圧（15.4MPa）の条件下で漏えいが発生しないことを以下のとおり確認した。</p> <p>管側フランジと管板との接合部については、余熱除去系統の中のガスケットを使ったシール構造で、破損した際の影響が最も大きいと考えられることから、漏えいを想定し破断面積を算出した。</p> <p>1. 強度評価</p> <p>1.1 評価部位の選定</p> <p>既工認から、設計上の裕度を算出し、裕度が 2.0 以下の管側胴板、管側鏡板、管側出入口管台（厚さ及び補強面積、溶接部強度）、管板及び管側フランジについて 15.4MPa、300°C の条件で評価した。また、厚さが最も薄い伝熱管についても評価した。表 1 に既工認強度計算結果の設計裕度、図 1 に余熱除去冷却器の構造を示す。</p> <p>表 1 既工認強度計算結果の設計裕度 (4.5MPa、200°C)</p> <table border="1"> <thead> <tr> <th>評価部位</th><th>実機の値</th><th>判定基準</th><th>裕度</th><th>備考</th></tr> </thead> <tbody> <tr> <td>管側胴板 (実機の最小厚さ)</td><td>■■■</td><td>≥33.4mm (必要な最小厚さ)</td><td>■■■</td><td></td></tr> <tr> <td>管側鏡板 (実機の最小厚さ)</td><td>■■■</td><td>≥33.4mm (必要な最小厚さ)</td><td>■■■</td><td></td></tr> <tr> <td>管側出入口管台 (実機の最小厚さ)</td><td>■■■</td><td>≥5.4mm (必要な最小厚さ)</td><td>■■■</td><td></td></tr> <tr> <td>管側ドレン管台 (実機の最小厚さ)</td><td>■■■</td><td>≥0.8mm (必要な最小厚さ)</td><td>■■■</td><td></td></tr> <tr> <td>管側ベント管台 (実機の最小厚さ)</td><td>■■■</td><td>≥0.8mm (必要な最小厚さ)</td><td>■■■</td><td></td></tr> <tr> <td>管板 (実機の最小厚さ)</td><td>■■■</td><td>≥220.1mm (必要な最小厚さ)</td><td>■■■</td><td></td></tr> <tr> <td>伝熱管 (実機の最小厚さ)</td><td>■■■</td><td>≥0.5mm (必要な最小厚さ)</td><td>■■■</td><td></td></tr> <tr> <td>管側出入口管台 (補強計算) (補強に有効な面積)</td><td>8695mm²</td><td>≥8367mm² (補強に必要な面積)</td><td>1.039</td><td></td></tr> <tr> <td>管側出入口管台 (溶接部強度) (溶接部の強さ)</td><td>136020kg (溶接部の強さ)</td><td>≥80866kg (溶接部の負うべき荷重)</td><td>1.682</td><td></td></tr> <tr> <td>管側フランジ</td><td>8.9kg/mm² (発生応力)</td><td>≤11.3kg/mm² (許容応力)</td><td>1.269</td><td></td></tr> </tbody> </table> <p>枠囲みの範囲は機密に係る事項ですので公開することはできません。</p> <p style="text-align: right;">別紙-1 (1/10) 余熱除去冷却器からの漏えいの可能性について</p> <p>既工認から、設計上の裕度を算出し、裕度の低い管側胴板、管側鏡板、管側出入口管台（厚さ及び補強面積、溶接部強度）、マンホール管台（補強面積、溶接部強度）、管板、伝熱管について、ISLOCA 発生時の高温（300°C）、高圧（15.4MPa）の条件下で漏えいが発生しないことを以下のとおり確認した。</p> <p>マンホール管台フランジ部については、余熱除去系統の中のガスケットを使ったシール構造で、破損した際の影響が最も大きいと考えられることから、漏えいを想定し破断面積を算出した。</p> <p>1. 強度評価</p> <p>1.1 評価部位の選定</p> <p>既工認から、設計上の裕度を算出し、裕度が 2.0 以下の管側胴板、管側鏡板、管側出入口管台（厚さ及び補強面積、溶接部強度）、マンホール管台（補強面積、溶接部強度）、管板及び伝熱管について 15.4MPa、300°C の条件で評価した。表 1 に既工認強度計算結果の設計裕度、図 1 に余熱除去冷却器の構造を示す。</p> <p>表 1 既工認強度計算結果の設計裕度 (4.5MPa、200°C)</p> <table border="1"> <thead> <tr> <th>評価部位</th><th>実機の値</th><th>判定基準</th><th>裕度</th><th>備考</th></tr> </thead> <tbody> <tr> <td>管側胴板 (実機の最小厚さ)</td><td>■■■</td><td>≥33.3mm (必要な最小厚さ)</td><td>■■■</td><td></td></tr> <tr> <td>管側鏡板 (実機の最小厚さ)</td><td>■■■</td><td>≥33.3mm (必要な最小厚さ)</td><td>■■■</td><td></td></tr> <tr> <td>管側出入口管台 (付根部) (先端部)</td><td>■■■ ■■■</td><td>≥7.1mm (実機の最小厚さ)</td><td>■■■</td><td></td></tr> <tr> <td>管側出入口管台 (先端部)</td><td>■■■</td><td>≥5.4mm (実機の最小厚さ)</td><td>■■■</td><td></td></tr> <tr> <td>マンホール管台 (実機の最小厚さ)</td><td>■■■</td><td>≥11.3mm (必要な最小厚さ)</td><td>■■■</td><td></td></tr> <tr> <td>管板 (実機の最小厚さ)</td><td>■■■</td><td>≥199.3mm (必要な最小厚さ)</td><td>■■■</td><td></td></tr> <tr> <td>伝熱管 (実機の最小厚さ)</td><td>■■■</td><td>≥0.5mm (必要な最小厚さ)</td><td>■■■</td><td></td></tr> <tr> <td>管側出入口管台 (補強計算) (補強に有効な面積)</td><td>8660mm²</td><td>≥8280mm² (補強に必要な面積)</td><td>1.045</td><td></td></tr> <tr> <td>管側出入口管台 (溶接部強度) (溶接部の強さ)</td><td>159000N</td><td>≥88400N (溶接部の負うべき荷重)</td><td>1.798</td><td></td></tr> <tr> <td>マンホール管台 (補強計算) (補強に有効な面積)</td><td>13300mm²</td><td>≥12100mm² (補強に必要な面積)</td><td>1.099</td><td></td></tr> <tr> <td>マンホール管台 (溶接部強度) (溶接部の強さ)</td><td>239000N</td><td>≥182000N (溶接部の負うべき荷重)</td><td>1.313</td><td></td></tr> <tr> <td>マンホール管台 フランジ部 (発生応力)</td><td>46N/mm²</td><td>≤111N/mm² (許容応力)</td><td>2.413</td><td></td></tr> </tbody> </table> <p>枠囲みの内容は機密情報に属しますので公開できません。</p>	評価部位	実機の値	判定基準	裕度	備考	管側胴板 (実機の最小厚さ)	■■■	≥33.4mm (必要な最小厚さ)	■■■		管側鏡板 (実機の最小厚さ)	■■■	≥33.4mm (必要な最小厚さ)	■■■		管側出入口管台 (実機の最小厚さ)	■■■	≥5.4mm (必要な最小厚さ)	■■■		管側ドレン管台 (実機の最小厚さ)	■■■	≥0.8mm (必要な最小厚さ)	■■■		管側ベント管台 (実機の最小厚さ)	■■■	≥0.8mm (必要な最小厚さ)	■■■		管板 (実機の最小厚さ)	■■■	≥220.1mm (必要な最小厚さ)	■■■		伝熱管 (実機の最小厚さ)	■■■	≥0.5mm (必要な最小厚さ)	■■■		管側出入口管台 (補強計算) (補強に有効な面積)	8695mm ²	≥8367mm ² (補強に必要な面積)	1.039		管側出入口管台 (溶接部強度) (溶接部の強さ)	136020kg (溶接部の強さ)	≥80866kg (溶接部の負うべき荷重)	1.682		管側フランジ	8.9kg/mm ² (発生応力)	≤11.3kg/mm ² (許容応力)	1.269		評価部位	実機の値	判定基準	裕度	備考	管側胴板 (実機の最小厚さ)	■■■	≥33.3mm (必要な最小厚さ)	■■■		管側鏡板 (実機の最小厚さ)	■■■	≥33.3mm (必要な最小厚さ)	■■■		管側出入口管台 (付根部) (先端部)	■■■ ■■■	≥7.1mm (実機の最小厚さ)	■■■		管側出入口管台 (先端部)	■■■	≥5.4mm (実機の最小厚さ)	■■■		マンホール管台 (実機の最小厚さ)	■■■	≥11.3mm (必要な最小厚さ)	■■■		管板 (実機の最小厚さ)	■■■	≥199.3mm (必要な最小厚さ)	■■■		伝熱管 (実機の最小厚さ)	■■■	≥0.5mm (必要な最小厚さ)	■■■		管側出入口管台 (補強計算) (補強に有効な面積)	8660mm ²	≥8280mm ² (補強に必要な面積)	1.045		管側出入口管台 (溶接部強度) (溶接部の強さ)	159000N	≥88400N (溶接部の負うべき荷重)	1.798		マンホール管台 (補強計算) (補強に有効な面積)	13300mm ²	≥12100mm ² (補強に必要な面積)	1.099		マンホール管台 (溶接部強度) (溶接部の強さ)	239000N	≥182000N (溶接部の負うべき荷重)	1.313		マンホール管台 フランジ部 (発生応力)	46N/mm ²	≤111N/mm ² (許容応力)	2.413	
評価部位	実機の値	判定基準	裕度	備考																																																																																																																				
管側胴板 (実機の最小厚さ)	■■■	≥33.4mm (必要な最小厚さ)	■■■																																																																																																																					
管側鏡板 (実機の最小厚さ)	■■■	≥33.4mm (必要な最小厚さ)	■■■																																																																																																																					
管側出入口管台 (実機の最小厚さ)	■■■	≥5.4mm (必要な最小厚さ)	■■■																																																																																																																					
管側ドレン管台 (実機の最小厚さ)	■■■	≥0.8mm (必要な最小厚さ)	■■■																																																																																																																					
管側ベント管台 (実機の最小厚さ)	■■■	≥0.8mm (必要な最小厚さ)	■■■																																																																																																																					
管板 (実機の最小厚さ)	■■■	≥220.1mm (必要な最小厚さ)	■■■																																																																																																																					
伝熱管 (実機の最小厚さ)	■■■	≥0.5mm (必要な最小厚さ)	■■■																																																																																																																					
管側出入口管台 (補強計算) (補強に有効な面積)	8695mm ²	≥8367mm ² (補強に必要な面積)	1.039																																																																																																																					
管側出入口管台 (溶接部強度) (溶接部の強さ)	136020kg (溶接部の強さ)	≥80866kg (溶接部の負うべき荷重)	1.682																																																																																																																					
管側フランジ	8.9kg/mm ² (発生応力)	≤11.3kg/mm ² (許容応力)	1.269																																																																																																																					
評価部位	実機の値	判定基準	裕度	備考																																																																																																																				
管側胴板 (実機の最小厚さ)	■■■	≥33.3mm (必要な最小厚さ)	■■■																																																																																																																					
管側鏡板 (実機の最小厚さ)	■■■	≥33.3mm (必要な最小厚さ)	■■■																																																																																																																					
管側出入口管台 (付根部) (先端部)	■■■ ■■■	≥7.1mm (実機の最小厚さ)	■■■																																																																																																																					
管側出入口管台 (先端部)	■■■	≥5.4mm (実機の最小厚さ)	■■■																																																																																																																					
マンホール管台 (実機の最小厚さ)	■■■	≥11.3mm (必要な最小厚さ)	■■■																																																																																																																					
管板 (実機の最小厚さ)	■■■	≥199.3mm (必要な最小厚さ)	■■■																																																																																																																					
伝熱管 (実機の最小厚さ)	■■■	≥0.5mm (必要な最小厚さ)	■■■																																																																																																																					
管側出入口管台 (補強計算) (補強に有効な面積)	8660mm ²	≥8280mm ² (補強に必要な面積)	1.045																																																																																																																					
管側出入口管台 (溶接部強度) (溶接部の強さ)	159000N	≥88400N (溶接部の負うべき荷重)	1.798																																																																																																																					
マンホール管台 (補強計算) (補強に有効な面積)	13300mm ²	≥12100mm ² (補強に必要な面積)	1.099																																																																																																																					
マンホール管台 (溶接部強度) (溶接部の強さ)	239000N	≥182000N (溶接部の負うべき荷重)	1.313																																																																																																																					
マンホール管台 フランジ部 (発生応力)	46N/mm ²	≤111N/mm ² (許容応力)	2.413																																																																																																																					

泊発電所3号炉 有効性評価 比較表

7.1.8 格納容器バイパス (添付資料 7.1.8.4 インターフェイスシステム LOCA 発生時の余熱除去系統の破断箇所及び破断面積について)

赤字 : 設備、運用又は体制の相違（設計方針の相違）
青字 : 記載箇所又は記載内容の相違（記載方針の相違）
緑字 : 記載表現、設備名称の相違（実質的な相違なし）

大飯発電所3／4号炉	泊発電所3号炉	相違理由
 <p>図1 余熱除去冷却器</p>	 <p>図1 余熱除去冷却器</p>	

1.2 評価方法

(1) 管側胴板の評価

設計・建設規格「PVC-3122 円筒形の胴の厚さの規定」を適用して必要な最小厚さを算出し、実機の最小厚さが必要な最小厚さを上回ることを確認した。

$$t = \frac{PD_i}{2S\eta - 1.2P} \quad (\text{PVC-3})$$

t : 管側胴板の必要な最小厚さ (mm)

P : 15.4 (MPa)

Di : 胴の内径 (Di=1600 (mm))

S : 設計引張強さ (Su=391 (MPa)、at300°C、SUS304)

η : 繋ぎ手の効率 (η=1 (-))

(2) 管側鏡板の評価

(鏡部)

設計・建設規格「PVC-3225 半だ円形鏡板の厚さの規定1」を適用して必要な最小厚さを算出し、実機の最小厚さが必要な最小厚さを上回ることを確認した。

$$t = \frac{PDK}{2S\eta - 0.2P} \quad (\text{PVC-32.1})$$

t : 管側鏡板（鏡部）の必要な最小厚さ (mm)

P : 15.4 (MPa)

D : 鏡板の内面における長径 (D=1600 (mm))

1.2 評価方法

(1) 管側胴板の評価

設計・建設規格「PVC-3122 円筒形の胴の厚さの規定」を適用して必要な最小厚さを算出し、実機の最小厚さが必要な最小厚さを上回ることを確認した。

$$t = \frac{PD_i}{2S\eta - 1.2P} \quad (\text{PVC-3})$$

t : 管側胴板の必要な最小厚さ (mm)

P : 15.4 (MPa)

Di : 胴の内径 (Di=1600 (mm))

S : 設計引張強さ (Su=391 (MPa)、at300°C、SUS304)

η : 繋ぎ手の効率 (η=1 (-))

(2) 管側鏡板の評価

(鏡部)

設計・建設規格「PVC-3225 半だ円形鏡板の厚さの規定1」を適用して必要な最小厚さを算出し、実機の最小厚さが必要な最小厚さを上回ることを確認した。

$$t = \frac{PDK}{2S\eta - 0.2P} \quad (\text{PVC-32.1})$$

t : 管側鏡板（鏡部）の必要な最小厚さ (mm)

P : 15.4 (MPa)

D : 鏡板の内面における長径 (D=1600 (mm))

泊発電所3号炉 有効性評価 比較表

7.1.8 格納容器バイパス (添付資料 7.1.8.4 インターフェイスシステム LOCA 発生時の余熱除去系統の破断箇所及び破断面積について)

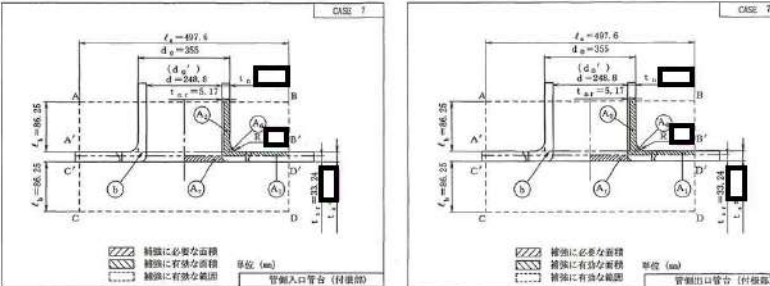
赤字 : 設備、運用又は体制の相違 (設計方針の相違)
青字 : 記載箇所又は記載内容の相違 (記載方針の相違)
緑字 : 記載表現、設備名称の相違 (実質的な相違なし)

大飯発電所3／4号炉	泊発電所3号炉	相違理由
K : 半だ円鏡板の形状による係数 (K=1 (-)) $K = \frac{1}{6} \left[2 + \left(\frac{D}{2h} \right)^2 \right] \quad (\text{PVC-32.2})$ h : 鏡板の内面における短径の 1/2 (h=400.0 (mm)) S : 設計引張強さ (Su=391 (MPa)、at300°C、SUS304) η : 継ぎ手の効率 (η=1 (-)) (フランジ部) 設計・建設規格「PVC-3122 円筒形の胴の厚さの規定」を適用して必要な最小厚さを算出し、実機の最小厚さが必要な最小厚さを上回ることを確認した。 $t = \frac{PD_i}{2S\eta - 1.2P} \quad (\text{PVC-3})$ t : 管側鏡板 (フランジ部) の必要な最小厚さ (mm) P : 15.4 (MPa) Di : 胴の内径 (Di=1600 (mm)) S : 設計引張強さ (Su=391 (MPa)、at300°C、SUS304) η : 継ぎ手の効率 (η=1 (-)) (3)管側出入口管台の評価 設計・建設規格「PVC-3610 管台の厚さ規定」を適用して必要な最小厚さを算出し、実機の最小厚さが必要な最小厚さを上回ることを確認した。 $t = \frac{PD_0}{2S\eta + 0.8P} \quad (\text{PVC-40})$ t : 管側出入口管台の必要な最小厚さ (mm) P : 15.4 (MPa) D₀ : 管側出入口管台の外径 (D₀=267.4 (mm)) S : 設計引張強さ (Su=391 (MPa)、at300°C、SUSF304) η : 継ぎ手の効率 (η=1 (-)) (4)管板の評価 設計・建設規格「PVC-3510 管穴の中心間距離および管板の厚さの規定」を適用して必要な最小厚さを算出し、実機の最小厚さが必要な最小厚さを上回ることを確認した。 $t = \frac{FD}{2} \sqrt{\frac{P}{S}} \quad (\text{PVC-39.1})$ t : 管板の必要な最小厚さ (mm) F : 管板の支え方による係数 (F=1.25 (-))	K : 半だ円鏡板の形状による係数 (K=1 (-)) $K = \frac{1}{6} \left[2 + \left(\frac{D}{2h} \right)^2 \right] \quad (\text{PVC-32.2})$ h : 鏡板の内面における短径の 1/2 (h=400.0 (mm)) S : 設計引張強さ (Su=391 (MPa)、at300°C、SUS304) η : 継ぎ手の効率 (η=1 (-)) (フランジ部) 設計・建設規格「PVC-3122 円筒形の胴の厚さの規定」を適用して必要な最小厚さを算出し、実機の最小厚さが必要な最小厚さを上回ることを確認した。 $t = \frac{PD_i}{2S\eta - 1.2P} \quad (\text{PVC-3})$ t : 管側鏡板 (フランジ部) の必要な最小厚さ (mm) P : 15.4 (MPa) Di : 胴の内径 (Di=1600 (mm)) S : 設計引張強さ (Su=391 (MPa)、at300°C、SUS304) η : 継ぎ手の効率 (η=1 (-)) (3)管側出入口管台 (先端部) の評価 設計・建設規格「PVC-3610 管台の厚さ規定」を適用して必要な最小厚さを算出し、実機の最小厚さが必要な最小厚さを上回ることを確認した。 $t = \frac{PD_0}{2S\eta + 0.8P} \quad (\text{PVC-40})$ t : 管側出入口管台の必要な最小厚さ (mm) P : 15.4 (MPa) D₀ : 管側出入口管台の外径 (D₀=267.4 (mm)) S : 設計引張強さ (Su=391 (MPa)、at300°C、SUSF304) η : 継ぎ手の効率 (η=1 (-)) (4)管板の評価 設計・建設規格「PVC-3510 管穴の中心間距離および管板の厚さの規定」を適用して必要な最小厚さを算出し、実機の最小厚さが必要な最小厚さを上回ることを確認した。 $t = \frac{FD}{2} \sqrt{\frac{P}{S}} \quad (\text{PVC-39.1})$ t : 管板の必要な最小厚さ (mm) F : 管板の支え方による係数 (F=1.24 (-))	設計の相違

泊発電所3号炉 有効性評価 比較表

7.1.8 格納容器バイパス (添付資料 7.1.8.4 インターフェイスシステム LOCA 発生時の余熱除去系統の破断箇所及び破断面積について)

赤字 : 設備、運用又は体制の相違 (設計方針の相違)
青字 : 記載箇所又は記載内容の相違 (記載方針の相違)
緑字 : 記載表現、設備名称の相違 (実質的な相違なし)

大飯発電所3／4号炉	泊発電所3号炉	相違理由
<p>D:パッキンの中心径 (D=1745.0 (mm)) P: 15.4 (MPa) S: 設計引張強さ (Su=391 (MPa)、at300°C、SUSF304)</p> <p>(5) 伝熱管の評価 設計・建設規格「PVC-3610 管台の厚さの規定」を適用して必要な最小厚さを算出し、実機の最小厚さが必要な最小厚さを上回ることを確認した。</p> $t = \frac{PD_0}{2S\eta + 0.8P} \quad (\text{PVC-40})$ <p>t: 伝熱管の必要な最小厚さ (mm) P: 15.4 (MPa) D₀: 伝熱管の外径 (D₀=19.0 (mm)) S: 設計引張強さ (Su=391 (MPa)、at300°C、SUS304TB) η: 繋ぎ手の効率 (η=1 (-))</p> <p>(6) 管側出入口管台（補強計算）の評価 既工認の手法を適用して補強に有効な面積及び補強に必要な面積を算出し、補強に有効な面積が補強に必要な面積を上回ることを確認した。図2に既工認の該当箇所の抜粋を示す。</p>  <p>図2 既工認の抜粋</p> <p>枠囲みの範囲は機密に係る事項ですので公開することはできません。</p>	<p>D:パッキンの中心径 (D=1600.0 (mm)) P: 15.4 (MPa) S: 設計引張強さ (Su=391 (MPa)、at300°C、SUSF304)</p> <p>(5) 伝熱管の評価 設計・建設規格「PVC-3610 管台の厚さの規定」を適用して必要な最小厚さを算出し、実機の最小厚さが必要な最小厚さを上回ることを確認した。</p> $t = \frac{PD_0}{2S\eta + 0.8P} \quad (\text{PVC-40})$ <p>t: 伝熱管の必要な最小厚さ (mm) P: 15.4 (MPa) D₀: 伝熱管の外径 (D₀=19.0 (mm)) S: 設計引張強さ (Su=391 (MPa)、at300°C、SUS304TB) η: 繋ぎ手の効率 (η=1 (-))</p> <p>(6) 管側出入口管台（補強計算）の評価 既工認の手法を適用して補強に有効な面積及び補強に必要な面積を算出し、補強に有効な面積が補強に必要な面積を上回ることを確認した。図2に既工認の該当箇所の抜粋を示す。</p>  <p>CASE 1</p> <p>CASE 7</p> <p>図2 既工認の抜粋</p> <p>枠囲みの内容は機密情報に属しますので公開できません。</p>	<p>赤字 : 設備、運用又は体制の相違 (設計方針の相違)</p> <p>青字 : 記載箇所又は記載内容の相違 (記載方針の相違)</p> <p>緑字 : 記載表現、設備名称の相違 (実質的な相違なし)</p>

①補強に必要な面積 (Ar)

面取り半径 r がある時

$$Ar = d \cdot tsr \cdot F + 2r^2(1 - \frac{\pi}{4}) = 8091 \text{ (mm}^2\text{)}$$

d:管台の穴径 (d=248.8(mm))

①補強に必要な面積 (Ar)

$$Ar = d \cdot tsr \cdot F = 8030 \text{ (mm}^2\text{)}$$

d:管台の穴径 (d=248.8(mm))

泊発電所3号炉 有効性評価 比較表

7.1.8 格納容器バイパス (添付資料 7.1.8.4 インターフェイスシステム LOCA 発生時の余熱除去系統の破断箇所及び破断面積について)

赤字 : 設備、運用又は体制の相違 (設計方針の相違)
青字 : 記載箇所又は記載内容の相違 (記載方針の相違)
緑字 : 記載表現、設備名称の相違 (実質的な相違なし)

大飯発電所3／4号炉	泊発電所3号炉	相違理由
<p>tsr : 構造計算に使用する計算必要厚さ (tsr=□ (mm))</p> $tsr = \frac{PDi}{2S - 1.2P}$ <p>P : 15.4 (MPa)</p> <p>Di : 腔の内径 (Di=1600 (mm))</p> <p>S : 設計引張強さ (Su=391 (MPa)、at300°C、SUS304)</p> <p>F : 係数 (F=1)</p> <p>r : すみの R (r=□ (mm))</p> <p>②補強に有効な面積 (At)</p> <p>At=A1+A2+A6=9003 (mm²)</p> <p>A1= (η * ts-F * tsr) d=1425.2 (mm²)</p> <p>η : 繼手効率 (η=1.00)</p> <p>ts : 腔板の実機の最小厚さ (ts=□ (mm))</p> <p>F : 係数 (F=1)</p> <p>tsr : 構造計算に使用する計算必要厚さ (tsr=32.27 (mm))</p> <p>d : 管台の穴径 (d=248.8 (mm))</p> <p>A₂=2 (tn-tnr) 1b=7406.5 (mm²)</p> <p>tn : 管台の実機の最小厚さ (tn=□ (mm))</p> <p>tnr : 構造計算に使用する計算必要厚さ (tnr=5.02 (mm))</p> $tnr = \frac{PDi}{2S - 1.2P}$ <p>P=15.4 MPa</p> <p>Di : 管台の内径 (Di=248.8 (mm))</p> <p>S : 設計引張強さ (Su=391 (MPa)、at300°C、SUSF304)</p> <p>1b : 構造に有効な範囲 (1b=95.0 (mm))</p> <p>枠組みの範囲は機密に係る事項ですので公開することはできません。</p> $A_6 = 2R^2(1 - \frac{\pi}{4}) = 171.7 \text{ (mm}^2\text{)}$ <p>R : 管台取付け部の R (R=□ (mm))</p>	<p>tsr : 構造計算に使用する計算必要厚さ (tsr=32.27 (mm))</p> $tsr = \frac{PDi}{2S - 1.2P}$ <p>P : 15.4 (MPa)</p> <p>Di : 腔の内径 (Di=1600 (mm))</p> <p>S : 設計引張強さ (Su=391 (MPa)、at300°C、SUS304)</p> <p>F : 係数 (F=1)</p> <p>②補強に有効な面積 (At)</p> <p>At=A1+A2+A6=8933 (mm²)</p> <p>A1= (η * ts-F * tsr) d=554.4 (mm²)</p> <p>η : 繼手効率 (η=1.00)</p> <p>ts : 腔板の実機の最小厚さ (ts=□ (mm))</p> <p>F : 係数 (F=1)</p> <p>tsr : 構造計算に使用する計算必要厚さ (tsr=32.27 (mm))</p> <p>d : 管台の穴径 (d=248.8 (mm))</p> <p>A₂=2 (tn-tnr) 1b=8207.9 (mm²)</p> <p>tn : 管台の実機の最小厚さ (tn=□ (mm))</p> <p>tnr : 構造計算に使用する計算必要厚さ (tnr=5.02 (mm))</p> $tnr = \frac{PDi}{2S - 1.2P}$ <p>P=15.4 MPa</p> <p>Di : 管台の内径 (Di=248.8 (mm))</p> <p>S : 設計引張強さ (Su=391 (MPa)、at300°C、SUSF304)</p> <p>1b : 構造に有効な範囲 (1b=86.25 (mm))</p> <p>枠組みの範囲は機密情報に属しますので公開できません。</p> $A_6 = 2R^2(1 - \frac{\pi}{4}) = 171.7 \text{ (mm}^2\text{)}$ <p>R : 管台取付け部の R (R=□ (mm))</p>	設計の相違

泊発電所3号炉 有効性評価 比較表

7.1.8 格納容器バイパス (添付資料 7.1.8.4 インターフェイスシステム LOCA 発生時の余熱除去系統の破断箇所及び破断面積について)

赤字 : 設備、運用又は体制の相違 (設計方針の相違)
青字 : 記載箇所又は記載内容の相違 (記載方針の相違)
緑字 : 記載表現、設備名称の相違 (実質的な相違なし)

大飯発電所3／4号炉	泊発電所3号炉	相違理由
<p>(7) 管側出入口管台（溶接部強度）の評価</p> <p>既工認の手法を適用して予想される破断箇所の強さ及び溶接の負うべき荷重を算出し、予想される破断箇所の強さが溶接の負うべき荷重を上回ることを確認した。</p> <p>①溶接部の負うべき荷重 (W)</p> <p>$W = do' \cdot tsr \cdot S - (\eta \cdot ts - F \cdot tsr) (la - do') \cdot S = 2582141 \text{ (N)}$</p> <p>do' : 管台の穴径 ($do' = 248.8 \text{ (mm)}$)</p> <p>tsr : 補強計算に使用する計算必要厚さ ($tsr = 32.27 \text{ (mm)}$)</p> <p>S : 設計引張強さ ($S_u = 391 \text{ (MPa)}$、at 300°C、SUS304)</p> <p>η : 継手効率 ($\eta = 1.00$)</p> <p>ts : 脊板の実機の最小厚さ ($ts = \boxed{} \text{ (mm)}$)</p> <p>F : 係数 ($F = 1$)</p> <p>la : 補強に有効な範囲 ($la = 497.6 \text{ (mm)}$)</p> <p>②溶接部の強さ ($W_1$)</p> <p>$W_1 = \textcircled{1} = 4706496 \text{ (N)}$</p> <p>⑤ : 溶接部の強さ ($\textcircled{5} = 4706496$)</p> <p>$\textcircled{5} = \frac{1}{2} \pi d \cdot tn \cdot \sigma_4$</p> <p>d : 管台の穴径 ($d = 248.8 \text{ (mm)}$)</p> <p>tn : 管台の実機の最小厚さ ($tn = \boxed{} \text{ (mm)}$)</p> <p>$\sigma_4$: 溶接部の単位面積当たりの強さ ($\sigma_4 = 273.7 \text{ (MPa)}$)</p> <p>$\sigma_4 = S \cdot \eta_4$</p> <p>S : 設計引張強さ ($S_u = 391 \text{ (MPa)}$、at 300°C、SUS304)</p> <p>η_4 : 溶接部の強さを求める場合の係数 ($\eta_4 = 0.7$)</p> <p>枠囲みの範囲は機密に係る事項ですので公開することはできません。</p>	<p>(7) 管側出入口管台（溶接部強度）の評価</p> <p>既工認の手法を適用して予想される破断箇所の強さ及び溶接の負うべき荷重を算出し、予想される破断箇所の強さが溶接の負うべき荷重を上回ることを確認した。</p> <p>①溶接部の負うべき荷重 (W)</p> <p>$W = do' \cdot tsr \cdot S - (\eta \cdot ts - F \cdot tsr) (la - do') \cdot S = 2922624 \text{ (N)}$</p> <p>do' : 管台の穴径 ($do' = 248.8 \text{ (mm)}$)</p> <p>tsr : 補強計算に使用する計算必要厚さ ($tsr = 32.27 \text{ (mm)}$)</p> <p>S : 設計引張強さ ($S_u = 391 \text{ (MPa)}$、at 300°C、SUS304)</p> <p>η : 継手効率 ($\eta = 1.00$)</p> <p>ts : 脊板の実機の最小厚さ ($ts = \boxed{} \text{ (mm)}$)</p> <p>F : 係数 ($F = 1$)</p> <p>la : 補強に有効な範囲 ($la = 497.6 \text{ (mm)}$)</p> <p>②溶接部の強さ ($W_1$)</p> <p>$W_1 = \textcircled{5} = 5626402 \text{ (N)}$</p> <p>⑤ : 溶接部の強さ ($\textcircled{5} = 5626402$)</p> <p>$\textcircled{5} = \frac{1}{2} \pi d \cdot tn \cdot \sigma_4$</p> <p>d : 管台の穴径 ($d = 248.8 \text{ (mm)}$)</p> <p>tn : 管台の実機の最小厚さ ($tn = \boxed{} \text{ (mm)}$)</p> <p>$\sigma_4$: 溶接部の単位面積当たりの強さ ($\sigma_4 = 273.7 \text{ (MPa)}$)</p> <p>$\sigma_4 = S \cdot \eta_4$</p> <p>S : 設計引張強さ ($S_u = 391 \text{ (MPa)}$、at 300°C、SUS304)</p> <p>η_4 : 溶接部の強さを求める場合の係数 ($\eta_4 = 0.7$)</p> <p>$\boxed{}$枠囲みの内容は機密情報に属しますので公開できません。</p>	設計の相違

7.2.8.7 格納容器バイパス（添付資料 Z18.4 インターフェイスシステム LOCA 発生時の余熱除去系統の破断箇所及び破断面積について）

大飯発電所3／4号炉		泊発電所3号炉	相違理由
<p>(8) 管側フランジの評価</p> <p>設計・建設規格「PVC-3710 フランジの規格」より、「JIS B 8265」を準用して発生応力及び許容応力を算出し、発生応力が許容応力を下回ることを確認した。図3に既工認の該当箇所の抜粋を示す。</p> <p>なお、管側フランジについては、詳細な過渡条件における値(11.5MPa、300°C)にて評価した。</p> <p>図3 既工認の抜粋</p>	<p>(8) マンホール管台(補強計算)の評価</p> <p>既工認の手法を適用して補強に有効な面積及び補強に必要な面積を算出し、補強に有効な面積が補強に必要な面積を上回ることを確認した。図3に既工認の該当箇所の抜粋を示す。</p> <p>図3 既工認の抜粋</p>		設計の相違
<p>①計算上必要なボルト荷重の算出</p> <p>a. 内圧によってフランジに加わる全荷重 (H)</p> $H = \frac{\pi}{4} G^2 \cdot P = 27729728 \text{ (N)}$ <p>G : ガスケット反力円の直径 (G=1752.2 (mm))</p> <p>G=D_g-2b</p> <p>D_g : ガスケットの外径 (D_g=1770.0 (mm))</p> <p>b : ガスケット座の有効幅 (b=8.9 (mm))</p> <p>P:11.5 (MPa)</p> <p>b. 気密を十分に保つためにガスケットに加える圧縮力 (H_p)</p> $H_p = 2 \pi \cdot b \cdot G \cdot m \cdot P = 3384024 \text{ (N)}$ <p>m : ガスケット係数 (m=3.00 (JIS B 8265 附属書3 表2による))</p> <p>P : 11.5 (MPa)</p> <p>c. 使用状態における必要な最小ボルト荷重 (W_{nl})</p> $W_{nl} = H + H_p = 31113752 \text{ (N)}$ <p>②フランジに作用するモーメントの算出</p> <p>a. 使用状態でのボルト荷重 (W_o)</p> $W_o = W_{nl} = 31113752 \text{ (N)}$	<p>①補強に必要な面積 (Ar)</p> $Ar = d \cdot tsr \cdot F = 11662 \text{ (mm}^2\text{)}$ <p>d:管台の穴径 (d=409.6 (mm))</p> <p>tsr : 補強計算に使用する計算必要厚さ (tsr=28.47 (mm))</p> $tsr = \frac{PK \cdot D}{2S - 0.2P}$ <p>P : 15.4 (MPa)</p> <p>K₁ : 半だ円鏡板の形状による係数 (K₁=0.9)</p> <p>D : 鏡板の内面における長径 (D=1600 (mm))</p> <p>S : 設計引張強さ (S_u=391 (MPa)、at 300°C、SUS304)</p> <p>F : 係数 (F=1)</p> <p>②補強に有効な面積 (At)</p> $At = A_1 + A_2 + A_5 = 13682 \text{ (mm}^2\text{)}$ <p>A₁ = (η · ts - F · tsr) (1a - d) = 1390.5 (mm²)</p> <p>η : 繼手効率 (η=1.00)</p> <p>ts : 鏡板の実機の最小厚さ (ts=□ (mm))</p> <p>F : 係数 (F=1)</p> <p>tsr : 補強計算に使用する計算必要厚さ (tsr=28.47 (mm))</p> <p>1a : 補強に有効な範囲 (1a=640.2 (mm))</p> <p>d : 管台の穴径 (d=409.6 (mm))</p> <p>A₂ = 2 (t_n - t_{nr}) lb = 11891.9 (mm²)</p> <p>t_n : 管台の実機の最小厚さ (t_n=□ (mm))</p>		

泊発電所3号炉 有効性評価 比較表

7.1.8 格納容器バイパス (添付資料 7.1.8.4 インターフェイスシステム LOCA 発生時の余熱除去系統の破断箇所及び破断面積について)

赤字 : 設備、運用又は体制の相違 (設計方針の相違)
青字 : 記載箇所又は記載内容の相違 (記載方針の相違)
緑字 : 記載表現、設備名称の相違 (実質的な相違なし)

大飯発電所3／4号炉	泊発電所3号炉	相違理由
b. 内圧によってフランジの内径面に加わる荷重 (H_D) $H_D = \frac{\pi}{4} B^2 \cdot P = 23122122 \text{ (N)}$ B : フランジの内径 ($B=1600 \text{ (mm)}$) P : 11.5 (MPa)	t_{nr} : 梁強計算に使用する計算必要厚さ ($t_{nr}=8.26 \text{ (mm)}$) $t_{nr} = \frac{PD_i}{2S - 1.2P}$ $P=15.4 \text{ MPa}$ Di : 管台の内径 ($Di=409.6 \text{ (mm)}$) S : 設計引張強さ ($S_u=391 \text{ (MPa)}$ 、at 300°C 、SUS304) 1b : 梁強に有効な範囲 ($1b=86.25 \text{ (mm)}$) $A_5 = \frac{1}{2} g_1^2 N_1 = 400.0 \text{ (mm}^2\text{)}$ g ₁ : 溶接脚長 ($g_1=\square \text{ (mm)}$) N ₁ : 溶接箇所数 ($N_1=2 \text{ (箇所)}$)	
c. ガスケット荷重 (H_G) $H_G = W_0 - H = 3384024 \text{ (N)}$		
d. 内圧によってフランジに加わる全荷重とフランジの内径面に加わる荷重との差 (H_T) $H_T = H - H_D = 4607606$		
e. モーメントの腕長さ (R 、 h_B 、 h_G 、 h_T) $R = \frac{C - B}{2} - g_1 = 71.0 \text{ (mm)}$ C : ポルト円の中心円の直径 ($C=1910.0 \text{ (mm)}$) g ₁ : フランジ背面のハブの厚さ ($g_1=84.0 \text{ (mm)}$) $h_B = R + 0.5g_1 = 113.0 \text{ (mm)}$ $h_G = \frac{C - G}{2} = 78.9 \text{ (mm)}$ $h_T = \frac{R + g_1 + h_G}{2} = 117.0 \text{ (mm)}$	(9) マンホール管台 (溶接部強度) の評価 既工認の手法を適用して予想される破断箇所の強さ及び溶接の負うべき荷重を算出し、予想される破断箇所の強さが溶接の負うべき荷重を上回ることを確認した。 ①溶接部の負うべき荷重 (W) $W = do' \cdot ts \cdot S - (\eta \cdot ts - F \cdot ts) (la - do') \cdot S = 6166155 \text{ (N)}$ do' : 管台の穴径 ($do'=569.0 \text{ (mm)}$) ts : 梁強計算に使用する計算必要厚さ ($tsr=28.47 \text{ (mm)}$) S : 設計引張強さ ($S_u=391 \text{ (MPa)}$ 、at 300°C 、SUS304) η : 繰手効率 ($\eta=1.00$) ts : 鏡板の実機の最小厚さ ($ts=\square \text{ (mm)}$) F : 係数 ($F=1$) la : 梁強に有効な範囲 ($la=640.2 \text{ (mm)}$)	設計の相違
f. 使用状態でフランジに作用する全モーメント $M_0 = M_D + M_G + M_T = H_D \cdot h_B + H_G \cdot h_G + H_T \cdot h_T = 3.42 \times 10^9 \text{ (N} \cdot \text{mm)}$		
③フランジに生じる応力 (使用状態) の算出	\square 枠囲みの内容は機密情報に属しますので公開できません。	
a. フランジの応力計算に用いる係数		
$K = \frac{A}{B} = 1.3 \text{ (-)}$	②溶接部の強さ (W_1) $W_1 = @ + ① = 16787287$ ① : 溶接部の強さ ($@=3192515$) $@ = \frac{1}{2} \pi \cdot do \cdot g_1 \cdot \sigma_1$ do : 管台の外径 ($d=565.0 \text{ (mm)}$) g ₁ : 溶接脚長 ($g_1=\square \text{ (mm)}$) σ_1 : すみ肉溶接部の単位面積当たりのせん断強さ ($\sigma_1=179.86$) $\sigma_1 = S \cdot \eta_1$	
A : フランジの外径 ($A=2022.0 \text{ (mm)}$) $T=1.81$ (JIS B 8265 附属書3 図7による) $U=9.26$ (JIS B 8265 附属書3 図7による) $Y=8.43$ (JIS B 8265 附属書3 図7による) $Z=4.35$ (JIS B 8265 附属書3 図7による) $h_0 = \sqrt{B \cdot g_0} = 259.2 \text{ (mm)}$		

泊発電所3号炉 有効性評価 比較表

7.1.8 格納容器バイパス (添付資料 7.1.8.4 インターフェイスシステム LOCA 発生時の余熱除去系統の破断箇所及び破断面積について)

赤字 : 設備、運用又は体制の相違 (設計方針の相違)
青字 : 記載箇所又は記載内容の相違 (記載方針の相違)
緑字 : 記載表現、設備名称の相違 (実質的な相違なし)

大飯発電所3／4号炉	泊発電所3号炉	相違理由
<p>g₀ : ハブ先端の厚さ (g₀=42.0 (mm))</p> <p>$\frac{h}{h_0} = 0.48$</p> <p>h : ハブの長さ (h=126.0 (mm))</p> <p>$\frac{g_1}{g_0} = 2 \text{ (-)}$</p> <p>F=0.83(一体形フランジの係数で JIS B 8265 附属書3 図5による)</p> <p>V=0.23(一体形フランジの係数で JIS B 8265 附属書3 図8による)</p> <p>f=1.27(ハブ応力修正係数で JIS B 8265 附属書3 図4による)</p> <p>$e = \frac{F}{h_0} = 0.0032 \text{ (-)}$</p> <p>$d = \frac{U}{V} h_0 \cdot g_0^2 = 18320732.0 \text{ (-)}$</p> <p>$L = \frac{t \cdot e + 1}{T} \frac{t^3}{d} = 1.24 \text{ (-)}$</p> <p>t : フランジの厚さ (t=187.0 (mm))</p> <p>b. ハブの軸方向応力 (σ_H)</p> <p>$\sigma_H = \frac{f \cdot M_0}{L \cdot g_1^2 \cdot B} = 311.74581 \div 312 \text{ (MPa)} \leq S = 391 \text{ (MPa)}$</p> <p>S : 設計引張強さ (Su=391 (MPa)、at300°C、SUS304・SUSF304)</p> <p>c. フランジの半径方向応力 (σ_R)</p> <p>$\sigma_R = \frac{(1.33 \cdot t \cdot e + 1)M_0}{L \cdot t^2 \cdot B} = 88.571561 \div 89 \text{ (MPa)} \leq S = 391 \text{ (MPa)}$</p> <p>S : 設計引張強さ (Su=391 (MPa)、at300°C、SUSF304)</p> <p>d. フランジの周方向応力 (σ_T)</p> <p>$\sigma_T = \frac{Y \cdot M_0}{t^2 \cdot B} - Z \cdot \sigma_R = 129.7475 \div 130 \text{ (MPa)} \leq S = 391 \text{ (MPa)}$</p> <p>S : 設計引張強さ (Su=391 (MPa)、at300°C、SUSF304)</p> <p>e. 組合せ応力</p> <p>$\frac{\sigma_H + \sigma_R}{2} = 201 \text{ (MPa)} \leq S = 391 \text{ (MPa)}$</p> <p>$\frac{\sigma_H + \sigma_T}{2} = 221 \text{ (MPa)} \leq S = 391 \text{ (MPa)}$</p> <p>S : 設計引張強さ (Su=391 (MPa)、at300°C、SUSF304)</p>	<p>S : 設計引張強さ (Su=391 (MPa)、at300°C、SUS304)</p> <p>η_1 : すみ肉溶接部のせん断強さを求める場合の係数 ($\eta_1=0.46$)</p> <p>⑥ : 溶接部の強さ (⑥=13594772)</p> <p>⑩ = $\frac{1}{2} \pi \cdot d \cdot tn \cdot \sigma_4$</p> <p>d : 管台の内径 (d=409.6 (mm))</p> <p>tn : 管台の実機の最小厚さ (tn=□ (mm))</p> <p>σ_4 : 管台壁の単位面積当たりのせん断強さ ($\sigma_4=273.7$)</p> <p>$\sigma_4 = S \cdot \eta_4$</p> <p>S : 設計引張強さ (Su=391 (MPa)、at300°C、SUS304)</p> <p>η_4 : 管台壁のせん断強さを求める場合の係数 ($\eta_4=0.70$)</p> <p>$W_2 = @ + ⑩ = 11572866$</p> <p>① : 溶接部の強さ (①=8380351)</p> <p>⑪ = $\frac{1}{2} \pi \cdot do \cdot ts \cdot \sigma_2$</p> <p>do : 管台の外径 (d=565.0 (mm))</p> <p>ts : 鏡板の実機の最小厚さ (ts=□ (mm))</p> <p>σ_2 : 突合せ溶接部の単位面積当たりの引張強さ ($\sigma_2=273.7$)</p> <p>$\sigma_2 = S \cdot \eta_2$</p> <p>S : 設計引張強さ (Su=391 (MPa)、at300°C、SUS304)</p> <p>η_2 : 突合せ溶接部の引張り強さを求める場合の係数 ($\eta_2=0.70$)</p> <p>$W_3 = ⑫ = 8439681$</p> <p>⑬ : 溶接部の強さ (⑬=8439681)</p> <p>⑭ = $\frac{1}{2} \pi \cdot do' \cdot ts \cdot \sigma_2$</p> <p>do' : 鏡板の穴径 ($do' = 569.0 \text{ (mm)}$)</p> <p>ts : 鏡板の実機の最小厚さ (ts=□ (mm))</p> <p>σ_2 : 突合せ溶接部の単位面積当たりの引張強さ ($\sigma_2=273.7$)</p> <p>□枠囲みの内容は機密情報に属しますので公開できません。</p>	

泊発電所3号炉 有効性評価 比較表

7.1.8 格納容器バイパス (添付資料 7.1.8.4 インターフェイスシステム LOCA 発生時の余熱除去系統の破断箇所及び破断面積について)

赤字 : 設備、運用又は体制の相違 (設計方針の相違)
青字 : 記載箇所又は記載内容の相違 (記載方針の相違)
緑字 : 記載表現、設備名称の相違 (実質的な相違なし)

大飯発電所3／4号炉				泊発電所3号炉				相違理由																																																																																						
1.3 評価結果				1.3 評価結果																																																																																										
余熱除去冷却器の各部位について評価した結果、表2に示すとおり実機の値は判定基準を満足し、ISLOCA発生時の高温(300°C)、高圧(15.4MPa)の条件下で破損せず、漏えいは発生しないことを確認した。				余熱除去冷却器の各部位について評価した結果、表2に示すとおり実機の値は判定基準を満足し、ISLOCA発生時の高温(300°C)、高圧(15.4MPa)の条件下で破損せず、漏えいは発生しないことを確認した。																																																																																										
表2 評価結果				表2 評価結果																																																																																										
<table border="1" style="width: 100%; border-collapse: collapse;"> <thead> <tr> <th>評価部位</th><th>実機の値</th><th>判定基準</th><th>備考</th></tr> </thead> <tbody> <tr> <td>管側胴板 (実機の最小厚さ)</td><td>32.3mm (必要な最小厚さ)</td><td></td><td></td></tr> <tr> <td>管側鏡板 (実機の最小厚さ)</td><td>32.3mm (必要な最小厚さ)</td><td></td><td></td></tr> <tr> <td>管側出入口管台 (実機の最小厚さ)</td><td>5.2mm (必要な最小厚さ)</td><td></td><td></td></tr> <tr> <td>管板 (実機の最小厚さ)</td><td>216.5mm (必要な最小厚さ)</td><td></td><td></td></tr> <tr> <td>伝熱管 (実機の最小厚さ)</td><td>0.4mm (必要な最小厚さ)</td><td></td><td></td></tr> <tr> <td>管側出入口管台 (補強計算)</td><td>9003mm² (補強に有効な面積)</td><td>8091mm² (補強に必要な面積)</td><td></td></tr> <tr> <td>管側出入口管台 (溶接部強度)</td><td>4706496N (溶接部の強さ)</td><td>≥2582141N (溶接部の負うべき荷重)</td><td></td></tr> <tr> <td>管側フランジ (発生応力)</td><td>312MPa (発生応力)</td><td>391MPa (許容応力)</td><td></td></tr> </tbody> </table>				評価部位	実機の値	判定基準	備考	管側胴板 (実機の最小厚さ)	32.3mm (必要な最小厚さ)			管側鏡板 (実機の最小厚さ)	32.3mm (必要な最小厚さ)			管側出入口管台 (実機の最小厚さ)	5.2mm (必要な最小厚さ)			管板 (実機の最小厚さ)	216.5mm (必要な最小厚さ)			伝熱管 (実機の最小厚さ)	0.4mm (必要な最小厚さ)			管側出入口管台 (補強計算)	9003mm ² (補強に有効な面積)	8091mm ² (補強に必要な面積)		管側出入口管台 (溶接部強度)	4706496N (溶接部の強さ)	≥2582141N (溶接部の負うべき荷重)		管側フランジ (発生応力)	312MPa (発生応力)	391MPa (許容応力)		<table border="1" style="width: 100%; border-collapse: collapse;"> <thead> <tr> <th>評価部位</th><th>実機の値</th><th>判定基準</th><th>裕度</th><th>備考</th></tr> </thead> <tbody> <tr> <td>管側胴板 (実機の最小厚さ)</td><td>32.3mm (必要な最小厚さ)</td><td></td><td></td><td></td></tr> <tr> <td>管側鏡板 (実機の最小厚さ)</td><td>32.3mm (必要な最小厚さ)</td><td></td><td></td><td></td></tr> <tr> <td>管側出入口管台 (先端部) (実機の最小厚さ)</td><td>5.2mm (必要な最小厚さ)</td><td></td><td></td><td></td></tr> <tr> <td>管板 (実機の最小厚さ)</td><td>196.4mm (必要な最小厚さ)</td><td></td><td></td><td></td></tr> <tr> <td>伝熱管 (実機の最小厚さ)</td><td>0.4mm (必要な最小厚さ)</td><td></td><td></td><td></td></tr> <tr> <td>管側出入口管台 (補強計算)</td><td>8933mm² (補強に有効な面積)</td><td>8030mm² (補強に必要な面積)</td><td>1.112</td><td></td></tr> <tr> <td>管側出入口管台 (溶接部強度)</td><td>5626402N (溶接部の強さ)</td><td>2922624N (溶接部の負うべき荷重)</td><td>1.925</td><td></td></tr> <tr> <td>マンホール管台 (補強計算)</td><td>13682mm² (補強に有効な面積)</td><td>11662mm² (補強に必要な面積)</td><td>1.173</td><td></td></tr> <tr> <td>マンホール管台 (溶接部強度)</td><td>8439681N (溶接部の強さ)</td><td>6166155N (溶接部の負うべき荷重)</td><td>1.368</td><td></td></tr> </tbody> </table>				評価部位	実機の値	判定基準	裕度	備考	管側胴板 (実機の最小厚さ)	32.3mm (必要な最小厚さ)				管側鏡板 (実機の最小厚さ)	32.3mm (必要な最小厚さ)				管側出入口管台 (先端部) (実機の最小厚さ)	5.2mm (必要な最小厚さ)				管板 (実機の最小厚さ)	196.4mm (必要な最小厚さ)				伝熱管 (実機の最小厚さ)	0.4mm (必要な最小厚さ)				管側出入口管台 (補強計算)	8933mm ² (補強に有効な面積)	8030mm ² (補強に必要な面積)	1.112		管側出入口管台 (溶接部強度)	5626402N (溶接部の強さ)	2922624N (溶接部の負うべき荷重)	1.925		マンホール管台 (補強計算)	13682mm ² (補強に有効な面積)	11662mm ² (補強に必要な面積)	1.173		マンホール管台 (溶接部強度)	8439681N (溶接部の強さ)	6166155N (溶接部の負うべき荷重)	1.368		
評価部位	実機の値	判定基準	備考																																																																																											
管側胴板 (実機の最小厚さ)	32.3mm (必要な最小厚さ)																																																																																													
管側鏡板 (実機の最小厚さ)	32.3mm (必要な最小厚さ)																																																																																													
管側出入口管台 (実機の最小厚さ)	5.2mm (必要な最小厚さ)																																																																																													
管板 (実機の最小厚さ)	216.5mm (必要な最小厚さ)																																																																																													
伝熱管 (実機の最小厚さ)	0.4mm (必要な最小厚さ)																																																																																													
管側出入口管台 (補強計算)	9003mm ² (補強に有効な面積)	8091mm ² (補強に必要な面積)																																																																																												
管側出入口管台 (溶接部強度)	4706496N (溶接部の強さ)	≥2582141N (溶接部の負うべき荷重)																																																																																												
管側フランジ (発生応力)	312MPa (発生応力)	391MPa (許容応力)																																																																																												
評価部位	実機の値	判定基準	裕度	備考																																																																																										
管側胴板 (実機の最小厚さ)	32.3mm (必要な最小厚さ)																																																																																													
管側鏡板 (実機の最小厚さ)	32.3mm (必要な最小厚さ)																																																																																													
管側出入口管台 (先端部) (実機の最小厚さ)	5.2mm (必要な最小厚さ)																																																																																													
管板 (実機の最小厚さ)	196.4mm (必要な最小厚さ)																																																																																													
伝熱管 (実機の最小厚さ)	0.4mm (必要な最小厚さ)																																																																																													
管側出入口管台 (補強計算)	8933mm ² (補強に有効な面積)	8030mm ² (補強に必要な面積)	1.112																																																																																											
管側出入口管台 (溶接部強度)	5626402N (溶接部の強さ)	2922624N (溶接部の負うべき荷重)	1.925																																																																																											
マンホール管台 (補強計算)	13682mm ² (補強に有効な面積)	11662mm ² (補強に必要な面積)	1.173																																																																																											
マンホール管台 (溶接部強度)	8439681N (溶接部の強さ)	6166155N (溶接部の負うべき荷重)	1.368																																																																																											
枠囲みの範囲は機密に係る事項ですので公開することできません。				枠囲みの内容は機密情報に属しますので公開できません。																																																																																										
2. 破断面積				2. 破断面積																																																																																										
2.1 評価部位の選定と破断面積の評価方法				2.1 評価部位の選定と破断面積の評価方法																																																																																										
管側フランジと管板の接合部については、1次冷却材系統の圧力・温度条件下においてもガスケットは機能し、有意な漏えいは発生しないと考えられるが、余熱除去系統の中のガスケットを使ったシール構造で、破損した際の影響が最も大きいと考えられることから、評価にあたっては、ISLOCA発生時の温度・圧力条件下におけるボルト、フランジ及び管板の伸び量の合計分隙間が開き、漏えいが発生するものと想定して、破断面積を算出した。				マンホール管台フランジ部については、1次冷却系統の圧力・温度条件下においてもガスケットは機能し、有意な漏えいは発生しないと考えられるが、余熱除去系統の中のガスケットを使ったシール構造で破損した際の影響が大きいと考えられることから、評価にあたっては、保守的にISLOCA発生時の温度・圧力条件下におけるボルト、フランジ及び蓋板の伸び量の合計分隙間が開き、漏えいが発生するものと想定して、破断面積を算出した。				設計の相違																																																																																						
2.2 破断面積の評価結果				2.2 破断面積の評価結果																																																																																										
漏えいが想定される管側フランジと管板の接合部の破断面積を表3にまとめる。				漏えいが想定されるマンホール管台フランジ部の破断面積を表3にまとめる。なお、300°C条件下で評価したところ、伸び量がマイナスとなり、圧縮量が増加することになることから、熱伸びを考慮しない条件で評価した破断面積を余熱除去冷却器の破断面積とした。				設計の相違 (伊方、玄海と同様)																																																																																						

泊発電所 3号炉 有効性評価 比較表

7.1.8 格納容器バイパス (添付資料 7.1.8.4 インターフェイスシステム LOCA 発生時の余熱除去系統の破断箇所及び破断面積について)

赤字 : 設備、運用又は体制の相違 (設計方針の相違)
青字 : 記載箇所又は記載内容の相違 (記載方針の相違)
緑字 : 記載表現、設備名称の相違 (実質的な相違なし)

大飯発電所3／4号炉	泊発電所3号炉	相違理由																																																																																																				
<p>表3 余熱除去冷却器の破断面積</p> <table border="1"> <tbody> <tr><td>設定温度: T1 (°C)</td><td>300</td></tr> <tr><td>設置温度: T2 (°C)</td><td>21</td></tr> <tr><td>ボルトサイズ・材質</td><td>M56×3, SNB7</td></tr> <tr><td>ボルト本数</td><td>48</td></tr> <tr><td>ボルト支持長さ: L₀ (mm)</td><td>424.4</td></tr> <tr><td>ボルト有効径: d (mm)</td><td>54.1</td></tr> <tr><td>ボルトヤング率: E (MPa)</td><td>186000</td></tr> <tr><td>フランジ・管板 線膨張係数: α1 (at T1) (mm/mm)</td><td>17.07</td></tr> <tr><td>ボルト 線膨張係数: α2 (at T1) (mm/mm)</td><td>13.00</td></tr> <tr><td>フランジ熱伸び対象長さ: L1 (mm)</td><td>187.0</td></tr> <tr><td>管板熱伸び対象長さ: L2 (mm)</td><td>231.0</td></tr> <tr><td>ボルト熱伸び対象長さ: L3 (mm)</td><td>424.4</td></tr> <tr><td>ボルト締付トルクによる全締付荷重: W(N)</td><td>18344779</td></tr> <tr><td>15.4MPa 加圧に必要な最小荷重: W_{m1} (N)</td><td>41665372</td></tr> <tr><td>不足する荷重: W₀=W-W_{m1} (N)</td><td>-23320593</td></tr> <tr><td>不足荷重分のボルト荷重: F= W₀ /N (N/本)</td><td>485846</td></tr> <tr><td>ボルト面積: A_b=π/4·d² (mm²)</td><td>2294.6</td></tr> <tr><td>ボルト応力: σ=F/A_b (MPa)</td><td>211.7</td></tr> <tr><td>ボルトひずみ: ε=σ/E (mm/mm)</td><td>0.001138</td></tr> <tr><td>ボルト伸び量: ΔL₁=ε·L₀ (mm)</td><td>0.48</td></tr> <tr><td>フランジ・管板 熱伸び量: ΔL₂=α₁·10⁻⁶·(T₁-T₂)·(L₁+L₂)</td><td>1.99</td></tr> <tr><td>ボルトの熱伸び量: ΔL₃=α₂·10⁻⁶·(T₁-T₂)·L₃</td><td>1.54</td></tr> <tr><td>伸び量: ΔL=ΔL₁-ΔL₂+ΔL₃ (mm)</td><td>0.03</td></tr> <tr><td>管側フランジと管板の接合部漏えい面積: A=π·D·ΔL (mm²)</td><td>178</td></tr> <tr><td>漏えい量評価に用いる破断面積 (inch²)</td><td>0.28</td></tr> </tbody> </table>	設定温度: T1 (°C)	300	設置温度: T2 (°C)	21	ボルトサイズ・材質	M56×3, SNB7	ボルト本数	48	ボルト支持長さ: L ₀ (mm)	424.4	ボルト有効径: d (mm)	54.1	ボルトヤング率: E (MPa)	186000	フランジ・管板 線膨張係数: α1 (at T1) (mm/mm)	17.07	ボルト 線膨張係数: α2 (at T1) (mm/mm)	13.00	フランジ熱伸び対象長さ: L1 (mm)	187.0	管板熱伸び対象長さ: L2 (mm)	231.0	ボルト熱伸び対象長さ: L3 (mm)	424.4	ボルト締付トルクによる全締付荷重: W(N)	18344779	15.4MPa 加圧に必要な最小荷重: W _{m1} (N)	41665372	不足する荷重: W ₀ =W-W _{m1} (N)	-23320593	不足荷重分のボルト荷重: F= W ₀ /N (N/本)	485846	ボルト面積: A _b =π/4·d ² (mm ²)	2294.6	ボルト応力: σ=F/A _b (MPa)	211.7	ボルトひずみ: ε=σ/E (mm/mm)	0.001138	ボルト伸び量: ΔL ₁ =ε·L ₀ (mm)	0.48	フランジ・管板 熱伸び量: ΔL ₂ =α ₁ ·10 ⁻⁶ ·(T ₁ -T ₂)·(L ₁ +L ₂)	1.99	ボルトの熱伸び量: ΔL ₃ =α ₂ ·10 ⁻⁶ ·(T ₁ -T ₂)·L ₃	1.54	伸び量: ΔL=ΔL ₁ -ΔL ₂ +ΔL ₃ (mm)	0.03	管側フランジと管板の接合部漏えい面積: A=π·D·ΔL (mm ²)	178	漏えい量評価に用いる破断面積 (inch ²)	0.28	<p>表3 余熱除去冷却器の破断面積</p> <table border="1"> <tbody> <tr><td>設定温度: T1 (°C)</td><td>300</td></tr> <tr><td>設置温度: T2 (°C)</td><td>21</td></tr> <tr><td>ボルトサイズ・材質</td><td>M48×3, SNB7</td></tr> <tr><td>ボルト本数</td><td>20</td></tr> <tr><td>ボルト支持長さ: L₀ (mm)</td><td>217.2</td></tr> <tr><td>ボルト有効径: d (mm)</td><td>46.1</td></tr> <tr><td>ボルトヤング率: E (MPa)</td><td>186000</td></tr> <tr><td>フランジ・蓋板 線膨張係数: α1 (at T1) (mm/mm)</td><td>- (17.07)</td></tr> <tr><td>ボルト 線膨張係数: α2 (at T1) (mm/mm)</td><td>- (13.00)</td></tr> <tr><td>フランジ熱伸び対象長さ: L₁ (mm)</td><td>102.0</td></tr> <tr><td>蓋板熱伸び対象長さ: L₂ (mm)</td><td>110.7</td></tr> <tr><td>ボルト熱伸び対象長さ: L₃ (mm)</td><td>217.2</td></tr> <tr><td>ボルト締付トルクによる全締付荷重: W(N)</td><td>3690638</td></tr> <tr><td>15.4MPa 加圧に必要な最小荷重: W_{m1} (N)</td><td>4433865</td></tr> <tr><td>不足する荷重: W₀=W-W_{m1} (N)</td><td>-743227</td></tr> <tr><td>不足荷重分のボルト荷重: F= W₀ /N (N/本)</td><td>37161</td></tr> <tr><td>ボルト面積: A_b=π/4·d² (mm²)</td><td>1665.59</td></tr> <tr><td>ボルト応力: σ=F/A_b (MPa)</td><td>22.31</td></tr> <tr><td>ボルトひずみ: ε=σ/E (mm/mm)</td><td>0.000120</td></tr> <tr><td>ボルト伸び量: ΔL₁=ε·L₀ (mm)</td><td>0.03</td></tr> <tr><td>フランジ・蓋板 熱伸び量: ΔL₂=α₁·10⁻⁶·(T₁-T₂)·(L₁+L₂) (mm)</td><td>- (1.01)</td></tr> <tr><td>ボルトの熱伸び量: ΔL₃=α₂·10⁻⁶·(T₁-T₂)·L₃ (mm)</td><td>- (0.79)</td></tr> <tr><td>伸び量: ΔL=ΔL₁-ΔL₂+ΔL₃ (mm)</td><td>0.03 (-0.20)</td></tr> <tr><td>フランジ部漏えい面積: A=π·D·ΔL (mm²)</td><td>45 (-328)</td></tr> <tr><td>漏えい量評価に用いる破断面積 (inch²)</td><td>0.07 (-)</td></tr> </tbody> </table>	設定温度: T1 (°C)	300	設置温度: T2 (°C)	21	ボルトサイズ・材質	M48×3, SNB7	ボルト本数	20	ボルト支持長さ: L ₀ (mm)	217.2	ボルト有効径: d (mm)	46.1	ボルトヤング率: E (MPa)	186000	フランジ・蓋板 線膨張係数: α1 (at T1) (mm/mm)	- (17.07)	ボルト 線膨張係数: α2 (at T1) (mm/mm)	- (13.00)	フランジ熱伸び対象長さ: L ₁ (mm)	102.0	蓋板熱伸び対象長さ: L ₂ (mm)	110.7	ボルト熱伸び対象長さ: L ₃ (mm)	217.2	ボルト締付トルクによる全締付荷重: W(N)	3690638	15.4MPa 加圧に必要な最小荷重: W _{m1} (N)	4433865	不足する荷重: W ₀ =W-W _{m1} (N)	-743227	不足荷重分のボルト荷重: F= W ₀ /N (N/本)	37161	ボルト面積: A _b =π/4·d ² (mm ²)	1665.59	ボルト応力: σ=F/A _b (MPa)	22.31	ボルトひずみ: ε=σ/E (mm/mm)	0.000120	ボルト伸び量: ΔL ₁ =ε·L ₀ (mm)	0.03	フランジ・蓋板 熱伸び量: ΔL ₂ =α ₁ ·10 ⁻⁶ ·(T ₁ -T ₂)·(L ₁ +L ₂) (mm)	- (1.01)	ボルトの熱伸び量: ΔL ₃ =α ₂ ·10 ⁻⁶ ·(T ₁ -T ₂)·L ₃ (mm)	- (0.79)	伸び量: ΔL=ΔL ₁ -ΔL ₂ +ΔL ₃ (mm)	0.03 (-0.20)	フランジ部漏えい面積: A=π·D·ΔL (mm ²)	45 (-328)	漏えい量評価に用いる破断面積 (inch ²)	0.07 (-)	
設定温度: T1 (°C)	300																																																																																																					
設置温度: T2 (°C)	21																																																																																																					
ボルトサイズ・材質	M56×3, SNB7																																																																																																					
ボルト本数	48																																																																																																					
ボルト支持長さ: L ₀ (mm)	424.4																																																																																																					
ボルト有効径: d (mm)	54.1																																																																																																					
ボルトヤング率: E (MPa)	186000																																																																																																					
フランジ・管板 線膨張係数: α1 (at T1) (mm/mm)	17.07																																																																																																					
ボルト 線膨張係数: α2 (at T1) (mm/mm)	13.00																																																																																																					
フランジ熱伸び対象長さ: L1 (mm)	187.0																																																																																																					
管板熱伸び対象長さ: L2 (mm)	231.0																																																																																																					
ボルト熱伸び対象長さ: L3 (mm)	424.4																																																																																																					
ボルト締付トルクによる全締付荷重: W(N)	18344779																																																																																																					
15.4MPa 加圧に必要な最小荷重: W _{m1} (N)	41665372																																																																																																					
不足する荷重: W ₀ =W-W _{m1} (N)	-23320593																																																																																																					
不足荷重分のボルト荷重: F= W ₀ /N (N/本)	485846																																																																																																					
ボルト面積: A _b =π/4·d ² (mm ²)	2294.6																																																																																																					
ボルト応力: σ=F/A _b (MPa)	211.7																																																																																																					
ボルトひずみ: ε=σ/E (mm/mm)	0.001138																																																																																																					
ボルト伸び量: ΔL ₁ =ε·L ₀ (mm)	0.48																																																																																																					
フランジ・管板 熱伸び量: ΔL ₂ =α ₁ ·10 ⁻⁶ ·(T ₁ -T ₂)·(L ₁ +L ₂)	1.99																																																																																																					
ボルトの熱伸び量: ΔL ₃ =α ₂ ·10 ⁻⁶ ·(T ₁ -T ₂)·L ₃	1.54																																																																																																					
伸び量: ΔL=ΔL ₁ -ΔL ₂ +ΔL ₃ (mm)	0.03																																																																																																					
管側フランジと管板の接合部漏えい面積: A=π·D·ΔL (mm ²)	178																																																																																																					
漏えい量評価に用いる破断面積 (inch ²)	0.28																																																																																																					
設定温度: T1 (°C)	300																																																																																																					
設置温度: T2 (°C)	21																																																																																																					
ボルトサイズ・材質	M48×3, SNB7																																																																																																					
ボルト本数	20																																																																																																					
ボルト支持長さ: L ₀ (mm)	217.2																																																																																																					
ボルト有効径: d (mm)	46.1																																																																																																					
ボルトヤング率: E (MPa)	186000																																																																																																					
フランジ・蓋板 線膨張係数: α1 (at T1) (mm/mm)	- (17.07)																																																																																																					
ボルト 線膨張係数: α2 (at T1) (mm/mm)	- (13.00)																																																																																																					
フランジ熱伸び対象長さ: L ₁ (mm)	102.0																																																																																																					
蓋板熱伸び対象長さ: L ₂ (mm)	110.7																																																																																																					
ボルト熱伸び対象長さ: L ₃ (mm)	217.2																																																																																																					
ボルト締付トルクによる全締付荷重: W(N)	3690638																																																																																																					
15.4MPa 加圧に必要な最小荷重: W _{m1} (N)	4433865																																																																																																					
不足する荷重: W ₀ =W-W _{m1} (N)	-743227																																																																																																					
不足荷重分のボルト荷重: F= W ₀ /N (N/本)	37161																																																																																																					
ボルト面積: A _b =π/4·d ² (mm ²)	1665.59																																																																																																					
ボルト応力: σ=F/A _b (MPa)	22.31																																																																																																					
ボルトひずみ: ε=σ/E (mm/mm)	0.000120																																																																																																					
ボルト伸び量: ΔL ₁ =ε·L ₀ (mm)	0.03																																																																																																					
フランジ・蓋板 熱伸び量: ΔL ₂ =α ₁ ·10 ⁻⁶ ·(T ₁ -T ₂)·(L ₁ +L ₂) (mm)	- (1.01)																																																																																																					
ボルトの熱伸び量: ΔL ₃ =α ₂ ·10 ⁻⁶ ·(T ₁ -T ₂)·L ₃ (mm)	- (0.79)																																																																																																					
伸び量: ΔL=ΔL ₁ -ΔL ₂ +ΔL ₃ (mm)	0.03 (-0.20)																																																																																																					
フランジ部漏えい面積: A=π·D·ΔL (mm ²)	45 (-328)																																																																																																					
漏えい量評価に用いる破断面積 (inch ²)	0.07 (-)																																																																																																					

注: () 内の数値は、熱伸びを考慮した場合の値を示す。

別紙-2

余熱除去ポンプからの漏えいの可能性について

余熱除去ポンプについて、ISLOCA 発生時の高温 (300°C)、高圧 (15.4MPa) の条件下で漏えいが発生しないことを以下のとおり確認した。

1. 強度評価

1.1 評価部位の選定

評価箇所については既工認に基づきケーシング (吸込・吐出ノズル)、管台、ケーシングカバー、ケーシングボルトに関して、評価を実施した。吸込・吐出ノズルはフランジ端までケーシング最小肉厚と同じ肉厚を確保しているため、ケーシング肉厚を代表として評価した。また、ケーシングとケーシングカバーの接合部を評価した。

また、非金属製部品 (カーボン製のシールリング、フッ素ゴム製のOリング) を使用するメカニカルシールについても評価した。

図1に余熱除去ポンプ本体の、図2及び図3にメカニカルシールの構造及び原理を示す。

別紙-2 (1/10)

余熱除去ポンプからの漏えいの可能性について

余熱除去ポンプについて、ISLOCA 発生時の高温 (300°C)、高圧 (15.4MPa) の条件下で漏えいが発生しないことを以下のとおり確認した。

1. 強度評価

1.1 評価部位の選定

評価箇所については既工認に基づきケーシング (吸込・吐出ノズル)、管台、ケーシングカバー、ケーシングボルトに関して、評価を実施した。吸込・吐出ノズルはフランジ端までケーシング最小肉厚と同じ肉厚を確保しているため、ケーシング肉厚を代表として評価した。また、ケーシングとケーシングカバーの接合部を評価した。

また、非金属製部品 (カーボン製の遊動環、フッ素ゴム製のOリング) を使用しているメカニカルシールについても評価した。

図1に余熱除去ポンプ本体の、図2及び図3にメカニカルシールの構造及び原理を示す。

泊発電所 3号炉 有効性評価 比較表

7.1.8 格納容器バイパス (添付資料 7.1.8.4 インターフェイスシステム LOCA 発生時の余熱除去系統の破断箇所及び破断面積について)

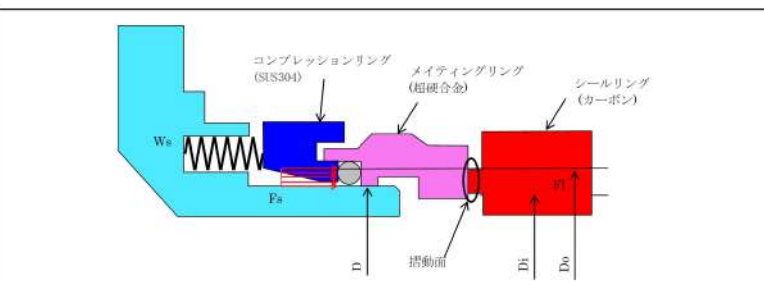
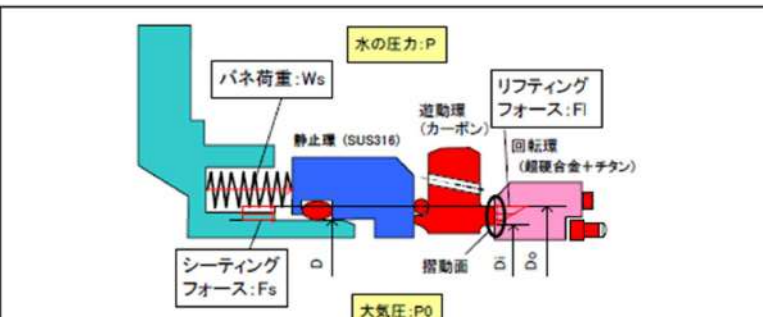
赤字 : 設備、運用又は体制の相違 (設計方針の相違)
青字 : 記載箇所又は記載内容の相違 (記載方針の相違)
緑字 : 記載表現、設備名称の相違 (実質的な相違なし)

大飯発電所3／4号炉	泊発電所3号炉	相違理由
<p>図1 余熱除去ポンプ</p>	<p>図1 余熱除去ポンプ</p>	
<p>図2 メカニカルシール</p>	<p>図2 メカニカルシール</p>	

泊発電所3号炉 有効性評価 比較表

7.1.8 格納容器バイパス (添付資料 7.1.8.4 インターフェイスシステム LOCA 発生時の余熱除去系統の破断箇所及び破断面積について)

赤字 : 設備、運用又は体制の相違 (設計方針の相違)
青字 : 記載箇所又は記載内容の相違 (記載方針の相違)
緑字 : 記載表現、設備名称の相違 (実質的な相違なし)

大飯発電所3／4号炉	泊発電所3号炉	相違理由																																										
 <p>図に示すようにシールリングには右向きに「バネ荷重: W_s」とメカニカルシール内の「水の圧力: P」から「大気圧: P_0」を引いた差圧 ΔP によって発生する「シーティングフォース: F_s」が加わっている。</p> <p>一方、左向きにメカニカルシール内の「水の圧力: P」から「大気圧: P_0」を引いた差圧 ΔP によって発生する「リフティングフォース: F_l」が加わっている。シールリングとメイティングリングの摺動面では、メカニカルシール内の「水の圧力: P」から「大気圧: P_0」まで減圧されるため、図に示すように圧力が三角分布となる。従って、面積に差圧 ΔP をかけて 2 で割ったものが F_l となる。 F_l の式を以下に示す。関係式を以下に示す。</p> $F_s = (D_o^2 - D_i^2) / 4 \times \pi \times \Delta P$ $F_l = (D_o^2 - D_i^2) / 4 \times \pi \times \Delta P / 2$ <p>D_o, D, D_i: 主軸を中心とした円の直径 (m) ΔP: 差圧 (水の圧力: P-大気圧: P_0) (MPa)</p> <p>メカニカルシールは、メイティングリングを「バネによる押さえ力」と(「シーティングフォース: F_s」から「リフティングフォース: F_l」を引いた力)との合計の力でシールリングに押し付けることにより、シールを行っている。そのため、メカニカルシールは、差圧 ($\Delta P=P-P_0$) の増加に相対して、シール面圧が高くなる特性を有しており、高差圧が作用した場合でも、有意に漏えい量が増加することはない。以下に、最高使用圧力 (DBA) と ISLOCA 時の圧力での摺動面の面圧を示す。</p> <table border="1" data-bbox="224 1111 988 1349"> <thead> <tr> <th></th> <th>最高使用圧力(DBA)</th> <th>ISLOCA 時の圧力</th> </tr> </thead> <tbody> <tr> <td>ΔP (MPa)</td> <td>4.5</td> <td>15.4</td> </tr> <tr> <td>F_s (N)</td> <td></td> <td></td> </tr> <tr> <td>F_l (N)</td> <td></td> <td></td> </tr> <tr> <td>W_s (N)</td> <td></td> <td></td> </tr> <tr> <td>摺動面の接触荷重 $W_t=W_s+F_s-F_l$ (N)</td> <td></td> <td></td> </tr> <tr> <td>摺動面の面圧 $P_t=W_t/(D_o^2-D_i^2)/4 \times \pi$ (MPa)</td> <td></td> <td></td> </tr> </tbody> </table> <p>図3 メカニカルシールの原理</p> <p>枠囲みの範囲は機密に係る事項ですので公開することはできません。</p>		最高使用圧力(DBA)	ISLOCA 時の圧力	ΔP (MPa)	4.5	15.4	F_s (N)			F_l (N)			W_s (N)			摺動面の接触荷重 $W_t=W_s+F_s-F_l$ (N)			摺動面の面圧 $P_t=W_t/(D_o^2-D_i^2)/4 \times \pi$ (MPa)			 <p>図に示すように遊動環には右向きに「バネ荷重: W_s」とメカニカルシール内の「水の圧力: P」から「大気圧: P_0」を引いた差圧 ΔP によって発生する「シーティングフォース: F_s」が加わっている。</p> <p>一方、左向きにメカニカルシール内の「水の圧力: P」から「大気圧: P_0」を引いた差圧 ΔP によって発生する「リフティングフォース: F_l」が加わっている。遊動環と回転環の摺動面では、メカニカルシール内の「水の圧力: P」から「大気圧: P_0」まで減圧されるため、図に示すように圧力が三角分布となる。従つて、面積に差圧 ΔP をかけて 2 で割ったものが F_l となる。F_l の式を以下に示す。関係式を以下に示す。</p> $F_s = (D_o^2 - D_i^2) / 4 \times \pi \times \Delta P$ $F_l = (D_o^2 - D_i^2) / 4 \times \pi \times \Delta P / 2$ <p>D_o, D, D_i: 主軸を中心とした円の直径 (m) ΔP: 差圧 (水の圧力: P-大気圧: P_0) (MPa)</p> <p>メカニカルシールは、遊動環を「バネによる押さえ力」と(「シーティングフォース: F_s」から「リフティングフォース: F_l」を引いた力)との合計の力で回転環に押し付けることにより、シールを行っている。そのため、メカニカルシールは、差圧 ($\Delta P=P-P_0$) の増加に相対して、シール面圧が高くなる特性を有しており、高差圧が作用した場合でも、有意に漏えい量が増加することはない。以下に、最高使用圧力 (DBA) と ISLOCA 時の圧力での摺動面の面圧を示す。</p> <table border="1" data-bbox="1123 1111 1886 1349"> <thead> <tr> <th></th> <th>最高使用圧力(DBA)</th> <th>ISLOCA 時の圧力</th> </tr> </thead> <tbody> <tr> <td>ΔP (MPa)</td> <td>4.5</td> <td>15.4</td> </tr> <tr> <td>F_s (N)</td> <td></td> <td></td> </tr> <tr> <td>F_l (N)</td> <td></td> <td></td> </tr> <tr> <td>W_s (N)</td> <td></td> <td></td> </tr> <tr> <td>摺動面の接触加重 $W_t=W_s+F_s-F_l$ (N)</td> <td></td> <td></td> </tr> <tr> <td>摺動面の面圧 $P_t=W_t/(D_o^2-D_i^2)/4 \times \pi$ (MPa)</td> <td></td> <td></td> </tr> </tbody> </table> <p>図3 メカニカルシールの原理</p> <p>枠囲みの内容は機密情報に属しますので公開できません。</p>		最高使用圧力(DBA)	ISLOCA 時の圧力	ΔP (MPa)	4.5	15.4	F_s (N)			F_l (N)			W_s (N)			摺動面の接触加重 $W_t=W_s+F_s-F_l$ (N)			摺動面の面圧 $P_t=W_t/(D_o^2-D_i^2)/4 \times \pi$ (MPa)			
	最高使用圧力(DBA)	ISLOCA 時の圧力																																										
ΔP (MPa)	4.5	15.4																																										
F_s (N)																																												
F_l (N)																																												
W_s (N)																																												
摺動面の接触荷重 $W_t=W_s+F_s-F_l$ (N)																																												
摺動面の面圧 $P_t=W_t/(D_o^2-D_i^2)/4 \times \pi$ (MPa)																																												
	最高使用圧力(DBA)	ISLOCA 時の圧力																																										
ΔP (MPa)	4.5	15.4																																										
F_s (N)																																												
F_l (N)																																												
W_s (N)																																												
摺動面の接触加重 $W_t=W_s+F_s-F_l$ (N)																																												
摺動面の面圧 $P_t=W_t/(D_o^2-D_i^2)/4 \times \pi$ (MPa)																																												

泊発電所3号炉 有効性評価 比較表

7.1.8 格納容器バイパス (添付資料 7.1.8.4 インターフェイスシステム LOCA 発生時の余熱除去系統の破断箇所及び破断面積について)

赤字 : 設備、運用又は体制の相違 (設計方針の相違)
青字 : 記載箇所又は記載内容の相違 (記載方針の相違)
緑字 : 記載表現、設備名称の相違 (実質的な相違なし)

大飯発電所3／4号炉	泊発電所3号炉	相違理由
<p>1.2 評価方法 (1) ケーシング（吸込・吐出ノズル）の評価 設計・建設規格「PMC-3320 ケーシングの厚さの規定」を適用して必要な最小厚さを算出し、実機の最小厚さが必要な最小厚さを上回ることを確認した。</p> $t = \frac{PA}{2S} \quad (\text{PMC-3})$ <p>t : ケーシングの必要な最小厚さ (mm) P : 15.4 (MPa) A : 図 PMC-3320-1 から図 PMC-3320-6 までに示す寸法 (mm) S : 設計引張強さ ($S_u = 341$ (MPa)、at 300°C、SCS13)</p> <p>(2) 管台の評価 設計・建設規格「PMC-3610 管台の構造強度の規定」を適用し必要な最小厚さを算出し、実機の最小厚さが必要な最小厚さを上回ることを確認した。</p> $t = \frac{PD_0}{2S\eta + 0.8P} \quad (\text{PMC-14})$ <p>t : 管台の必要な最小厚さ (mm) D₀ : 管台の外形 (mm) η : 繰ぎ手の効率 ($\eta = 1$ (-)) P : 15.4 (MPa) S : 設計引張強さ ($S_u = 391$ (MPa)、at 300°C、SUS304TP)</p> <p>(3) ケーシングカバーの評価 設計・建設規格「PMC-3410 ケーシングカバーの構造強度の規定」を適用し必要な最小厚さを算出し、実機の最小厚さが必要な最小厚さを上回ることを確認した。</p> $t = d \sqrt{\frac{KP}{S}} \quad (\text{PMC-10})$ <p>t : ケーシングカバーの必要な最小厚さ (mm) d : 表 PMC-3410-1 の左欄に掲げるケーシングカバーの取付け方法に応じ、それぞれ同欄の図に示す当該ケーシングカバーの径または最小内のり (mm) K : 0.17 (ケーシングカバーの取付け方法による係数) P : 15.4 (MPa) S : 設計引張強さ ($S_u = 341$ (MPa)、at 300°C、SCS13)</p>	<p>1.2 評価方法 (1) ケーシング（吸込・吐出ノズル）の評価 設計・建設規格「PMC-3320 ケーシングの厚さの規定」を適用して必要な最小厚さを算出し、実機の最小厚さが必要な最小厚さを上回ることを確認した。</p> $t = \frac{PA}{2S} \quad (\text{PMC-3})$ <p>t : ケーシングの必要な最小厚さ (mm) P : 15.4 (MPa) A : 図 PMC-3320-1 から図 PMC-3320-6 までに示す寸法 (mm) S : 設計引張強さ ($S_u = 341$ (MPa)、at 300°C、SCS13)</p> <p>(2) 管台の評価 設計・建設規格「PMC-3610 管台の構造強度の規定」を適用し必要な最小厚さを算出し、実機の最小厚さが必要な最小厚さを上回ることを確認した。</p> $t = \frac{PD_0}{2S\eta + 0.8P} \quad (\text{PMC-14})$ <p>t : 管台の必要な最小厚さ (mm) D₀ : 管台の外形 (mm) η : 繰ぎ手の効率 ($\eta = 1$ (-)) P : 15.4 (MPa) S : 設計引張強さ ($S_u = 391$ (MPa)、at 300°C、SUS304TP)</p> <p>(3) ケーシングカバーの評価 設計・建設規格「PMC-3410 ケーシングカバーの構造強度の規定」を適用し必要な最小厚さを算出し、実機の最小厚さが必要な最小厚さを上回ることを確認した。</p> $t = d \sqrt{\frac{KP}{S}} \quad (\text{PMC-10})$ <p>t : ケーシングカバーの必要な最小厚さ (mm) d : 表 PMC-3410-1 の左欄に掲げるケーシングカバーの取付け方法に応じ、それぞれ同欄の図に示す当該ケーシングカバーの径または最小内のり (mm) K : 0.17 (ケーシングカバーの取付け方法による係数) P : 15.4 (MPa) S : 設計引張強さ ($S_u = 341$ (MPa)、at 300°C、SCS13)</p>	

泊発電所3号炉 有効性評価 比較表

7.1.8 格納容器バイパス (添付資料 7.1.8.4 インターフェイスシステム LOCA 発生時の余熱除去系統の破断箇所及び破断面積について)

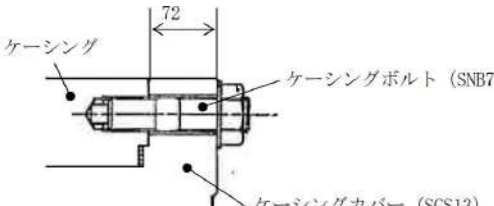
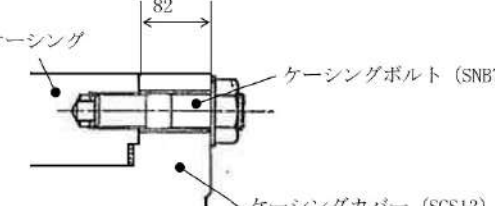
赤字 : 設備、運用又は体制の相違 (設計方針の相違)
 青字 : 記載箇所又は記載内容の相違 (記載方針の相違)
 緑字 : 記載表現、設備名称の相違 (実質的な相違なし)

大飯発電所3／4号炉	泊発電所3号炉	相違理由
<p>(4) ケーシングボルトの評価</p> <p>設計・建設規格「PMC-3510 ボルトの構造強度の規定」より、「JIS B 8265」を適用して発生応力を算出し、発生応力が許容応力 (Sy 値) を下回ることを確認した。</p> <p>Sbo=Wm1/Ab Sbo : 発生応力 (MPa) Wm1 : 使用状態でのボルト荷重 (N)</p> $Wm1 = \frac{\pi GP}{4} (G + 8bm)$ <p>G : ガスケット反力円の直径 (G=539 (mm)) G=Dg-2b Dg : ガスケットの外径 (Dg=553 (mm)) b : ガスケット座の有効幅 (b=7.0 (mm)) $b=2.52\sqrt{(N/2)}=6.901\approx7.0$ N : ガスケット幅 (N=15 (mm)) P : 15.4 (MPa)</p> <p>Ab : 実際に使用するボルトの総有効断面積 (Ab=21654 (mm²))</p> $Ab = n \frac{\pi}{4} db^2$ <p>db : ボルトねじ部の谷径 (db=37.129 (mm)) m : ガスケット係数 (m=3.00 (JIS B 8265 附属書3 表2による)) Sba=Wm2/Ab Sba : ガスケット締付時応力 (MPa) Wm2 : ガスケット締付時ボルト荷重 (N)</p> $Wm2 = \pi b Gy$ <p>y : ガスケットの最小設計締付圧力 (y=68.9 (N/mm²) (JIS B 8265 附属書3 表2による)) Sy : 設計降伏点 (Sy=425 (MPa)、at300°C、SNB7)</p> <p>(5) ポンプ耐圧部の接合部の評価</p> <p>ケーシングとケーシングカバーの接合部については、ケーシングボルトの内圧と熱による伸び量、及びケーシングカバーの熱による伸び量を評価し、ケーシングボルトの伸び量からケーシングカバーの伸び量を差し引いた伸び量がマイナスであることを確認した。</p>	<p>(4) ケーシングボルトの評価</p> <p>設計・建設規格「PMC-3510 ボルトの構造強度の規定」より、「JIS B 8265」を適用して発生応力を算出し、発生応力が許容応力 (Sy 値) を下回ることを確認した。</p> <p>Sbo=Wm1/Ab Sbo : 発生応力 (MPa) Wm1 : 使用状態でのボルト荷重 (N)</p> $Wm1 = \frac{\pi GP}{4} (G + 8bm)$ <p>G : ガスケット反力円の直径 (G=600 (mm)) G=Dg-2b Dg : ガスケットの外径 (Dg=614 (mm)) b : ガスケット座の有効幅 (b=7.0 (mm)) $b=2.52\sqrt{(N/2)}=6.901\approx7.0$ N : ガスケット幅 (N=15 (mm)) P : 15.4 (MPa)</p> <p>Ab : 実際に使用するボルトの総有効断面積 (Ab=21654 (mm²))</p> $Ab = n \frac{\pi}{4} db^2$ <p>db : ボルトねじ部の谷径 (db=37.129 (mm)) m : ガスケット係数 (m=3.00 (JIS B 8265 附属書3 表2による)) Sba=Wm2/Ab Sba : ガスケット締付時応力 (MPa) Wm2 : ガスケット締付時ボルト荷重 (N)</p> $Wm2 = \pi b Gy$ <p>y : ガスケットの最小設計締付圧力 (y=68.9 (N/mm²) (JIS B 8265 附属書3 表2による)) Sy : 設計降伏点 (Sy=425 (MPa)、at300°C、SNB7)</p> <p>(5) ポンプ耐圧部の接合部の評価</p> <p>ケーシングとケーシングカバーの接合部については、ケーシングボルトの内圧と熱による伸び量、及びケーシングカバーの熱による伸び量を評価し、ケーシングボルトの伸び量からケーシングカバーの伸び量を差し引いた伸び量がガスケット復元量 (約□) *以下であり、有意な漏えいは発生しないことを確認した。</p> <p>* : ガスケットメーカーにおける試験によって確認した値 □枠囲みの内容は機密情報に属しますので公開できません。</p>	評価結果の相違

泊発電所3号炉 有効性評価 比較表

7.1.8 格納容器バイパス (添付資料 7.1.8.4 インターフェイスシステム LOCA 発生時の余熱除去系統の破断箇所及び破断面積について)

赤字 : 設備、運用又は体制の相違 (設計方針の相違)
青字 : 記載箇所又は記載内容の相違 (記載方針の相違)
緑字 : 記載表現、設備名称の相違 (実質的な相違なし)

大飯発電所3／4号炉	泊発電所3号炉	相違理由
<p>伸び量がマイナスの場合は、ポンプ耐圧部の接合部は増し締めされることになる。ケーシングとケーシングカバーの合わせ面については、ケーシングとケーシングカバーがメタルタッチしており、それ以上ガスケットが圧縮しない構造となっていることから、ケーシングナット座面の面圧とケーシングとケーシングカバー合わせ面の面圧が材料の許容力を下回ることを確認した。</p> <p>①ケーシングボルトの伸び量の算出</p> <p>ケーシングボルトを図4に示す。</p>  <p>図4 ケーシングボルト</p> <p>a. 初期締め付けによるケーシングボルトの伸び量</p> $\sigma_1 = E_b \times \delta_1 / L_0$ <p>σ_1: ケーシングボルトの発生応力 38 (MPa)</p> <p>E_b: ケーシングボルト材料 (SNB7) の縦弾性係数 186000 (MPa)</p> <p>δ_1: 初期締め付けによるケーシングボルトの伸び量 (mm)</p> <p>L_0: ケーシングボルトのねじ部を除く長さ 72 (mm)</p> $\delta_1 = 38 \times 72 / 186000 = 0.0147 \text{ (mm)}$ <p>b. 内圧によるケーシングボルトの伸び量</p> $\sigma_2 = E_b \times \delta_2 / L_0$ <p>σ_2: ケーシングボルトの発生応力 213 (MPa)</p> <p>E_b: ケーシングボルト材料 (SNB7) の縦弾性係数 186000 (MPa)</p> <p>δ_2: 内圧によるケーシングボルトの伸び量 (mm)</p> <p>L_0: ケーシングボルトのねじ部を除く長さ 72 (mm)</p> $\delta_2 = 213 \times 72 / 186000 = 0.0825 \text{ (mm)}$ <p>c. 热による伸び量</p> <ul style="list-style-type: none"> ・ケーシングボルトの伸び量 $\delta_3 = L_0 \times \alpha_b \times (300^\circ\text{C} - 21^\circ\text{C})$ <p>δ_3: 热によるケーシングボルトの伸び量 (mm)</p> <p>L_0: ケーシングボルトのねじ部を除く長さ 72 (mm)</p> <p>α_b: ケーシングボルト材料 (SNB7) の線膨張係数 13.00×10^{-6} (MPa)</p>	<p>①ケーシングボルトの伸び量の算出</p> <p>ケーシングボルトを図4に示す。</p>  <p>図4 ケーシングボルト</p> <p>a. 初期締め付けによるケーシングボルトの伸び量</p> $\sigma_1 = E_b \times \delta_1 / L_0$ <p>σ_1: ケーシングボルトの発生応力 42 (MPa)</p> <p>E_b: ケーシングボルト材料 (SNB7) の縦弾性係数 186000 (MPa)</p> <p>δ_1: 初期締め付けによるケーシングボルトの伸び量 (mm)</p> <p>L_0: ケーシングボルトのねじ部を除く長さ 82 (mm)</p> $\delta_1 = 42 \times 82 / 186000 = 0.0185 \text{ (mm)}$ <p>b. 内圧によるケーシングボルトの伸び量</p> $\sigma_2 = E_b \times \delta_2 / L_0$ <p>σ_2: ケーシングボルトの発生応力 258 (MPa)</p> <p>E_b: ケーシングボルト材料 (SNB7) の縦弾性係数 186000 (MPa)</p> <p>δ_2: 内圧によるケーシングボルトの伸び量 (mm)</p> <p>L_0: ケーシングボルトのねじ部を除く長さ 82 (mm)</p> $\delta_2 = 258 \times 82 / 186000 = 0.1138 \text{ (mm)}$ <p>c. 热による伸び量</p> <ul style="list-style-type: none"> ・ケーシングボルトの伸び量 $\delta_3 = L_0 \times \alpha_b \times (300^\circ\text{C} - 21^\circ\text{C})$ <p>δ_3: 热によるケーシングボルトの伸び量 (mm)</p> <p>L_0: ケーシングボルトのねじ部を除く長さ 82 (mm)</p> <p>α_b: ケーシングボルト材料 (SNB7) の線膨張係数 13.00×10^{-6} (mm/mm°C)</p>	評価結果の相違 設計の相違

泊発電所3号炉 有効性評価 比較表

7.1.8 格納容器バイパス (添付資料 7.1.8.4 インターフェイスシステム LOCA 発生時の余熱除去系統の破断箇所及び破断面積について)

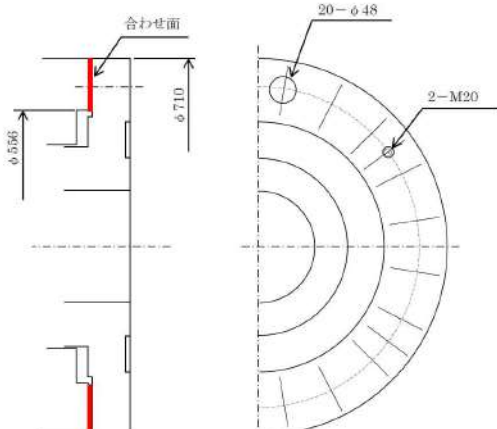
赤字 : 設備、運用又は体制の相違 (設計方針の相違)
青字 : 記載箇所又は記載内容の相違 (記載方針の相違)
緑字 : 記載表現、設備名称の相違 (実質的な相違なし)

大飯発電所3／4号炉	泊発電所3号炉	相違理由
<p>$\delta_3 = 72 \times 13 \times 10^{-6} \times (300^\circ\text{C} - 21^\circ\text{C}) = 0.2612 \text{ (mm)}$</p> <ul style="list-style-type: none"> ケーシングカバーの伸び量 $\delta_4 = L_0 \times \alpha_c \times (300^\circ\text{C} - 21^\circ\text{C})$ δ_4: 热によるケーシングボルトの伸び量 (mm) L_0 : ケーシングボルトのねじ部を除く長さ 72 (mm) α_c : ケーシングカバー材料 (SCS13) の線膨張係数 17.07×10^{-6} (MPa) $\delta_4 = 72 \times 17.07 \times 10^{-6} \times (300^\circ\text{C} - 21^\circ\text{C}) = 0.3429 \text{ (mm)}$ <p>d. ケーシングボルトの伸び量 $0.0825 - 0.0147 + 0.2612 - 0.3429 = -0.0139 \text{ (mm)}$</p> <p>②ケーシングナット座面の面圧</p> <p>ケーシングボルト締付荷重として評価された W_{m1} を、ケーシングナット座面の面積 S_1 で除し、面圧を算出する。ケーシングナット座面を図5に示す。</p> <p>$W_{m1} = 4, 609, 129 \text{ (N)}$</p> <p>$S_1 = (65^2 - 44.1^2) / 4 \times \pi \times 20 = 35, 817.14 \approx 35, 817 \text{ (mm}^2\text{)}$</p> <p>ケーシングナット座面の面圧 $\sigma_3 = W_{m1} / S_1 = 4, 609, 129 / 35, 817 = 128.68 \approx 129 \leq Su = 391 \text{ (MPa)}$</p> <p>$\sigma_3$: ケーシングナット座面の面圧 (MPa)</p> <p>Su : 設計引張強さ ($Su = 391 \text{ (MPa)}$、at 300°C、SUS304)</p> <p>図5 ボンネットナット</p>	<p>$\delta_3 = 82 \times 13 \times 10^{-6} \times (300^\circ\text{C} - 21^\circ\text{C}) = 0.2975 \text{ (mm)}$</p> <ul style="list-style-type: none"> ケーシングカバーの伸び量 $\delta_4 = L_0 \times \alpha_c \times (300^\circ\text{C} - 21^\circ\text{C})$ δ_4: 热によるケーシングカバーの伸び量 (mm) L_0 : ケーシングボルトのねじ部を除く長さ 82 (mm) α_c : ケーシングカバー材料 (SCS13) の線膨張係数 17.07×10^{-6} (mm/mm°C) $\delta_4 = 82 \times 17.07 \times 10^{-6} \times (300^\circ\text{C} - 21^\circ\text{C}) = 0.3905 \text{ (mm)}$ <p>d. ケーシングボルトの伸び量 $0.1138 - 0.0185 + 0.2975 - 0.3905 = 0.0023 \text{ (mm)}$</p>	評価結果の相違

泊発電所 3号炉 有効性評価 比較表

7.1.8 格納容器バイパス (添付資料 7.1.8.4 インターフェイスシステム LOCA 発生時の余熱除去系統の破断箇所及び破断面積について)

赤字 : 設備、運用又は体制の相違（設計方針の相違）
青字 : 記載箇所又は記載内容の相違（記載方針の相違）
緑字 : 記載表現、設備名称の相違（実質的な相違なし）

大飯発電所3／4号炉	泊発電所3号炉	相違理由
<p>③ケーシングとケーシングカバー合わせ面の面圧</p> <p>ケーシングボルト締付荷重として評価された W_{M1} を、ケーシングとケーシングカバー合わせ面の面積 S_2 で除し、ケーシングとケーシングカバー合わせ面の面圧を算出する。ケーシングとケーシングカバー合わせ面を図6に示す。</p> <p>$W_{M1}=4, 609, 129 \text{ (N)}$</p> <p>$S_2=(710^2-556^2)/4\times\pi-20\times48^2/4\times\pi-2\times20^2/4\times\pi=116, 304.90\approx116, 304 \text{ (mm}^2\text{)}$</p> <p>ケーシングとケーシングカバー合わせ面の面圧</p> <p>$\sigma_4=W_{M1}/S=4, 609, 129/116, 304=39.63\approx40\leq Su=341 \text{ (MPa)}$</p> <p>$\sigma_4$: ケーシングとケーシングカバー合わせ面の面圧 (MPa)</p> <p>Su : 設計引張強さ ($Su=341$ (MPa)、at 300°C、SCS13)</p>  <p>図6 ケーシングとケーシングカバー合わせ面</p>		評価結果の相違
<p>(6) メカニカルシールの評価</p> <p>鉄鋼部品に比べて耐熱温度が低めとなるOリング（フッ素ゴム製）について、高温条件でのシール機能維持確認のため、Oリングに使用している材料の耐熱温度の確認を行った。</p> <p>また、メカニカルシールのシールリング（カーボン製）に発生するシール面圧がカーボンの圧縮強度を下回ることを確認した。</p>	<p>(6) メカニカルシールの評価</p> <p>鉄鋼部品に比べて耐熱温度が低めとなるOリング（フッ素ゴム製）について、高温条件でのシール機能維持確認のため、Oリングに使用している材料の耐熱温度の確認を行った。</p> <p>また、メカニカルシールの遊動環（カーボン製）に発生するシール面圧がカーボンの圧縮強度を下回ることを確認した。（図5）</p>	
<p>1.3 評価結果</p> <p>余熱除去ポンプの各部位について評価した結果、表1及び図7に示すとおり実機の値は判定基準を満足し、ISLOCA発生時の高温(300°C)、高圧(15.4MPa)の条件下で破損せず、漏えいは発生しないことを確認した。</p>	<p>1.3 評価結果</p> <p>余熱除去ポンプの各部位について評価した結果、表1及び図5に示すとおり実機の値は判定基準を満足し、ISLOCA発生時の高温(300°C)、高圧(15.4MPa)の条件下で破損せず、漏えいは発生しないことを確認した。</p>	

赤字：設備、運用又は体制の相違（設計方針の相違）
 青字：記載箇所又は記載内容の相違（記載方針の相違）
 緑字：記載表現、設備名称の相違（実質的な相違なし）

7.1.8 格納容器バイパス (添付資料 7.1.8.4 インターフェイスシステム LOCA 発生時の余熱除去系統の破断箇所及び破断面積について)

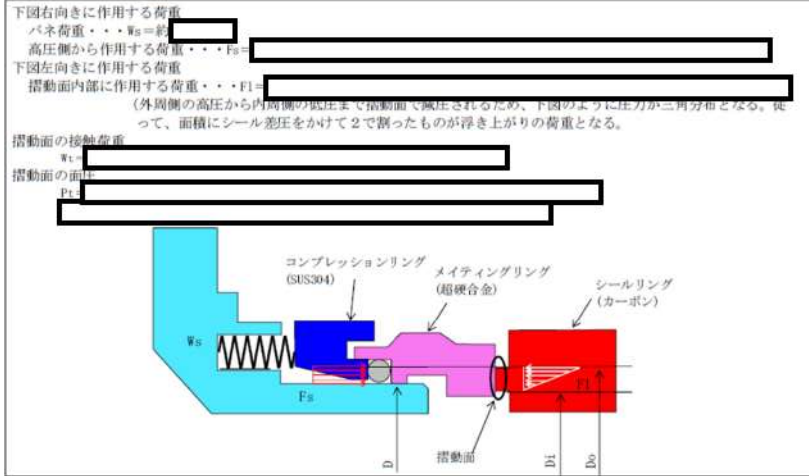
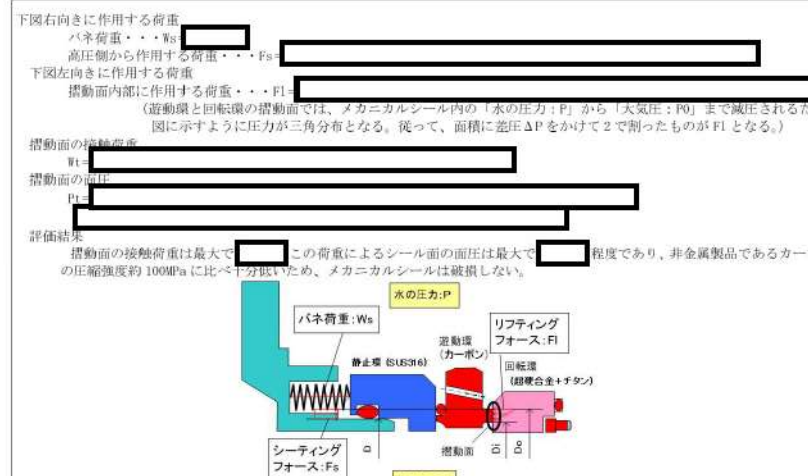
泊発電所 3 号炉 有効性評価 比較表

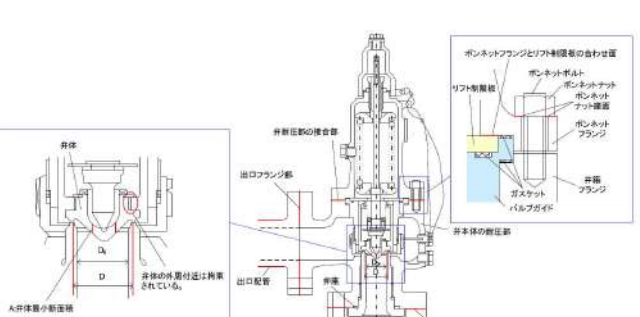
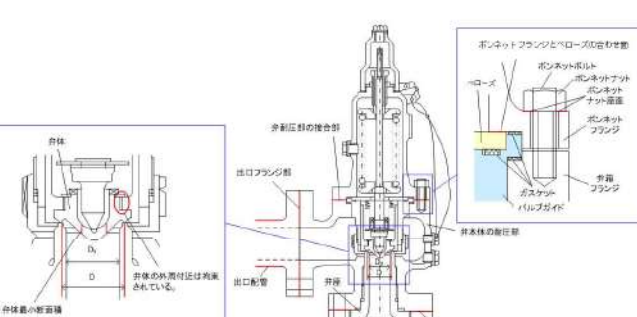
大飯発電所 3 / 4 号炉										泊発電所 3 号炉							相違理由																																																															
表 1 評価結果 (1 / 2)																																																																																
<table border="1"> <caption>ケーシング(ノズル部含む)</caption> <thead> <tr> <th>材料</th><th>実機の最 小厚さ t_1 (mm)</th><th>強度計算 上の A 寸 法 (mm)</th><th>圧力 P (MPa)</th><th>発生応力 σ_{1*1} (MPa) @300°C</th><th>許容応力 S_u(MPa) @300°C</th><th>必要な最 小厚さ t_{c*2} (mm)</th></tr> </thead> <tbody> <tr> <td>SCS13</td><td>30</td><td>769</td><td>15.4</td><td>198</td><td>341</td><td>17.4</td></tr> </tbody> </table> <p>*1 : $\sigma_{1*1} = P \times A / (2 \times t_1)$ *2 : $t_{c*2} = P \times A / (2 \times S_u)$</p> <table border="1"> <caption>管台</caption> <thead> <tr> <th>材料</th><th>外径 D (mm)</th><th>実機の最 小厚さ t_2 (mm)</th><th>圧力 P (MPa)</th><th>発生応力 σ_{2*1} (MPa) @300°C</th><th>許容応力 S_u(MPa) @300°C</th><th>必要な最 小厚さ t_{p*2} (mm)</th></tr> </thead> <tbody> <tr> <td>SUS304TP</td><td>27.2</td><td>2.2</td><td>15.4</td><td>90</td><td>391</td><td>0.6</td></tr> </tbody> </table> <p>*1 : $\sigma_{2*1} = (P \times D - t_p \times 0.8 \times P) / (t_2 \times 2 \times \eta)$ *2 : $t_p = (P \times D) / (2 \times S_u \times \eta + 0.8 \times P)$ η : 継ぎ手効率、1.0</p> <table border="1"> <caption>ケーシングカバー</caption> <thead> <tr> <th>材料</th><th>実機の最 小厚さ t_3 (mm)</th><th>ボルトビ ッチ径 Db (mm)</th><th>ガスケット ト挿入部 直径 D_c (mm)</th><th>圧力 P (MPa)</th><th>発生荷重 N (N)</th><th>発生応力 σ_{3*1} (MPa) @300°C</th><th>許容応力 S_u(MPa) @300°C</th><th>必要な最 小厚さ t_{k*2} (mm)</th></tr> </thead> <tbody> <tr> <td>SCS13</td><td>72</td><td>620</td><td>556</td><td>15.4</td><td>3584598</td><td>195</td><td>341</td><td>54.4</td></tr> </tbody> </table> <p>*1 : $\sigma_{3*1} = Db^{-2} / t_3^2 \times 2 \times K \times P = 0.17$ *2 : $t_{k*2} = Db \times (K \times P / S_u)^{0.5}$</p>																	材料	実機の最 小厚さ t_1 (mm)	強度計算 上の A 寸 法 (mm)	圧力 P (MPa)	発生応力 σ_{1*1} (MPa) @300°C	許容応力 S_u (MPa) @300°C	必要な最 小厚さ t_{c*2} (mm)	SCS13	30	769	15.4	198	341	17.4	材料	外径 D (mm)	実機の最 小厚さ t_2 (mm)	圧力 P (MPa)	発生応力 σ_{2*1} (MPa) @300°C	許容応力 S_u (MPa) @300°C	必要な最 小厚さ t_{p*2} (mm)	SUS304TP	27.2	2.2	15.4	90	391	0.6	材料	実機の最 小厚さ t_3 (mm)	ボルトビ ッチ径 Db (mm)	ガスケット ト挿入部 直径 D_c (mm)	圧力 P (MPa)	発生荷重 N (N)	発生応力 σ_{3*1} (MPa) @300°C	許容応力 S_u (MPa) @300°C	必要な最 小厚さ t_{k*2} (mm)	SCS13	72	620	556	15.4	3584598	195	341	54.4																		
材料	実機の最 小厚さ t_1 (mm)	強度計算 上の A 寸 法 (mm)	圧力 P (MPa)	発生応力 σ_{1*1} (MPa) @300°C	許容応力 S_u (MPa) @300°C	必要な最 小厚さ t_{c*2} (mm)																																																																										
SCS13	30	769	15.4	198	341	17.4																																																																										
材料	外径 D (mm)	実機の最 小厚さ t_2 (mm)	圧力 P (MPa)	発生応力 σ_{2*1} (MPa) @300°C	許容応力 S_u (MPa) @300°C	必要な最 小厚さ t_{p*2} (mm)																																																																										
SUS304TP	27.2	2.2	15.4	90	391	0.6																																																																										
材料	実機の最 小厚さ t_3 (mm)	ボルトビ ッチ径 Db (mm)	ガスケット ト挿入部 直径 D_c (mm)	圧力 P (MPa)	発生荷重 N (N)	発生応力 σ_{3*1} (MPa) @300°C	許容応力 S_u (MPa) @300°C	必要な最 小厚さ t_{k*2} (mm)																																																																								
SCS13	72	620	556	15.4	3584598	195	341	54.4																																																																								
<table border="1"> <caption>表 1 評価結果 (2 / 2)</caption> <thead> <tr> <th>ケーシングボルト</th><th>谷径 db (mm)</th><th>本数 n</th><th>ガスケット 保護 板 γ (N/mm²)</th><th>最小設計 締付け圧力 F_g (N)</th><th>ガスケット 材料 H (mm)</th><th>ガスケット 外径 D_g (mm)</th><th>使用圧力 P (MPa)</th><th>使用状態 での ガスケット 荷重 W_{n1} (N)</th><th>発生応力 S_{bo} (MPa)</th><th>ガスケット 締付け時 応力 S_{bs} (MPa)</th><th>ガスケット 許容応力 S_y (MPa)</th></tr> </thead> <tbody> <tr> <td>SNB7</td><td>37.129</td><td>20</td><td>■</td><td>15</td><td>553</td><td>15.4</td><td>4,669,129</td><td>816,688</td><td>213</td><td>38</td><td>425</td><td></td><td></td><td></td><td></td><td></td></tr> </tbody> </table> <p>$W_{n1} = (\pi G P / 4) \times (G + 8bm)$ $b = 2.524 \times (N/2)$... $N/2 = 15/2 = 7.5 > 6.35$ による $G = D_g \cdot 2b = 539$ $Ab = \pi db \cdot n = 21654 \text{ mm}^2$</p> <table border="1"> <caption>ケーシングとケーシングカバーの接合部の評価</caption> <thead> <tr> <th>ケーシングボルト</th><th>ケーシングナット座 面の伸び量</th><th>ケーシングナット座 面の伸び量</th><th>ケーシングとケーシングカバー合 わせ面の面積 S_2</th><th>ケーシングとケーシングカバー合 わせ面の面積 S_2</th><th>発生応力 σ_{2*2}</th><th>許容応力 S_u(MPa) @300°C</th></tr> </thead> <tbody> <tr> <td>材料 (座金)</td><td>材料 (座金)</td><td>ケーシングナット座 面の面積 S_1 (mm²)</td><td>発生応力 σ_{1*1} (MPa) @300°C</td><td>許容応力 S_u(MPa) @300°C</td><td>材料 (SCS13)</td><td>ケーシングと ケーシングカバー合 わせ面の面積 S_2 (mm²)</td><td>発生応力 σ_{2*2} (MPa) @300°C</td><td>許容応力 S_u(MPa) @300°C</td></tr> <tr> <td>-0.0139</td><td>SUS304</td><td>35817</td><td>129</td><td>341</td><td>SCS13</td><td>116304</td><td>40</td><td>341</td></tr> </tbody> </table> <p>*1: $\sigma_{1*1} = Wm1 / S_1$ *2: $\sigma_{2*2} = Wm1 / S_2$</p> <table border="1"> <caption>メカニカルシール (Oリング)</caption> <thead> <tr> <th>材料</th><th>想定温度 (°C)</th><th>許容温度 (カタログ値) (°C)</th><th>最大シール 面圧 (MPa)</th><th>圧縮強度 (MPa)</th></tr> </thead> <tbody> <tr> <td>ブッ素ゴム</td><td>300</td><td>315</td><td>■</td><td>約100</td></tr> </tbody> </table> <p>枠囲みの範囲は機密に係る事項ですので公開することはできません。</p>																	ケーシングボルト	谷径 db (mm)	本数 n	ガスケット 保護 板 γ (N/mm²)	最小設計 締付け圧力 F_g (N)	ガスケット 材料 H (mm)	ガスケット 外径 D_g (mm)	使用圧力 P (MPa)	使用状態 での ガスケット 荷重 W_{n1} (N)	発生応力 S_{bo} (MPa)	ガスケット 締付け時 応力 S_{bs} (MPa)	ガスケット 許容応力 S_y (MPa)	SNB7	37.129	20	■	15	553	15.4	4,669,129	816,688	213	38	425						ケーシングボルト	ケーシングナット座 面の伸び量	ケーシングナット座 面の伸び量	ケーシングとケーシングカバー合 わせ面の面積 S_2	ケーシングとケーシングカバー合 わせ面の面積 S_2	発生応力 σ_{2*2}	許容応力 S_u (MPa) @300°C	材料 (座金)	材料 (座金)	ケーシングナット座 面の面積 S_1 (mm²)	発生応力 σ_{1*1} (MPa) @300°C	許容応力 S_u (MPa) @300°C	材料 (SCS13)	ケーシングと ケーシングカバー合 わせ面の面積 S_2 (mm²)	発生応力 σ_{2*2} (MPa) @300°C	許容応力 S_u (MPa) @300°C	-0.0139	SUS304	35817	129	341	SCS13	116304	40	341	材料	想定温度 (°C)	許容温度 (カタログ値) (°C)	最大シール 面圧 (MPa)	圧縮強度 (MPa)	ブッ素ゴム	300	315	■	約100
ケーシングボルト	谷径 db (mm)	本数 n	ガスケット 保護 板 γ (N/mm²)	最小設計 締付け圧力 F_g (N)	ガスケット 材料 H (mm)	ガスケット 外径 D_g (mm)	使用圧力 P (MPa)	使用状態 での ガスケット 荷重 W_{n1} (N)	発生応力 S_{bo} (MPa)	ガスケット 締付け時 応力 S_{bs} (MPa)	ガスケット 許容応力 S_y (MPa)																																																																					
SNB7	37.129	20	■	15	553	15.4	4,669,129	816,688	213	38	425																																																																					
ケーシングボルト	ケーシングナット座 面の伸び量	ケーシングナット座 面の伸び量	ケーシングとケーシングカバー合 わせ面の面積 S_2	ケーシングとケーシングカバー合 わせ面の面積 S_2	発生応力 σ_{2*2}	許容応力 S_u (MPa) @300°C																																																																										
材料 (座金)	材料 (座金)	ケーシングナット座 面の面積 S_1 (mm²)	発生応力 σ_{1*1} (MPa) @300°C	許容応力 S_u (MPa) @300°C	材料 (SCS13)	ケーシングと ケーシングカバー合 わせ面の面積 S_2 (mm²)	発生応力 σ_{2*2} (MPa) @300°C	許容応力 S_u (MPa) @300°C																																																																								
-0.0139	SUS304	35817	129	341	SCS13	116304	40	341																																																																								
材料	想定温度 (°C)	許容温度 (カタログ値) (°C)	最大シール 面圧 (MPa)	圧縮強度 (MPa)																																																																												
ブッ素ゴム	300	315	■	約100																																																																												
<table border="1"> <caption>ケーシングボルトとケーシングカバーの接合部の評価</caption> <thead> <tr> <th>ケーシングボルトの伸び量 W_{n1}</th><th>ケーシングボルトの伸び量 W_{n2}</th><th>ガスケット 保護 板 γ (N/mm²)</th><th>最小設計 締付け圧力 F_g (N)</th><th>ガスケット 保護 板 H (mm)</th><th>ガスケット 外径 D_g (mm)</th><th>使用圧力 P (MPa)</th><th>使用状態 での ガスケット 荷重 W_{n1} (N)</th><th>発生荷重 W_{n2} (N)</th><th>発生応力 S_{bo} (MPa)</th><th>ガスケット 締付け時 応力 S_{bs} (MPa)</th><th>ガスケット 許容応力 S_y (MPa)</th><th>ボルト 許容応力 S_y (MPa)</th></tr> </thead> <tbody> <tr> <td>SNB7</td><td>37.129</td><td>20</td><td>3.00</td><td>66.9</td><td>SUS304+ 銅(被覆銀)</td><td>15</td><td>614</td><td>15.4</td><td>5573.47</td><td>909.115</td><td>258</td><td>42</td><td>425</td></tr> </tbody> </table> <p>$W_{n1} = (\pi G P / 4) \times (G + 8bm)$ $b = 2.524 \times (N/2)$... $N/2 = 15/2 = 7.5 > 6.35$ による $G = D_g \cdot 2b = 500$ $Ab = \pi db \cdot n = 21654 \text{ mm}^2$</p> <table border="1"> <caption>ケーシングボルトとケーシングカバーの接合部の評価</caption> <thead> <tr> <th>ケーシングボルトの伸び量 W_{n1}</th><th>ケーシングボルトの伸び量 W_{n2}</th><th>ガスケット 保護 板 γ (N/mm²)</th><th>ガスケット 保護 板 H (mm)</th><th>ガスケット 外径 D_g (mm)</th><th>使用圧力 P (MPa)</th><th>使用状態 での ガスケット 荷重 W_{n1} (N)</th><th>発生荷重 W_{n2} (N)</th><th>発生応力 S_{bo} (MPa)</th><th>ガスケット 締付け時 応力 S_{bs} (MPa)</th><th>ガスケット 許容応力 S_y (MPa)</th><th>ボルト 許容応力 S_y (MPa)</th></tr> </thead> <tbody> <tr> <td>SNB7</td><td>37.129</td><td>20</td><td>3.00</td><td>66.9</td><td>SUS304+ 銅(被覆銀)</td><td>15</td><td>614</td><td>15.4</td><td>5573.47</td><td>909.115</td><td>258</td><td>42</td><td>425</td></tr> </tbody> </table> <p>メカニカルシール (Oリング)</p>																	ケーシングボルトの伸び量 W_{n1}	ケーシングボルトの伸び量 W_{n2}	ガスケット 保護 板 γ (N/mm²)	最小設計 締付け圧力 F_g (N)	ガスケット 保護 板 H (mm)	ガスケット 外径 D_g (mm)	使用圧力 P (MPa)	使用状態 での ガスケット 荷重 W_{n1} (N)	発生荷重 W_{n2} (N)	発生応力 S_{bo} (MPa)	ガスケット 締付け時 応力 S_{bs} (MPa)	ガスケット 許容応力 S_y (MPa)	ボルト 許容応力 S_y (MPa)	SNB7	37.129	20	3.00	66.9	SUS304+ 銅(被覆銀)	15	614	15.4	5573.47	909.115	258	42	425	ケーシングボルトの伸び量 W_{n1}	ケーシングボルトの伸び量 W_{n2}	ガスケット 保護 板 γ (N/mm²)	ガスケット 保護 板 H (mm)	ガスケット 外径 D_g (mm)	使用圧力 P (MPa)	使用状態 での ガスケット 荷重 W_{n1} (N)	発生荷重 W_{n2} (N)	発生応力 S_{bo} (MPa)	ガスケット 締付け時 応力 S_{bs} (MPa)	ガスケット 許容応力 S_y (MPa)	ボルト 許容応力 S_y (MPa)	SNB7	37.129	20	3.00	66.9	SUS304+ 銅(被覆銀)	15	614	15.4	5573.47	909.115	258	42	425											
ケーシングボルトの伸び量 W_{n1}	ケーシングボルトの伸び量 W_{n2}	ガスケット 保護 板 γ (N/mm²)	最小設計 締付け圧力 F_g (N)	ガスケット 保護 板 H (mm)	ガスケット 外径 D_g (mm)	使用圧力 P (MPa)	使用状態 での ガスケット 荷重 W_{n1} (N)	発生荷重 W_{n2} (N)	発生応力 S_{bo} (MPa)	ガスケット 締付け時 応力 S_{bs} (MPa)	ガスケット 許容応力 S_y (MPa)	ボルト 許容応力 S_y (MPa)																																																																				
SNB7	37.129	20	3.00	66.9	SUS304+ 銅(被覆銀)	15	614	15.4	5573.47	909.115	258	42	425																																																																			
ケーシングボルトの伸び量 W_{n1}	ケーシングボルトの伸び量 W_{n2}	ガスケット 保護 板 γ (N/mm²)	ガスケット 保護 板 H (mm)	ガスケット 外径 D_g (mm)	使用圧力 P (MPa)	使用状態 での ガスケット 荷重 W_{n1} (N)	発生荷重 W_{n2} (N)	発生応力 S_{bo} (MPa)	ガスケット 締付け時 応力 S_{bs} (MPa)	ガスケット 許容応力 S_y (MPa)	ボルト 許容応力 S_y (MPa)																																																																					
SNB7	37.129	20	3.00	66.9	SUS304+ 銅(被覆銀)	15	614	15.4	5573.47	909.115	258	42	425																																																																			
<p>枠囲みの範囲は機密に係る事項ですので公開することはできません。</p>																																																																																

泊発電所3号炉 有効性評価 比較表

7.1.8 格納容器バイパス (添付資料 7.1.8.4 インターフェイスシステム LOCA 発生時の余熱除去系統の破断箇所及び破断面積について)

赤字 : 設備、運用又は体制の相違 (設計方針の相違)
青字 : 記載箇所又は記載内容の相違 (記載方針の相違)
緑字 : 記載表現、設備名称の相違 (実質的な相違なし)

大飯発電所3／4号炉	泊発電所3号炉	相違理由
<p>下図右向きに作用する荷重 バネ荷重・・・W_s= 高圧側から作用する荷重・・・F_s=</p> <p>下図左向きに作用する荷重 摺動面内部に作用する荷重・・・F_1= (外周側の高圧から内周側の低圧まで摺動面で歓応されるため、下図のように圧力が二角分布となる。従って、面積にシール差圧をかけて2で割ったものが浮き上がりの荷重となる。</p> <p>摺動面の接触荷重 W_t= 摺動面の面圧 P_t=</p>  <p>図7 メカニカルシール摺動面の押付荷重</p> <p>枠囲みの範囲は機密に係る事項ですので公開することはできません。</p>	<p>下図右向きに作用する荷重 バネ荷重・・・W_s= 高圧側から作用する荷重・・・F_s=</p> <p>下図左向きに作用する荷重 摺動面内部に作用する荷重・・・F_1= (遊転環と回転環の摺動面では、メカニカルシール内の「水の圧力:P」から「大気圧:P0」まで歓応されるため、図に示すように圧力が三角分布となる。従って、面積に差圧ΔPをかけて2で割ったものがF_1となる。)</p> <p>摺動面の接触荷重 W_t= 摺動面の面圧 P_t=</p> <p>評価結果 摺動面の接触荷重は最大でW_s この荷重によるシール面の面圧は最大でP_t 程度であり、非金属製品であるカーボンの圧縮強度約 100MPa に比べて十分低いため、メカニカルシールは被損しない。</p>  <p>図5 メカニカルシール摺動面の押付荷重</p> <p>枠囲みの内容は機密情報に属しますので公開できません。</p>	

大飯発電所3／4号炉	泊発電所3号炉	相違理由
別紙-3		別紙-3 (1/8)
逃がし弁からの漏えいの可能性について	逃がし弁からの漏えいの可能性について	
入口逃がし弁及び出口逃がし弁について、ISLOCA 発生時の高温 (300°C)、高圧 (15.4 MPa) の条件下で漏えいが発生しないことを以下のとおり確認した。	入口逃がし弁及び出口逃がし弁について、ISLOCA 発生時の高温 (300°C)、高圧 (15.4 MPa) の条件下で漏えいが発生しないことを以下のとおり確認した。	
1. 強度評価	1. 強度評価	
1.1 評価部位	1.1 評価部位	
逃がし弁については、ISLOCA 発生時に吹き出し前に加圧される弁座、弁体、入口配管、吹き出し後に加圧される弁耐圧部、弁耐圧部の接合部、出口配管を評価した。図1に逃がし弁の構造を示す。 なお、入口配管及び出口配管（ともにフランジ部を含む）の評価については、別紙3.1.5に記載する。	逃がし弁については、ISLOCA 発生時に吹き出し前に加圧される弁座、弁体、入口配管、吹き出し後に加圧される弁耐圧部、弁耐圧部の接合部、出口配管を評価した。図1に逃がし弁の構造を示す。 なお、入口配管及び出口配管（ともにフランジ部を含む）の評価については、別紙5に記載する。	
		
図1 逃がし弁	図1 逃がし弁	
1.2 評価方法	1.2 評価方法	
入口逃がし弁及び出口逃がし弁の設定圧力は、それぞれ [] MPa 及び [] MPa であり、ISLOCA 発生後、15.4 MPa になる以前に吹き出し、圧力は低下すると考えられるが、ここでは、逃がし弁の吹き出し前に加圧される箇所と吹き出し後に加圧される箇所の両方とも 15.4 MPa、300°C になるものとして評価する。	入口逃がし弁及び出口逃がし弁の設定圧力は、それぞれ [] MPa 及び [] MPa であり、ISLOCA 発生後、15.4 MPa になる以前に吹き出し、圧力は低下すると考えられるが、ここでは、逃がし弁の吹き出し前に加圧される箇所と吹き出し後に加圧される箇所の両方とも 15.4 MPa、300°C になるものとして評価する。	
枠囲みの範囲は機密に係る事項ですので公開することはできません。	[] 枠囲みの内容は機密情報に属しますので公開できません。	
(1)弁座の評価	(1)弁座の評価	
設計・建設規格には安全弁に関する強度評価手法の記載がない。弁座は円筒型の形状であることから、設計・建設規格「VVC-3230 耐圧部に取り付く管台の必要最小厚さ」を準用し、必要な最小厚さを算出し、実機の最小厚さが必要な最小厚さを上回ることを確認した。	設計・建設規格には安全弁に関する強度評価手法の記載がない。弁座は円筒型の形状であることから、設計・建設規格「VVC-3230 耐圧部に取り付く管台の必要最小厚さ」を準用し、必要な最小厚さを算出し、実機の最小厚さが必要な最小厚さを上回ることを確認した。	

泊発電所3号炉 有効性評価 比較表

7.1.8 格納容器バイパス (添付資料 7.1.8.4 インターフェイスシステム LOCA 発生時の余熱除去系統の破断箇所及び破断面積について)

赤字 : 設備、運用又は体制の相違 (設計方針の相違)
青字 : 記載箇所又は記載内容の相違 (記載方針の相違)
緑字 : 記載表現、設備名称の相違 (実質的な相違なし)

大飯発電所3／4号炉	泊発電所3号炉	相違理由
$t = \frac{PD_0}{2S\eta + 0.8P}$ <p>t : 管台の計算上必要な厚さ (mm) D₀ : 管台の外形 (mm) S : 使用温度における許容引張応力 (MPa) P : 15.4 (MPa) η : 緊手効率^{*1}</p> <p>*1: 弁座は溶接を実施していないため、1.0を使用</p>	$t = \frac{PD_0}{2S\eta + 0.8P}$ <p>t : 管台の計算上必要な厚さ (mm) D₀ : 管台の外形 (mm) S : 使用温度における許容引張応力 (MPa) P : 15.4 (MPa) η : 緊手効率^{*1}</p> <p>*1 : 弁座は溶接を実施していないため、1.0を使用</p>	
(2)弁体の評価 設計・建設規格には安全弁に関する強度評価手法の記載がない。弁体の中心部は弁棒で支持されており、外周付近は構造上拘束されていることから、弁体下面にかかる圧力 (15.4 MPa) が全て弁体の最小肉厚部に作用するとして発生するせん断応力を算出し、許容せん断応力を下回ることを確認した。 $\sigma = F/A$ $F = 1.05^{*2} \times (\pi / 4) \times D^2 \times P$ σ : せん断応力 (MPa) F : せん断力 (N) A : 弁体最小断面積 (mm ²) D : 弁座口の径 (mm) 許容せん断応力 σ_B は 0.8S ^{*3} とすると、S=219 [] (300°C) より、 $\sigma_B = 175.2$ (MPa) *2 : メーカの過去の実績値を参考に安全率を 1.05 とした。 *3 : ボイラー構造規格より設計の許容値として 0.8S を適用した。	(2)弁体の評価 設計・建設規格には安全弁に関する強度評価手法の記載がない。弁体の中心部は弁棒で支持されており、外周付近は構造上拘束されていることから、弁体下面にかかる圧力 (15.4 MPa) が全て弁体の最小肉厚部に作用するとして発生するせん断応力を算出し、許容せん断応力を下回ることを確認した。 $\sigma = F/A$ $F = 1.05^{*2} \times (\pi / 4) \times D^2 \times P$ σ : せん断応力 (MPa) F : せん断力 (N) A : 弁体最小断面積 (mm ²) D : 弁座口の径 (mm) 許容せん断応力 σ_B は 0.8S ^{*3} とすると、S=219 [] (300°C) より、 $\sigma_B = 175.2$ (MPa) *2 : メーカの過去の実績値を参考に安全率を 1.05 とした。 *3 : ボイラー構造規格より設計の許容値として 0.8S を適用した。	
(3)弁本体の耐圧部の評価 設計・建設規格「解説 VVB-3100 弁の圧力温度基準」を適用し必要な最小厚さを算出し、実機の最小厚さが必要な最小厚さを上回ることを確認した。 $t = \frac{Pd}{2S - 1.2P}$ <p>t : 弁箱の最小厚さ P : 15.4 (MPa) d : 内径 (mm) S : 設計引張強さ (Su=420 (MPa)、at300°C、[])</p> <p>[]枠囲みの範囲は機密に係る事項ですので公開することはできません。</p>	(3)弁本体の耐圧部の評価 設計・建設規格「解説 VVB-3100 弁の圧力温度基準」を適用し必要な最小厚さを算出し、実機の最小厚さが必要な最小厚さを上回ることを確認した。 $t = \frac{Pd}{2S - 1.2P}$ <p>t : 弁箱の最小厚さ P : 15.4 (MPa) d : 内径 (mm) S : 設計引張強さ (Su=420 (MPa)、at300°C、[])</p> <p>[]枠囲みの内容は機密情報に属しますので公開できません。</p>	

泊発電所3号炉 有効性評価 比較表

7.1.8 格納容器バイパス (添付資料 7.1.8.4 インターフェイスシステム LOCA 発生時の余熱除去系統の破断箇所及び破断面積について)

赤字 : 設備、運用又は体制の相違 (設計方針の相違)
青字 : 記載箇所又は記載内容の相違 (記載方針の相違)
緑字 : 記載表現、設備名称の相違 (実質的な相違なし)

大飯発電所3／4号炉	泊発電所3号炉	相違理由
<p>(4) 弁耐圧部の接合部の評価</p> <p>弁耐圧部の接合部については、ポンネットボルトの内圧と熱による伸び量、及びポンネットフランジと弁箱フランジの熱による伸び量を評価し、ポンネットボルトの伸び量からポンネットフランジと弁箱フランジの伸び量を差し引いた伸び量がプラスの場合とマイナスの場合について評価を行った。</p> <p>・伸び量がプラスの場合</p> <p>ポンネットボルトの伸び量からポンネットフランジと弁箱フランジの伸び量を差し引いた伸び量がガスケットの復元量^{*4}を下回ることを確認した。</p> <p>*4: ガスケットに締付面圧を加えていくと弾性変形が生じ、更に締付面圧を加えていくと塑性変形が生じる。塑性変形したガスケットの締付面圧を緩和した場合、弾性領域分のみが復元する性質がある。弁耐圧部の接合部のシールのため、ガスケットには塑性領域まで締付面圧を加えて初期圧縮を加えており、締付面圧緩和時に弾性領域分の復元が生じ、復元量以下であればシール性は確保される。ガスケットの復元量は、メーカ試験によって確認した値。</p> <p>・伸び量がマイナスの場合</p> <p>伸び量がマイナスの場合は、弁耐圧部の接合部は増し締めされることになる。弁耐圧部の接合部については、ポンネットフランジとリフト制限板がメタルタッチしており、それ以上ガスケットが圧縮しない構造となっていることから、ポンネットナット座面の面圧とポンネットフランジとリフト制限板の合わせ面の面圧が材料の許容応力を下回ることを確認した。</p> <p>a. 内圧による伸び量</p> <p>ポンネットボルトの発生応力 (MPa)</p> $\textcircled{4}' = (1000 \times \textcircled{1}' \times \textcircled{2}') / (0.2 \times \textcircled{3}')$ $\textcircled{8}' = (\pi \times \textcircled{5}' \times 15.4 / 4) \times (\textcircled{5}' + 8 \times \textcircled{6}' \times \textcircled{7}')$ $\textcircled{9}' = \textcircled{4}' - \textcircled{8}'$ $\textcircled{10}' = \textcircled{9}' / \textcircled{2}'$ $\textcircled{12}' = \textcircled{10}' / \textcircled{11}'$ <p> ①' : 締付けトルク値 (N・m) ②' : ポンネットボルト本数 (本) ③' : ポンネットボルト外径 (mm) ④' : ポンネットボルト締付けトルクによる全締付荷重 (N) ⑤' : ガスケット反力円の直径 (mm) ⑥' : ガスケット有効幅 (mm) ⑦' : ガスケット係数 ⑧' : 15.4MPa 加圧に必要な最小荷重 (N) ⑨' : 不足する荷重 (N)</p> <p>b. 内圧による伸び量</p> <p>ポンネットボルトの発生応力 (MPa)</p> $\textcircled{4}' = (1000 \times \textcircled{1}' \times \textcircled{2}') / (0.2 \times \textcircled{3}')$ $\textcircled{8}' = (\pi \times \textcircled{5}' \times 15.4 / 4) \times (\textcircled{5}' + 8 \times \textcircled{6}' \times \textcircled{7}')$ $\textcircled{9}' = \textcircled{4}' - \textcircled{8}'$ $\textcircled{10}' = \textcircled{9}' / \textcircled{2}'$ $\textcircled{12}' = \textcircled{10}' / \textcircled{11}'$ <p> ①' : 締付けトルク値 (N・m) ②' : ポンネットボルト本数 (本) ③' : ポンネットボルト外径 (mm) ④' : ポンネットボルト締付けトルクによる全締付荷重 (N) ⑤' : ガスケット反力円の直径 (mm) ⑥' : ガスケット有効幅 (mm) ⑦' : ガスケット係数 ⑧' : 15.4MPa 加圧に必要な最小荷重 (N) ⑨' : 不足する荷重 (N)</p>	<p>(4) 弁耐圧部の接合部の評価</p> <p>弁耐圧部の接合部については、ポンネットボルトの内圧と熱による伸び量、及びポンネットフランジと弁箱フランジの熱による伸び量を評価し、ポンネットボルトの伸び量からポンネットフランジと弁箱フランジの伸び量を差し引いた伸び量がプラスの場合とマイナスの場合について評価を行った。</p> <p>・伸び量がプラスの場合</p> <p>ポンネットボルトの伸び量からポンネットフランジと弁箱フランジの伸び量を差し引いた伸び量がガスケットの復元量^{*4}を下回ることを確認した。</p> <p>*4: ガスケットに締付面圧を加えていくと弾性変形が生じ、更に締付面圧を加えていくと塑性変形が生じる。塑性変形したガスケットの締付面圧を緩和した場合、弾性領域分のみが復元する性質がある。弁耐圧部の接合部のシールのため、ガスケットには塑性領域まで締付面圧を加えて初期圧縮を加えており、締付面圧緩和時に弾性領域分の復元が生じ、復元量以下であればシール性は確保される。ガスケットの復元量は、メーカ試験によって確認した値。</p> <p>・伸び量がマイナスの場合</p> <p>伸び量がマイナスの場合は、弁耐圧部の接合部は増し締めされることになる。弁耐圧部の接合部については、ポンネットフランジとペローズがメタルタッチしており、それ以上ガスケットが圧縮しない構造となっていることから、ポンネットナット座面の面圧とポンネットフランジとペローズの合わせ面の面圧が材料の許容応力を下回ることを確認した。</p>	

泊発電所3号炉 有効性評価 比較表

7.1.8 格納容器バイパス (添付資料 7.1.8.4 インターフェイスシステム LOCA 発生時の余熱除去系統の破断箇所及び破断面積について)

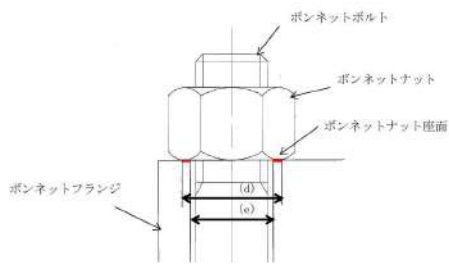
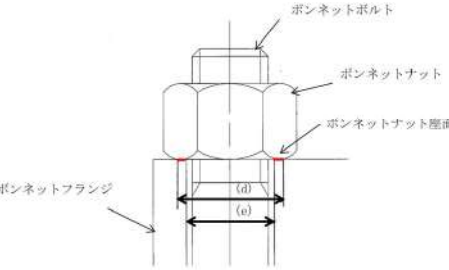
赤字 : 設備、運用又は体制の相違（設計方針の相違）
青字 : 記載箇所又は記載内容の相違（記載方針の相違）
緑字 : 記載表現、設備名称の相違（実質的な相違なし）

大飯発電所3／4号炉	泊発電所3号炉	相違理由
<p>⑩' : ボンネットボルト1本あたりに発生する荷重 (N) ⑪' : ボンネットボルト径面積 (mm²)</p> <p>⑫' = ③ × δ / (① + ②) $\delta = ⑥$ ① : ボンネットフランジ厚さ (ふた) (mm) ② : 弁箱フランジ厚さ (mm) ③ : ボンネットボルト材料の継弾性係数 ((MPa)、at300°C) ⑥ : ボンネットボルトの内圧による伸び量 (mm)</p> <p>b. 热による伸び量 ボンネットボルトの热による伸び量 $④ \times (①+②) \times (300^\circ\text{C} - 21^\circ\text{C}) = ⑦$ ① : ボンネットフランジ厚さ (ふた) (mm) ② : 弁箱フランジ厚さ (mm) ④ : 線膨張係数 (ボンネットボルト) (MPa) ⑦ : ボンネットボルトの热による伸び量 (mm)</p> <p>ボンネットフランジと弁箱フランジの热による伸び量 $⑤ \times (①+②) \times (300^\circ\text{C} - 21^\circ\text{C}) = ⑧$ ① : ボンネットフランジ厚さ (ふた) (mm) ② : 弁箱フランジ厚さ (mm) ⑤ : 線膨張係数 (フランジ) (MPa) ⑧ : ボンネットフランジと弁箱フランジの热による伸び量 (mm)</p> <p>c. 伸び量 $\text{伸び量 (mm)} = ⑥ + ⑦ - ⑧$ ⑥ : ボンネットボルトの内圧による伸び量 (mm) ⑦ : ボンネットボルトの热による伸び量 (mm) ⑧ : ボンネットフランジと弁箱フランジの热による伸び量 (mm)</p> <p>d. ボンネットナット座面の面圧 ボンネットボルト締付荷重として評価された Wm1 を、ボンネットナット座面の面積 S で除し、面圧を算出する。ボンネットナット座面を図1に示す。 $Wm1 = ⑧' (N)$</p> <p>ボンネットナット座面の面積 S</p>	<p>⑩' : ボンネットボルト1本あたりに発生する荷重 (N) ⑪' : ボンネットボルト径面積 (mm²)</p> <p>⑫' = ③ × δ / (① + ②) $\delta = ⑥$ ① : ボンネットフランジ厚さ (ふた) (mm) ② : 弁箱フランジ厚さ (mm) ③ : ボンネットボルト材料の継弾性係数 ((MPa)、at300°C) ⑥ : ボンネットボルトの内圧による伸び量 (mm)</p> <p>b. 热による伸び量 ボンネットボルトの热による伸び量 $④ \times (①+②) \times (300^\circ\text{C} - 21^\circ\text{C}) = ⑦$ ① : ボンネットフランジ厚さ (ふた) (mm) ② : 弁箱フランジ厚さ (mm) ④ : 線膨張係数 (ボンネットボルト) (MPa) ⑦ : ボンネットボルトの热による伸び量 (mm)</p> <p>ボンネットフランジと弁箱フランジの热による伸び量 $⑤ \times (①+②) \times (300^\circ\text{C} - 21^\circ\text{C}) = ⑧$ ① : ボンネットフランジ厚さ (ふた) (mm) ② : 弁箱フランジ厚さ (mm) ⑤ : 線膨張係数 (フランジ) (MPa) ⑧ : ボンネットフランジと弁箱フランジの热による伸び量 (mm)</p> <p>c. 伸び量 $\text{伸び量 (mm)} = ⑥ + ⑦ - ⑧$ ⑥ : ボンネットボルトの内圧による伸び量 (mm) ⑦ : ボンネットボルトの热による伸び量 (mm) ⑧ : ボンネットフランジと弁箱フランジの热による伸び量 (mm)</p> <p>d. ボンネットナット座面の面圧 ボンネットボルト締付荷重として評価された Wm1 を、ボンネットナット座面の面積 S で除し、面圧を算出する。ボンネットナット座面を図2に示す。 $Wm1 = ⑧' (N)$</p> <p>ボンネットナット座面の面積 S</p>	

泊発電所3号炉 有効性評価 比較表

7.1.8 格納容器バイパス (添付資料 7.1.8.4 インターフェイスシステム LOCA 発生時の余熱除去系統の破断箇所及び破断面積について)

赤字 : 設備、運用又は体制の相違 (設計方針の相違)
青字 : 記載箇所又は記載内容の相違 (記載方針の相違)
緑字 : 記載表現、設備名称の相違 (実質的な相違なし)

大飯発電所3／4号炉	泊発電所3号炉	相違理由
<p>$S = ((d)^2 - (e)^2) / 4 \times \pi$</p> <p>$= (h)$ (図1参照)</p> <p>面圧</p> <p>$\sigma = Wm1 / S$ / ボンネットボルト本数 = $(\textcircled{8}^*) / (f) / (i)$</p> <p>$\sigma = (k)$</p> <p>$(\textcircled{8}^*)$: 15.4MPa 加圧に必要な最小荷重 (N)</p> <p>(d) : ボンネットナット面外径 (mm)</p> <p>(e) : ボンネット穴径 (mm)</p> <p>(f) : ボンネットナット面直径 (mm)</p> <p>(g) : ボンネット穴面積 (mm^2)</p> <p>(h) : ボンネットナット面積 (mm^2)</p> <p>(i) : ボンネットボルト本数 (本)</p> <p>(k) : ボンネットナット応力 (MPa)</p>  <p>図1 ボンネットナット座面</p>	<p>$S = ((d)^2 - (e)^2) / 4 \times \pi$</p> <p>$= (h)$ (図2参照)</p> <p>面圧</p> <p>$\sigma = Wm1 / S$ / ボンネットボルト本数 = $(\textcircled{8}^*) / (f) / (i)$</p> <p>$\sigma = (k)$</p> <p>$(\textcircled{8}^*)$: 15.4MPa 加圧に必要な最小荷重 (N)</p> <p>(d) : ボンネットナット面外径 (mm)</p> <p>(e) : ボンネット穴径 (mm)</p> <p>(f) : ボンネットナット面直径 (mm)</p> <p>(g) : ボンネット穴面積 (mm^2)</p> <p>(h) : ボンネットナット面積 (mm^2)</p> <p>(i) : ボンネットボルト本数 (本)</p> <p>(k) : ボンネットナット応力 (MPa)</p>  <p>図2 ボンネットナット座面</p>	

e. ボンネットフランジとリフト制限板の合わせ面の面圧

ボンネットボルト締付時のボンネットフランジとリフト制限板の合わせ面の面圧を算出する。

ボンネットボルト締付荷重として評価された $Wm1$ を、合わせ面の面積 S で除し、面圧を算出する。
 $Wm1 = (\textcircled{8}^*)$ (N)

$$S = ((a)^2 - (b)^2) / 4 \times \pi$$

$= (c)$ (図2参照)

面圧

$$\sigma = Wm1 / S = (\textcircled{8}^*) / (c)$$

$\sigma = (j)$

$(\textcircled{8}^*)$: 15.4MPa 加圧に必要な最小荷重 (N)

e. ボンネットフランジとペローズの合わせ面の面圧

ボンネットボルト締付時のボンネットフランジとペローズの合わせ面の面圧を算出する。

ボンネットボルト締付荷重として評価された $Wm1$ を、合わせ面の面積 S で除し、面圧を算出する。
 $Wm1 = (\textcircled{8}^*)$ (N)

$$S = ((a)^2 - (b)^2) / 4 \times \pi$$

$= (c)$ (図2参照)

面圧

$$\sigma = Wm1 / S = (\textcircled{8}^*) / (c)$$

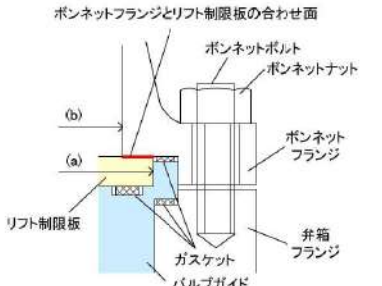
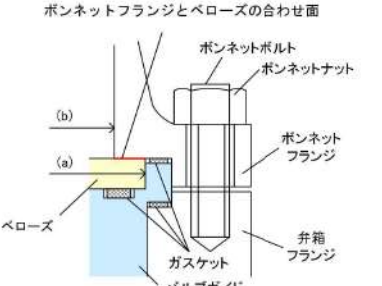
$\sigma = (j)$

$(\textcircled{8}^*)$: 15.4MPa 加圧に必要な最小荷重 (N)

泊発電所3号炉 有効性評価 比較表

7.1.8 格納容器バイパス (添付資料 7.1.8.4 インターフェイスシステム LOCA 発生時の余熱除去系統の破断箇所及び破断面積について)

赤字 : 設備、運用又は体制の相違 (設計方針の相違)
青字 : 記載箇所又は記載内容の相違 (記載方針の相違)
緑字 : 記載表現、設備名称の相違 (実質的な相違なし)

大飯発電所3／4号炉	泊発電所3号炉	相違理由
<p>(a) : メタルタッチ部外径 (mm) (b) : メタルタッチ部内径 (mm) (c) : メタルタッチ部面積 (mm²) (j) : ボンネットフランジと弁箱フランジの合わせ面の応力 (MPa)</p>  <p>ボンネットフランジとリフト制限板の合わせ面 リフト制限板 ボンネットボルト ボンネットナット ボンネットフランジ パルブガイド ガスケット 弁箱フランジ</p> <p>(a) : メタルタッチ部外径 (mm) (b) : メタルタッチ部内径 (mm) (c) : メタルタッチ部面積 (mm²) (j) : ボンネットフランジと弁箱フランジの合わせ面の応力 (MPa)</p>  <p>ボンネットフランジとペローズの合わせ面 ペローズ ボンネットボルト ボンネットナット ボンネットフランジ パルブガイド ガスケット 弁箱フランジ</p>		

1.3 評価結果

入口逃がし弁及び出口逃がし弁の各部位について評価した結果、表1～5に示すとおり実機の値は判定基準を満足し、ISLOCA 発生時の高温(300°C)、高圧(15.4 MPa)の条件下で破損せず、漏えいは発生しないことを確認した。

表1 評価結果(弁座、弁本体の耐圧部)

評価部位	材料	P: 内圧 (MPa)	D _o : 外径 or d: 内径 (mm)	S: 設計引張強さ Su (MPa)	実機の最小厚さ (mm)	必要な最小厚さ (mm)
入口 逃がし弁	弁座	15.4		119		5.7
		15.4		420		4.6
出口 逃がし弁	弁座	15.4		119		2.0
		15.4		420		2.2

表2 評価結果(弁体)

評価部位	材料	P: 内圧 (MPa)	A: 弁体最小断面積 (mm ²)	D: 弁座口の径 (mm)	発生応力 (MPa)	許容応力' (MPa)
入口 逃がし弁	弁体	15.4	481.3		160.6	175.2
出口 逃がし弁	弁体	15.4	115.4		63.4	175.2

*: ボイラー構造規格より設計の許容値として 0.8S を適用した。

枠囲みの範囲は機密に係る事項ですので公開することはできません。

表1 評価結果(弁座、弁本体の耐圧部)

評価部位	材料	P: 内圧 (MPa)	D _o : 外径 or d: 内径 (mm)	S: 設計引張強さ Su (MPa)	実機の最小厚さ (mm)	必要な最小厚さ (mm)
入口 逃がし弁	弁座	15.4		119		4.7
		15.4		420		4.6
出口 逃がし弁	弁座	15.4		119		2.0
		15.4		420		2.2

表2 評価結果(弁体)

評価部位	材料	P: 内圧 (MPa)	A: 弁体最小断面積 (mm ²)	D: 弁座口の径 (mm)	発生応力 (MPa)	許容応力' (MPa)
入口 逃がし弁	弁体	15.4	417.77		120.66	175.2
出口 逃がし弁	弁体	15.4	115.41		63.40	175.2

*: ボイラー構造規格より設計の許容値として 0.8S を適用した。

枠囲みの範囲は機密に係る事項ですので公開することはできません。

泊発電所 3号炉 有効性評価 比較表

7.1.8 格納容器バイパス (添付資料 7.1.8.4 インターフェイスシステム LOCA 発生時の余熱除去系統の破断箇所及び破断面積について)

赤字 : 設備、運用又は体制の相違 (設計方針の相違)
青字 : 記載箇所又は記載内容の相違 (記載方針の相違)
緑字 : 記載表現、設備名称の相違 (実質的な相違なし)

大飯発電所3／4号炉												泊発電所3号炉										相違理由			
表3 弁耐圧部の接合部評価結果 (ボンネットボルトの伸び量)																									
番号	①外寸径 (mm)	②内寸径 (mm)	③外周長 (mm)	④内周長 (mm)	⑤外径 (mm)	⑥内径 (mm)	⑦外周長 (mm)	⑧内周長 (mm)	⑨外径 (mm)	⑩内径 (mm)	⑪外周長 (mm)	⑫内周長 (mm)	⑬外径 (mm)	⑭内径 (mm)	⑮外周長 (mm)	⑯内周長 (mm)	⑰外径 (mm)	⑱内径 (mm)	⑲外周長 (mm)	⑳内周長 (mm)	㉑外径 (mm)	㉒内径 (mm)			
3V-RH-004A	13000	13000	13000	13000	13000	13000	13000	13000	13000	13000	13000	13000	13000	13000	13000	13000	13000	13000	13000	13000	13000	13000			
3V-RH-004B	13000	13000	13000	13000	13000	13000	13000	13000	13000	13000	13000	13000	13000	13000	13000	13000	13000	13000	13000	13000	13000	13000			
表4 弁耐圧部の接合部評価結果 (ボンネットボルトの発生応力)																									
番号	①外周長 (mm)	②内周長 (mm)	③外径 (mm)	④内径 (mm)	⑤外周長 (mm)	⑥内周長 (mm)	⑦外周長 (mm)	⑧内周長 (mm)	⑨外径 (mm)	⑩内径 (mm)	⑪外周長 (mm)	⑫内周長 (mm)	⑬外径 (mm)	⑭内径 (mm)	⑮外周長 (mm)	⑯内周長 (mm)	⑰外径 (mm)	⑱内径 (mm)	⑲外周長 (mm)	⑳内周長 (mm)	㉑外径 (mm)	㉒内径 (mm)			
3V-RH-004A	144	12	16	10	34000	34000	34000	34000	34000	34000	34000	34000	34000	34000	34000	34000	34000	34000	34000	34000	34000	34000	34000		
3V-RH-004B	33.5	6	10	9998	9998	9998	9998	9998	9998	9998	9998	9998	9998	9998	9998	9998	9998	9998	9998	9998	9998	9998	9998		
表5 弁耐圧部の接合部評価結果 (ボンネットナット座面の面圧、ボンネットフランジとリフト制限板の合わせ面の面圧)																									
番号	①ボンネットナット外径 (mm)	②ボンネットナット内径 (mm)	③ボンネットナット外周長 (mm)	④ボンネットナット内周長 (mm)	⑤ボンネットナット外径 (mm)	⑥ボンネットナット内径 (mm)	⑦ボンネットナット外周長 (mm)	⑧ボンネットナット内周長 (mm)	⑨ボンネットナット外径 (mm)	⑩ボンネットナット内径 (mm)	⑪ボンネットナット外周長 (mm)	⑫ボンネットナット内周長 (mm)	⑬ボンネットナット外径 (mm)	⑭ボンネットナット内径 (mm)	⑮ボンネットナット外周長 (mm)	⑯ボンネットナット内周長 (mm)	⑰ボンネットナット外径 (mm)	⑱ボンネットナット内径 (mm)	⑲ボンネットナット外周長 (mm)	⑳ボンネットナット内周長 (mm)	㉑ボンネットナット外径 (mm)	㉒ボンネットナット内径 (mm)			
3V-RH-004A	M16	175.0	142.0	3470	325.7	169.0	314.1	32	34000	311.3	438	374	431.7	404	34000	311.3	438	374	431.7	404	34000	311.3	438	374	
* : 伸び量がマイナスである3V-RH-004A、Bのみ評価を行った。																									
枠囲みの範囲は機密に係る事項ですので公開することはできません。																									
枠囲みの内容は機密情報に属しますので公開できません。																									
別紙-4												別紙-4 (1 / 19)													
弁 (逃がし弁、その他の弁を除く) からの漏えいの可能性について												弁 (逃がし弁、その他の弁を除く) からの漏えいの可能性について													
余熱除去系統のプロセス弁の弁本体の耐圧部及び弁耐圧部の接合部について、ISLOCA 発生時の高温 (300°C)、高圧 (15.4 MPa) の条件下で漏えいが発生しないことを以下のとおり確認した。												余熱除去系統のプロセス弁 (3V-RH-006A、B 及び 3V-RH-008A、B を除く) の弁本体の耐圧部及び弁耐圧部の接合部について、ISLOCA 発生時の高温 (300°C)、高圧 (15.4 MPa) の条件下で漏えいが発生しないことを以下のとおり確認した。3V-RH-006A、B 及び 3V-RH-008A、B は ISLOCA 発生時の圧力である 15.4 MPa を上回る圧力を耐圧試験を実施し十分な耐圧性を確認できていることから、漏えい評価の対象外とした。												設計の相違	
計器入口弁については、計器入口弁の耐圧試験と計器本体の耐圧試験を確認した結果、計器本体の耐圧試験の圧力が ISLOCA 発生時の圧力 (15.4 MPa) を下回るため、破損する可能性があることから、破断面積を算出した。												計器入口弁については、計器入口弁の耐圧試験と計器本体の耐圧試験を確認した結果、計器本体の耐圧試験の圧力が ISLOCA 発生時の圧力 (15.4 MPa) を下回るものがあり、それらは破損する可能性があることから、破断面積の算出対象とした。											設計の相違		
また、弁のグランド部 (逆止弁を除く) については、高温・高圧の条件下においてもグランドパッキンは機能し、有意な漏えいは発生しないと考えられるが、グランドパッキンの存在を無視してグランド部から漏えいするものと想定し、破断面積を算出した。												また、プロセス弁のグランド部 (逆止弁を除く) については、高温・高圧の条件下においてもグランドパッキンは機能し、有意な漏えいは発生しないと考えられるが、評価にあたっては保守的にグランドパッキンの存在を無視してグランド部から漏えいするものと想定し、破断面積を算出した。											設計の相違		
1. 強度評価												1. 強度評価													
1.1 評価部位の選定												1.1 評価部位の選定													
プロセス弁の構成部品のうち、ISLOCA 発生時に漏えいが発生すると想定される部位は、弁箱及び弁蓋からなる弁本体の耐圧部、弁耐圧部の接合部及びグランド部があり、それらについて評価した。												プロセス弁 (3V-RH-006A、B 及び 3V-RH-008A、B を除く) の構成部品のうち、ISLOCA 発生時に漏えいが発生すると想定される部位は、弁箱及び弁蓋からなる弁本体の耐圧部、弁耐圧部の接合部及びグランド部があり、それらについて評価した。											設計の相違		

泊発電所3号炉 有効性評価 比較表

7.1.8 格納容器バイパス (添付資料 7.1.8.4 インターフェイスシステム LOCA 発生時の余熱除去系統の破断箇所及び破断面積について)

赤字 : 設備、運用又は体制の相違 (設計方針の相違)
青字 : 記載箇所又は記載内容の相違 (記載方針の相違)
緑字 : 記載表現、設備名称の相違 (実質的な相違なし)

大飯発電所3／4号炉	泊発電所3号炉	相違理由
計器入口弁については、下流側に設置している計器本体も含めて評価を行った。	計器入口弁については、下流側に設置している計器本体も含めて評価を行った。	
1.2 評価方法	1.2 評価方法	
(1)弁本体の耐圧部の評価	(1)弁本体の耐圧部の評価	
設計・建設規格「解説 VVB-3100 弁の圧力温度基準」を適用し必要な最小厚さを算出し、実機の最小厚さが必要な最小厚さを上回ることを確認した。	設計・建設規格「解説 VVB-3100 弁の圧力温度基準」を適用し必要な最小厚さを算出し、実機の最小厚さが必要な最小厚さを上回ることを確認した。	
$t = \frac{Pd}{2S - 1.2P}$	$t = \frac{Pd}{2S - 1.2P}$	
t : 弁箱の最小厚さ	t : 弁箱の最小厚さ	
P : 15.4 (MPa)	P : 15.4 (MPa)	
d : 内径 (mm)	d : 内径 (mm)	
S : 設計引張強さ (Su=420 (MPa), at300°C [REDACTED])	S : 設計引張強さ (Su=420 (MPa), at300°C [REDACTED])	
[REDACTED]枠囲みの範囲は機密に係る事項ですので公開することはできません。	[REDACTED]枠囲みの内容は機密情報に属しますので公開できません。	
(2)弁耐圧部の接合部の評価	(2)弁耐圧部の接合部の評価	
弁耐圧部の接合部については、ボンネットボルトの内圧と熱による伸び量、及びボンネットフランジと弁箱フランジの熱による伸び量を評価し、ボンネットボルトの伸び量からボンネットフランジと弁箱フランジの伸び量を差し引いた伸び量がプラスの場合とマイナスの場合について評価を行った。	弁耐圧部の接合部については、ボンネットボルトの内圧と熱による伸び量、及びボンネットフランジと弁箱フランジの熱による伸び量を評価し、ボンネットボルトの伸び量からボンネットフランジと弁箱フランジの伸び量を差し引いた伸び量がプラスの場合とマイナスの場合について評価を行った。	
・伸び量がプラスの場合	・伸び量がプラスの場合	
ボンネットボルトの伸び量からボンネットフランジと弁箱フランジの伸び量を差し引いた伸び量がガスケットの復元量*1を下回ることを確認した。	ボンネットボルトの伸び量からボンネットフランジと弁箱フランジの伸び量を差し引いた伸び量がガスケットの復元量*1を下回ることを確認した。	
*1: ガスケットに締付面圧を加えていくと弾性変形が生じ、更に締付面圧を加えていくと塑性変形が生じる。塑性変形したガスケットの締付面圧を緩和した場合、弹性領域分のみが復元する性質がある。弁耐圧部の接合部のシールのため、ガスケットには弹性領域まで締付面圧を加えて初期圧縮を加えており、締付面圧緩和時に弹性領域分の復元が生じ、復元量以下であればシール性は確保される。ガスケットの復元量は、メーカ試験によって確認した値。	*1: ガスケットに締付面圧を加えていくと弾性変形が生じ、更に締付面圧を加えていくと塑性変形が生じる。塑性変形したガスケットの締付面圧を緩和した場合、弹性領域分のみが復元する性質がある。弁耐圧部の接合部のシールのため、ガスケットには塑性領域まで締付面圧を加えて初期圧縮を加えており、締付面圧緩和時に弹性領域分の復元が生じ、復元量以下であればシール性は確保される。ガスケットの復元量は、メーカ試験によって確認した値。	
・伸び量がマイナスの場合	・伸び量がマイナスの場合	
伸び量がマイナスの場合は、弁耐圧部の接合部は増し締めされることになる。弁耐圧部の接合部については、ボンネットフランジと弁箱フランジがメタルタッチしており、それ以上ガスケットが圧縮しない構造となっていることから、ボンネットナット座面の面圧とボンネットフランジと弁箱フランジの合わせ面の面圧が材料の許容応力を下回ることを確認した。	伸び量がマイナスの場合は、弁耐圧部の接合部は増し締めされることになる。弁耐圧部の接合部については、ボンネットフランジと弁箱フランジがメタルタッチしており、それ以上ガスケットが圧縮しない構造となっていることから、ボンネットナット座面の面圧とボンネットフランジと弁箱フランジの合わせ面の面圧が材料の許容応力を下回ることを確認した。	
a. 内圧による伸び量	a. 内圧による伸び量	
ボンネットボルトの発生応力 (MPa)	ボンネットボルトの発生応力 (MPa)	

泊発電所3号炉 有効性評価 比較表

7.1.8 格納容器バイパス (添付資料 7.1.8.4 インターフェイスシステム LOCA 発生時の余熱除去系統の破断箇所及び破断面積について)

赤字 : 設備、運用又は体制の相違 (設計方針の相違)
青字 : 記載箇所又は記載内容の相違 (記載方針の相違)
緑字 : 記載表現、設備名称の相違 (実質的な相違なし)

大飯発電所3／4号炉	泊発電所3号炉	相違理由
$\textcircled{4}' = (1000 \times \textcircled{1}' \times \textcircled{2}') / (0.2 \times \textcircled{3}')$ $\textcircled{8}' = (\pi \times \textcircled{5}' \times 15.4 / 4) \times (\textcircled{5}' + 8 \times \textcircled{6}' \times \textcircled{7}')$ $\textcircled{9}' = \textcircled{4}' - \textcircled{8}'$ $\textcircled{10}' = \textcircled{9}' / \textcircled{2}'$ $\textcircled{12}' = \textcircled{10}' / \textcircled{11}'$ $\textcircled{1}' : \text{締付けトルク値 (N・m)}$ $\textcircled{2}' : \text{ボンネットボルト本数 (本)}$ $\textcircled{3}' : \text{ボンネットボルト外径 (mm)}$ $\textcircled{4}' : \text{ボンネットボルト締付けトルクによる全締付荷重 (N)}$ $\textcircled{5}' : \text{ガスケット反力円の直径 (mm)}$ $\textcircled{6}' : \text{ガスケット有効幅 (mm)}$ $\textcircled{7}' : \text{ガスケット係数}$ $\textcircled{8}' : 15.4 \text{ MPa 加圧に必要な最小荷重 (N)}$ $\textcircled{9}' : \text{不足する荷重 (N)}$ $\textcircled{10}' : \text{ボンネットボルト 1 本あたりに発生する荷重 (N)}$ $\textcircled{11}' : \text{ボンネットボルト径面積 (mm2)}$ $\textcircled{12}' = \textcircled{3}' \times \delta / (\textcircled{1} + \textcircled{2})$ $\delta = \textcircled{6}$ $\textcircled{1} : \text{ボンネットフランジ厚さ (ふた) (mm)}$ $\textcircled{2} : \text{弁箱フランジ厚さ (mm)}$ $\textcircled{3} : \text{ボンネットボルト材料の綫弾性係数 ((MPa), at } 300^{\circ}\text{C)}$ $\textcircled{6} : \text{ボンネットボルトの内圧による伸び量 (mm)}$ b. 热による伸び量 ボンネットボルトの热による伸び量 $\textcircled{4} \times (\textcircled{1} + \textcircled{2}) \times (300^{\circ}\text{C} - 21^{\circ}\text{C}) = \textcircled{7}$ $\textcircled{1} : \text{ボンネットフランジ厚さ (ふた) (mm)}$ $\textcircled{2} : \text{弁箱フランジ厚さ (mm)}$ $\textcircled{4} : \text{線膨張係数 (ボンネットボルト) (MPa)}$ $\textcircled{7} : \text{ボンネットボルトの热による伸び量 (mm)}$ $\text{ボンネットフランジと弁箱フランジの热による伸び量}$ $\textcircled{5} \times (\textcircled{1} + \textcircled{2}) \times (300^{\circ}\text{C} - 21^{\circ}\text{C}) = \textcircled{8}$ $\textcircled{1} : \text{ボンネットフランジ厚さ (ふた) (mm)}$ $\textcircled{2} : \text{弁箱フランジ厚さ (mm)}$	$\textcircled{4}' = (1000 \times \textcircled{1}' \times \textcircled{2}') / (0.2 \times \textcircled{3}')$ $\textcircled{8}' = (\pi \times \textcircled{5}' \times 15.4 / 4) \times (\textcircled{5}' + 8 \times \textcircled{6}' \times \textcircled{7}')$ $\textcircled{9}' = \textcircled{4}' - \textcircled{8}'$ $\textcircled{10}' = \textcircled{9}' / \textcircled{2}'$ $\textcircled{12}' = \textcircled{10}' / \textcircled{11}'$ $\textcircled{1}' : \text{締付けトルク値 (N・m)}$ $\textcircled{2}' : \text{ボンネットボルト本数 (本)}$ $\textcircled{3}' : \text{ボンネットボルト外径 (mm)}$ $\textcircled{4}' : \text{ボンネットボルト締付けトルクによる全締付荷重 (N)}$ $\textcircled{5}' : \text{ガスケット反力円の直径 (mm)}$ $\textcircled{6}' : \text{ガスケット有効幅 (mm)}$ $\textcircled{7}' : \text{ガスケット係数}$ $\textcircled{8}' : 15.4 \text{ MPa 加圧に必要な最小荷重 (N)}$ $\textcircled{9}' : \text{不足する荷重 (N)}$ $\textcircled{10}' : \text{ボンネットボルト 1 本あたりに発生する荷重 (N)}$ $\textcircled{11}' : \text{ボンネットボルト径面積 (mm2)}$ $\textcircled{12}' = \textcircled{3}' \times \delta / (\textcircled{1} + \textcircled{2})$ $\delta = \textcircled{6}$ $\textcircled{1} : \text{ボンネットフランジ厚さ (ふた) (mm)}$ $\textcircled{2} : \text{弁箱フランジ厚さ (mm)}$ $\textcircled{3} : \text{ボンネットボルト材料の綫弾性係数 ((MPa), at } 300^{\circ}\text{C)}$ $\textcircled{6} : \text{ボンネットボルトの内圧による伸び量 (mm)}$ b. 热による伸び量 ボンネットボルトの热による伸び量 $\textcircled{4} \times (\textcircled{1} + \textcircled{2}) \times (300^{\circ}\text{C} - 21^{\circ}\text{C}) = \textcircled{7}$ $\textcircled{1} : \text{ボンネットフランジ厚さ (ふた) (mm)}$ $\textcircled{2} : \text{弁箱フランジ厚さ (mm)}$ $\textcircled{4} : \text{線膨張係数 (ボンネットボルト) (MPa)}$ $\textcircled{7} : \text{ボンネットボルトの热による伸び量 (mm)}$ $\text{ボンネットフランジと弁箱フランジの热による伸び量}$ $\textcircled{5} \times (\textcircled{1} + \textcircled{2}) \times (300^{\circ}\text{C} - 21^{\circ}\text{C}) = \textcircled{8}$ $\textcircled{1} : \text{ボンネットフランジ厚さ (ふた) (mm)}$ $\textcircled{2} : \text{弁箱フランジ厚さ (mm)}$	

泊発電所 3号炉 有効性評価 比較表

7.1.8 格納容器バイパス (添付資料 7.1.8.4 インターフェイスシステム LOCA 発生時の余熱除去系統の破断箇所及び破断面積について)

赤字 : 設備、運用又は体制の相違 (設計方針の相違)
青字 : 記載箇所又は記載内容の相違 (記載方針の相違)
緑字 : 記載表現、設備名称の相違 (実質的な相違なし)

大飯発電所3／4号炉	泊発電所3号炉	相違理由
<p>⑤ : 線膨張係数 (フランジ) (MPa) ⑧ : ボンネットフランジと弁箱フランジの熱による伸び量 (mm)</p> <p>c. 伸び量 $\text{伸び量 (mm)} = \text{⑥} + \text{⑦} - \text{⑧}$ ⑥ : ボンネットボルトの内圧による伸び量 (mm) ⑦ : ボンネットボルトの熱による伸び量 (mm) ⑧ : ボンネットフランジと弁箱フランジの熱による伸び量 (mm)</p> <p>d. ボンネットナット座面の面圧 ボンネットボルト締付荷重として評価された W_{m1} を、ボンネットナット座面の面積 S で除し、面圧を算出する。ボンネットナット座面を図1、2に示す。 $W_{m1} = ⑧' (N)$</p> <p>弁はボンネットナットが2種類あるため、ボンネットナット座面の面積 S で除し、面圧の算出する2パターンを下記に示す。</p> <p><パターン1> $S = ((d)^2 - (e)^2) / 4 \times \pi$ $= (h) \quad (\text{図1参照})$</p> <p>面圧 $\sigma = W_{m1} / S / \text{ボンネットボルト本数} = ⑧' / (f) / (i)$ $\sigma = (k)$</p> <p><パターン2> $S = (\sqrt{3}/4 \times (f)^2 \times 6) - (g)$ $= (h) \quad (\text{図2参照})$</p> <p>面圧 $\sigma = W_{m1} / S = ⑧' / (h) / (i)$ $\sigma = (k)$</p> <p>⑧' : 15.4 MPa 加圧に必要な最小荷重 (N) (d) : ボンネットナット面外径 (mm) (e) : ボンネット穴径 (mm) (f) : ボンネットナット面直径 (mm) (g) : ボンネット穴面積 (mm^2) (h) : ボンネットナット面積 (mm^2) (i) : ボンネットボルト本数 (本)</p>	<p>⑤ : 線膨張係数 (フランジ) (MPa) ⑧ : ボンネットフランジと弁箱フランジの熱による伸び量 (mm)</p> <p>c. 伸び量 $\text{伸び量 (mm)} = \text{⑥} + \text{⑦} - \text{⑧}$ ⑥ : ボンネットボルトの内圧による伸び量 (mm) ⑦ : ボンネットボルトの熱による伸び量 (mm) ⑧ : ボンネットフランジと弁箱フランジの熱による伸び量 (mm)</p> <p>d. ボンネットナット座面の面圧 ボンネットボルト締付荷重として評価された W_{m1} を、ボンネットナット座面の面積 S で除し、面圧を算出する。ボンネットナット座面を図1、2に示す。 $W_{m1} = ⑧' (N)$</p> <p>弁はボンネットナットが2種類あるため、ボンネットナット座面の面積 S で除し、面圧の算出する2パターンを下記に示す。</p> <p><パターン1> $S = ((d)^2 - (e)^2) / 4 \times \pi$ $= (h) \quad (\text{図1参照})$</p> <p>面圧 $\sigma = W_{m1} / S / \text{ボンネットボルト本数} = ⑧' / (f) / (i)$ $\sigma = (k)$</p> <p><パターン2> $S = (\sqrt{3}/4 \times (f)^2 \times 6) - (g)$ $= (h) \quad (\text{図2参照})$</p> <p>面圧 $\sigma = W_{m1} / S = ⑧' / (h) / (i)$ $\sigma = (k)$</p> <p>⑧' : 15.4 MPa 加圧に必要な最小荷重 (N) (d) : ボンネットナット面外径 (mm) (e) : ボンネット穴径 (mm) (f) : ボンネットナット面直径 (mm) (g) : ボンネット穴面積 (mm^2) (h) : ボンネットナット面積 (mm^2) (i) : ボンネットボルト本数 (本)</p>	

泊発電所3号炉 有効性評価 比較表

7.1.8 格納容器バイパス (添付資料 7.1.8.4 インターフェイスシステム LOCA 発生時の余熱除去系統の破断箇所及び破断面積について)

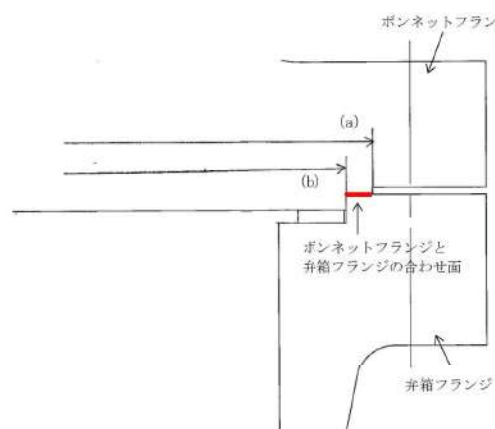
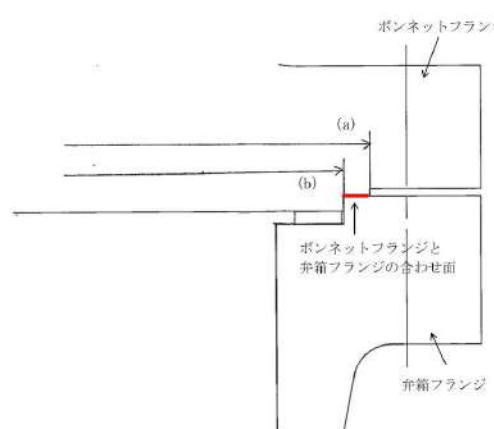
赤字 : 設備、運用又は体制の相違 (設計方針の相違)
青字 : 記載箇所又は記載内容の相違 (記載方針の相違)
緑字 : 記載表現、設備名称の相違 (実質的な相違なし)

大飯発電所3／4号炉	泊発電所3号炉	相違理由
<p>(k) : ボンネットナット応力 (MPa)</p> <p>図1 ボンネットナット座面<パターン1></p> <p>図2 ボンネットナット座面<パターン2></p> <p>e. ボンネットフランジと弁箱フランジの合わせ面の面圧 ボンネットボルト締付時のボンネットフランジと弁箱フランジの合わせ面の面圧を算出する。 ボンネットボルト締付荷重として評価された W_{m1} を、合わせ面の面積 S で除し、面圧を算出する。 $W_{m1} = ⑧' \text{ (N)}$</p> $S = ((a)^2 - (b)^2) / 4 \times \pi$ $= (c) \quad (\text{図3参照})$ <p>面圧</p> $\sigma = W_{m1} / S = ⑧' / (c)$	<p>(k) : ボンネットナット応力 (MPa)</p> <p>図1 ボンネットナット座面<パターン1></p> <p>図2 ボンネットナット座面<パターン2></p> <p>e. ボンネットフランジと弁箱フランジの合わせ面の面圧 ボンネットボルト締付時のボンネットフランジと弁箱フランジの合わせ面の面圧を算出する。 ボンネットボルト締付荷重として評価された W_{m1} を、合わせ面の面積 S で除し、面圧を算出する。 $W_{m1} = ⑧' \text{ (N)}$</p> $S = ((a)^2 - (b)^2) / 4 \times \pi$ $= (c) \quad (\text{図3参照})$ <p>面圧</p> $\sigma = W_{m1} / S = ⑧' / (c)$	

泊発電所3号炉 有効性評価 比較表

7.1.8 格納容器バイパス (添付資料 7.1.8.4 インターフェイスシステム LOCA 発生時の余熱除去系統の破断箇所及び破断面積について)

赤字 : 設備、運用又は体制の相違 (設計方針の相違)
青字 : 記載箇所又は記載内容の相違 (記載方針の相違)
緑字 : 記載表現、設備名称の相違 (実質的な相違なし)

大飯発電所3／4号炉	泊発電所3号炉	相違理由
<p>$\sigma = (j)$</p> <p>⑧' : 15.4MPa 加圧に必要な最小荷重 (N) (a) : メタルタッチ部外径 (mm) (b) : メタルタッチ部内径 (mm) (c) : メタルタッチ部面積 (mm^2) (j) : ボンネットフランジと弁箱フランジの合わせ面の応力 (MPa)</p>  <p>図3 ボンネットフランジと弁箱フランジの合わせ面</p>	<p>$\sigma = (j)$</p> <p>⑧' : 15.4MPa 加圧に必要な最小荷重 (N) (a) : メタルタッチ部外径 (mm) (b) : メタルタッチ部内径 (mm) (c) : メタルタッチ部面積 (mm^2) (j) : ボンネットフランジと弁箱フランジの合わせ面の応力 (MPa)</p>  <p>図3 ボンネットフランジと弁箱フランジの合わせ面</p>	<p>(3) 計器入口弁の評価</p> <p>計器入口弁の耐圧試験と計器本体の耐圧試験を確認し、ISLOCA 発生時の圧力 (15.4MPa) と比較評価した。</p> <p>1.3 評価結果</p> <p>プロセス弁の各部位について評価した結果、表1～4に示すとおり実機の値は判定基準を満足し、ISLOCA 発生時の高温 (300°C)、高圧 (15.4MPa) の条件下で破損せず、漏えいは発生しないことを確認した。</p> <p>計器入口弁は ISLOCA 発生時の圧力 (15.4MPa) を上回る圧力 (32.4MPa) で耐圧試験を実施しており、破損せず漏えいは発生しないが、計器本体は耐圧試験圧力が 13.7MPa であるため、15.4MPa が加えられた場合、破損する可能性があることが確認された。</p> <p>(3) 計器入口弁の評価</p> <p>計器入口弁の耐圧試験と計器本体の耐圧試験を確認し、ISLOCA 発生時の圧力 (15.4MPa) と比較評価した。</p> <p>1.3 評価結果</p> <p>プロセス弁 (3V-RH-006A、B 及び 3V-RH-008A、B を除く) の各部位について評価した結果、表1～4に示すとおり実機の値は判定基準を満足し、ISLOCA 発生時の高温 (300°C)、高圧 (15.4MPa) の条件下で破損せず、漏えいは発生しないことを確認した。3V-RH-006A、B 及び 3V-RH-008A、B は、ISLOCA 発生時の圧力 (15.4MPa) を上回る圧力 (15.49MPa 以上) で耐圧試験を実施しており、破損せず漏えいは発生しない。</p> <p>計器入口弁は ISLOCA 発生時の圧力 (15.4MPa) を上回る圧力 (32.4MPa) で耐圧試験を実施しており、破損せず漏えいは発生しないが、計器本体は耐圧試験圧力が 13.7MPa であるため、15.4MPa が加えられた場合、破損する可能性があることが確認された。</p>

泊発電所 3号炉 有効性評価 比較表

7.1.8 格納容器バイパス (添付資料 7.1.8.4 インターフェイスシステム LOCA 発生時の余熱除去系統の破断箇所及び破断面積について)

赤字 : 設備、運用又は体制の相違 (設計方針の相違)
青字 : 記載箇所又は記載内容の相違 (記載方針の相違)
緑字 : 記載表現、設備名称の相違 (実質的な相違なし)

大飯発電所3／4号炉							泊発電所3号炉							相違理由
表1 弁本体の耐圧部評価結果							表1 弁本体の耐圧部評価結果							
評価部位	材料	P: 内圧 (MPa)	d: 内径 (mm)	S: 設計引張強さ Su (MPa)	実機の最小厚さ (mm)	必要な最小厚さ (mm)	評価部位	材料	P: 内圧 (MPa)	d ₀ or d: 内径 (mm)	S: 設計引張強さ Su (MPa)	実機の最小厚さ (mm)	必要な最小厚さ (mm)	
3/4V-RH-027	[REDACTED]	15.4	[REDACTED]	420	[REDACTED]	3.5	3V-RH-026A, B	[REDACTED]	15.4	[REDACTED]	420	[REDACTED]	3.8	
3/4V-RH-061	[REDACTED]	15.4	[REDACTED]	420	[REDACTED]	2.7	3FCV-604, 612	[REDACTED]	15.4	[REDACTED]	420	[REDACTED]	3.8	
3/4V-RH-601	[REDACTED]	15.4	[REDACTED]	420	[REDACTED]	1.0	3HCV-603, 613	[REDACTED]	15.4	[REDACTED]	420	[REDACTED]	4.7	
3/4V-RH-016A, B	[REDACTED]	15.4	[REDACTED]	420	[REDACTED]	4.5	3V-RH-023A, B	[REDACTED]	15.4	[REDACTED]	420	[REDACTED]	1.5	
3/4V-RH-005A, B	[REDACTED]	15.4	[REDACTED]	420	[REDACTED]	6.0	3FCV-601, 611	[REDACTED]	15.4	[REDACTED]	420	[REDACTED]	1.0	
3/4V-RH-012A, B	[REDACTED]	15.4	[REDACTED]	420	[REDACTED]	4.7	3V-RH-016A, B	[REDACTED]	15.4	[REDACTED]	420	[REDACTED]	4.5	
3/4V-SI-097A, B	[REDACTED]	15.4	[REDACTED]	420	[REDACTED]	7.4	3V-RH-013A, B	[REDACTED]	15.4	[REDACTED]	420	[REDACTED]	4.7	
3/4V-RH-026A, B	[REDACTED]	15.4	[REDACTED]	420	[REDACTED]	1.5	3V-RH-005A, B	[REDACTED]	15.4	[REDACTED]	420	[REDACTED]	6.8	
3/4V-RH-603, 613	[REDACTED]	15.4	[REDACTED]	420	[REDACTED]	4.7	3V-RH-056A, B	[REDACTED]	15.4	[REDACTED]	420	[REDACTED]	7.4	
3/4V-RH-604, 614	[REDACTED]	15.4	[REDACTED]	420	[REDACTED]	3.8	3V-RH-101	[REDACTED]	15.4	[REDACTED]	420	[REDACTED]	1.9	
							3V-RH-100	[REDACTED]	15.4	[REDACTED]	420	[REDACTED]	1.8	

表2 弁耐圧部の接合部評価結果 (ボンネットボルトの伸び量)							表2 弁耐圧部の接合部評価結果 (ボンネットボルトの伸び量)							
評価部位	材質	内圧	内径	設計引張強さ (MPa)	実機の引張強さ (MPa)	必要な引張強さ (MPa)	評価部位	材質	内圧	内径	設計引張強さ (MPa)	実機の引張強さ (MPa)	必要な引張強さ (MPa)	
3/4V-RH-027A	[REDACTED]	[REDACTED]	[REDACTED]	[REDACTED]	[REDACTED]	[REDACTED]	3V-RH-026A, B	[REDACTED]	1,300E-01	[REDACTED]	[REDACTED]	[REDACTED]	[REDACTED]	
3/4V-RH-061	[REDACTED]	[REDACTED]	[REDACTED]	[REDACTED]	[REDACTED]	[REDACTED]	3FCV-604, 612	[REDACTED]	1,300E-01	[REDACTED]	[REDACTED]	[REDACTED]	[REDACTED]	
3/4V-RH-601	[REDACTED]	[REDACTED]	[REDACTED]	[REDACTED]	[REDACTED]	[REDACTED]	3HCV-603, 613	[REDACTED]	1,300E-01	[REDACTED]	[REDACTED]	[REDACTED]	[REDACTED]	
3/4V-RH-016A, B	[REDACTED]	[REDACTED]	[REDACTED]	[REDACTED]	[REDACTED]	[REDACTED]	3V-RH-023A, B	[REDACTED]	1,300E-01	[REDACTED]	[REDACTED]	[REDACTED]	[REDACTED]	
3/4V-RH-005A, B	[REDACTED]	[REDACTED]	[REDACTED]	[REDACTED]	[REDACTED]	[REDACTED]	3FCV-601, 611	[REDACTED]	1,300E-01	[REDACTED]	[REDACTED]	[REDACTED]	[REDACTED]	
3/4V-RH-012A, B	[REDACTED]	[REDACTED]	[REDACTED]	[REDACTED]	[REDACTED]	[REDACTED]	3V-RH-016A, B	[REDACTED]	1,300E-01	[REDACTED]	[REDACTED]	[REDACTED]	[REDACTED]	
3/4V-SI-097A, B	[REDACTED]	[REDACTED]	[REDACTED]	[REDACTED]	[REDACTED]	[REDACTED]	3V-RH-013A, B	[REDACTED]	1,300E-01	[REDACTED]	[REDACTED]	[REDACTED]	[REDACTED]	
3/4V-RH-026A, B	[REDACTED]	[REDACTED]	[REDACTED]	[REDACTED]	[REDACTED]	[REDACTED]	3V-RH-005A, B	[REDACTED]	1,300E-01	[REDACTED]	[REDACTED]	[REDACTED]	[REDACTED]	
3/4V-RH-603, 613	[REDACTED]	[REDACTED]	[REDACTED]	[REDACTED]	[REDACTED]	[REDACTED]	3V-RH-056A, B	[REDACTED]	1,300E-01	[REDACTED]	[REDACTED]	[REDACTED]	[REDACTED]	
3/4V-RH-604, 614	[REDACTED]	[REDACTED]	[REDACTED]	[REDACTED]	[REDACTED]	[REDACTED]	3V-RH-101	[REDACTED]	1,300E-01	[REDACTED]	[REDACTED]	[REDACTED]	[REDACTED]	
							3V-RH-100	[REDACTED]	1,300E-01	[REDACTED]	[REDACTED]	[REDACTED]	[REDACTED]	

枠囲みの範囲は機密に係る事項ですので公開することはできません。

枠囲みの内容は機密情報に属しますので公開できません。

泊発電所 3号炉 有効性評価 比較表

赤字：設備、運用又は体制の相違（設計方針の相違）
青字：記載箇所又は記載内容の相違（記載方針の相違）
緑字：記載表現、設備名称の相違（実質的な相違なし）

7.1.8.4 インターフェイスシステム LOCA 発生時の余熱除去系統の破断箇所及び破断面積について

大飯発電所3／4号炉

泊発電所 3号炉

相違理由

表3 弁耐圧部の接合部評価結果（ボンネットボルトの発生応力）

井番号	①' 締付トルク(個)	②' ボルト本数(本)	③' ボルト外径(mm)	4' ボルト締付トルクによる全締付荷重(N)	5' ガスケット及力円の直径(mm)	6' ガスケットの有効幅(mm)	7' ガスケット係数	8' 15Mpa加圧当たり必要な最小荷重(N)	9' 不定する荷重(WtN)	10' ボルト1本当たりに発生する荷重(N)	11' ボルト径面積(mm ²)	12' ポンチネットボルトの発生応力(MPa)
	(Nm)	(本)	(mm)	(N)								
3/4V-RH-027AB	280.0	16	20	1120000				1269157	-149157	-9322	245	38.1
3/4V-RH-061	280.0	12	20	940000				897232	-57232	-4769	245	19.5
3/4V-RH-601.611	144.0	8	16	360000				195844	164156	20519	157	-130.7
3/4V-RH-016AB	280.0	20	20	1400000				1849412	-449412	-22471	245	91.7
3/4V-RH-005AB	481.0	20	24	200416				2701446	-697278	-34864	353	96.8
3/4V-RH-012AB	381.0	16	22	1385455				1898129	-512874	-32042	303	105.7
3/4V-SI-097AB	969.0	20	30	3230000				3981935	-751935	-37597	580	64.8
3/4V-RH-026AB	270.0	8	20	540000				334972	206028	25628	245	-104.6
3/4V-RH-603.613	206.0	4	22	187275				174327	12946	3236	303	-10.7
3/4V-RH-604.614	147.1	4	20	147100				142394	4704	1176	245	-4.8

表3 弁耐圧部の接合部評価結果（ボンネットボルトの発生応力）

井番号	① 締付 トルク値 (Nm)	② ボルト 本数 (本)	③ ボルト 外径 (mm)	④ ボルト締付 トルクによる全 締付け荷重(N)	⑤ ガスケット 反力円の直径 (mm)	⑥ ガスケット幅 の有効幅(mm)	⑦ ガス ケット係数	⑧ 157k加压 に必要な最小 荷重(WDN)	⑨ 不足する 荷重(WDN)	⑩ ボルト一本 当たりに 負担する荷重 (N)	⑪ ボルト徑 面積(mm ²)	⑫ ボンネット部 の 発生応力(MPa)
3V-RH-026A-B	16	22	1385455					1741508	-356053	-22253	157	1
3FCV-604,811		4	20	170700				142386	28304	7076	245	-
3HCV-803,813	4	22	219455					174327	36127	8032	303	-
3V-RH-023A-B	8	20	540000					334972	205028	25628	245	-
3FCV-601,811		8	16	360000				169138	180862	23858	157	-1
3V-RH-016A-B	20	20	1400000					1840455	-446455	-22323	245	
3V-RH-013A-B		16	22	1385455				1895125	-509671	-31854	303	1
3V-RH-005A-B	16	30	2584000					3500827	-924927	-57802	561	1
3V-RH-056A-B	20	30	3230000					3986851	-756851	-37843	561	
3V-RH-101		12	16	540000				552554	-12554	-1046	157	
3V-RH-100	8	16	360000					515555	-155555	-19444	157	1

表4 弁耐圧部の接合部評価結果（ボンネットナット座面の面圧、ボンネットフランジと弁箱フランジの食わせ面の面圧）

登録番号	チラシ用紙	チラシ用紙	郵便局宛ての送付用紙	チラシ用紙															
				チラシ用紙															
1-47-00-021748	2007			400	201.0	211.0	611.0	27.7	22.0	-	-	187.2	10	100000000	201.0	400	400	423.0	60
1-47-00-021749	2007			400	203.0	211.0	594.0	27.7	22.0	-	-	187.2	10	001000000	198.0	400	400	389.0	42
1-47-00-021750	2007			400	110.0	87.0	246.0	18.0	16.0	-	-	116.0	0	000000000	19.0	400	400	114.0	93
1-47-00-021751	2007			400	100.0	109.0	100.0	27.7	22.0	-	-	101.2	20	100000000	19.0	400	400	94.0	80
1-47-00-021752	2007			400	400.0	418.0	121.0	18.0	27.0	-	-	106.4	20	000000000	204.0	400	400	402.0	92
1-47-00-021753	2007			400	100.0	109.0	144.0	19.4	25.0	-	-	100.0	10	100000000	11.0	400	400	110.0	92
1-47-00-021754	2007			400	340.0	303.0	239.0	40.0	22.0	-	-	100.0	20	000000000	12.0	400	400	282.0	60
1-47-00-021755	2007			400	120.0	120.0	160.0	29.0	22.0	-	-	100.0	0	000000000	19.0	400	400	170.0	60
1-47-00-021756	2007			400	61.0	60.0	130.0	-	-	37.0	400.0	100.0	0	100000000	12.0	400	400	130.0	62
1-47-00-021757	2007			400	80.0	78.0	90.0	-	-	36.0	400.0	100.0	0	100000000	19.0	400	400	96.0	62

表4 弁耐圧部の接合部評価結果(ボンネットト座面の面圧、ボンネットフランジと弁箱フランジの合わせ面の面圧)

枠囲みの範囲は機密に係る事項ですので公開することはできません。

枠囲みの内容は機密情報に属しますので公開できません。

泊発電所 3号炉 有効性評価 比較表

7.1.8 格納容器バイパス (添付資料 7.1.8.4 インターフェイスシステム LOCA 発生時の余熱除去系統の破断箇所及び破断面積について)

赤字 : 設備、運用又は体制の相違 (設計方針の相違)
青字 : 記載箇所又は記載内容の相違 (記載方針の相違)
緑字 : 記載表現、設備名称の相違 (実質的な相違なし)

大飯発電所3／4号炉	泊発電所3号炉	相違理由																			
<p>2. 破断面積</p> <p>2.1 評価部位の選定と破断面積の評価方法</p> <p>(1) プロセス弁</p> <p>弁のグランド部(逆止弁を除く)については、1次冷却材系統の圧力・温度条件下においてもグランドパッキンは機能し、有意な漏えいは発生しないと考えられるが、評価にあたっては保守的にグランドパッキンの存在を無視してグランド部から漏えいするものと想定し、弁本体と弁棒の隙間部の断面積を破断面積とした。</p> <p>(2) 計器入口弁</p> <p>ISLOCAにより計器本体が破損し漏えいが起きた場合、計器入口弁の内径に応じて漏えい量が決まるため、破断面積は破損が想定される計器の入口弁の内径から算出した。</p> <p>2.2 破断面積の評価結果</p> <p>評価結果を図4～10にまとめる。</p> <table border="1"> <thead> <tr> <th></th> <th>3/4V-RH-005A,B</th> <th>3/4V-RH-016A,B</th> </tr> </thead> <tbody> <tr> <td>呼び径 (inch) / 最高使用圧力 (MPa)</td> <td>14 / 4.5</td> <td>10 / 4.5</td> </tr> <tr> <td>弁棒直徑 : A (mm)</td> <td>[Redacted]</td> <td>[Redacted]</td> </tr> <tr> <td>弁棒貫通部の内径 : B (mm)</td> <td>29.1</td> <td>23.76</td> </tr> <tr> <td>隙間部の幅 : H-A (mm)</td> <td></td> <td></td> </tr> <tr> <td>隙間部の面積 (mm²)</td> <td></td> <td></td> </tr> <tr> <td>漏えい量評価に用いる 破断面積 (inch²)</td> <td>0.05</td> <td>0.04</td> </tr> </tbody> </table> <p>図4 ツインパワー弁</p> <p>枠囲みの範囲は機密に係る事項ですので公開することはできません。</p>		3/4V-RH-005A,B	3/4V-RH-016A,B	呼び径 (inch) / 最高使用圧力 (MPa)	14 / 4.5	10 / 4.5	弁棒直徑 : A (mm)	[Redacted]	[Redacted]	弁棒貫通部の内径 : B (mm)	29.1	23.76	隙間部の幅 : H-A (mm)			隙間部の面積 (mm²)			漏えい量評価に用いる 破断面積 (inch²)	0.05	0.04
	3/4V-RH-005A,B	3/4V-RH-016A,B																			
呼び径 (inch) / 最高使用圧力 (MPa)	14 / 4.5	10 / 4.5																			
弁棒直徑 : A (mm)	[Redacted]	[Redacted]																			
弁棒貫通部の内径 : B (mm)	29.1	23.76																			
隙間部の幅 : H-A (mm)																					
隙間部の面積 (mm²)																					
漏えい量評価に用いる 破断面積 (inch²)	0.05	0.04																			

泊発電所 3 号炉 有効性評価 比較表

7.1.8 格納容器バイパス (添付資料 7.1.8.4 インターフェイスシステム LOCA 発生時の余熱除去系統の破断箇所及び破断面積について)

赤字 : 設備、運用又は体制の相違 (設計方針の相違)
青字 : 記載箇所又は記載内容の相違 (記載方針の相違)
緑字 : 記載表現、設備名称の相違 (実質的な相違なし)

大飯発電所 3 / 4 号炉	泊発電所 3 号炉	相違理由																																																						
<p>図 5 電動弁</p> <table border="1"> <tr> <td>呼び径 (inch) / 最高使用圧力 (MPa)</td> <td>3/4V-RH-061</td> <td>3/4V-RH-061, 011</td> </tr> <tr> <td>弁体直徑 : A (mm)</td> <td>[REDACTED]</td> <td>[REDACTED]</td> </tr> <tr> <td>弁排気通部の内径 : B (mm)</td> <td>[REDACTED]</td> <td>[REDACTED]</td> </tr> <tr> <td>隙間部の幅 : B-A (mm)</td> <td>11.65</td> <td>11.68</td> </tr> <tr> <td>隙間部の面積 (mm²)</td> <td>[REDACTED]</td> <td>[REDACTED]</td> </tr> <tr> <td>漏えい量評価に用いる 破断面積 (inch²)</td> <td>0.02</td> <td>0.02</td> </tr> </table>	呼び径 (inch) / 最高使用圧力 (MPa)	3/4V-RH-061	3/4V-RH-061, 011	弁体直徑 : A (mm)	[REDACTED]	[REDACTED]	弁排気通部の内径 : B (mm)	[REDACTED]	[REDACTED]	隙間部の幅 : B-A (mm)	11.65	11.68	隙間部の面積 (mm²)	[REDACTED]	[REDACTED]	漏えい量評価に用いる 破断面積 (inch²)	0.02	0.02	<p>図 4 電動弁</p> <table border="1"> <tr> <td>呼び径 (inch) / 最高使用圧力 (MPa)</td> <td>3/4V-611</td> <td>3/4A.5</td> </tr> <tr> <td>弁体直徑 : A (mm)</td> <td>[REDACTED]</td> <td>[REDACTED]</td> </tr> <tr> <td>弁排気通部の内径 : B (mm)</td> <td>[REDACTED]</td> <td>[REDACTED]</td> </tr> <tr> <td>隙間部の幅 : B-A (mm)</td> <td>[REDACTED]</td> <td>[REDACTED]</td> </tr> <tr> <td>隙間部の面積 (mm²)</td> <td>11.68</td> <td>[REDACTED]</td> </tr> <tr> <td>漏えい量評価に用いる 破断面積 (inch²)</td> <td>0.02</td> <td>[REDACTED]</td> </tr> </table>	呼び径 (inch) / 最高使用圧力 (MPa)	3/4V-611	3/4A.5	弁体直徑 : A (mm)	[REDACTED]	[REDACTED]	弁排気通部の内径 : B (mm)	[REDACTED]	[REDACTED]	隙間部の幅 : B-A (mm)	[REDACTED]	[REDACTED]	隙間部の面積 (mm²)	11.68	[REDACTED]	漏えい量評価に用いる 破断面積 (inch²)	0.02	[REDACTED]																			
呼び径 (inch) / 最高使用圧力 (MPa)	3/4V-RH-061	3/4V-RH-061, 011																																																						
弁体直徑 : A (mm)	[REDACTED]	[REDACTED]																																																						
弁排気通部の内径 : B (mm)	[REDACTED]	[REDACTED]																																																						
隙間部の幅 : B-A (mm)	11.65	11.68																																																						
隙間部の面積 (mm²)	[REDACTED]	[REDACTED]																																																						
漏えい量評価に用いる 破断面積 (inch²)	0.02	0.02																																																						
呼び径 (inch) / 最高使用圧力 (MPa)	3/4V-611	3/4A.5																																																						
弁体直徑 : A (mm)	[REDACTED]	[REDACTED]																																																						
弁排気通部の内径 : B (mm)	[REDACTED]	[REDACTED]																																																						
隙間部の幅 : B-A (mm)	[REDACTED]	[REDACTED]																																																						
隙間部の面積 (mm²)	11.68	[REDACTED]																																																						
漏えい量評価に用いる 破断面積 (inch²)	0.02	[REDACTED]																																																						
<p>図 6 仕切弁</p> <table border="1"> <tr> <td>呼び径 (inch) / 最高使用圧力 (MPa)</td> <td>3/4V-RH-027A,B</td> <td>8/4.5</td> </tr> <tr> <td>弁体直徑 : A (mm)</td> <td>[REDACTED]</td> <td>[REDACTED]</td> </tr> <tr> <td>弁排気通部の内径 : B (mm)</td> <td>[REDACTED]</td> <td>[REDACTED]</td> </tr> <tr> <td>隙間部の幅 : B-A (mm)</td> <td>[REDACTED]</td> <td>[REDACTED]</td> </tr> <tr> <td>隙間部の面積 (mm²)</td> <td>21.13</td> <td>[REDACTED]</td> </tr> <tr> <td>漏えい量評価に用いる 破断面積 (inch²)</td> <td>0.03</td> <td>[REDACTED]</td> </tr> </table>	呼び径 (inch) / 最高使用圧力 (MPa)	3/4V-RH-027A,B	8/4.5	弁体直徑 : A (mm)	[REDACTED]	[REDACTED]	弁排気通部の内径 : B (mm)	[REDACTED]	[REDACTED]	隙間部の幅 : B-A (mm)	[REDACTED]	[REDACTED]	隙間部の面積 (mm²)	21.13	[REDACTED]	漏えい量評価に用いる 破断面積 (inch²)	0.03	[REDACTED]	<p>図 5 仕切弁</p> <table border="1"> <tr> <td>呼び径 (inch) / 最高使用圧力 (MPa)</td> <td>3V-RH-055&B</td> <td>4/4.5</td> </tr> <tr> <td>弁体直徑 : A (mm)</td> <td>[REDACTED]</td> <td>[REDACTED]</td> </tr> <tr> <td>弁排気通部の内径 : B (mm)</td> <td>[REDACTED]</td> <td>[REDACTED]</td> </tr> <tr> <td>隙間部の幅 : B-A (mm)</td> <td>[REDACTED]</td> <td>[REDACTED]</td> </tr> <tr> <td>隙間部の面積 (mm²)</td> <td>44.43</td> <td>11.68</td> </tr> <tr> <td>漏えい量評価に用いる破断面積 (inch²)</td> <td>0.05</td> <td>0.02</td> </tr> <tr> <td>呼び径 (inch) / 最高使用圧力 (MPa)</td> <td>3V-RH-059&B</td> <td>10/4.5</td> </tr> <tr> <td>弁体直徑 : A (mm)</td> <td>[REDACTED]</td> <td>[REDACTED]</td> </tr> <tr> <td>弁排気通部の内径 : B (mm)</td> <td>[REDACTED]</td> <td>[REDACTED]</td> </tr> <tr> <td>隙間部の幅 : B-A (mm)</td> <td>[REDACTED]</td> <td>[REDACTED]</td> </tr> <tr> <td>隙間部の面積 (mm²)</td> <td>32.43</td> <td>[REDACTED]</td> </tr> <tr> <td>漏えい量評価に用いる破断面積 (inch²)</td> <td>0.05</td> <td>[REDACTED]</td> </tr> </table>	呼び径 (inch) / 最高使用圧力 (MPa)	3V-RH-055&B	4/4.5	弁体直徑 : A (mm)	[REDACTED]	[REDACTED]	弁排気通部の内径 : B (mm)	[REDACTED]	[REDACTED]	隙間部の幅 : B-A (mm)	[REDACTED]	[REDACTED]	隙間部の面積 (mm²)	44.43	11.68	漏えい量評価に用いる破断面積 (inch²)	0.05	0.02	呼び径 (inch) / 最高使用圧力 (MPa)	3V-RH-059&B	10/4.5	弁体直徑 : A (mm)	[REDACTED]	[REDACTED]	弁排気通部の内径 : B (mm)	[REDACTED]	[REDACTED]	隙間部の幅 : B-A (mm)	[REDACTED]	[REDACTED]	隙間部の面積 (mm²)	32.43	[REDACTED]	漏えい量評価に用いる破断面積 (inch²)	0.05	[REDACTED]	
呼び径 (inch) / 最高使用圧力 (MPa)	3/4V-RH-027A,B	8/4.5																																																						
弁体直徑 : A (mm)	[REDACTED]	[REDACTED]																																																						
弁排気通部の内径 : B (mm)	[REDACTED]	[REDACTED]																																																						
隙間部の幅 : B-A (mm)	[REDACTED]	[REDACTED]																																																						
隙間部の面積 (mm²)	21.13	[REDACTED]																																																						
漏えい量評価に用いる 破断面積 (inch²)	0.03	[REDACTED]																																																						
呼び径 (inch) / 最高使用圧力 (MPa)	3V-RH-055&B	4/4.5																																																						
弁体直徑 : A (mm)	[REDACTED]	[REDACTED]																																																						
弁排気通部の内径 : B (mm)	[REDACTED]	[REDACTED]																																																						
隙間部の幅 : B-A (mm)	[REDACTED]	[REDACTED]																																																						
隙間部の面積 (mm²)	44.43	11.68																																																						
漏えい量評価に用いる破断面積 (inch²)	0.05	0.02																																																						
呼び径 (inch) / 最高使用圧力 (MPa)	3V-RH-059&B	10/4.5																																																						
弁体直徑 : A (mm)	[REDACTED]	[REDACTED]																																																						
弁排気通部の内径 : B (mm)	[REDACTED]	[REDACTED]																																																						
隙間部の幅 : B-A (mm)	[REDACTED]	[REDACTED]																																																						
隙間部の面積 (mm²)	32.43	[REDACTED]																																																						
漏えい量評価に用いる破断面積 (inch²)	0.05	[REDACTED]																																																						

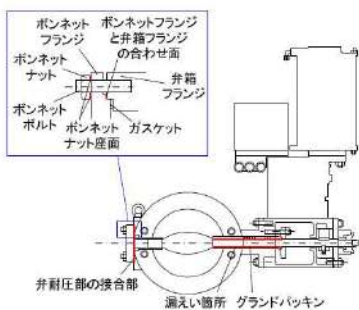
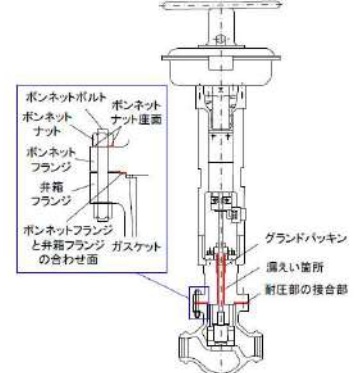
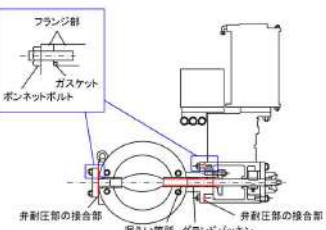
枠囲みの範囲は機密に係る事項ですので公開することはできません。

[REDACTED] 枠囲みの内容は機密情報に属しますので公開できません。

泊発電所 3号炉 有効性評価 比較表

7.1.8 格納容器バイパス (添付資料 7.1.8.4 インターフェイスシステム LOCA 発生時の余熱除去系統の破断箇所及び破断面積について)

赤字 : 設備、運用又は体制の相違 (設計方針の相違)
青字 : 記載箇所又は記載内容の相違 (記載方針の相違)
緑字 : 記載表現、設備名称の相違 (実質的な相違なし)

大飯発電所3／4号炉	泊発電所3号炉	相違理由																																				
  <table border="1"> <tr> <td>呼び径 (inch) / 最高使用圧力 (MPa)</td> <td>3/4V-RH-604, 614</td> <td>3/4V-RH-603, 613</td> </tr> <tr> <td>弁棒直徑 : A (mm)</td> <td>8 / 4.5</td> <td>10 / 4.5</td> </tr> <tr> <td>弁棒貫通部の内径 : B (mm)</td> <td>[Redacted]</td> <td>[Redacted]</td> </tr> <tr> <td>隙間部の幅 : B-A (mm)</td> <td>5.35</td> <td>6.60</td> </tr> <tr> <td>隙間部の面積 (mm²)</td> <td></td> <td></td> </tr> <tr> <td>漏えい量評価に用いる 破断面積 (inch²)</td> <td>0.01</td> <td>0.01</td> </tr> </table>	呼び径 (inch) / 最高使用圧力 (MPa)	3/4V-RH-604, 614	3/4V-RH-603, 613	弁棒直徑 : A (mm)	8 / 4.5	10 / 4.5	弁棒貫通部の内径 : B (mm)	[Redacted]	[Redacted]	隙間部の幅 : B-A (mm)	5.35	6.60	隙間部の面積 (mm²)			漏えい量評価に用いる 破断面積 (inch²)	0.01	0.01	 <table border="1"> <tr> <td>呼び径 (inch) / 最高使用圧力 (MPa)</td> <td>3FCV-604, 614</td> <td>3HCY-603, 613</td> </tr> <tr> <td>弁棒直徑 : A (mm)</td> <td>8 / 4.5</td> <td>10 / 4.5</td> </tr> <tr> <td>弁棒貫通部の内径 : B (mm)</td> <td>[Redacted]</td> <td>[Redacted]</td> </tr> <tr> <td>隙間部の幅 : B-A (mm)</td> <td></td> <td></td> </tr> <tr> <td>隙間部の面積 (mm²)</td> <td>5.34</td> <td>6.60</td> </tr> <tr> <td>漏えい量評価に用いる破断面積 (inch²)</td> <td>0.01</td> <td>0.01</td> </tr> </table>	呼び径 (inch) / 最高使用圧力 (MPa)	3FCV-604, 614	3HCY-603, 613	弁棒直徑 : A (mm)	8 / 4.5	10 / 4.5	弁棒貫通部の内径 : B (mm)	[Redacted]	[Redacted]	隙間部の幅 : B-A (mm)			隙間部の面積 (mm²)	5.34	6.60	漏えい量評価に用いる破断面積 (inch²)	0.01	0.01	
呼び径 (inch) / 最高使用圧力 (MPa)	3/4V-RH-604, 614	3/4V-RH-603, 613																																				
弁棒直徑 : A (mm)	8 / 4.5	10 / 4.5																																				
弁棒貫通部の内径 : B (mm)	[Redacted]	[Redacted]																																				
隙間部の幅 : B-A (mm)	5.35	6.60																																				
隙間部の面積 (mm²)																																						
漏えい量評価に用いる 破断面積 (inch²)	0.01	0.01																																				
呼び径 (inch) / 最高使用圧力 (MPa)	3FCV-604, 614	3HCY-603, 613																																				
弁棒直徑 : A (mm)	8 / 4.5	10 / 4.5																																				
弁棒貫通部の内径 : B (mm)	[Redacted]	[Redacted]																																				
隙間部の幅 : B-A (mm)																																						
隙間部の面積 (mm²)	5.34	6.60																																				
漏えい量評価に用いる破断面積 (inch²)	0.01	0.01																																				
<p>図7 バタフライ弁</p> <p>図8 空気作動弁</p> <p>枠囲みの範囲は機密に係る事項ですので公開することはできません。</p>	<p>図6 バタフライ弁</p> <p>図9 空気作動弁</p> <p>枠囲みの内容は機密情報に属しますので公開できません。</p>																																					

泊発電所 3号炉 有効性評価 比較表

7.1.8 格納容器バイパス (添付資料 7.1.8.4 インターフェイスシステム LOCA 発生時の余熱除去系統の破断箇所及び破断面積について)

赤字 : 設備、運用又は体制の相違 (設計方針の相違)
青字 : 記載箇所又は記載内容の相違 (記載方針の相違)
緑字 : 記載表現、設備名称の相違 (実質的な相違なし)

大飯発電所3／4号炉	泊発電所3号炉	相違理由																																										
<p>【再掲】</p> <p>図4 ツインパワー弁</p> <table border="1"> <tr> <th></th> <th>3/4V-RH-005A,B</th> <th>3/4V-RH-016A,B</th> </tr> <tr> <td>呼び径 (inch) / 最高使用圧力 (MPa)</td> <td>14 / 4.5</td> <td>10 / 4.5</td> </tr> <tr> <td>弁棒直徑 : A (mm)</td> <td>[REDACTED]</td> <td>[REDACTED]</td> </tr> <tr> <td>弁棒貫通部の内径 : B (mm)</td> <td>[REDACTED]</td> <td>[REDACTED]</td> </tr> <tr> <td>隙間部の幅 : B-A (mm)</td> <td>29.7</td> <td>23.76</td> </tr> <tr> <td>隙間部の面積 (mm²)</td> <td>[REDACTED]</td> <td>[REDACTED]</td> </tr> <tr> <td>漏えい量評価に用いる 破断面積 (inch²)</td> <td>0.05</td> <td>0.04</td> </tr> </table> <p>枠囲みの範囲は機密に係る事項ですので公開することはできません。</p> <p>【再掲終】</p>		3/4V-RH-005A,B	3/4V-RH-016A,B	呼び径 (inch) / 最高使用圧力 (MPa)	14 / 4.5	10 / 4.5	弁棒直徑 : A (mm)	[REDACTED]	[REDACTED]	弁棒貫通部の内径 : B (mm)	[REDACTED]	[REDACTED]	隙間部の幅 : B-A (mm)	29.7	23.76	隙間部の面積 (mm²)	[REDACTED]	[REDACTED]	漏えい量評価に用いる 破断面積 (inch²)	0.05	0.04	<p>図8 ツインパワー弁</p> <table border="1"> <tr> <th></th> <th>3V-RH-018A,B</th> <th>3V-RH-005A,B</th> </tr> <tr> <td>呼び径 (inch) / 最高使用圧力 (MPa)</td> <td>10 / 4.5</td> <td>18 / 4.5</td> </tr> <tr> <td>弁棒直徑 : A (mm)</td> <td>[REDACTED]</td> <td>[REDACTED]</td> </tr> <tr> <td>弁棒貫通部の内径 : B (mm)</td> <td>[REDACTED]</td> <td>[REDACTED]</td> </tr> <tr> <td>隙間部の幅 : B-A (mm)</td> <td>[REDACTED]</td> <td>[REDACTED]</td> </tr> <tr> <td>隙間部の面積 (mm²)</td> <td>49.53</td> <td>88.88</td> </tr> <tr> <td>漏えい量評価に用いる破断面積 (inch²)</td> <td>0.08</td> <td>0.10</td> </tr> </table> <p>[REDACTED]枠囲みの内容は機密情報に属しますので公開できません。</p>		3V-RH-018A,B	3V-RH-005A,B	呼び径 (inch) / 最高使用圧力 (MPa)	10 / 4.5	18 / 4.5	弁棒直徑 : A (mm)	[REDACTED]	[REDACTED]	弁棒貫通部の内径 : B (mm)	[REDACTED]	[REDACTED]	隙間部の幅 : B-A (mm)	[REDACTED]	[REDACTED]	隙間部の面積 (mm²)	49.53	88.88	漏えい量評価に用いる破断面積 (inch²)	0.08	0.10	
	3/4V-RH-005A,B	3/4V-RH-016A,B																																										
呼び径 (inch) / 最高使用圧力 (MPa)	14 / 4.5	10 / 4.5																																										
弁棒直徑 : A (mm)	[REDACTED]	[REDACTED]																																										
弁棒貫通部の内径 : B (mm)	[REDACTED]	[REDACTED]																																										
隙間部の幅 : B-A (mm)	29.7	23.76																																										
隙間部の面積 (mm²)	[REDACTED]	[REDACTED]																																										
漏えい量評価に用いる 破断面積 (inch²)	0.05	0.04																																										
	3V-RH-018A,B	3V-RH-005A,B																																										
呼び径 (inch) / 最高使用圧力 (MPa)	10 / 4.5	18 / 4.5																																										
弁棒直徑 : A (mm)	[REDACTED]	[REDACTED]																																										
弁棒貫通部の内径 : B (mm)	[REDACTED]	[REDACTED]																																										
隙間部の幅 : B-A (mm)	[REDACTED]	[REDACTED]																																										
隙間部の面積 (mm²)	49.53	88.88																																										
漏えい量評価に用いる破断面積 (inch²)	0.08	0.10																																										

泊発電所 3号炉 有効性評価 比較表

7.1.8 格納容器バイパス (添付資料 7.1.8.4 インターフェイスシステム LOCA 発生時の余熱除去系統の破断箇所及び破断面積について)

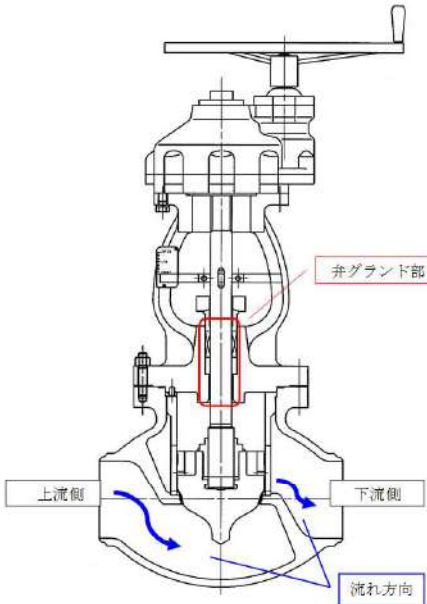
赤字 : 設備、運用又は体制の相違 (設計方針の相違)
青字 : 記載箇所又は記載内容の相違 (記載方針の相違)
緑字 : 記載表現、設備名称の相違 (実質的な相違なし)

大飯発電所3／4号炉	泊発電所3号炉	相違理由																																																																																							
<table border="1"> <thead> <tr> <th></th> <th>流量伝送器 3/4FT-01,611</th> <th>流量伝送器 3/4FT-004</th> <th>流量伝送器 3/4FT-614</th> </tr> </thead> <tbody> <tr> <td>最高使用圧力 (MPa)</td> <td>4.5</td> <td>4.5</td> <td>4.5</td> </tr> <tr> <td>計器耐圧 (MPa)</td> <td>13.7</td> <td>42.0 [13.7]^{a1}</td> <td>13.7</td> </tr> <tr> <td>計器の強度評価</td> <td>評価</td> <td>計器耐圧が 13.7 MPa であるため、15.4 MPa が加えられた場合、破損する可能性がある。(3/4FT-004 は耐圧試験圧力が 42.0 MPa であるため、要求耐圧を加えても破損しない。)</td> <td>計器耐圧が 13.7 MPa であるため、15.4 MPa が加えられた場合、破損する可能性がある。(3/4FT-004 は耐圧試験圧力が 42.0 MPa であるため、要求耐圧を加えても破損しない。)</td> </tr> <tr> <td>計器 入口弁 の 強度評 価</td> <td>計器耐圧 (MPa)</td> <td>15.4</td> <td>15.4</td> </tr> <tr> <td>計器 入口弁 の 強度評 価</td> <td>加圧条件 (MPa)</td> <td>15.4</td> <td>15.4</td> </tr> <tr> <td>計器 入口弁 の 強度評 価</td> <td>耐圧試験圧力 (MPa)</td> <td>28.4 [25.8]^{a1}</td> <td>28.4 [25.8]^{a1}</td> </tr> <tr> <td>計器 入口弁 の 強度評 価</td> <td>强度評価の想定</td> <td>ISLOCA 時の圧力を上回る圧力を耐圧試験を実施しており、破損しない。</td> <td>ISLOCA 時の圧力を上回る圧力を耐圧試験を実施しており、破損しない。</td> </tr> <tr> <td>漏えい量評価に用いる 破損面積 (inch²)</td> <td>漏えい量を決める口径 (mm)</td> <td>4 [6]^{a1}</td> <td>—</td> <td>4 [6]^{a1}</td> </tr> <tr> <td>漏えい量評価に用いる 破損面積 (inch²)</td> <td>漏えいを決める面積 (mm²)</td> <td>13 [29]^{a1}</td> <td>—</td> <td>13 [29]^{a1}</td> </tr> <tr> <td>漏えい量評価に用いる 破損面積 (inch²)</td> <td>漏えい量評価に用いる 破損面積 (inch²)</td> <td>0.020×2 面所^{a1} [0.044×2 面所]^{a1}</td> <td>—</td> <td>0.020×2 面所^{a1} [0.044×2 面所]^{a1}</td> </tr> </tbody> </table> <p>*1. [] 内は大飯4号機を示す。</p>		流量伝送器 3/4FT-01,611	流量伝送器 3/4FT-004	流量伝送器 3/4FT-614	最高使用圧力 (MPa)	4.5	4.5	4.5	計器耐圧 (MPa)	13.7	42.0 [13.7] ^{a1}	13.7	計器の強度評価	評価	計器耐圧が 13.7 MPa であるため、15.4 MPa が加えられた場合、破損する可能性がある。(3/4FT-004 は耐圧試験圧力が 42.0 MPa であるため、要求耐圧を加えても破損しない。)	計器耐圧が 13.7 MPa であるため、15.4 MPa が加えられた場合、破損する可能性がある。(3/4FT-004 は耐圧試験圧力が 42.0 MPa であるため、要求耐圧を加えても破損しない。)	計器 入口弁 の 強度評 価	計器耐圧 (MPa)	15.4	15.4	計器 入口弁 の 強度評 価	加圧条件 (MPa)	15.4	15.4	計器 入口弁 の 強度評 価	耐圧試験圧力 (MPa)	28.4 [25.8] ^{a1}	28.4 [25.8] ^{a1}	計器 入口弁 の 強度評 価	强度評価の想定	ISLOCA 時の圧力を上回る圧力を耐圧試験を実施しており、破損しない。	ISLOCA 時の圧力を上回る圧力を耐圧試験を実施しており、破損しない。	漏えい量評価に用いる 破損面積 (inch ²)	漏えい量を決める口径 (mm)	4 [6] ^{a1}	—	4 [6] ^{a1}	漏えい量評価に用いる 破損面積 (inch ²)	漏えいを決める面積 (mm ²)	13 [29] ^{a1}	—	13 [29] ^{a1}	漏えい量評価に用いる 破損面積 (inch ²)	漏えい量評価に用いる 破損面積 (inch ²)	0.020×2 面所 ^{a1} [0.044×2 面所] ^{a1}	—	0.020×2 面所 ^{a1} [0.044×2 面所] ^{a1}	<table border="1"> <thead> <tr> <th></th> <th>流量伝送器 3/4FT-01,611</th> <th>流量伝送器 3/4FT-004</th> </tr> </thead> <tbody> <tr> <td>最高使用圧力 (MPa)</td> <td>4.5</td> <td>4.5</td> </tr> <tr> <td>計器耐圧 (MPa)</td> <td>13.7</td> <td>13.7</td> </tr> <tr> <td>要求耐圧 (MPa)</td> <td>15.4</td> <td>15.4</td> </tr> <tr> <td>計器 入口弁 の 強度評 価</td> <td>計器耐圧 (MPa)</td> <td>15.4</td> <td>15.4</td> </tr> <tr> <td>計器 入口弁 の 強度評 価</td> <td>加圧条件 (MPa)</td> <td>15.4</td> <td>15.4</td> </tr> <tr> <td>計器 入口弁 の 強度評 価</td> <td>耐圧試験圧力 (MPa)</td> <td>32.4</td> <td>32.4</td> </tr> <tr> <td>計器 入口弁 の 強度評 価</td> <td>强度評価の想定</td> <td>ISLOCA 時の圧力を上回る圧力を耐圧試験を実施しており、破損しない。</td> <td>ISLOCA 時の圧力を上回る圧力を耐圧試験を実施しており、破損しない。</td> </tr> <tr> <td>漏えい量評価に用いる 破損面積 (inch²)</td> <td>漏えい量を決める口径 (mm)</td> <td>4</td> <td>4</td> </tr> <tr> <td>漏えい量評価に用いる 破損面積 (inch²)</td> <td>漏えいを決める面積 (mm²)</td> <td>18</td> <td>18</td> </tr> <tr> <td>漏えい量評価に用いる 破損面積 (inch²)</td> <td>漏えい量評価に用いる 破損面積 (inch²)</td> <td>0.02×2 面所 (弁1個あたり)</td> <td>0.02×2 面所 (弁1個あたり)</td> </tr> </tbody> </table>		流量伝送器 3/4FT-01,611	流量伝送器 3/4FT-004	最高使用圧力 (MPa)	4.5	4.5	計器耐圧 (MPa)	13.7	13.7	要求耐圧 (MPa)	15.4	15.4	計器 入口弁 の 強度評 価	計器耐圧 (MPa)	15.4	15.4	計器 入口弁 の 強度評 価	加圧条件 (MPa)	15.4	15.4	計器 入口弁 の 強度評 価	耐圧試験圧力 (MPa)	32.4	32.4	計器 入口弁 の 強度評 価	强度評価の想定	ISLOCA 時の圧力を上回る圧力を耐圧試験を実施しており、破損しない。	ISLOCA 時の圧力を上回る圧力を耐圧試験を実施しており、破損しない。	漏えい量評価に用いる 破損面積 (inch ²)	漏えい量を決める口径 (mm)	4	4	漏えい量評価に用いる 破損面積 (inch ²)	漏えいを決める面積 (mm ²)	18	18	漏えい量評価に用いる 破損面積 (inch ²)	漏えい量評価に用いる 破損面積 (inch ²)	0.02×2 面所 (弁1個あたり)	0.02×2 面所 (弁1個あたり)	
	流量伝送器 3/4FT-01,611	流量伝送器 3/4FT-004	流量伝送器 3/4FT-614																																																																																						
最高使用圧力 (MPa)	4.5	4.5	4.5																																																																																						
計器耐圧 (MPa)	13.7	42.0 [13.7] ^{a1}	13.7																																																																																						
計器の強度評価	評価	計器耐圧が 13.7 MPa であるため、15.4 MPa が加えられた場合、破損する可能性がある。(3/4FT-004 は耐圧試験圧力が 42.0 MPa であるため、要求耐圧を加えても破損しない。)	計器耐圧が 13.7 MPa であるため、15.4 MPa が加えられた場合、破損する可能性がある。(3/4FT-004 は耐圧試験圧力が 42.0 MPa であるため、要求耐圧を加えても破損しない。)																																																																																						
計器 入口弁 の 強度評 価	計器耐圧 (MPa)	15.4	15.4																																																																																						
計器 入口弁 の 強度評 価	加圧条件 (MPa)	15.4	15.4																																																																																						
計器 入口弁 の 強度評 価	耐圧試験圧力 (MPa)	28.4 [25.8] ^{a1}	28.4 [25.8] ^{a1}																																																																																						
計器 入口弁 の 強度評 価	强度評価の想定	ISLOCA 時の圧力を上回る圧力を耐圧試験を実施しており、破損しない。	ISLOCA 時の圧力を上回る圧力を耐圧試験を実施しており、破損しない。																																																																																						
漏えい量評価に用いる 破損面積 (inch ²)	漏えい量を決める口径 (mm)	4 [6] ^{a1}	—	4 [6] ^{a1}																																																																																					
漏えい量評価に用いる 破損面積 (inch ²)	漏えいを決める面積 (mm ²)	13 [29] ^{a1}	—	13 [29] ^{a1}																																																																																					
漏えい量評価に用いる 破損面積 (inch ²)	漏えい量評価に用いる 破損面積 (inch ²)	0.020×2 面所 ^{a1} [0.044×2 面所] ^{a1}	—	0.020×2 面所 ^{a1} [0.044×2 面所] ^{a1}																																																																																					
	流量伝送器 3/4FT-01,611	流量伝送器 3/4FT-004																																																																																							
最高使用圧力 (MPa)	4.5	4.5																																																																																							
計器耐圧 (MPa)	13.7	13.7																																																																																							
要求耐圧 (MPa)	15.4	15.4																																																																																							
計器 入口弁 の 強度評 価	計器耐圧 (MPa)	15.4	15.4																																																																																						
計器 入口弁 の 強度評 価	加圧条件 (MPa)	15.4	15.4																																																																																						
計器 入口弁 の 強度評 価	耐圧試験圧力 (MPa)	32.4	32.4																																																																																						
計器 入口弁 の 強度評 価	强度評価の想定	ISLOCA 時の圧力を上回る圧力を耐圧試験を実施しており、破損しない。	ISLOCA 時の圧力を上回る圧力を耐圧試験を実施しており、破損しない。																																																																																						
漏えい量評価に用いる 破損面積 (inch ²)	漏えい量を決める口径 (mm)	4	4																																																																																						
漏えい量評価に用いる 破損面積 (inch ²)	漏えいを決める面積 (mm ²)	18	18																																																																																						
漏えい量評価に用いる 破損面積 (inch ²)	漏えい量評価に用いる 破損面積 (inch ²)	0.02×2 面所 (弁1個あたり)	0.02×2 面所 (弁1個あたり)																																																																																						
<table border="1"> <thead> <tr> <th></th> <th>日立伝送器 3/4FT-001,611</th> <th>複数圧力計 3/4FT-000,619</th> </tr> </thead> <tbody> <tr> <td>最高使用圧力 (MPa)</td> <td>4.5</td> <td>4.5</td> </tr> <tr> <td>計器耐圧 (MPa)</td> <td>21.0</td> <td>4.9</td> </tr> <tr> <td>要求耐圧 (MPa)</td> <td>15.4</td> <td>15.4</td> </tr> <tr> <td>計器 入口弁 の 強度評 価</td> <td>計器耐圧 (MPa)</td> <td>ISLOCA 時の圧力を上回る圧力を耐圧試験圧力が 4.9 MPa であるため、破損しない。</td> <td>ISLOCA 時の圧力を上回る圧力を耐圧試験圧力が 4.9 MPa であるため、破損しない。</td> </tr> <tr> <td>計器 入口弁 の 強度評 価</td> <td>加圧条件 (MPa)</td> <td>15.4</td> <td>15.4</td> </tr> <tr> <td>計器 入口弁 の 強度評 価</td> <td>耐圧試験圧力 (MPa)</td> <td>28.4 [25.8]^{a1}</td> <td>28.4 [25.8]^{a1}</td> </tr> <tr> <td>計器 入口弁 の 強度評 価</td> <td>强度評価の想定</td> <td>ISLOCA 時の圧力を上回る圧力を耐圧試験を実施しており、破損しない。</td> <td>ISLOCA 時の圧力を上回る圧力を耐圧試験を実施しており、破損しない。</td> </tr> <tr> <td>漏えい量評価に用いる 破損面積 (inch²)</td> <td>漏えい量を決める口径 (mm)</td> <td>—</td> <td>6 [6]^{a1}</td> </tr> <tr> <td>漏えい量評価に用いる 破損面積 (inch²)</td> <td>漏えいを決める面積 (mm²)</td> <td>—</td> <td>20 [29]^{a1}</td> </tr> <tr> <td>漏えい量評価に用いる 破損面積 (inch²)</td> <td>漏えい量評価に用いる 破損面積 (inch²)</td> <td>—</td> <td>0.031 [0.044]^{a1}</td> </tr> </tbody> </table> <p>*1. [] 内は大飯4号機を示す。</p>		日立伝送器 3/4FT-001,611	複数圧力計 3/4FT-000,619	最高使用圧力 (MPa)	4.5	4.5	計器耐圧 (MPa)	21.0	4.9	要求耐圧 (MPa)	15.4	15.4	計器 入口弁 の 強度評 価	計器耐圧 (MPa)	ISLOCA 時の圧力を上回る圧力を耐圧試験圧力が 4.9 MPa であるため、破損しない。	ISLOCA 時の圧力を上回る圧力を耐圧試験圧力が 4.9 MPa であるため、破損しない。	計器 入口弁 の 強度評 価	加圧条件 (MPa)	15.4	15.4	計器 入口弁 の 強度評 価	耐圧試験圧力 (MPa)	28.4 [25.8] ^{a1}	28.4 [25.8] ^{a1}	計器 入口弁 の 強度評 価	强度評価の想定	ISLOCA 時の圧力を上回る圧力を耐圧試験を実施しており、破損しない。	ISLOCA 時の圧力を上回る圧力を耐圧試験を実施しており、破損しない。	漏えい量評価に用いる 破損面積 (inch ²)	漏えい量を決める口径 (mm)	—	6 [6] ^{a1}	漏えい量評価に用いる 破損面積 (inch ²)	漏えいを決める面積 (mm ²)	—	20 [29] ^{a1}	漏えい量評価に用いる 破損面積 (inch ²)	漏えい量評価に用いる 破損面積 (inch ²)	—	0.031 [0.044] ^{a1}	<table border="1"> <thead> <tr> <th></th> <th>圧力伝送器 3/4FT-001,611</th> <th>複数圧力計 3/4FT-000,619</th> </tr> </thead> <tbody> <tr> <td>最高使用圧力 (MPa)</td> <td>4.5</td> <td>4.5</td> </tr> <tr> <td>計器耐圧 (MPa)</td> <td>21</td> <td>8</td> </tr> <tr> <td>要求耐圧 (MPa)</td> <td>15.4</td> <td>15.4</td> </tr> <tr> <td>計器 入口弁 の 強度評 価</td> <td>計器耐圧 (MPa)</td> <td>ISLOCA 時の圧力を上回る圧力を耐圧試験圧力が 8 MPa であるため、15.4 MPa が加えられた場合、破損する可能性がある。</td> <td>ISLOCA 時の圧力を上回る圧力を耐圧試験圧力が 8 MPa であるため、15.4 MPa が加えられた場合、破損する可能性がある。</td> </tr> <tr> <td>計器 入口弁 の 強度評 価</td> <td>加圧条件 (MPa)</td> <td>15.4</td> <td>15.4</td> </tr> <tr> <td>計器 入口弁 の 強度評 価</td> <td>耐圧試験圧力 (MPa)</td> <td>32.4</td> <td>32.4</td> </tr> <tr> <td>計器 入口弁 の 強度評 価</td> <td>强度評価の想定</td> <td>ISLOCA 時の圧力を上回る圧力を耐圧試験を実施しており、破損しない。</td> <td>ISLOCA 時の圧力を上回る圧力を耐圧試験を実施しており、破損しない。</td> </tr> <tr> <td>漏えい量評価に用いる 破損面積 (inch²)</td> <td>漏えい量を決める口径 (mm)</td> <td>—</td> <td>5</td> </tr> <tr> <td>漏えい量評価に用いる 破損面積 (inch²)</td> <td>漏えいを決める面積 (mm²)</td> <td>—</td> <td>20</td> </tr> <tr> <td>漏えい量評価に用いる 破損面積 (inch²)</td> <td>漏えい量評価に用いる 破損面積 (inch²)</td> <td>—</td> <td>0.03</td> </tr> </tbody> </table>		圧力伝送器 3/4FT-001,611	複数圧力計 3/4FT-000,619	最高使用圧力 (MPa)	4.5	4.5	計器耐圧 (MPa)	21	8	要求耐圧 (MPa)	15.4	15.4	計器 入口弁 の 強度評 価	計器耐圧 (MPa)	ISLOCA 時の圧力を上回る圧力を耐圧試験圧力が 8 MPa であるため、15.4 MPa が加えられた場合、破損する可能性がある。	ISLOCA 時の圧力を上回る圧力を耐圧試験圧力が 8 MPa であるため、15.4 MPa が加えられた場合、破損する可能性がある。	計器 入口弁 の 強度評 価	加圧条件 (MPa)	15.4	15.4	計器 入口弁 の 強度評 価	耐圧試験圧力 (MPa)	32.4	32.4	計器 入口弁 の 強度評 価	强度評価の想定	ISLOCA 時の圧力を上回る圧力を耐圧試験を実施しており、破損しない。	ISLOCA 時の圧力を上回る圧力を耐圧試験を実施しており、破損しない。	漏えい量評価に用いる 破損面積 (inch ²)	漏えい量を決める口径 (mm)	—	5	漏えい量評価に用いる 破損面積 (inch ²)	漏えいを決める面積 (mm ²)	—	20	漏えい量評価に用いる 破損面積 (inch ²)	漏えい量評価に用いる 破損面積 (inch ²)	—	0.03								
	日立伝送器 3/4FT-001,611	複数圧力計 3/4FT-000,619																																																																																							
最高使用圧力 (MPa)	4.5	4.5																																																																																							
計器耐圧 (MPa)	21.0	4.9																																																																																							
要求耐圧 (MPa)	15.4	15.4																																																																																							
計器 入口弁 の 強度評 価	計器耐圧 (MPa)	ISLOCA 時の圧力を上回る圧力を耐圧試験圧力が 4.9 MPa であるため、破損しない。	ISLOCA 時の圧力を上回る圧力を耐圧試験圧力が 4.9 MPa であるため、破損しない。																																																																																						
計器 入口弁 の 強度評 価	加圧条件 (MPa)	15.4	15.4																																																																																						
計器 入口弁 の 強度評 価	耐圧試験圧力 (MPa)	28.4 [25.8] ^{a1}	28.4 [25.8] ^{a1}																																																																																						
計器 入口弁 の 強度評 価	强度評価の想定	ISLOCA 時の圧力を上回る圧力を耐圧試験を実施しており、破損しない。	ISLOCA 時の圧力を上回る圧力を耐圧試験を実施しており、破損しない。																																																																																						
漏えい量評価に用いる 破損面積 (inch ²)	漏えい量を決める口径 (mm)	—	6 [6] ^{a1}																																																																																						
漏えい量評価に用いる 破損面積 (inch ²)	漏えいを決める面積 (mm ²)	—	20 [29] ^{a1}																																																																																						
漏えい量評価に用いる 破損面積 (inch ²)	漏えい量評価に用いる 破損面積 (inch ²)	—	0.031 [0.044] ^{a1}																																																																																						
	圧力伝送器 3/4FT-001,611	複数圧力計 3/4FT-000,619																																																																																							
最高使用圧力 (MPa)	4.5	4.5																																																																																							
計器耐圧 (MPa)	21	8																																																																																							
要求耐圧 (MPa)	15.4	15.4																																																																																							
計器 入口弁 の 強度評 価	計器耐圧 (MPa)	ISLOCA 時の圧力を上回る圧力を耐圧試験圧力が 8 MPa であるため、15.4 MPa が加えられた場合、破損する可能性がある。	ISLOCA 時の圧力を上回る圧力を耐圧試験圧力が 8 MPa であるため、15.4 MPa が加えられた場合、破損する可能性がある。																																																																																						
計器 入口弁 の 強度評 価	加圧条件 (MPa)	15.4	15.4																																																																																						
計器 入口弁 の 強度評 価	耐圧試験圧力 (MPa)	32.4	32.4																																																																																						
計器 入口弁 の 強度評 価	强度評価の想定	ISLOCA 時の圧力を上回る圧力を耐圧試験を実施しており、破損しない。	ISLOCA 時の圧力を上回る圧力を耐圧試験を実施しており、破損しない。																																																																																						
漏えい量評価に用いる 破損面積 (inch ²)	漏えい量を決める口径 (mm)	—	5																																																																																						
漏えい量評価に用いる 破損面積 (inch ²)	漏えいを決める面積 (mm ²)	—	20																																																																																						
漏えい量評価に用いる 破損面積 (inch ²)	漏えい量評価に用いる 破損面積 (inch ²)	—	0.03																																																																																						

泊発電所 3号炉 有効性評価 比較表

7.1.8 格納容器バイパス (添付資料 7.1.8.4 インターフェイスシステム LOCA 発生時の余熱除去系統の破断箇所及び破断面積について)

赤字 : 設備、運用又は体制の相違（設計方針の相違）
 青字 : 記載箇所又は記載内容の相違（記載方針の相違）
 緑字 : 記載表現、設備名称の相違（実質的な相違なし）

大飯発電所3／4号炉	泊発電所3号炉	相違理由
	<p>図11は3V-RH-026A、Bと同じく一般的な設置状態の玉形弁を示す。駆動方式に関わらず、閉止状態で弁グランド部に上流側の圧力がかかる事はない。</p>  <p>図11 玉形弁</p>	設計の相違

泊発電所 3 号炉 有効性評価 比較表

7.1.8 格納容器バイパス (添付資料 7.1.8.4 インターフェイスシステム LOCA 発生時の余熱除去系統の破断箇所及び破断面積について)

赤字 : 設備、運用又は体制の相違 (設計方針の相違)
青字 : 記載箇所又は記載内容の相違 (記載方針の相違)
緑字 : 記載表現、設備名称の相違 (実質的な相違なし)

大飯発電所 3 / 4 号炉	泊発電所 3 号炉	相違理由
<p style="text-align: center;">別紙 - 5</p> <p>配管からの漏えいの可能性について</p> <p>配管及びフランジ部について、ISLOCA 発生時の高温 (300°C)、高圧 (15.4 MPa) の条件下で漏えいが発生しないことを以下のとおり確認した。</p> <p>1. 強度評価</p> <p>1.1 評価部位の選定</p> <p>配管の構成部品の中で漏えいが想定される部位は、高温・高圧の加わる配管と、配管と配管をつなぐフランジ部があり、それらについて評価を行った。余熱除去系統の評価対象配管を図 1 に示す。</p> <p>1.2 評価方法</p> <p>評価対象範囲内の配管は、クラス 2 配管とクラス 3 配管 (3 号炉 : 逃がし弁 3V-RH-042A、B、3V-RH-004A、B 下流の配管、4 号炉 : 逃がし弁 4V-RH-042A/B、4V-RH-004A/B 下流の配管) から構成されている。クラス 2 配管については、設計・建設規格「PPC-3530 供用状態 A および B*における一次+二次応力制限」を適用し、評価を行った。一方、クラス 3 配管については、一般的な評価手法を用いて内圧、自重、及び熱の影響を評価した。</p> <p>(1) クラス 2 配管の評価</p> <p>設計・建設規格「PPC-3530 供用状態 A および B*における一次+二次応力制限」を適用して許容応力及び一次+二次合計応力を算出し、発生応力が許容応力を下回ることを確認した。</p> <p>*供用状態 A および B について</p> <p>GNR-2110 機器等の供用状態に関する用語</p> <p>(3) 「供用状態 A」とは、対象とする機器等がその主たる機能を満たすべき運転状態において設計仕様書等で規定された圧力および機械的荷重が負荷された条件下にある状態をいう。</p> <p>(4) 「供用状態 B」とは、「対象とする機器等が損傷を受けることなく、健全性を維持しなければならない」と設計仕様書等で規定された圧力および機械的荷重が負荷された条件下にある状態をいう。</p> <p>一次+二次合計応力の評価式</p> $S_n = \underbrace{\frac{PD_0}{4t}}_{\text{圧力の項}} + \underbrace{\frac{0.75i_1M_a}{Z}}_{\text{自重の項}} + \underbrace{\frac{i_2M_c}{Z}}_{\text{二次応力 (熱により発生する応力)}}$ <p style="text-align: center;">(PPC-4.5)</p> <p style="text-align: center;">一次応力</p> <p>S_n : 一次応力と二次応力を加えて求めた応力 (MPa) P : 15.4 (MPa) D₀ : 管の外径 (mm)</p>	<p style="text-align: center;">別紙 - 5 (1 / 9)</p> <p>配管からの漏えいの可能性について</p> <p>配管及びフランジ部について、ISLOCA 発生時の高温 (300°C)、高圧 (15.4 MPa) の条件下で漏えいが発生しないことを以下のとおり確認した。</p> <p>1. 強度評価</p> <p>1.1 評価部位の選定</p> <p>配管の構成部品の中で漏えいが想定される部位は、高温・高圧の加わる配管と、配管と配管をつなぐフランジ部があり、それらについて評価を行った。余熱除去系統の評価対象配管を図 1 に示す。</p> <p>1.2 評価方法</p> <p>評価対象範囲内の配管は、クラス 2 配管とクラス 3 配管 (逃がし弁 3V-RH-027A、B、3V-RH-004A、B 下流の配管及び逆止弁 3V-RH-008A、B 上流の配管) から構成されている。クラス 2 配管については、設計・建設規格「PPC-3530 供用状態 A および B*における一次+二次応力制限」を適用し、評価を行った。一方、クラス 3 配管については、一般的な評価手法を用いて内圧、自重、及び熱の影響を評価した。</p> <p>(1) クラス 2 配管の評価</p> <p>設計・建設規格「PPC-3530 供用状態 A および B*における一次+二次応力制限」を適用して許容応力及び一次+二次合計応力を算出し、発生応力が許容応力を下回ることを確認した。</p> <p>*供用状態 A および B について</p> <p>GNR-2110 機器等の供用状態に関する用語</p> <p>(3) 「供用状態 A」とは、対象とする機器等がその主たる機能を満たすべき運転状態において設計仕様書等で規定された圧力および機械的荷重が負荷された条件下にある状態をいう。</p> <p>(4) 「供用状態 B」とは、「対象とする機器等が損傷を受けることなく、健全性を維持しなければならない」と設計仕様書等で規定された圧力および機械的荷重が負荷された条件下にある状態をいう。</p> <p>一次+二次合計応力の評価式</p> $S_n = \underbrace{\frac{PD_0}{4t}}_{\text{圧力の項}} + \underbrace{\frac{0.75i_1M_a}{Z}}_{\text{自重の項}} + \underbrace{\frac{i_2M_c}{Z}}_{\text{二次応力 (熱により発生する応力)}}$ <p style="text-align: center;">(PPC-4.5)</p> <p style="text-align: center;">一次応力</p> <p>S_n : 一次応力と二次応力を加えて求めた応力 (MPa) P : 15.4 (MPa) (ISLOCA 発生時の圧力) D₀ : 管の外径 (mm)</p>	設計の相違

泊発電所3号炉 有効性評価 比較表

7.1.8 格納容器バイパス (添付資料 7.1.8.4 インターフェイスシステム LOCA 発生時の余熱除去系統の破断箇所及び破断面積について)

赤字 : 設備、運用又は体制の相違（設計方針の相違）
 青字 : 記載箇所又は記載内容の相違（記載方針の相違）
 緑字 : 記載表現、設備名称の相違（実質的な相違なし）

大飯発電所3／4号炉	泊発電所3号炉	相違理由
<p>自重の項は既工認によった。また、工認の範囲外の配管については、 [REDACTED] を適用して評価を行った。</p> <p>二次応力については、常温(21°C)から177°Cへ温度上昇した際の二次応力の解析条件下で算出している既工認の値を、常温(21°C)からISLOCA発生時の300°Cへ温度上昇した際の二次応力を補正して評価を行った。なお、二次応力（熱曲げモーメントによる応力）は、拘束点における熱膨張によるたわみが原因であり、熱膨張量は温度に比例することから、既工認の二次応力の値を温度上昇比で線形補正した。</p> <p>許容応力</p> $S_a = 1.25fS_e + (1+0.25f)S_h \quad (\text{PPC-4.7})$ <p>S_a : 許容応力 (MPa) f : 許容応力低減係数で、表 PPC-3530-1 の左欄に掲げる温度変化サイクル数の区分に応じ、それぞれ同表の右欄に掲げる値 S_e : 室温における付録材料図 表 Part5 表 5 に規定する材料の許容引張応力 (MPa) S_h : 使用温度における付録材料図 表 Part5 表 5 に規定する材料の許容引張応力 (MPa)</p> <p>[REDACTED] 條件の範囲は機密に係る事項ですので公開することはできません。</p> <p>(2) クラス3配管の評価</p> <p>評価対象配管は以下の考え方に基づき、内圧及び熱の影響が最も厳しい配管を選定し、一般的な評価手法を用いて内圧、自重、及び熱の影響による歪を算出し、許容歪量を下回ることを確認した。</p> <ul style="list-style-type: none"> 内圧による応力については、出口逃がし弁の出口配管である⑩配管と入り口逃がし弁の出口配管である⑪配管は、配管の外径と配管の板厚の仕様が同様であるため、内圧による応力は同等である。 熱膨張による評価については、配管のサポート間隔を図面にて確認し、熱膨張長さに比べて、吸収代が小さく最も熱応力が厳しいと思われる配管部位を選定した結果、⑩配管となつた。 これらのことから、内圧による応力、及び熱膨張による評価が厳しくなる⑩配管を選定し、評価を実施した。 	<p>自重の項は既工認の一次応力の値から設計圧力による応力を除いた値とした。また、工認の範囲外の配管については、[REDACTED] を適用して評価を行った。</p> <p>二次応力については、常温(21°C)から177°Cへ温度上昇した際の一次+二次応力の解析条件下で算出している既工認の値のうち、二次応力成分の値を常温(21°C)からISLOCA発生時の300°Cへ温度上昇した際の二次応力を補正して評価を行った。なお、二次応力（熱曲げモーメントによる応力）は、拘束点における熱膨張によるたわみが原因であり、熱膨張量は温度に比例することから、既工認の一次+二次応力の二次応力成分の値を温度上昇比で線形補正した。</p> <p>許容応力</p> $S_a = 1.25fS_e + (1+0.25f)S_h \quad (\text{PPC-4.7})$ <p>S_a : 許容応力 (MPa) f : 許容応力低減係数で、表 PPC-3530-1 の左欄に掲げる温度変化サイクル数の区分に応じ、それぞれ同表の右欄に掲げる値 S_e : 室温における付録材料図 表 Part5 表 5 に規定する材料の許容引張応力 (MPa) S_h : 使用温度における付録材料図 表 Part5 表 5 に規定する材料の許容引張応力 (MPa)</p> <p>[REDACTED] 條件の範囲は機密情報に属しますので公開できません。</p> <p>(2) クラス3配管の評価</p> <p>評価対象配管は以下の考え方に基づき、内圧及び熱の影響が最も厳しい配管を選定し、一般的な評価手法を用いて内圧、自重、及び熱の影響による歪を算出し、許容歪量を下回ることを確認した。</p> <ul style="list-style-type: none"> 内圧による応力について：⑦配管は、⑩配管及び⑪配管に比べて外径が小さいことから、内圧による応力は小さくなる。また、⑩配管と⑪配管については、配管の外径と板厚の関係性は同様であるため、内圧による応力は同等である。 熱膨張による評価について：配管のサポート間隔を図面にて確認し、熱膨張長さに比べて、吸収代が小さく最も熱応力が厳しいと思われる配管部位を選定した結果、⑩配管となつた。 これらのことから、内圧による応力、及び熱膨張による評価が厳しくなる⑩配管を選定し、評価を実施した。 <p>なお、ここでいう⑩配管、⑪配管、⑫配管については、別紙-5 (5/9) 余熱除去系統 評価対象配管を参照のこと。</p>	<p>設計の相違</p> <p>記載方針の相違</p>

泊発電所3号炉 有効性評価 比較表

7.1.8 格納容器バイパス (添付資料 7.1.8.4 インターフェイスシステム LOCA 発生時の余熱除去系統の破断箇所及び破断面積について)

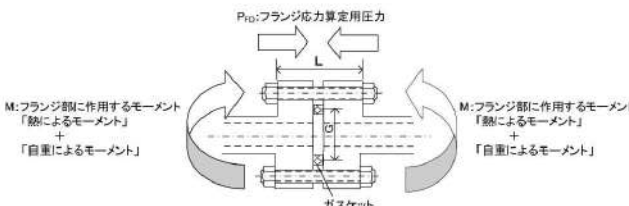
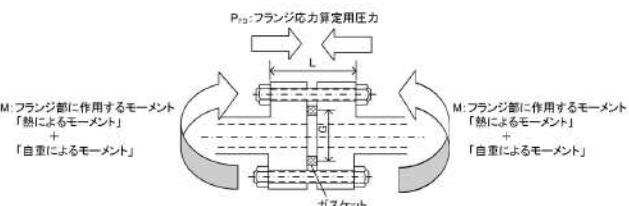
赤字 : 設備、運用又は体制の相違 (設計方針の相違)
青字 : 記載箇所又は記載内容の相違 (記載方針の相違)
緑字 : 記載表現、設備名称の相違 (実質的な相違なし)

大飯発電所3／4号炉	泊発電所3号炉	相違理由
<p>①内圧による応力</p> $\sigma = 0.5 \times \frac{PD}{2t} = 110.1 \text{ (MPa)}$ <p>σ : 内圧による応力 (MPa)</p> <p>0.5 : 応力係数 0.5 は設計・建設規格「PPC-3520 設計条件における一次応力制限」に準拠</p> <p>P : 15.4 MPa</p> <p>D : 配管の外径 (D=114.3 (mm))</p> <p>t : 配管の板厚 (t=4.0 (mm))</p> <p>以上の応力を歪換算すると、</p> $\varepsilon = \frac{\sigma}{E} \doteq 0.063\%$ <p>σ : 内圧による応力 (MPa)</p> <p>E : 縦弾性係数 (E=176000 (MPa)、at300°C、SUS304TP)</p> <p>②自重による応力</p> <p>当該配管は [REDACTED] を適用した。</p> <p>以上の応力を歪換算すると、</p> $\varepsilon = \frac{\sigma}{E} \doteq [REDACTED]$ <p>σ : [REDACTED]</p> <p>E : 縦弾性係数 (E=176000 (MPa)、at300°C、SUS304TP)</p> <p>③熱膨張による評価</p> <p>逃がし弁の下流配管のサポート間隔を図面にて確認し、熱膨張長さに比べて、吸収代が小さく最も熱応力が厳しいと思われる配管部位を選定した。</p> <p>次に、最も熱応力が厳しいと思われる配管部位について、3次元FEM解析を行い、最も歪の大きくなる曲がりの腹部の弾塑性歪を算出した。材料は、加工硬化を考慮しない完全弾塑性体として解析を行った。</p> <p>以上の計算の結果、熱膨張による歪は、約 6.0% となる。</p> <p>[REDACTED]枠内の範囲は機密に係る事項ですので公開することはできません。</p>	<p>①内圧による応力</p> $\sigma = 0.5 \times \frac{PD}{2t} = 110.1 \text{ (MPa)}$ <p>σ : 内圧による応力 (MPa)</p> <p>0.5 : 応力係数 0.5 は設計・建設規格「PPC-3520 設計条件における一次応力制限」に準拠</p> <p>P : 15.4 MPa (ISLOCA 発生時の圧力)</p> <p>D : 配管の外径 (D=114.3 (mm))</p> <p>t : 配管の板厚 (t=4.0 (mm))</p> <p>以上の応力を歪換算すると、</p> $\varepsilon = \frac{\sigma}{E} \doteq 0.063\%$ <p>σ : 内圧による応力 (MPa)</p> <p>E : 縦弾性係数 (E=176000 (MPa)、at300°C、SUS304TP)</p> <p>②自重による応力</p> <p>当該配管は [REDACTED] を適用した。</p> <p>以上の応力を歪換算すると、</p> $\varepsilon = \frac{\sigma}{E} \doteq [REDACTED]$ <p>σ : [REDACTED]</p> <p>E : 縦弾性係数 (E=176000 (MPa)、at300°C、SUS304TP)</p> <p>③熱膨張による評価</p> <p>逃がし弁の下流配管のサポート間隔を図面にて確認し、熱膨張長さに比べて、吸収代が小さく最も熱応力が厳しいと思われる配管部位を選定した。</p> <p>⑩配管において、最も熱応力が厳しいと思われる配管部位について、3次元FEM解析を行い、最も歪の大きくなる曲がりの腹部の弾塑性歪を算出した。材料は、加工硬化を考慮しない完全弾塑性体として解析を行った。</p> <p>以上の計算の結果、熱膨張による歪は、約 5.0% となる。</p> <p>[REDACTED]枠内の内容は機密情報に属しますので公開できません。</p>	評価結果の相違

泊発電所3号炉 有効性評価 比較表

7.1.8 格納容器バイパス (添付資料 7.1.8.4 インターフェイスシステム LOCA 発生時の余熱除去系統の破断箇所及び破断面積について)

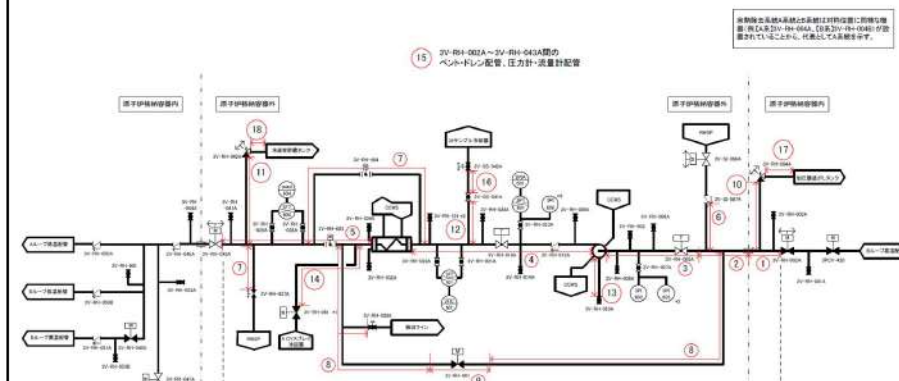
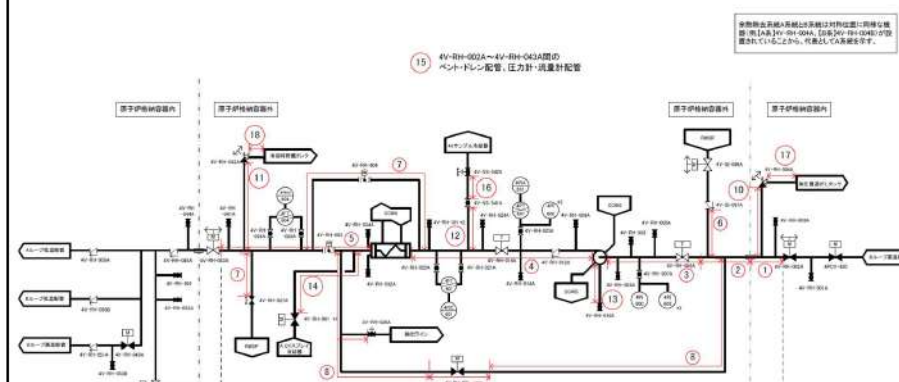
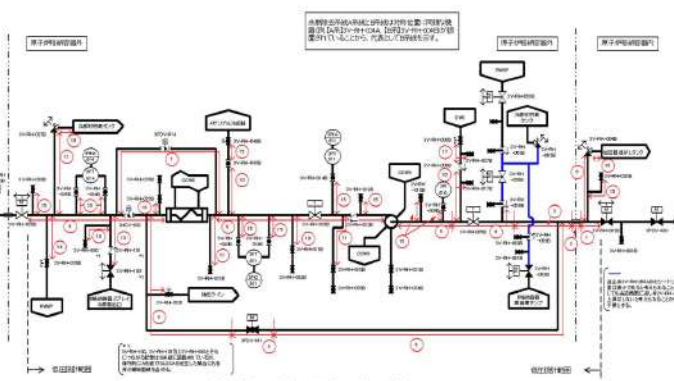
赤字：設備、運用又は体制の相違（設計方針の相違）
青字：記載箇所又は記載内容の相違（記載方針の相違）
緑字：記載表現、設備名称の相違（実質的な相違なし）

大飯発電所3／4号炉	泊発電所3号炉	相違理由
<p>(3) フランジ部の評価</p> <p>設計・建設規格「PPC-3414 フランジ」を適用してフランジ応力算定用圧力からフランジボルトの伸び量を算出したところ伸び量がマイナスであった。伸び量がマイナスの場合は、フランジ部が増し締めされるため、ガスケットの合計圧縮量（ガスケットの初期圧縮量－伸び量）がガスケットの最大圧縮量*1を下回ることを確認した。フランジ部の構造を図2に示す。</p> <p>また、熱曲げモーメントの影響については、設計・建設規格で規定されている（PPD-1.7）式を準用し、フランジ部に作用するモーメントを圧力に換算して評価を行った。</p> <p>*1: ガスケットの最大圧縮量は、ガスケットを圧縮させ、性能に影響がないことをメーカ試験によって確認した値。</p>  <p>図2 フランジ部</p> <p>$P_{f0} = P + P_{eq}$ (PPD-1.6)</p> <p>P_{f0} : フランジ応力算定用圧力 (MPa)</p> <p>P : 15.4 (MPa)</p> <p>P_{eq} : 管の自重およびその他機械的荷重によりフランジ部に作用する曲げモーメントを圧力に換算した等価圧力 (MPa)</p> <p>$P_{eq} = \frac{16M}{\pi G^3}$ (PPD-1.7)</p> <p>M : フランジ部に作用するモーメント (N·mm) 「熱によるモーメント」 + 「自重によるモーメント」</p> <p>G : ガスケット反力のかかる位置を通る円の直径 (mm)</p> <p>二次応力については、常温(21°C)から177°Cへ温度上昇した際の二次応力の解析条件下で算出している既工認の値を、常温(21°C)からISLOCA発生時の300°Cへ温度上昇した際の二次応力成分の値を常温(21°C)からISLOCA発生時の300°Cへ温度上昇した際の二次応力に補正して評価を行った。なお、二次応力（熱曲げモーメントによる応力）は、拘束点における熱膨張によるたわみが原因であり、熱膨張量は温度に比例することから、既工認の二次応力の値を温度上昇比で線形補正した。なお、既工認にフランジ部の応力が記載されていない場合は、既工認に記載されているのは、応力の高い箇所15箇所であるため、フランジ部の二次応力は記載値の中の最小値（但し、一次応力が最大の理由で記載されている1箇所の二次応力の値は除く）と同等であると仮定し、その値を温度補正した。</p>	<p>(3) フランジ部の評価</p> <p>設計・建設規格「PPC-3414 フランジ」を適用してフランジ応力算定用圧力からフランジボルトの伸び量を算出したところ伸び量がマイナスであった。伸び量がマイナスの場合は、フランジ部が増し締めされるため、ガスケットの合計圧縮量（ガスケットの初期圧縮量－伸び量）がガスケットの最大圧縮量*1を下回ることを確認した。フランジ部の構造を図2に示す。</p> <p>また、熱曲げモーメントの影響については、設計・建設規格で規定されている（PPD-1.7）式を準用し、フランジ部に作用するモーメントを圧力に換算して評価を行った。</p> <p>*1: ガスケットの最大圧縮量は、ガスケットを圧縮させ、性能に影響がないことをメーカ試験によって確認した値。</p>  <p>図2 フランジ部</p> <p>$P_{f0} = P + P_{eq}$ (PPD-1.6)</p> <p>P_{f0} : フランジ応力算定用圧力 (MPa)</p> <p>P : 15.4 (MPa) (ISLOCA発生時の圧力)</p> <p>P_{eq} : 管の自重およびその他機械的荷重によりフランジ部に作用する曲げモーメントを圧力に換算した等価圧力 (MPa)</p> <p>$P_{eq} = \frac{16M}{\pi G^3}$ (PPD-1.7)</p> <p>M : フランジ部に作用するモーメント (N·mm) 「熱によるモーメント」 + 「自重によるモーメント」</p> <p>G : ガスケット反力のかかる位置を通る円の直径 (mm)</p> <p>二次応力については、既工認における常温(21°C)から177°Cへ温度上昇した際の一次+二次応力の解析条件下で算出している値のうち、二次応力成分の値を常温(21°C)からISLOCA発生時の300°Cへ温度上昇した際の二次応力に補正して評価を行った。なお、二次応力（熱曲げモーメントによる応力）は、拘束点における熱膨張によるたわみが原因であり、熱膨張量は温度に比例することから、既工認の一次+二次応力の二次応力成分の値を温度上昇比で線形補正した。なお、工認対象外のフランジについては、常温(21°C)から177°Cへ温度上昇した際の二次応力を [] とし、その値を常温(21°C)からISLOCA発生時の300°Cへ温度上昇した際の二次応力に補正して評価を行った。</p> <p>[] 案内みの内容は機密情報に属しますので公開できません。</p>	評価方針の相違

泊発電所 3号炉 有効性評価 比較表

7.1.8 格納容器バイパス (添付資料 7.1.8.4 インターフェイスシステム LOCA 発生時の余熱除去系統の破断箇所及び破断面積について)

赤字 : 設備、運用又は体制の相違（設計方針の相違）
青字 : 記載箇所又は記載内容の相違（記載方針の相違）
緑字 : 記載表現、設備名称の相違（実質的な相違なし）

大飯発電所3／4号炉	泊発電所3号炉	相違理由
<p>1.3 評価結果</p> <p>配管及びフランジ部について評価した結果、表1～3に示すとおり実機の値は判定基準を満足し、ISLOCA発生時の高温(300°C)、高圧(15.4MPa)の条件下で破損せず、漏えいは発生しないことを確認した。</p>  <p>図1 余熱除去系統 評価対象配管(大飯3号炉) (1/2)</p>  <p>図1 余熱除去系統 評価対象配管(大飯4号炉) (2/2)</p> <p>1.3 評価結果</p> <p>配管及びフランジ部について評価した結果、表1～3に示すとおり実機の値は判定基準を満足し、ISLOCA発生時の高温(300°C)、高圧(15.4MPa)の条件下で破損せず、漏えいは発生しないことを確認した。</p>  <p>図1 余熱除去系統 評価対象配管</p>		

泊発電所 3号炉 有効性評価 比較表

7.1.8 格納容器バイパス (添付資料 7.1.8.4 インターフェイスシステム LOCA 発生時の余熱除去系統の破断箇所及び破断面積について)

赤字 : 設備、運用又は体制の相違 (設計方針の相違)
青字 : 記載箇所又は記載内容の相違 (記載方針の相違)
緑字 : 記載表現、設備名称の相違 (実質的な相違なし)

大飯発電所3／4号炉	泊発電所 3号炉	相違理由																												
<p>表 2-1 PPB-3556 の規定に基づく評価結果 (大飯 3号炉 クラス 2配管)</p> <table border="1"> <thead> <tr> <th>No</th><th>熱膨張応力を除いた一次+二次応力 (MPa)</th><th>許容値 (MPa)</th><th>熱膨張応力 (MPa)</th><th>繰返しピーク応力強さ (MPa)</th><th>許容値 (MPa)</th><th>※1 ※2 ※3</th></tr> </thead> <tbody> <tr> <td>①</td><td>[REDACTED]</td><td>[REDACTED]</td><td>[REDACTED]</td><td>[REDACTED]</td><td>[REDACTED]</td><td>※2 ※3</td></tr> </tbody> </table> <p>(注) 評価点は各解析箇所での評価のうち最も厳しい箇所である。 ※1 設計・建設規格 付録材料図 表 Part8 図 2における 10回の許容繰返し回数に対応する許容繰返しピーク応力強さ ※2 後掲「熱膨張応力について」参照 ※3 後掲「疲労累積係数について」参照</p> <p>表 2-2 PPB-3556 の規定に基づく評価結果 (大飯 4号炉 クラス 2配管)</p> <table border="1"> <thead> <tr> <th>No</th><th>熱膨張応力を除いた一次+二次応力 (MPa)</th><th>許容値 (MPa)</th><th>熱膨張応力 (MPa)</th><th>繰返しピーク応力強さ (MPa)</th><th>許容値 (MPa)</th><th>※1 ※2 ※3</th></tr> </thead> <tbody> <tr> <td>①</td><td>[REDACTED]</td><td>[REDACTED]</td><td>[REDACTED]</td><td>[REDACTED]</td><td>[REDACTED]</td><td>※2 ※3</td></tr> </tbody> </table> <p>(注) 評価点は各解析箇所での評価のうち最も厳しい箇所である。 ※1 設計・建設規格 付録材料図 表 Part8 図 2における 10回の許容繰返し回数に対応する許容繰返しピーク応力強さ ※2 後掲「熱膨張応力について」参照 ※3 後掲「疲労累積係数について」参照</p> <p>枠囲みの範囲は機密に係る事項ですので公開することはできません。</p>	No	熱膨張応力を除いた一次+二次応力 (MPa)	許容値 (MPa)	熱膨張応力 (MPa)	繰返しピーク応力強さ (MPa)	許容値 (MPa)	※1 ※2 ※3	①	[REDACTED]	[REDACTED]	[REDACTED]	[REDACTED]	[REDACTED]	※2 ※3	No	熱膨張応力を除いた一次+二次応力 (MPa)	許容値 (MPa)	熱膨張応力 (MPa)	繰返しピーク応力強さ (MPa)	許容値 (MPa)	※1 ※2 ※3	①	[REDACTED]	[REDACTED]	[REDACTED]	[REDACTED]	[REDACTED]	※2 ※3		評価方針の相違
No	熱膨張応力を除いた一次+二次応力 (MPa)	許容値 (MPa)	熱膨張応力 (MPa)	繰返しピーク応力強さ (MPa)	許容値 (MPa)	※1 ※2 ※3																								
①	[REDACTED]	[REDACTED]	[REDACTED]	[REDACTED]	[REDACTED]	※2 ※3																								
No	熱膨張応力を除いた一次+二次応力 (MPa)	許容値 (MPa)	熱膨張応力 (MPa)	繰返しピーク応力強さ (MPa)	許容値 (MPa)	※1 ※2 ※3																								
①	[REDACTED]	[REDACTED]	[REDACTED]	[REDACTED]	[REDACTED]	※2 ※3																								
<p>[熱膨張応力について]</p> <p>一般に荷重が繰り返し作用するとき、一次+二次応力が $3S_m (=2S_y)$ 以内であれば 1 回目の荷重によってシェイクダウンが起こり、以後は弾性的な挙動を示す。一次+二次応力が $3S_m$ を上回ると、荷重が作用するたびに塑性ひずみを生じ、いずれは疲労破壊に至る。</p> <p>熱膨張応力が $3S_m$ を上回る場合、熱膨張応力のみで塑性挙動を示すようになるが、ISLOCA 事象は繰返し回数が 1 回であるので塑性ひずみの発生が繰り返されることではなく、疲労破壊には至らない。また、熱膨張応力は二次応力であるので、これのみで材料が延性破壊することはない。</p> <p>従って、ISLOCA 事象に限っては、本規定は評価する必要はないと考えられる。</p> <p>[疲労累積係数について]</p> <p>一般に疲労評価においては、ある繰返し荷重に対し、その実際の繰返し回数が許容繰返し回数以下であることを確認する。繰返し荷重が複数ある場合は、疲労累積係数が 1 以下であることを確認する。</p> <p>評価配管については、疲労に有意な繰返し荷重を生じさせる過渡変化はなく、ISLOCA 事象に関しての疲労評価において考慮するのは「ISLOCA 事象発生」の 1 ケース（繰返し回数 1 回）のみである。設計・建設規格に記載されている最小の許容繰返し回数は 10 回である^{*1}ため、許容繰返し回数は実際の繰返し回数以上である。</p> <p>*1 設計・建設規格「(解説 PVB-3310) 簡易弾塑性解析」より、許容繰返し回数が 10 回未満の部分については外挿によって使用することを禁じられているため、許容繰返し回数の最小値は 10 回である。なお、PVB-3310 は容器の規定ではあるが、配管の規定と考え方は同様である。</p>																														

赤字：設備、運用又は体制の相違（設計方針の相違）
 青字：記載箇所又は記載内容の相違（記載方針の相違）
 緑字：記載表現、設備名称の相違（実質的な相違なし）

7.1.8 格納容器バイパス (添付資料 7.1.8.4 インターフェイスシステム LOCA 発生時の余熱除去系統の破断箇所及び破断面積について)

泊発電所 3 号炉 有効性評価 比較表

7.1.8.4

大飯発電所 3 / 4 号炉

表 3 配管評価結果 (クラス 3 配管)

NO	箇所※1
使用温度 (°C)	300
使用圧力 (MPa)	15.4
材質	SUS304TP
降伏点 (MPa)	127
継弾性係数 (MPa)	176000
口径 (熱応力が最も大きい部位) (mm)	114.3
板厚 (熱応力が最も大きい部位) (mm)	4.0
内圧による応力 (MPa)	110.1
上記の重量 (%)	0.063

熱膨張応力による歪 (%)	6
許容歪量 (%) ※2	19

※1 クラス 3 配管 (※配管、②配管、③配管) の中で、内圧による応力、及び
熱膨張による評価が 1 番厳しくなる配管

※2 JIS G 3459 に材料に要求される引張強さに相当する歪量

表 4 大飯 3 号炉 フランジ部評価結果 (1/3)

フランジ口径		10R	12B	14B	8B
評価温度 (°C)		300	306	300	300
評価圧力 (MPa)		15.4	15.4	15.4	15.4
ガスケット		P2603N	P2603N	P2603N	P2603N
ボルト材質		SCM435	SCM435	SCM435	SCM435
ボルトサイズ		M30	M30	M30	M30
本数		16	20	20	12
径 (MPa)		186900	186900	186900	186900
内圧P _c (MPa)		15.4	15.4	15.4	15.4
フランジに作用する自重曲げモーメント M ₁₁ (N・m)		5502510	8709486	12036690	3143790
フランジに作用する熱伸び曲げモーメント M ₁₂ (N・mm)		32121490	50842520	38715890	18352210
曲げモーメントによる弯曲応力 Peq ₁₁ (MPa)		7.03	6.66	4.37	7.17
内圧P _c 等価応力 Peq ₁₁ (MPa)		22.43	22.05	19.77	22.57
G (mm)		301.0	357.3	389.6	248.1
有効断面積 (mm) ² A = π / 4 D ²		7157.86	100296.51	119214.14	48344.09
最高荷重F (N) F = (P + Peq) × A		159681.8	221079.5	235996.3	109166.9
ボルト(1 本)に生じる荷重 f _b (N)		99739	110540	117948	90922
ボルト寸法 (mm)		706.95	706.86	1017.88	706.85
ボルト(1 本)に生じる応力 (MPa)		141.10	156.38	115.78	128.63
ボルト(1 本)に生じる応力 (MPa)		0.00076	0.00084	0.00062	0.00069
ボルト長さ L1 (mm)		143.0	149.0	155.6	145.2
荷重によるボルトの伸び量 ΔL (mm)		0.11	0.13	0.10	0.10
初期締付荷重 (N)		76900	77000	92900	71000
初期締付による応力 (MPa)		106.1	108.9	90.4	100.4
ボルト寸法 f _b (mm)		0.00057	0.00059	0.00049	0.00054
初期締付によるボルトの伸び量 ΔL (mm)		0.08	0.09	0.08	0.08
荷重によるボルトの伸び量 ΔL ₁₋₂ (mm)		0.03	0.04	0.02	0.02
ボルト熱膨胀係数 α ₁ (mm/m°C)		1.300E-05	1.300E-05	1.300E-05	1.300E-05
フランジ (SUS304) 热膨胀係数 α ₂ (mm/m°C)		1.797E-05	1.797E-05	1.797E-05	1.797E-05
フランジ (SUS316) 热膨胀係数 α ₃ (mm/m°C)		-	-	-	1.718E-05
ボルト熱伸び量 L ₂ (mm)		143.0	149.0	155.6	145.2
フランジ (SUS304) 热伸び量 L ₃ (mm)		139.8	145.8	152.4	62.0
フランジ (SUS316) 热伸び量 L ₄ (mm)		-	-	-	89.0
ボルト熱伸び量 L ₂ = α ₂ × L ₂ (mm)		0.52	0.54	0.56	0.53
フランジ熱伸び量 L ₃ = α ₃ × L ₃ + α ₂ × L ₃ (mm)		0.67	0.69	0.73	0.68
伸び量 L ₁ = ΔL ₁ + ΔL ₂ + ΔL ₃ (mm)		-0.12	-0.12	-0.14	-0.13
ガスケットの復元量 (mm)		-	-	-	-
ガスケットの初期圧縮量 (mm)		-	-	-	-
ガスケットの合計圧縮量 (mm)		-	-	-	-
ガスケットの最大圧縮量 (mm)		-	-	-	-

枠囲みの範囲は機密に係る事項ですので公開することはできません。

泊発電所 3 号炉

表 2 配管評価結果 (クラス 3 配管)

NO	箇所※1
使用温度 (°C)	300
使用圧力 (MPa)	15.4
材質	SUS304TP
降伏点 (MPa)	127
継弾性係数 (MPa)	176000
口径 (熱応力が最も大きい部位) (mm)	114.3
板厚 (熱応力が最も大きい部位) (mm)	4.0
内圧による応力 (MPa)	110.1
上記の重量 (%)	0.063

熱膨張応力による歪 (%)	5
許容歪量 (%) ※2	19

※1 クラス 3 配管 (※配管、②配管、③配管) の中で、内圧による応力、及び
熱膨張による評価が 1 番厳しくなる配管

※2 JIS G 3459 に材料に要求される引張強さに相当する歪量

表 3 フランジ部評価結果 (1/2)

フランジ口径		14B	12B	10B	8B
最高使用温度 (°C)		300	300	300	300
最高使用圧力 (MPa)		15	15	15	15
ガスケット		-	-	-	-
ボルト材質		M30	M30	M30	M30
ボルトサイズ		M30	M30	M30	M30
本数		20	22	16	12
径 (mm)		190.0	186.0	186.0	186.0
ボルト寸法		154.0	154.0	154.0	154.0
フランジに作用する自重曲げモーメント M ₁₁ (N・mm)		10030000	22932000	16297010	6200710
フランジに作用する熱伸び曲げモーメント M ₁₂ (N・mm)		105123400	27916500	70750150	29016600
曲げモーメントによる弯曲応力 Peq ₁₁ (MPa)		10.18	5.61	16.36	11.77
内圧P _c 等価応力 Peq ₁₁ (MPa)		25.68	21.01	31.75	27.17
G (mm)		309.8	357.0	301.0	249.1
有効断面積 (mm) ² A = π / 4 D ²		11921414	10202651	71157.88	48844.09
最高荷重F (N) F = (P + Peq) × A		10202652	2106823	2259552	1513007
ボルト(1 本)に生じる荷重 F _b (N)		152449	105331	101222	108442
ボルト(1 本)に生じる応力 σ _b (MPa)		101788	706.26	709.88	706.86
ボルト(1 本)に生じる荷重 F _b (N)		149.27	149.01	199.72	154.63
ボルト(1 本)に生じる応力 σ _b (MPa)		0.00081	0.00069	0.00107	0.00083
ボルト寸法 L (mm)		169.8	149.0	206.2	259.4
ボルトの伸び量 ΔL (mm)		0.14	0.12	0.22	0.24
初期締付荷重 (N)		11000	72000	21600	70000
初期締付による応力 (MPa)		105.1	119.8	100.4	99.0
ボルト寸法 f _b (mm)		0.00026	0.00026	0.00024	0.00024
初期締付による伸び量 ΔL (mm)		0.10	0.08	0.11	0.15
初期締付による伸び量 ΔL ₁₋₂ (mm)		0.04	0.04	0.11	0.09
ボルト熱伸び量 ΔL ₂ (mm)		1200E-05	1200E-05	1200E-05	1200E-05
フランジ (SUS304) 热膨胀係数 α ₂ (mm/m°C)		1.707E-05	1.707E-05	1.707E-05	1.707E-05
ボルト熱伸び量 ΔL ₃ (mm)		-	-	-	-
フランジ (SUS316) 热膨胀係数 α ₃ (mm/m°C)		-	-	-	-
ボルト熱伸び量 ΔL ₂ + ΔL ₃ (mm)		0.61	0.54	0.75	1.05
フランジ (SUS304) 热伸び量 ΔL ₂ + ΔL ₃ (mm)		0.78	0.70	0.96	1.26
ボルト (1-2) + ΔL ₂ + ΔL ₃ (mm)		-0.12	-0.12	-0.09	-0.22
ガスケットの復元量 (mm)		-	-	-	-
ガスケットの初期圧縮量 (mm)		-	-	-	-
ガスケットの合計圧縮量 (mm)		-	-	-	-
ガスケットの最大圧縮量 (mm)		-	-	-	-

(注1) 計画面図2-1 中請書に示す第4回申請資料(資料No.6-4)配管の強度計算者(企画段階会議)による、14Bの配管はプロックの1、12B、10B、8Bの配管はオロックの1～2が応力の最大値から一次応力の最小値を引いた応力を用いて算出した。14Bの配管はプロックの1、12B、10B、8Bの配管はオロックの1～2が応力の最大値から一次応力の最小値を引いた応力を用いて算出した。14Bの配管はプロックの1、12B、10B、8Bの配管はオロックの1～2が応力の最大値から一次応力の最小値を引いた応力を用いて算出した。14Bの配管はプロックの1、12B、10B、8Bの配管はオロックの1～2が応力の最大値から一次応力の最小値を引いた応力を用いて算出した。

(注2) 計画面図2-1 中請書に示す第4回申請資料(資料No.6-4)配管の強度計算者(企画段階会議)による、14Bの配管はプロックの1、12B、10B、8Bの配管はオロックの1～2が応力の最大値から一次応力の最小値を引いた応力を用いて算出した。14Bの配管はプロックの1、12B、10B、8Bの配管はオロックの1～2が応力の最大値から一次応力の最小値を引いた応力を用いて算出した。

(注3) ISME28-1 離心拘束による軸方向の荷重による曲げモーメントを等価応力に換算する式Peq = tau_{eq} / (pi G)により算出。今回は、熱伸びによる曲げモーメントを計算式により等価応力を算出している。

枠囲みの内容は機密情報に属しますので公開できません。

赤字：設備、運用又は体制の相違（設計方針の相違）
 青字：記載箇所又は記載内容の相違（記載方針の相違）
 緑字：記載表現、設備名称の相違（実質的な相違なし）

泊発電所3号炉 有効性評価 比較表

7.1.8 格納容器バイパス（添付資料 7.1.8.4 インターフェイスシステム LOCA 発生時の余熱除去系統の破断箇所及び破断面積について）

大飯発電所3／4号炉	泊発電所3号炉	相違理由																																																																																																																																																																																																																																																																																																																																																																																															
<p>（注1）既工事計画認可申請書分割第3次申請添付資料5-2「配管の強度計算書(余熱除去設備)」の自重による一次応力より算出。14Bはブロック①、12B、10B、8Bはブロック③の自重による応力の最大値をSI単位に換算した値に断面係数を乗じて求めた値。</p> <p>（注2）既工事計画認可申請書分割第3次申請添付資料5-2「配管の強度計算書(余熱除去設備)」の二次応力より算出。工認資料には応力の高い箇所15箇所が記載されているが、フランジ部はその15箇所には該当していないため、フランジ部の二次応力（熱応力）は工認記載値の最小値（但し、一次応力が最大の理由で記載されている1箇所の二次応力の値は除く）と同等であると仮定し、その値を(300-21) / (177-21)倍し、SI単位に換算した値に断面係数を乗じて求めた値。</p> <p>（注3）JSME 設計・建設規格による機械的荷重による曲げモーメントを等価圧力を換算する式 $P_{eq} = 16M / (\pi G^3)$ により算出。今回は、熱伸びによる曲げモーメントも本計算式により等価圧力換算している。</p> <p>表4 大飯4号炉 フランジ部評価結果（2／3）</p> <table border="1"> <thead> <tr> <th>フランジ口径</th><th>10B</th><th>12B</th><th>14B</th><th>8B</th></tr> </thead> <tbody> <tr> <td>評価温度(℃)</td><td>300</td><td>300</td><td>300</td><td>300</td></tr> <tr> <td>評価圧力(MPa)</td><td>15.4</td><td>15.4</td><td>15.4</td><td>15.4</td></tr> <tr> <td>ガスケット</td><td>P2603N</td><td>P2603N</td><td>P2603N</td><td>P2603N</td></tr> <tr> <td>ボルト材質</td><td>SCM435</td><td>SCM436</td><td>SCM435</td><td>SCM436</td></tr> <tr> <td>ボルトサイズ</td><td>M30</td><td>M30</td><td>M36</td><td>M30</td></tr> <tr> <td>本数</td><td>16</td><td>20</td><td>20</td><td>12</td></tr> <tr> <td>E (MPa)</td><td>186000</td><td>186000</td><td>186000</td><td>186000</td></tr> <tr> <td>内圧P (MPa)</td><td>15.4</td><td>15.4</td><td>15.4</td><td>15.4</td></tr> <tr> <td>フランジに作用する自重によるモーメント $M^{(1)}(N \cdot mm)$</td><td>5502510</td><td>8709480</td><td>12036000</td><td>3143790</td></tr> <tr> <td>フランジに作用する熱伸びによるモーメント $M^{(2)}(N \cdot mm)$</td><td>32121490</td><td>50842520</td><td>38718900</td><td>18352210</td></tr> <tr> <td>曲げモーメントによる等価応力 $P_{eq}^{(1)}(MPa)$</td><td>7.03</td><td>6.65</td><td>4.37</td><td>7.17</td></tr> <tr> <td>内圧Pによる等価応力 $P_{eq}^{(2)}(MPa)$</td><td>22.43</td><td>22.05</td><td>19.77</td><td>22.57</td></tr> <tr> <td>G (mm)</td><td>301.0</td><td>357.3</td><td>389.6</td><td>248.1</td></tr> <tr> <td>有効断面積(m^2)$=\pi/4G^2$</td><td>71167.86</td><td>100266.81</td><td>119214.14</td><td>48344.09</td></tr> <tr> <td>発生荷重(N) $= (P + P_{eq}) \cdot A$</td><td>1595818</td><td>2210793</td><td>2559693</td><td>1091069</td></tr> <tr> <td>ボルト(1本)による荷重 $F/n(N)$</td><td>99738</td><td>110540</td><td>117848</td><td>90922</td></tr> <tr> <td>ボルト断面積(mm^2)</td><td>706.86</td><td>706.86</td><td>1017.88</td><td>706.86</td></tr> <tr> <td>ボルト(1本)に生じる応力(MPa)</td><td>141.10</td><td>156.38</td><td>115.78</td><td>128.63</td></tr> <tr> <td>ボルトイマジン</td><td>0.00076</td><td>0.00084</td><td>0.00068</td><td>0.00069</td></tr> <tr> <td>ボルト長さL1 (mm)</td><td>143.0</td><td>149.0</td><td>155.6</td><td>145.2</td></tr> <tr> <td>荷重によるボルトの伸び量 $\Delta L_1 (mm)$</td><td>0.11</td><td>0.13</td><td>0.10</td><td>0.10</td></tr> <tr> <td>初期締付荷重(N)</td><td>75000</td><td>77000</td><td>92000</td><td>71000</td></tr> <tr> <td>初期締付による応力(MPa)</td><td>106.1</td><td>108.9</td><td>90.4</td><td>100.4</td></tr> <tr> <td>ボルトイマジン ε</td><td>0.00057</td><td>0.00059</td><td>0.00049</td><td>0.00064</td></tr> <tr> <td>初期締付によるボルトの伸び量 $\Delta L_0 (mm)$</td><td>0.08</td><td>0.09</td><td>0.08</td><td>0.08</td></tr> <tr> <td>荷重によるボルトの伸び量 $\Delta L_1 - \Delta L_0 (mm)$</td><td>0.03</td><td>0.04</td><td>0.02</td><td>0.02</td></tr> <tr> <td>ボルト熱膨張係数 $\alpha_1 (mm/mm^{\circ}C)$</td><td>1.300E-05</td><td>1.300E-05</td><td>1.300E-05</td><td>1.300E-05</td></tr> <tr> <td>フランジ(SUS304)熱膨張係数 $\alpha_2 (mm/mm^{\circ}C)$</td><td>1.707E-05</td><td>1.707E-05</td><td>1.707E-05</td><td>1.707E-05</td></tr> <tr> <td>フランジ(SUS304)熱膨張係数 $\alpha_3 (mm/mm^{\circ}C)$</td><td>—</td><td>—</td><td>—</td><td>1.718E-05</td></tr> <tr> <td>ボルト熱伸び対象長さL2 (mm)</td><td>143.0</td><td>149.0</td><td>155.6</td><td>145.2</td></tr> <tr> <td>フランジ(SUS304)熱伸び対象長さL3 (mm)</td><td>139.8</td><td>145.8</td><td>152.4</td><td>62.0</td></tr> <tr> <td>フランジ(SUS316)熱伸び対象長さL4 (mm)</td><td>—</td><td>—</td><td>—</td><td>80.0</td></tr> <tr> <td>ボルト熱伸び量 $\Delta L = \alpha_1 \cdot L_2 (mm)$</td><td>0.52</td><td>0.54</td><td>0.56</td><td>0.53</td></tr> <tr> <td>フランジ熱伸び量 $\Delta L_3 = \alpha_2 \cdot L_3 + \alpha_3 \cdot L_4 (mm)$</td><td>0.67</td><td>0.69</td><td>0.73</td><td>0.68</td></tr> <tr> <td>伸び量 $\Delta L = \Delta L_1 + \Delta L_2 + \Delta L_3 (mm)$</td><td>-0.12</td><td>-0.12</td><td>-0.14</td><td>-0.13</td></tr> <tr> <td>ガスケットの変形量 (mm)</td><td>—</td><td>—</td><td>—</td><td>—</td></tr> <tr> <td>ガスケットの初期圧縮量 (mm)</td><td>—</td><td>—</td><td>—</td><td>—</td></tr> <tr> <td>ガスケットの合計圧縮量 (mm)</td><td>—</td><td>—</td><td>—</td><td>—</td></tr> <tr> <td>ガスケットの最大圧縮量 (mm)</td><td>—</td><td>—</td><td>—</td><td>—</td></tr> </tbody></table> <p>（注1）定ピッチスパンによる自重による応力の制限値に断面係数を乗じて求めた値。</p> <p>（注2）定ピッチスパンによる熱伸びによる応力の制限値に断面係数を乗じて求めた値。</p> <p>（注3）JSME設計・建設規格による機械的荷重による曲げモーメントを等価圧力に換算する式 $P_{eq} = 16M / (\pi G^3)$ により算出。今回は、熱伸びによる曲げモーメントも本計算式により等価圧力換算している。</p> <p>表3 フランジ部評価結果（2／2）</p> <table border="1"> <thead> <tr> <th>部位</th><th>入口配管</th><th>出口配管</th><th>入口配管</th><th>出口配管</th></tr> </thead> <tbody> <tr> <td>フランジ口径</td><td>3-1/2B</td><td>4B</td><td>1-1/4B</td><td>1-1/2B</td></tr> <tr> <td>最高使用温度(℃)</td><td>300</td><td>300</td><td>300</td><td>300</td></tr> <tr> <td>最高使用圧力(MPa)</td><td>4.1</td><td>4.1</td><td>4.1</td><td>4.1</td></tr> <tr> <td>ガスケット</td><td>—</td><td>—</td><td>—</td><td>—</td></tr> <tr> <td>ボルト材質</td><td>M22</td><td>M16</td><td>M16</td><td>M12</td></tr> <tr> <td>ボルトサイズ</td><td>8</td><td>8</td><td>4</td><td>4</td></tr> <tr> <td>内圧P (MPa)</td><td>186000</td><td>185000</td><td>186000</td><td>186000</td></tr> <tr> <td>フランジに作用する自重によるモーメント $M^{(1)}(N \cdot mm)$</td><td>653400</td><td>1107900</td><td>62520</td><td>138510</td></tr> <tr> <td>フランジに作用する熱伸びによるモーメント $M^{(2)}(N \cdot mm)$</td><td>2178900</td><td>3893000</td><td>2084600</td><td>461700</td></tr> <tr> <td>曲げモーメントによる等価応力 $P_{eq}^{(1)}(MPa)$</td><td>7.60</td><td>9.26</td><td>6.87</td><td>12.93</td></tr> <tr> <td>内圧Pによる等価応力 $P_{eq}(MPa)$</td><td>23.06</td><td>24.66</td><td>24.03</td><td>22.23</td></tr> <tr> <td>G (mm)</td><td>123.8</td><td>139.2</td><td>54.2</td><td>62.0</td></tr> <tr> <td>初期断面積(mm^2) $= \pi/4G^2$</td><td>12037.96</td><td>15090.51</td><td>2307.22</td><td>20149.07</td></tr> <tr> <td>発生荷重F (N) $= (P + P_{eq}) \cdot A$</td><td>276850</td><td>369663</td><td>55525</td><td>85217</td></tr> <tr> <td>ボルト(1本)に生じる荷重 F/n(N)</td><td>34607</td><td>46245</td><td>13881</td><td>21304</td></tr> <tr> <td>ボルトの初期締付荷重 $F_0 (N)$</td><td>380.13</td><td>201.06</td><td>201.06</td><td>111.10</td></tr> <tr> <td>ボルト(1本)に生じる応力 (MPa)</td><td>91.04</td><td>230.01</td><td>65.04</td><td>168.37</td></tr> <tr> <td>ボルトイマジン ε</td><td>0.00048</td><td>0.00124</td><td>0.00037</td><td>0.00101</td></tr> <tr> <td>ボルト長さL1 (mm)</td><td>85.6</td><td>51.0</td><td>62.1</td><td>28.7</td></tr> <tr> <td>ボルトイマジン $\Delta L_1 (mm)$</td><td>0.05</td><td>0.06</td><td>0.02</td><td>0.04</td></tr> <tr> <td>初期締付による応力 (MPa)</td><td>94.7</td><td>124.9</td><td>94.5</td><td>132.5</td></tr> <tr> <td>ボルトイマジン ε</td><td>0.00051</td><td>0.00067</td><td>0.00031</td><td>0.00071</td></tr> <tr> <td>初期締付によるボルトの伸び量 $\Delta L_0 (mm)$</td><td>0.05</td><td>0.03</td><td>0.03</td><td>0.03</td></tr> <tr> <td>荷重によるボルトの伸び量 $\Delta L_1 - \Delta L_0 (mm)$</td><td>0.00</td><td>0.03</td><td>-0.01</td><td>0.01</td></tr> <tr> <td>ボルト熱膨張係数 $\alpha_1 (mm/mm^{\circ}C)$</td><td>1.300E-05</td><td>1.300E-05</td><td>1.300E-05</td><td>1.300E-05</td></tr> <tr> <td>ボルトフランジ(SUS304)熱膨張係数 $\alpha_2 (mm/mm^{\circ}C)$</td><td>1.707E-05</td><td>1.707E-05</td><td>1.707E-05</td><td>1.707E-05</td></tr> <tr> <td>ボルトフランジ(SUS316)熱膨張係数 $\alpha_3 (mm/mm^{\circ}C)$</td><td>1.718E-05</td><td>1.718E-05</td><td>1.718E-05</td><td>1.718E-05</td></tr> <tr> <td>ボルトイマジン対象長さL2 (mm)</td><td>95.6</td><td>51.0</td><td>62.1</td><td>38.7</td></tr> <tr> <td>ボルトイマジン対象長さL3 (mm)</td><td>41.4</td><td>23.8</td><td>26.9</td><td>17.5</td></tr> <tr> <td>ボルトイマジン対象長さL4 (mm)</td><td>51.0</td><td>24.0</td><td>32.0</td><td>18.0</td></tr> <tr> <td>ボルトイマジン $\Delta L = \alpha_1 \cdot L_2 (mm)$</td><td>0.35</td><td>0.19</td><td>0.23</td><td>0.14</td></tr> <tr> <td>フランジ熱伸び量 $\Delta L_3 = \alpha_2 \cdot L_3 + \alpha_3 \cdot L_4 (mm)$</td><td>0.44</td><td>0.23</td><td>0.28</td><td>0.17</td></tr> <tr> <td>トータル締間 $\Delta L = \Delta L_1 + \Delta L_2 + \Delta L_3 (mm)$</td><td>-0.10</td><td>-0.01</td><td>-0.08</td><td>-0.02</td></tr> <tr> <td>ガスケットの初期圧縮量 (mm)</td><td>—</td><td>—</td><td>—</td><td>—</td></tr> <tr> <td>ガスケットの合計圧縮量 (mm)</td><td>—</td><td>—</td><td>—</td><td>—</td></tr> <tr> <td>ガスケットの最大圧縮量 (mm)</td><td>—</td><td>—</td><td>—</td><td>—</td></tr> </tbody> </table> <p>（注1）定ピッチスパンによる自重による応力の制限値に断面係数を乗じて求めた値。</p> <p>（注2）定ピッチスパンによる熱伸びによる応力の制限値に断面係数を乗じて求めた値。</p> <p>（注3）JSME設計・建設規格による機械的荷重による曲げモーメントを等価圧力に換算する式 $P_{eq} = 16M / (\pi G^3)$ により算出。今回は、熱伸びによる曲げモーメントも本計算式により等価圧力換算している。</p>	フランジ口径	10B	12B	14B	8B	評価温度(℃)	300	300	300	300	評価圧力(MPa)	15.4	15.4	15.4	15.4	ガスケット	P2603N	P2603N	P2603N	P2603N	ボルト材質	SCM435	SCM436	SCM435	SCM436	ボルトサイズ	M30	M30	M36	M30	本数	16	20	20	12	E (MPa)	186000	186000	186000	186000	内圧P (MPa)	15.4	15.4	15.4	15.4	フランジに作用する自重によるモーメント $M^{(1)}(N \cdot mm)$	5502510	8709480	12036000	3143790	フランジに作用する熱伸びによるモーメント $M^{(2)}(N \cdot mm)$	32121490	50842520	38718900	18352210	曲げモーメントによる等価応力 $P_{eq}^{(1)}(MPa)$	7.03	6.65	4.37	7.17	内圧Pによる等価応力 $P_{eq}^{(2)}(MPa)$	22.43	22.05	19.77	22.57	G (mm)	301.0	357.3	389.6	248.1	有効断面積(m^2) $=\pi/4G^2$	71167.86	100266.81	119214.14	48344.09	発生荷重(N) $= (P + P_{eq}) \cdot A$	1595818	2210793	2559693	1091069	ボルト(1本)による荷重 $F/n(N)$	99738	110540	117848	90922	ボルト断面積(mm^2)	706.86	706.86	1017.88	706.86	ボルト(1本)に生じる応力(MPa)	141.10	156.38	115.78	128.63	ボルトイマジン	0.00076	0.00084	0.00068	0.00069	ボルト長さL1 (mm)	143.0	149.0	155.6	145.2	荷重によるボルトの伸び量 $\Delta L_1 (mm)$	0.11	0.13	0.10	0.10	初期締付荷重(N)	75000	77000	92000	71000	初期締付による応力(MPa)	106.1	108.9	90.4	100.4	ボルトイマジン ε	0.00057	0.00059	0.00049	0.00064	初期締付によるボルトの伸び量 $\Delta L_0 (mm)$	0.08	0.09	0.08	0.08	荷重によるボルトの伸び量 $\Delta L_1 - \Delta L_0 (mm)$	0.03	0.04	0.02	0.02	ボルト熱膨張係数 $\alpha_1 (mm/mm^{\circ}C)$	1.300E-05	1.300E-05	1.300E-05	1.300E-05	フランジ(SUS304)熱膨張係数 $\alpha_2 (mm/mm^{\circ}C)$	1.707E-05	1.707E-05	1.707E-05	1.707E-05	フランジ(SUS304)熱膨張係数 $\alpha_3 (mm/mm^{\circ}C)$	—	—	—	1.718E-05	ボルト熱伸び対象長さL2 (mm)	143.0	149.0	155.6	145.2	フランジ(SUS304)熱伸び対象長さL3 (mm)	139.8	145.8	152.4	62.0	フランジ(SUS316)熱伸び対象長さL4 (mm)	—	—	—	80.0	ボルト熱伸び量 $\Delta L = \alpha_1 \cdot L_2 (mm)$	0.52	0.54	0.56	0.53	フランジ熱伸び量 $\Delta L_3 = \alpha_2 \cdot L_3 + \alpha_3 \cdot L_4 (mm)$	0.67	0.69	0.73	0.68	伸び量 $\Delta L = \Delta L_1 + \Delta L_2 + \Delta L_3 (mm)$	-0.12	-0.12	-0.14	-0.13	ガスケットの変形量 (mm)	—	—	—	—	ガスケットの初期圧縮量 (mm)	—	—	—	—	ガスケットの合計圧縮量 (mm)	—	—	—	—	ガスケットの最大圧縮量 (mm)	—	—	—	—	部位	入口配管	出口配管	入口配管	出口配管	フランジ口径	3-1/2B	4B	1-1/4B	1-1/2B	最高使用温度(℃)	300	300	300	300	最高使用圧力(MPa)	4.1	4.1	4.1	4.1	ガスケット	—	—	—	—	ボルト材質	M22	M16	M16	M12	ボルトサイズ	8	8	4	4	内圧P (MPa)	186000	185000	186000	186000	フランジに作用する自重によるモーメント $M^{(1)}(N \cdot mm)$	653400	1107900	62520	138510	フランジに作用する熱伸びによるモーメント $M^{(2)}(N \cdot mm)$	2178900	3893000	2084600	461700	曲げモーメントによる等価応力 $P_{eq}^{(1)}(MPa)$	7.60	9.26	6.87	12.93	内圧Pによる等価応力 $P_{eq}(MPa)$	23.06	24.66	24.03	22.23	G (mm)	123.8	139.2	54.2	62.0	初期断面積(mm^2) $= \pi/4G^2$	12037.96	15090.51	2307.22	20149.07	発生荷重F (N) $= (P + P_{eq}) \cdot A$	276850	369663	55525	85217	ボルト(1本)に生じる荷重 F/n(N)	34607	46245	13881	21304	ボルトの初期締付荷重 $F_0 (N)$	380.13	201.06	201.06	111.10	ボルト(1本)に生じる応力 (MPa)	91.04	230.01	65.04	168.37	ボルトイマジン ε	0.00048	0.00124	0.00037	0.00101	ボルト長さL1 (mm)	85.6	51.0	62.1	28.7	ボルトイマジン $\Delta L_1 (mm)$	0.05	0.06	0.02	0.04	初期締付による応力 (MPa)	94.7	124.9	94.5	132.5	ボルトイマジン ε	0.00051	0.00067	0.00031	0.00071	初期締付によるボルトの伸び量 $\Delta L_0 (mm)$	0.05	0.03	0.03	0.03	荷重によるボルトの伸び量 $\Delta L_1 - \Delta L_0 (mm)$	0.00	0.03	-0.01	0.01	ボルト熱膨張係数 $\alpha_1 (mm/mm^{\circ}C)$	1.300E-05	1.300E-05	1.300E-05	1.300E-05	ボルトフランジ(SUS304)熱膨張係数 $\alpha_2 (mm/mm^{\circ}C)$	1.707E-05	1.707E-05	1.707E-05	1.707E-05	ボルトフランジ(SUS316)熱膨張係数 $\alpha_3 (mm/mm^{\circ}C)$	1.718E-05	1.718E-05	1.718E-05	1.718E-05	ボルトイマジン対象長さL2 (mm)	95.6	51.0	62.1	38.7	ボルトイマジン対象長さL3 (mm)	41.4	23.8	26.9	17.5	ボルトイマジン対象長さL4 (mm)	51.0	24.0	32.0	18.0	ボルトイマジン $\Delta L = \alpha_1 \cdot L_2 (mm)$	0.35	0.19	0.23	0.14	フランジ熱伸び量 $\Delta L_3 = \alpha_2 \cdot L_3 + \alpha_3 \cdot L_4 (mm)$	0.44	0.23	0.28	0.17	トータル締間 $\Delta L = \Delta L_1 + \Delta L_2 + \Delta L_3 (mm)$	-0.10	-0.01	-0.08	-0.02	ガスケットの初期圧縮量 (mm)	—	—	—	—	ガスケットの合計圧縮量 (mm)	—	—	—	—	ガスケットの最大圧縮量 (mm)	—	—	—	—
フランジ口径	10B	12B	14B	8B																																																																																																																																																																																																																																																																																																																																																																																													
評価温度(℃)	300	300	300	300																																																																																																																																																																																																																																																																																																																																																																																													
評価圧力(MPa)	15.4	15.4	15.4	15.4																																																																																																																																																																																																																																																																																																																																																																																													
ガスケット	P2603N	P2603N	P2603N	P2603N																																																																																																																																																																																																																																																																																																																																																																																													
ボルト材質	SCM435	SCM436	SCM435	SCM436																																																																																																																																																																																																																																																																																																																																																																																													
ボルトサイズ	M30	M30	M36	M30																																																																																																																																																																																																																																																																																																																																																																																													
本数	16	20	20	12																																																																																																																																																																																																																																																																																																																																																																																													
E (MPa)	186000	186000	186000	186000																																																																																																																																																																																																																																																																																																																																																																																													
内圧P (MPa)	15.4	15.4	15.4	15.4																																																																																																																																																																																																																																																																																																																																																																																													
フランジに作用する自重によるモーメント $M^{(1)}(N \cdot mm)$	5502510	8709480	12036000	3143790																																																																																																																																																																																																																																																																																																																																																																																													
フランジに作用する熱伸びによるモーメント $M^{(2)}(N \cdot mm)$	32121490	50842520	38718900	18352210																																																																																																																																																																																																																																																																																																																																																																																													
曲げモーメントによる等価応力 $P_{eq}^{(1)}(MPa)$	7.03	6.65	4.37	7.17																																																																																																																																																																																																																																																																																																																																																																																													
内圧Pによる等価応力 $P_{eq}^{(2)}(MPa)$	22.43	22.05	19.77	22.57																																																																																																																																																																																																																																																																																																																																																																																													
G (mm)	301.0	357.3	389.6	248.1																																																																																																																																																																																																																																																																																																																																																																																													
有効断面積(m^2) $=\pi/4G^2$	71167.86	100266.81	119214.14	48344.09																																																																																																																																																																																																																																																																																																																																																																																													
発生荷重(N) $= (P + P_{eq}) \cdot A$	1595818	2210793	2559693	1091069																																																																																																																																																																																																																																																																																																																																																																																													
ボルト(1本)による荷重 $F/n(N)$	99738	110540	117848	90922																																																																																																																																																																																																																																																																																																																																																																																													
ボルト断面積(mm^2)	706.86	706.86	1017.88	706.86																																																																																																																																																																																																																																																																																																																																																																																													
ボルト(1本)に生じる応力(MPa)	141.10	156.38	115.78	128.63																																																																																																																																																																																																																																																																																																																																																																																													
ボルトイマジン	0.00076	0.00084	0.00068	0.00069																																																																																																																																																																																																																																																																																																																																																																																													
ボルト長さL1 (mm)	143.0	149.0	155.6	145.2																																																																																																																																																																																																																																																																																																																																																																																													
荷重によるボルトの伸び量 $\Delta L_1 (mm)$	0.11	0.13	0.10	0.10																																																																																																																																																																																																																																																																																																																																																																																													
初期締付荷重(N)	75000	77000	92000	71000																																																																																																																																																																																																																																																																																																																																																																																													
初期締付による応力(MPa)	106.1	108.9	90.4	100.4																																																																																																																																																																																																																																																																																																																																																																																													
ボルトイマジン ε	0.00057	0.00059	0.00049	0.00064																																																																																																																																																																																																																																																																																																																																																																																													
初期締付によるボルトの伸び量 $\Delta L_0 (mm)$	0.08	0.09	0.08	0.08																																																																																																																																																																																																																																																																																																																																																																																													
荷重によるボルトの伸び量 $\Delta L_1 - \Delta L_0 (mm)$	0.03	0.04	0.02	0.02																																																																																																																																																																																																																																																																																																																																																																																													
ボルト熱膨張係数 $\alpha_1 (mm/mm^{\circ}C)$	1.300E-05	1.300E-05	1.300E-05	1.300E-05																																																																																																																																																																																																																																																																																																																																																																																													
フランジ(SUS304)熱膨張係数 $\alpha_2 (mm/mm^{\circ}C)$	1.707E-05	1.707E-05	1.707E-05	1.707E-05																																																																																																																																																																																																																																																																																																																																																																																													
フランジ(SUS304)熱膨張係数 $\alpha_3 (mm/mm^{\circ}C)$	—	—	—	1.718E-05																																																																																																																																																																																																																																																																																																																																																																																													
ボルト熱伸び対象長さL2 (mm)	143.0	149.0	155.6	145.2																																																																																																																																																																																																																																																																																																																																																																																													
フランジ(SUS304)熱伸び対象長さL3 (mm)	139.8	145.8	152.4	62.0																																																																																																																																																																																																																																																																																																																																																																																													
フランジ(SUS316)熱伸び対象長さL4 (mm)	—	—	—	80.0																																																																																																																																																																																																																																																																																																																																																																																													
ボルト熱伸び量 $\Delta L = \alpha_1 \cdot L_2 (mm)$	0.52	0.54	0.56	0.53																																																																																																																																																																																																																																																																																																																																																																																													
フランジ熱伸び量 $\Delta L_3 = \alpha_2 \cdot L_3 + \alpha_3 \cdot L_4 (mm)$	0.67	0.69	0.73	0.68																																																																																																																																																																																																																																																																																																																																																																																													
伸び量 $\Delta L = \Delta L_1 + \Delta L_2 + \Delta L_3 (mm)$	-0.12	-0.12	-0.14	-0.13																																																																																																																																																																																																																																																																																																																																																																																													
ガスケットの変形量 (mm)	—	—	—	—																																																																																																																																																																																																																																																																																																																																																																																													
ガスケットの初期圧縮量 (mm)	—	—	—	—																																																																																																																																																																																																																																																																																																																																																																																													
ガスケットの合計圧縮量 (mm)	—	—	—	—																																																																																																																																																																																																																																																																																																																																																																																													
ガスケットの最大圧縮量 (mm)	—	—	—	—																																																																																																																																																																																																																																																																																																																																																																																													
部位	入口配管	出口配管	入口配管	出口配管																																																																																																																																																																																																																																																																																																																																																																																													
フランジ口径	3-1/2B	4B	1-1/4B	1-1/2B																																																																																																																																																																																																																																																																																																																																																																																													
最高使用温度(℃)	300	300	300	300																																																																																																																																																																																																																																																																																																																																																																																													
最高使用圧力(MPa)	4.1	4.1	4.1	4.1																																																																																																																																																																																																																																																																																																																																																																																													
ガスケット	—	—	—	—																																																																																																																																																																																																																																																																																																																																																																																													
ボルト材質	M22	M16	M16	M12																																																																																																																																																																																																																																																																																																																																																																																													
ボルトサイズ	8	8	4	4																																																																																																																																																																																																																																																																																																																																																																																													
内圧P (MPa)	186000	185000	186000	186000																																																																																																																																																																																																																																																																																																																																																																																													
フランジに作用する自重によるモーメント $M^{(1)}(N \cdot mm)$	653400	1107900	62520	138510																																																																																																																																																																																																																																																																																																																																																																																													
フランジに作用する熱伸びによるモーメント $M^{(2)}(N \cdot mm)$	2178900	3893000	2084600	461700																																																																																																																																																																																																																																																																																																																																																																																													
曲げモーメントによる等価応力 $P_{eq}^{(1)}(MPa)$	7.60	9.26	6.87	12.93																																																																																																																																																																																																																																																																																																																																																																																													
内圧Pによる等価応力 $P_{eq}(MPa)$	23.06	24.66	24.03	22.23																																																																																																																																																																																																																																																																																																																																																																																													
G (mm)	123.8	139.2	54.2	62.0																																																																																																																																																																																																																																																																																																																																																																																													
初期断面積(mm^2) $= \pi/4G^2$	12037.96	15090.51	2307.22	20149.07																																																																																																																																																																																																																																																																																																																																																																																													
発生荷重F (N) $= (P + P_{eq}) \cdot A$	276850	369663	55525	85217																																																																																																																																																																																																																																																																																																																																																																																													
ボルト(1本)に生じる荷重 F/n(N)	34607	46245	13881	21304																																																																																																																																																																																																																																																																																																																																																																																													
ボルトの初期締付荷重 $F_0 (N)$	380.13	201.06	201.06	111.10																																																																																																																																																																																																																																																																																																																																																																																													
ボルト(1本)に生じる応力 (MPa)	91.04	230.01	65.04	168.37																																																																																																																																																																																																																																																																																																																																																																																													
ボルトイマジン ε	0.00048	0.00124	0.00037	0.00101																																																																																																																																																																																																																																																																																																																																																																																													
ボルト長さL1 (mm)	85.6	51.0	62.1	28.7																																																																																																																																																																																																																																																																																																																																																																																													
ボルトイマジン $\Delta L_1 (mm)$	0.05	0.06	0.02	0.04																																																																																																																																																																																																																																																																																																																																																																																													
初期締付による応力 (MPa)	94.7	124.9	94.5	132.5																																																																																																																																																																																																																																																																																																																																																																																													
ボルトイマジン ε	0.00051	0.00067	0.00031	0.00071																																																																																																																																																																																																																																																																																																																																																																																													
初期締付によるボルトの伸び量 $\Delta L_0 (mm)$	0.05	0.03	0.03	0.03																																																																																																																																																																																																																																																																																																																																																																																													
荷重によるボルトの伸び量 $\Delta L_1 - \Delta L_0 (mm)$	0.00	0.03	-0.01	0.01																																																																																																																																																																																																																																																																																																																																																																																													
ボルト熱膨張係数 $\alpha_1 (mm/mm^{\circ}C)$	1.300E-05	1.300E-05	1.300E-05	1.300E-05																																																																																																																																																																																																																																																																																																																																																																																													
ボルトフランジ(SUS304)熱膨張係数 $\alpha_2 (mm/mm^{\circ}C)$	1.707E-05	1.707E-05	1.707E-05	1.707E-05																																																																																																																																																																																																																																																																																																																																																																																													
ボルトフランジ(SUS316)熱膨張係数 $\alpha_3 (mm/mm^{\circ}C)$	1.718E-05	1.718E-05	1.718E-05	1.718E-05																																																																																																																																																																																																																																																																																																																																																																																													
ボルトイマジン対象長さL2 (mm)	95.6	51.0	62.1	38.7																																																																																																																																																																																																																																																																																																																																																																																													
ボルトイマジン対象長さL3 (mm)	41.4	23.8	26.9	17.5																																																																																																																																																																																																																																																																																																																																																																																													
ボルトイマジン対象長さL4 (mm)	51.0	24.0	32.0	18.0																																																																																																																																																																																																																																																																																																																																																																																													
ボルトイマジン $\Delta L = \alpha_1 \cdot L_2 (mm)$	0.35	0.19	0.23	0.14																																																																																																																																																																																																																																																																																																																																																																																													
フランジ熱伸び量 $\Delta L_3 = \alpha_2 \cdot L_3 + \alpha_3 \cdot L_4 (mm)$	0.44	0.23	0.28	0.17																																																																																																																																																																																																																																																																																																																																																																																													
トータル締間 $\Delta L = \Delta L_1 + \Delta L_2 + \Delta L_3 (mm)$	-0.10	-0.01	-0.08	-0.02																																																																																																																																																																																																																																																																																																																																																																																													
ガスケットの初期圧縮量 (mm)	—	—	—	—																																																																																																																																																																																																																																																																																																																																																																																													
ガスケットの合計圧縮量 (mm)	—	—	—	—																																																																																																																																																																																																																																																																																																																																																																																													
ガスケットの最大圧縮量 (mm)	—	—	—	—																																																																																																																																																																																																																																																																																																																																																																																													

枠囲みの範囲は機密に係る事項ですので公開することはできません。

泊発電所 3号炉 有効性評価 比較表

7.1.8 格納容器バイパス (添付資料 7.1.8.4 インターフェイスシステム LOCA 発生時の余熱除去系統の破断箇所及び破断面積について)

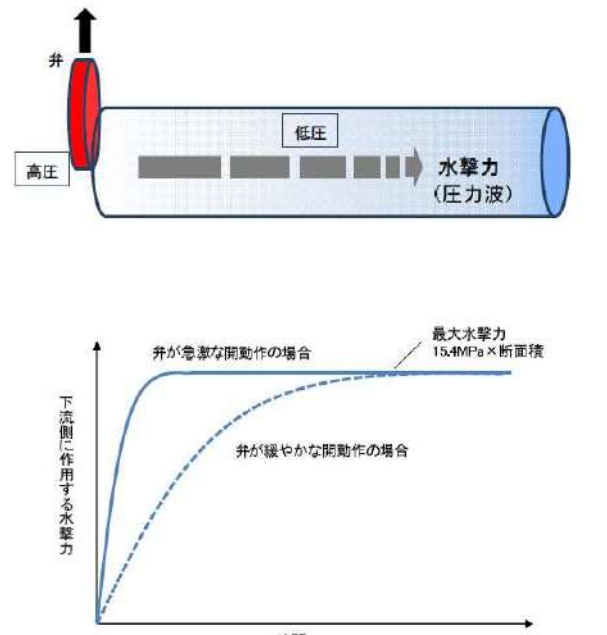
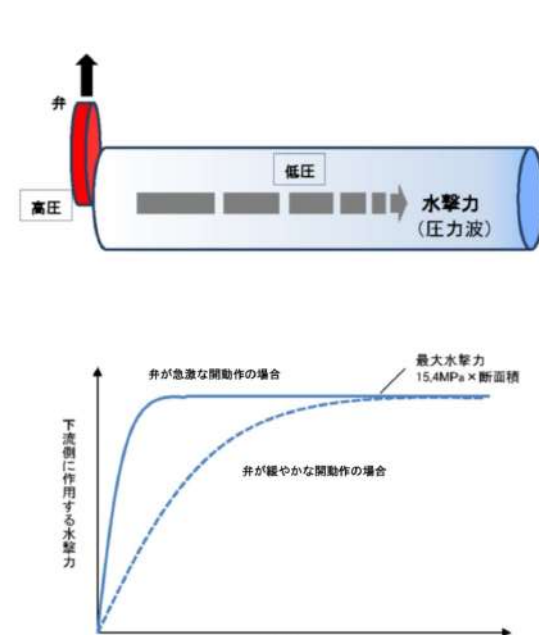
赤字 : 設備、運用又は体制の相違（設計方針の相違）
青字 : 記載箇所又は記載内容の相違（記載方針の相違）
緑字 : 記載表現、設備名称の相違（実質的な相違なし）

大飯発電所3／4号炉	泊発電所3号炉	相違理由																																																																																																																																																																																																																																					
<p>(注1) 既工事計画認可申請書分割第3次申請添付資料5-2「配管の強度計算書(余熱除去設備)」の自重による一次応力より算出。14Bはブロック①、12B、10B、8Bはブロック③の自重による応力の最大値をSI単位に換算した値に断面係数を乗じて求めた値。</p> <p>(注2) 既工事計画認可申請書分割第3次申請添付資料5-2「配管の強度計算書(余熱除去設備)」の二次応力より算出。工認資料には応力の高い箇所15箇所が記載されているが、フランジ部はその15箇所には該当していないため、フランジ部の二次応力(熱応力)は工認記載値の最小値(但し、一次応力が最大の理由で記載されている1箇所の二次応力の値は除く)と同等であると仮定し、その値を(300-21)/(177-21)倍し、SI単位に換算した値に断面係数を乗じて求めた値。</p> <p>(注3) JSME 設計・建設規格による機械的荷重による曲げモーメントを等価圧力に換算する式 $P_{eq} = 16M / (\pi G^3)$により算出。今回は、熱伸びによる曲げモーメントも本計算式により等価圧力換算している。</p> <p>表4 大飯3/4号炉 フランジ部評価結果 (3/3)</p> <table border="1"> <thead> <tr> <th rowspan="2">部位</th> <th colspan="2">3/4Y-RH-004A, B</th> <th colspan="2">3/4Y-RH-042A, B</th> </tr> <tr> <th>入口配管</th> <th>出口配管</th> <th>入口配管</th> <th>出口配管</th> </tr> </thead> <tbody> <tr> <td>フランジ口径</td> <td>4B</td> <td>6B</td> <td>1B</td> <td>1-1/2B</td> </tr> <tr> <td>評価温度(℃)</td> <td>300</td> <td>300</td> <td>300</td> <td>300</td> </tr> <tr> <td>評価圧力(MPa)</td> <td>15.4</td> <td>15.4</td> <td>15.4</td> <td>15.4</td> </tr> <tr> <td>ガスケット</td> <td>P2603N</td> <td>P2603N</td> <td>P2603N</td> <td>P2603N</td> </tr> <tr> <td>ボルト材質</td> <td>SCM435</td> <td>SCM435</td> <td>SCM435</td> <td>SCM435</td> </tr> <tr> <td>ボルト仕様</td> <td>ボルトサイズ M24</td> <td>M20</td> <td>M16</td> <td>M12</td> </tr> <tr> <td>本数</td> <td>8</td> <td>8</td> <td>4</td> <td>4</td> </tr> <tr> <td>E (GPa)</td> <td>186000</td> <td>186000</td> <td>186000</td> <td>186000</td> </tr> <tr> <td>内圧 P (MPa)</td> <td>15.4</td> <td>15.4</td> <td>15.4</td> <td>15.4</td> </tr> <tr> <td>フランジに作用する自重曲げモーメント M^{ext} (N·mm)</td> <td colspan="4" style="background-color: black; color: black;">■■■■■</td></tr> <tr> <td>フランジに作用する熱伸び曲げモーメント M^{ext} (N·mm)</td> <td colspan="4" style="background-color: black; color: black;">■■■■■</td></tr> <tr> <td>曲げモーメントによる等価圧力 P_{eq}^{ext} (MPa)</td> <td colspan="4" style="background-color: black; color: black;">■■■■■</td></tr> <tr> <td>内圧P等価圧力 P_{eq} (MPa)</td> <td>31.79</td> <td>23.94</td> <td>22.12</td> <td>28.26</td> </tr> <tr> <td>G (GPa)</td> <td>128.5</td> <td>196.5</td> <td>59.0</td> <td>62.0</td> </tr> <tr> <td>有効断面積 (mm²) A = $\pi / 4 G^2$</td> <td>12968.69</td> <td>3025.99</td> <td>2733.97</td> <td>3014.29</td> </tr> <tr> <td>発生荷重F (N) F = (P + P_{eq}) * A</td> <td>412291</td> <td>725909</td> <td>69471</td> <td>85173</td> </tr> <tr> <td>ボルト(1本)に生じる荷重F_{b1} (N)</td> <td>51536</td> <td>90739</td> <td>15118</td> <td>21293</td> </tr> <tr> <td>ボルト断面積A_{b1} (mm²)</td> <td>452.39</td> <td>314.16</td> <td>201.06</td> <td>113.10</td> </tr> <tr> <td>ボルト(1本)に生じる応力 (MPa)</td> <td>113.92</td> <td>288.83</td> <td>75.19</td> <td>188.27</td> </tr> <tr> <td>ボルトひずみε_{b1}</td> <td>0.000061</td> <td>0.00155</td> <td>0.00040</td> <td>0.00101</td> </tr> <tr> <td>ボルト長さL1 (mm)</td> <td>95.2</td> <td>54.0</td> <td>57.2</td> <td>38.2</td> </tr> <tr> <td>荷重によるボルトの伸び量ΔL1 (mm)</td> <td>0.06</td> <td>0.08</td> <td>0.02</td> <td>0.04</td> </tr> <tr> <td>初期締付荷重 (N)</td> <td>36000</td> <td>39000</td> <td>29000</td> <td>14000</td> </tr> <tr> <td>初期締付による応力 (MPa)</td> <td>79.6</td> <td>124.1</td> <td>99.5</td> <td>123.8</td> </tr> <tr> <td>ボルトイズミε₀</td> <td>0.000043</td> <td>0.00067</td> <td>0.00053</td> <td>0.00067</td> </tr> <tr> <td>初期締付によるボルトの伸び量ΔL0 (mm)</td> <td>0.04</td> <td>0.04</td> <td>0.03</td> <td>0.03</td> </tr> <tr> <td>荷重によるボルトの伸び量ΔL1 - ΔL0 (mm)</td> <td>0.02</td> <td>0.05</td> <td>-0.01</td> <td>0.01</td> </tr> <tr> <td>ボルト熱伸び係数α (1/mm°C)</td> <td>1.300E-05</td> <td>1.300E-05</td> <td>1.300E-05</td> <td>1.300E-05</td> </tr> <tr> <td>管側フランジ (SUS304) 热伸び係数α₂ (mm/mm°C)</td> <td>1.707E-05</td> <td>1.707E-05</td> <td>1.707E-05</td> <td>1.707E-05</td> </tr> <tr> <td>非拘束フランジ (SUS316) 热伸び係数α₃ (mm/mm°C)</td> <td>1.718E-05</td> <td>1.718E-05</td> <td>1.718E-05</td> <td>1.718E-05</td> </tr> <tr> <td>ボルト熱伸び対象長さL2 (mm)</td> <td>95.2</td> <td>54.0</td> <td>57.2</td> <td>38.2</td> </tr> <tr> <td>管側フランジ熱伸び対象長さL3 (mm)</td> <td>38.0</td> <td>25.4</td> <td>22.0</td> <td>17.5</td> </tr> <tr> <td>非拘束フランジ熱伸び対象長さL4 (mm)</td> <td>54.0</td> <td>25.4</td> <td>32.0</td> <td>17.5</td> </tr> <tr> <td>ボルト熱伸び量ΔL2 = α₁ * L₂ (mm)</td> <td>0.35</td> <td>0.20</td> <td>0.21</td> <td>0.14</td> </tr> <tr> <td>フランジ熱伸び量ΔL3 = α₂ * L₃ + α₃ * L₄ (mm)</td> <td>0.44</td> <td>0.24</td> <td>0.26</td> <td>0.17</td> </tr> <tr> <td>伸び量ΔL1 - ΔL0 + ΔL2 - ΔL3 (mm)</td> <td>-0.08</td> <td>0.001</td> <td>-0.06</td> <td>-0.02</td> </tr> <tr> <td>ガスケットの厚元板 (mm)</td> <td colspan="4" style="background-color: black; color: black;">■■■■■</td></tr> <tr> <td>ガスケットの初期圧縮量 (mm)</td> <td colspan="4" style="background-color: black; color: black;">■■■■■</td></tr> <tr> <td>ガスケットの合計圧縮量 (mm)</td> <td colspan="4" style="background-color: black; color: black;">■■■■■</td></tr> <tr> <td>ガスケットの最大圧縮量 (mm)</td> <td colspan="4" style="background-color: black; color: black;">■■■■■</td></tr> <tr> <td>(注1)</td> <td colspan="4" style="background-color: black; color: black;">■■■■■</td></tr> <tr> <td>(注2)</td> <td colspan="4" style="background-color: black; color: black;">■■■■■</td></tr> <tr> <td>(注3) JSME 設計・建設規格による機械的荷重による曲げモーメントを等価圧力に換算する式 $P_{eq} = 16M / (\pi G^3)$により算出。今回は、熱伸びによる曲げモーメントも本計算式により等価圧力換算している。</td> <td colspan="4" style="background-color: black; color: black;">■■■■■</td></tr> <tr> <td>枠囲みの範囲は機密に係る事項ですので公開することはできません。</td> <td colspan="4" style="background-color: black; color: black;">■■■■■</td></tr> </tbody> </table>	部位	3/4Y-RH-004A, B		3/4Y-RH-042A, B		入口配管	出口配管	入口配管	出口配管	フランジ口径	4B	6B	1B	1-1/2B	評価温度(℃)	300	300	300	300	評価圧力(MPa)	15.4	15.4	15.4	15.4	ガスケット	P2603N	P2603N	P2603N	P2603N	ボルト材質	SCM435	SCM435	SCM435	SCM435	ボルト仕様	ボルトサイズ M24	M20	M16	M12	本数	8	8	4	4	E (GPa)	186000	186000	186000	186000	内圧 P (MPa)	15.4	15.4	15.4	15.4	フランジに作用する自重曲げモーメント M^{ext} (N·mm)	■■■■■				フランジに作用する熱伸び曲げモーメント M^{ext} (N·mm)	■■■■■				曲げモーメントによる等価圧力 P_{eq}^{ext} (MPa)	■■■■■				内圧P等価圧力 P_{eq} (MPa)	31.79	23.94	22.12	28.26	G (GPa)	128.5	196.5	59.0	62.0	有効断面積 (mm ²) A = $\pi / 4 G^2$	12968.69	3025.99	2733.97	3014.29	発生荷重F (N) F = (P + P _{eq}) * A	412291	725909	69471	85173	ボルト(1本)に生じる荷重F _{b1} (N)	51536	90739	15118	21293	ボルト断面積A _{b1} (mm ²)	452.39	314.16	201.06	113.10	ボルト(1本)に生じる応力 (MPa)	113.92	288.83	75.19	188.27	ボルトひずみε _{b1}	0.000061	0.00155	0.00040	0.00101	ボルト長さL1 (mm)	95.2	54.0	57.2	38.2	荷重によるボルトの伸び量ΔL1 (mm)	0.06	0.08	0.02	0.04	初期締付荷重 (N)	36000	39000	29000	14000	初期締付による応力 (MPa)	79.6	124.1	99.5	123.8	ボルトイズミε ₀	0.000043	0.00067	0.00053	0.00067	初期締付によるボルトの伸び量ΔL0 (mm)	0.04	0.04	0.03	0.03	荷重によるボルトの伸び量ΔL1 - ΔL0 (mm)	0.02	0.05	-0.01	0.01	ボルト熱伸び係数α (1/mm°C)	1.300E-05	1.300E-05	1.300E-05	1.300E-05	管側フランジ (SUS304) 热伸び係数α ₂ (mm/mm°C)	1.707E-05	1.707E-05	1.707E-05	1.707E-05	非拘束フランジ (SUS316) 热伸び係数α ₃ (mm/mm°C)	1.718E-05	1.718E-05	1.718E-05	1.718E-05	ボルト熱伸び対象長さL2 (mm)	95.2	54.0	57.2	38.2	管側フランジ熱伸び対象長さL3 (mm)	38.0	25.4	22.0	17.5	非拘束フランジ熱伸び対象長さL4 (mm)	54.0	25.4	32.0	17.5	ボルト熱伸び量ΔL2 = α ₁ * L ₂ (mm)	0.35	0.20	0.21	0.14	フランジ熱伸び量ΔL3 = α ₂ * L ₃ + α ₃ * L ₄ (mm)	0.44	0.24	0.26	0.17	伸び量ΔL1 - ΔL0 + ΔL2 - ΔL3 (mm)	-0.08	0.001	-0.06	-0.02	ガスケットの厚元板 (mm)	■■■■■				ガスケットの初期圧縮量 (mm)	■■■■■				ガスケットの合計圧縮量 (mm)	■■■■■				ガスケットの最大圧縮量 (mm)	■■■■■				(注1)	■■■■■				(注2)	■■■■■				(注3) JSME 設計・建設規格による機械的荷重による曲げモーメントを等価圧力に換算する式 $P_{eq} = 16M / (\pi G^3)$ により算出。今回は、熱伸びによる曲げモーメントも本計算式により等価圧力換算している。	■■■■■				枠囲みの範囲は機密に係る事項ですので公開することはできません。	■■■■■					
部位		3/4Y-RH-004A, B		3/4Y-RH-042A, B																																																																																																																																																																																																																																			
	入口配管	出口配管	入口配管	出口配管																																																																																																																																																																																																																																			
フランジ口径	4B	6B	1B	1-1/2B																																																																																																																																																																																																																																			
評価温度(℃)	300	300	300	300																																																																																																																																																																																																																																			
評価圧力(MPa)	15.4	15.4	15.4	15.4																																																																																																																																																																																																																																			
ガスケット	P2603N	P2603N	P2603N	P2603N																																																																																																																																																																																																																																			
ボルト材質	SCM435	SCM435	SCM435	SCM435																																																																																																																																																																																																																																			
ボルト仕様	ボルトサイズ M24	M20	M16	M12																																																																																																																																																																																																																																			
本数	8	8	4	4																																																																																																																																																																																																																																			
E (GPa)	186000	186000	186000	186000																																																																																																																																																																																																																																			
内圧 P (MPa)	15.4	15.4	15.4	15.4																																																																																																																																																																																																																																			
フランジに作用する自重曲げモーメント M^{ext} (N·mm)	■■■■■																																																																																																																																																																																																																																						
フランジに作用する熱伸び曲げモーメント M^{ext} (N·mm)	■■■■■																																																																																																																																																																																																																																						
曲げモーメントによる等価圧力 P_{eq}^{ext} (MPa)	■■■■■																																																																																																																																																																																																																																						
内圧P等価圧力 P_{eq} (MPa)	31.79	23.94	22.12	28.26																																																																																																																																																																																																																																			
G (GPa)	128.5	196.5	59.0	62.0																																																																																																																																																																																																																																			
有効断面積 (mm ²) A = $\pi / 4 G^2$	12968.69	3025.99	2733.97	3014.29																																																																																																																																																																																																																																			
発生荷重F (N) F = (P + P _{eq}) * A	412291	725909	69471	85173																																																																																																																																																																																																																																			
ボルト(1本)に生じる荷重F _{b1} (N)	51536	90739	15118	21293																																																																																																																																																																																																																																			
ボルト断面積A _{b1} (mm ²)	452.39	314.16	201.06	113.10																																																																																																																																																																																																																																			
ボルト(1本)に生じる応力 (MPa)	113.92	288.83	75.19	188.27																																																																																																																																																																																																																																			
ボルトひずみε _{b1}	0.000061	0.00155	0.00040	0.00101																																																																																																																																																																																																																																			
ボルト長さL1 (mm)	95.2	54.0	57.2	38.2																																																																																																																																																																																																																																			
荷重によるボルトの伸び量ΔL1 (mm)	0.06	0.08	0.02	0.04																																																																																																																																																																																																																																			
初期締付荷重 (N)	36000	39000	29000	14000																																																																																																																																																																																																																																			
初期締付による応力 (MPa)	79.6	124.1	99.5	123.8																																																																																																																																																																																																																																			
ボルトイズミε ₀	0.000043	0.00067	0.00053	0.00067																																																																																																																																																																																																																																			
初期締付によるボルトの伸び量ΔL0 (mm)	0.04	0.04	0.03	0.03																																																																																																																																																																																																																																			
荷重によるボルトの伸び量ΔL1 - ΔL0 (mm)	0.02	0.05	-0.01	0.01																																																																																																																																																																																																																																			
ボルト熱伸び係数α (1/mm°C)	1.300E-05	1.300E-05	1.300E-05	1.300E-05																																																																																																																																																																																																																																			
管側フランジ (SUS304) 热伸び係数α ₂ (mm/mm°C)	1.707E-05	1.707E-05	1.707E-05	1.707E-05																																																																																																																																																																																																																																			
非拘束フランジ (SUS316) 热伸び係数α ₃ (mm/mm°C)	1.718E-05	1.718E-05	1.718E-05	1.718E-05																																																																																																																																																																																																																																			
ボルト熱伸び対象長さL2 (mm)	95.2	54.0	57.2	38.2																																																																																																																																																																																																																																			
管側フランジ熱伸び対象長さL3 (mm)	38.0	25.4	22.0	17.5																																																																																																																																																																																																																																			
非拘束フランジ熱伸び対象長さL4 (mm)	54.0	25.4	32.0	17.5																																																																																																																																																																																																																																			
ボルト熱伸び量ΔL2 = α ₁ * L ₂ (mm)	0.35	0.20	0.21	0.14																																																																																																																																																																																																																																			
フランジ熱伸び量ΔL3 = α ₂ * L ₃ + α ₃ * L ₄ (mm)	0.44	0.24	0.26	0.17																																																																																																																																																																																																																																			
伸び量ΔL1 - ΔL0 + ΔL2 - ΔL3 (mm)	-0.08	0.001	-0.06	-0.02																																																																																																																																																																																																																																			
ガスケットの厚元板 (mm)	■■■■■																																																																																																																																																																																																																																						
ガスケットの初期圧縮量 (mm)	■■■■■																																																																																																																																																																																																																																						
ガスケットの合計圧縮量 (mm)	■■■■■																																																																																																																																																																																																																																						
ガスケットの最大圧縮量 (mm)	■■■■■																																																																																																																																																																																																																																						
(注1)	■■■■■																																																																																																																																																																																																																																						
(注2)	■■■■■																																																																																																																																																																																																																																						
(注3) JSME 設計・建設規格による機械的荷重による曲げモーメントを等価圧力に換算する式 $P_{eq} = 16M / (\pi G^3)$ により算出。今回は、熱伸びによる曲げモーメントも本計算式により等価圧力換算している。	■■■■■																																																																																																																																																																																																																																						
枠囲みの範囲は機密に係る事項ですので公開することはできません。	■■■■■																																																																																																																																																																																																																																						

泊発電所 3号炉 有効性評価 比較表

7.1.8 格納容器バイパス (添付資料 7.1.8.4 インターフェイスシステム LOCA 発生時の余熱除去系統の破断箇所及び破断面積について)

赤字 : 設備、運用又は体制の相違 (設計方針の相違)
青字 : 記載箇所又は記載内容の相違 (記載方針の相違)
緑字 : 記載表現、設備名称の相違 (実質的な相違なし)

大飯発電所3／4号炉	泊発電所3号炉	相違理由
<p style="text-align: center;">参考資料－1</p> <p>水撃力（圧力波）と圧力波の共振について</p> <p>一般に、大きな圧力差のある系統間が隔離弁の誤開放等により突然連通した場合、低圧側の系統に大きな水撃力（水撃力＝圧力×断面積）が発生することが知られている。また、弁開放により発生した高圧の圧力は管路内を圧力波として伝播する。図1に弁開放時間と水撃力（圧力波）の関係を示す。図1に示されるように、上流側の隔離弁が緩やかな開動作であれば、下流側に伝わる水撃力の増加も緩やかに上昇する。一方、急激な開動作の場合は、短時間で大きな水撃力が下流側に伝播する。</p>  <p>図1 弁開放時間と水撃力（圧力波）の関係</p> <p>さらに、弁の開放時間が短い場合、管路内を伝播する入射方向の圧力波と反射方向の圧力波が衝突し、共振により管路内の圧力波が増幅し、大きな水撃力が起こる場合がある。図2に弁の開放時間と圧力波の関係を示す。</p>	<p style="text-align: center;">参考資料－1</p> <p>水撃力（圧力波）と圧力波の共振について</p> <p>一般に、大きな圧力差のある系統間が隔離弁の誤開放等により突然連通した場合、低圧側の系統に大きな水撃力（水撃力＝圧力×断面積）が発生することが知られている。また、弁開放により発生した高圧の圧力は管路内を圧力波として伝播する。図1に弁開放時間と水撃力（圧力波）の関係を示す。図1に示されるように、上流側の隔離弁が緩やかな開動作であれば、下流側に伝わる水撃力の増加も緩やかに上昇する。一方、急激な開動作の場合は、短時間で大きな水撃力が下流側に伝播する。</p>  <p>図1 弁開放時間と水撃力（圧力波）の関係</p> <p>さらに、弁の開放時間が短い場合、管路内を伝播する入射方向の圧力波と反射方向の圧力波が衝突し、共振により管路内の圧力波が増幅し、大きな水撃力が起こる場合がある。図2に弁の開放時間と圧力波の関係を示す。</p>	

泊発電所 3号炉 有効性評価 比較表

7.1.8 格納容器バイパス (添付資料 7.1.8.4 インターフェイスシステム LOCA 発生時の余熱除去系統の破断箇所及び破断面積について)

赤字 : 設備、運用又は体制の相違 (設計方針の相違)
青字 : 記載箇所又は記載内容の相違 (記載方針の相違)
緑字 : 記載表現、設備名称の相違 (実質的な相違なし)

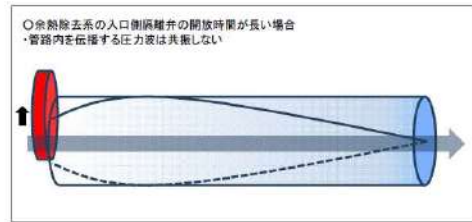
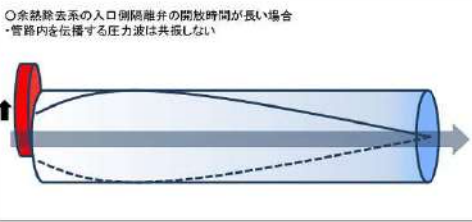
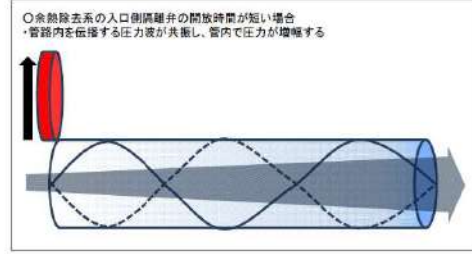
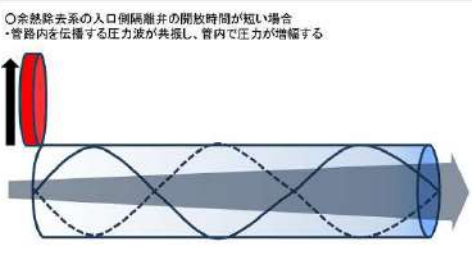
大飯発電所3／4号炉	泊発電所3号炉	相違理由
 <p>○余熱除去系の入口側隔離弁の開放時間が長い場合 ・管路内を伝播する圧力波は共振しない</p>	 <p>○余熱除去系の入口側隔離弁の開放時間が長い場合 ・管路内を伝播する圧力波は共振しない</p>	
 <p>○余熱除去系の入口側隔離弁の開放時間が短い場合 ・管路内を伝播する圧力波が共振し、管内圧力が増幅する</p>	 <p>○余熱除去系の入口側隔離弁の開放時間が短い場合 ・管路内を伝播する圧力波が共振し、管内圧力が増幅する</p>	

図2 弁の開放時間と圧力波の関係

圧力波は音速で管内を伝播することから、低圧側の系統に気相領域が存在する場合には伝播速度が遅くなり、上流側隔離弁が緩やかな開動作であった場合でも圧力波の共振が発生し、大きな水撃力が起こる場合がある。しかし、余熱除去系統は満水状態で運転待機状態にあるため、その懸念はない。

図3に気相領域がある場合の水撃力（圧力波）の伝播を示す。

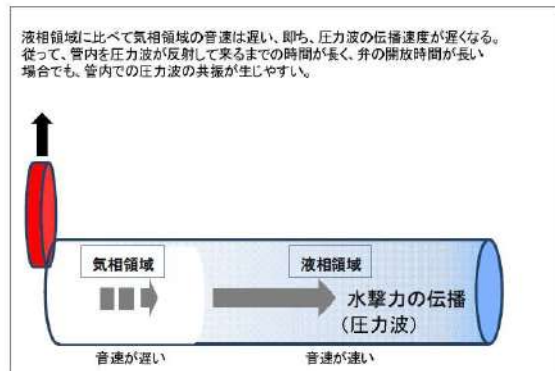


図3 気相領域がある場合の水撃力（圧力波）の伝播

圧力波は音速で管内を伝播することから、低圧側の系統に気相領域が存在する場合には伝播速度が遅くなり、上流側隔離弁が緩やかな開動作であった場合でも圧力波の共振が発生し、大きな水撃力が起こる場合がある。しかし、余熱除去系統は満水状態で運転待機状態にあるため、その懸念はない。

図3に気相領域がある場合の水撃力（圧力波）の伝播を示す。

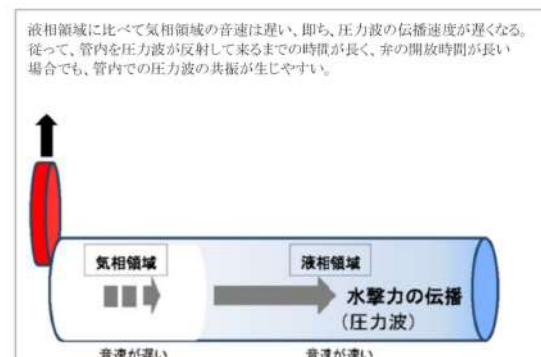


図3 気相領域がある場合の水撃力（圧力波）の伝播

泊発電所 3号炉 有効性評価 比較表

7.1.8 格納容器バイパス (添付資料 7.1.8.4 インターフェイスシステム LOCA 発生時の余熱除去系統の破断箇所及び破断面積について)

赤字 : 設備、運用又は体制の相違（設計方針の相違）
 青字 : 記載箇所又は記載内容の相違（記載方針の相違）
 緑字 : 記載表現、設備名称の相違（実質的な相違なし）

大飯発電所3／4号炉	泊発電所 3号炉	相違理由
<p style="text-align: center;">参考資料－2</p> <p>「(財)原子力発電技術機構原子力安全解析所「レベル2 P S A手法の整備に関する報告書=PWRプラント=」における ISLOCA 時の漏えい評価の概要</p> <p>1. 余熱除去系統配管</p> <p>出力運転時に余熱除去系統の高温側格納容器隔離弁が開放された場合を想定し、MELCOR コードによる流体応答計算より、余熱除去系統配管の最大圧力は全ての余熱除去系統の逃がし弁が不作動のケースにおいて約 32MPa の配管内最高圧力が得られている。</p> <p>また、余熱除去系統配管の動的構造計算より、配管の最大塑性歪みは、余熱除去冷却器出口配管で発生し、全ての余熱除去系統の逃がし弁が不作動のケースで約 0.16 の最大塑性歪みが得られている。配管である 304 ステンレス鋼管の破断歪みは 0.19 となることから、格納容器隔離弁の瞬時開放（破損）で余熱除去系統の低圧配管が延性破壊する可能性は小さく、“破断”はしないとしている。</p> <p>2. 余熱除去系統の機器</p> <p>余熱除去系統の低圧配管は延性破壊する可能性は低いため、余熱除去系統の低圧部から補助建屋への 1 次冷却材の流出経路として、余熱除去系統の低圧部の弁、余熱除去冷却器及び余熱除去ポンプからの漏えいを想定する。</p> <p>当該報告書では、以下の漏えい面積を同定している。</p> <ul style="list-style-type: none"> ・余熱除去ポンプ : 0.05inch² ・余熱除去冷却器 : 0.39inch² ・余熱除去系統の弁 (21弁) : 0.55inch² <p>上記より、余熱除去系統全体の漏えい面積は、約 0.99inch² (等価直径約 1.1inch) としている。</p>	<p style="text-align: center;">参考資料－2</p> <p>「(財)原子力発電技術機構原子力安全解析所「レベル2 P S A手法の整備に関する報告書=PWRプラント=」における ISLOCA 時の漏えい評価の概要</p> <p>1. 余熱除去系統配管</p> <p>出力運転時に余熱除去系統の高温側格納容器隔離弁が開放された場合を想定し、MELCOR コードによる流体応答計算より、余熱除去系統配管の最大圧力は全ての余熱除去系統の逃がし弁が不作動のケースにおいて約 32MPa の配管内最高圧力が得られている。</p> <p>また、余熱除去系統配管の動的構造計算より、配管の最大塑性歪みは、余熱除去冷却器出口配管で発生し、全ての余熱除去系統の逃がし弁が不作動のケースで約 0.16 の最大塑性歪みが得られている。配管である 304 ステンレス鋼管の破断歪みは 0.19 となることから、格納容器隔離弁の瞬時開放（破損）で余熱除去系統の低圧配管が延性破壊する可能性は小さく、“破断”はしないとしている。</p> <p>2. 余熱除去系統の機器</p> <p>余熱除去系統の低圧配管は延性破壊する可能性は低いため、余熱除去系統の低圧部から補助建屋への 1 次冷却材の流出経路として、余熱除去系統の低圧部の弁、余熱除去冷却器及び余熱除去ポンプからの漏えいを想定する。</p> <p>当該報告書では、以下の漏えい面積を同定している。</p> <ul style="list-style-type: none"> ・余熱除去ポンプ : 0.05inch² ・余熱除去冷却器 : 0.39inch² ・余熱除去系統の弁 (21弁) : 0.55inch² <p>上記より、余熱除去系統全体の漏えい面積は、約 0.99inch² (等価直径約 1.1inch) としている。</p>	

泊発電所3号炉 有効性評価 比較表

7.1.8 格納容器バイパス (添付資料 7.1.8.4 インターフェイスシステム LOCA 発生時の余熱除去系統の破断箇所及び破断面積について)

赤字 : 設備、運用又は体制の相違（設計方針の相違）
青字 : 記載箇所又は記載内容の相違（記載方針の相違）
緑字 : 記載表現、設備名称の相違（実質的な相違なし）

大飯発電所3／4号炉	泊発電所3号炉	相違理由																		
<p style="text-align: center;">参考資料－3</p> <p>「NUREG/CR-5744 "Assessment of ISLOCA Risk-Methodology and Application to a Westinghouse Four-Loop Ice Condenser Plant"」における ISLOCA 時の漏えい評価の概要</p> <p>1. 热流動解析</p> <ul style="list-style-type: none"> RELAP5 を使い、余熱除去系統の热流動解析を実施している。 逃がし弁の開放時間は 1 秒、電動弁の開放時間は 10 秒とする。また、故障した逆止弁は 10 秒で開くとした。この仮定は B&W の ISLOCA 研究を実施するために LER データをレビューした結果に基づいており、このレビューで逆止弁の瞬間的な故障は見つかっていないとしている。 余熱除去系統のコールドレグ側の隔離故障を想定している。 余熱除去系統の圧力は、逆止弁が 10 秒オーダーで開く場合は、1 次冷却材系統の定常圧力が最大圧力となる。 <p>2. 機器の損傷解析</p> <ul style="list-style-type: none"> 動的影響の確率は無視できるため、準静的に圧力が加わる条件で評価を行っており、下表に示す結果を得ている。 <table border="1"> <thead> <tr> <th>部 位</th><th>評価結果</th></tr> </thead> <tbody> <tr> <td>配管</td><td> <ul style="list-style-type: none"> 管の腐食による減肉の影響、温度を考慮しているが、管が破損することはない。 フランジ部からの漏えいを検討しているが、漏えい量は mg/sec オーダーである。 </td></tr> <tr> <td>弁</td><td> <ul style="list-style-type: none"> 弁箱の肉厚に対し隣接する配管の肉厚のほうが薄いため、先に配管が破損する。 グランド部からの漏えいは無視できる。 余熱除去系統内の 8 個の弁の内、2 個の弁については、ポンネットボルトによる接合部の耐圧性能が 2,485psig (約 17.1MPa) を下回るため、ポンネットボルトによる接合部から漏えいが発生する。(面積 : 0.04inch²) </td></tr> <tr> <td>ポンプ</td><td> <ul style="list-style-type: none"> ケーシング、ケーシングの接合部、メカニカルシール及び冷却水配管の耐圧性能が 2500psig (約 17.2MPa) を上回るため漏えいは発生しない。 </td></tr> <tr> <td>余熱除去 冷却器</td><td> <ul style="list-style-type: none"> 胴板に破損圧力が加われば無制限な漏えいが発生する。 鏡板に非対称な座屈圧力が加われば漏えいが発生する。 (面積 : 0.7 inch²) 鏡板に塑性破損するような座屈圧力が加われば無制限な漏えいが発生する。 </td></tr> </tbody> </table> <p style="text-align: center;">参考資料－3</p> <p>「NUREG/CR-5744 "Assessment of ISLOCA Risk-Methodology and Application to a Westinghouse Four-Loop Ice Condenser Plant"」における ISLOCA 時の漏えい評価の概要</p> <p>1. 热流動解析</p> <ul style="list-style-type: none"> RELAP5 を使い、余熱除去系統の热流動解析を実施している。 逃がし弁の開放時間は 1 秒、電動弁の開放時間は 10 秒とする。また、故障した逆止弁は 10 秒で開くとした。この仮定は B&W の ISLOCA 研究を実施するために LER データをレビューした結果に基づいており、このレビューで逆止弁の瞬間的な故障は見つかっていないとしている。 余熱除去系統のコールドレグ側の隔離故障を想定している。 余熱除去系統の圧力は、逆止弁が 10 秒オーダーで開く場合は、1 次冷却系統の定常圧力が最大圧力となる。 <p>2. 機器の損傷解析</p> <ul style="list-style-type: none"> 動的影響の確率は無視できるため、準静的に圧力が加わる条件で評価を行っており、下表に示す結果を得ている。 <table border="1"> <thead> <tr> <th>部 位</th><th>評 価 結 果</th></tr> </thead> <tbody> <tr> <td>配 管</td><td> <ul style="list-style-type: none"> 管の腐食による減肉の影響、温度を考慮しているが、管が破損することはない。 フランジ部からの漏えいを検討しているが、漏えい量はmg/sec オーダーである。 </td></tr> <tr> <td>弁</td><td> <ul style="list-style-type: none"> 弁箱の肉厚に対し隣接する配管の肉厚のほうが薄いため、先に配管が破損する。 グランド部からの漏えいは無視できる。 余熱除去系統内の 8 個の弁の内、2 個の弁については、ポンネットボルトによる接合部の耐圧性能が 2,485psig (約 17.1MPa) を下回るため、ポンネットボルトによる接合部から漏えいが発生する。(面積 : 0.04inch²) </td></tr> <tr> <td>ポンプ</td><td> <ul style="list-style-type: none"> ケーシング、ケーシングの接合部、メカニカルシール及び冷却水配管の耐圧性能が 2500psig (約 17.2MPa) を上回るため漏えいは発生しない。 </td></tr> <tr> <td>余熱除去 冷却器</td><td> <ul style="list-style-type: none"> 胴板に破損圧力が加われば無制限な漏えいが発生する。 鏡板に非対称な座屈圧力が加われば漏えいが発生する。 (面積 : 0.7inch²) 鏡板に塑性破損するような座屈圧力が加われば無制限な漏えいが発生する。 </td></tr> </tbody> </table>	部 位	評価結果	配管	<ul style="list-style-type: none"> 管の腐食による減肉の影響、温度を考慮しているが、管が破損することはない。 フランジ部からの漏えいを検討しているが、漏えい量は mg/sec オーダーである。 	弁	<ul style="list-style-type: none"> 弁箱の肉厚に対し隣接する配管の肉厚のほうが薄いため、先に配管が破損する。 グランド部からの漏えいは無視できる。 余熱除去系統内の 8 個の弁の内、2 個の弁については、ポンネットボルトによる接合部の耐圧性能が 2,485psig (約 17.1MPa) を下回るため、ポンネットボルトによる接合部から漏えいが発生する。(面積 : 0.04inch²) 	ポンプ	<ul style="list-style-type: none"> ケーシング、ケーシングの接合部、メカニカルシール及び冷却水配管の耐圧性能が 2500psig (約 17.2MPa) を上回るため漏えいは発生しない。 	余熱除去 冷却器	<ul style="list-style-type: none"> 胴板に破損圧力が加われば無制限な漏えいが発生する。 鏡板に非対称な座屈圧力が加われば漏えいが発生する。 (面積 : 0.7 inch²) 鏡板に塑性破損するような座屈圧力が加われば無制限な漏えいが発生する。 	部 位	評 価 結 果	配 管	<ul style="list-style-type: none"> 管の腐食による減肉の影響、温度を考慮しているが、管が破損することはない。 フランジ部からの漏えいを検討しているが、漏えい量はmg/sec オーダーである。 	弁	<ul style="list-style-type: none"> 弁箱の肉厚に対し隣接する配管の肉厚のほうが薄いため、先に配管が破損する。 グランド部からの漏えいは無視できる。 余熱除去系統内の 8 個の弁の内、2 個の弁については、ポンネットボルトによる接合部の耐圧性能が 2,485psig (約 17.1MPa) を下回るため、ポンネットボルトによる接合部から漏えいが発生する。(面積 : 0.04inch²) 	ポンプ	<ul style="list-style-type: none"> ケーシング、ケーシングの接合部、メカニカルシール及び冷却水配管の耐圧性能が 2500psig (約 17.2MPa) を上回るため漏えいは発生しない。 	余熱除去 冷却器	<ul style="list-style-type: none"> 胴板に破損圧力が加われば無制限な漏えいが発生する。 鏡板に非対称な座屈圧力が加われば漏えいが発生する。 (面積 : 0.7inch²) 鏡板に塑性破損するような座屈圧力が加われば無制限な漏えいが発生する。
部 位	評価結果																			
配管	<ul style="list-style-type: none"> 管の腐食による減肉の影響、温度を考慮しているが、管が破損することはない。 フランジ部からの漏えいを検討しているが、漏えい量は mg/sec オーダーである。 																			
弁	<ul style="list-style-type: none"> 弁箱の肉厚に対し隣接する配管の肉厚のほうが薄いため、先に配管が破損する。 グランド部からの漏えいは無視できる。 余熱除去系統内の 8 個の弁の内、2 個の弁については、ポンネットボルトによる接合部の耐圧性能が 2,485psig (約 17.1MPa) を下回るため、ポンネットボルトによる接合部から漏えいが発生する。(面積 : 0.04inch²) 																			
ポンプ	<ul style="list-style-type: none"> ケーシング、ケーシングの接合部、メカニカルシール及び冷却水配管の耐圧性能が 2500psig (約 17.2MPa) を上回るため漏えいは発生しない。 																			
余熱除去 冷却器	<ul style="list-style-type: none"> 胴板に破損圧力が加われば無制限な漏えいが発生する。 鏡板に非対称な座屈圧力が加われば漏えいが発生する。 (面積 : 0.7 inch²) 鏡板に塑性破損するような座屈圧力が加われば無制限な漏えいが発生する。 																			
部 位	評 価 結 果																			
配 管	<ul style="list-style-type: none"> 管の腐食による減肉の影響、温度を考慮しているが、管が破損することはない。 フランジ部からの漏えいを検討しているが、漏えい量はmg/sec オーダーである。 																			
弁	<ul style="list-style-type: none"> 弁箱の肉厚に対し隣接する配管の肉厚のほうが薄いため、先に配管が破損する。 グランド部からの漏えいは無視できる。 余熱除去系統内の 8 個の弁の内、2 個の弁については、ポンネットボルトによる接合部の耐圧性能が 2,485psig (約 17.1MPa) を下回るため、ポンネットボルトによる接合部から漏えいが発生する。(面積 : 0.04inch²) 																			
ポンプ	<ul style="list-style-type: none"> ケーシング、ケーシングの接合部、メカニカルシール及び冷却水配管の耐圧性能が 2500psig (約 17.2MPa) を上回るため漏えいは発生しない。 																			
余熱除去 冷却器	<ul style="list-style-type: none"> 胴板に破損圧力が加われば無制限な漏えいが発生する。 鏡板に非対称な座屈圧力が加われば漏えいが発生する。 (面積 : 0.7inch²) 鏡板に塑性破損するような座屈圧力が加われば無制限な漏えいが発生する。 																			

泊発電所 3号炉 有効性評価 比較表

7.1.8 格納容器バイパス (添付資料 7.1.8.4 インターフェイスシステム LOCA 発生時の余熱除去系統の破断箇所及び破断面積について)

赤字 : 設備、運用又は体制の相違 (設計方針の相違)
青字 : 記載箇所又は記載内容の相違 (記載方針の相違)
緑字 : 記載表現、設備名称の相違 (実質的な相違なし)

大飯発電所 3 / 4号炉	泊発電所 3号炉	相違理由
	<p style="text-align: right;">参考資料-4</p> <p style="text-align: center;">二相条件の臨界流について</p> <p>二相条件の臨界流については、Marviken 臨界流試験により、流量は破断面積に比例することが確認されている。Marviken 臨界流試験の結果の一部を下図に示す。試験では同じサブクール度 33°C 条件で、破断面積 (内径 300mm, 500mm) を変えて臨界流を発生させ、単位面積・単位時間あたりの質量流量を測定している。図より、どちらの二相条件の質量流束も約 20,000 kg/m²·s と同じ値を示していることから、二相条件の臨界流の場合、流量は破断面積に比例することが確認できる。</p> <p>上段グラフ: Marviken Test12 (内径 300mm サブクール度 33°C) 下段グラフ: Marviken Test27 (内径 500mm サブクール度 33°C)</p> <p style="text-align: center;">図 質量流束</p> <p>※ 平成 25 年 12 月 17 日 PWR4 社審査会合資料「重大事故等対策の有効性評価に係るシビアアクシデント解析コードについて（第 1 部 M-RELAP5）」より引用</p>	記載方針の相違

泊発電所3号炉 有効性評価 比較表

7.1.8 格納容器バイパス（添付資料 7.1.8.5 インターフェイスシステム LOCA 時における蓄圧タンク初期条件設定の影響）

赤字：設備、運用又は体制の相違（設計方針の相違）
 青字：記載箇所又は記載内容の相違（記載方針の相違）
 緑字：記載表現、設備名称の相違（実質的な相違なし）

大飯発電所3／4号炉	泊発電所3号炉	相違理由
<p>添付資料 2.8.5</p> <p>インターフェイスシステムLOCA時における蓄圧タンク初期条件設定の影響</p> <p>1. 有効性評価における初期条件設定 重大事故等対策の有効性評価において、蓄圧タンク保持圧力及び保有水量の初期条件として、蓄圧注入に期待する全ての事故シーケンスにおいて以下の設定としている。 ・初期保持圧力（最低保持圧力）: 4.04MPa [gage] ・初期保有水量（最低保有水量）: 26.9 [m³/基]</p> <p>2. 条件設定 LOCA事象等の蓄圧タンク保有水全量の1次冷却系への注水を期待する事象及び全交流動力電源喪失事象等1次冷却系自然循環冷却を阻害する窒素ガスの混入を防止するため、圧力条件で蓄圧注入を停止する事象に分類でき、それぞれ以下の方考え方をもとに設定している。</p> <p>a. 大破断LOCA事象等の蓄圧タンク保有水全量の1次冷却系注水を期待する事象 (a) 初期保持圧力 蓄圧注入のタイミングが遅くなることに伴い、1次冷却系保有水の回復が遅れ、燃料被覆管温度評価の観点から余裕が小さくなる「最低保持圧力」としている。 (b) 初期保有水量 炉心への注水量が少なくなり、燃料被覆管温度評価の観点から余裕が小さくなるよう「最低保有水量」としている。</p> <p>b. 全交流動力電源喪失事象等1次冷却系自然循環冷却を阻害する窒素ガスの混入を防止するため、圧力条件で蓄圧注入を停止する事象 (a) 初期保持圧力 蓄圧注入のタイミングが遅くなることに伴い、1次冷却系保有水の回復が遅れ、燃料被覆管温度評価の観点から余裕が小さくなる「最低保持圧力」としている。 (b) 初期保有水量 最低保有水量とした場合、初期の気相部体積が大きくなることに伴い、蓄圧注入開始から、出口弁閉止圧力にて注入停止するまでに1次冷却系へ注水される水量は、初期保有水量が多い場合よりもわずかに多くなり、厳しい条件とならないが、蓄圧タンクの最高及び最低初期保有水量を考慮した場合の注水量に与える影響は、別紙1に示すとおりであり、炉心露出又は燃料被覆管温度1,200°Cに対して十分な余裕があることから、標準的に「最低初期保有水量」としている。</p>	<p>添付資料 7.1.8.5</p> <p>インターフェイスシステムLOCA時における蓄圧タンク初期条件設定の影響</p> <p>1. 有効性評価における初期条件設定 重大事故等対策の有効性評価において、蓄圧タンク保持圧力及び保有水量の初期条件として、蓄圧注入に期待する全ての事故シーケンスにおいて以下の設定としている。 ・初期保持圧力（最低保持圧力）: 4.04MPa [gage] ・初期保有水量（最低保有水量）: 29.0 [m³/基]</p> <p>2. 条件設定 LOCA事象等の蓄圧タンク保有水全量の1次冷却系への注水を期待する事象及び全交流動力電源喪失事象等1次冷却系自然循環冷却を阻害する窒素ガスの混入を防止するため、圧力条件で蓄圧注入を停止する事象に分類でき、それぞれ以下の考え方をもとに設定している。</p> <p>a. 大破断LOCA事象等の蓄圧タンク保有水全量の1次冷却系への注水を期待する事象 (a) 初期保持圧力 蓄圧注入のタイミングが遅くなることに伴い、1次冷却系保有水の回復が遅れ、燃料被覆管温度評価の観点から余裕が小さくなる「最低保持圧力」としている。 (b) 初期保有水量 炉心への注水量が少なくなり、燃料被覆管温度評価の観点から余裕が小さくなるよう「最低保有水量」としている。</p> <p>b. 全交流動力電源喪失事象等1次冷却系自然循環冷却を阻害する窒素ガスの混入を防止するため、圧力条件で蓄圧注入を停止する事象 (a) 初期保持圧力 蓄圧注入のタイミングが遅くなることに伴い、1次冷却系保有水の回復が遅れ、燃料被覆管温度評価の観点から余裕が小さくなる「最低保持圧力」としている。 (b) 初期保有水量 最低保有水量とした場合、初期の気相部体積が大きくなることに伴い、蓄圧注入開始から、出口弁閉止圧力にて注入停止するまでに1次冷却系へ注水される水量は、初期保有水量が多い場合よりもわずかに多くなり、厳しい条件とならないが、蓄圧タンクの最高及び最低保有水量を考慮した場合の注水量に与える影響は、別紙1に示すとおりであり、炉心露出又は燃料被覆管温度1,200°Cに対して十分な余裕があることから、標準的に「最低保有水量」としている。</p>	

泊発電所 3号炉 有効性評価 比較表

7.1.8 格納容器バイパス (添付資料 7.1.8.5 インターフェイスシステム LOCA 時における蓄圧タンク初期条件設定の影響)

赤字：設備、運用又は体制の相違（設計方針の相違）
 青字：記載箇所又は記載内容の相違（記載方針の相違）
 緑字：記載表現、設備名称の相違（実質的な相違なし）

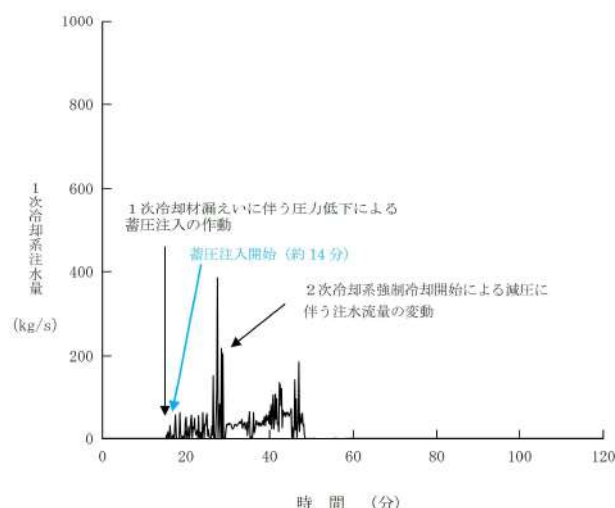
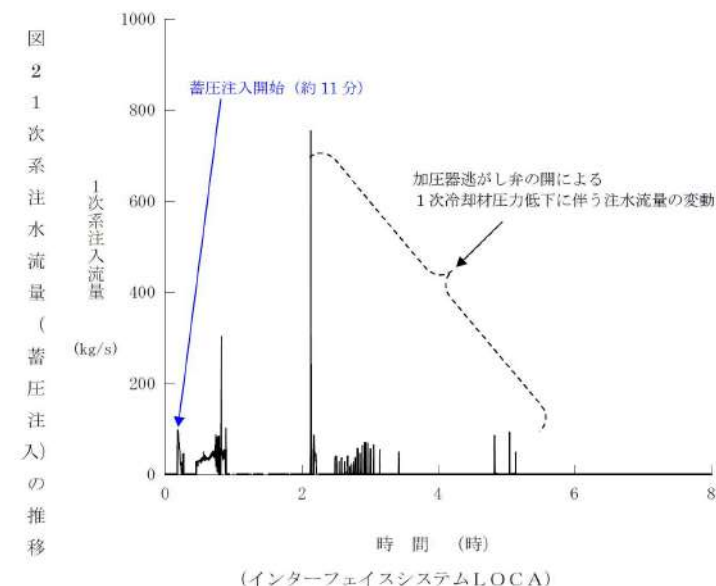
大飯発電所 3 / 4 号炉	泊発電所 3号炉	相違理由
<p>別紙 1</p> <p>インターフェイスシステム LOCA 時における蓄圧タンク初期保有水量の差異による影響検討</p> <p>1. はじめに 蓄圧タンクの初期条件設定として標準的に採用している「最低保有水量」とした場合、「最高保有水量」とした場合と比較すると、「最低保有水量」とした方が注水量はわずかに多くなり、「最低保有水量」の設定が必ずしも保守的とはならないことから、その影響について「インターフェイスシステム LOCA」を対象に考察した。</p> <p>2. 影響確認 インターフェイスシステム LOCA が発生した場合、早期に 1 次冷却系の圧力が低下することで「原子炉圧力異常低」ECCS 作動信号が発信し、高圧注入が開始されることで、図 1 に示すとおり事象発生後約 10 分で 1 次冷却系保有水量は回復に転じ、炉心が露出することはない。 また、蓄圧タンクからの注水は図 2 に示すとおり、事象発生後約 11 分に開始され、蓄圧タンクの注水開始後に 1 次冷却系保有水量は回復に転じるが、その後の蓄圧タンクからの注水がない期間においても高圧注入により 1 次冷却系保有水量は回復傾向を示している。 よって、蓄圧タンク初期保有水量の設定の差異が注水量に与える影響としては別紙 2 に示すとおり 4 基合計で約 4m³ の注水量の差異が考えられるが、1 次冷却系保有水量が最低となる期間への影響はない。</p> <p>3. 確認結果 インターフェイスシステム LOCA については、蓄圧タンクの注水が開始されるまでに、ECCS により保有水量は回復に転じることができることから、蓄圧タンクの初期保有水量の設定による注水量への影響を考慮しても炉心露出に至ることはない。</p>	<p>別紙 1</p> <p>インターフェイスシステム LOCA 時における蓄圧タンク初期保有水量の差異による影響検討</p> <p>1. はじめに 蓄圧タンクの初期条件設定として標準的に採用している「最低保有水量」とした場合、「最高保有水量」とした場合と比較すると、「最低保有水量」とした方が注水量はわずかに多くなり、「最低保有水量」の設定が必ずしも保守的とはならないことから、その影響について「インターフェイスシステム LOCA」を対象に考察した。</p> <p>2. 影響確認 インターフェイスシステム LOCA が発生した場合、早期に 1 次冷却系の圧力が低下することで「原子炉圧力異常低」ECCS 作動信号が発信し、高圧注入が開始されることで、図 1 に示すとおり事象発生後約 7 分で 1 次冷却系保有水量は回復に転じ、炉心が露出することはない。 また、蓄圧タンクからの注水は図 2 に示すとおり、事象発生後約 14 分に開始され、蓄圧タンクの注水開始後に 1 次冷却系保有水量は回復に転じるが、その後の蓄圧タンクからの注水がない期間においても高圧注入により 1 次冷却系保有水量は回復傾向を示している。 よって、蓄圧タンク初期保有水量の設定の差異が注水量に与える影響としては別紙 2 に示すとおり 3 基合計で約 10 m³ の注水量の差異が考えられるが、1 次冷却系保有水量が最低となる期間への影響はない。</p> <p>3. 確認結果 インターフェイスシステム LOCA については、蓄圧タンクの注水が開始されるまでに、ECCS により保有水量は回復に転じることができることから、蓄圧タンクの初期保有水量の設定による注水量への影響を考慮しても炉心露出に至ることはない。</p>	<p>解釈結果の相違</p> <p>評価結果の相違</p>

泊発電所 3号炉 有効性評価 比較表

赤字：設備、運用又は体制の相違（設計方針の相違）
青字：記載箇所又は記載内容の相違（記載方針の相違）
緑字：記載表現、設備名称の相違（実質的な相違なし）

7.1.8 格納容器バイパス（添付資料 7.1.8.5 インターフェイスシステム LOCA 時における蓄圧タンク初期条件設定の影響）

大飯発電所3／4号炉	泊発電所3号炉	相違理由
<p>図1 1次冷却系保有水量の推移（インターフェイスシステムLOCA）</p>	<p>図1 1次冷却系保有水量の推移（インターフェイスシステムLOCA）</p>	



泊発電所 3号炉 有効性評価 比較表

7.1.8 格納容器バイパス (添付資料 7.1.8.5 インターフェイスシステム LOCA 時における蓄圧タンク初期条件設定の影響)

赤字 : 設備、運用又は体制の相違 (設計方針の相違)
 青字 : 記載箇所又は記載内容の相違 (記載方針の相違)
 緑字 : 記載表現、設備名称の相違 (実質的な相違なし)

大飯発電所 3 / 4 号炉	泊発電所 3号炉	相違理由
<p>別紙 2 蓄圧タンク内の圧力変化に伴う注水量の差異について</p> <p>蓄圧タンク内の圧力変化は、窒素ガスの膨張に伴い、以下の式で求められる。</p> $P_i \times V_i^\gamma = P \times V_T^\gamma$ <p>ただし、</p> <p>P_i : 初期保持圧力 (MPa[abs]) V_i : 初期気相部体積 (m³) 11.3 m³ (最低保有水量 (1 基あたり)) 10.1 m³ (最高保有水量 (1 基あたり)) P : 蓄圧タンク出口弁閉止時の圧力 (MPa[abs]) V_T : 蓄圧タンク出口弁閉止時の気相体積 (m³) γ : ポリトロープ指数 1.0 : 等温変化時 1.4 : 断熱変化時 蓄圧タンク容積 (1 基あたり) : 38.2 m³ 最低保有水量 (1 基あたり) : 26.9 m³ 最高保有水量 (1 基あたり) : 28.1 m³ 初期保持圧力 : 4.04 MPa[gage] 蓄圧タンク出口弁閉止時の圧力 : 1.7 MPa[gage] (全交流動力電源喪失) : 0.6 MPa[gage] (ECCS 注水機能喪失、格納容器バイパス (インターフェイスシステム LOCA A)) とする。</p> <p>上記評価式より、全交流動力電源喪失事象等、1次冷却系自然循環冷却を阻害するガスの混入を防止するため、圧力変化で蓄圧注入を停止する事象に対して、以下の通り注水量に対する影響がある。</p> <p>①全交流動力電源喪失 (RCP シール LOCA あり) 比較的事象進展が早いことから、断熱変化として考慮しており、上記式より最低保有水量時の注水量と最高保有水量時の注水量の差異は 1 基あたり約 1 m³ となり、4 基合計で約 4 m³ となる。</p> <p>②全交流動力電源喪失 (RCP シール LOCA なし) 事象進展が遅いことから、等温変化として考慮しており、上記式より最低保有水量時の注水量と最高保有水量時の注水量の差異は 1 基あたり約 1.6 m³ となり 4 基合計で約 6 m³ となる。</p>	<p>別紙 2 蓄圧タンク内の圧力変化に伴う注水量の差異について</p> <p>蓄圧タンク内の圧力変化は、窒素ガスの膨張に伴い、以下の式で求められる。</p> $P_i \times V_i^\gamma = P \times V_T^\gamma$ <p>ただし、</p> <p>P_i : 初期保持圧力 (MPa[abs]) V_i : 初期気相部体積 (m³) 12.0 m³ (最低保有水量 (1 基あたり)) 10.0 m³ (最高保有水量 (1 基あたり)) P : 蓄圧タンク出口弁閉止時の圧力 (MPa[abs]) V_T : 蓄圧タンク出口弁閉止時の気相体積 (m³) γ : ポリトロープ指数 1.0 : 等温変化時 1.4 : 断熱変化時 蓄圧タンク容積 (1 基あたり) : 41.0 m³ 最低保有水量 (1 基あたり) : 29.0 m³ 最高保有水量 (1 基あたり) : 31.0 m³ 初期保持圧力 : 4.04 MPa[gage] 蓄圧タンク出口弁閉止時の圧力 : 1.7 MPa[gage] (全交流動力電源喪失) : 0.6 MPa[gage] (ECCS 注水機能喪失、格納容器バイパス (インターフェイスシステム LOCA)) とする。</p> <p>上記評価式より、全交流動力電源喪失事象等、1次冷却系自然循環冷却を阻害するガスの混入を防止するため、圧力変化で蓄圧注入を停止する事象に対して、以下の通り注水量に対する影響がある。</p> <p>①全交流動力電源喪失 (RCP シール LOCA あり) 比較的事象進展が早いことから、断熱変化として考慮しており、上記式より最低保有水量時の注水量と最高保有水量時の注水量の差異は 1 基あたり約 1.6 m³ となり、3 基合計で約 5 m³ となる。</p> <p>②全交流動力電源喪失 (RCP シール LOCA なし) 事象進展が遅いことから、等温変化として考慮しており、上記式より最低保有水量時の注水量と最高保有水量時の注水量の差異は 1 基あたり約 2.6 m³ となり、3 基合計で約 8 m³ となる。</p>	<p>設計の相違</p> <p>評価結果の相違</p>

泊発電所 3 号炉 有効性評価 比較表

7.1.8 格納容器バイパス (添付資料 7.1.8.5 インターフェイスシステム LOCA 時における蓄圧タンク初期条件設定の影響)

赤字 : 設備、運用又は体制の相違 (設計方針の相違)
 青字 : 記載箇所又は記載内容の相違 (記載方針の相違)
 緑字 : 記載表現、設備名称の相違 (実質的な相違なし)

大飯発電所 3 / 4 号炉	泊発電所 3 号炉	相違理由
<p>③ECCS 注水機能喪失</p> <p>比較的事象進展が早いことから、断熱変化として考慮しており、上記式より最低保有水量時の注水量と最高保有水量時の注水量の差は 1 基あたり約 1.1m³ となり 3 基合計で約 3m³ となる。</p> <p>④格納容器バイパス (インターフェイスシステム LOCA)</p> <p>比較的事象進展が早いことから、断熱変化として考慮しており、上記式より最低保有水量時の注水量と最高保有水量時の注水量の差は 1 基あたり約 1.1m³ となり 4 基合計で約 4 [m³] となる。</p> <p>⑤2 次冷却系からの除熱機能喪失</p> <p>比較的事象進展が早いことから、断熱変化として考慮しており、上記式より最低保有水量時の注水量と最高保有水量時の注水量の差は 1 基あたり約 0.4m³ となり 4 基合計で約 2m³ となる。</p>	<p>③ECCS 注水機能喪失</p> <p>比較的事象進展が早いことから、断熱変化として考慮しており、上記式より最低保有水量時の注水量と最高保有水量時の注水量の差は 1 基あたり約 3.4 m³ となり、2 基合計で約 7 m³ となる。</p> <p>④格納容器バイパス (インターフェイスシステム LOCA)</p> <p>比較的事象進展が早いことから、断熱変化として考慮しており、上記式より最低保有水量時の注水量と最高保有水量時の注水量の差は 1 基あたり約 3.4 m³ となり、3 基合計で約 10 m³ となる。</p>	
		記載方針の相違 ・「2 次冷却系からの除熱機能喪失」事象は蒸気発生器による冷却に期待できないことを前提とする事象であり、1 次冷却系の自然循環の阻害が事象進展に影響しないため、当該事象に対する評価を記載しない方針 (伊方と同様)